



ΕΛΛΗΝΙΚΗ ΔΗΜΟΚΡΑΤΙΑ



**ΓΕΝΙΚΗ ΓΡΑΜΜΑΤΕΙΑ ΦΥΣΙΚΟΥ ΠΕΡΙΒΑΛΛΟΝΤΟΣ
ΚΑΙ ΥΔΑΤΩΝ
ΓΕΝΙΚΗ ΔΙΕΥΘΥΝΣΗ ΥΔΑΤΩΝ**



**1^η ΑΝΑΘΕΩΡΗΣΗ
ΣΧΕΔΙΟΥ ΔΙΑΧΕΙΡΙΣΗΣ ΚΙΝΔΥΝΩΝ ΠΛΗΜΜΥΡΑΣ
των Λεκανών Απορροής Ποταμών του
Υδατικού Διαμερίσματος Δυτικής Στερεάς Ελλάδας (EL04)**

Στάδιο 1 – Παραδοτέο 4

ΠΛΗΜΜΥΡΙΚΑ ΥΔΡΟΓΡΑΦΗΜΑΤΑ

**Παράρτημα Π4.3:
Υδρολογική Ανάλυση συστήματος λεκανών ρεμάτων
Ναυπάκτου**



Ευρωπαϊκή Ένωση
Ταμείο Συνοχής

Με τη συγχρηματοδότηση της Ελλάδας και της Ευρωπαϊκής Ένωσης



Περιεχόμενα

1	ΜΟΝΤΕΛΟ ΥΔΡΟΛΟΓΙΚΗΣ ΠΡΟΣΟΜΟΙΩΣΗΣ ΔΕΚΑΝΗΣ ΑΠΟΡΡΟΗΣ	4
2	ΔΕΔΟΜΕΝΑ ΕΙΣΟΔΟΥ ΚΑΙ ΑΠΟΤΕΛΕΣΜΑΤΑ ΥΔΡΟΛΟΓΙΚΟΥ ΣΕΝΑΡΙΟΥ T=50	8
2.1	Αποτελέσματα, υετογραφήματα και υδρογραφήματα σχεδιασμού υπολεκάνων	8
2.2	Δεδομένα και Υδρογραφήματα Σχεδιασμού Κλάδων Υδρογραφικού Δικτύου	26
2.3	Δεδομένα και Υδρογραφήματα Σχεδιασμού Κόμβων Υδρογραφικού Δικτύου	35
3	ΔΕΔΟΜΕΝΑ ΕΙΣΟΔΟΥ ΚΑΙ ΑΠΟΤΕΛΕΣΜΑΤΑ ΥΔΡΟΛΟΓΙΚΟΥ ΣΕΝΑΡΙΟΥ T=50L	52
3.1	Αποτελέσματα, υετογραφήματα και υδρογραφήματα σχεδιασμού υπολεκάνων	52
3.2	Δεδομένα και Υδρογραφήματα Σχεδιασμού Κλάδων Υδρογραφικού Δικτύου	70
3.3	Δεδομένα και Υδρογραφήματα Σχεδιασμού Κόμβων Υδρογραφικού Δικτύου	79
4	ΔΕΔΟΜΕΝΑ ΕΙΣΟΔΟΥ ΚΑΙ ΑΠΟΤΕΛΕΣΜΑΤΑ ΥΔΡΟΛΟΓΙΚΟΥ ΣΕΝΑΡΙΟΥ T=50U	96
4.1	Αποτελέσματα, υετογραφήματα και υδρογραφήματα σχεδιασμού υπολεκάνων	96
4.2	Δεδομένα και Υδρογραφήματα Σχεδιασμού Κλάδων Υδρογραφικού Δικτύου	114
4.3	Δεδομένα και Υδρογραφήματα Σχεδιασμού Κόμβων Υδρογραφικού Δικτύου	123
5	ΔΕΔΟΜΕΝΑ ΕΙΣΟΔΟΥ ΚΑΙ ΑΠΟΤΕΛΕΣΜΑΤΑ ΥΔΡΟΛΟΓΙΚΟΥ ΣΕΝΑΡΙΟΥ T=100	140
5.1	Αποτελέσματα, υετογραφήματα και υδρογραφήματα σχεδιασμού υπολεκάνων	140
5.2	Δεδομένα και Υδρογραφήματα Σχεδιασμού Κλάδων Υδρογραφικού Δικτύου	158
5.3	Δεδομένα και Υδρογραφήματα Σχεδιασμού Κόμβων Υδρογραφικού Δικτύου	167
6	ΔΕΔΟΜΕΝΑ ΕΙΣΟΔΟΥ ΚΑΙ ΑΠΟΤΕΛΕΣΜΑΤΑ ΥΔΡΟΛΟΓΙΚΟΥ ΣΕΝΑΡΙΟΥ T=100L	184
6.1	Αποτελέσματα, υετογραφήματα και υδρογραφήματα σχεδιασμού υπολεκάνων	184
6.2	Δεδομένα και Υδρογραφήματα Σχεδιασμού Κλάδων Υδρογραφικού Δικτύου	202
6.3	Δεδομένα και Υδρογραφήματα Σχεδιασμού Κόμβων Υδρογραφικού Δικτύου	211
7	ΔΕΔΟΜΕΝΑ ΕΙΣΟΔΟΥ ΚΑΙ ΑΠΟΤΕΛΕΣΜΑΤΑ ΥΔΡΟΛΟΓΙΚΟΥ ΣΕΝΑΡΙΟΥ T=100U	228
7.1	Αποτελέσματα, υετογραφήματα και υδρογραφήματα σχεδιασμού υπολεκάνων	228
7.2	Δεδομένα και Υδρογραφήματα Σχεδιασμού Κλάδων Υδρογραφικού Δικτύου	246
7.3	Δεδομένα και Υδρογραφήματα Σχεδιασμού Κόμβων Υδρογραφικού Δικτύου	255
8	ΔΕΔΟΜΕΝΑ ΕΙΣΟΔΟΥ ΚΑΙ ΑΠΟΤΕΛΕΣΜΑΤΑ ΥΔΡΟΛΟΓΙΚΟΥ ΣΕΝΑΡΙΟΥ T=1000	272
8.1	Αποτελέσματα, υετογραφήματα και υδρογραφήματα σχεδιασμού υπολεκάνων	272

8.2	Δεδομένα και Υδρογραφήματα Σχεδιασμού Κλάδων Υδρογραφικού Δικτύου	290
8.3	Δεδομένα και Υδρογραφήματα Σχεδιασμού Κόμβων Υδρογραφικού Δικτύου	299
9	<u>ΔΕΔΟΜΕΝΑ ΕΙΣΟΔΟΥ ΚΑΙ ΑΠΟΤΕΛΕΣΜΑΤΑ ΥΔΡΟΛΟΓΙΚΟΥ ΣΕΝΑΡΙΟΥ T=1000L</u>	316
9.1	Αποτελέσματα, υετογραφήματα και υδρογραφήματα σχεδιασμού υπολεκάνων	316
9.2	Δεδομένα και Υδρογραφήματα Σχεδιασμού Κλάδων Υδρογραφικού Δικτύου	334
9.3	Δεδομένα και Υδρογραφήματα Σχεδιασμού Κόμβων Υδρογραφικού Δικτύου	343
10	<u>ΔΕΔΟΜΕΝΑ ΕΙΣΟΔΟΥ ΚΑΙ ΑΠΟΤΕΛΕΣΜΑΤΑ ΥΔΡΟΛΟΓΙΚΟΥ ΣΕΝΑΡΙΟΥ T=1000U</u>	360
10.1	Αποτελέσματα, υετογραφήματα και υδρογραφήματα σχεδιασμού υπολεκάνων	360
10.2	Δεδομένα και Υδρογραφήματα Σχεδιασμού Κλάδων Υδρογραφικού Δικτύου	378
10.3	Δεδομένα και Υδρογραφήματα Σχεδιασμού Κόμβων Υδρογραφικού Δικτύου	387

1 Μοντέλο Υδρολογικής Προσομοίωσης Λεκάνης Απορροής

Πρόκειται για οκτώ μικρά ρέματα, που απορρέουν στο παραλιακό μέτωπο μεταξύ των εκβολών του Μόρνου και του Ευήνου. Το μοντέλο υδρολογικής προσομοίωσης του ενοποιημένου συστήματος περιλαμβάνει 17 υπολεκάνες, 17 κόμβους και 9 κλάδους υδρογραφικού δικτύου. Το πιο σημαντικό είναι το ρέμα Τζάβαρη, που διέρχεται από το ανατολικό όριο της Ναυπάκτου, με έξοδο τον κόμβο J1, και περιλαμβάνει τις υπολεκάνες EL0421FR003001 και EL0421FR003002.

Η σχηματοποίηση του υδρολογικού συστήματος απεικονίζεται στον χάρτη της Εικόνας 5-5.

Τα χαρακτηριστικά μεγέθη της ενοποιημένης λεκάνης είναι:

- Έκταση $A = 120.73 \text{ km}^2$
- Μέσο υψόμετρο $z_m = 575 \text{ m}$
- Υψόμετρο κόμβου εξόδου $z_k = 0.0 \text{ m}$
- Μέγιστο μήκος ροής $L_{\max} = 14.49 \text{ km}$
- Χρόνος συγκέντρωσης $t_c = 2.4 \text{ h}$

Για την υδρολογική προσομοίωση επιλέγεται διάρκεια βροχής $D = 12 \text{ h}$ και χρονικό βήμα $\Delta t = 15 \text{ min}$.

Για την παραπάνω έκταση και διάρκεια προκύπτει συντελεστής επιφανειακής αναγωγής $\varphi = 0.946$.

Επισημαίνεται ότι ο χρόνος συγκέντρωσης του ενοποιημένου συστήματος εκτιμάται με βάση τα χαρακτηριστικά της λεκάνης απορροής του ρέματος Τζάβαρη (έκταση 37.20 km^2 , μέσο υψόμετρο 575 m , μέγιστο μήκος ροής 14.49 km).

Τα χαρακτηριστικά γεωμετρικά μεγέθη των κλάδων και υπολεκανών του υδρογραφικού δικτύου δίνονται στους Πίνακες 5-8 και 5-9, αντίστοιχα, ενώ τα συγκεντρωτικά αποτελέσματα του συνολικού υδρολογικού συστήματος δίνονται στον Πίνακα 2-3. Σημειώνεται ότι οι παροχές αιχμής των υδρογραφημάτων αναφέρονται στον κόμβο J1, που είναι έξοδος μίας εκ των οκτώ λεκανών απορροής που απαρτίζουν το υδρολογικό σύστημα, ενώ οι όγκοι αναφέρονται στο σύνολο του συστήματος λεκανών. Στο Παράρτημα Π3 δίνονται τα πλήρη δεδομένα εισόδου και εξόδου του μοντέλου προσομοίωσης για όλες τις συνιστώσες του δικτύου (υπολεκάνες, κόμβοι, κλάδοι), και τα αντίστοιχα γραφήματα.

Πίνακας 2-1 Χαρακτηριστικά μεγέθη κλάδων υδρογραφικού δικτύου (υδατορεύματα)

Κωδικός	Ονομασία	Ανάντη	Κατάντη	Μήκος (km)	Μέση κλίση
R21	PEMA TZABAPH	J2	J1	1.516	0.0172
R43		J4	J3	3.140	0.0123
R65		J6	J5	1.103	0.0311
R76		J7	J6	2.758	0.0445
R98		J9	J8	0.857	0.0268
R1110		J11	J10	1.461	0.0152
R1312		J13	J12	1.463	0.0148
R1514		J15	J14	2.130	0.0115
R1716		J17	J16	0.550	0.0252

Πίνακας 2-2 Χαρακτηριστικά μεγέθη υπολεκανών

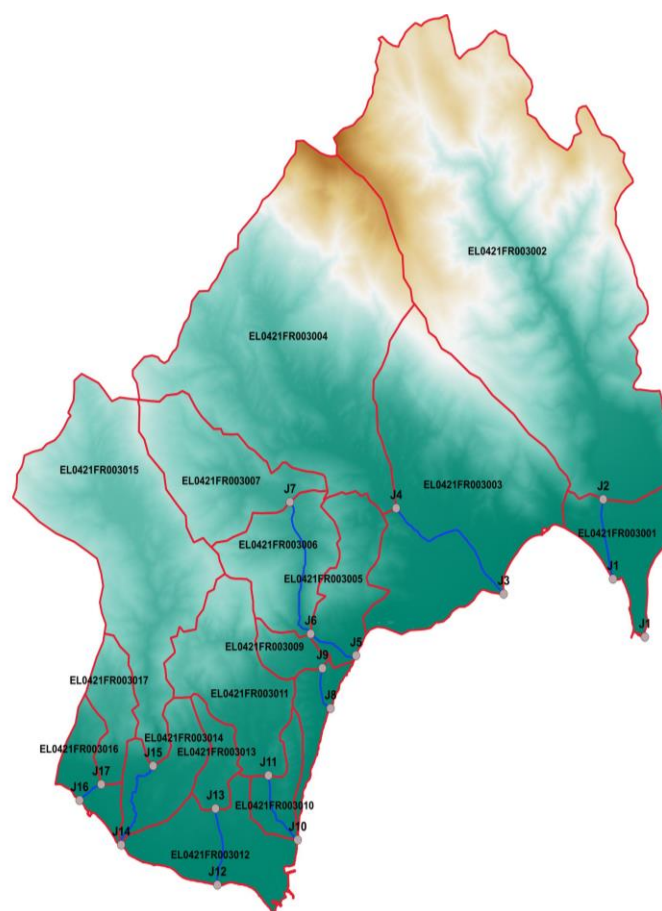
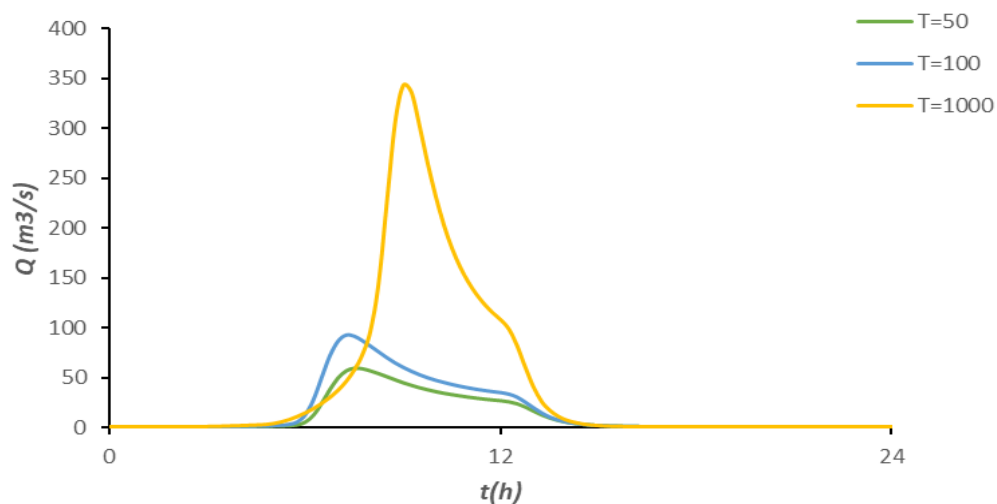
Κωδικός	Λεκάνη απορροής	Κλάδος	Κόμβος εξόδου	Έκταση (km^2)	Μέσο υψόμετρο (m)	Υψόμετρο εξόδου (m)	Μέγιστο μήκος ροής (km)
EL0421FR003001	EL0421FR00003	R21	J1	2.973	12.4	0.00	2.538
EL0421FR003002	EL0421FR00003		J2	34.228	623.8	19.06	12.978

Κωδικός	Λεκάνη απορροής	Κλάδος	Κόμβος εξόδου	Έκταση (km ²)	Μέσο υψόμετρο (m)	Υψόμετρο εξόδου (m)	Μέγιστο μήκος ροής (km)
EL0421FR003003	EL0421FR000003	R43	J3	15.174	173.4	0.00	8.038
EL0421FR003004	EL0421FR000003		J4	21.719	472.1	40.75	9.898
EL0421FR003005	EL0421FR000003	R65	J5	3.171	123.0	0.00	2.511
EL0421FR003006	EL0421FR000003	R76	J6	4.263	245.7	32.34	4.745
EL0421FR003007	EL0421FR000003		J7	5.371	339.9	157.87	4.861
EL0421FR003008	EL0421FR000003	R98	J8	1.340	24.8	0.00	1.367
EL0421FR003009	EL0421FR000003		J9	1.014	110.8	18.94	1.852
EL0421FR003010	EL0421FR000003	R1110	J10	1.432	31.5	0.00	1.662
EL0421FR003011	EL0421FR000003		J11	5.427	195.3	19.55	5.200
EL0421FR003012	EL0421FR000003	R1312	J12	4.295	11.7	0.00	2.378
EL0421FR003013	EL0421FR000003		J13	1.245	64.9	19.05	2.828
EL0421FR003014	EL0421FR000003	R1514	J14	2.744	66.5	0.77	4.530
EL0421FR003015	EL0421FR000003		J15	12.688	365.7	23.08	9.552
EL0421FR003016	EL0421FR000003	R1716	J16	1.700	50.2	0.00	2.113
EL0421FR003017	EL0421FR000003		J17	1.903	194.9	10.15	3.344

Πίνακας 2-3 Συγκεντρωτικά αποτελέσματα υδρολογικής προσομοίωσης περιοχής μελέτης

Χαρακτηριστικά μεγέθη λεκανών απορροής ρεμάτων Ναυπάκτου			
Έκταση (km ²)	120.73	Υψόμετρο εξόδου (m)	0.0
Αδιαπέρατη επιφάνεια (%)	0.00	Χρόνος συγκέντρωσης (h)	2.58
Μέγιστο μήκος ροής (km)	14.49	Διάρκεια βροχόπτωσης σχεδιασμού (h)	12.00
Μέσο υψόμετρο (m)	454.7	Χρονικό βήμα (h)	0.25
Συγκεντρωτικά αποτελέσματα υδρολογικής προσομοίωσης λεκάνης			
	Ευμενείς συνθήκες	Μέσες συνθήκες	Δυσμενείς συνθήκες
Ολικό ύψος επιφανειακής βροχής (mm)			
T = 50	119.7	119.7	119.7
T = 100	140.2	140.2	140.2
T = 1000	229.8	229.8	229.8
Ολικό ύψος πλημμυρικής απορροής (mm)			
T = 50	20.8	50.8	78.8
T = 100	30.1	66.2	97.5
T = 1000	82.5	140.9	182.4
Συντελεστής απορροής			
T = 50	0.174	0.425	0.659
T = 100	0.215	0.473	0.696
T = 1000	0.359	0.613	0.794
Πλημμυρική παροχή αιχμής (m³/s)			
T = 50	3.9	56.5	153.7
T = 100	9.5	89.3	207.5
T = 1000	110.5	338.1	514
Πλημμυρικός όγκος (hm³)			
T = 50	2.511	6.134	9.514
T = 100	3.630	7.995	11.772
T = 1000	9.953	16.999	22.014
Συνολική παροχή αιχμής (m³/s)			
T = 50	6.9	59.5	156.8
T = 100	12.8	92.7	210.9
T = 1000	114.7	342.3	518.3
Συνολικός όγκος υδρογραφήματος (hm³)			
T = 50	3.4224	7.0459	10.426
T = 100	4.6495	9.015	12.792
T = 1000	11.2287	18.2751	23.2903

Υδρογραφήματα σχεδιασμού στον κόμβο εξόδου(μέσες συνθήκες)



Εικόνα 2-1 Χάρτης περιοχής μελέτης, στον οποίο απεικονίζεται η σχηματοποίηση των κόμβων και κλάδων του υδρογραφικού δικτύου και των υπολεκανών

2 Δεδομένα εισόδου και αποτελέσματα υδρολογικού σεναρίου T=50

2.1 Αποτελέσματα, υετογραφήματα και υδρογραφήματα σχεδιασμού υπολεκάνων

Υπολεκάνη: EL0421FR003001

Έκταση (KM2) : 2.97

Κατάντη : J1

Μέθοδος Απωλειών: SCS

Ποσοστό αδιαπέρατης επιφάνειας	0
Αριθμός Καμπύλης Απορροής-CN	80.8
Αρχικές Απώλειες	12.07

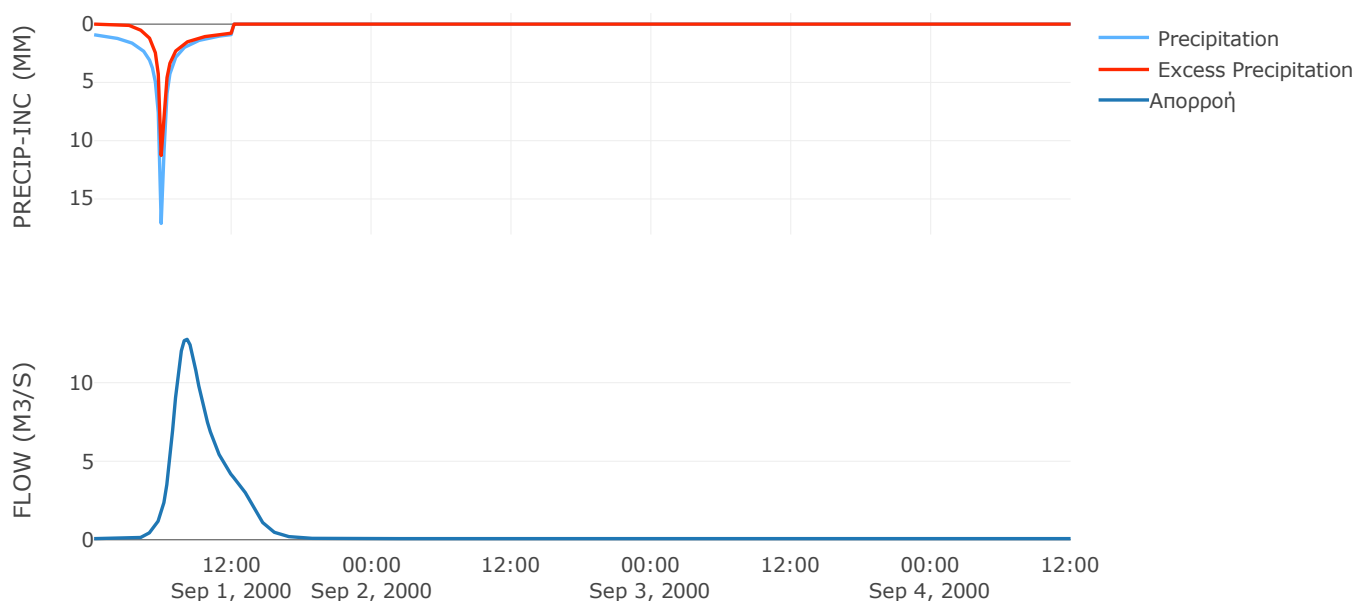
Μέθοδος Μετασχηματισμού: SCS

Χρόνος Υστέρησης	102.51
------------------	--------

Αποτελέσματα:
EL0421FR003001

Παροχή αιχμής (M3/S)	12.76
Χρονική στιγμή αιχμής	01Sep2000, 08:00
Όγκος (MM)	74.81
Όγκος βροχόπτωσης (M3)	3.5E5
Όγκος απωλειών (M3)	1.5E5
Ενεργός Όγκος (M3)	2E5
Όγκος άμεσης απορροής (M3)	2E5
Όγκος βασικής απορροής (M3)	22474.37

Βροχόπτωση και Απορροή



Υπολεκάνη: EL0421FR003002

Έκταση (KM2) : 34.23

Κατάντη : J2

Μέθοδος Απωλειών: SCS

Ποσοστό αδιαπέρατης επιφάνειας	0
Αριθμός Καμπύλης Απορροής-CN	54.5
Αρχικές Απώλειες	42.4

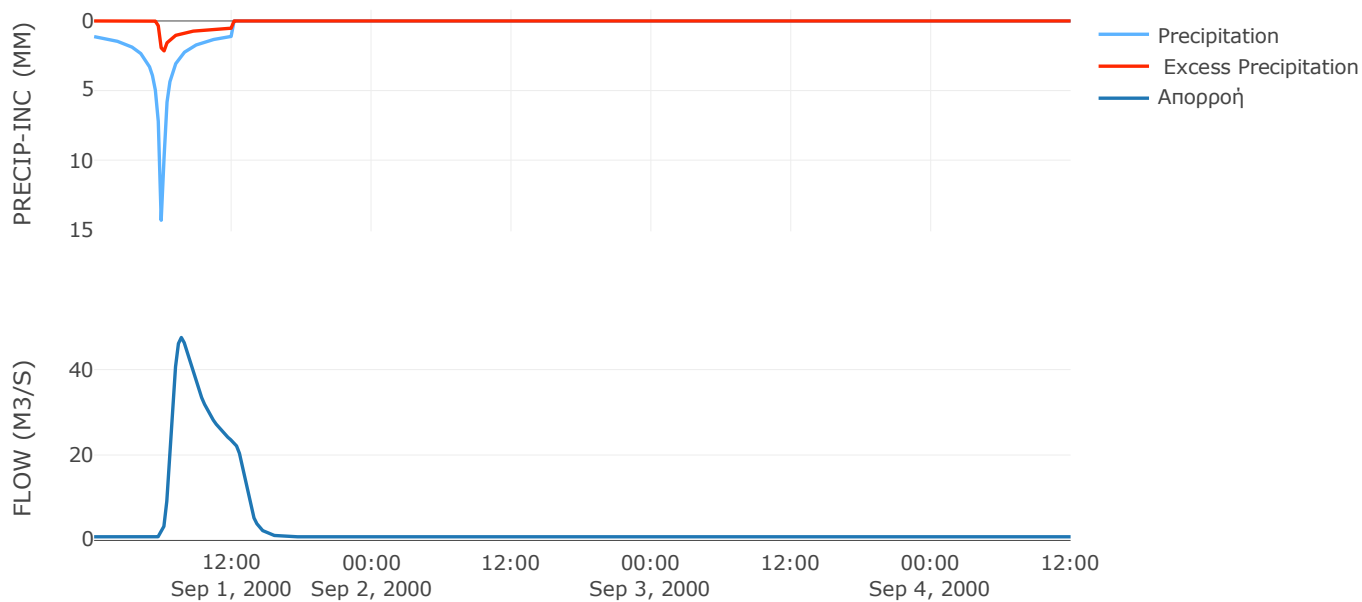
Μέθοδος Μετασχηματισμού: SCS

Χρόνος Υστέρησης	58.89
------------------	-------

Αποτελέσματα:
EL0421FR003002

Παροχή αιχμής (M3/S)	47.52
Χρονική στιγμή αιχμής	01Sep2000, 07:30
Όγκος (MM)	29.87
Όγκος βροχόπτωσης (M3)	4.22E6
Όγκος απωλειών (M3)	3.45E6
Ενεργός Όγκος (M3)	7.64E5
Όγκος άμεσης απορροής (M3)	7.64E5
Όγκος βασικής απορροής (M3)	2.59E5

Βροχόπτωση και Απορροή



Υπολεκάνη: EL0421FR003003

Έκταση (KM2) : 15.17

Κατάντη : J3

Μέθοδος Απωλειών: SCS

Ποσοστό αδιαπέρατης επιφάνειας	0
Αριθμός Καμπύλης Απορροής-CN	74.56
Αρχικές Απώλειες	17.33

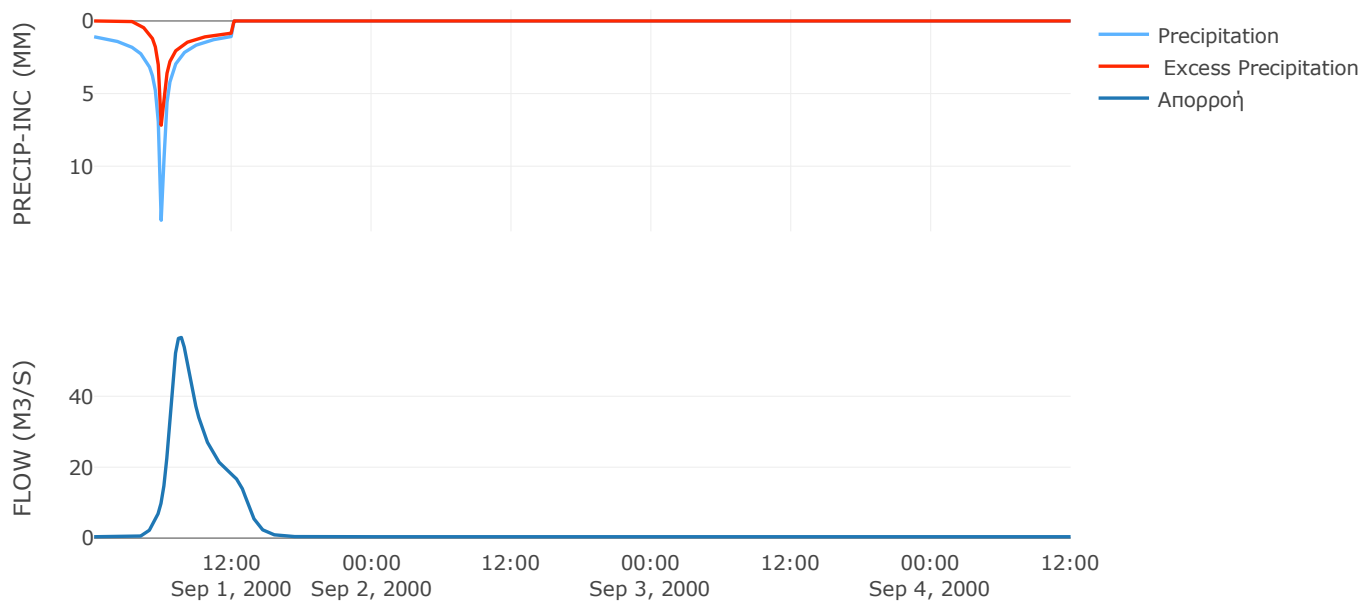
Μέθοδος Μετασχηματισμού: SCS

Χρόνος Υστέρησης	70.89
------------------	-------

Αποτελέσματα:
EL0421FR003003

Παροχή αιχμής (M3/S)	56.6
Χρονική στιγμή αιχμής	01Sep2000, 07:30
Όγκος (MM)	62.25
Όγκος βροχόπτωσης (M3)	1.8E6
Όγκος απωλειών (M3)	9.72E5
Ενεργός Όγκος (M3)	8.3E5
Όγκος άμεσης απορροής (M3)	8.3E5
Όγκος βασικής απορροής (M3)	1.15E5

Βροχόπτωση και Απορροή



Υπολεκάνη: EL0421FR003004

Έκταση (KM2) : 21.72

Κατάντη : J4

Μέθοδος Απωλειών: SCS

Ποσοστό αδιαπέρατης επιφάνειας	0
Αριθμός Καμπύλης Απορροής-CN	74.84
Αρχικές Απώλειες	17.08

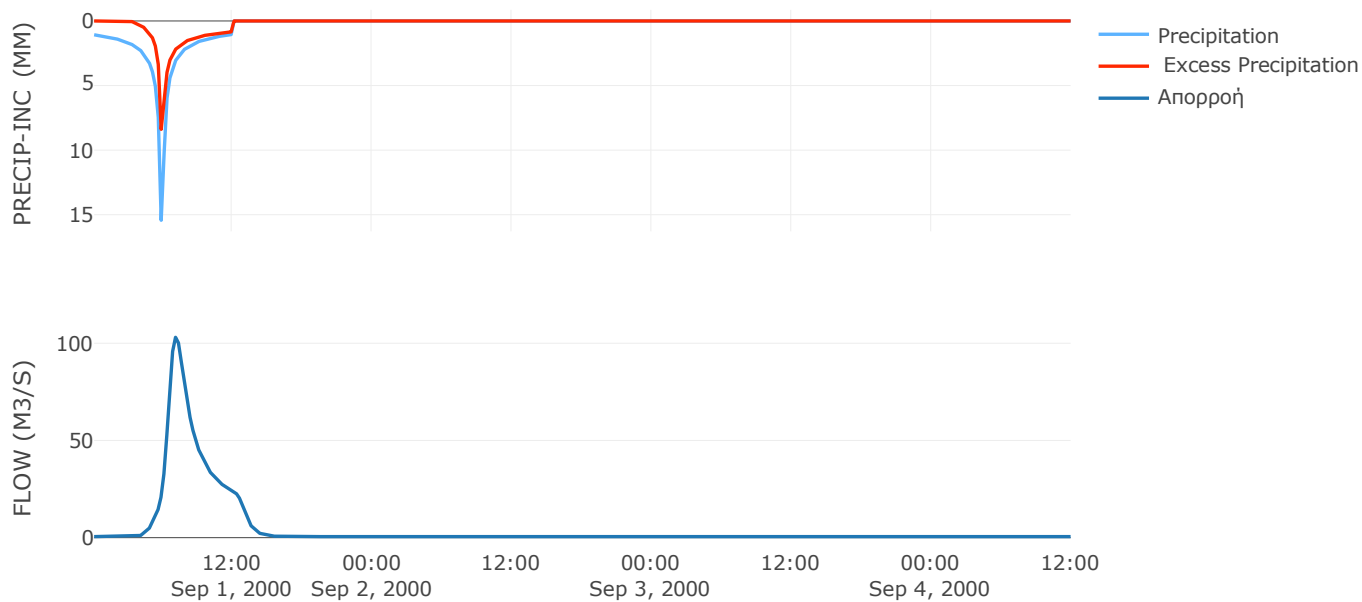
Μέθοδος Μετασχηματισμού: SCS

Χρόνος Υστέρησης	54.46
------------------	-------

Αποτελέσματα:
EL0421FR003004

Παροχή αιχμής (M3/S)	103.06
Χρονική στιγμή αιχμής	01Sep2000, 07:00
Όγκος (MM)	66.47
Όγκος βροχόπτωσης (M3)	2.68E6
Όγκος απωλειών (M3)	1.4E6
Ενεργός Όγκος (M3)	1.28E6
Όγκος άμεσης απορροής (M3)	1.28E6
Όγκος βασικής απορροής (M3)	1.64E5

Βροχόπτωση και Απορροή



Υπολεκάνη: EL0421FR003005

Έκταση (KM2) : 3.17

Κατάντη : J5

Μέθοδος Απωλειών: SCS

Ποσοστό αδιαπέρατης επιφάνειας	0
Αριθμός Καμπύλης Απορροής-CN	80.99
Αρχικές Απώλειες	11.93

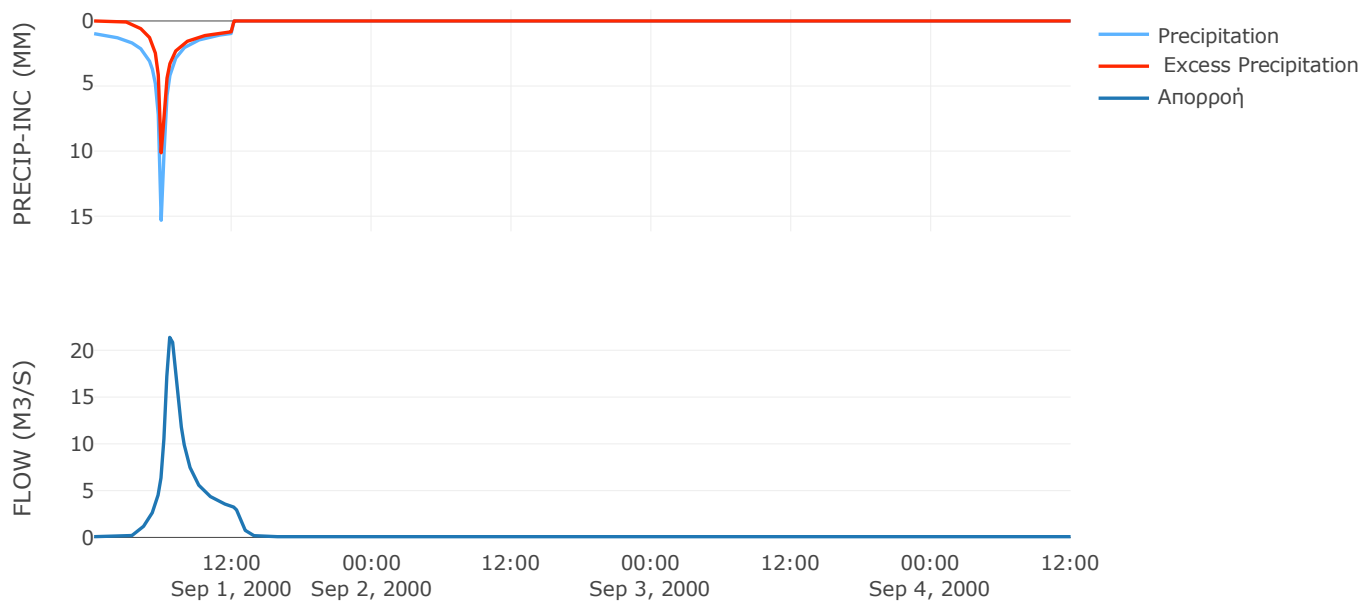
Μέθοδος Μετασχηματισμού: SCS

Χρόνος Υστέρησης	33.14
------------------	-------

Αποτελέσματα:
EL0421FR003005

Παροχή αιχμής (M3/S)	21.38
Χρονική στιγμή αιχμής	01Sep2000, 06:30
Όγκος (MM)	74.19
Όγκος βροχόπτωσης (M3)	3.7E5
Όγκος απωλειών (M3)	1.58E5
Ενεργός Όγκος (M3)	2.11E5
Όγκος άμεσης απορροής (M3)	2.11E5
Όγκος βασικής απορροής (M3)	23971.25

Βροχόπτωση και Απορροή



Υπολεκάνη: EL0421FR003006

Έκταση (KM2) : 4.26

Κατάντη : J6

Μέθοδος Απωλειών: SCS

Ποσοστό αδιαπέρατης επιφάνειας	0
Αριθμός Καμπύλης Απορροής-CN	81.25
Αρχικές Απώλειες	11.72

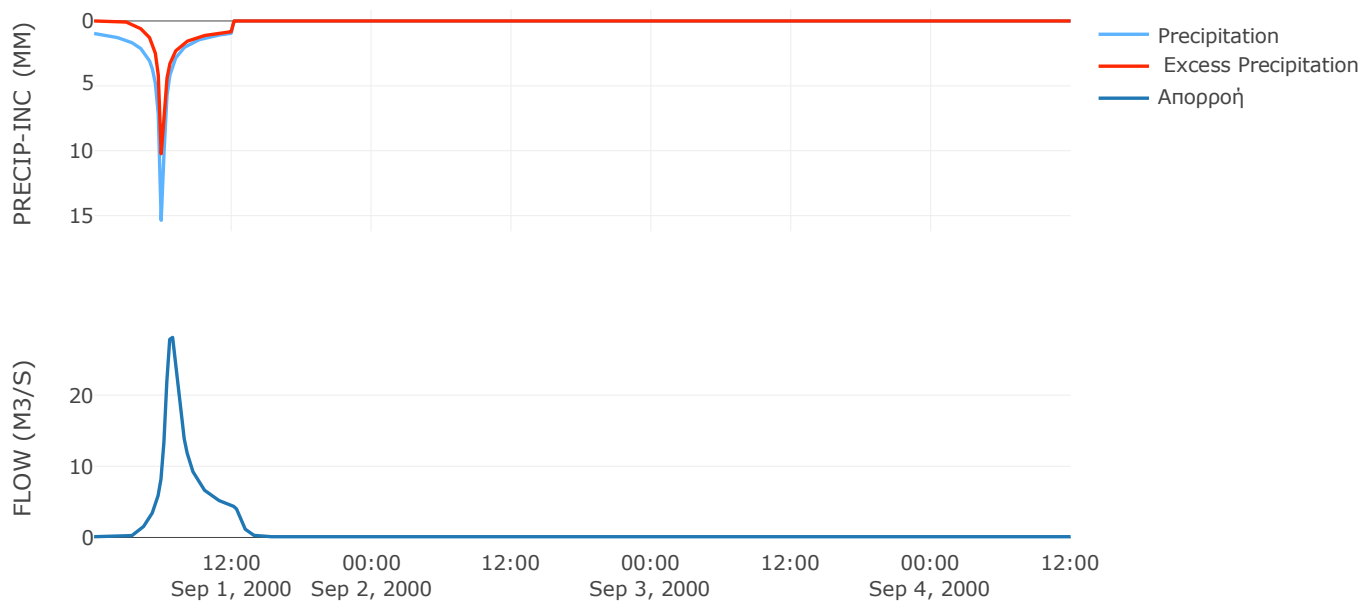
Μέθοδος Μετασχηματισμού: SCS

Χρόνος Υστέρησης	35.53
------------------	-------

Αποτελέσματα:
EL0421FR003006

Παροχή αιχμής (M3/S)	28.1
Χρονική στιγμή αιχμής	01Sep2000, 06:45
Όγκος (MM)	74.44
Όγκος βροχόπτωσης (M3)	4.95E5
Όγκος απωλειών (M3)	2.1E5
Ενεργός Όγκος (M3)	2.85E5
Όγκος άμεσης απορροής (M3)	2.85E5
Όγκος βασικής απορροής (M3)	32226.77

Βροχόπτωση και Απορροή



Υπολεκάνη: EL0421FR003007

Έκταση (KM2) : 5.37

Κατάντη : J7

Μέθοδος Απωλειών: SCS

Ποσοστό αδιαπέρατης επιφάνειας	0
Αριθμός Καμπύλης Απορροής-CN	80.84
Αρχικές Απώλειες	12.04

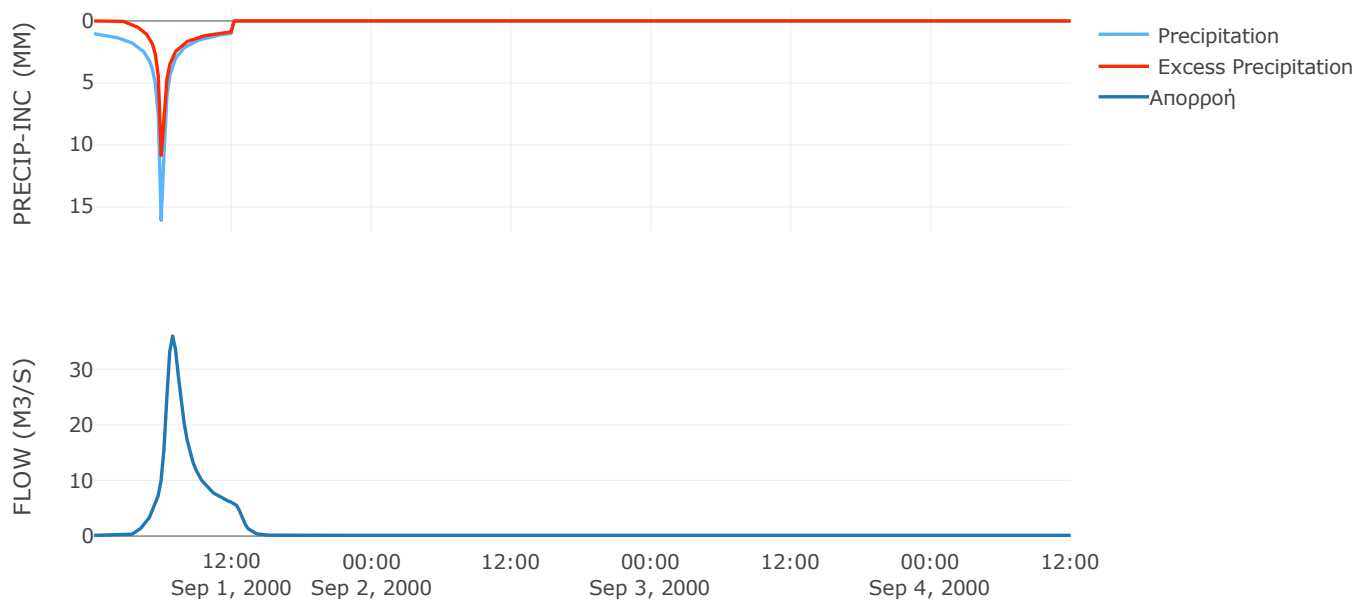
Μέθοδος Μετασχηματισμού: SCS

Χρόνος Υστέρησης	41.45
------------------	-------

Αποτελέσματα:
EL0421FR003007

Παροχή αιχμής (M3/S)	35.97
Χρονική στιγμή αιχμής	01Sep2000, 06:45
Όγκος (MM)	78.81
Όγκος βροχόπτωσης (M3)	6.56E5
Όγκος απωλειών (M3)	2.74E5
Ενεργός Όγκος (M3)	3.83E5
Όγκος άμεσης απορροής (M3)	3.83E5
Όγκος βασικής απορροής (M3)	40600.22

Βροχόπτωση και Απορροή



Υπολεκάνη: EL0421FR003008

Έκταση (KM2) : 1.34

Κατάντη : J8

Μέθοδος Απωλειών: SCS

Ποσοστό αδιαπέρατης επιφάνειας	0
Αριθμός Καμπύλης Απορροής-CN	82.38
Αρχικές Απώλειες	10.87

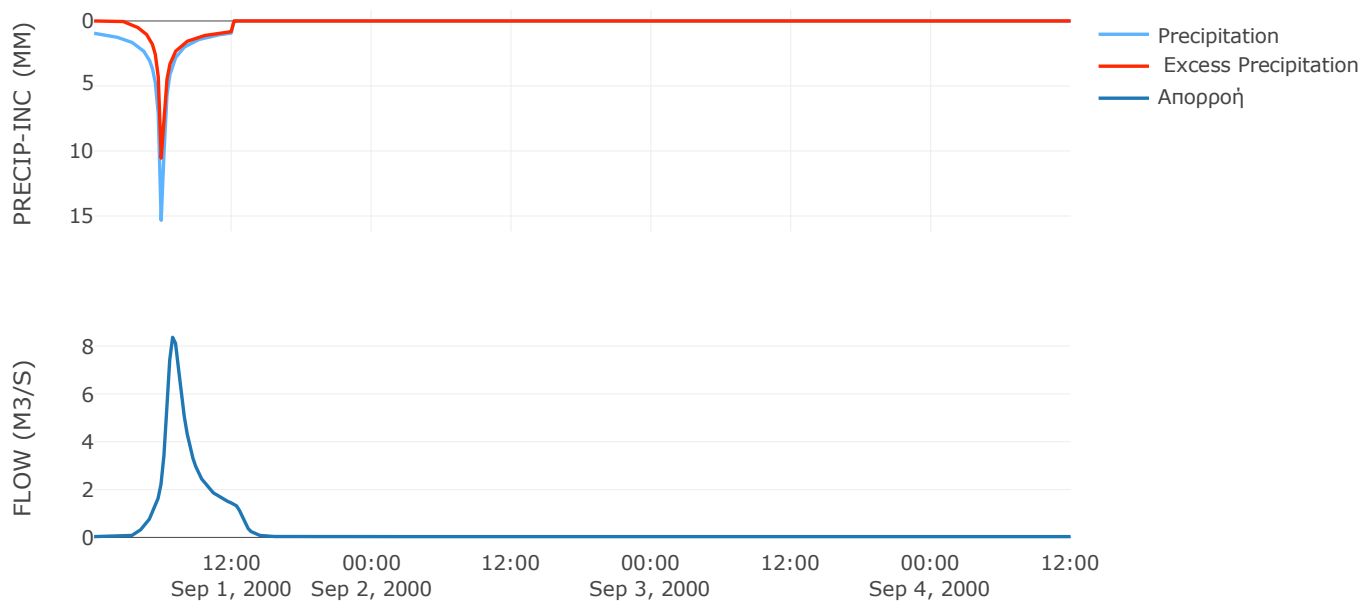
Μέθοδος Μετασχηματισμού: SCS

Χρόνος Υστέρησης	45.25
------------------	-------

Αποτελέσματα:
EL0421FR003008

Παροχή αιχμής (M3/S)	8.37
Χρονική στιγμή αιχμής	01Sep2000, 06:45
Όγκος (MM)	75.78
Όγκος βροχόπτωσης (M3)	1.54E5
Όγκος απωλειών (M3)	62381.78
Ενεργός Όγκος (M3)	91446.98
Όγκος άμεσης απορροής (M3)	91446.98
Όγκος βασικής απορροής (M3)	10134.03

Βροχόπτωση και Απορροή



Υπολεκάνη: EL0421FR003009

Έκταση (KM2) : 1.01

Κατάντη : J9

Μέθοδος Απωλειών: SCS

Ποσοστό αδιαπέρατης επιφάνειας	0
Αριθμός Καμπύλης Απορροής-CN	82.01
Αρχικές Απώλειες	11.14

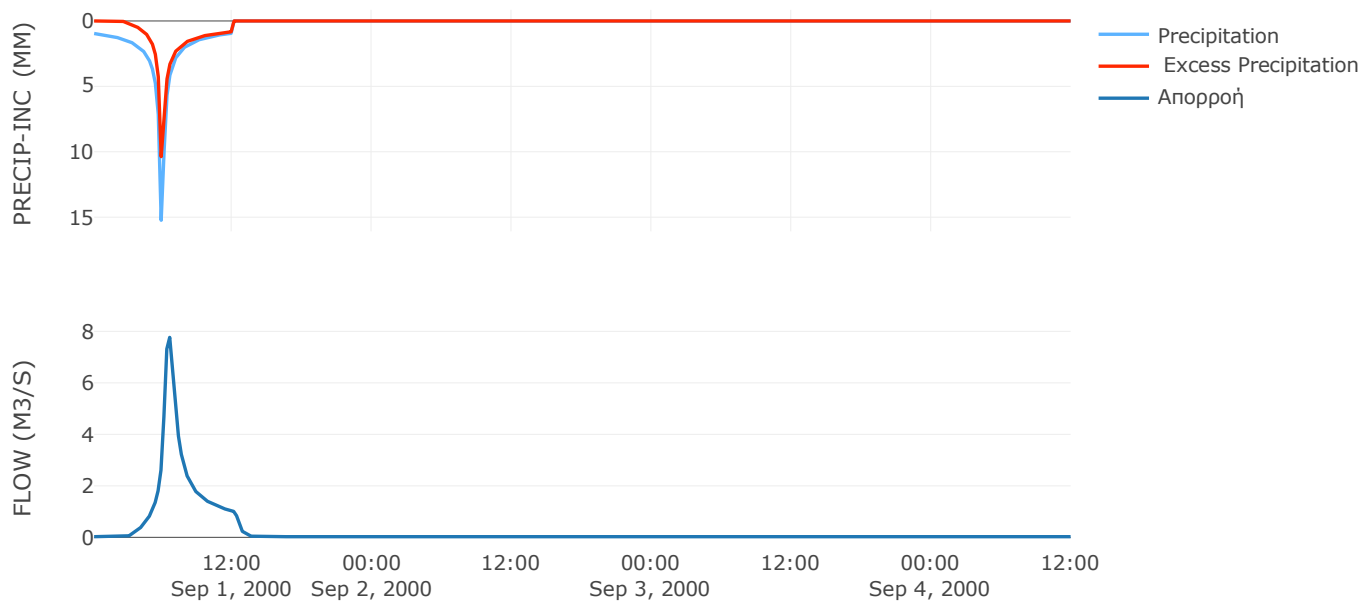
Μέθοδος Μετασχηματισμού: SCS

Χρόνος Υστέρησης	23.96
------------------	-------

Αποτελέσματα:
EL0421FR003009

Παροχή αιχμής (M3/S)	7.77
Χρονική στιγμή αιχμής	01Sep2000, 06:30
Όγκος (MM)	75.25
Όγκος βροχόπτωσης (M3)	1.17E5
Όγκος απωλειών (M3)	48079.52
Ενεργός Όγκος (M3)	68621.75
Όγκος άμεσης απορροής (M3)	68621.75
Όγκος βασικής απορροής (M3)	7664.03

Βροχόπτωση και Απορροή



Υπολεκάνη: EL0421FR003010

Έκταση (KM2) : 1.43

Κατάντη : J10

Μέθοδος Απωλειών: SCS

Ποσοστό αδιαπέρατης επιφάνειας	0
Αριθμός Καμπύλης Απορροής-CN	82.35
Αρχικές Απώλειες	10.89

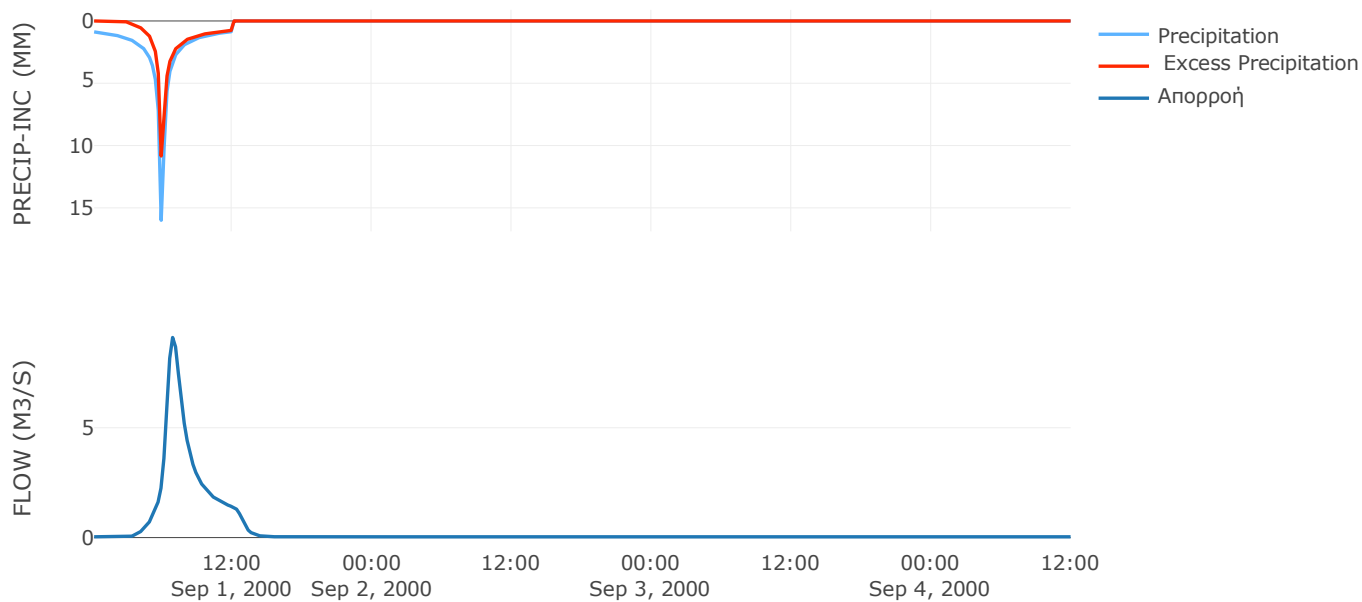
Μέθοδος Μετασχηματισμού: SCS

Χρόνος Υστέρησης	43.76
------------------	-------

Αποτελέσματα:
EL0421FR003010

Παροχή αιχμής (M3/S)	9.11
Χρονική στιγμή αιχμής	01Sep2000, 06:45
Όγκος (MM)	73.15
Όγκος βροχόπτωσης (M3)	1.6E5
Όγκος απωλειών (M3)	66224.47
Ενεργός Όγκος (M3)	93925.52
Όγκος άμεσης απορροής (M3)	93925.52
Όγκος βασικής απορροής (M3)	10825.01

Βροχόπτωση και Απορροή



Υπολεκάνη: EL0421FR003011

Έκταση (KM2) : 5.43

Κατάντη : J11

Μέθοδος Απωλειών: SCS

Ποσοστό αδιαπέρατης επιφάνειας	0
Αριθμός Καμπύλης Απορροής-CN	81.25
Αρχικές Απώλειες	11.73

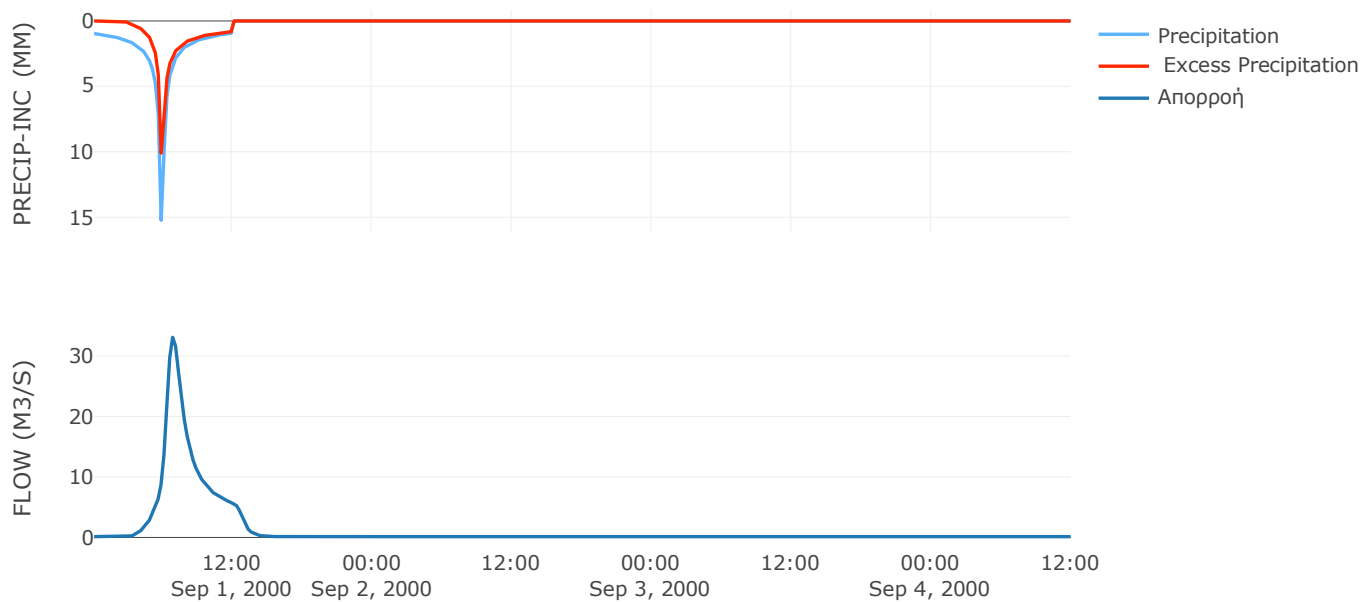
Μέθοδος Μετασχηματισμού: SCS

Χρόνος Υστέρησης	43.58
------------------	-------

Αποτελέσματα:
EL0421FR003011

Παροχή αιχμής (M3/S)	33.11
Χρονική στιγμή αιχμής	01Sep2000, 06:45
Όγκος (MM)	73.53
Όγκος βροχόπτωσης (M3)	6.25E5
Όγκος απωλειών (M3)	2.67E5
Ενεργός Όγκος (M3)	3.58E5
Όγκος άμεσης απορροής (M3)	3.58E5
Όγκος βασικής απορροής (M3)	41029.63

Βροχόπτωση και Απορροή



Υπολεκάνη: EL0421FR003012

Έκταση (KM2) : 4.3

Κατάντη : J12

Μέθοδος Απωλειών: SCS

Ποσοστό αδιαπέρατης επιφάνειας	0
Αριθμός Καμπύλης Απορροής-CN	80.81
Αρχικές Απώλειες	12.06

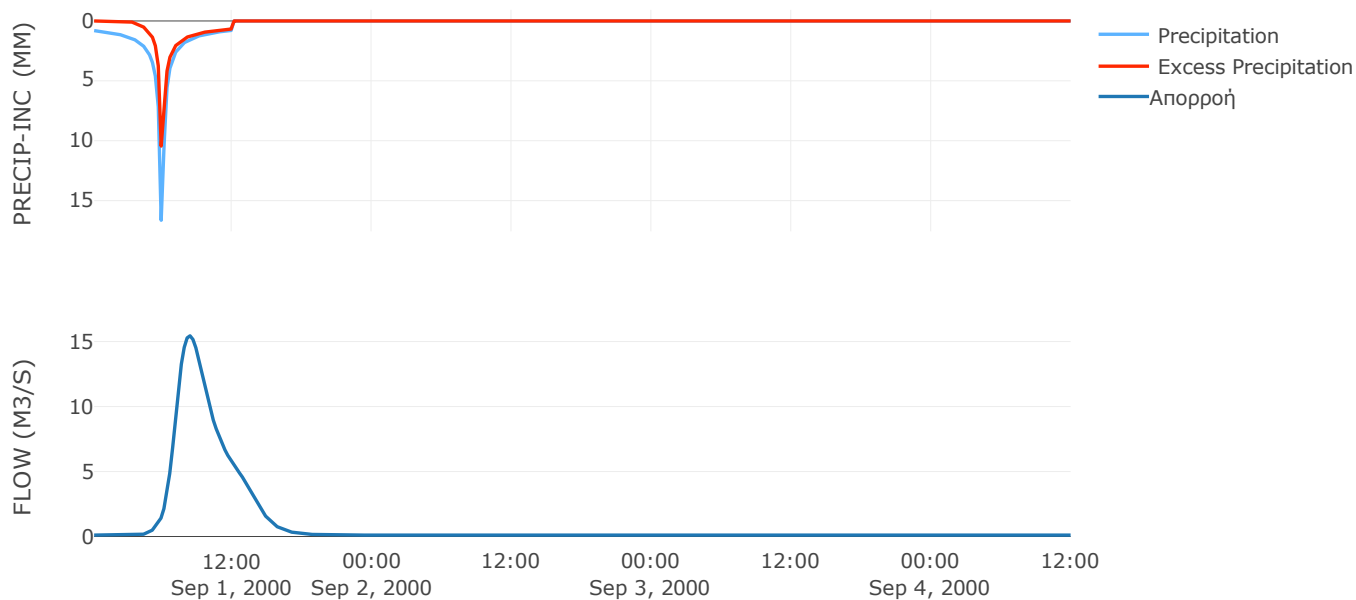
Μέθοδος Μετασχηματισμού: SCS

Χρόνος Υστέρησης	116.8
------------------	-------

Αποτελέσματα:
EL0421FR003012

Παροχή αιχμής (M3/S)	15.44
Χρονική στιγμή αιχμής	01Sep2000, 08:15
Όγκος (MM)	66.95
Όγκος βροχόπτωσης (M3)	4.66E5
Όγκος απωλειών (M3)	2.11E5
Ενεργός Όγκος (M3)	2.55E5
Όγκος άμεσης απορροής (M3)	2.55E5
Όγκος βασικής απορροής (M3)	32471.71

Βροχόπτωση και Απορροή



Υπολεκάνη: EL0421FR003013

Έκταση (KM2) : 1.25

Κατάντη : J13

Μέθοδος Απωλειών: SCS

Ποσοστό αδιαπέρατης επιφάνειας	0
Αριθμός Καμπύλης Απορροής-CN	81.81
Αρχικές Απώλειες	11.3

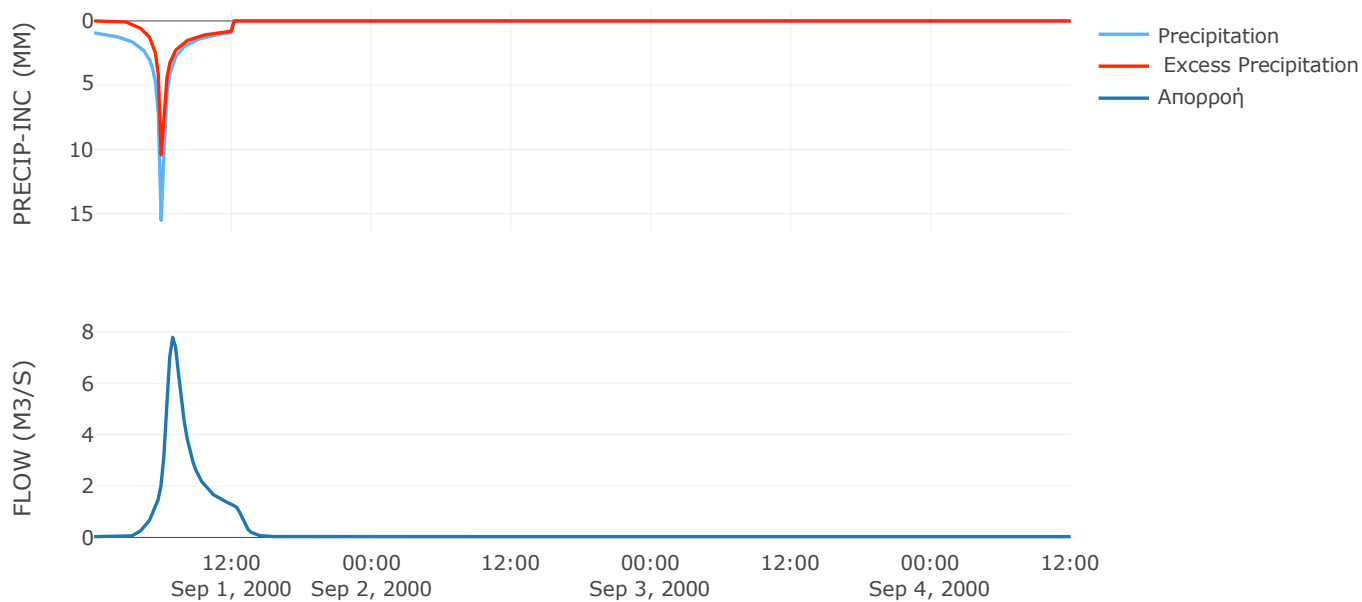
Μέθοδος Μετασχηματισμού: SCS

Χρόνος Υστέρησης	43.39
------------------	-------

Αποτελέσματα:
EL0421FR003013

Παροχή αιχμής (M3/S)	7.78
Χρονική στιγμή αιχμής	01Sep2000, 06:45
Όγκος (MM)	73.81
Όγκος βροχόπτωσης (M3)	1.42E5
Όγκος απωλειών (M3)	59444.27
Ενεργός Όγκος (M3)	82505.34
Όγκος άμεσης απορροής (M3)	82505.34
Όγκος βασικής απορροής (M3)	9414.92

Βροχόπτωση και Απορροή



Υπολεκάνη: EL0421FR003014

Έκταση (KM2) : 2.74

Κατάντη : J14

Μέθοδος Απωλειών: SCS

Ποσοστό αδιαπέρατης επιφάνειας	0
Αριθμός Καμπύλης Απορροής-CN	78.98
Αρχικές Απώλειες	13.52

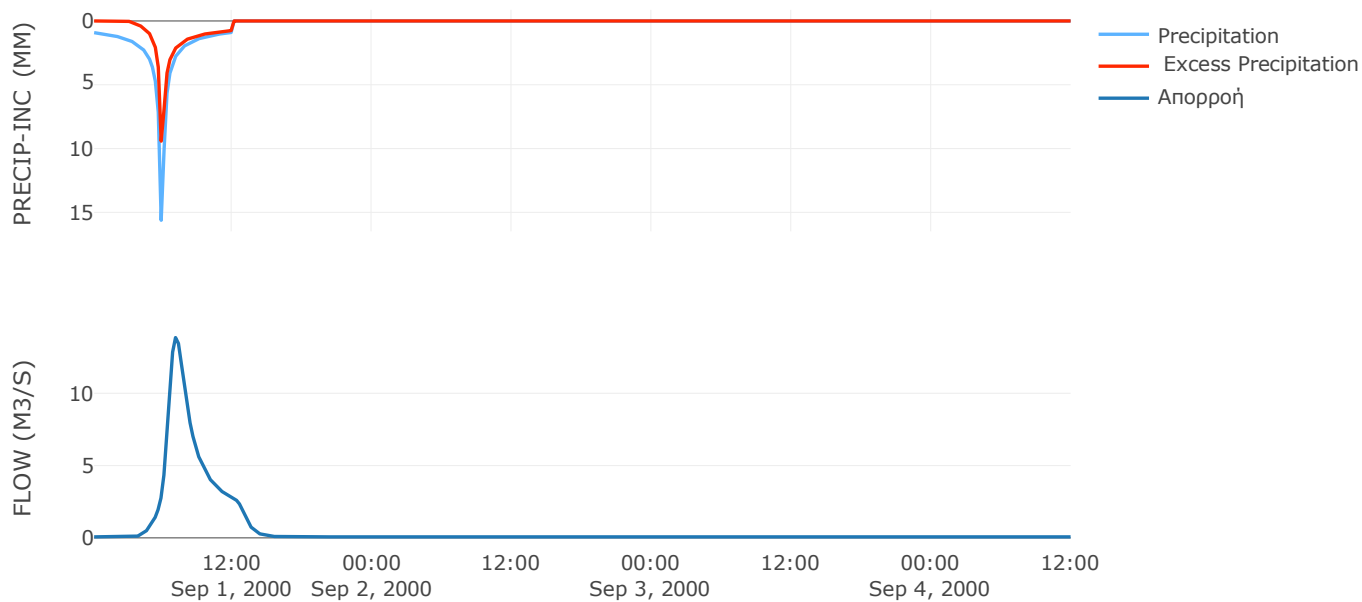
Μέθοδος Μετασχηματισμού: SCS

Χρόνος Υστέρησης	55.87
------------------	-------

Αποτελέσματα:
EL0421FR003014

Παροχή αιχμής (M3/S)	13.85
Χρονική στιγμή αιχμής	01Sep2000, 07:00
Όγκος (MM)	67.16
Όγκος βροχόπτωσης (M3)	3.11E5
Όγκος απωλειών (M3)	1.48E5
Ενεργός Όγκος (M3)	1.64E5
Όγκος άμεσης απορροής (M3)	1.64E5
Όγκος βασικής απορροής (M3)	20745.24

Βροχόπτωση και Απορροή



Υπολεκάνη: EL0421FR003015

Έκταση (KM2) : 12.69

Κατάντη : J15

Μέθοδος Απωλειών: SCS

Ποσοστό αδιαπέρατης επιφάνειας	0
Αριθμός Καμπύλης Απορροής-CN	80.39
Αρχικές Απώλειες	12.39

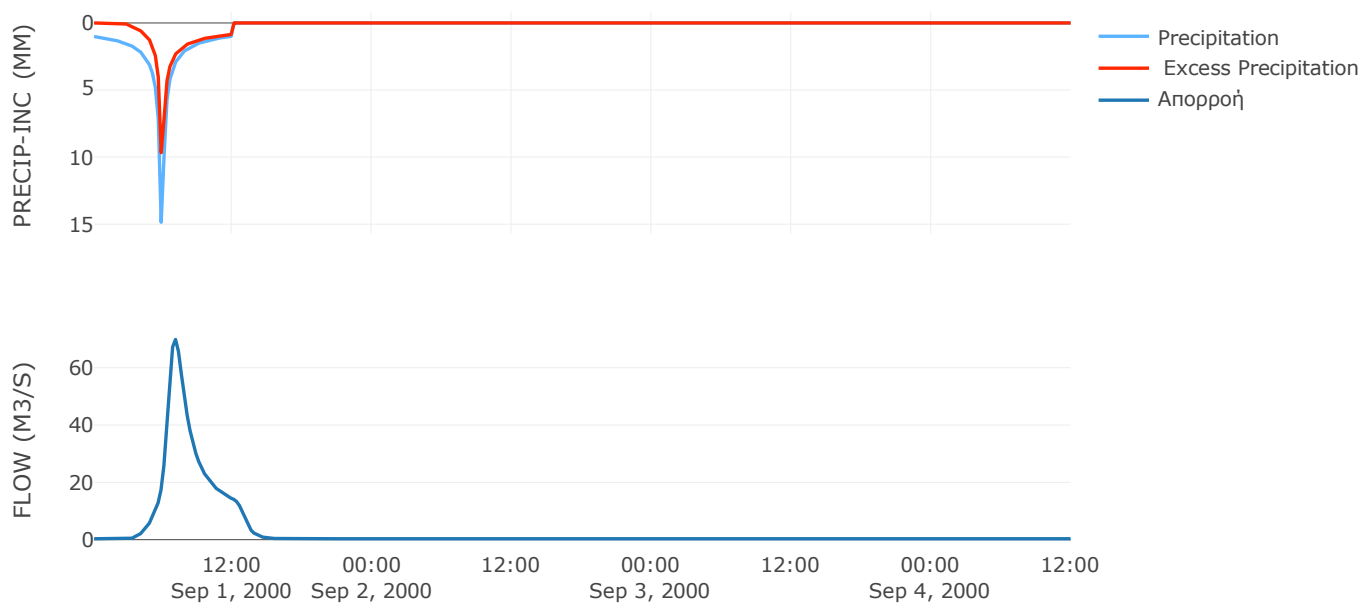
Μέθοδος Μετασχηματισμού: SCS

Χρόνος Υστέρησης	52.12
------------------	-------

Αποτελέσματα:
EL0421FR003015

Παροχή αιχμής (M3/S)	69.85
Χρονική στιγμή αιχμής	01Sep2000, 07:00
Όγκος (MM)	73.63
Όγκος βροχόπτωσης (M3)	1.49E6
Όγκος απωλειών (M3)	6.52E5
Ενεργός Όγκος (M3)	8.38E5
Όγκος άμεσης απορροής (M3)	8.38E5
Όγκος βασικής απορροής (M3)	95918.26

Βροχόπτωση και Απορροή



Υπολεκάνη: EL0421FR003016

Έκταση (KM2) : 1.7

Κατάντη : J16

Μέθοδος Απωλειών: SCS

Ποσοστό αδιαπέρατης επιφάνειας	0
Αριθμός Καμπύλης Απορροής-CN	80.28
Αρχικές Απώλειες	12.47

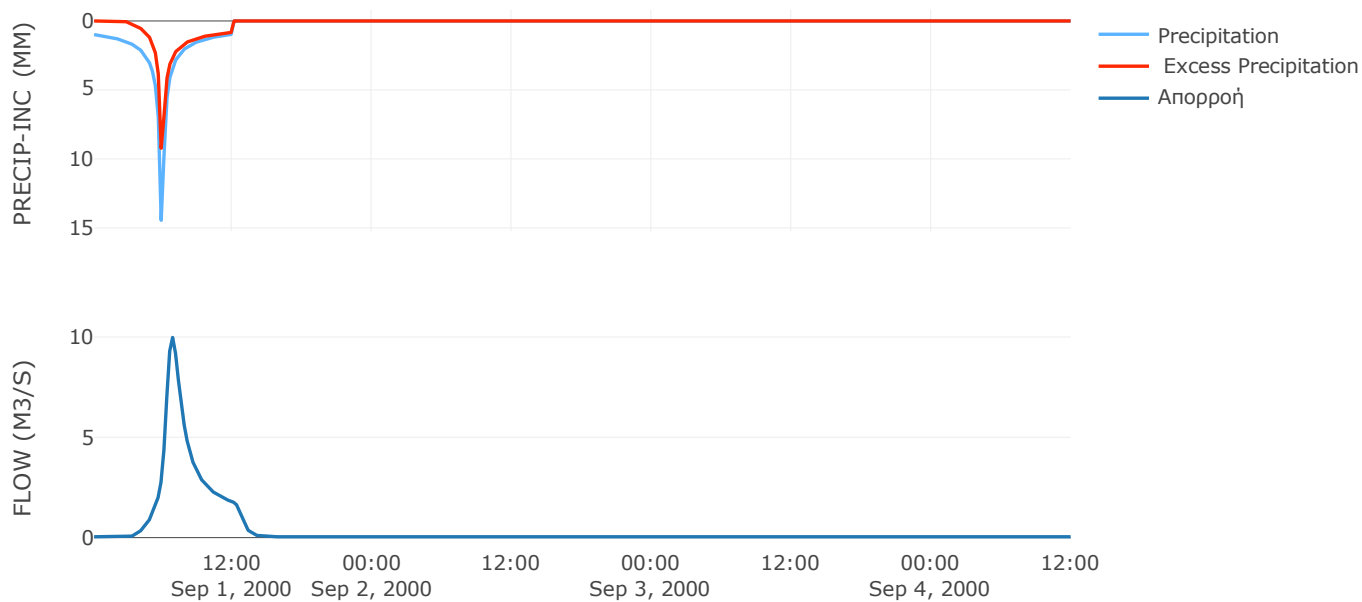
Μέθοδος Μετασχηματισμού: SCS

Χρόνος Υστέρησης	39.96
------------------	-------

Αποτελέσματα:
EL0421FR003016

Παροχή αιχμής (M3/S)	9.97
Χρονική στιγμή αιχμής	01Sep2000, 06:45
Όγκος (MM)	70.75
Όγκος βροχόπτωσης (M3)	1.94E5
Όγκος απωλειών (M3)	86990.3
Ενεργός Όγκος (M3)	1.07E5
Όγκος άμεσης απορροής (M3)	1.07E5
Όγκος βασικής απορροής (M3)	12854.12

Βροχόπτωση και Απορροή



Υπολεκάνη: EL0421FR003017

Έκταση (KM2) : 1.9

Κατάντη : J17

Μέθοδος Απωλειών: SCS

Ποσοστό αδιαπέρατης επιφάνειας	0
Αριθμός Καμπύλης Απορροής-CN	80.89
Αρχικές Απώλειες	12

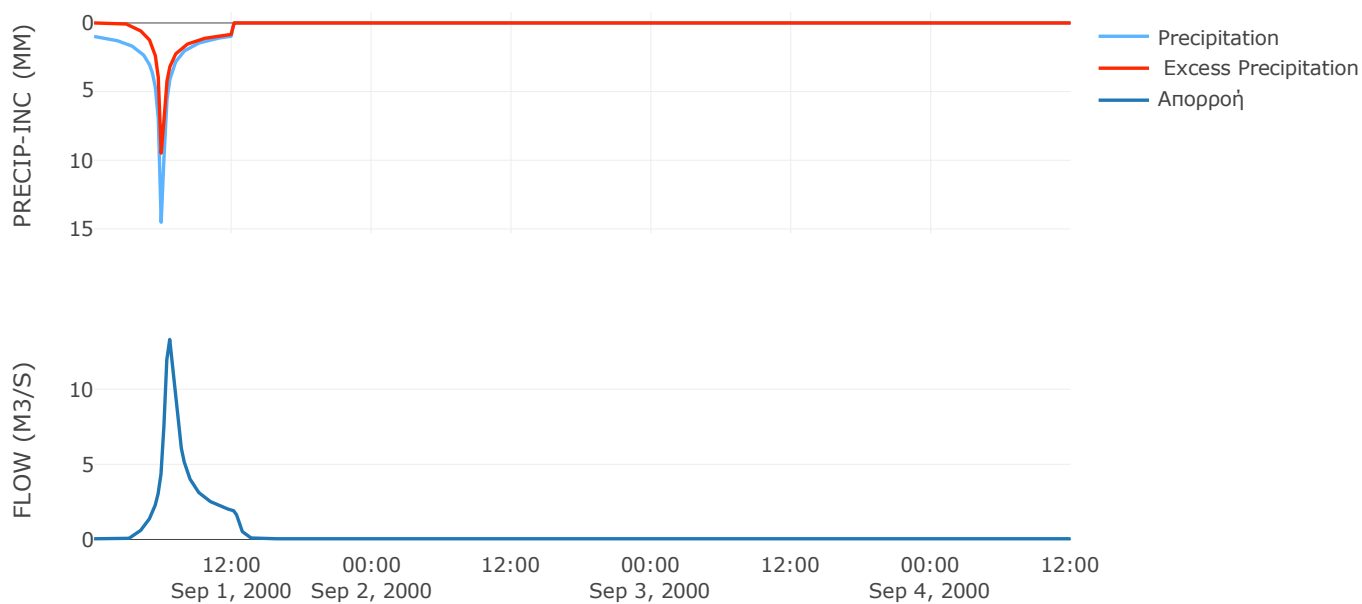
Μέθοδος Μετασχηματισμού: SCS

Χρόνος Υστέρησης	26.16
------------------	-------

Αποτελέσματα:
EL0421FR003017

Παροχή αιχμής (M3/S)	13.31
Χρονική στιγμή αιχμής	01Sep2000, 06:30
Όγκος (MM)	72.17
Όγκος βροχόπτωσης (M3)	2.18E5
Όγκος απωλειών (M3)	94811.44
Ενεργός Όγκος (M3)	1.23E5
Όγκος άμεσης απορροής (M3)	1.23E5
Όγκος βασικής απορροής (M3)	14383.96

Βροχόπτωση και Απορροή



2.2 Δεδομένα και Υδρογραφήματα Σχεδιασμού Κλάδων Υδρογραφικού Δικτύου

Κλάδος: R21

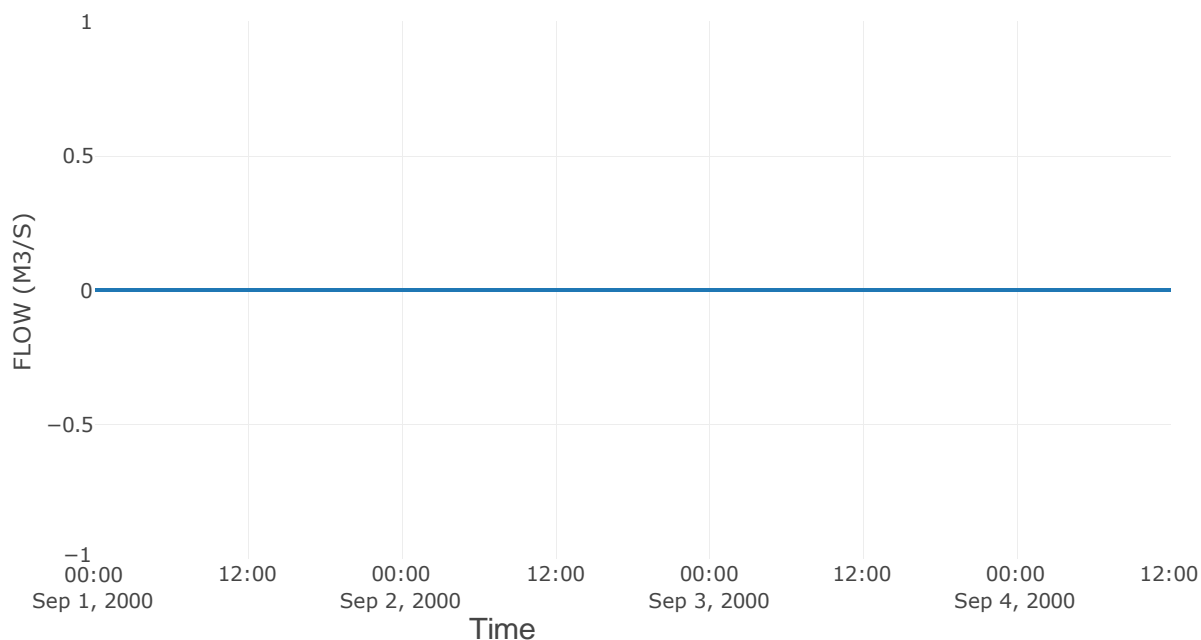
Κατάντη : J1

Μέθοδος Διόδευσης	Χρόνος
Αρχική Μεταβλητή	Combined Inflow
Χρόνος Υστέρησης	13.26

Αποτελέσματα: R21

Παροχή Αιχμής(M3/S)	0
Χρονική στιγμή αιχμής	31Aug2000, 24:00
Παροχή Αιχμής Εισόδου(M3/S)	0
Όγκος Εισροής (M3)	0

Απορροή



Κλάδος: R43

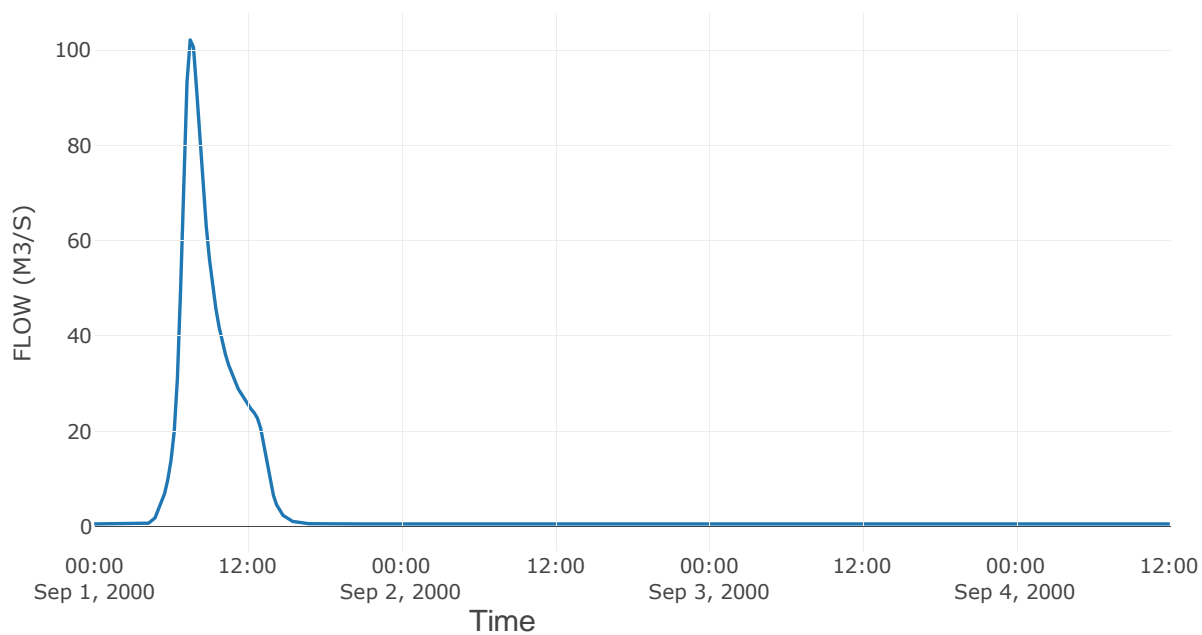
Κατάντη : J3

Μέθοδος Διόδευσης	Χρόνος
Αρχική Μεταβλητή	Combined Inflow
Χρόνος Υστέρησης	32.39

Αποτελέσματα: R43

Παροχή Αιχμής(M3/S)	102.09
Χρονική στιγμή αιχμής	01Sep2000, 07:30
Όγκος(MM)	66.47
Παροχή Αιχμής Εισόδου (M3/S)	103.06
Όγκος Εισροής(M3)	1.44E6

Απορροή



Κλάδος: R65

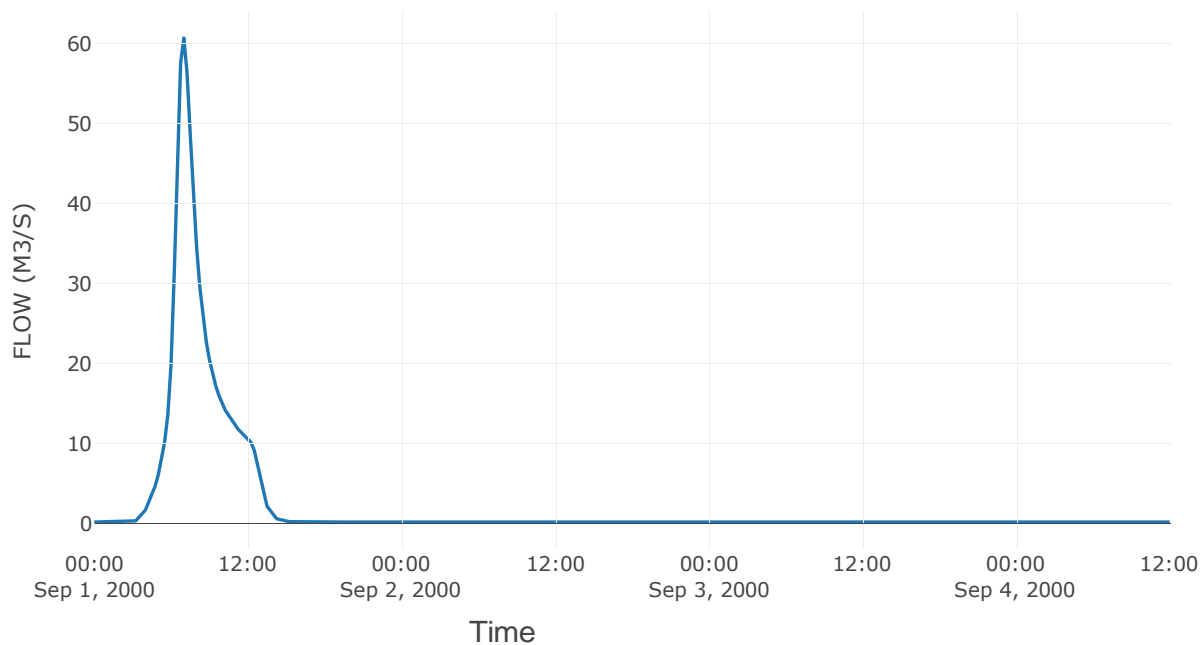
Κατάντη : J5

Μέθοδος Διόδευσης	Χρόνος
Αρχική Μεταβλητή	Combined Inflow
Χρόνος Υστέρησης	7.17

Αποτελέσματα: R65

Παροχή Αιχμής(M3/S)	60.69
Χρονική στιγμή αιχμής	01Sep2000, 07:00
Όγκος(MM)	76.87
Παροχή Αιχμής Εισόδου (M3/S)	61.43
Όγκος Εισροής(M3)	7.41E5

Απορροή



Κλάδος: R76

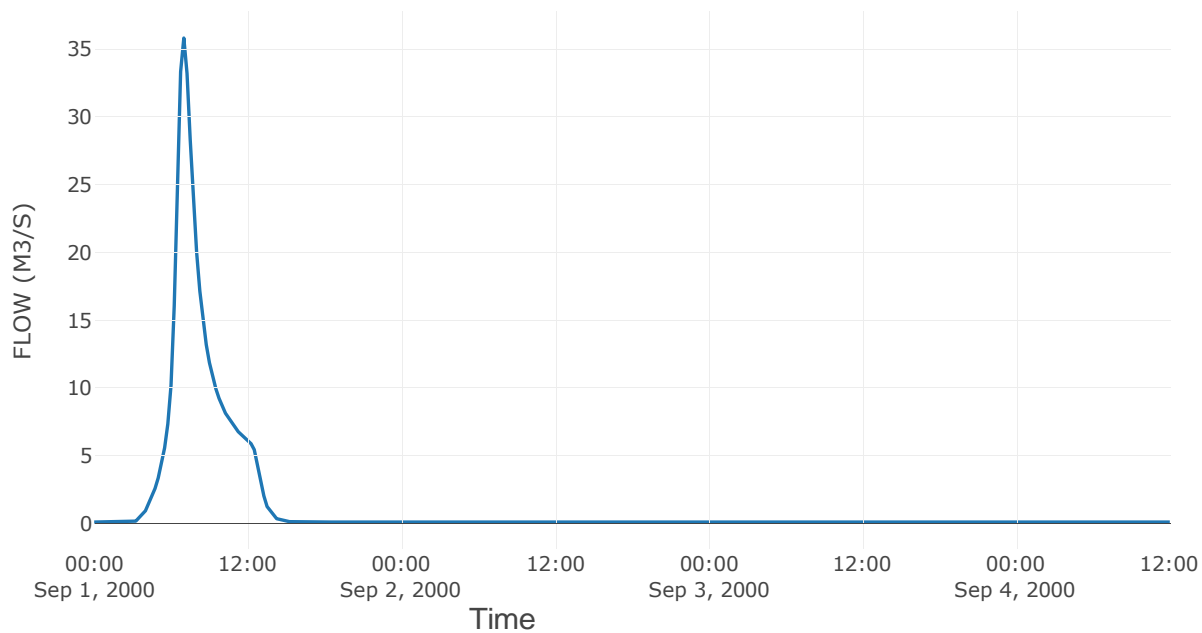
Κατάντη : J6

Μέθοδος Διόδευσης	Χρόνος
Αρχική Μεταβλητή	Combined Inflow
Χρόνος Υστέρησης	14.99

Αποτελέσματα: R76

Παροχή Αιχμής(M3/S)	35.8
Χρονική στιγμή αιχμής	01Sep2000, 07:00
Όγκος(MM)	78.81
Παροχή Αιχμής Εισόδου (M3/S)	35.97
Όγκος Εισροής(M3)	4.23E5

Απορροή



Κλάδος: R98

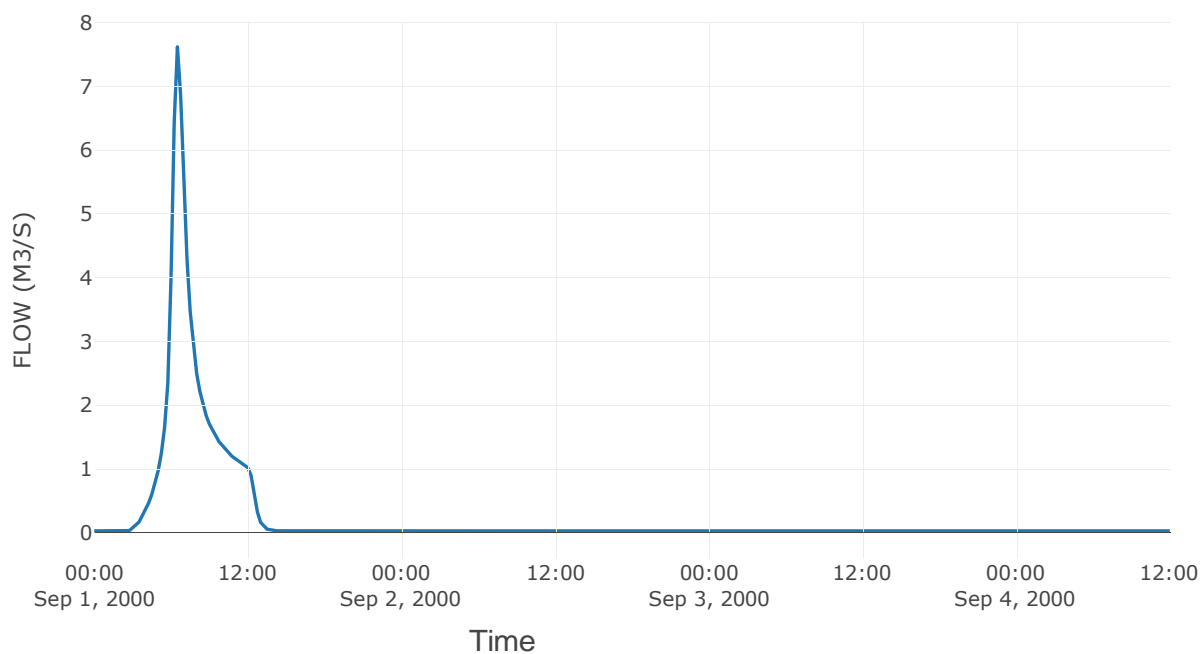
Κατάντη : J8

Μέθοδος Διόδευσης	Χρόνος
Αρχική Μεταβλητή	Combined Inflow
Χρόνος Υστέρησης	6

Αποτελέσματα: R98

Παροχή Αιχμής(M3/S)	7.62
Χρονική στιγμή αιχμής	01Sep2000, 06:30
Όγκος(MM)	75.25
Παροχή Αιχμής Εισόδου (M3/S)	7.77
Όγκος Εισροής(M3)	76285.77

Απορροή



Κλάδος: R1110

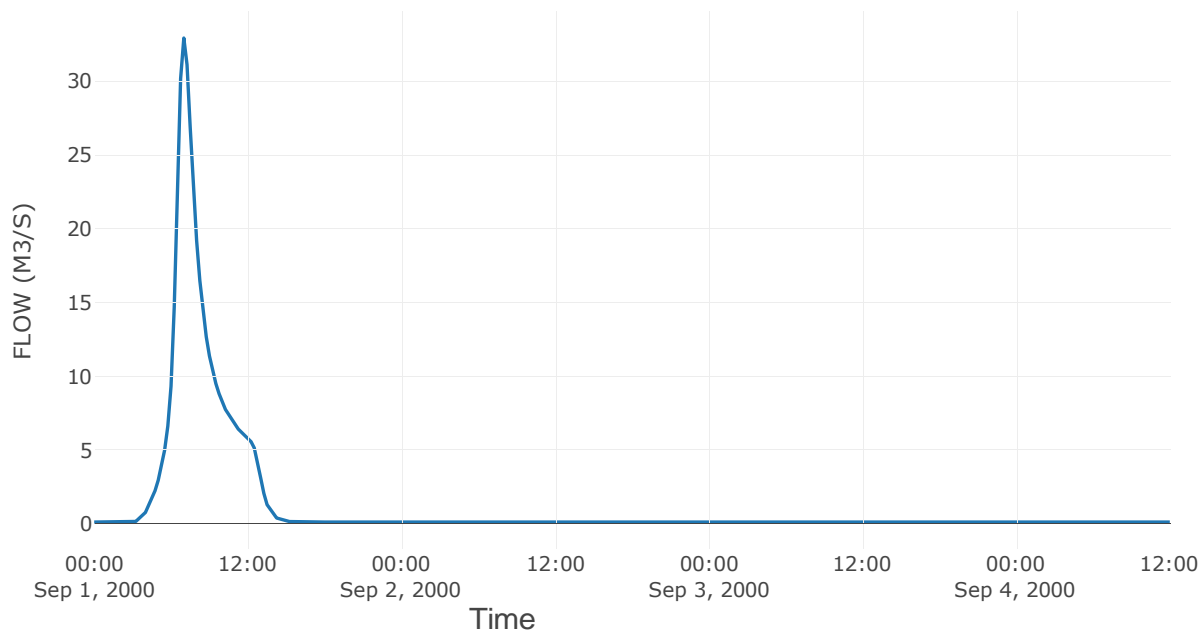
Κατάντη : J10

Μέθοδος Διόδευσης	Χρόνος
Αρχική Μεταβλητή	Combined Inflow
Χρόνος Υστέρησης	13.58

Αποτελέσματα: R1110

Παροχή Αιχμής(M3/S)	32.92
Χρονική στιγμή αιχμής	01Sep2000, 07:00
Όγκος(MM)	73.53
Παροχή Αιχμής Εισόδου (M3/S)	33.11
Όγκος Εισροής(M3)	3.99E5

Απορροή



Κλάδος: R1312

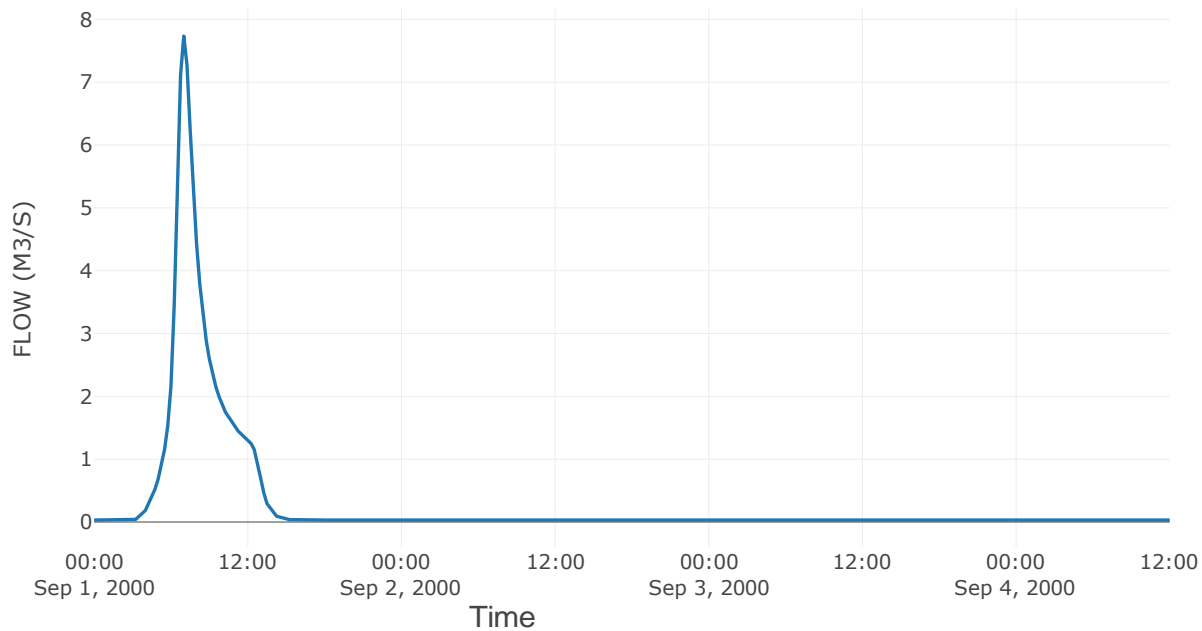
Κατάντη : J12

Μέθοδος Διόδευσης	Χρόνος
Αρχική Μεταβλητή	Combined Inflow
Χρόνος Υστέρησης	13.8

Αποτελέσματα: R1312

Παροχή Αιχμής(M3/S)	7.73
Χρονική στιγμή αιχμής	01Sep2000, 07:00
Όγκος(MM)	73.81
Παροχή Αιχμής Εισόδου (M3/S)	7.78
Όγκος Εισροής(M3)	91920.26

Απορροή



Κλάδος: R1514

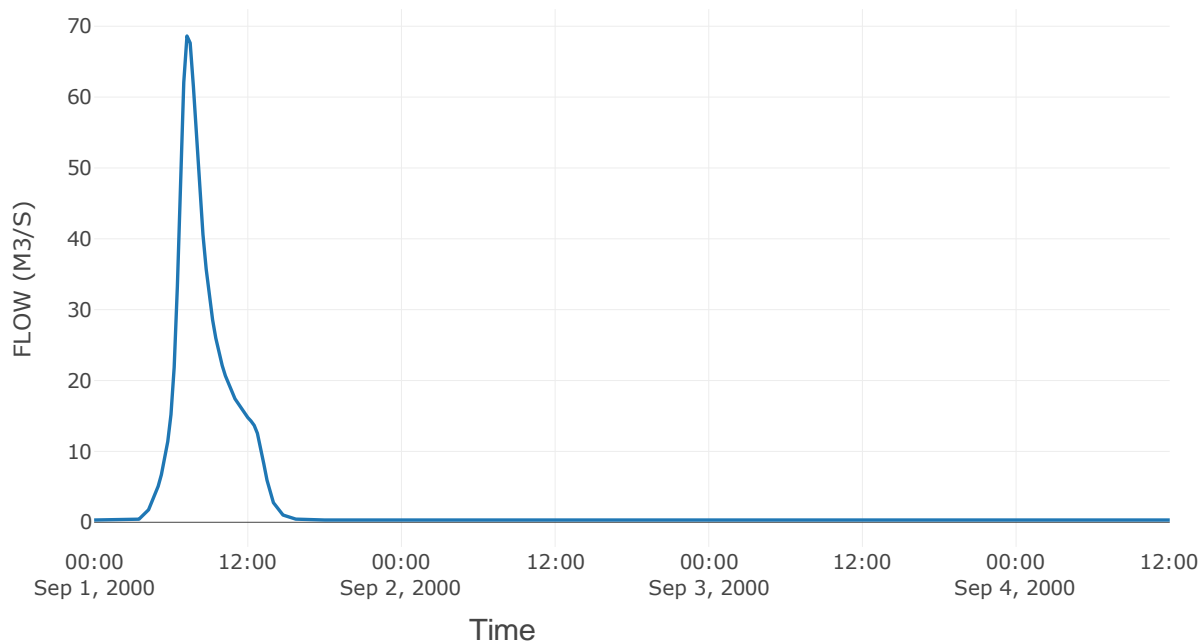
Κατάντη : J14

Μέθοδος Διόδευσης	Χρόνος
Αρχική Μεταβλητή	Combined Inflow
Χρόνος Υστέρησης	22.74

Αποτελέσματα: R1514

Παροχή Αιχμής(M3/S)	68.62
Χρονική στιγμή αιχμής	01Sep2000, 07:15
Όγκος(MM)	73.63
Παροχή Αιχμής Εισόδου (M3/S)	69.85
Όγκος Εισροής(M3)	9.34E5

Απορροή



Κλάδος: R1716

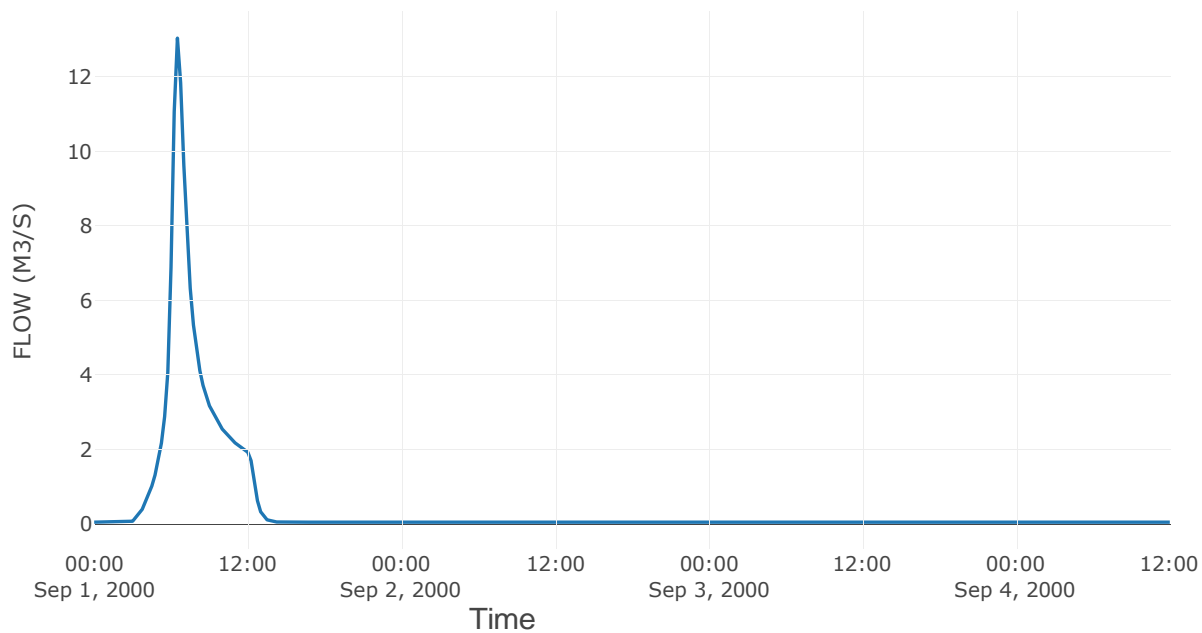
Κατάντη : J16

Μέθοδος Διόδευσης	Χρόνος
Αρχική Μεταβλητή	Combined Inflow
Χρόνος Υστέρησης	3.97

Αποτελέσματα: R1716

Παροχή Αιχμής(M3/S)	13.04
Χρονική στιγμή αιχμής	01Sep2000, 06:30
Όγκος(MM)	72.17
Παροχή Αιχμής Εισόδου (M3/S)	13.31
Όγκος Εισροής(M3)	1.37E5

Απορροή



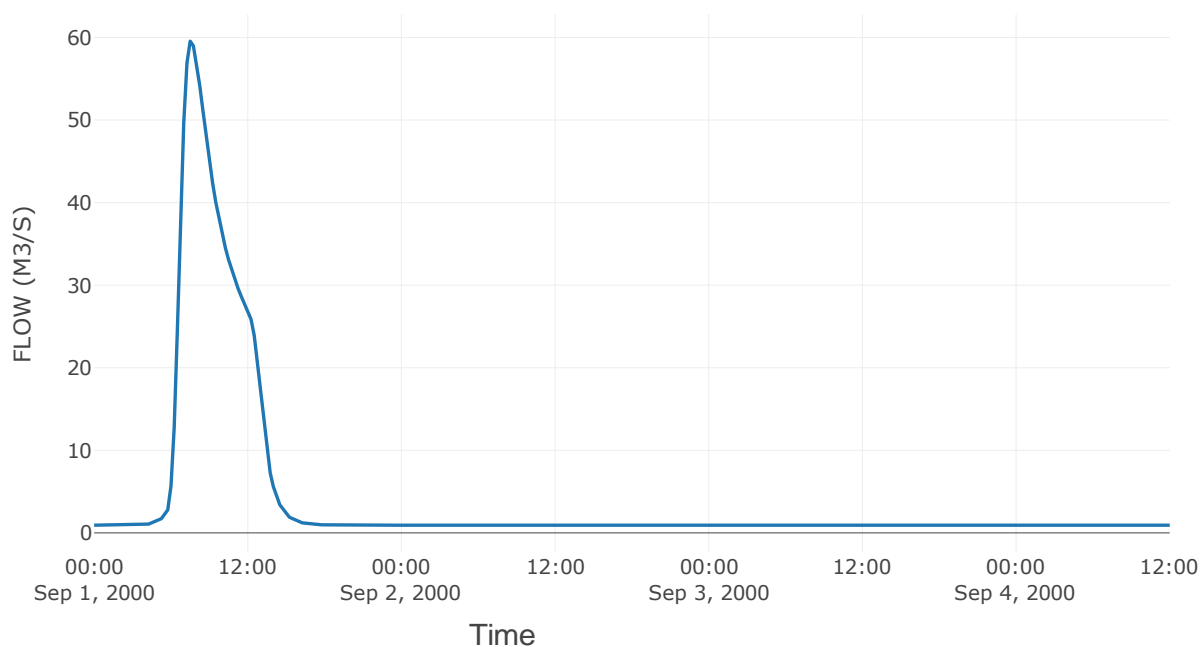
2.3 Δεδομένα και Υδρογραφήματα Σχεδιασμού Κόμβων Υδρογραφικού Δικτύου

Κόμβος εξόδου: J1

Αποτέλεσμα
τα: J1

Παροχή αιχμής (M3/S)	59.55
Χρονική στιγμή αιχμής	01Sep2000, 07:30
Όγκος (MM)	33.46

Απορροή



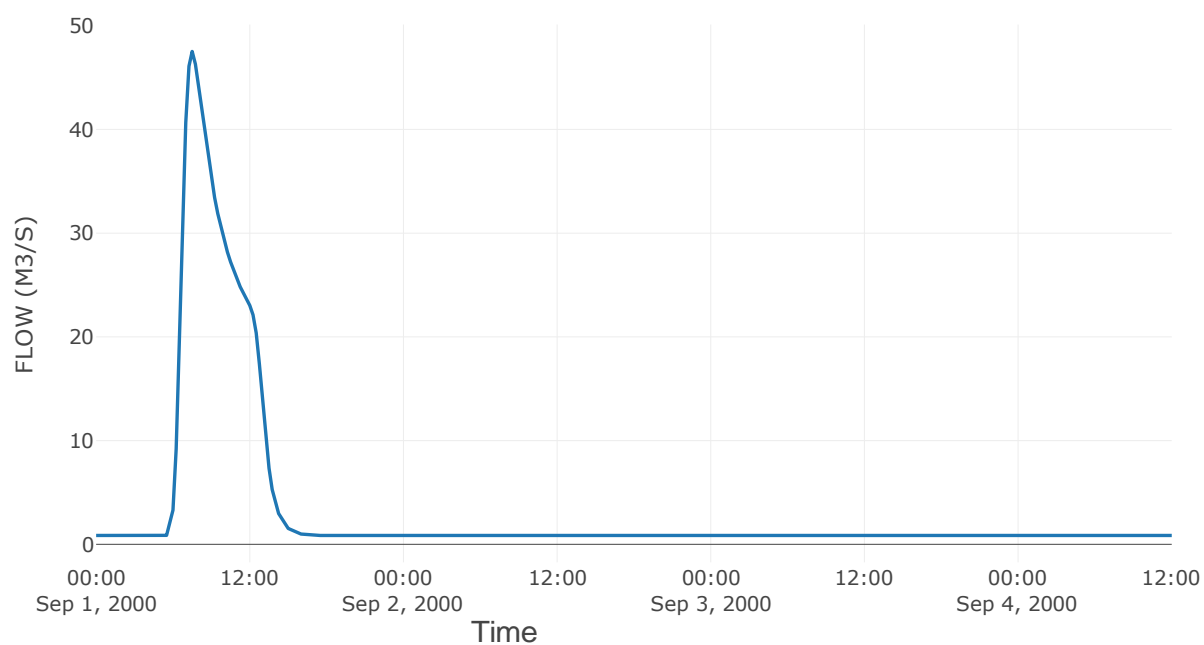
Κόμβος: J2

Κατάντη : J1

Αποτελέσματα: J2

Παροχή Αιχμής(M3/S)	47.52
Χρονική στιγμή αιχμής	01Sep2000, 07:30
Όγκος(MM)	29.87

Απορροή

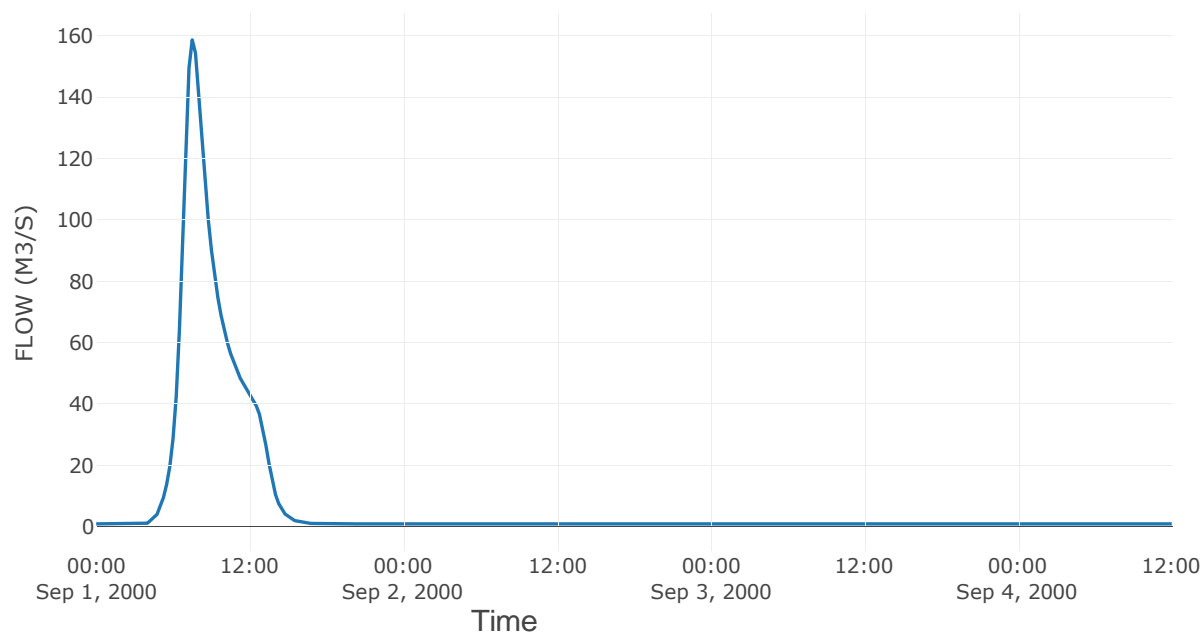


Κόμβος εξόδου: J3

Αποτελέσμα
τα: J3

Παροχή αιχμής (M3/S)	158.69
Χρονική στιγμή αιχμής	01Sep2000, 07:30
Όγκος (MM)	64.73

Απορροή



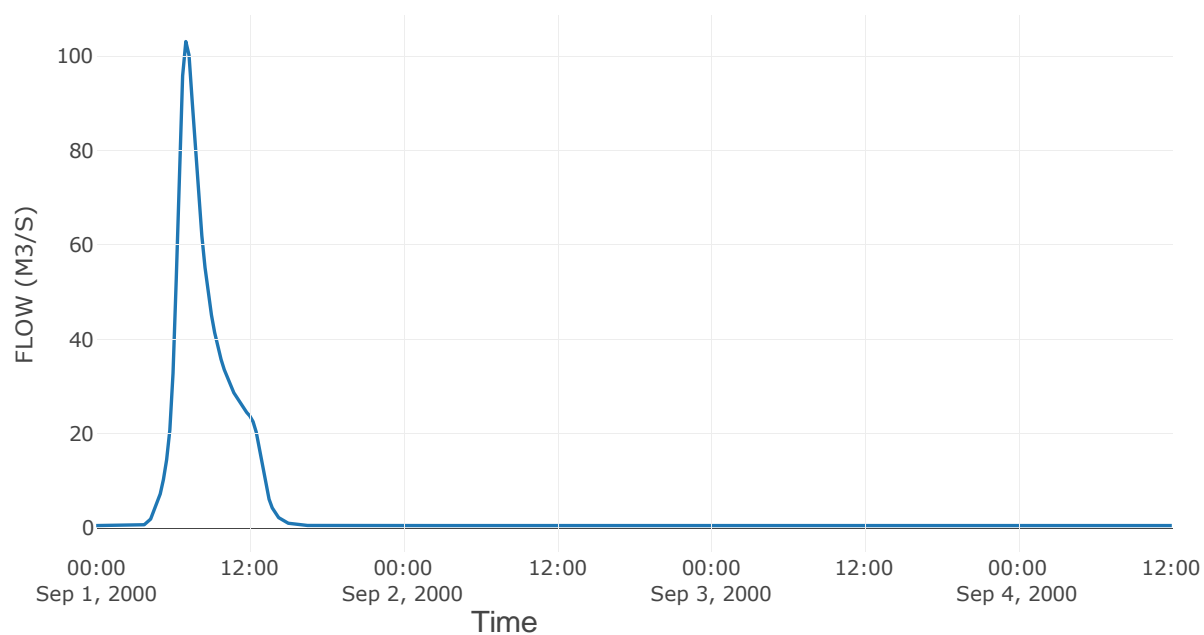
Κόμβος: J4

Κατάντη : R43

Αποτελέσματα: J4

Παροχή Αιχμής(M3/S)	103.06
Χρονική στιγμή αιχμής	01Sep2000, 07:00
Όγκος(MM)	66.47

Απορροή

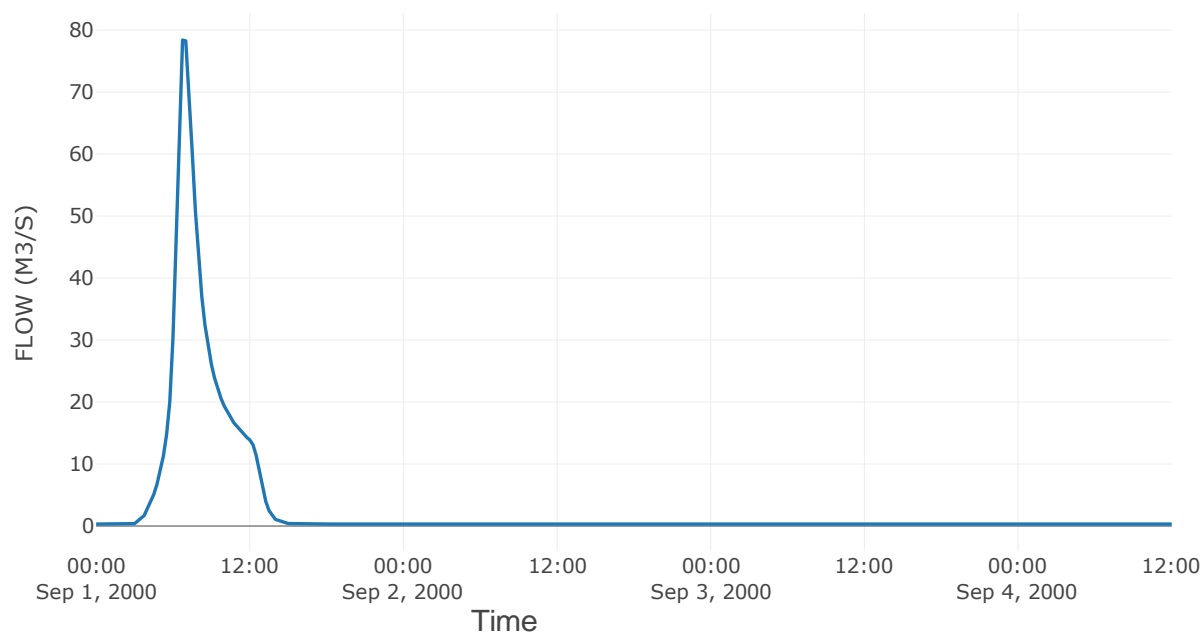


Κόμβος εξόδου: J5

Αποτέλεσμα
τα: J5

Παροχή αιχμής (M3/S)	78.41
Χρονική στιγμή αιχμής	01Sep2000, 06:45
Όγκος (MM)	76.21

Απορροή



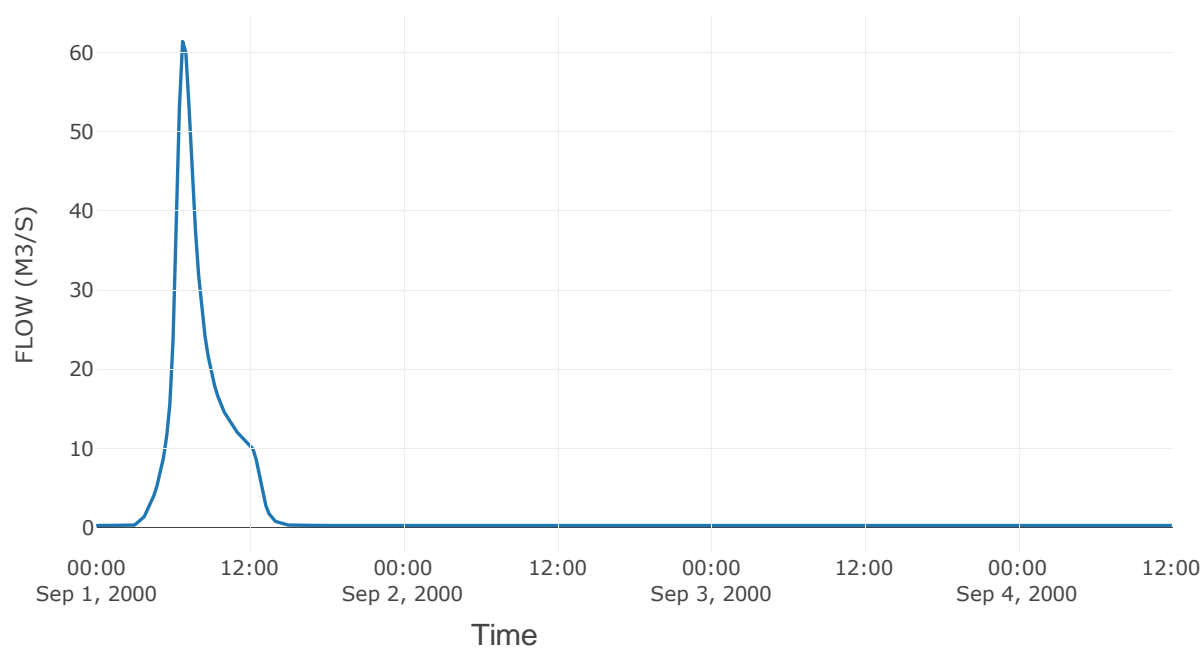
Κόμβος: J6

Κατάντη : R65

Αποτελέσματα: J6

Παροχή Αιχμής(M3/S)	61.43
Χρονική στιγμή αιχμής	01Sep2000, 06:45
Όγκος(MM)	76.87

Απορροή



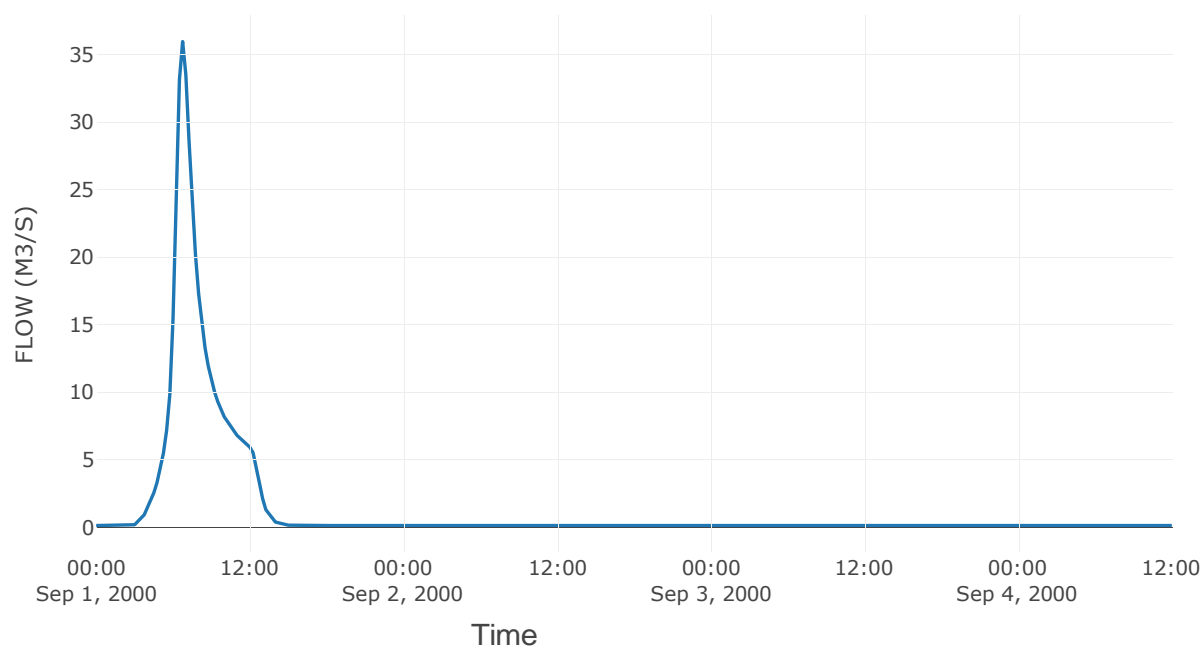
Κόμβος: J7

Κατάντη : R76

Αποτελέσματα: J7

Παροχή Αιχμής(M3/S)	35.97
Χρονική στιγμή αιχμής	01Sep2000, 06:45
Όγκος(MM)	78.81

Απορροή

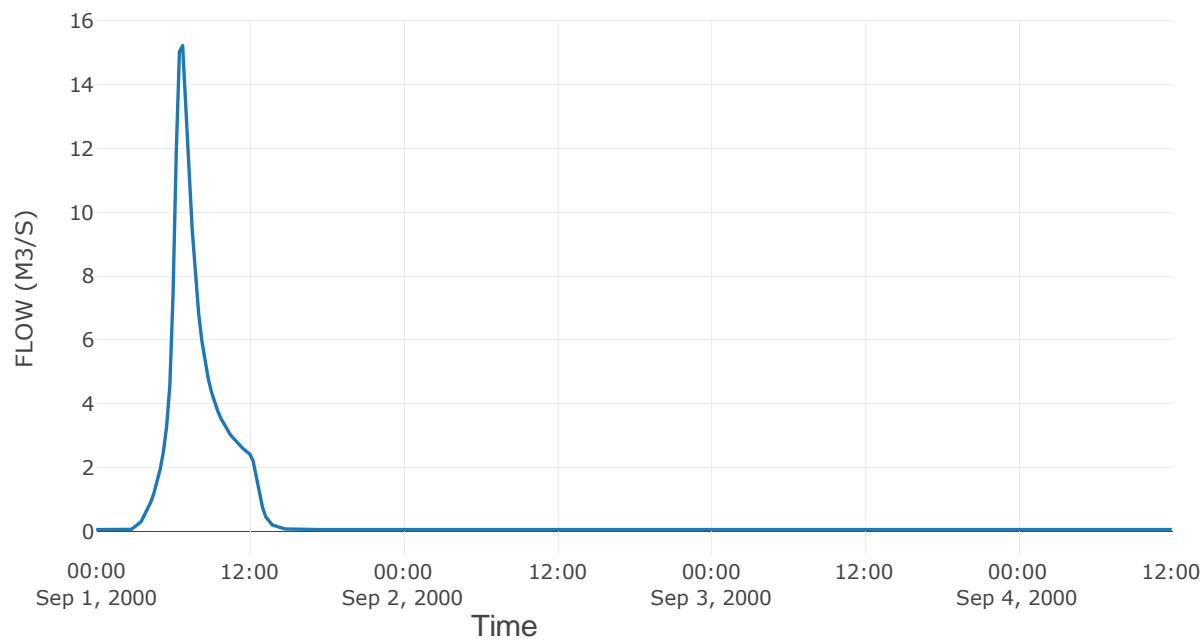


Κόμβος εξόδου: J8

Αποτελέσματα: J8

Παροχή Αιχμής(M3/S)	15.22
Χρονική στιγμή αιχμής	01Sep2000, 06:45
Όγκος(MM)	75.55

Απορροή



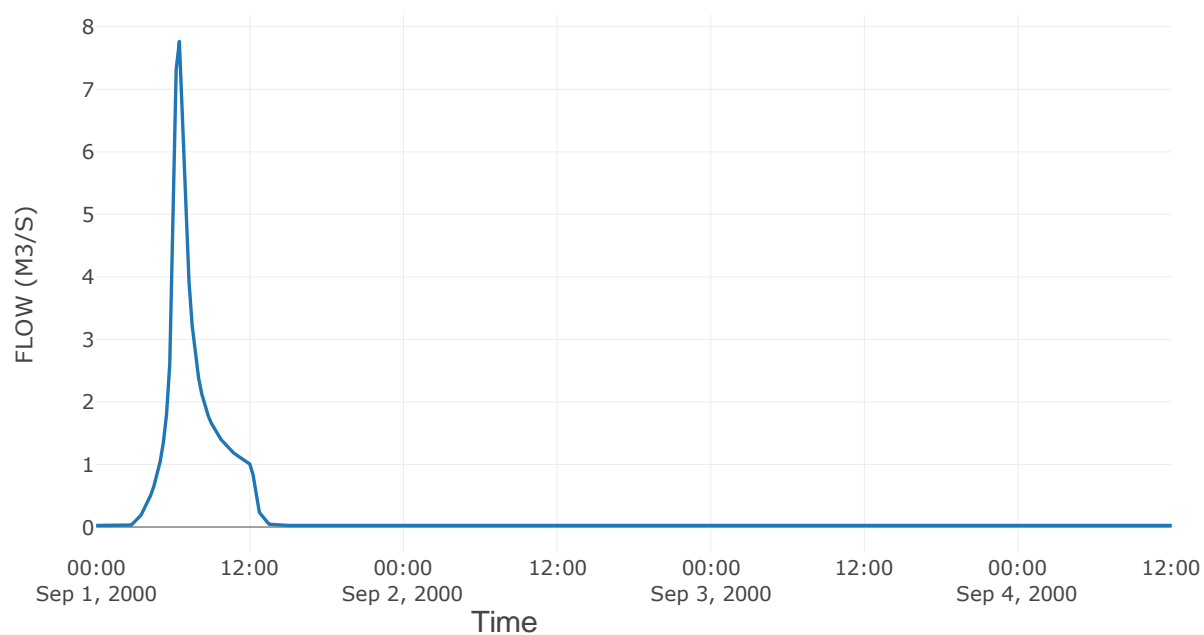
Κόμβος: J9

Κατάντη : R98

Αποτελέσματα: J9

Παροχή Αιχμής(M3/S)	7.77
Χρονική στιγμή αιχμής	01Sep2000, 06:30
Όγκος(MM)	75.25

Απορροή

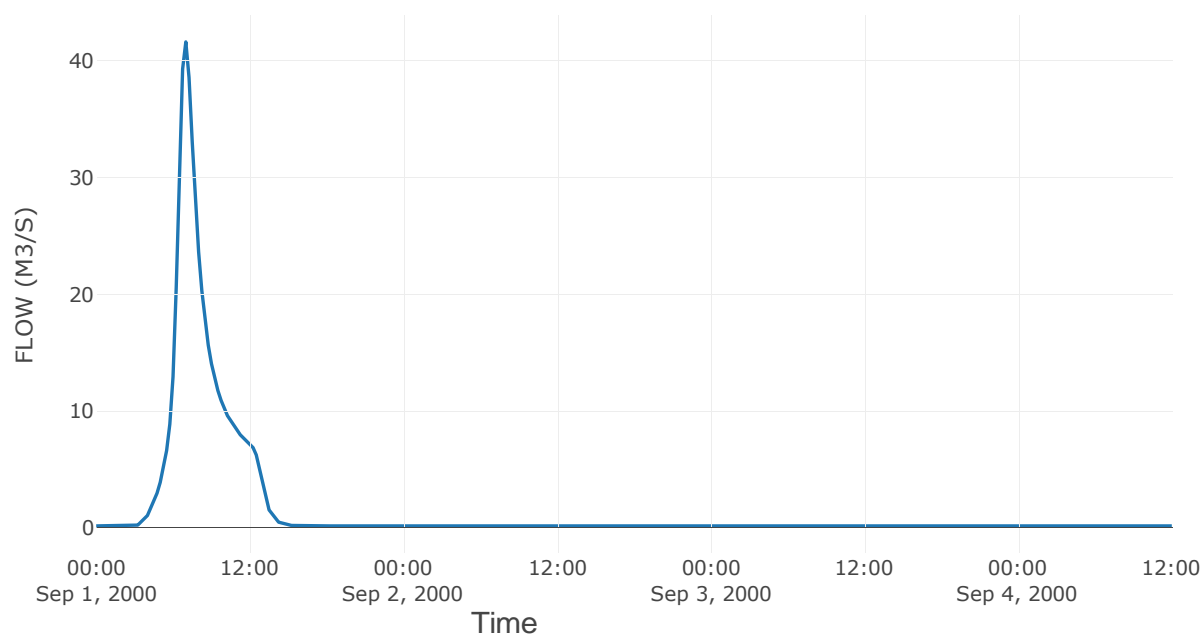


Κόμβος εξόδου: J10

Αποτελέσμα
α: J10

Παροχή αιχμής (M3/S)	41.6
Χρονική στιγμή αιχμής	01Sep2000, 07:00
Όγκος (MM)	73.45

Απορροή



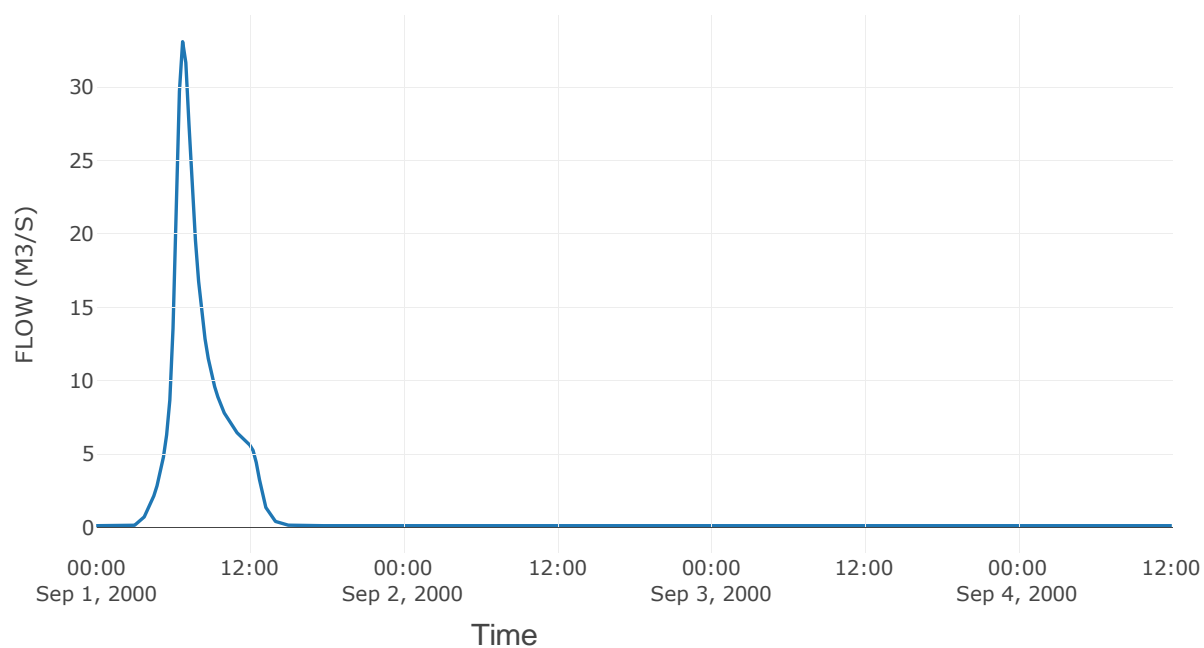
Κόμβος: J11

Κατάντη : R1110

Αποτελέσματα: J11

Παροχή Αιχμής(M3/S)	33.11
Χρονική στιγμή αιχμής	01Sep2000, 06:45
Όγκος(MM)	73.53

Απορροή

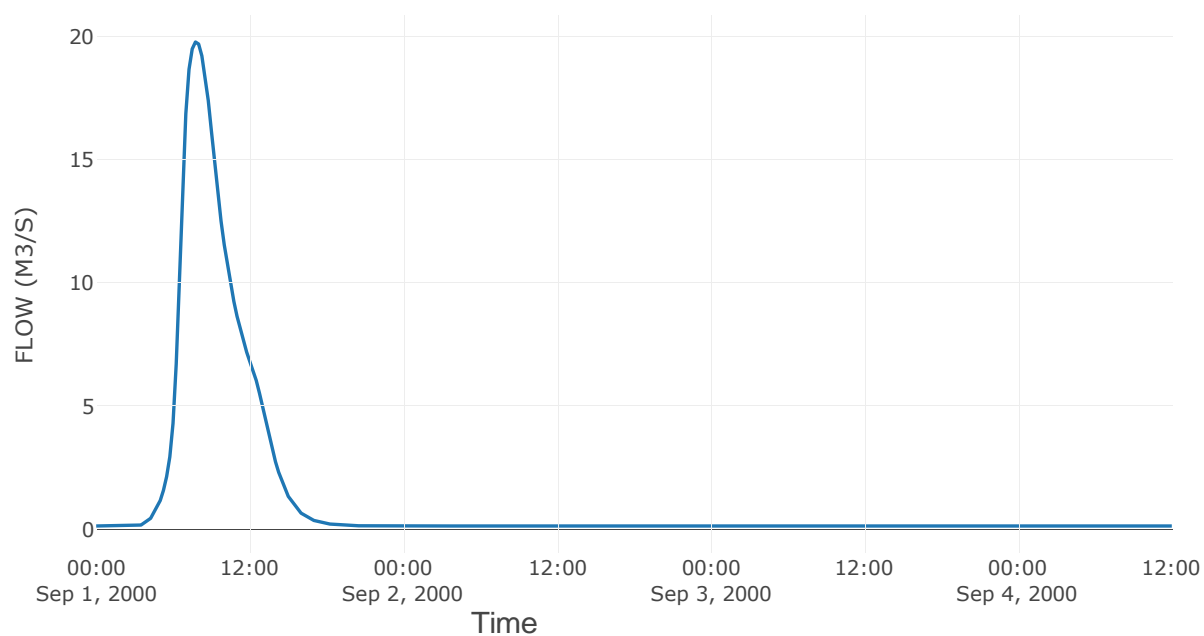


Κόμβος εξόδου: J12

Αποτελέσμα
α: J12

Παροχή αιχμής (M3/S)	19.79
Χρονική στιγμή αιχμής	01Sep2000, 07:45
Όγκος (MM)	68.49

Απορροή



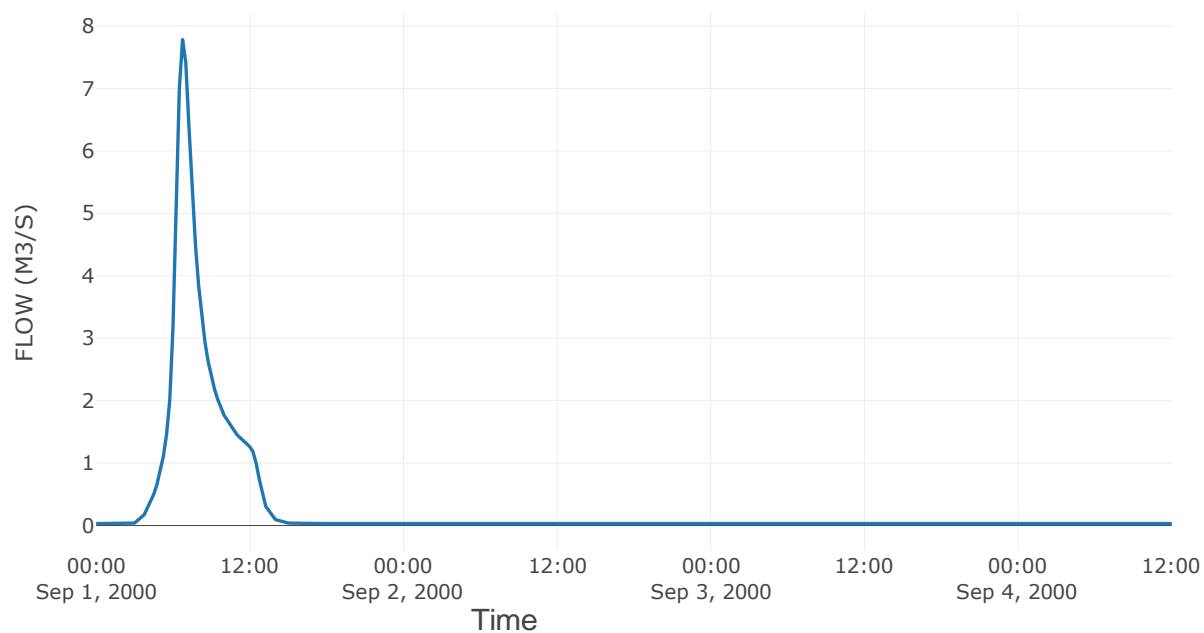
Κόμβος: J13

Κατάντη : R1312

Αποτελέσματα: J13

Παροχή Αιχμής(M3/S)	7.78
Χρονική στιγμή αιχμής	01Sep2000, 06:45
Όγκος(MM)	73.81

Απορροή

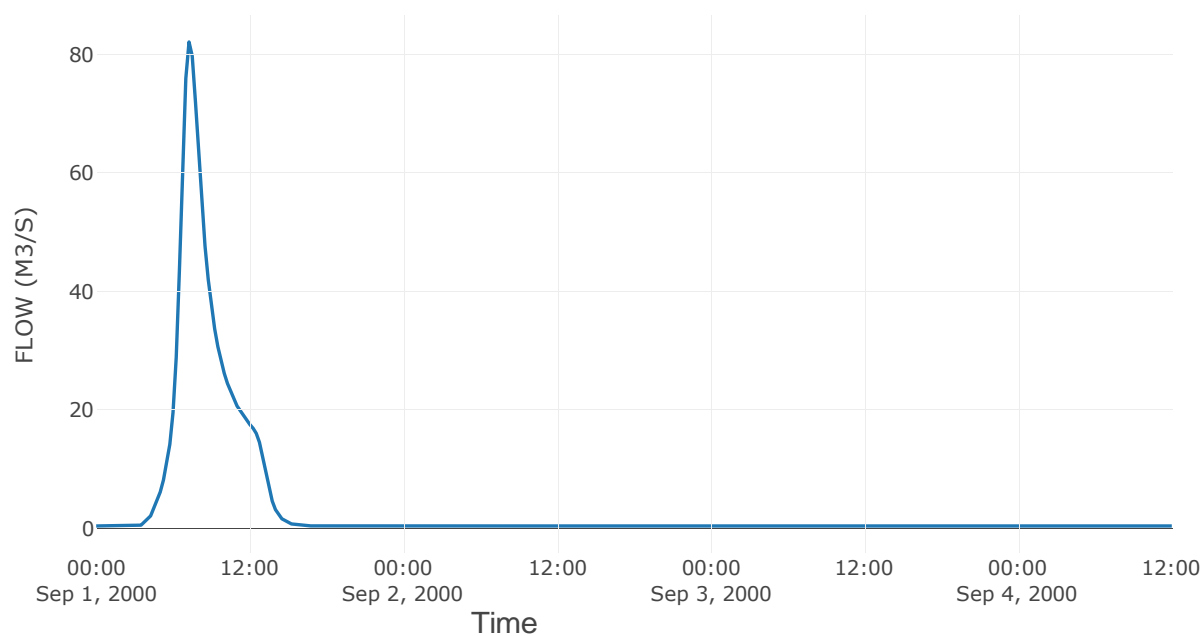


Κόμβος εξόδου: J14

Αποτελέσμα
α: J14

Παροχή αιχμής (M3/S)	82.07
Χρονική στιγμή αιχμής	01Sep2000, 07:15
Όγκος (MM)	72.48

Απορροή



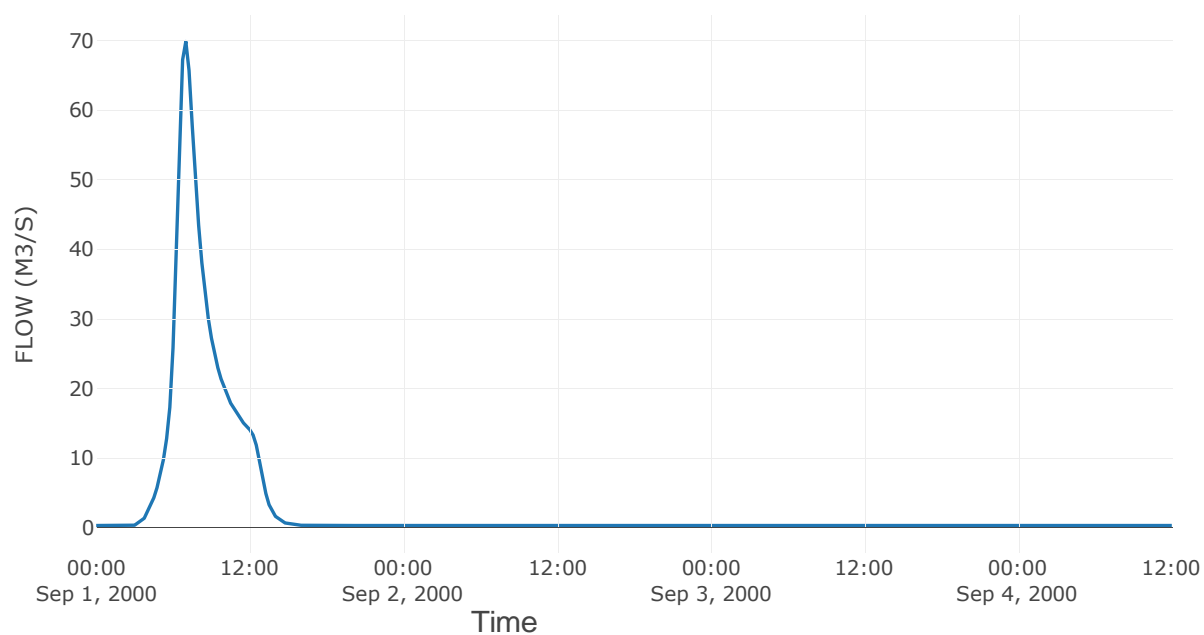
Κόμβος: J15

Κατάντη : R1514

Αποτελέσματα: J15

Παροχή Αιχμής(M3/S)	69.85
Χρονική στιγμή αιχμής	01Sep2000, 07:00
Όγκος(MM)	73.63

Απορροή

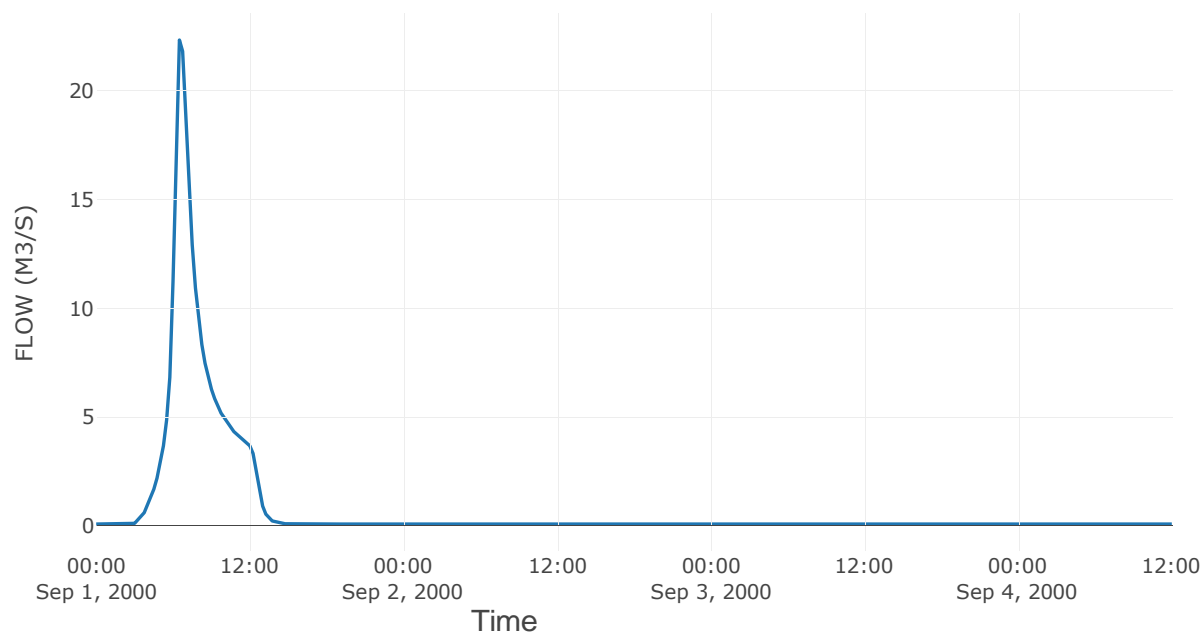


Κόμβος εξόδου: J16

Αποτελέσμα
α: J16

Παροχή αιχμής (M3/S)	22.33
Χρονική στιγμή αιχμής	01Sep2000, 06:30
Όγκος (MM)	71.5

Απορροή



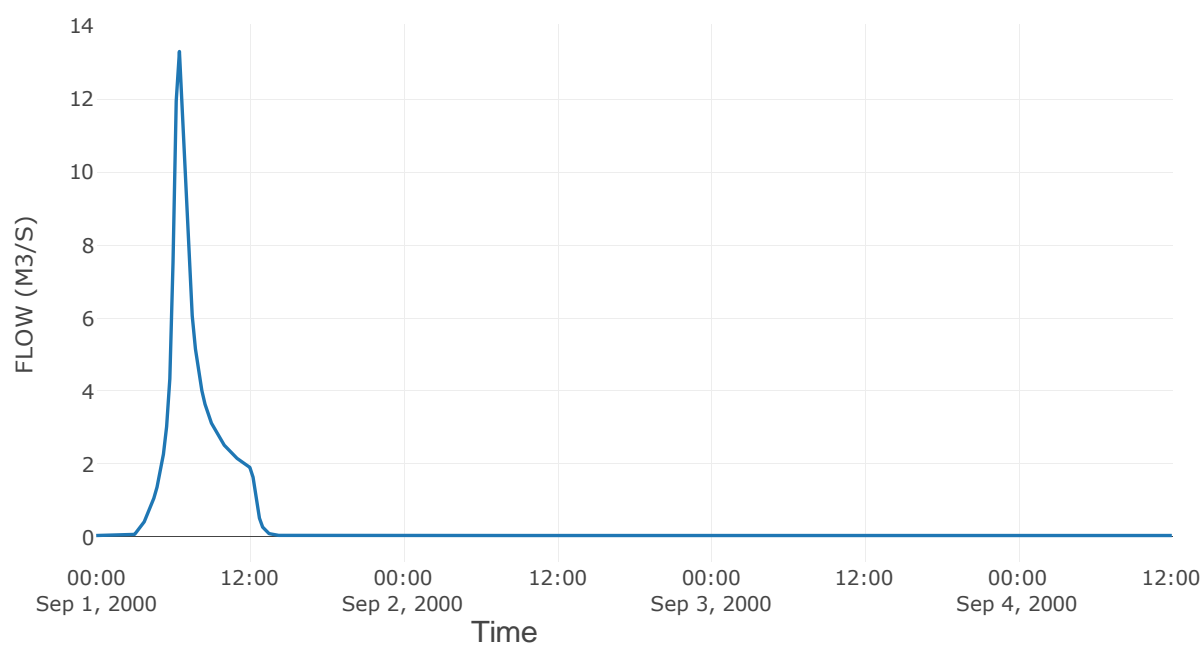
Κόμβος: J17

Κατάντη : R1716

Αποτελέσματα: J17

Παροχή Αιχμής(M3/S)	13.31
Χρονική στιγμή αιχμής	01Sep2000, 06:30
Όγκος(MM)	72.17

Απορροή



3 Δεδομένα εισόδου και αποτελέσματα υδρολογικού σεναρίου T=50L

3.1 Αποτελέσματα, υετογραφήματα και υδρογραφήματα σχεδιασμού υπολεκάνων

Υπολεκάνη: EL0421FR003001

Έκταση (KM2) : 2.97

Κατάντη : J1

Μέθοδος Απωλειών: SCS

Ποσοστό αδιαπέρατης επιφάνειας	0
Αριθμός Καμπύλης Απορροής-CN	63.86
Αρχικές Απώλειες	28.74

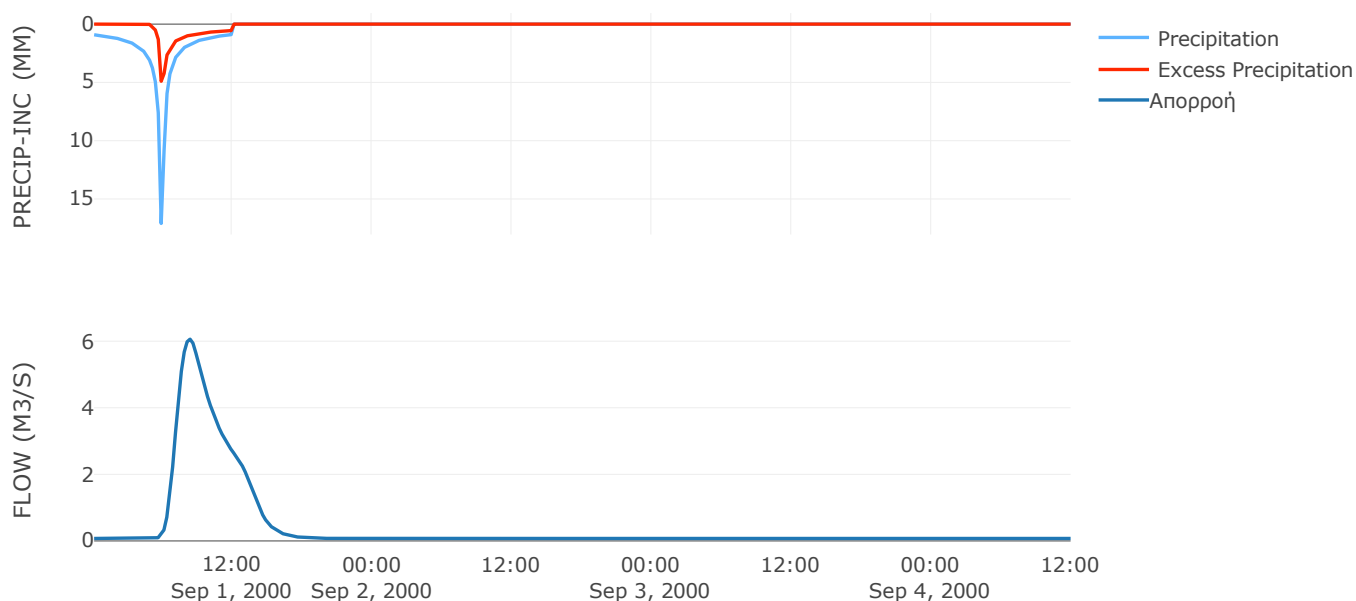
Μέθοδος Μετασχηματισμού: SCS

Χρόνος Υστέρησης	102.51
------------------	--------

Αποτελέσματα:
EL0421FR003001

Παροχή αιχμής (M3/S)	6.06
Χρονική στιγμή αιχμής	01Sep2000, 08:15
Όγκος (MM)	41.59
Όγκος βροχόπτωσης (M3)	3.5E5
Όγκος απωλειών (M3)	2.49E5
Ενεργός Όγκος (M3)	1.01E5
Όγκος άμεσης απορροής (M3)	1.01E5
Όγκος βασικής απορροής (M3)	22474.37

Βροχόπτωση και Απορροή



Υπολεκάνη: EL0421FR003002

Έκταση (KM2) : 34.23

Κατάντη : J2

Μέθοδος Απωλειών: SCS

Ποσοστό αδιαπέρατης επιφάνειας	0
Αριθμός Καμπύλης Απορροής-CN	33.47
Αρχικές Απώλειες	100.96

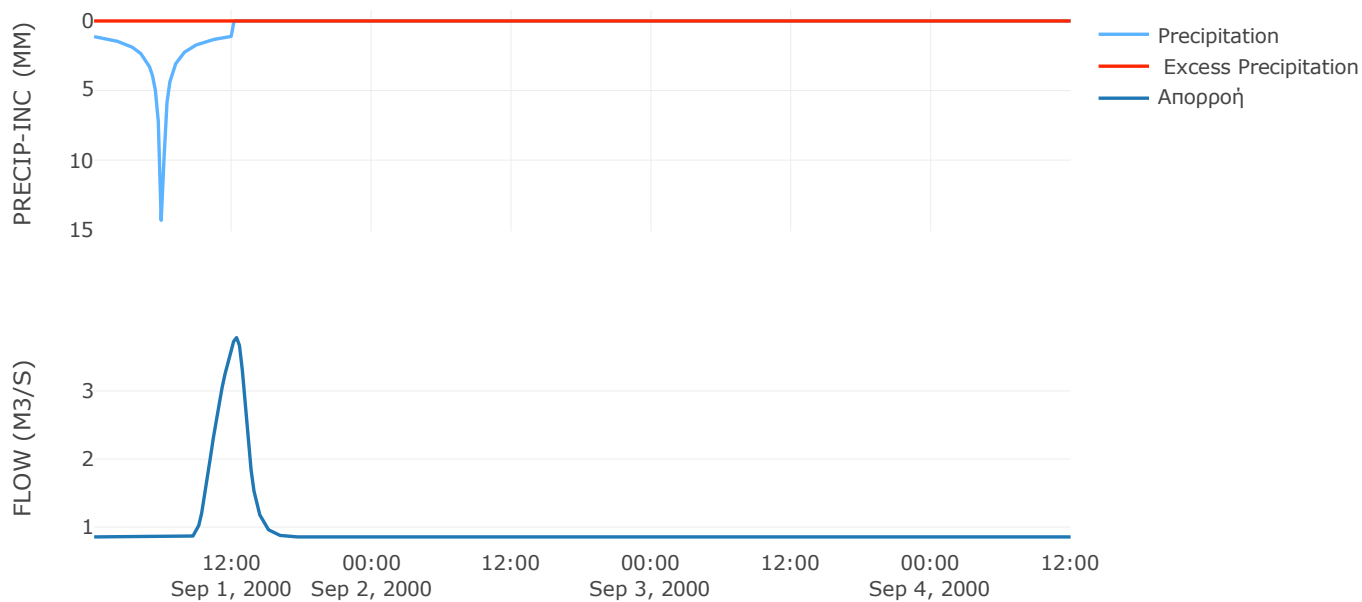
Μέθοδος Μετασχηματισμού: SCS

Χρόνος Υστέρησης	58.89
------------------	-------

Αποτελέσματα:
EL0421FR003002

Παροχή αιχμής (M3/S)	3.78
Χρονική στιγμή αιχμής	01Sep2000, 12:15
Όγκος (MM)	8.5
Όγκος βροχόπτωσης (M3)	4.22E6
Όγκος απωλειών (M3)	4.19E6
Ενεργός Όγκος (M3)	32203.97
Όγκος άμεσης απορροής (M3)	32203.97
Όγκος βασικής απορροής (M3)	2.59E5

Βροχόπτωση και Απορροή



Υπολεκάνη: EL0421FR003003

Έκταση (KM2) : 15.17

Κατάντη : J3

Μέθοδος Απωλειών: SCS

Ποσοστό αδιαπέρατης επιφάνειας	0
Αριθμός Καμπύλης Απορροής-CN	55.18
Αρχικές Απώλειες	41.27

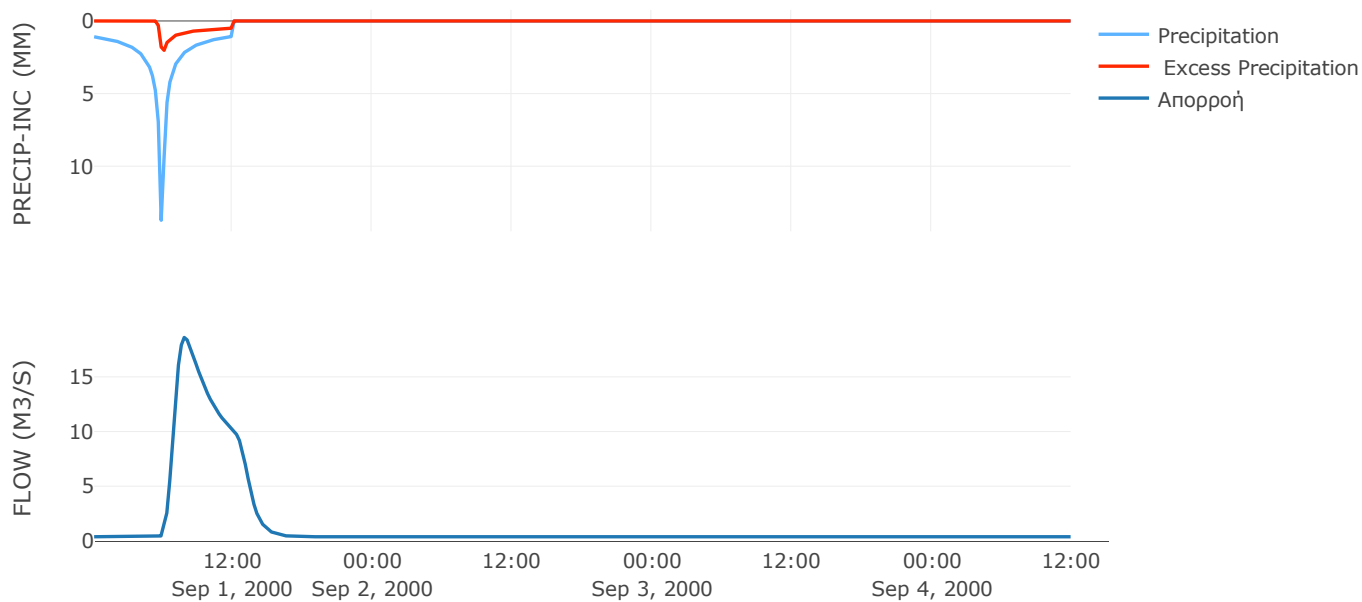
Μέθοδος Μετασχηματισμού: SCS

Χρόνος Υστέρησης	70.89
------------------	-------

Αποτελέσματα:
EL0421FR003003

Παροχή αιχμής (M3/S)	18.61
Χρονική στιγμή αιχμής	01Sep2000, 07:45
Όγκος (MM)	28.71
Όγκος βροχόπτωσης (M3)	1.8E6
Όγκος απωλειών (M3)	1.48E6
Ενεργός Όγκος (M3)	3.21E5
Όγκος άμεσης απορροής (M3)	3.21E5
Όγκος βασικής απορροής (M3)	1.15E5

Βροχόπτωση και Απορροή



Υπολεκάνη: EL0421FR003004

Έκταση (KM2) : 21.72

Κατάντη : J4

Μέθοδος Απωλειών: SCS

Ποσοστό αδιαπέρατης επιφάνειας	0
Αριθμός Καμπύλης Απορροής-CN	55.54
Αρχικές Απώλειες	40.67

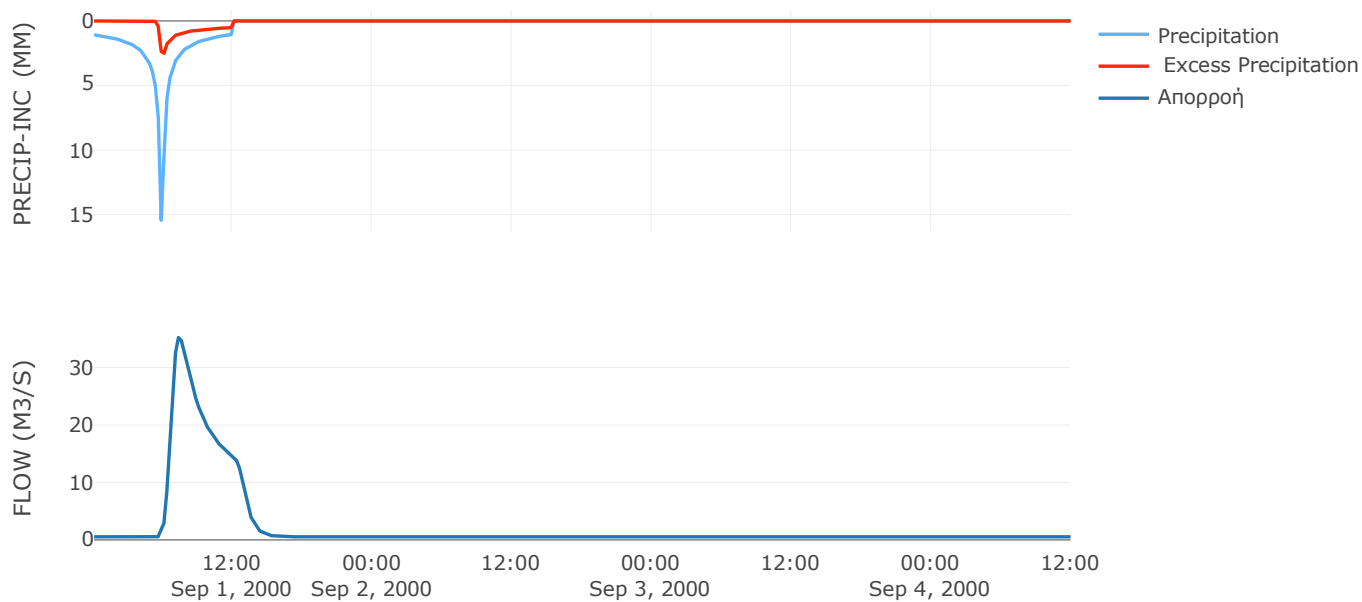
Μέθοδος Μετασχηματισμού: SCS

Χρόνος Υστέρησης	54.46
------------------	-------

Αποτελέσματα:
EL0421FR003004

Παροχή αιχμής (M3/S)	35.23
Χρονική στιγμή αιχμής	01Sep2000, 07:15
Όγκος (MM)	31.45
Όγκος βροχόπτωσης (M3)	2.68E6
Όγκος απωλειών (M3)	2.16E6
Ενεργός Όγκος (M3)	5.19E5
Όγκος άμεσης απορροής (M3)	5.19E5
Όγκος βασικής απορροής (M3)	1.64E5

Βροχόπτωση και Απορροή



Υπολεκάνη: EL0421FR003005

Έκταση (KM2) : 3.17

Κατάντη : J5

Μέθοδος Απωλειών: SCS

Ποσοστό αδιαπέρατης επιφάνειας	0
Αριθμός Καμπύλης Απορροής-CN	64.15
Αρχικές Απώλειες	28.39

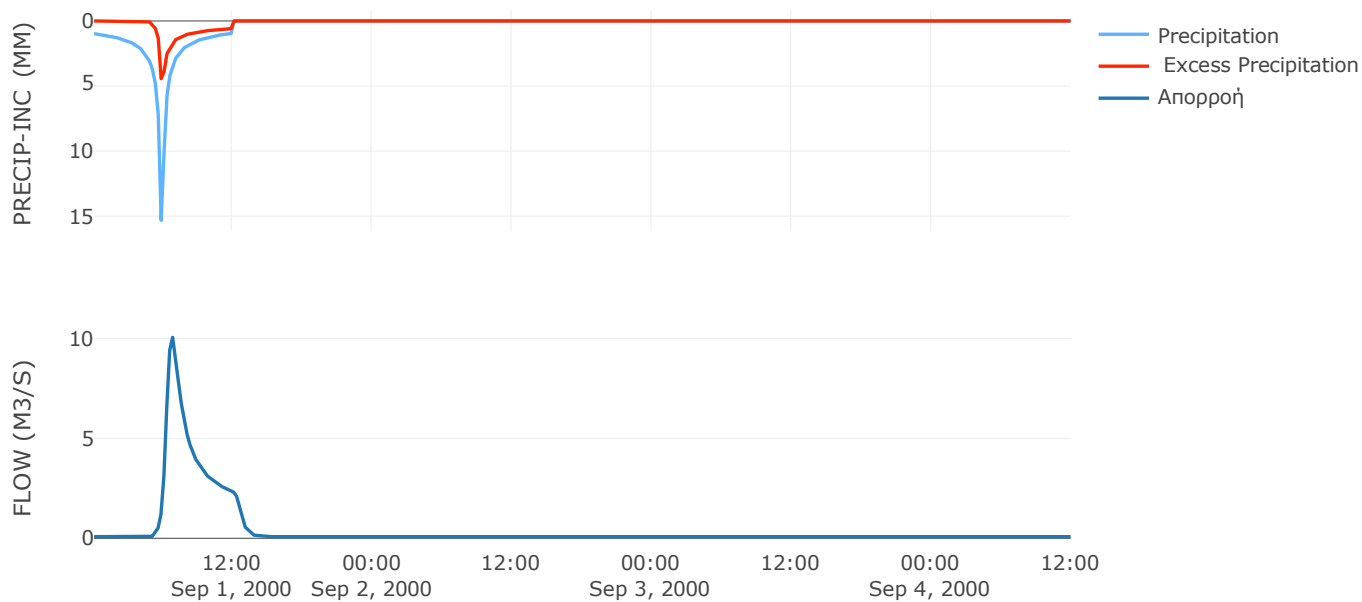
Μέθοδος Μετασχηματισμού: SCS

Χρόνος Υστέρησης	33.14
------------------	-------

Αποτελέσματα:
EL0421FR003005

Παροχή αιχμής (M3/S)	10.05
Χρονική στιγμή αιχμής	01Sep2000, 06:45
Όγκος (MM)	41.32
Όγκος βροχόπτωσης (M3)	3.7E5
Όγκος απωλειών (M3)	2.62E5
Ενεργός Όγκος (M3)	1.07E5
Όγκος άμεσης απορροής (M3)	1.07E5
Όγκος βασικής απορροής (M3)	23971.25

Βροχόπτωση και Απορροή



Υπολεκάνη: EL0421FR003006

Έκταση (KM2) : 4.26

Κατάντη : J6

Μέθοδος Απωλειών: SCS

Ποσοστό αδιαπέρατης επιφάνειας	0
Αριθμός Καμπύλης Απορροής-CN	64.54
Αρχικές Απώλειες	27.91

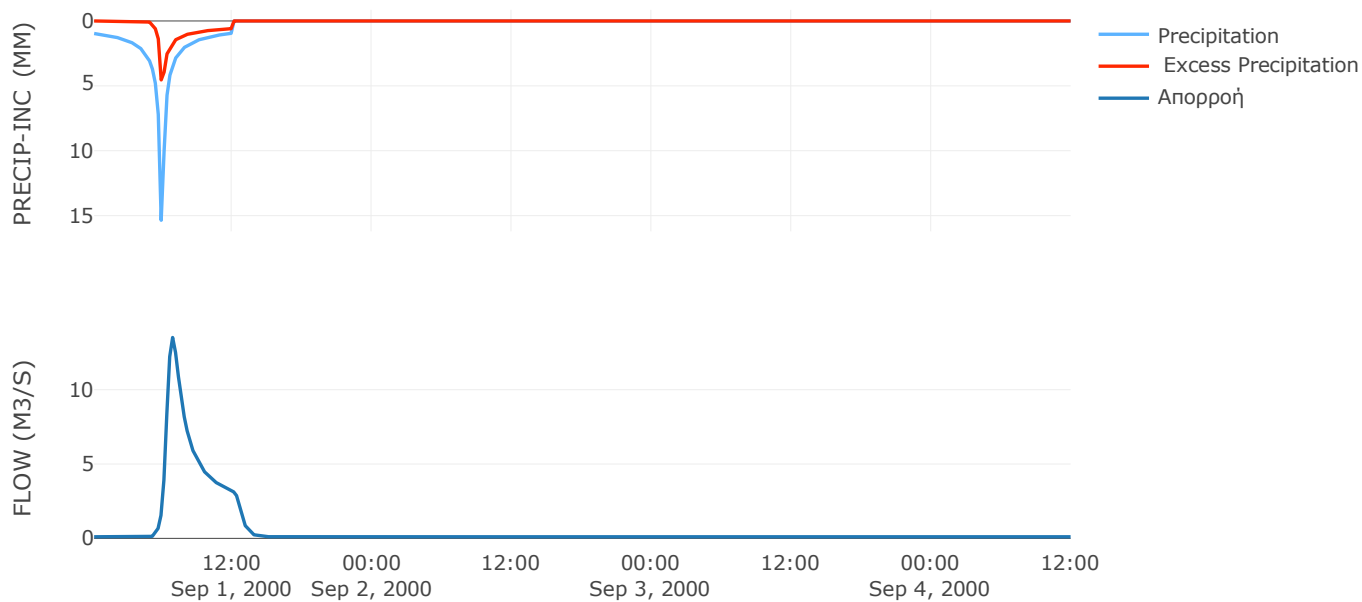
Μέθοδος Μετασχηματισμού: SCS

Χρόνος Υστέρησης	35.53
------------------	-------

Αποτελέσματα:
EL0421FR003006

Παροχή αιχμής (M3/S)	13.51
Χρονική στιγμή αιχμής	01Sep2000, 06:45
Όγκος (MM)	41.73
Όγκος βροχόπτωσης (M3)	4.95E5
Όγκος απωλειών (M3)	3.49E5
Ενεργός Όγκος (M3)	1.46E5
Όγκος άμεσης απορροής (M3)	1.46E5
Όγκος βασικής απορροής (M3)	32226.77

Βροχόπτωση και Απορροή



Υπολεκάνη: EL0421FR003007

Έκταση (KM2) : 5.37

Κατάντη : J7

Μέθοδος Απωλειών: SCS

Ποσοστό αδιαπέρατης επιφάνειας	0
Αριθμός Καμπύλης Απορροής-CN	63.92
Αρχικές Απώλειες	28.67

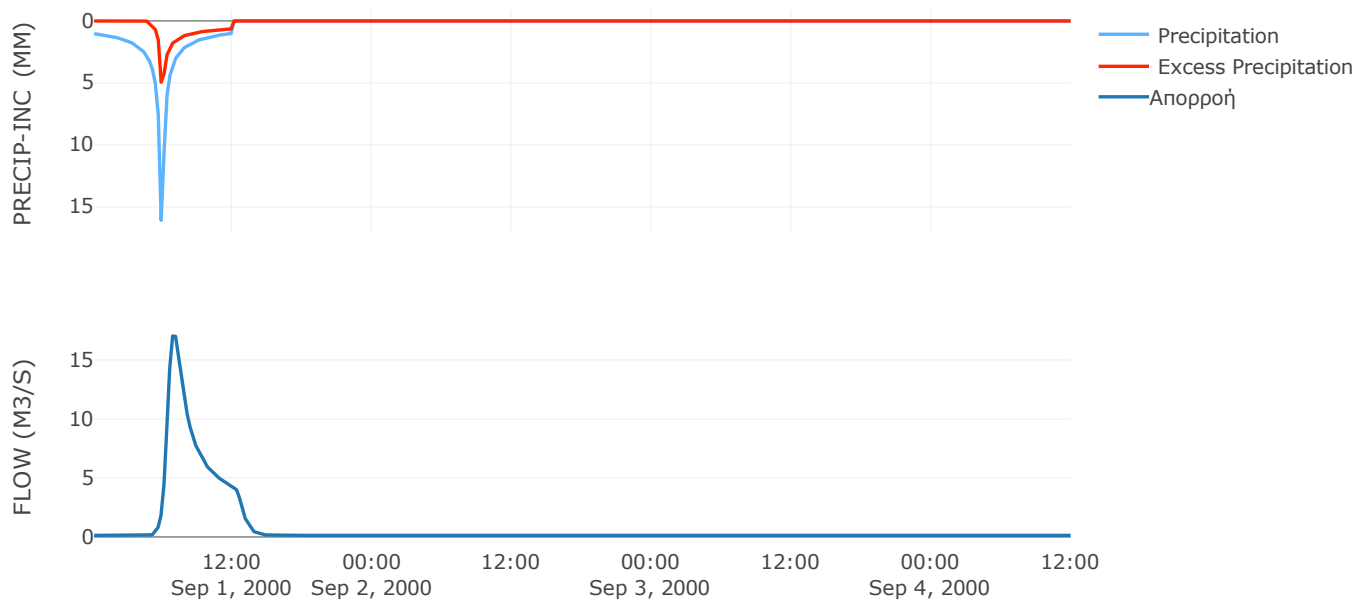
Μέθοδος Μετασχηματισμού: SCS

Χρόνος Υστέρησης	41.45
------------------	-------

Αποτελέσματα:
EL0421FR003007

Παροχή αιχμής (M3/S)	17.02
Χρονική στιγμή αιχμής	01Sep2000, 06:45
Όγκος (MM)	44.5
Όγκος βροχόπτωσης (M3)	6.56E5
Όγκος απωλειών (M3)	4.58E5
Ενεργός Όγκος (M3)	1.98E5
Όγκος άμεσης απορροής (M3)	1.98E5
Όγκος βασικής απορροής (M3)	40600.22

Βροχόπτωση και Απορροή



Υπολεκάνη: EL0421FR003008

Έκταση (KM2) : 1.34

Κατάντη : J8

Μέθοδος Απωλειών: SCS

Ποσοστό αδιαπέρατης επιφάνειας	0
Αριθμός Καμπύλης Απορροής-CN	66.26
Αρχικές Απώλειες	25.87

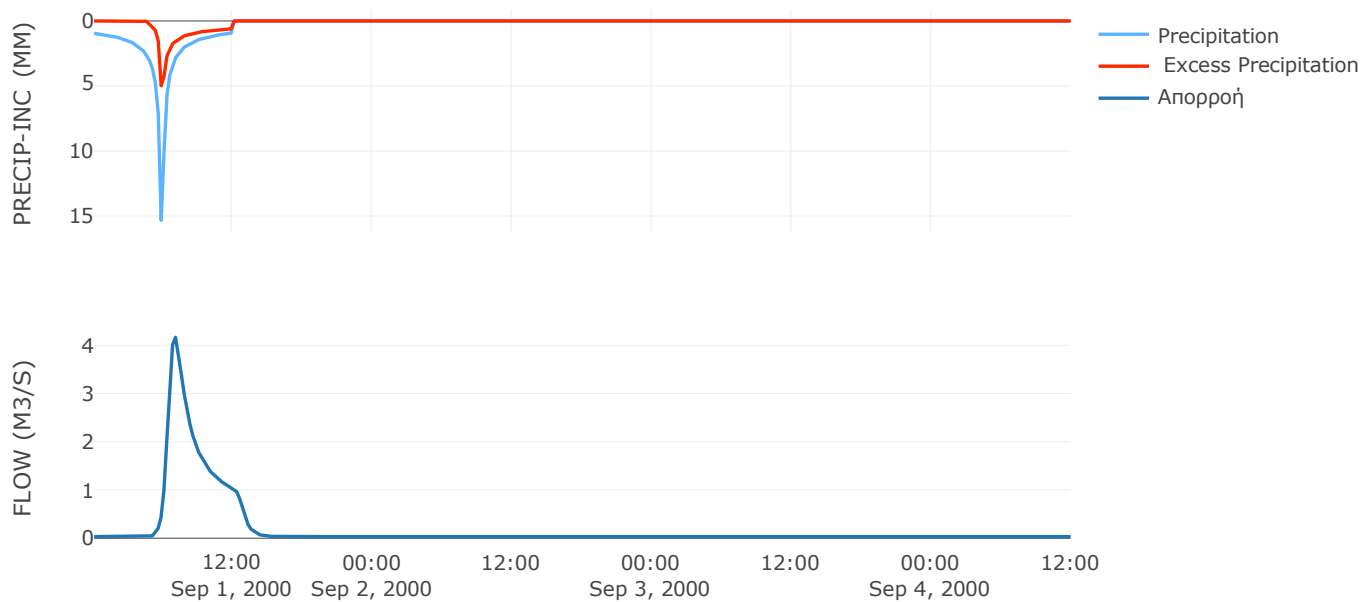
Μέθοδος Μετασχηματισμού: SCS

Χρόνος Υστέρησης	45.25
------------------	-------

Αποτελέσματα:
EL0421FR003008

Παροχή αιχμής (M3/S)	4.16
Χρονική στιγμή αιχμής	01Sep2000, 07:00
Όγκος (MM)	43.76
Όγκος βροχόπτωσης (M3)	1.54E5
Όγκος απωλειών (M3)	1.05E5
Ενεργός Όγκος (M3)	48532.9
Όγκος άμεσης απορροής (M3)	48532.9
Όγκος βασικής απορροής (M3)	10134.03

Βροχόπτωση και Απορροή



Υπολεκάνη: EL0421FR003009

Έκταση (KM2) : 1.01

Κατάντη : J9

Μέθοδος Απωλειών: SCS

Ποσοστό αδιαπέρατης επιφάνειας	0
Αριθμός Καμπύλης Απορροής-CN	65.69
Αρχικές Απώλειες	26.54

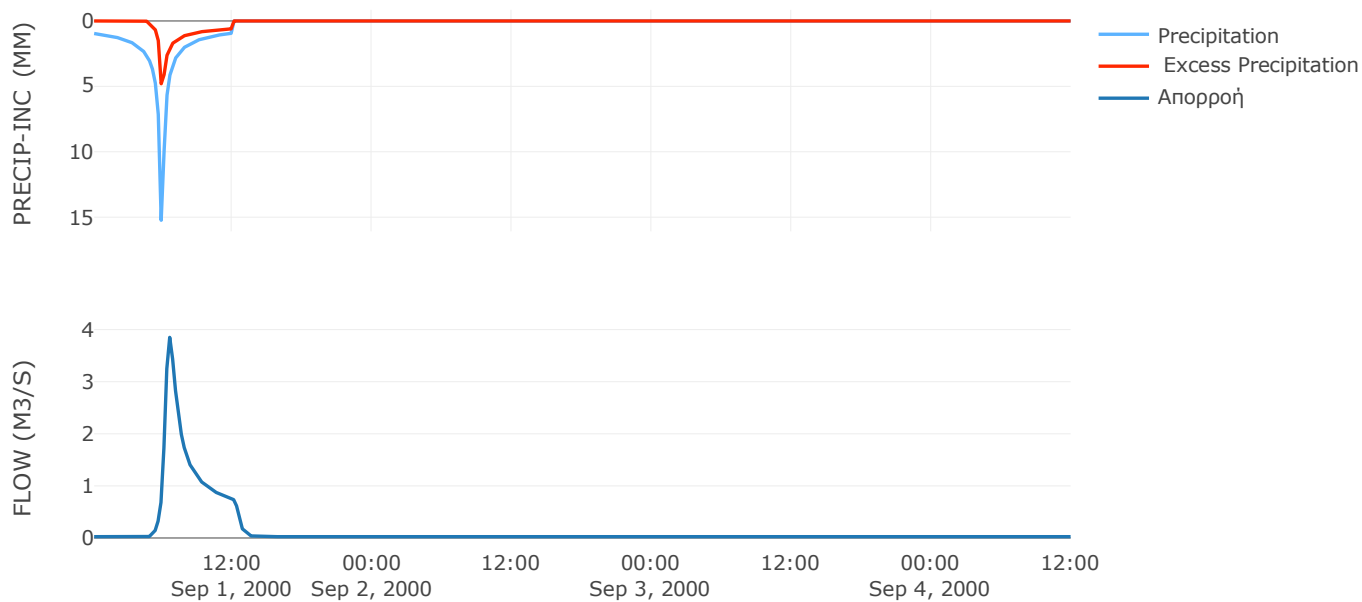
Μέθοδος Μετασχηματισμού: SCS

Χρόνος Υστέρησης	23.96
------------------	-------

Αποτελέσματα:
EL0421FR003009

Παροχή αιχμής (M3/S)	3.85
Χρονική στιγμή αιχμής	01Sep2000, 06:30
Όγκος (MM)	43.02
Όγκος βροχόπτωσης (M3)	1.17E5
Όγκος απωλειών (M3)	80751.01
Ενεργός Όγκος (M3)	35950.26
Όγκος άμεσης απορροής (M3)	35950.26
Όγκος βασικής απορροής (M3)	7664.03

Βροχόπτωση και Απορροή



Υπολεκάνη: EL0421FR003010

Έκταση (KM2) : 1.43

Κατάντη : J10

Μέθοδος Απωλειών: SCS

Ποσοστό αδιαπέρατης επιφάνειας	0
Αριθμός Καμπύλης Απορροής-CN	66.22
Αρχικές Απώλειες	25.92

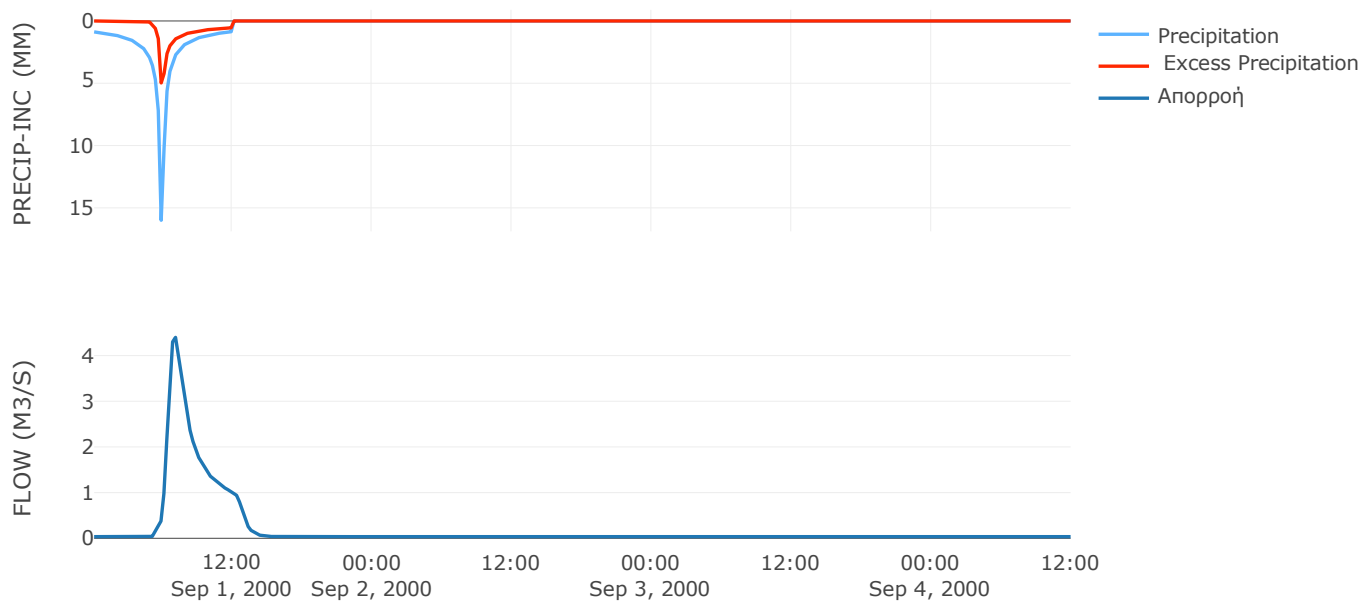
Μέθοδος Μετασχηματισμού: SCS

Χρόνος Υστέρησης	43.76
------------------	-------

Αποτελέσματα:
EL0421FR003010

Παροχή αιχμής (M3/S)	4.4
Χρονική στιγμή αιχμής	01Sep2000, 07:00
Όγκος (MM)	41.82
Όγκος βροχόπτωσης (M3)	1.6E5
Όγκος απωλειών (M3)	1.11E5
Ενεργός Όγκος (M3)	49053.18
Όγκος άμεσης απορροής (M3)	49053.18
Όγκος βασικής απορροής (M3)	10825.01

Βροχόπτωση και Απορροή



Υπολεκάνη: EL0421FR003011

Έκταση (KM2) : 5.43

Κατάντη : J11

Μέθοδος Απωλειών: SCS

Ποσοστό αδιαπέρατης επιφάνειας	0
Αριθμός Καμπύλης Απορροής-CN	64.53
Αρχικές Απώλειες	27.92

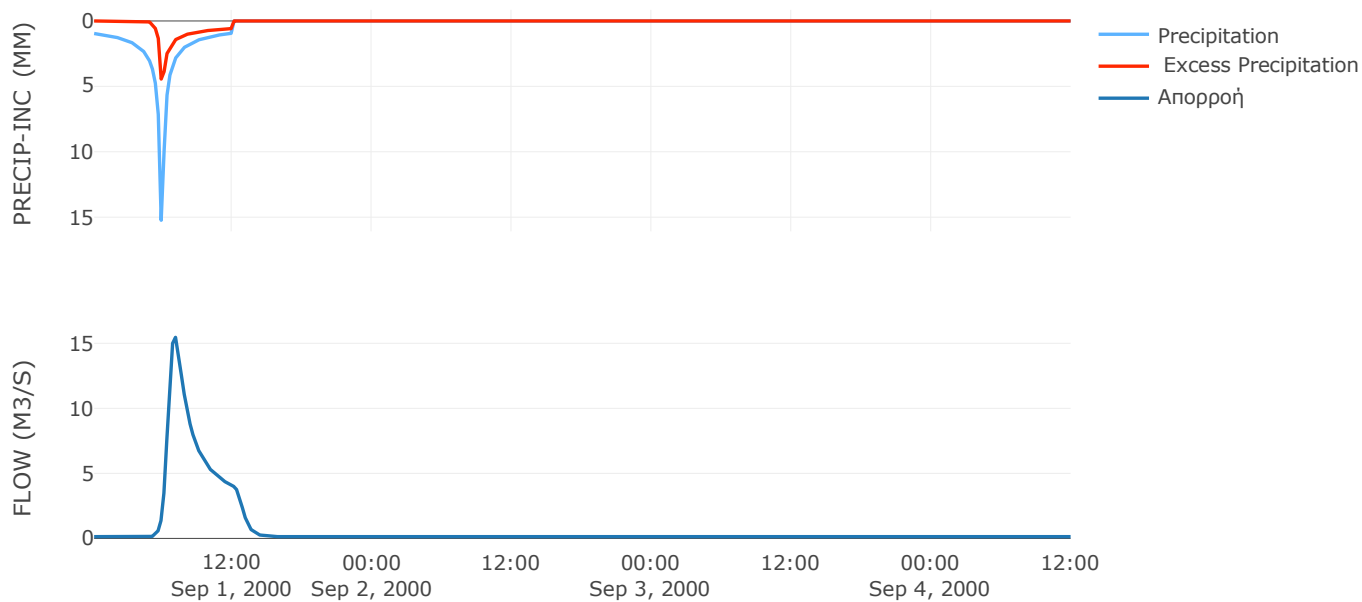
Μέθοδος Μετασχηματισμού: SCS

Χρόνος Υστέρησης	43.58
------------------	-------

Αποτελέσματα:
EL0421FR003011

Παροχή αιχμής (M3/S)	15.46
Χρονική στιγμή αιχμής	01Sep2000, 07:00
Όγκος (MM)	41.08
Όγκος βροχόπτωσης (M3)	6.25E5
Όγκος απωλειών (M3)	4.43E5
Ενεργός Όγκος (M3)	1.82E5
Όγκος άμεσης απορροής (M3)	1.82E5
Όγκος βασικής απορροής (M3)	41029.63

Βροχόπτωση και Απορροή



Υπολεκάνη: EL0421FR003012

Έκταση (KM2) : 4.3

Κατάντη : J12

Μέθοδος Απωλειών: SCS

Ποσοστό αδιαπέρατης επιφάνειας	0
Αριθμός Καμπύλης Απορροής-CN	63.88
Αρχικές Απώλειες	28.72

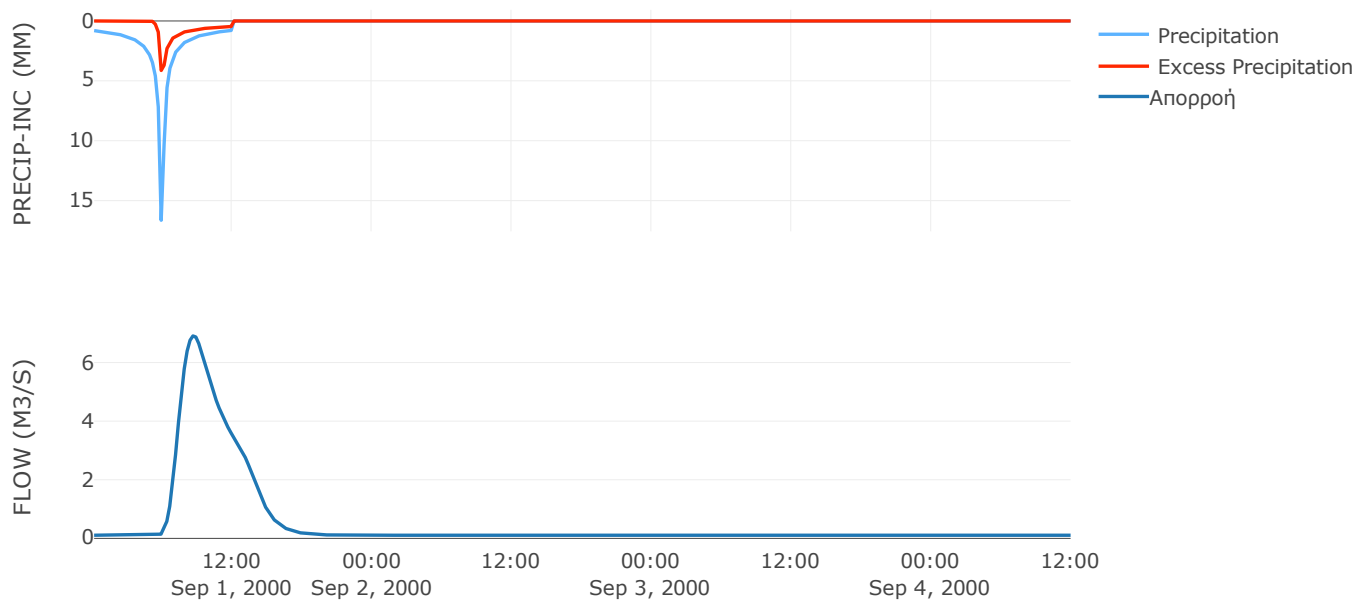
Μέθοδος Μετασχηματισμού: SCS

Χρόνος Υστέρησης	116.8
------------------	-------

Αποτελέσματα:
EL0421FR003012

Παροχή αιχμής (M3/S)	6.91
Χρονική στιγμή αιχμής	01Sep2000, 08:30
Όγκος (MM)	36.09
Όγκος βροχόπτωσης (M3)	4.66E5
Όγκος απωλειών (M3)	3.44E5
Ενεργός Όγκος (M3)	1.23E5
Όγκος άμεσης απορροής (M3)	1.23E5
Όγκος βασικής απορροής (M3)	32471.71

Βροχόπτωση και Απορροή



Υπολεκάνη: EL0421FR003013

Έκταση (KM2) : 1.25

Κατάντη : J13

Μέθοδος Απωλειών: SCS

Ποσοστό αδιαπέρατης επιφάνειας	0
Αριθμός Καμπύλης Απορροής-CN	65.39
Αρχικές Απώλειες	26.89

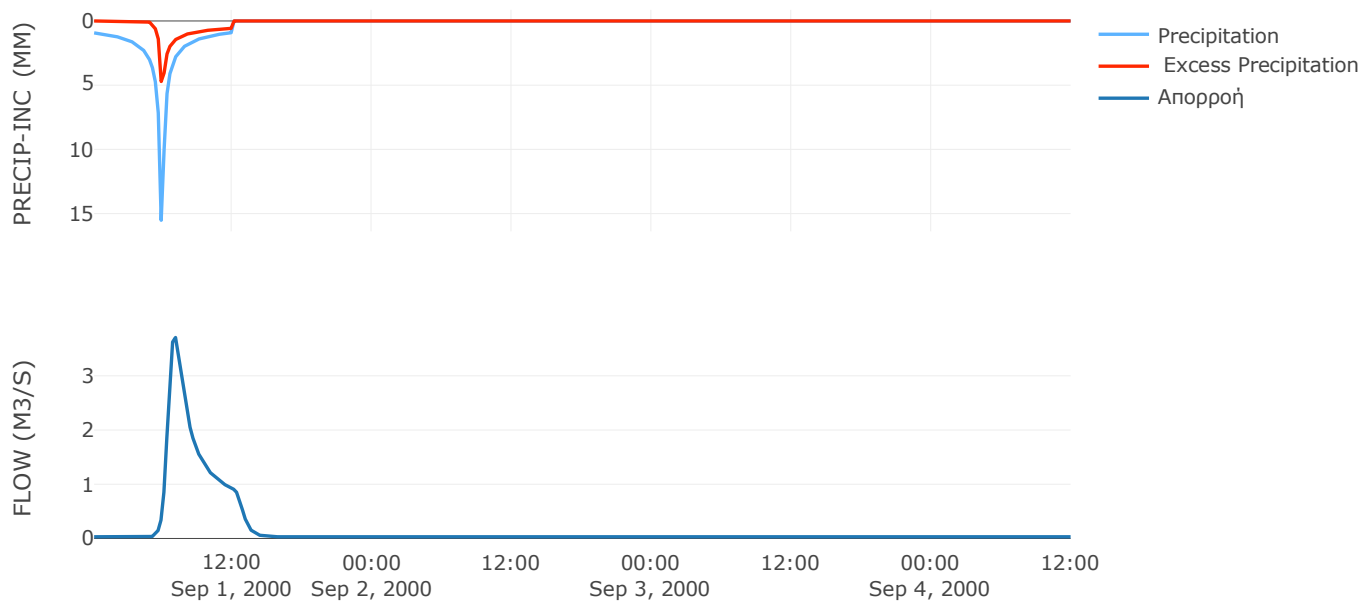
Μέθοδος Μετασχηματισμού: SCS

Χρόνος Υστέρησης	43.39
------------------	-------

Αποτελέσματα:
EL0421FR003013

Παροχή αιχμής (M3/S)	3.71
Χρονική στιγμή αιχμής	01Sep2000, 07:00
Όγκος (MM)	41.79
Όγκος βροχόπτωσης (M3)	1.42E5
Όγκος απωλειών (M3)	99318.52
Ενεργός Όγκος (M3)	42631.09
Όγκος άμεσης απορροής (M3)	42631.09
Όγκος βασικής απορροής (M3)	9414.92

Βροχόπτωση και Απορροή



Υπολεκάνη: EL0421FR003014

Έκταση (KM2) : 2.74

Κατάντη : J14

Μέθοδος Απωλειών: SCS

Ποσοστό αδιαπέρατης επιφάνειας	0
Αριθμός Καμπύλης Απορροής-CN	61.22
Αρχικές Απώλειες	32.18

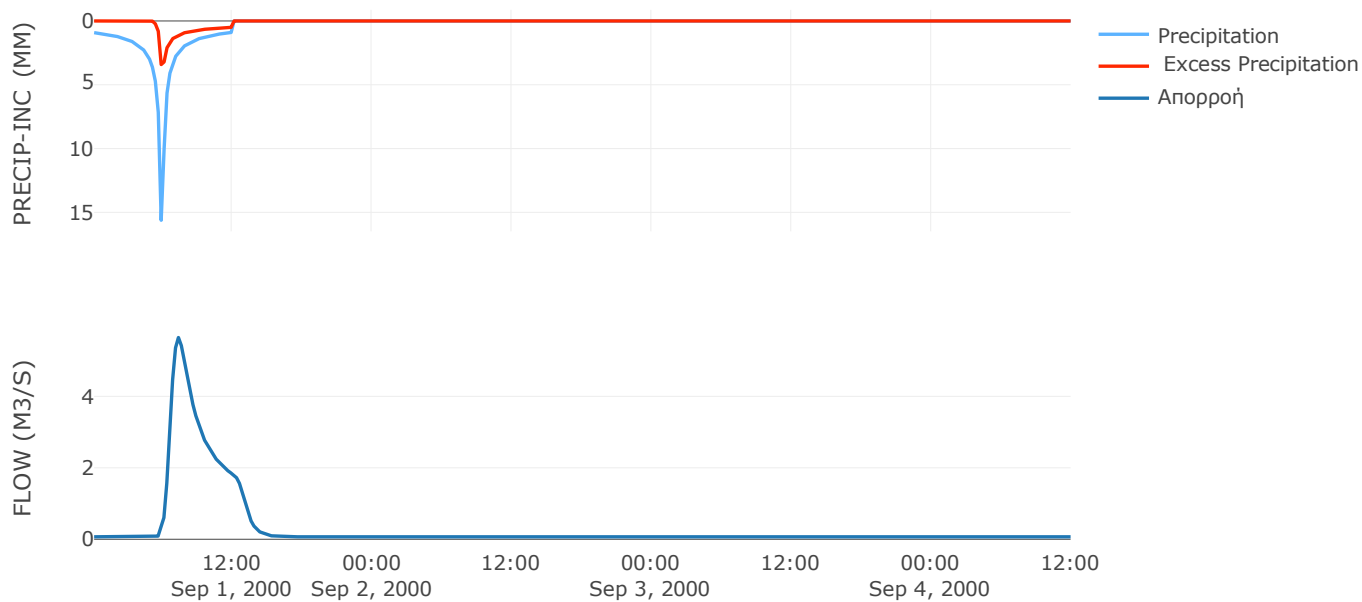
Μέθοδος Μετασχηματισμού: SCS

Χρόνος Υστέρησης	55.87
------------------	-------

Αποτελέσματα:
EL0421FR003014

Παροχή αιχμής (M3/S)	5.65
Χρονική στιγμή αιχμής	01Sep2000, 07:15
Όγκος (MM)	34.82
Όγκος βροχόπτωσης (M3)	3.11E5
Όγκος απωλειών (M3)	2.36E5
Ενεργός Όγκος (M3)	74810.34
Όγκος άμεσης απορροής (M3)	74810.34
Όγκος βασικής απορροής (M3)	20745.24

Βροχόπτωση και Απορροή



Υπολεκάνη: EL0421FR003015

Έκταση (KM2) : 12.69

Κατάντη : J15

Μέθοδος Απωλειών: SCS

Ποσοστό αδιαπέρατης επιφάνειας	0
Αριθμός Καμπύλης Απορροής-CN	63.26
Αρχικές Απώλειες	29.5

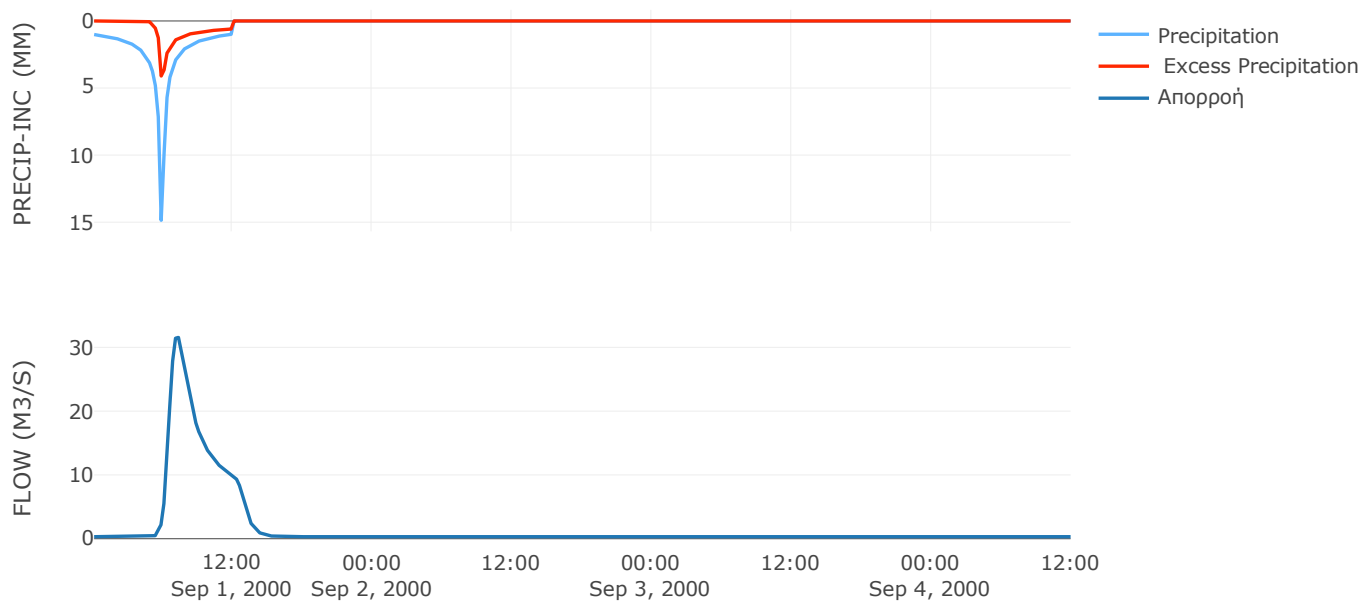
Μέθοδος Μετασχηματισμού: SCS

Χρόνος Υστέρησης	52.12
------------------	-------

Αποτελέσματα:
EL0421FR003015

Παροχή αιχμής (M3/S)	31.56
Χρονική στιγμή αιχμής	01Sep2000, 07:15
Όγκος (MM)	40.4
Όγκος βροχόπτωσης (M3)	1.49E6
Όγκος απωλειών (M3)	1.07E6
Ενεργός Όγκος (M3)	4.17E5
Όγκος άμεσης απορροής (M3)	4.17E5
Όγκος βασικής απορροής (M3)	95918.26

Βροχόπτωση και Απορροή



Υπολεκάνη: EL0421FR003016

Έκταση (KM2) : 1.7

Κατάντη : J16

Μέθοδος Απωλειών: SCS

Ποσοστό αδιαπέρατης επιφάνειας	0
Αριθμός Καμπύλης Απορροής-CN	63.1
Αρχικές Απώλειες	29.7

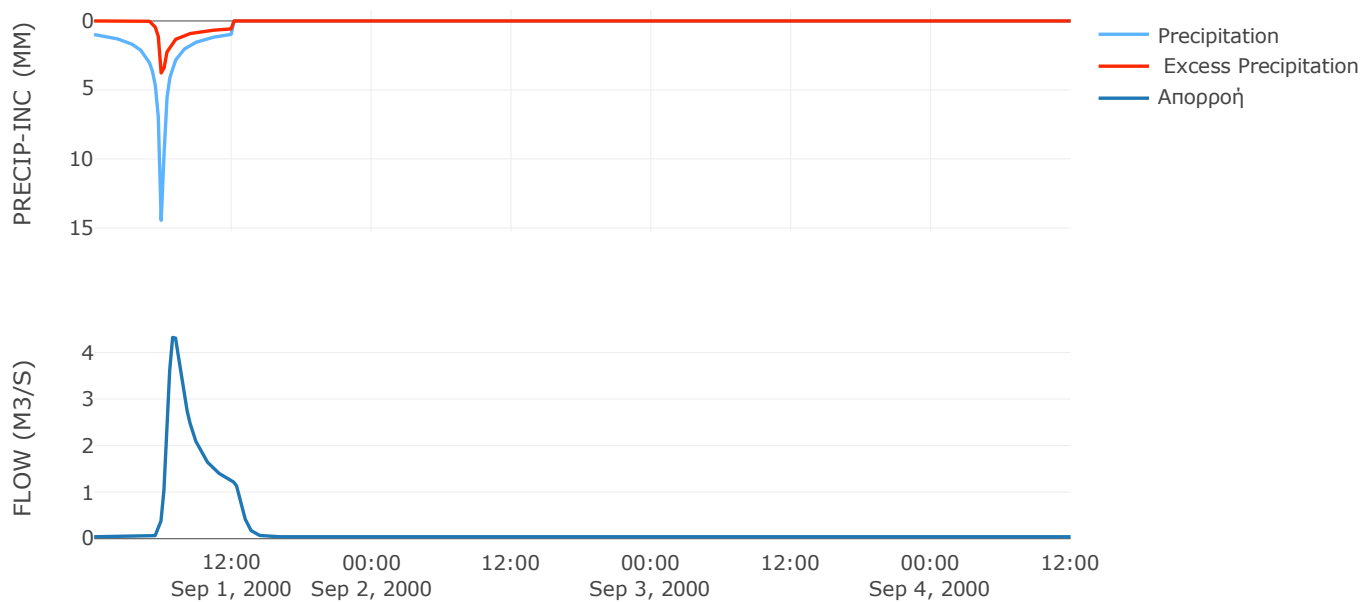
Μέθοδος Μετασχηματισμού: SCS

Χρόνος Υστέρησης	39.96
------------------	-------

Αποτελέσματα:
EL0421FR003016

Παροχή αιχμής (M3/S)	4.32
Χρονική στιγμή αιχμής	01Sep2000, 06:45
Όγκος (MM)	38.29
Όγκος βροχόπτωσης (M3)	1.94E5
Όγκος απωλειών (M3)	1.42E5
Ενεργός Όγκος (M3)	52251.56
Όγκος άμεσης απορροής (M3)	52251.56
Όγκος βασικής απορροής (M3)	12854.12

Βροχόπτωση και Απορροή



Υπολεκάνη: EL0421FR003017

Έκταση (KM2) : 1.9

Κατάντη : J17

Μέθοδος Απωλειών: SCS

Ποσοστό αδιαπέρατης επιφάνειας	0
Αριθμός Καμπύλης Απορροής-CN	64.01
Αρχικές Απώλειες	28.57

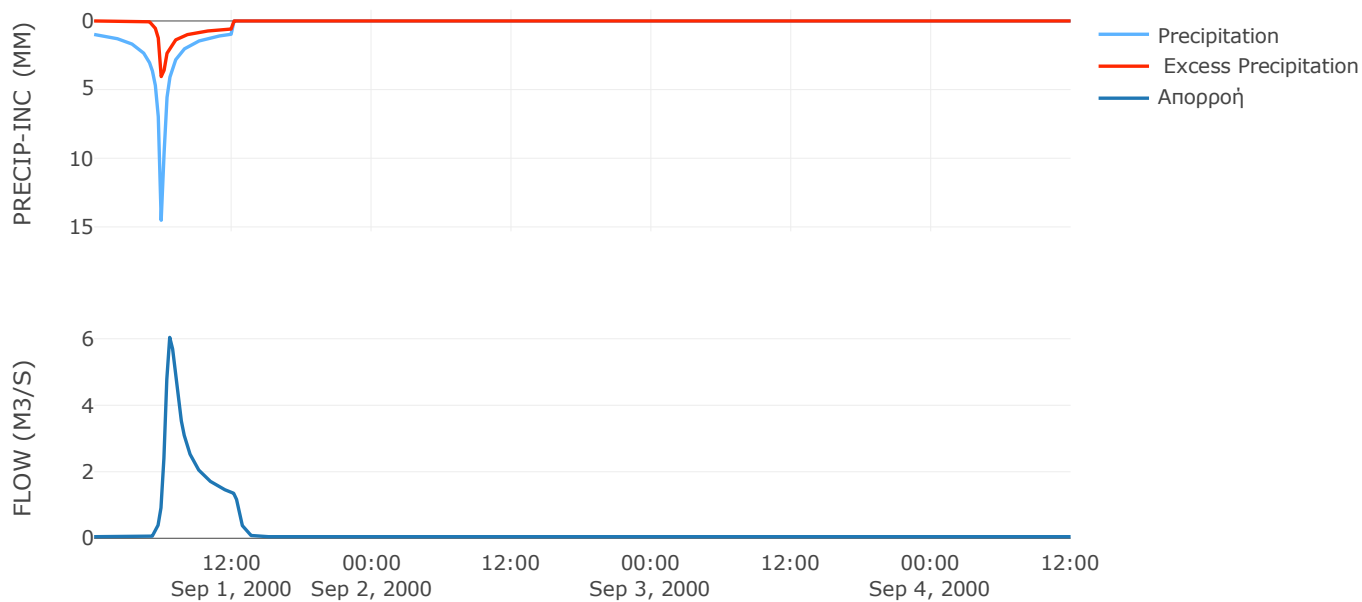
Μέθοδος Μετασχηματισμού: SCS

Χρόνος Υστέρησης	26.16
------------------	-------

Αποτελέσματα:
EL0421FR003017

Παροχή αιχμής (M3/S)	6.04
Χρονική στιγμή αιχμής	01Sep2000, 06:30
Όγκος (MM)	39.8
Όγκος βροχόπτωσης (M3)	2.18E5
Όγκος απωλειών (M3)	1.56E5
Ενεργός Όγκος (M3)	61345.77
Όγκος άμεσης απορροής (M3)	61345.77
Όγκος βασικής απορροής (M3)	14383.96

Βροχόπτωση και Απορροή



3.2 Δεδομένα και Υδρογραφήματα Σχεδιασμού Κλάδων Υδρογραφικού Δικτύου

Κλάδος: R21

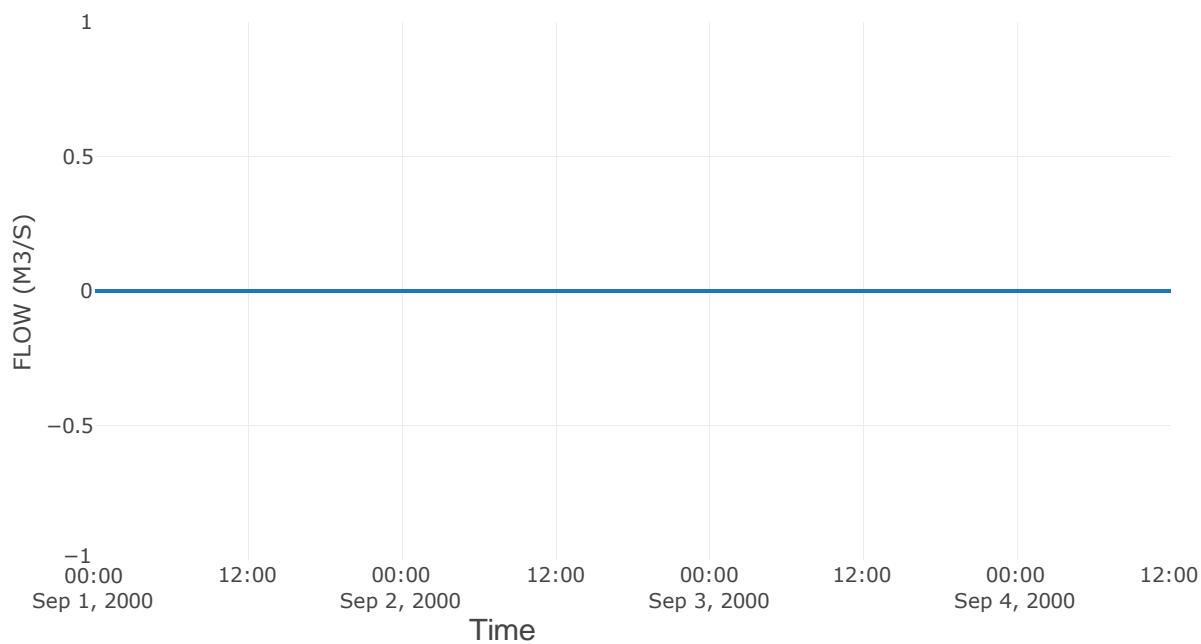
Κατάντη : J1

Μέθοδος Διόδευσης	Χρόνος
Αρχική Μεταβλητή	Combined Inflow
Χρόνος Υστέρησης	13.26

Αποτελέσματα: R21

Παροχή Αιχμής (M3/S)	0
Χρονική στιγμή αιχμής	31Aug2000, 24:00
Εισροή Αιχμής (M3/S)	0
Όγκος Εισροής (M3)	0

Απορροή



Κλάδος: R43

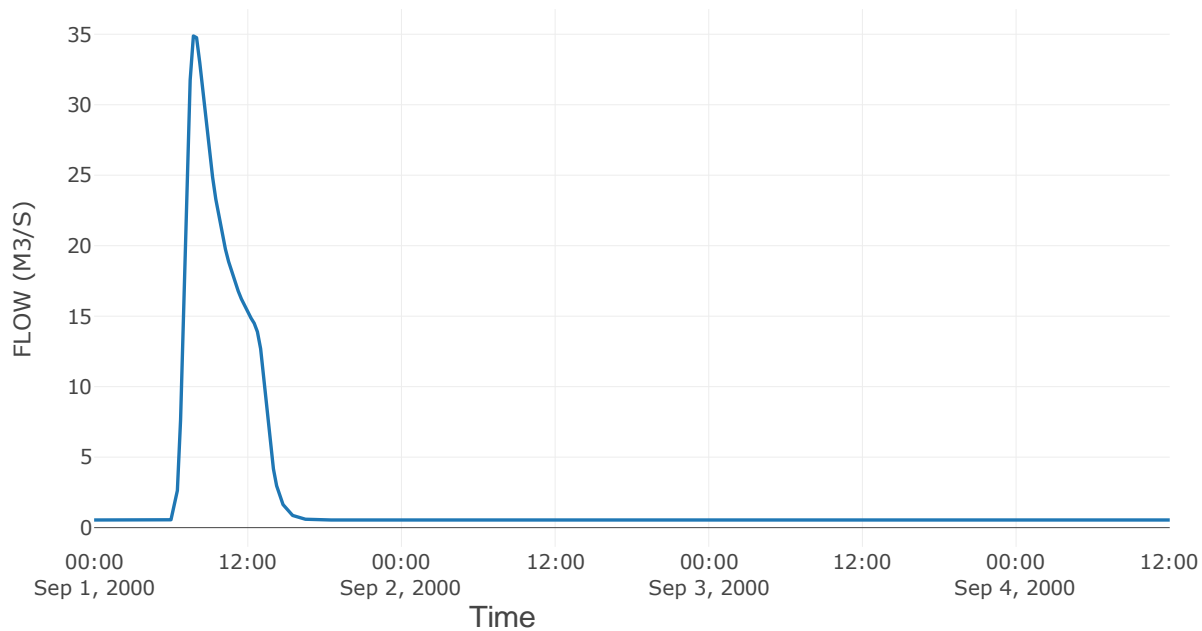
Κατάντη : J3

Μέθοδος Διόδευσης	Χρόνος
Αρχική Μεταβλητή	Combined Inflow
Χρόνος Υστέρησης	32.39

Αποτελέσματα: R43

Παροχή Αιχμής (M3/S)	34.88
Χρονική στιγμή αιχμής	01Sep2000, 07:45
Όγκος (MM)	31.45
Παροχή Αιχμής Εισόδου (M3/S)	35.23
Όγκος Εισροής (M3)	6.83E5

Απορροή



Κλάδος: R65

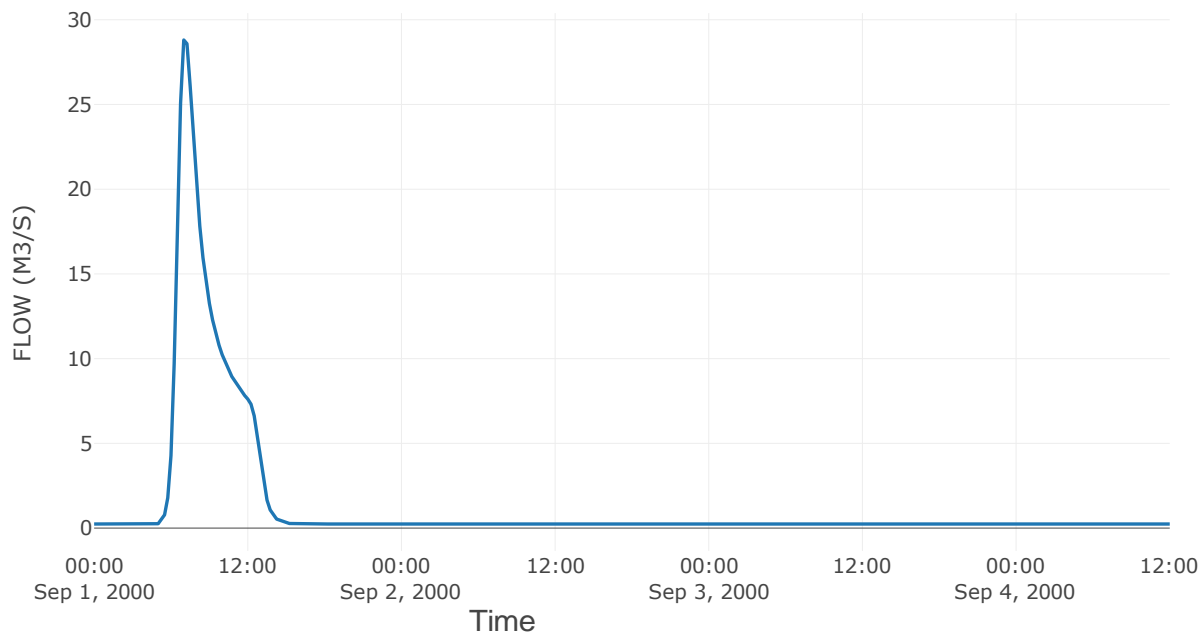
Κατάντη : J5

Μέθοδος Διόδευσης	Χρόνος
Αρχική Μεταβλητή	Combined Inflow
Χρόνος Υστέρησης	7.17

Αποτελέσματα: R65

Παροχή Αιχμής (M3/S)	28.81
Χρονική στιγμή αιχμής	01Sep2000, 07:00
Όγκος (MM)	43.28
Παροχή Αιχμής Εισόδου (M3/S)	29.53
Όγκος Εισροής (M3)	4.17E5

Απορροή



Κλάδος: R76

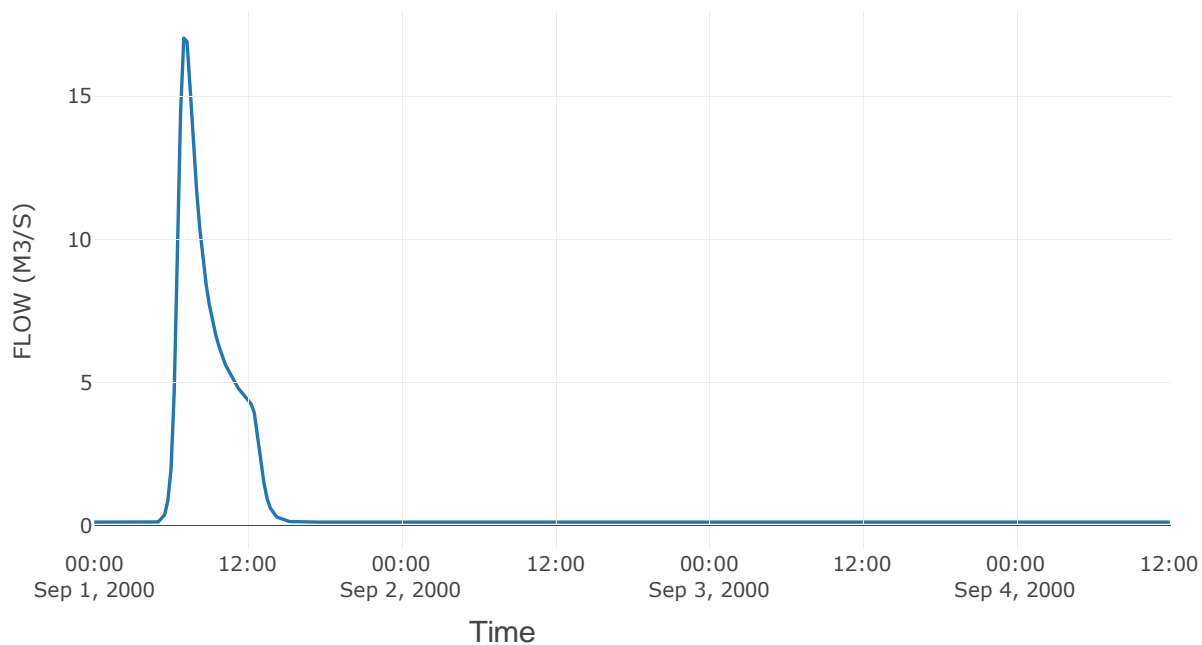
Κατάντη : J6

Μέθοδος Διόδευσης	Χρόνος
Αρχική Μεταβλητή	Combined Inflow
Χρόνος Υστέρησης	14.99

Αποτελέσματα: R76

Παροχή Αιχμής (M3/S)	17.02
Χρονική στιγμή αιχμής	01Sep2000, 07:00
Όγκος (MM)	44.5
Παροχή Αιχμής Εισόδου (M3/S)	17.02
Όγκος Εισροής (M3)	2.39E5

Απορροή



Κλάδος: R98

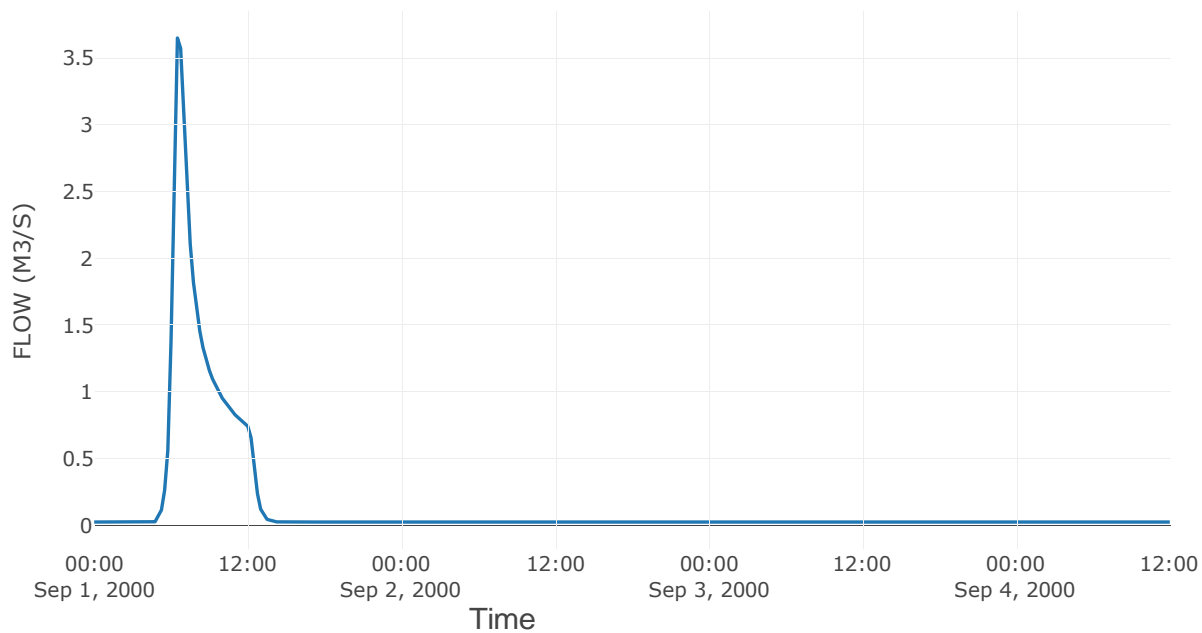
Κατάντη : J8

Μέθοδος Διόδευσης	Χρόνος
Αρχική Μεταβλητή	Combined Inflow
Χρόνος Υστέρησης	6

Αποτελέσματα: R98

Παροχή Αιχμής (M3/S)	3.65
Χρονική στιγμή αιχμής	01Sep2000, 06:30
Όγκος (MM)	43.02
Παροχή Αιχμής Εισόδου (M3/S)	3.85
Όγκος Εισροής (M3)	43614.28

Απορροή



Κλάδος: R1110

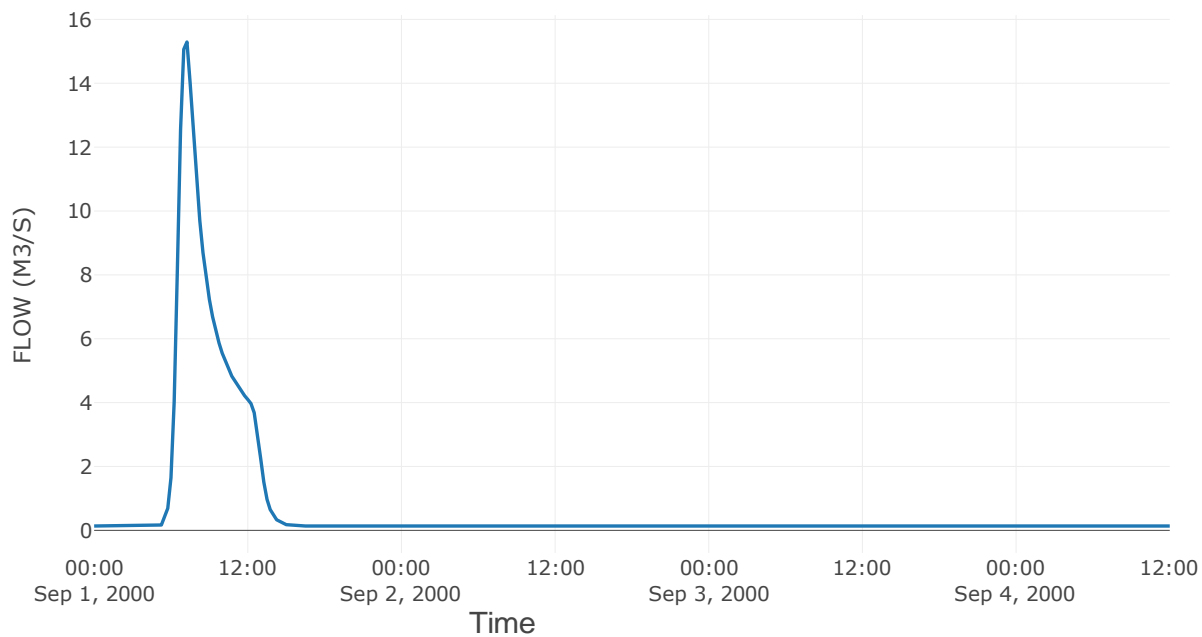
Κατάντη : J10

Μέθοδος Διόδευσης	Χρόνος
Αρχική Μεταβλητή	Combined Inflow
Χρόνος Υστέρησης	13.58

Αποτελέσματα: R1110

Παροχή Αιχμής (M3/S)	15.29
Χρονική στιγμή αιχμής	01Sep2000, 07:15
Όγκος (MM)	41.08
Παροχή Αιχμής Εισόδου (M3/S)	15.46
Όγκος Εισροής (M3)	2.23E5

Απορροή



Κλάδος: R1312

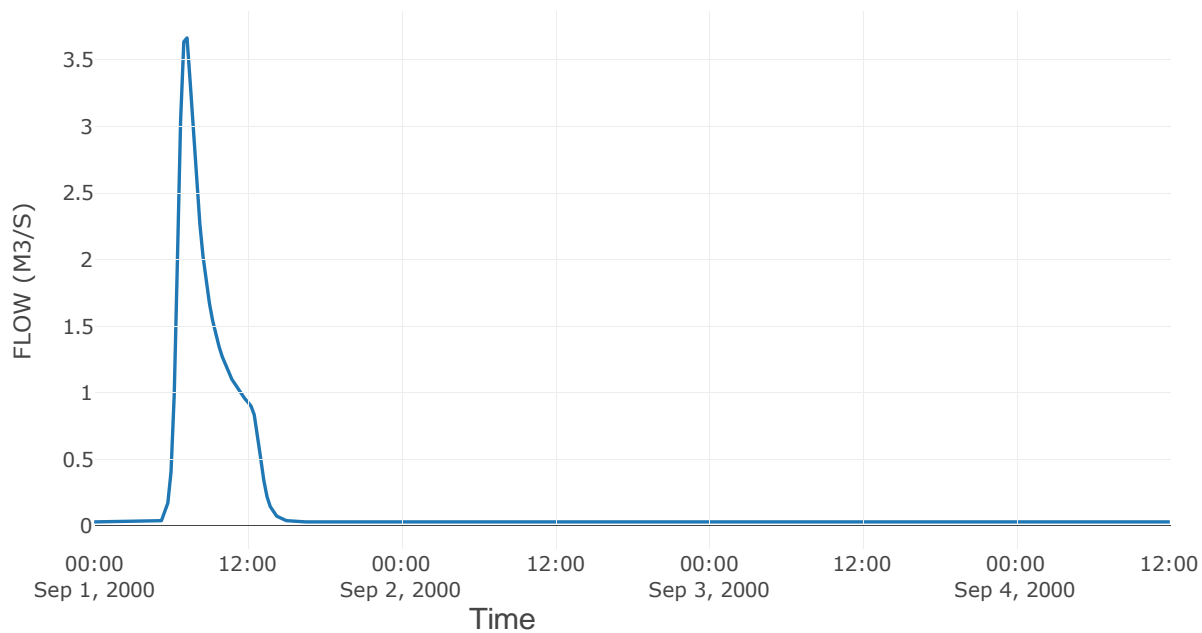
Κατάντη : J12

Μέθοδος Διόδευσης	Χρόνος
Αρχική Μεταβλητή	Combined Inflow
Χρόνος Υστέρησης	13.8

Αποτελέσματα: R1312

Παροχή Αιχμής (M3/S)	3.66
Χρονική στιγμή αιχμής	01Sep2000, 07:15
Όγκος (MM)	41.79
Παροχή Αιχμής Εισόδου (M3/S)	3.71
Όγκος Εισροής (M3)	52046.01

Απορροή



Κλάδος: R1514

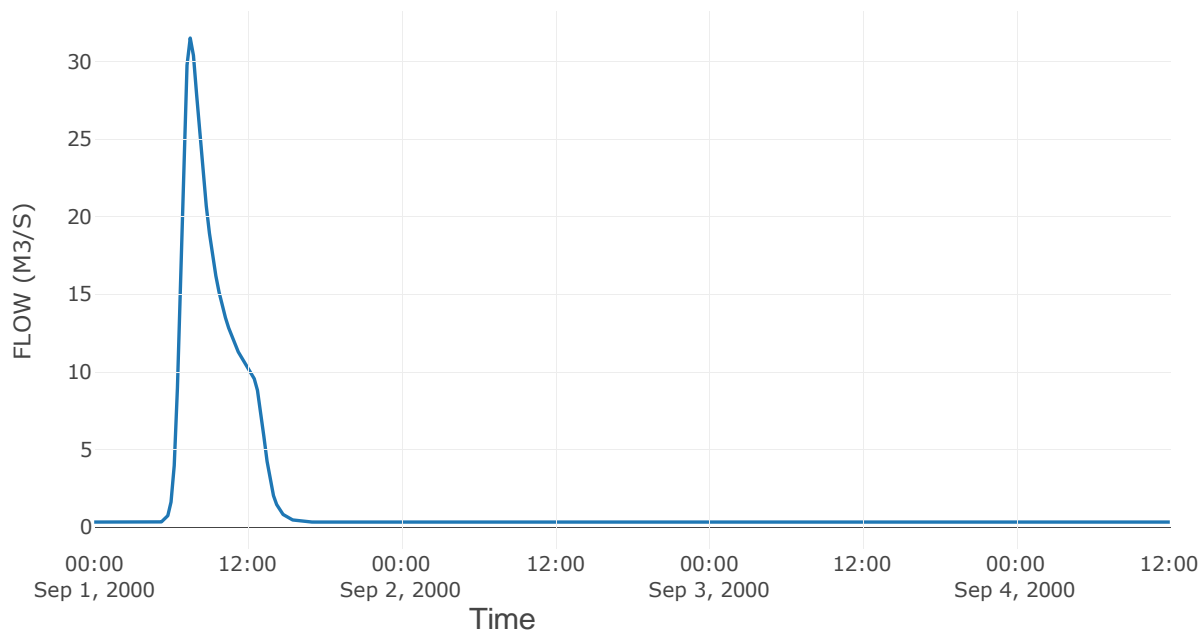
Κατάντη : J14

Μέθοδος Διόδευσης	Χρόνος
Αρχική Μεταβλητή	Combined Inflow
Χρόνος Υστέρησης	22.74

Αποτελέσματα: R1514

Παροχή Αιχμής (M3/S)	31.5
Χρονική στιγμή αιχμής	01Sep2000, 07:30
Όγκος (MM)	40.4
Παροχή Αιχμής Εισόδου (M3/S)	31.56
Όγκος Εισροής (M3)	5.13E5

Απορροή



Κλάδος: R1716

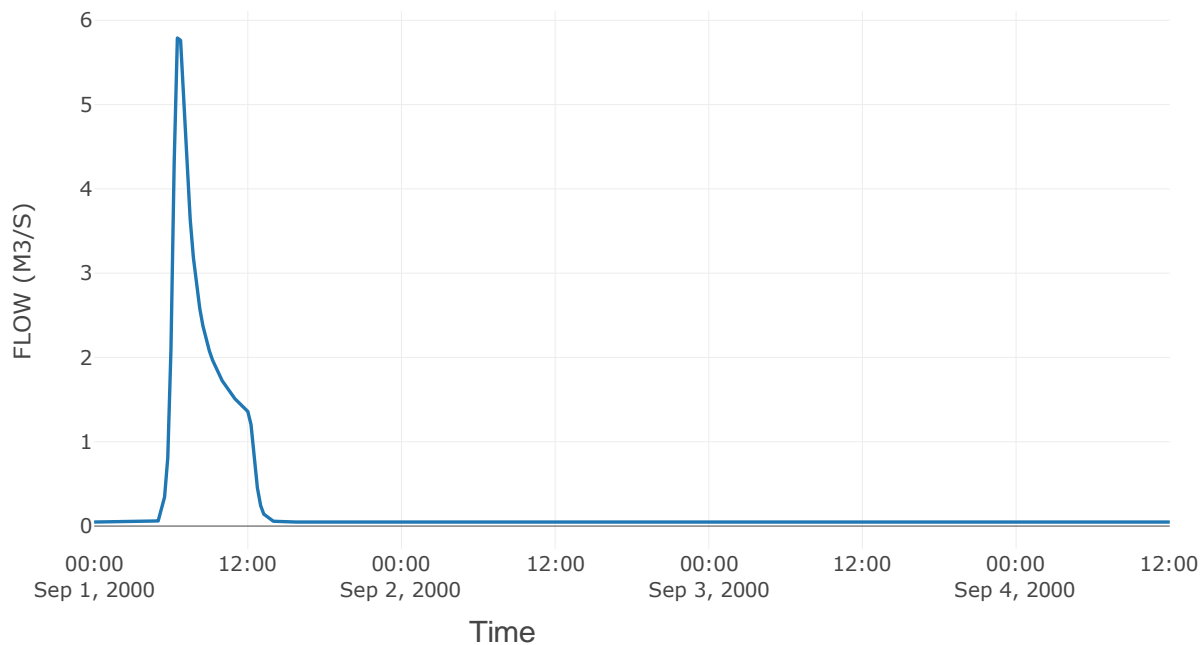
Κατάντη : J16

Μέθοδος Διόδευσης	Χρόνος
Αρχική Μεταβλητή	Combined Inflow
Χρόνος Υστέρησης	3.97

Αποτελέσματα: R1716

Παροχή Αιχμής (M3/S)	5.79
Χρονική στιγμή αιχμής	01Sep2000, 06:30
Όγκος (MM)	39.8
Παροχή Αιχμής Εισόδου (M3/S)	6.04
Όγκος Εισροής (M3)	75729.73

Απορροή



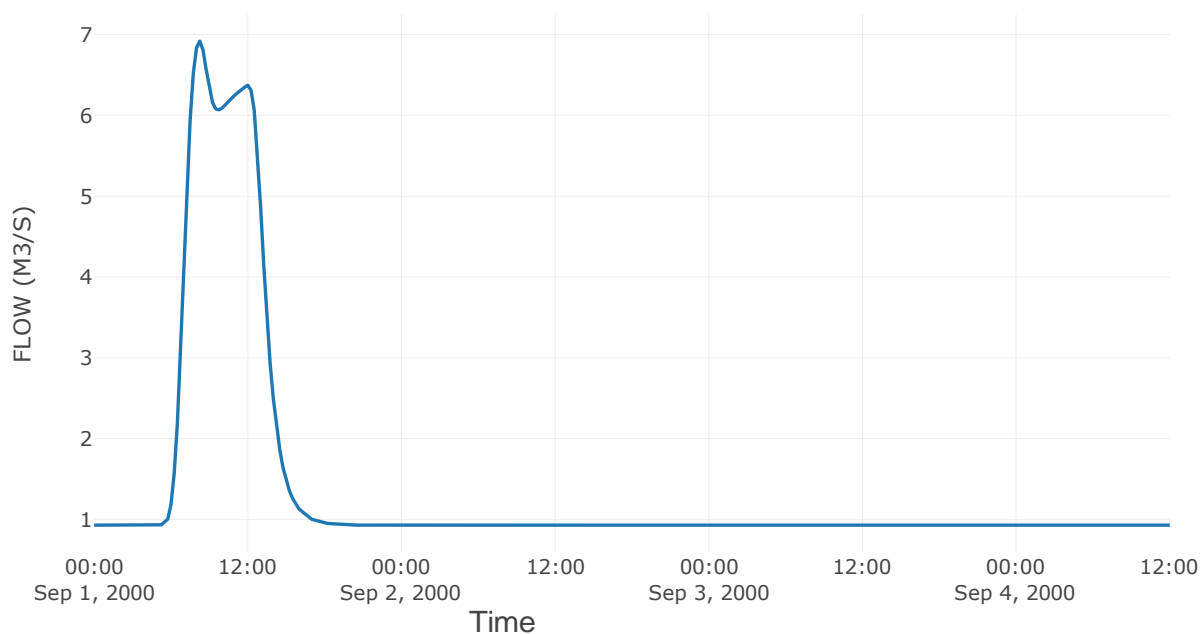
3.3 Δεδομένα και Υδρογραφήματα Σχεδιασμού Κόμβων Υδρογραφικού Δικτύου

Κόμβος εξόδου: J1

Αποτέλεσμα
τα: J1

Παροχή αιχμής (M3/S)	6.92
Χρονική στιγμή αιχμής	01Sep2000, 08:15
Όγκος (MM)	11.15

Απορροή



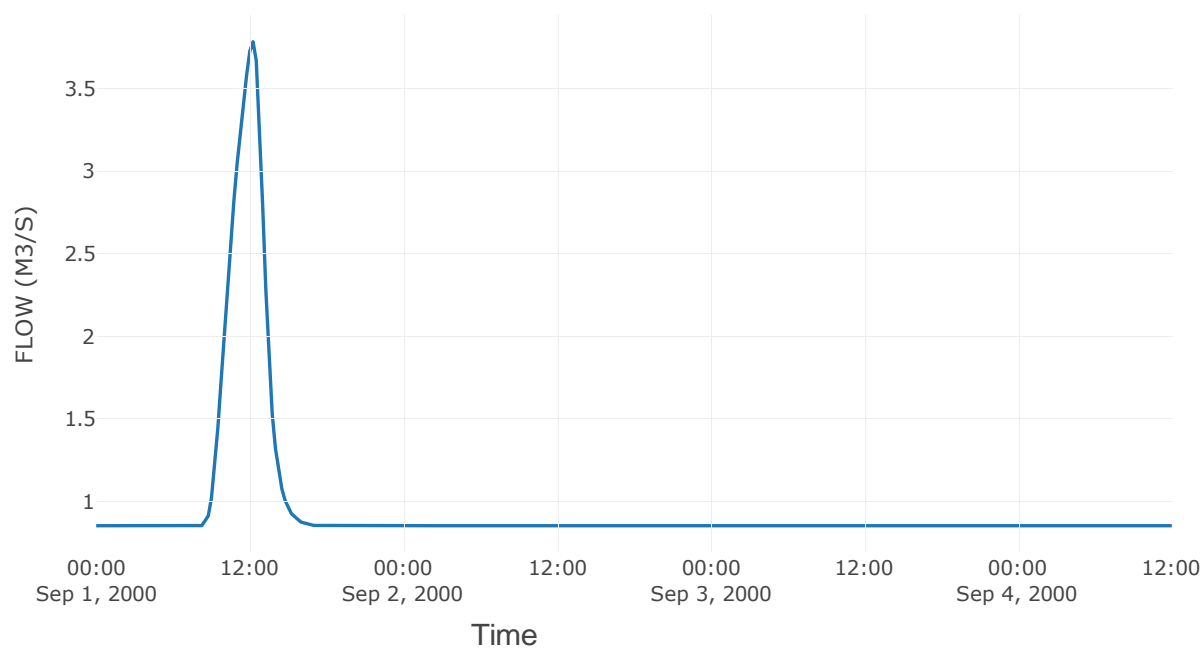
Κόμβος: J2

Κατάντη : J1

Αποτελέσματα: J2

Παροχή Αιχμής (M3/S)	3.78
Χρονική στιγμή αιχμής	01Sep2000, 12:15
Όγκος (MM)	8.5

Απορροή

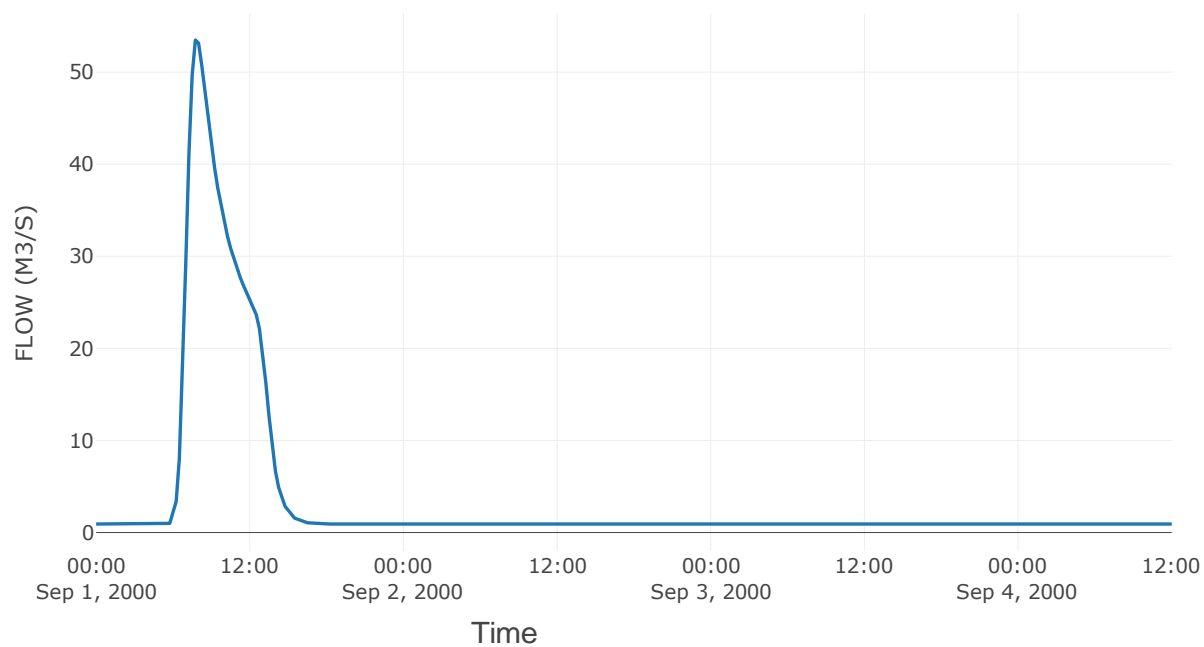


Κόμβος εξόδου: J3

Αποτέλεσμα
τα: J3

Παροχή αιχμής (M3/S)	53.48
Χρονική στιγμή αιχμής	01Sep2000, 07:45
Όγκος (MM)	30.33

Απορροή



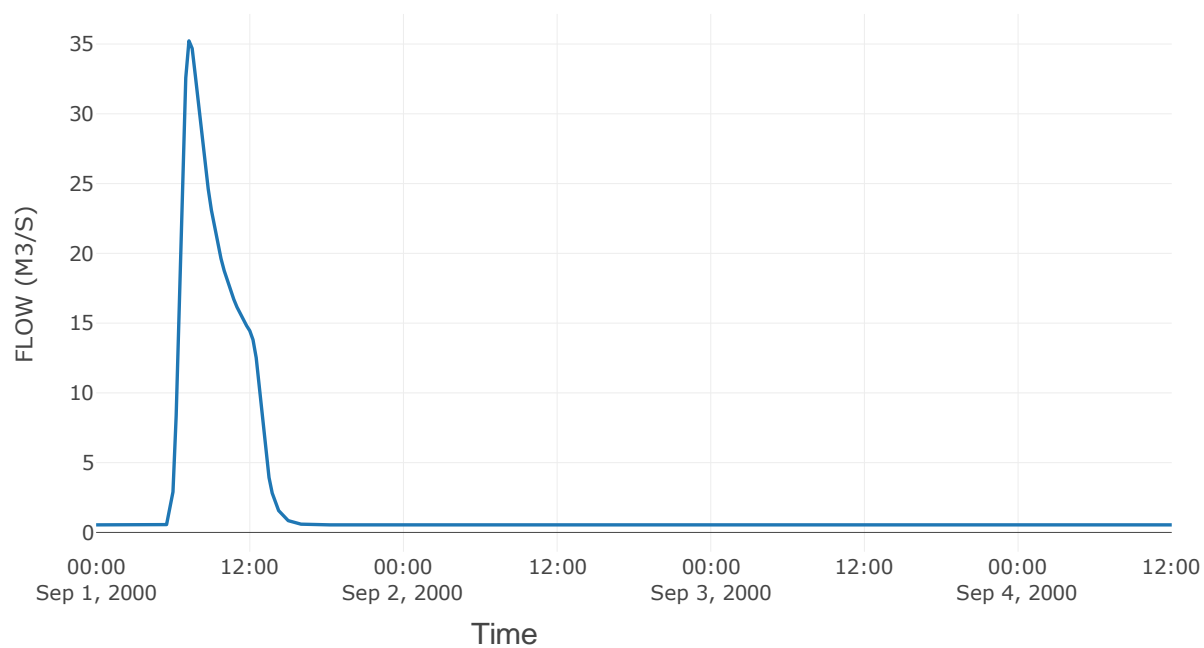
Κόμβος: J4

Κατάντη : R43

Αποτελέσματα: J4

Παροχή Αιχμής (M3/S)	35.23
Χρονική στιγμή αιχμής	01Sep2000, 07:15
Όγκος (MM)	31.45

Απορροή

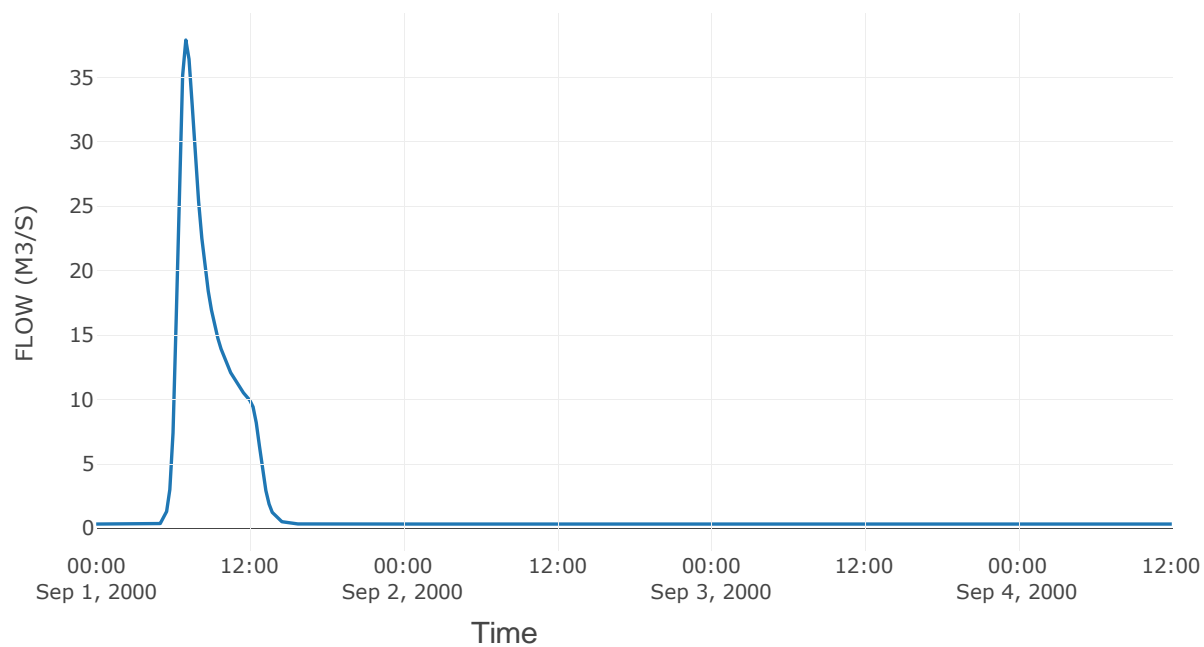


Κόμβος εξόδου: J5

Αποτέλεσμα
τα: J5

Παροχή αιχμής (M3/S)	37.9
Χρονική στιγμή αιχμής	01Sep2000, 07:00
Όγκος (MM)	42.79

Απορροή



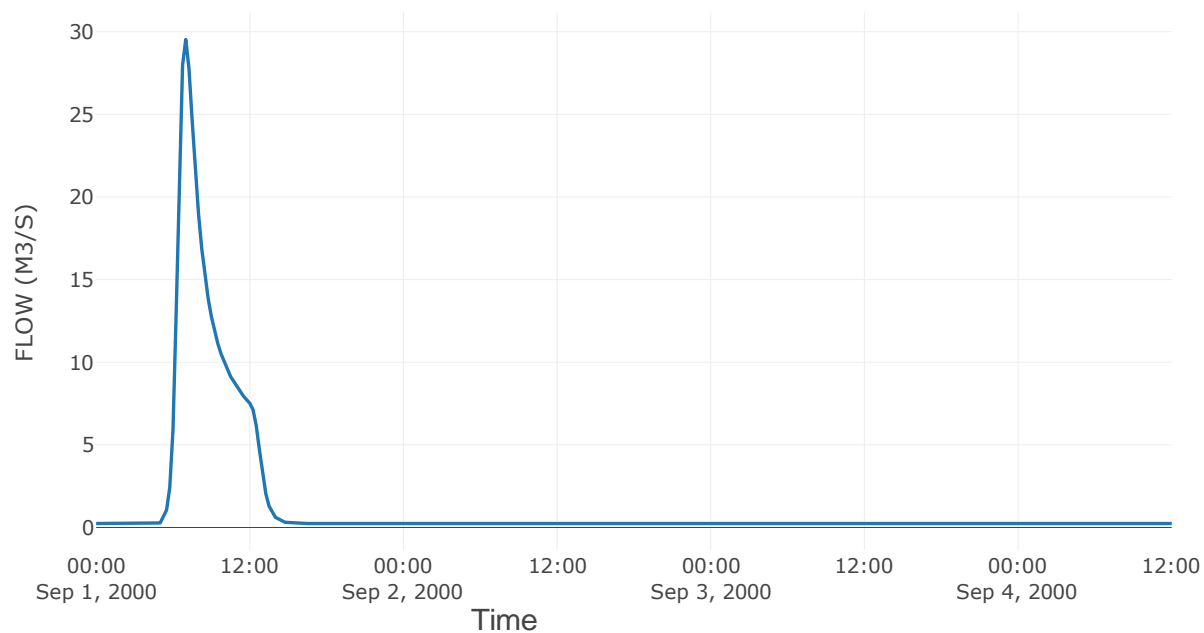
Κόμβος: J6

Κατάντη : R65

Αποτελέσματα: J6

Παροχή Αιχμής (M3/S)	29.53
Χρονική στιγμή αιχμής	01Sep2000, 07:00
Όγκος (MM)	43.28

Απορροή



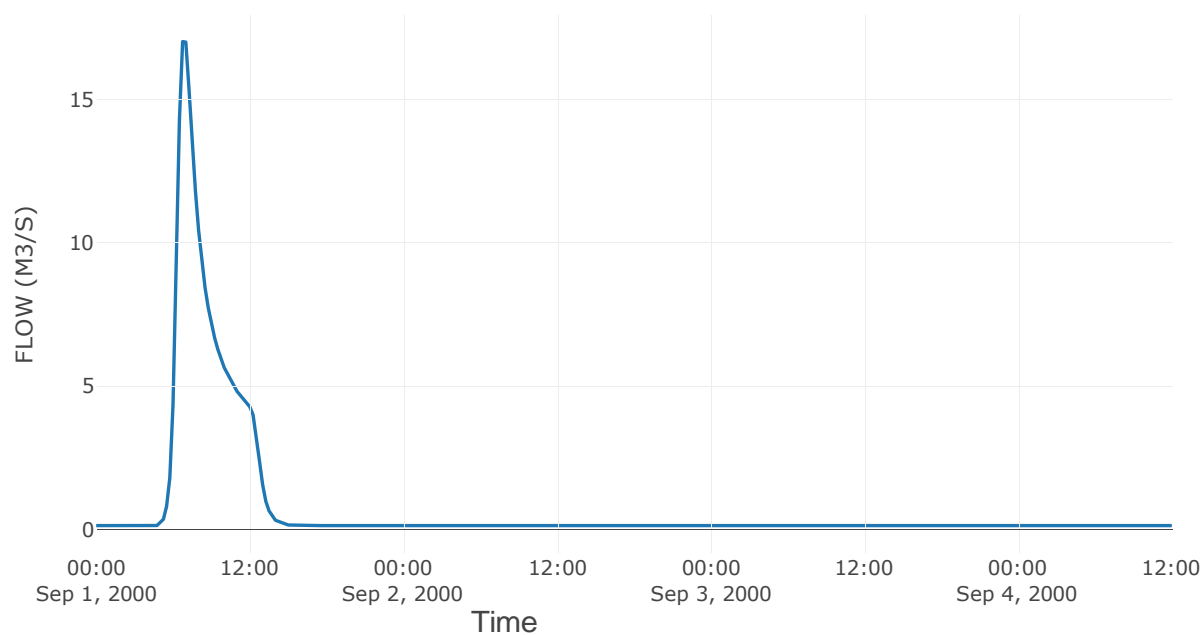
Κόμβος: J7

Κατάντη : R76

Αποτελέσματα: J7

Παροχή Αιχμής (M3/S)	17.02
Χρονική στιγμή αιχμής	01Sep2000, 06:45
Όγκος (MM)	44.5

Απορροή

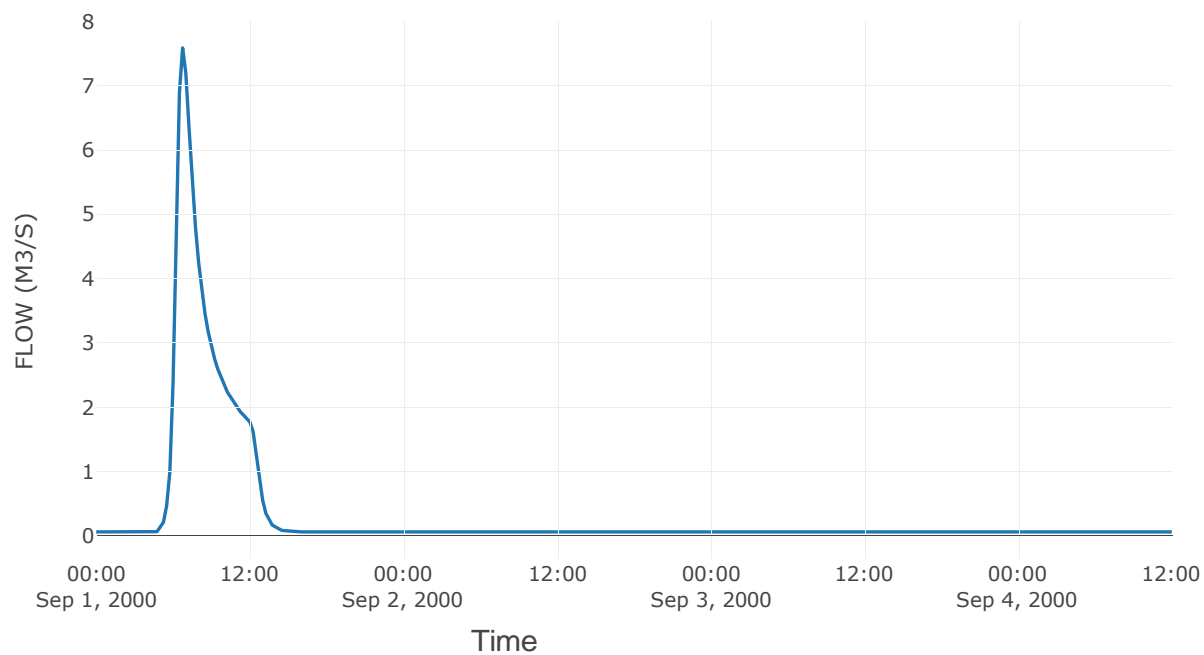


Κόμβος εξόδου: J8

Αποτέλεσμα
τα: J8

Παροχή αιχμής (M3/S)	7.59
Χρονική στιγμή αιχμής	01Sep2000, 06:45
Όγκος (MM)	43.44

Απορροή



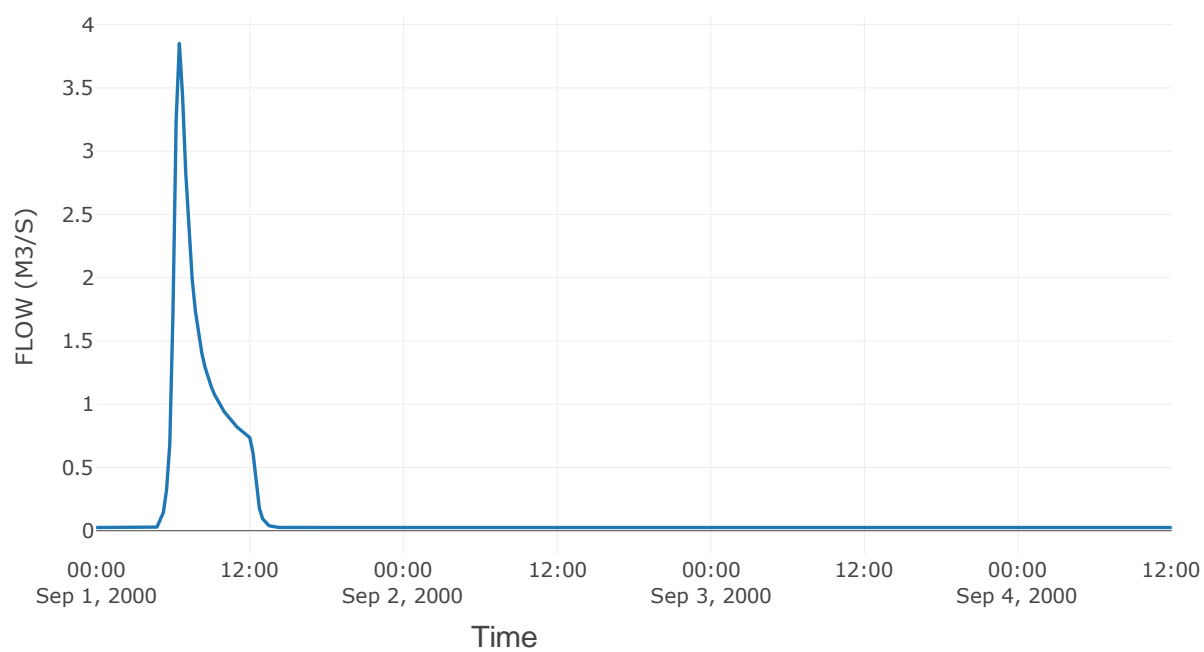
Κόμβος: J9

Κατάντη : R98

Αποτελέσματα: J9

Παροχή Αιχμής (M3/S)	3.85
Χρονική στιγμή αιχμής	01Sep2000, 06:30
Όγκος (MM)	43.02

Απορροή

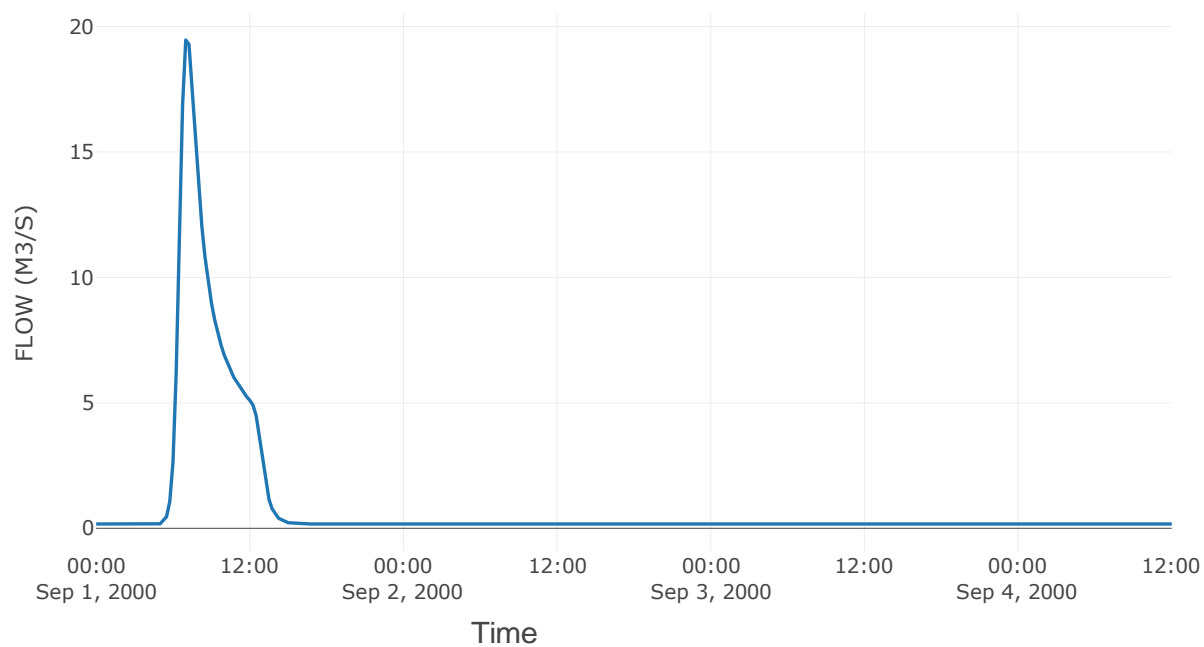


Κόμβος εξόδου: J10

Αποτελέσμα
α: J10

Παροχή αιχμής (M3/S)	19.46
Χρονική στιγμή αιχμής	01Sep2000, 07:00
Όγκος (MM)	41.24

Απορροή



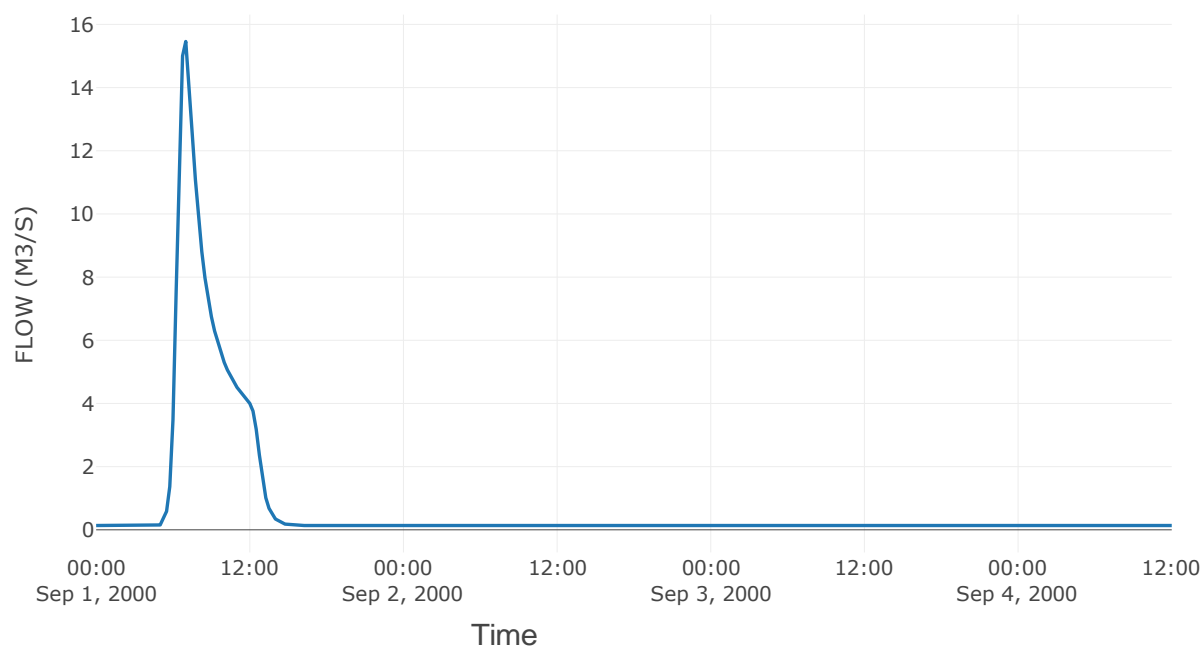
Κόμβος: J11

Κατάντη : R1110

Αποτελέσματα: J11

Παροχή Αιχμής (M3/S)	15.46
Χρονική στιγμή αιχμής	01Sep2000, 07:00
Όγκος (MM)	41.08

Απορροή

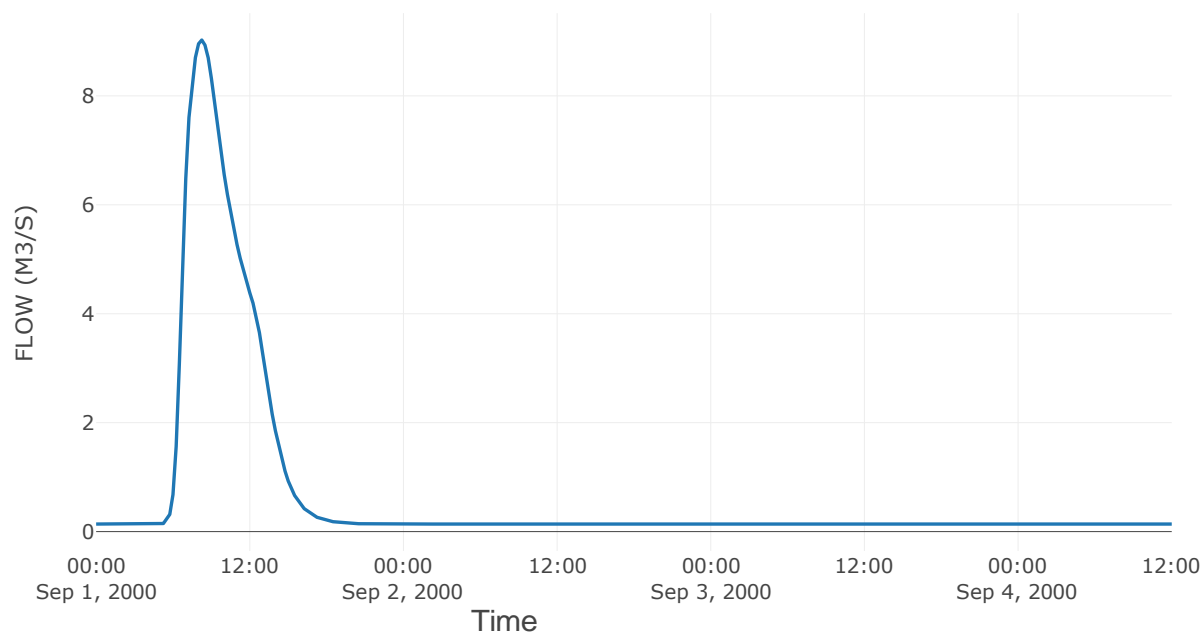


Κόμβος εξόδου: J12

Αποτελέσμα
α: J12

Παροχή αιχμής (M3/S)	9.02
Χρονική στιγμή αιχμής	01Sep2000, 08:15
Όγκος (MM)	37.37

Απορροή



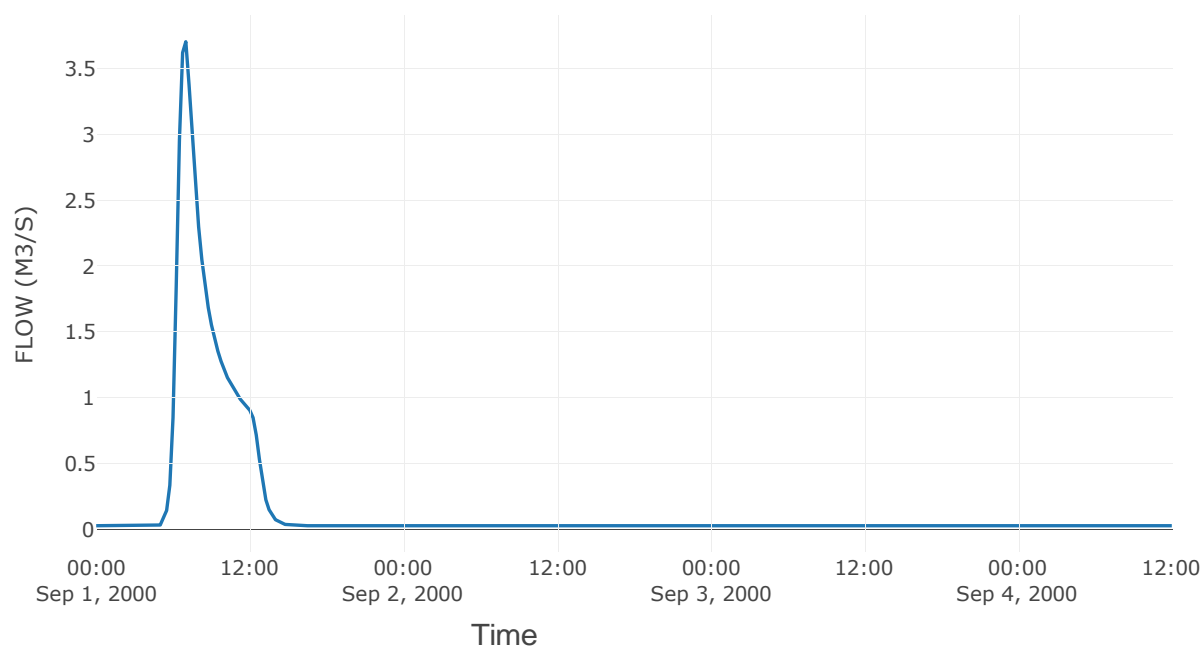
Κόμβος: J13

Κατάντη : R1312

Αποτελέσματα: J13

Παροχή Αιχμής (M3/S)	3.71
Χρονική στιγμή αιχμής	01Sep2000, 07:00
Όγκος (MM)	41.79

Απορροή

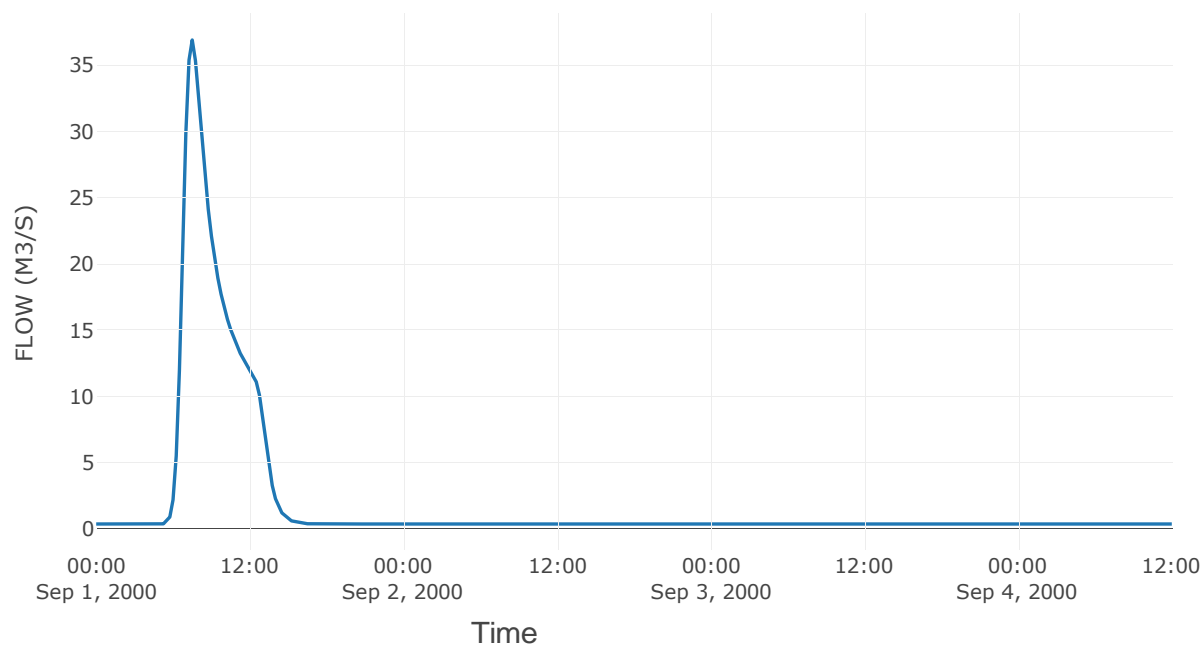


Κόμβος εξόδου: J14

Αποτελέσμα
α: J14

Παροχή αιχμής (M3/S)	36.92
Χρονική στιγμή αιχμής	01Sep2000, 07:30
Όγκος (MM)	39.4

Απορροή



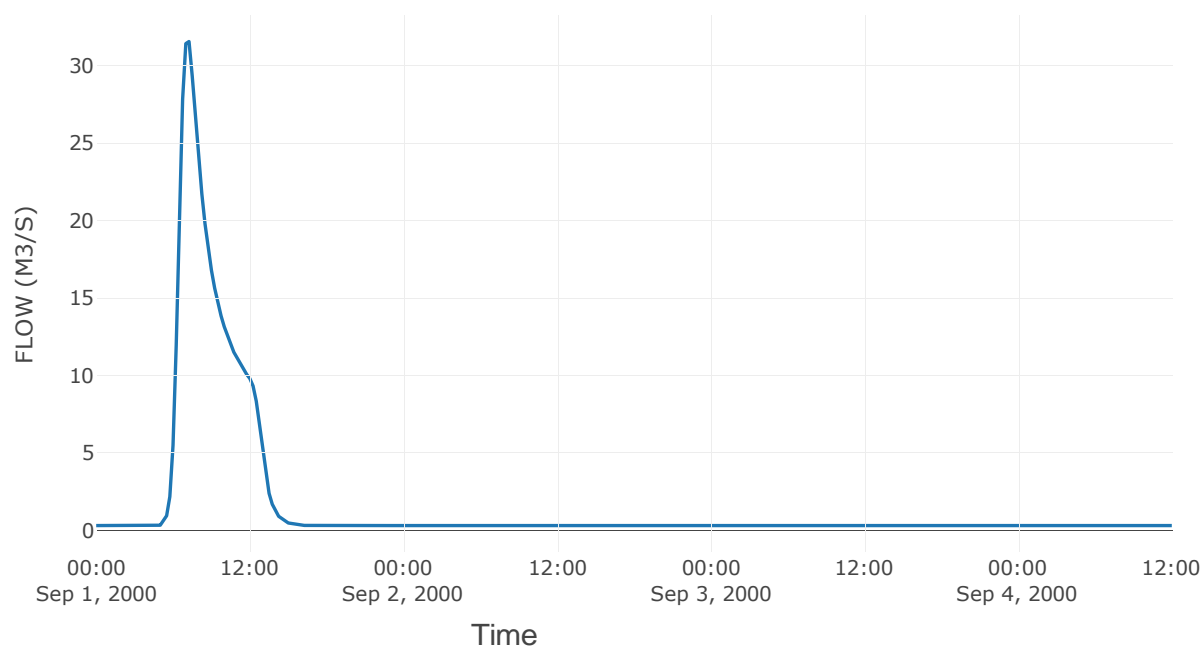
Κόμβος: J15

Κατάντη : R1514

Αποτελέσματα: J15

Παροχή Αιχμής (M3/S)	31.56
Χρονική στιγμή αιχμής	01Sep2000, 07:15
Όγκος (MM)	40.4

Απορροή

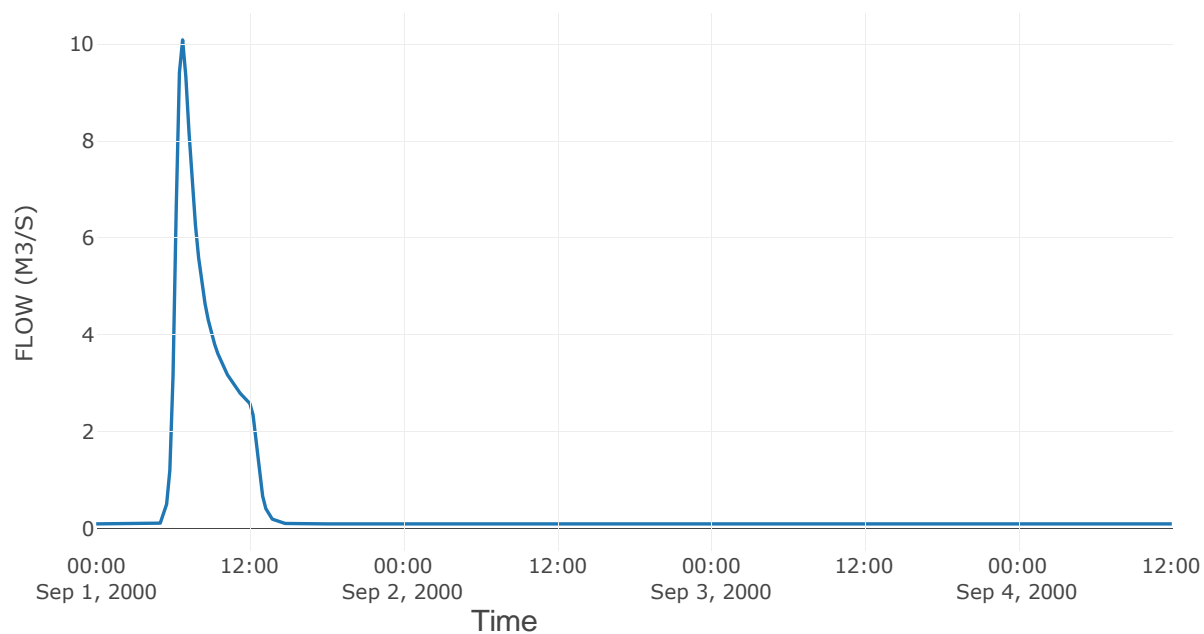


Κόμβος εξόδου: J16

Αποτελέσμα
α: J16

Παροχή αιχμής (M3/S)	10.09
Χρονική στιγμή αιχμής	01Sep2000, 06:45
Όγκος (MM)	39.09

Απορροή



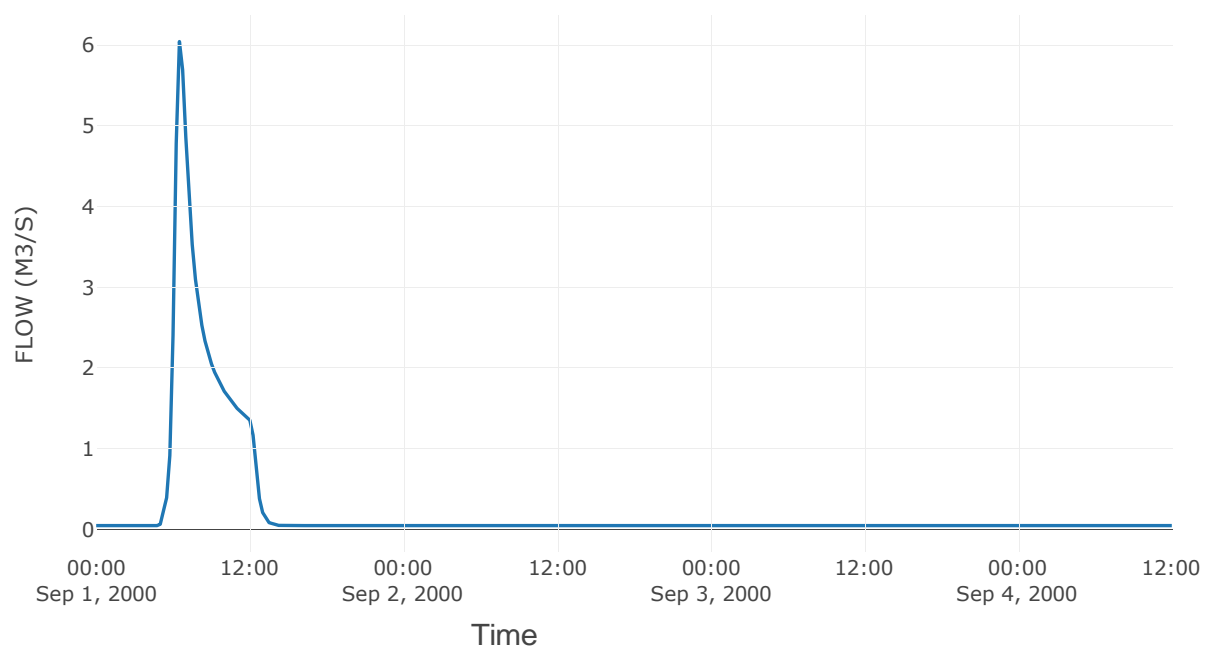
Κόμβος: J17

Κατάντη : R1716

Αποτελέσματα: J17

Παροχή Αιχμής (M3/S)	6.04
Χρονική στιγμή αιχμής	01Sep2000, 06:30
Όγκος (MM)	39.8

Απορροή



4 Δεδομένα εισόδου και αποτελέσματα υδρολογικού σεναρίου T=50U

4.1 Αποτελέσματα, υετογραφήματα και υδρογραφήματα σχεδιασμού υπολεκάνων

Υπολεκάνη: EL0421FR003001

Έκταση (KM2) : 2.97

Κατάντη : J1

Μέθοδος Απωλειών: SCS

Ποσοστό αδιαπέρατης επιφάνειας	0
Αριθμός Καμπύλης Απορροής-CN	90.64
Αρχικές Απώλειες	5.25

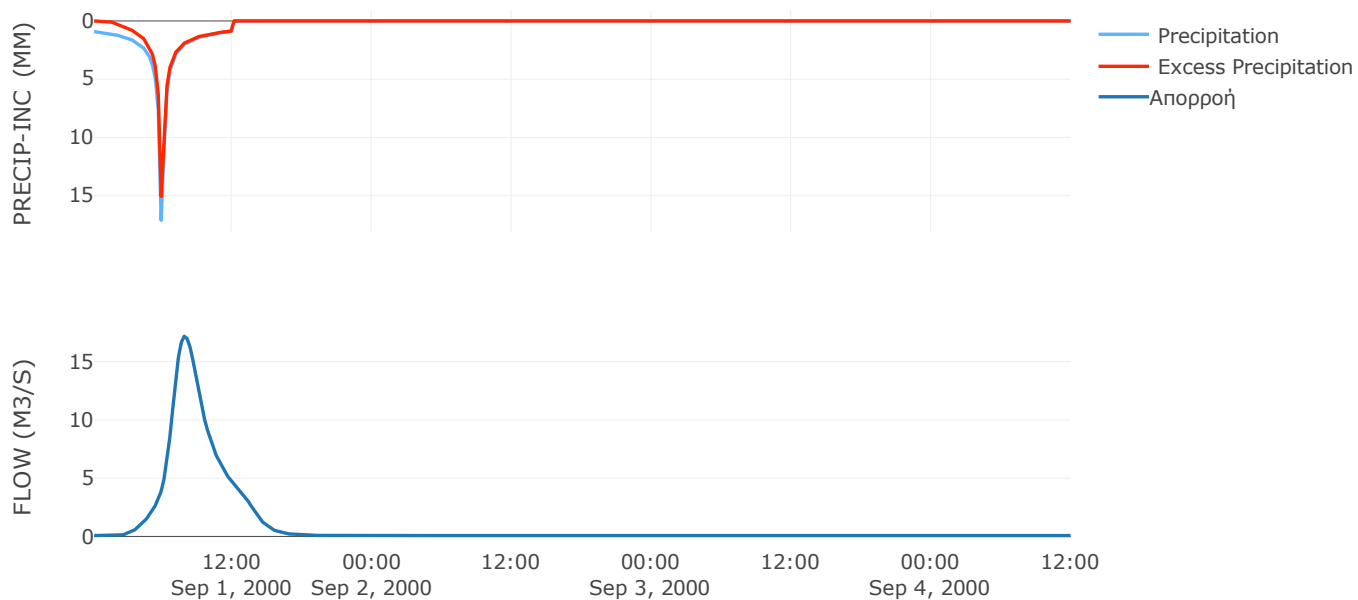
Μέθοδος Μετασχηματισμού: SCS

Χρόνος Υστέρησης	102.51
------------------	--------

Αποτελέσματα:
EL0421FR003001

Παροχή αιχμής (M3/S)	17.18
Χρονική στιγμή αιχμής	01Sep2000, 07:45
Όγκος (MM)	98.77
Όγκος βροχόπτωσης (M3)	3.5E5
Όγκος απωλειών (M3)	78864.8
Ενεργός Όγκος (M3)	2.71E5
Όγκος άμεσης απορροής (M3)	2.71E5
Όγκος βασικής απορροής (M3)	22474.37

Βροχόπτωση και Απορροή



Υπολεκάνη: EL0421FR003002

Έκταση (KM2) : 34.23

Κατάντη : J2

Μέθοδος Απωλειών: SCS

Ποσοστό αδιαπέρατης επιφάνειας	0
Αριθμός Καμπύλης Απορροής-CN	73.37
Αρχικές Απώλειες	18.44

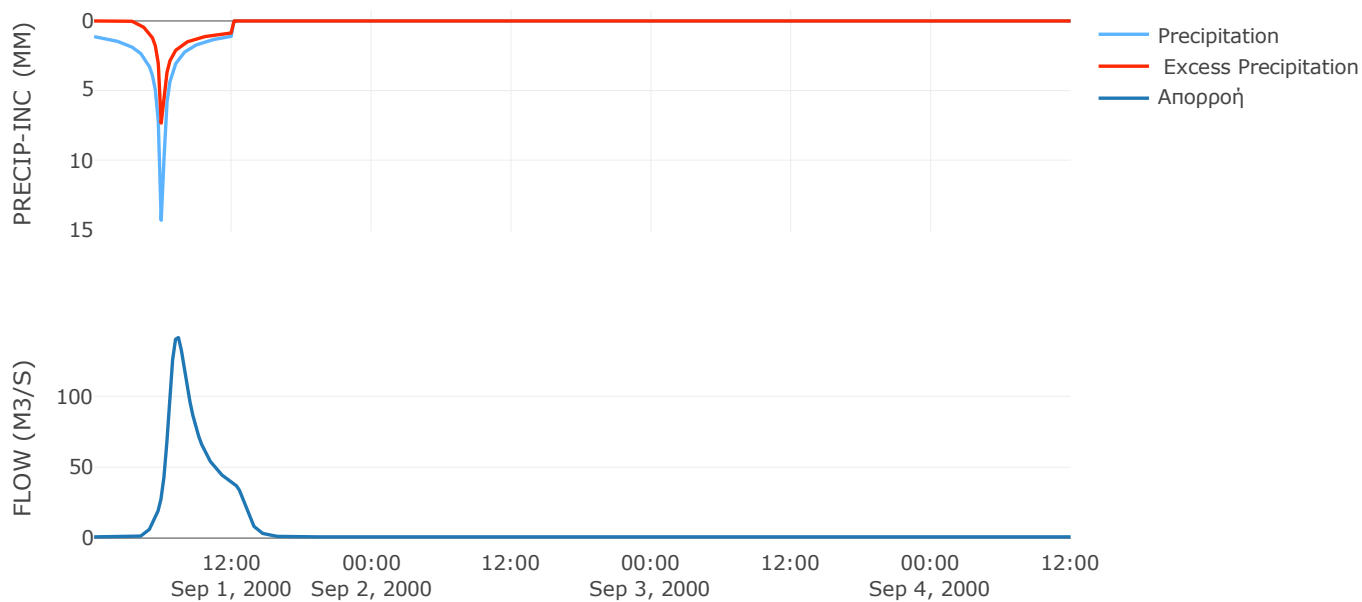
Μέθοδος Μετασχηματισμού: SCS

Χρόνος Υστέρησης	58.89
------------------	-------

Αποτελέσματα:
EL0421FR003002

Παροχή αιχμής (M3/S)	141.37
Χρονική στιγμή αιχμής	01Sep2000, 07:15
Όγκος (MM)	63.31
Όγκος βροχόπτωσης (M3)	4.22E6
Όγκος απωλειών (M3)	2.31E6
Ενεργός Όγκος (M3)	1.91E6
Όγκος άμεσης απορροής (M3)	1.91E6
Όγκος βασικής απορροής (M3)	2.59E5

Βροχόπτωση και Απορροή



Υπολεκάνη: EL0421FR003003

Έκταση (KM2) : 15.17

Κατάντη : J3

Μέθοδος Απωλειών: SCS

Ποσοστό αδιαπέρατης επιφάνειας	0
Αριθμός Καμπύλης Απορροής-CN	87.08
Αρχικές Απώλειες	7.54

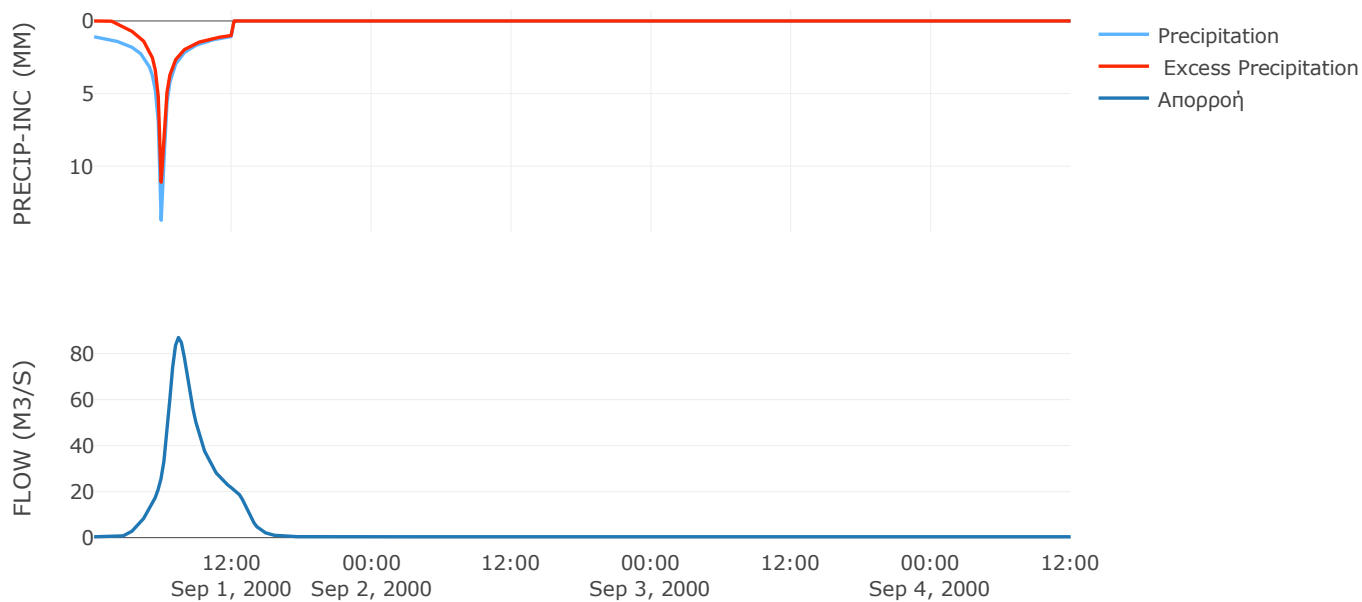
Μέθοδος Μετασχηματισμού: SCS

Χρόνος Υστέρησης	70.89
------------------	-------

Αποτελέσματα:
EL0421FR003003

Παροχή αιχμής (M3/S)	87.03
Χρονική στιγμή αιχμής	01Sep2000, 07:15
Όγκος (MM)	90.63
Όγκος βροχόπτωσης (M3)	1.8E6
Όγκος απωλειών (M3)	5.41E5
Ενεργός Όγκος (M3)	1.26E6
Όγκος άμεσης απορροής (M3)	1.26E6
Όγκος βασικής απορροής (M3)	1.15E5

Βροχόπτωση και Απορροή



Υπολεκάνη: EL0421FR003004

Έκταση (KM2) : 21.72

Κατάντη : J4

Μέθοδος Απωλειών: SCS

Ποσοστό αδιαπέρατης επιφάνειας	0
Αριθμός Καμπύλης Απορροής-CN	87.25
Αρχικές Απώλειες	7.43

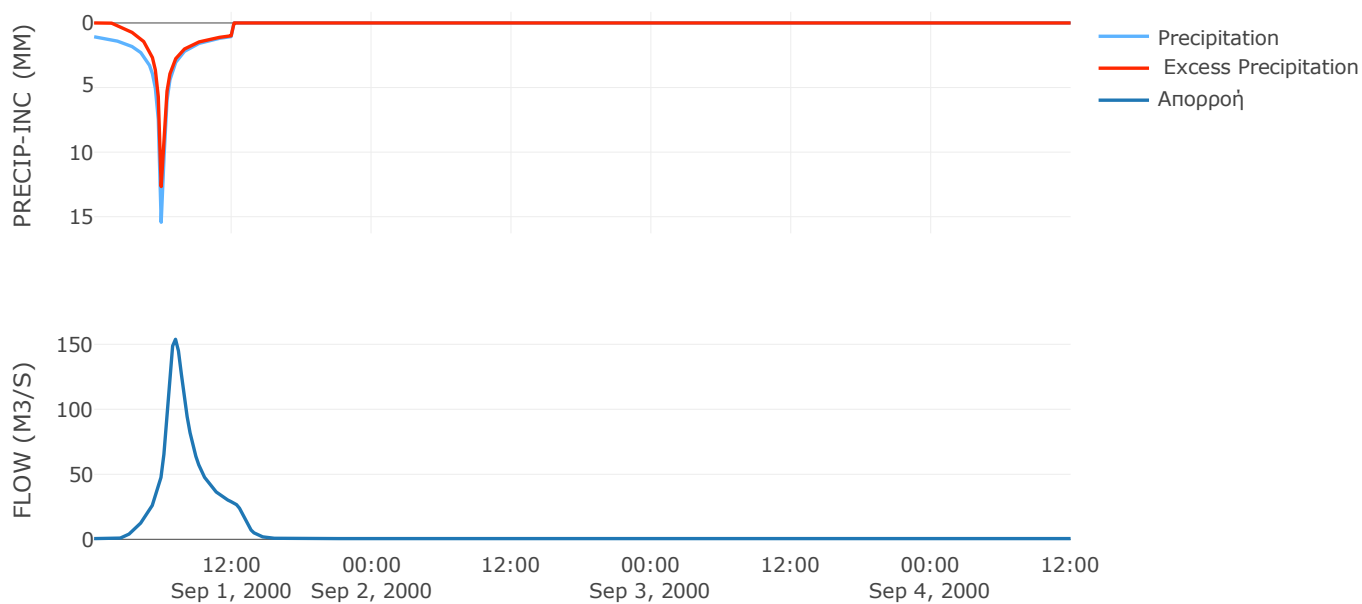
Μέθοδος Μετασχηματισμού: SCS

Χρόνος Υστέρησης	54.46
------------------	-------

Αποτελέσματα:
EL0421FR003004

Παροχή αιχμής (M3/S)	153.84
Χρονική στιγμή αιχμής	01Sep2000, 07:00
Όγκος (MM)	95.35
Όγκος βροχόπτωσης (M3)	2.68E6
Όγκος απωλειών (M3)	7.72E5
Ενεργός Όγκος (M3)	1.91E6
Όγκος άμεσης απορροής (M3)	1.91E6
Όγκος βασικής απορροής (M3)	1.64E5

Βροχόπτωση και Απορροή



Υπολεκάνη: EL0421FR003005

Έκταση (KM2) : 3.17

Κατάντη : J5

Μέθοδος Απωλειών: SCS

Ποσοστό αδιαπέρατης επιφάνειας	0
Αριθμός Καμπύλης Απορροής-CN	90.74
Αρχικές Απώλειες	5.19

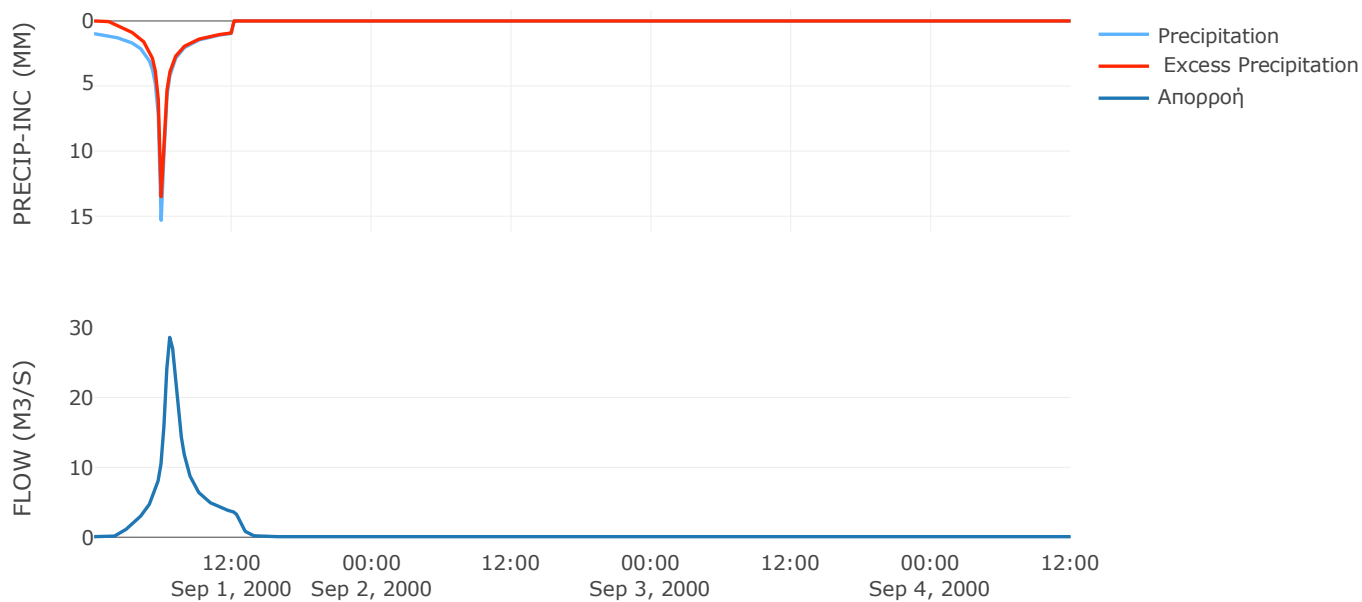
Μέθοδος Μετασχηματισμού: SCS

Χρόνος Υστέρησης	33.14
------------------	-------

Αποτελέσματα:
EL0421FR003005

Παροχή αιχμής (M3/S)	28.61
Χρονική στιγμή αιχμής	01Sep2000, 06:30
Όγκος (MM)	97.88
Όγκος βροχόπτωσης (M3)	3.7E5
Όγκος απωλειών (M3)	83123.27
Ενεργός Όγκος (M3)	2.86E5
Όγκος άμεσης απορροής (M3)	2.86E5
Όγκος βασικής απορροής (M3)	23971.25

Βροχόπτωση και Απορροή



Υπολεκάνη: EL0421FR003006

Έκταση (KM2) : 4.26

Κατάντη : J6

Μέθοδος Απωλειών: SCS

Ποσοστό αδιαπέρατης επιφάνειας	0
Αριθμός Καμπύλης Απορροής-CN	90.88
Αρχικές Απώλειες	5.1

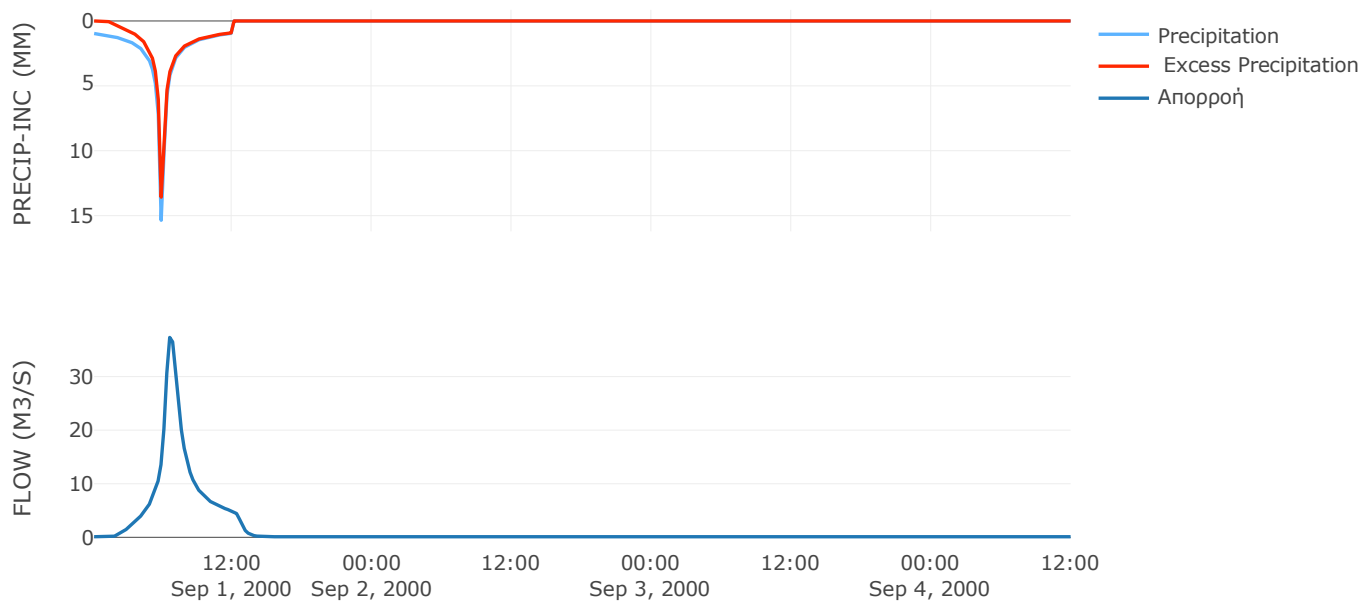
Μέθοδος Μετασχηματισμού: SCS

Χρόνος Υστέρησης	35.53
------------------	-------

Αποτελέσματα:
EL0421FR003006

Παροχή αιχμής (M3/S)	37.31
Χρονική στιγμή αιχμής	01Sep2000, 06:30
Όγκος (MM)	97.87
Όγκος βροχόπτωσης (M3)	4.95E5
Όγκος απωλειών (M3)	1.1E5
Ενεργός Όγκος (M3)	3.85E5
Όγκος άμεσης απορροής (M3)	3.85E5
Όγκος βασικής απορροής (M3)	32226.77

Βροχόπτωση και Απορροή



Υπολεκάνη: EL0421FR003007

Έκταση (KM2) : 5.37

Κατάντη : J7

Μέθοδος Απωλειών: SCS

Ποσοστό αδιαπέρατης επιφάνειας	0
Αριθμός Καμπύλης Απορροής-CN	90.66
Αρχικές Απώλειες	5.24

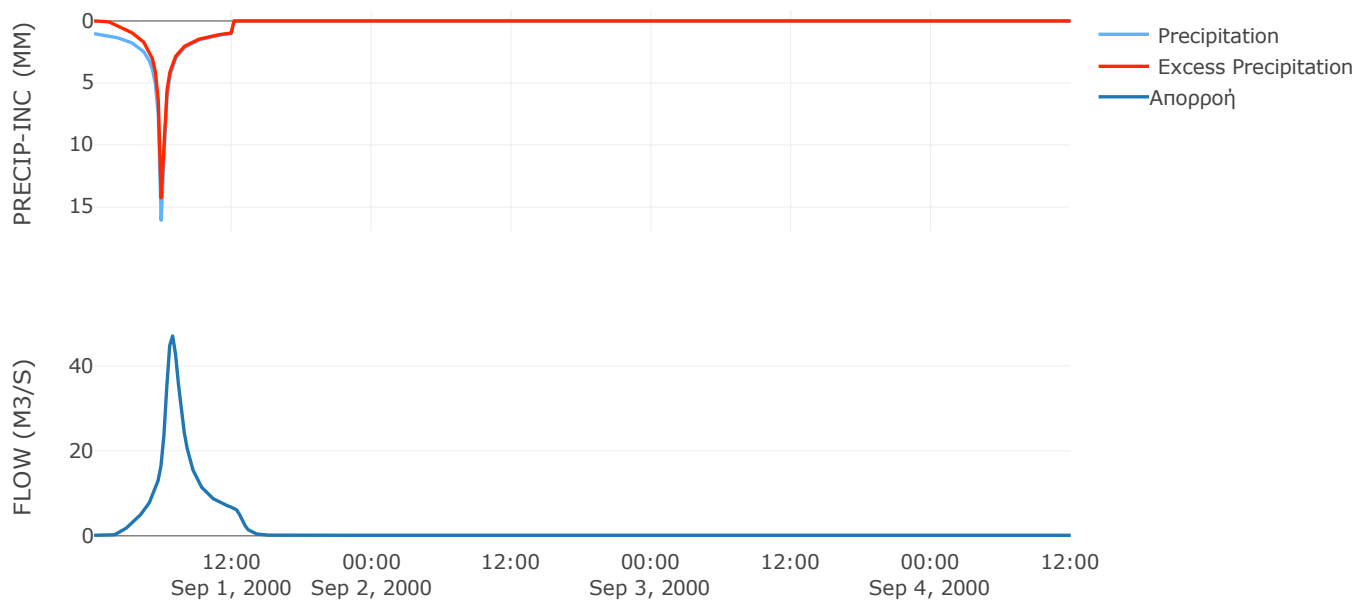
Μέθοδος Μετασχηματισμού: SCS

Χρόνος Υστέρησης	41.45
------------------	-------

Αποτελέσματα:
EL0421FR003007

Παροχή αιχμής (M3/S)	47
Χρονική στιγμή αιχμής	01Sep2000, 06:45
Όγκος (MM)	103.16
Όγκος βροχόπτωσης (M3)	6.56E5
Όγκος απωλειών (M3)	1.43E5
Ενεργός Όγκος (M3)	5.13E5
Όγκος άμεσης απορροής (M3)	5.13E5
Όγκος βασικής απορροής (M3)	40600.22

Βροχόπτωση και Απορροή



Υπολεκάνη: EL0421FR003008

Έκταση (KM2) : 1.34

Κατάντη : J8

Μέθοδος Απωλειών: SCS

Ποσοστό αδιαπέρατης επιφάνειας	0
Αριθμός Καμπύλης Απορροής-CN	91.49
Αρχικές Απώλειες	4.72

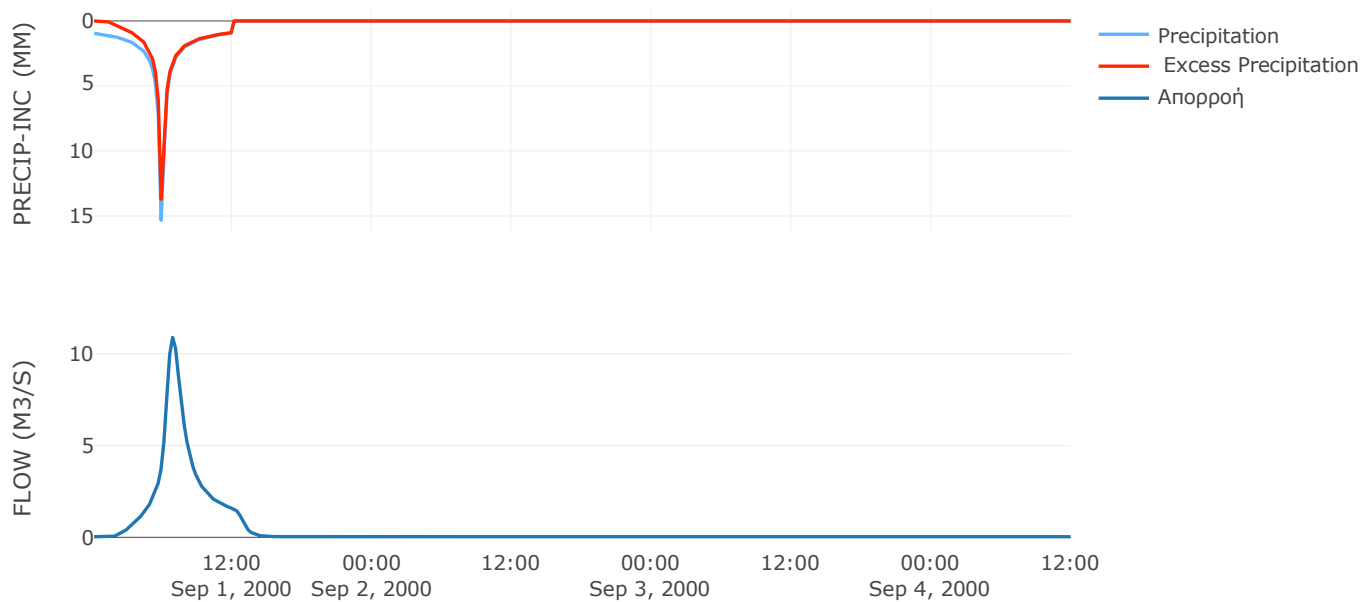
Μέθοδος Μετασχηματισμού: SCS

Χρόνος Υστέρησης	45.25
------------------	-------

Αποτελέσματα:
EL0421FR003008

Παροχή αιχμής (M3/S)	10.89
Χρονική στιγμή αιχμής	01Sep2000, 06:45
Όγκος (MM)	98.15
Όγκος βροχόπτωσης (M3)	1.54E5
Όγκος απωλειών (M3)	32398.08
Ενεργός Όγκος (M3)	1.21E5
Όγκος άμεσης απορροής (M3)	1.21E5
Όγκος βασικής απορροής (M3)	10134.03

Βροχόπτωση και Απορροή



Υπολεκάνη: EL0421FR003009

Έκταση (KM2) : 1.01

Κατάντη : J9

Μέθοδος Απωλειών: SCS

Ποσοστό αδιαπέρατης επιφάνειας	0
Αριθμός Καμπύλης Απορροής-CN	91.29
Αρχικές Απώλειες	4.85

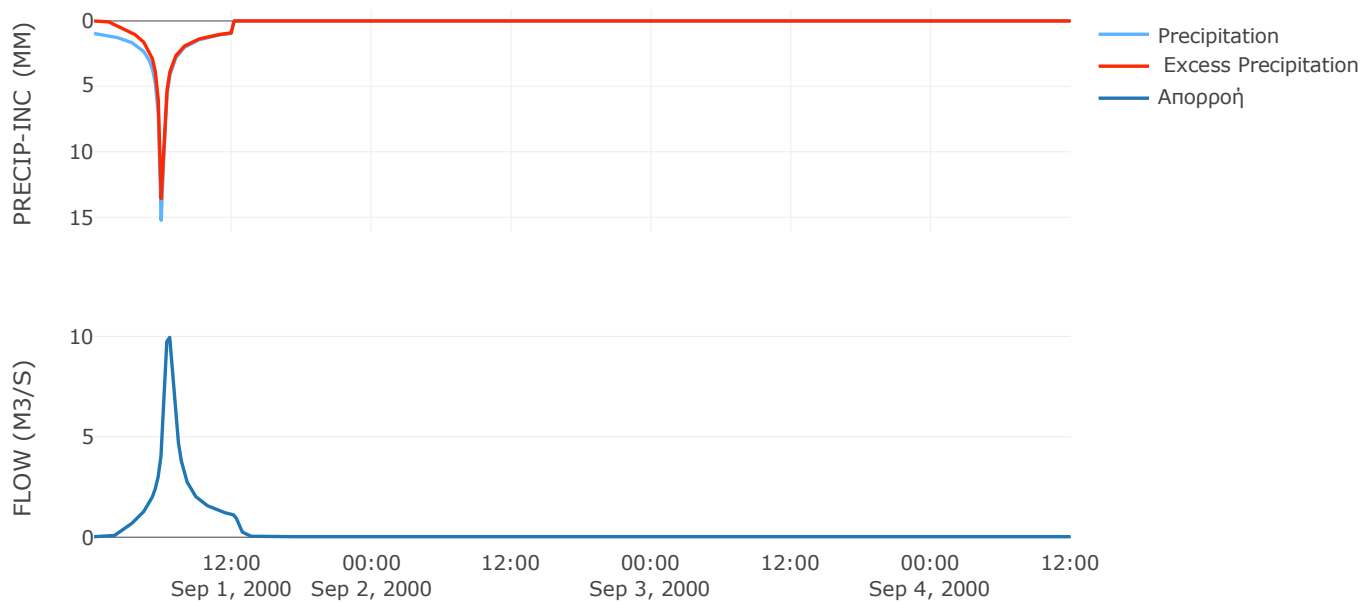
Μέθοδος Μετασχηματισμού: SCS

Χρόνος Υστέρησης	23.96
------------------	-------

Αποτελέσματα:
EL0421FR003009

Παροχή αιχμής (M3/S)	9.95
Χρονική στιγμή αιχμής	01Sep2000, 06:30
Όγκος (MM)	97.96
Όγκος βροχόπτωσης (M3)	1.17E5
Όγκος απωλειών (M3)	25050.31
Ενεργός Όγκος (M3)	91650.95
Όγκος άμεσης απορροής (M3)	91650.95
Όγκος βασικής απορροής (M3)	7664.03

Βροχόπτωση και Απορροή



Υπολεκάνη: EL0421FR003010

Έκταση (KM2) : 1.43

Κατάντη : J10

Μέθοδος Απωλειών: SCS

Ποσοστό αδιαπέρατης επιφάνειας	0
Αριθμός Καμπύλης Απορροής-CN	91.48
Αρχικές Απώλειες	4.73

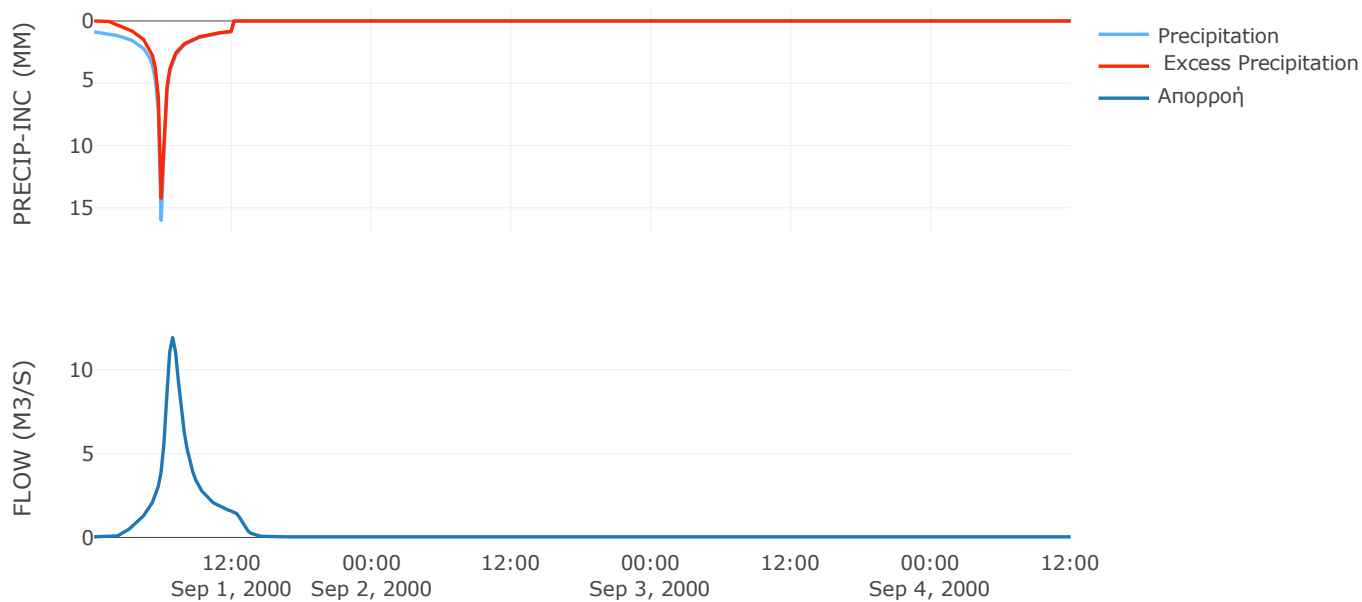
Μέθοδος Μετασχηματισμού: SCS

Χρόνος Υστέρησης	43.76
------------------	-------

Αποτελέσματα:
EL0421FR003010

Παροχή αιχμής (M3/S)	11.93
Χρονική στιγμή αιχμής	01Sep2000, 06:45
Όγκος (MM)	95.29
Όγκος βροχόπτωσης (M3)	1.6E5
Όγκος απωλειών (M3)	34531.59
Ενεργός Όγκος (M3)	1.26E5
Όγκος άμεσης απορροής (M3)	1.26E5
Όγκος βασικής απορροής (M3)	10825.01

Βροχόπτωση και Απορροή



Υπολεκάνη: EL0421FR003011

Έκταση (KM2) : 5.43

Κατάντη : J11

Μέθοδος Απωλειών: SCS

Ποσοστό αδιαπέρατης επιφάνειας	0
Αριθμός Καμπύλης Απορροής-CN	90.88
Αρχικές Απώλειες	5.1

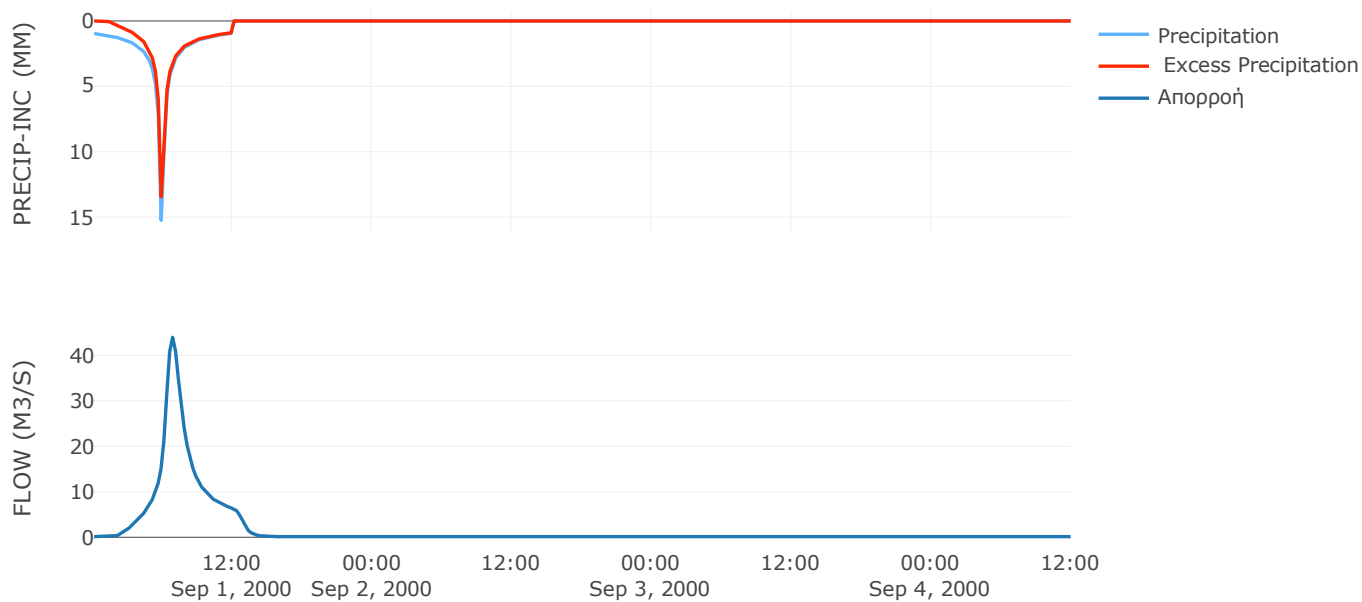
Μέθοδος Μετασχηματισμού: SCS

Χρόνος Υστέρησης	43.58
------------------	-------

Αποτελέσματα:
EL0421FR003011

Παροχή αιχμής (M3/S)	43.97
Χρονική στιγμή αιχμής	01Sep2000, 06:45
Όγκος (MM)	96.88
Όγκος βροχόπτωσης (M3)	6.25E5
Όγκος απωλειών (M3)	1.4E5
Ενεργός Όγκος (M3)	4.85E5
Όγκος άμεσης απορροής (M3)	4.85E5
Όγκος βασικής απορροής (M3)	41029.63

Βροχόπτωση και Απορροή



Υπολεκάνη: EL0421FR003012

Έκταση (KM2) : 4.3

Κατάντη : J12

Μέθοδος Απωλειών: SCS

Ποσοστό αδιαπέρατης επιφάνειας	0
Αριθμός Καμπύλης Απορροής-CN	90.64
Αρχικές Απώλειες	5.24

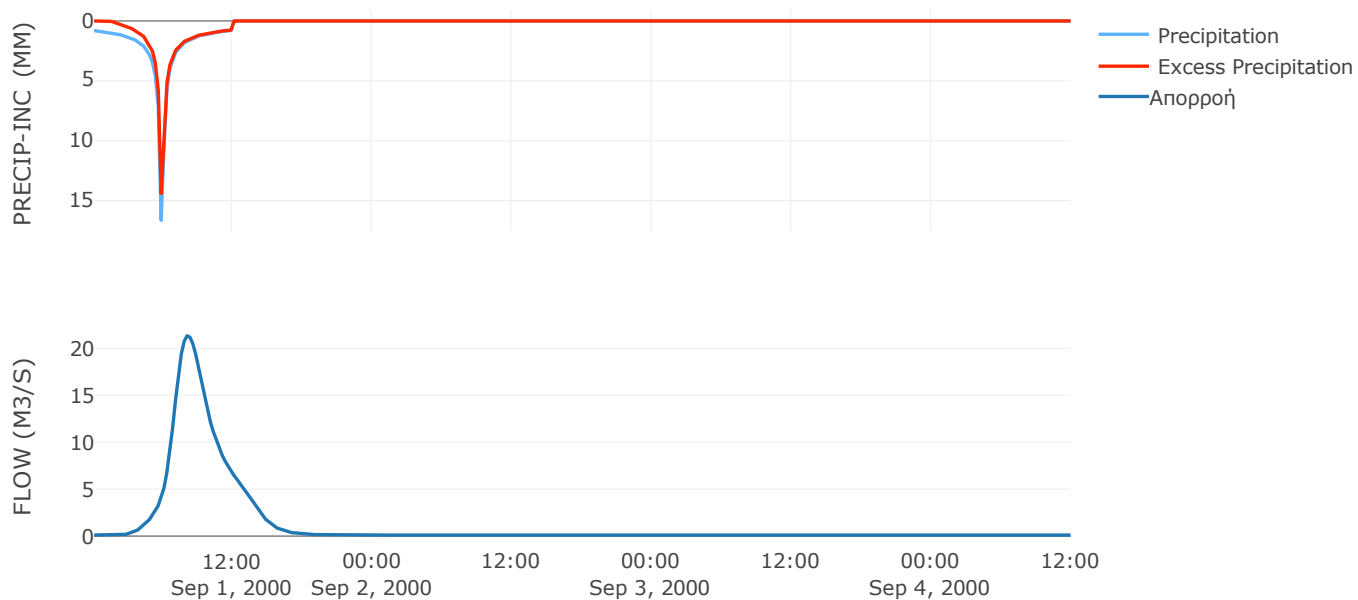
Μέθοδος Μετασχηματισμού: SCS

Χρόνος Υστέρησης	116.8
------------------	-------

Αποτελέσματα:
EL0421FR003012

Παροχή αιχμής (M3/S)	21.34
Χρονική στιγμή αιχμής	01Sep2000, 08:00
Όγκος (MM)	89.97
Όγκος βροχόπτωσης (M3)	4.66E5
Όγκος απωλειών (M3)	1.12E5
Ενεργός Όγκος (M3)	3.54E5
Όγκος άμεσης απορροής (M3)	3.54E5
Όγκος βασικής απορροής (M3)	32471.71

Βροχόπτωση και Απορροή



Υπολεκάνη: EL0421FR003013

Έκταση (KM2) : 1.25

Κατάντη : J13

Μέθοδος Απωλειών: SCS

Ποσοστό αδιαπέρατης επιφάνειας	0
Αριθμός Καμπύλης Απορροής-CN	91.19
Αρχικές Απώλειες	4.91

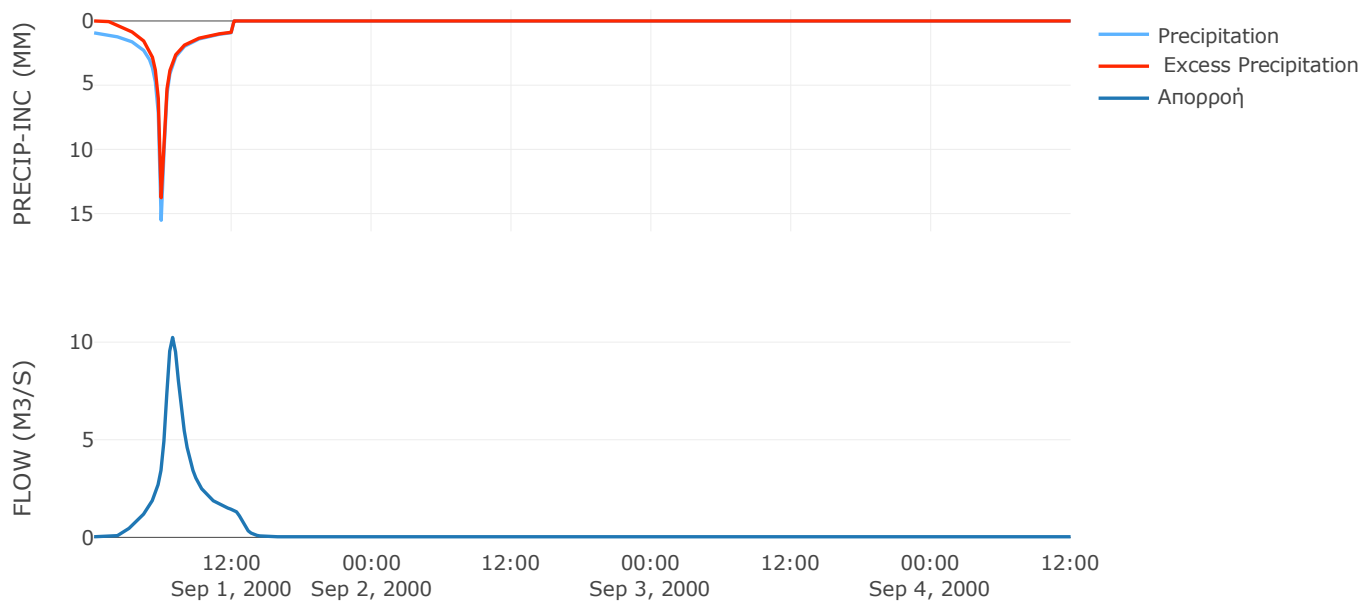
Μέθοδος Μετασχηματισμού: SCS

Χρόνος Υστέρησης	43.39
------------------	-------

Αποτελέσματα:
EL0421FR003013

Παροχή αιχμής (M3/S)	10.24
Χρονική στιγμή αιχμής	01Sep2000, 06:45
Όγκος (MM)	96.59
Όγκος βροχόπτωσης (M3)	1.42E5
Όγκος απωλειών (M3)	31076.87
Ενεργός Όγκος (M3)	1.11E5
Όγκος άμεσης απορροής (M3)	1.11E5
Όγκος βασικής απορροής (M3)	9414.92

Βροχόπτωση και Απορροή



Υπολεκάνη: EL0421FR003014

Έκταση (KM2) : 2.74

Κατάντη : J14

Μέθοδος Απωλειών: SCS

Ποσοστό αδιαπέρατης επιφάνειας	0
Αριθμός Καμπύλης Απορροής-CN	89.63
Αρχικές Απώλειες	5.88

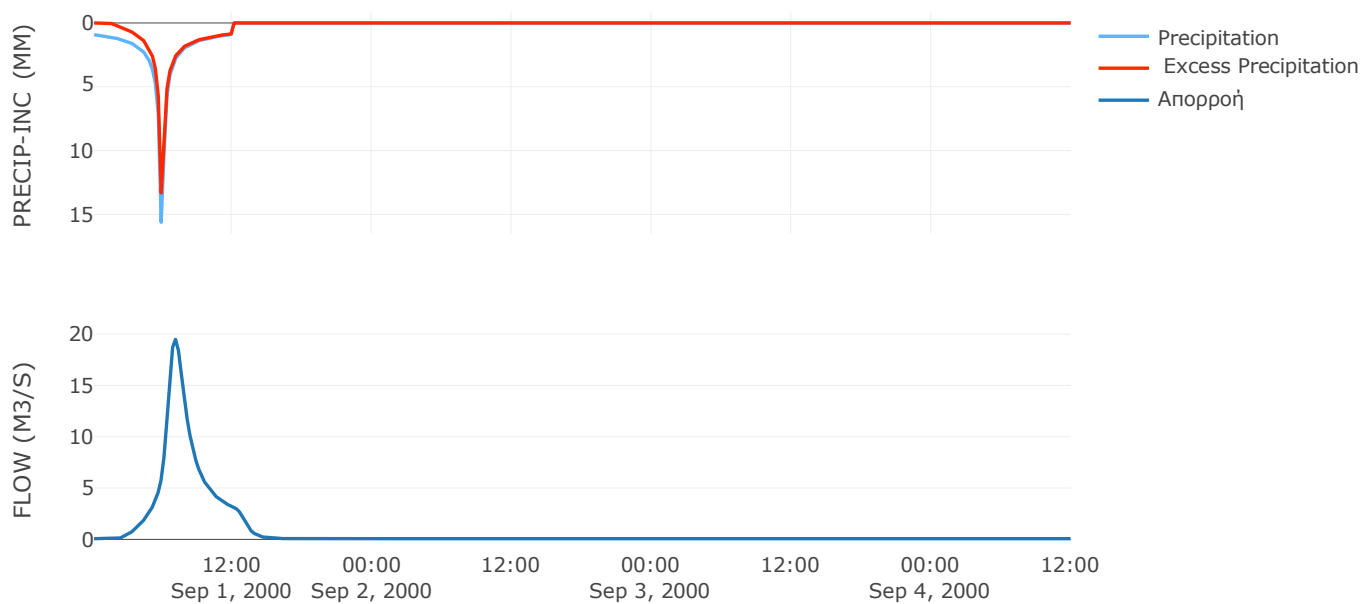
Μέθοδος Μετασχηματισμού: SCS

Χρόνος Υστέρησης	55.87
------------------	-------

Αποτελέσματα:
EL0421FR003014

Παροχή αιχμής (M3/S)	19.49
Χρονική στιγμή αιχμής	01Sep2000, 07:00
Όγκος (MM)	92.04
Όγκος βροχόπτωσης (M3)	3.11E5
Όγκος απωλειών (M3)	79464.73
Ενεργός Όγκος (M3)	2.32E5
Όγκος άμεσης απορροής (M3)	2.32E5
Όγκος βασικής απορροής (M3)	20745.24

Βροχόπτωση και Απορροή



Υπολεκάνη: EL0421FR003015

Έκταση (KM2) : 12.69

Κατάντη : J15

Μέθοδος Απωλειών: SCS

Ποσοστό αδιαπέρατης επιφάνειας	0
Αριθμός Καμπύλης Απορροής-CN	90.41
Αρχικές Απώλειες	5.39

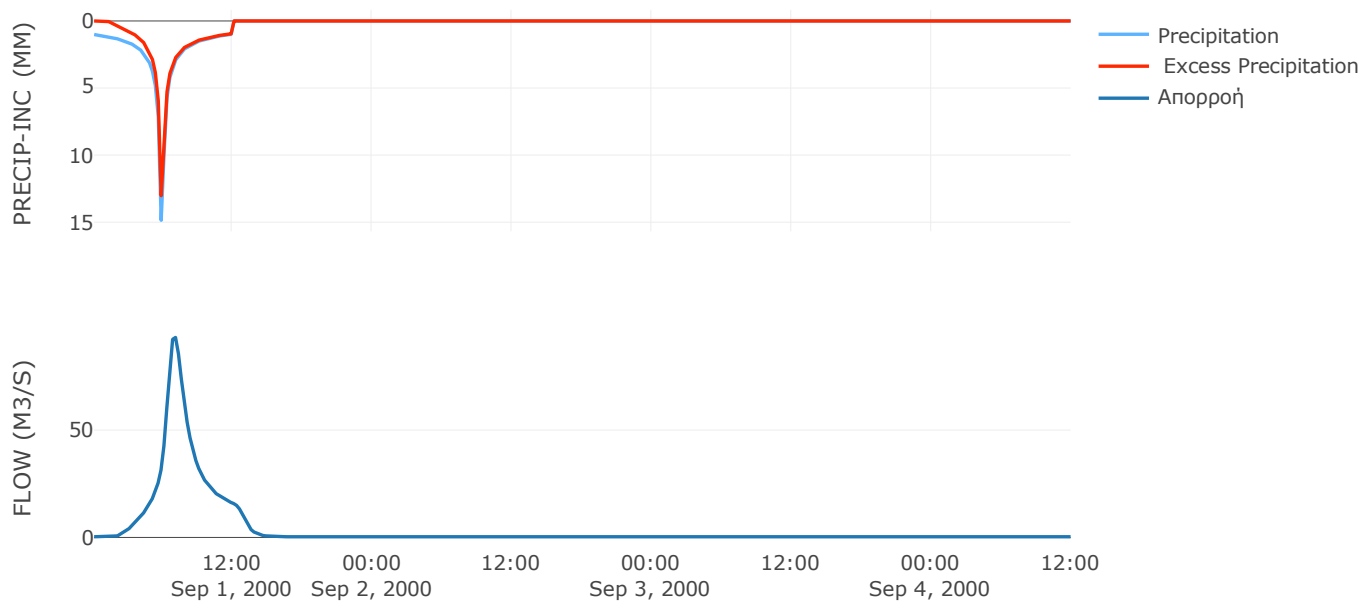
Μέθοδος Μετασχηματισμού: SCS

Χρόνος Υστέρησης	52.12
------------------	-------

Αποτελέσματα:
EL0421FR003015

Παροχή αιχμής (M3/S)	93.12
Χρονική στιγμή αιχμής	01Sep2000, 07:00
Όγκος (MM)	97.88
Όγκος βροχόπτωσης (M3)	1.49E6
Όγκος απωλειών (M3)	3.44E5
Ενεργός Όγκος (M3)	1.15E6
Όγκος άμεσης απορροής (M3)	1.15E6
Όγκος βασικής απορροής (M3)	95918.26

Βροχόπτωση και Απορροή



Υπολεκάνη: EL0421FR003016

Έκταση (KM2) : 1.7

Κατάντη : J16

Μέθοδος Απωλειών: SCS

Ποσοστό αδιαπέρατης επιφάνειας	0
Αριθμός Καμπύλης Απορροής-CN	90.35
Αρχικές Απώλειες	5.42

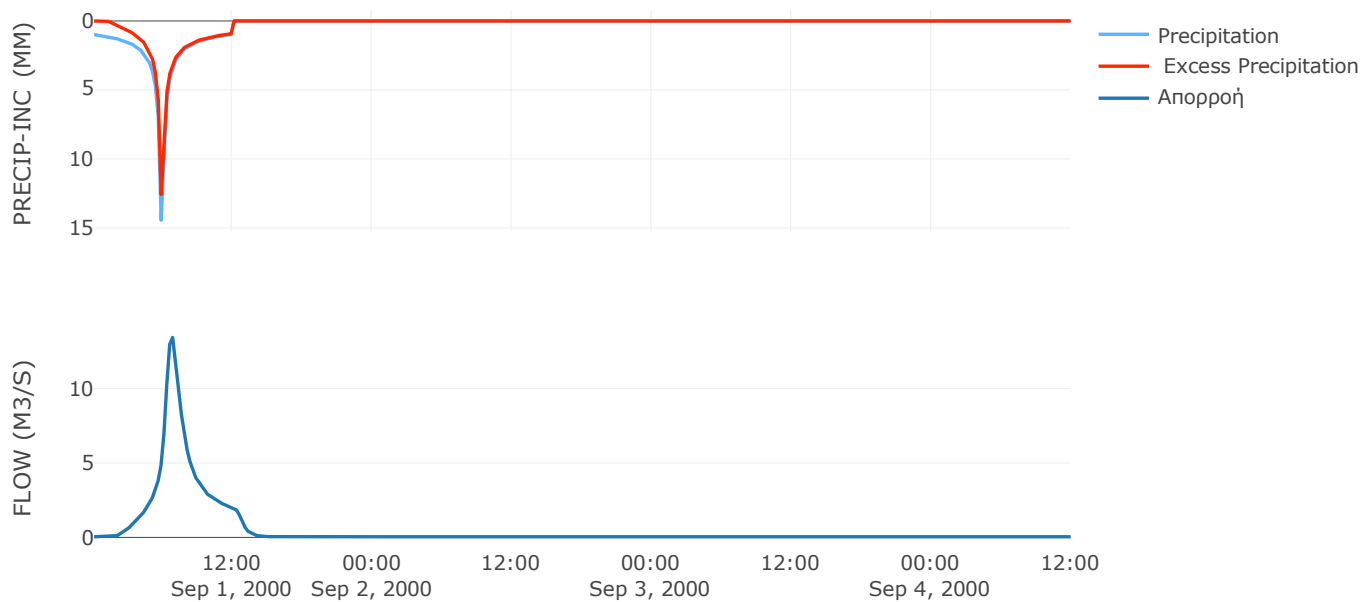
Μέθοδος Μετασχηματισμού: SCS

Χρόνος Υστέρησης	39.96
------------------	-------

Αποτελέσματα:
EL0421FR003016

Παροχή αιχμής (M3/S)	13.44
Χρονική στιγμή αιχμής	01Sep2000, 06:45
Όγκος (MM)	94.77
Όγκος βροχόπτωσης (M3)	1.94E5
Όγκος απωλειών (M3)	46141.54
Ενεργός Όγκος (M3)	1.48E5
Όγκος άμεσης απορροής (M3)	1.48E5
Όγκος βασικής απορροής (M3)	12854.12

Βροχόπτωση και Απορροή



Υπολεκάνη: EL0421FR003017

Έκταση (KM2) : 1.9

Κατάντη : J17

Μέθοδος Απωλειών: SCS

Ποσοστό αδιαπέρατης επιφάνειας	0
Αριθμός Καμπύλης Απορροής-CN	90.69
Αρχικές Απώλειες	5.22

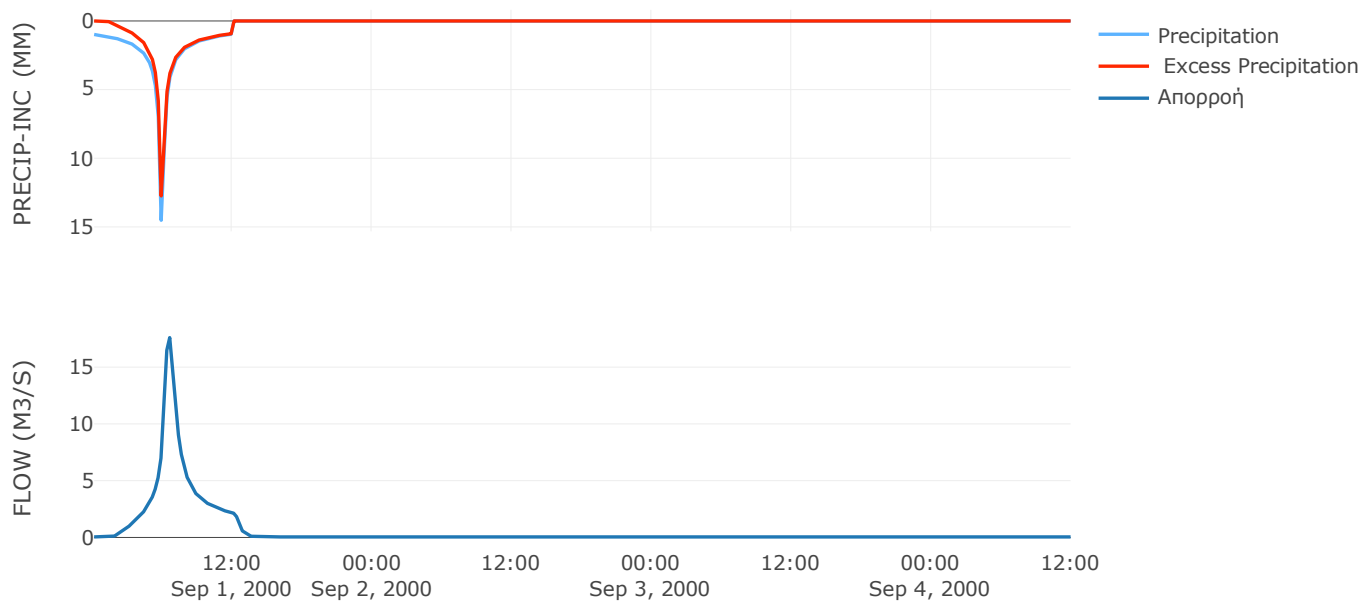
Μέθοδος Μετασχηματισμού: SCS

Χρόνος Υστέρησης	26.16
------------------	-------

Αποτελέσματα:
EL0421FR003017

Παροχή αιχμής (M3/S)	17.6
Χρονική στιγμή αιχμής	01Sep2000, 06:30
Όγκος (MM)	95.73
Όγκος βροχόπτωσης (M3)	2.18E5
Όγκος απωλειών (M3)	49981.76
Ενεργός Όγκος (M3)	1.68E5
Όγκος άμεσης απορροής (M3)	1.68E5
Όγκος βασικής απορροής (M3)	14383.96

Βροχόπτωση και Απορροή



4.2 Δεδομένα και Υδρογραφήματα Σχεδιασμού Κλάδων Υδρογραφικού Δικτύου

Κλάδος: R21

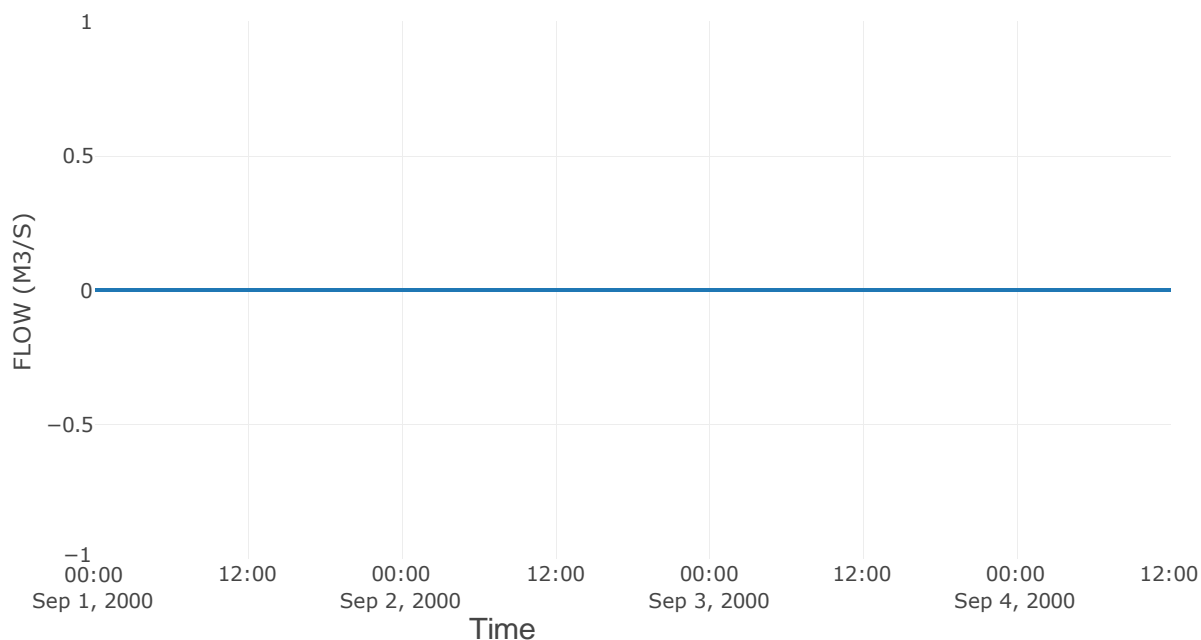
Κατάντη : J1

Μέθοδος Διόδευσης	Χρόνος
Αρχική Μεταβλητή	Combined Inflow
Χρόνος Υστέρησης	13.26

Αποτελέσματα: R21

Παροχή Αιχμής (M3/S)	0
Χρονική στιγμή αιχμής	31Aug2000, 24:00
Εισροή Αιχμής (M3/S)	0
Όγκος Εισροής (M3)	0

Απορροή



Κλάδος: R43

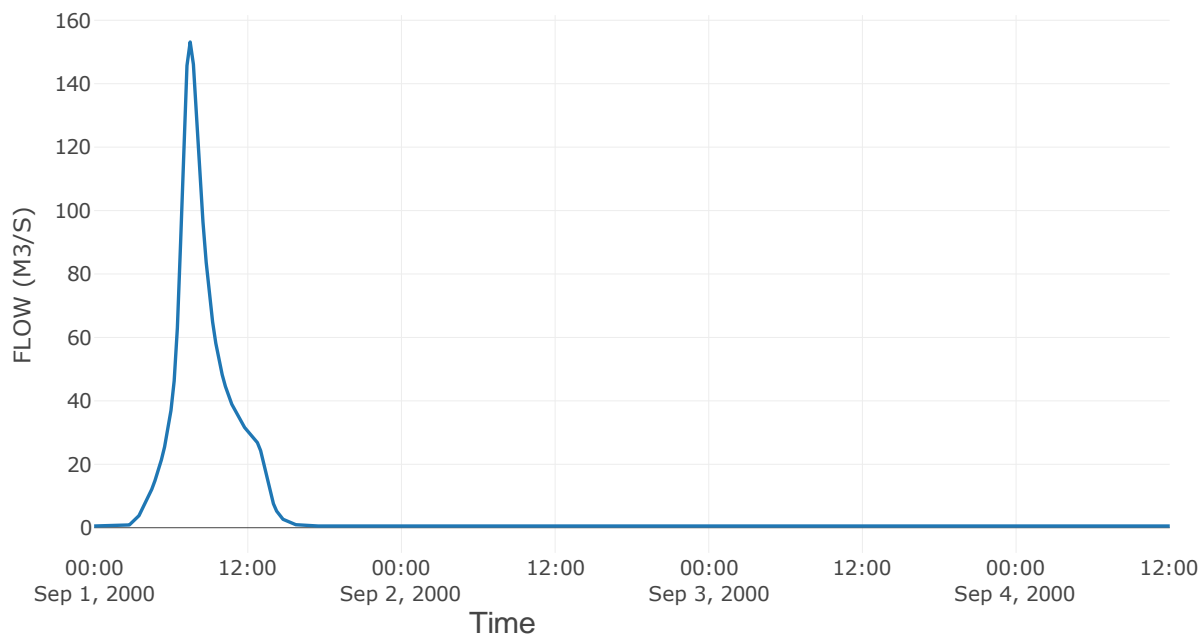
Κατάντη : J3

Μέθοδος Διόδευσης	Χρόνος
Αρχική Μεταβλητή	Combined Inflow
Χρόνος Υστέρησης	32.39

Αποτελέσματα: R43

Παροχή Αιχμής (M3/S)	153.15
Χρονική στιγμή αιχμής	01Sep2000, 07:30
Όγκος (MM)	95.35
Παροχή Αιχμής Εισόδου (M3/S)	153.84
Όγκος Εισροής (M3)	2.07E6

Απορροή



Κλάδος: R65

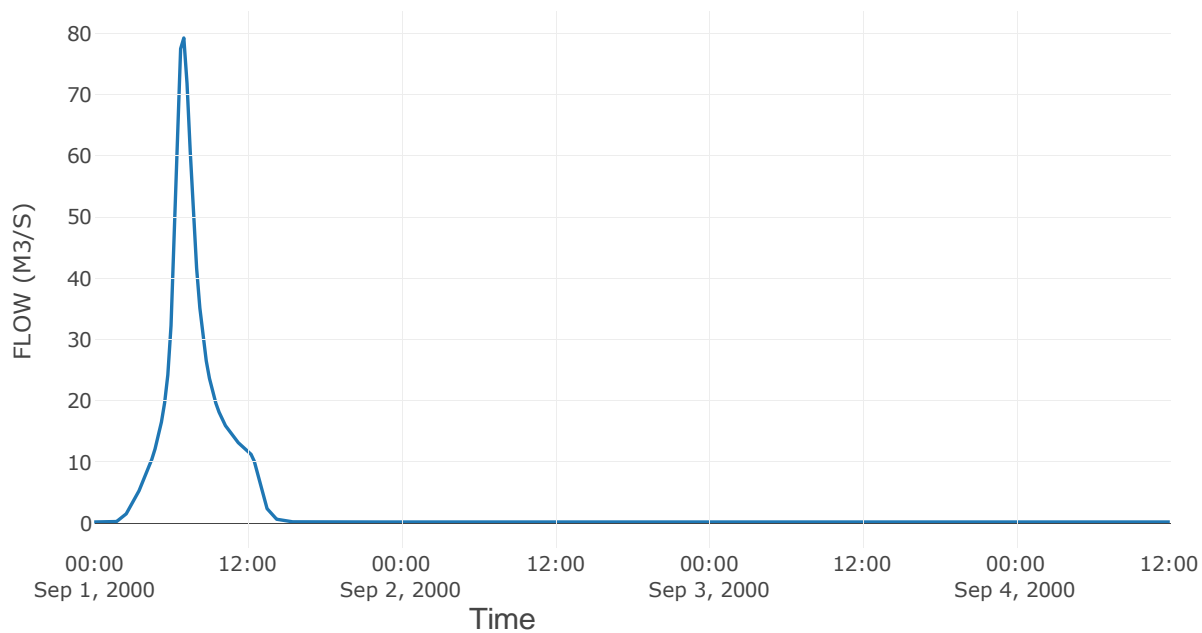
Κατάντη : J5

Μέθοδος Διόδευσης	Χρόνος
Αρχική Μεταβλητή	Combined Inflow
Χρόνος Υστέρησης	7.17

Αποτελέσματα: R65

Παροχή Αιχμής (M3/S)	79.25
Χρονική στιγμή αιχμής	01Sep2000, 07:00
Όγκος (MM)	100.82
Παροχή Αιχμής Εισόδου (M3/S)	81.39
Όγκος Εισροής (M3)	9.71E5

Απορροή



Κλάδος: R76

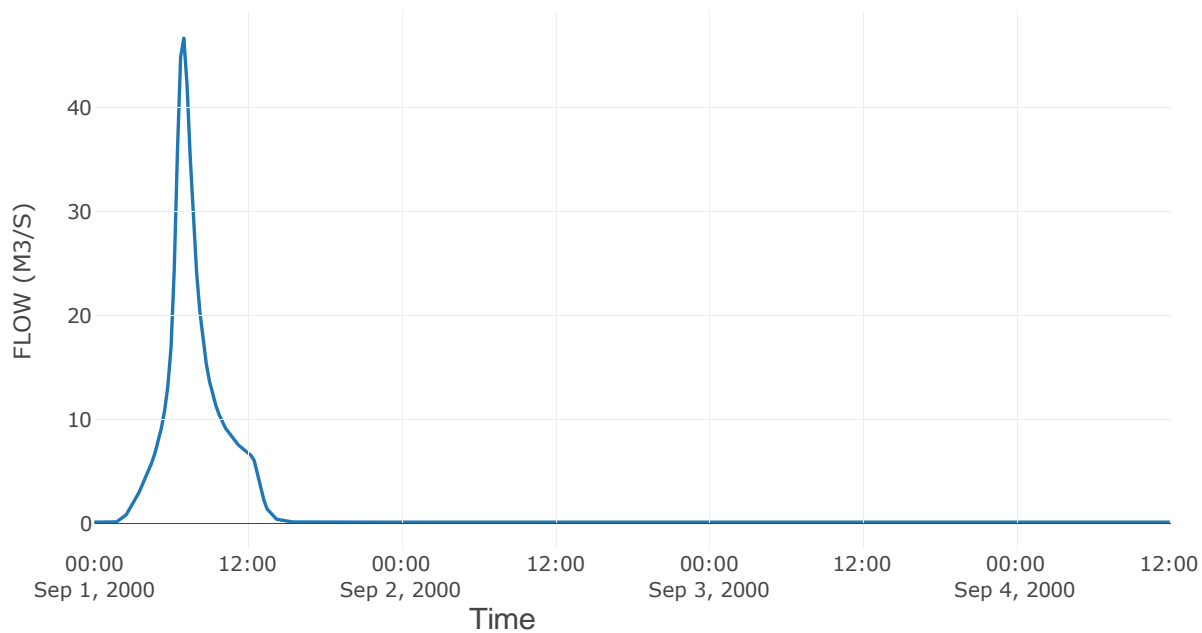
Κατάντη : J6

Μέθοδος Διόδευσης	Χρόνος
Αρχική Μεταβλητή	Combined Inflow
Χρόνος Υστέρησης	14.99

Αποτελέσματα: R76

Παροχή Αιχμής (M3/S)	46.72
Χρονική στιγμή αιχμής	01Sep2000, 07:00
Όγκος (MM)	103.16
Παροχή Αιχμής Εισόδου (M3/S)	47
Όγκος Εισροής (M3)	5.54E5

Απορροή



Κλάδος: R98

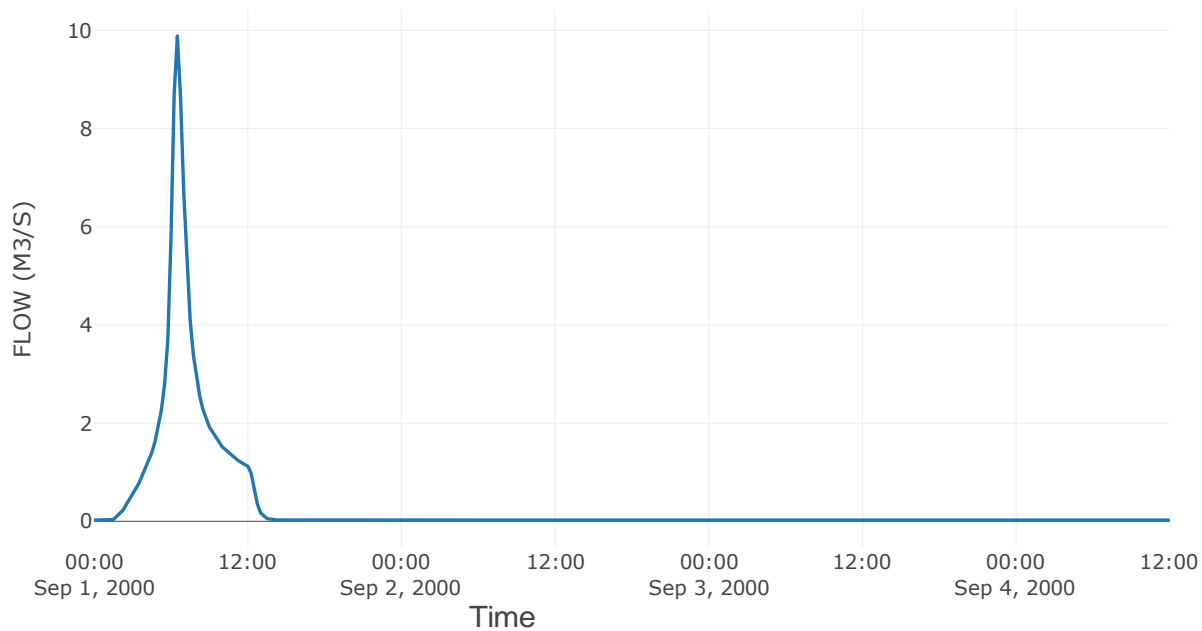
Κατάντη : J8

Μέθοδος Διόδευσης	Χρόνος
Αρχική Μεταβλητή	Combined Inflow
Χρόνος Υστέρησης	6

Αποτελέσματα: R98

Παροχή Αιχμής (M3/S)	9.88
Χρονική στιγμή αιχμής	01Sep2000, 06:30
Όγκος (MM)	97.96
Παροχή Αιχμής Εισόδου (M3/S)	9.95
Όγκος Εισροής (M3)	99314.98

Απορροή



Κλάδος: R1110

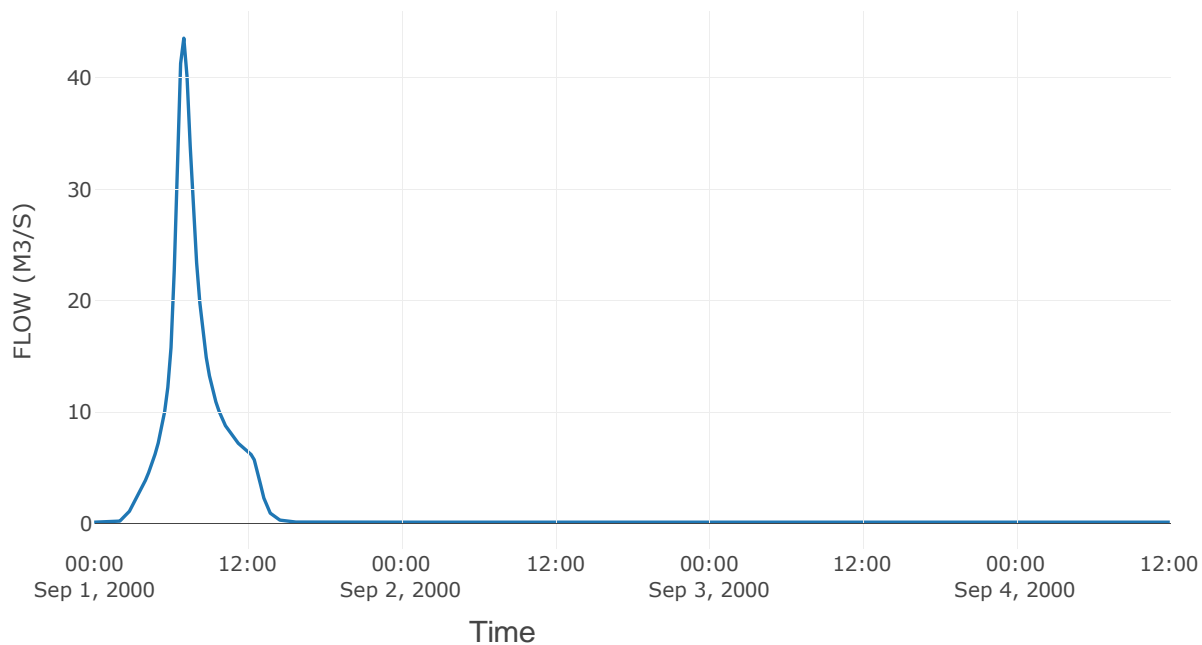
Κατάντη : J10

Μέθοδος Διόδευσης	Χρόνος
Αρχική Μεταβλητή	Combined Inflow
Χρόνος Υστέρησης	13.58

Αποτελέσματα: R1110

Παροχή Αιχμής (M3/S)	43.57
Χρονική στιγμή αιχμής	01Sep2000, 07:00
Όγκος (MM)	96.88
Παροχή Αιχμής Εισόδου (M3/S)	43.97
Όγκος Εισροής (M3)	5.26E5

Απορροή



Κλάδος: R1312

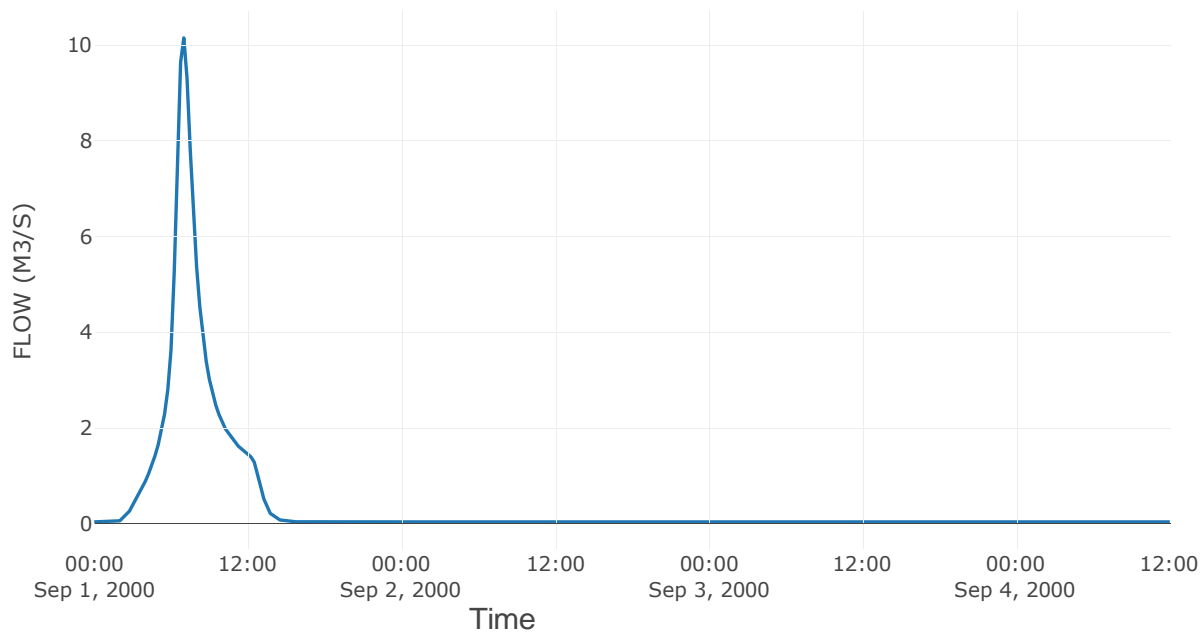
Κατάντη : J12

Μέθοδος Διόδευσης	Χρόνος
Αρχική Μεταβλητή	Combined Inflow
Χρόνος Υστέρησης	13.8

Αποτελέσματα: R1312

Παροχή Αιχμής (M3/S)	10.14
Χρονική στιγμή αιχμής	01Sep2000, 07:00
Όγκος (MM)	96.59
Παροχή Αιχμής Εισόδου (M3/S)	10.24
Όγκος Εισροής (M3)	1.2E5

Απορροή



Κλάδος: R1514

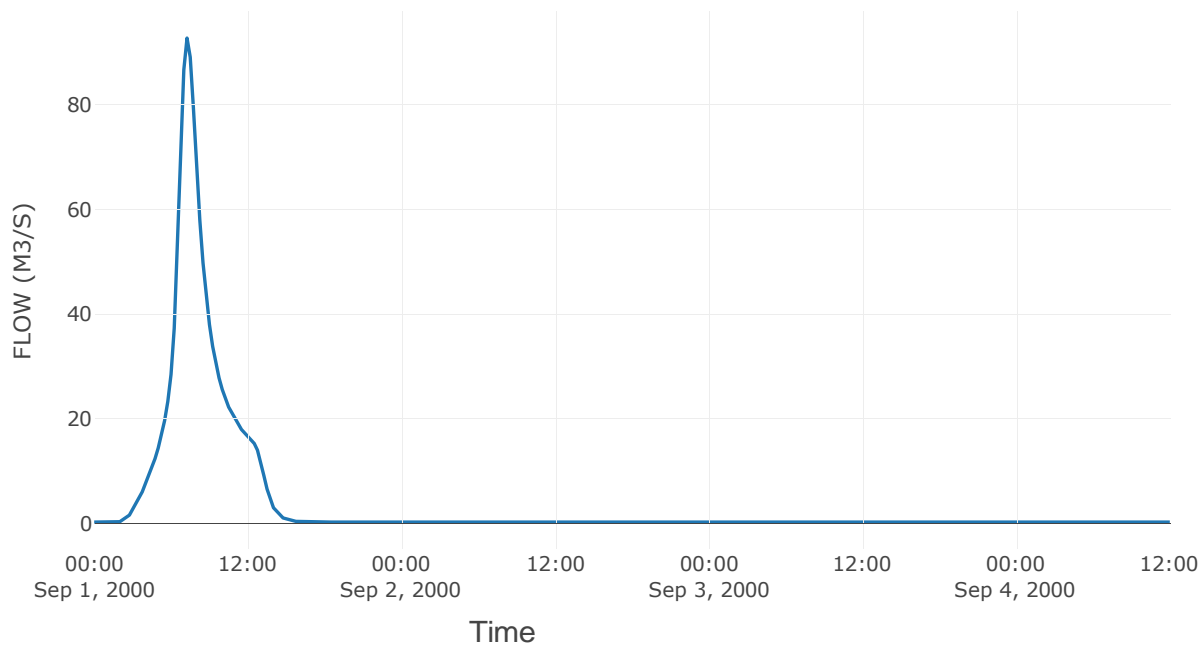
Κατάντη : J14

Μέθοδος Διόδευσης	Χρόνος
Αρχική Μεταβλητή	Combined Inflow
Χρόνος Υστέρησης	22.74

Αποτελέσματα: R1514

Παροχή Αιχμής (M3/S)	92.72
Χρονική στιγμή αιχμής	01Sep2000, 07:15
Όγκος (MM)	97.88
Παροχή Αιχμής Εισόδου (M3/S)	93.12
Όγκος Εισροής (M3)	1.24E6

Απορροή



Κλάδος: R1716

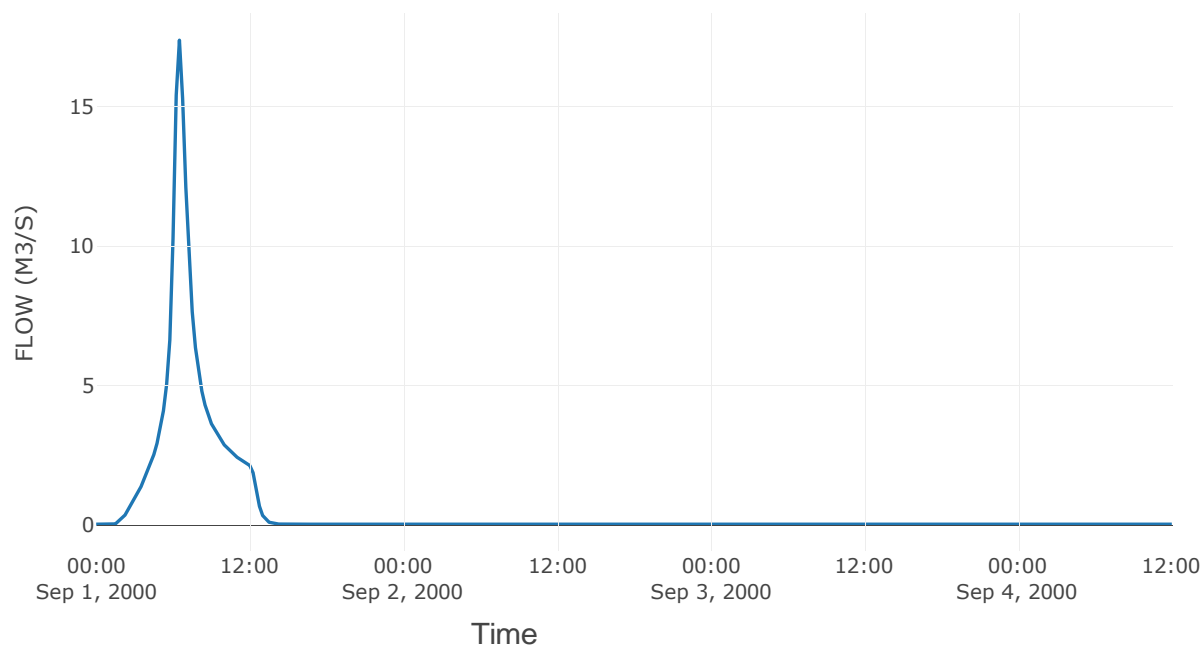
Κατάντη : J16

Μέθοδος Διόδευσης	Χρόνος
Αρχική Μεταβλητή	Combined Inflow
Χρόνος Υστέρησης	3.97

Αποτελέσματα: R1716

Παροχή Αιχμής (M3/S)	17.38
Χρονική στιγμή αιχμής	01Sep2000, 06:30
Όγκος (MM)	95.73
Παροχή Αιχμής Εισόδου (M3/S)	17.6
Όγκος Εισροής (M3)	1.82E5

Απορροή



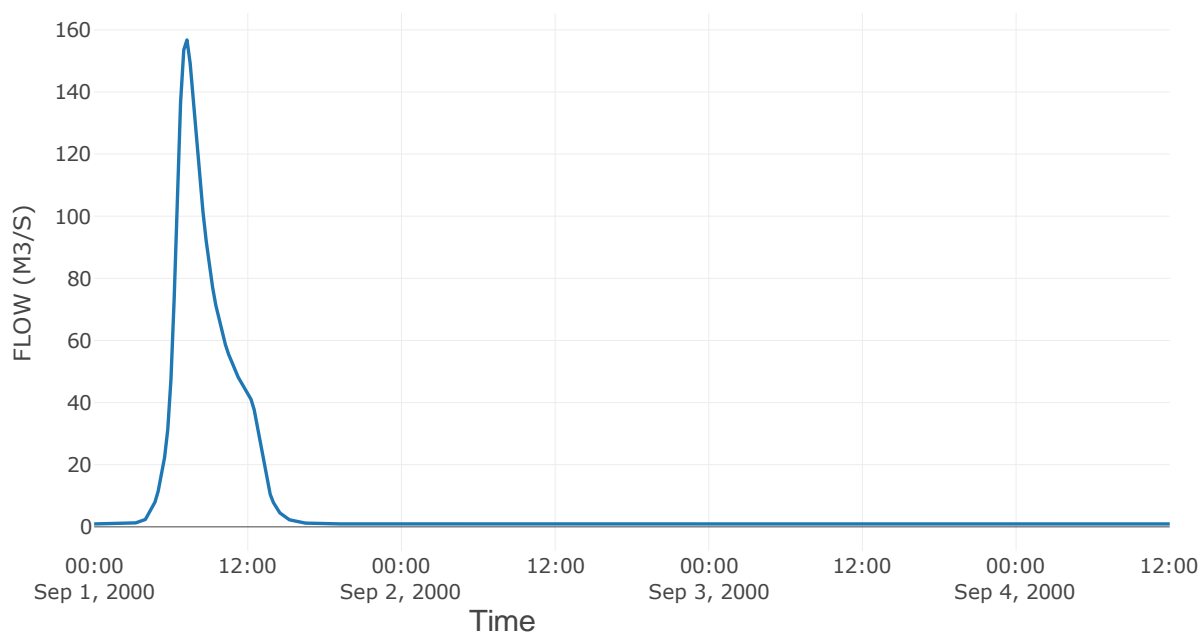
4.3 Δεδομένα και Υδρογραφήματα Σχεδιασμού Κόμβων Υδρογραφικού Δικτύου

Κόμβος εξόδου: J1

Αποτέλεσμα
τα: J1

Παροχή αιχμής (M3/S)	156.76
Χρονική στιγμή αιχμής	01Sep2000, 07:15
Όγκος (MM)	66.15

Απορροή



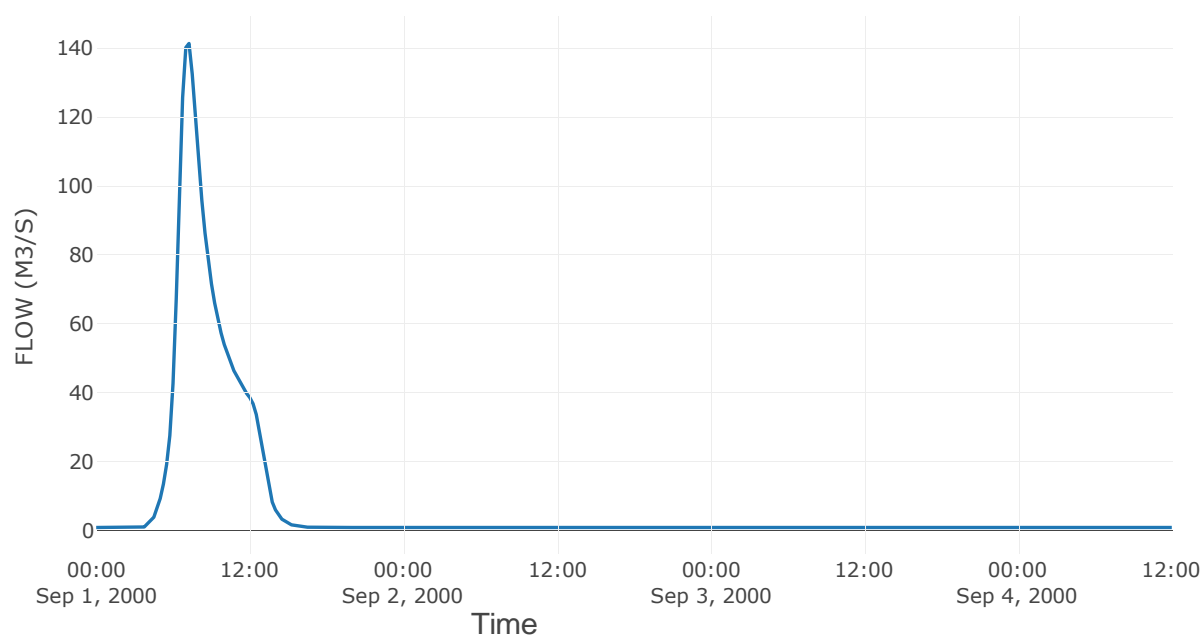
Κόμβος: J2

Κατάντη : J1

Αποτελέσματα: J2

Παροχή Αιχμής (M3/S)	141.37
Χρονική στιγμή αιχμής	01Sep2000, 07:15
Όγκος (MM)	63.31

Απορροή

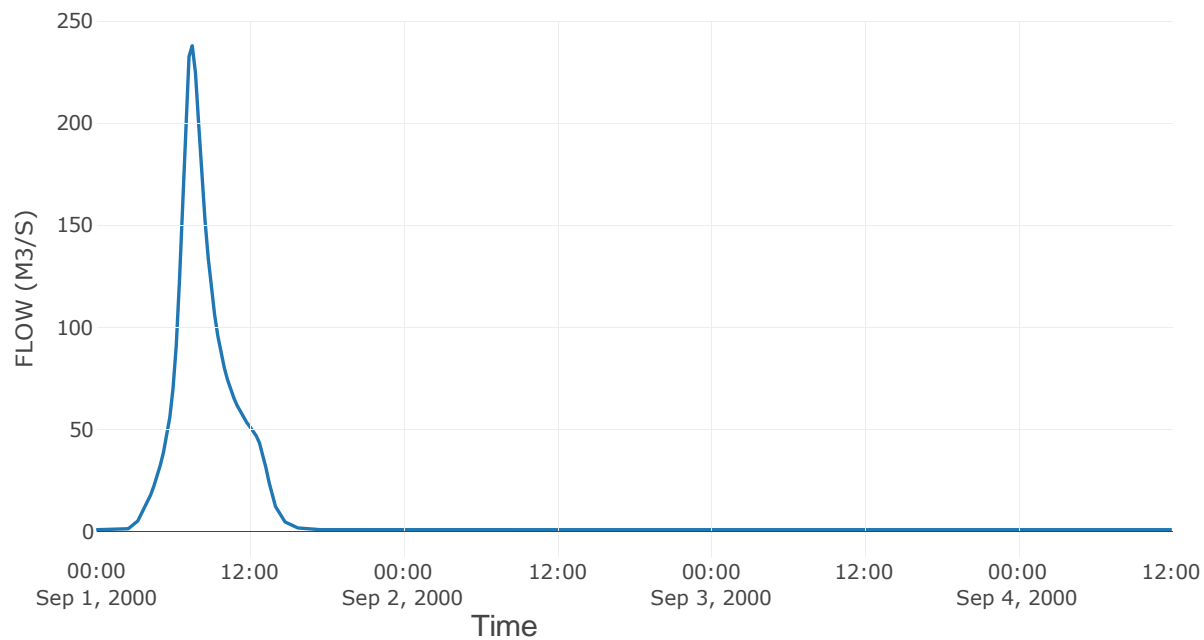


Κόμβος εξόδου: J3

Αποτελέσματα: J3

Παροχή Αιχμής (M3/S)	238.03
Χρονική στιγμή αιχμής	01Sep2000, 07:30
Όγκος (MM)	93.41

Απορροή



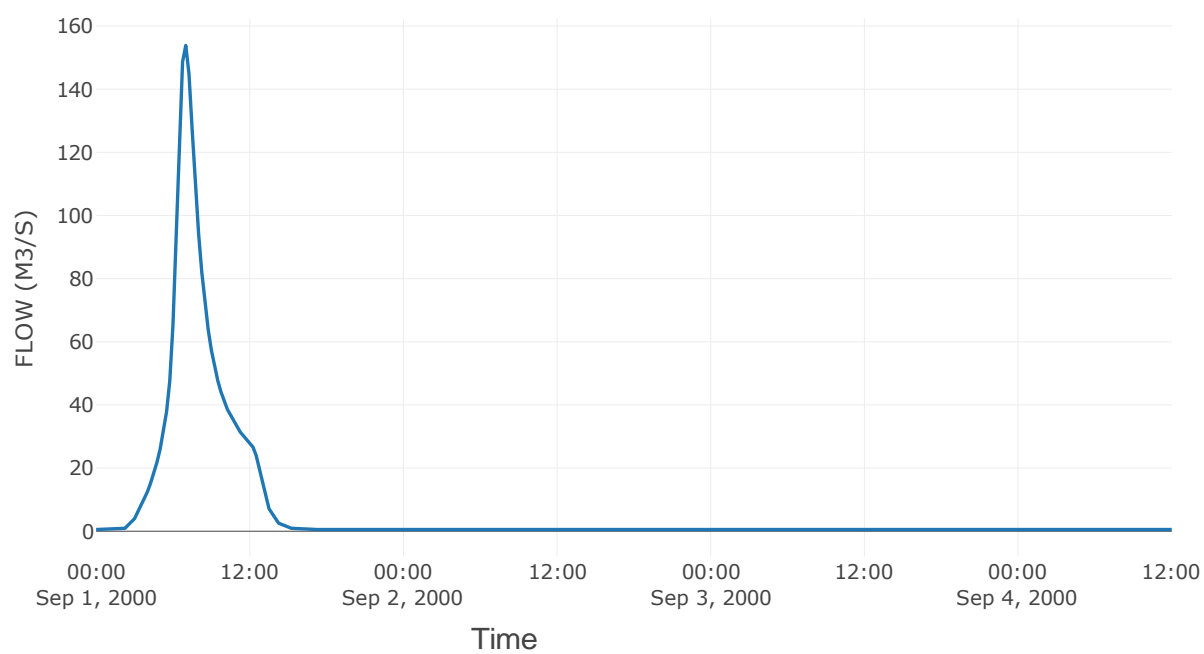
Κόμβος: J4

Κατάντη : R43

Αποτελέσματα: J4

Παροχή Αιχμής (M3/S)	153.84
Χρονική στιγμή αιχμής	01Sep2000, 07:00
Όγκος (MM)	95.35

Απορροή

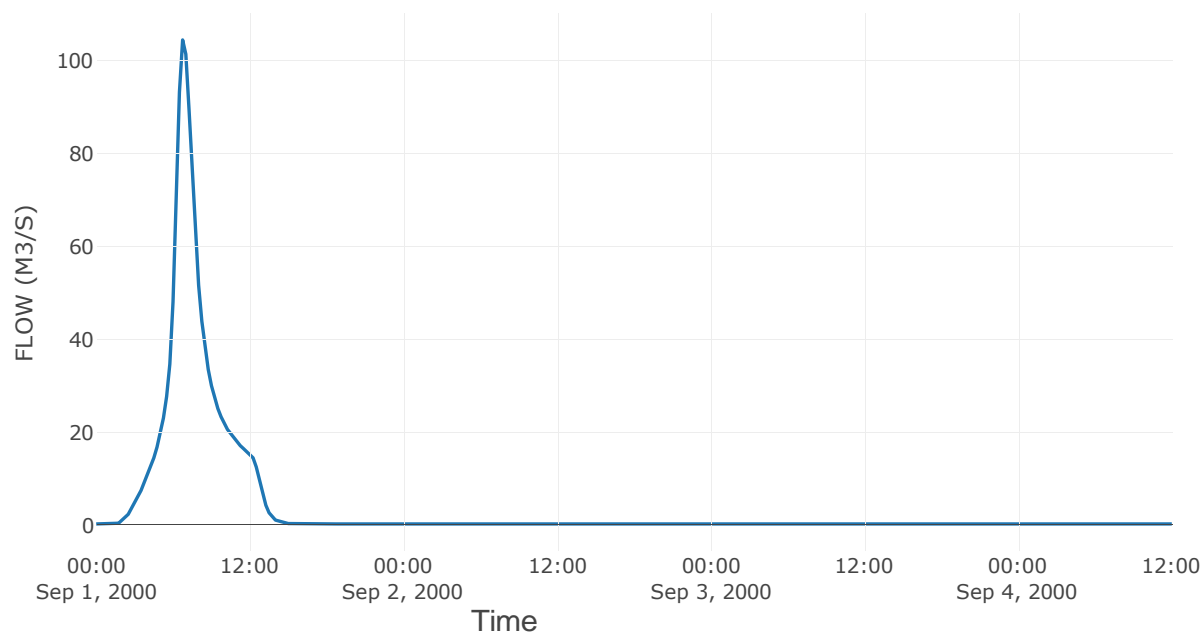


Κόμβος εξόδου: J5

Αποτέλεσμα
τα: J5

Παροχή αιχμής (M3/S)	104.52
Χρονική στιγμή αιχμής	01Sep2000, 06:45
Όγκος (MM)	100.09

Απορροή



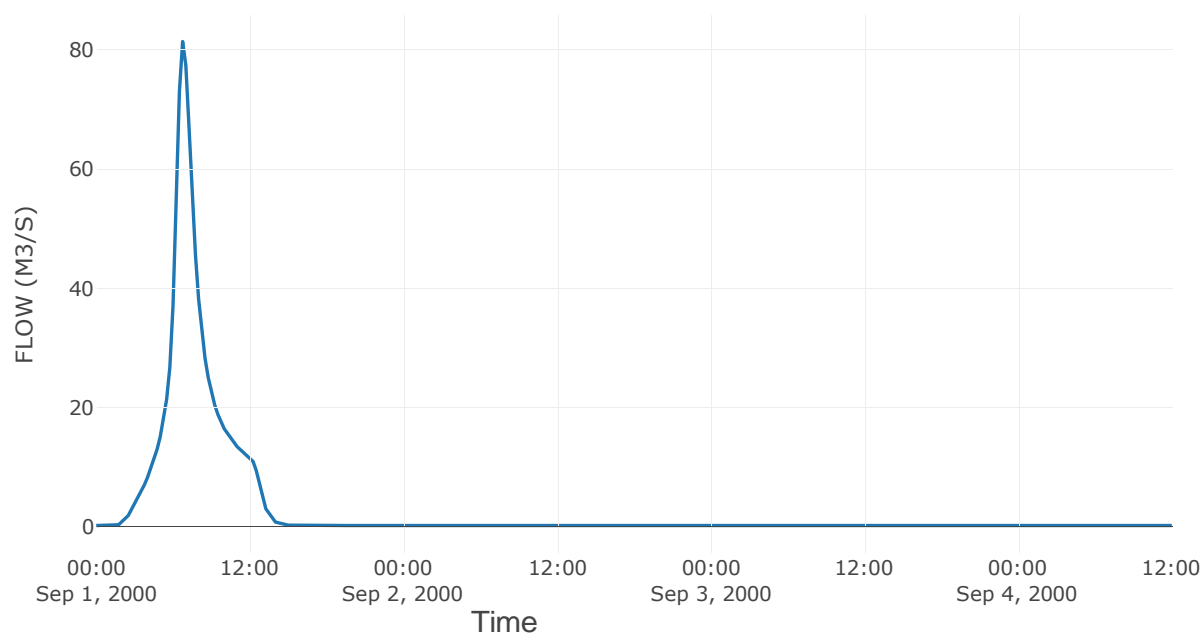
Κόμβος: J6

Κατάντη : R65

Αποτελέσματα: J6

Παροχή Αιχμής (M3/S)	81.39
Χρονική στιγμή αιχμής	01Sep2000, 06:45
Όγκος (MM)	100.82

Απορροή



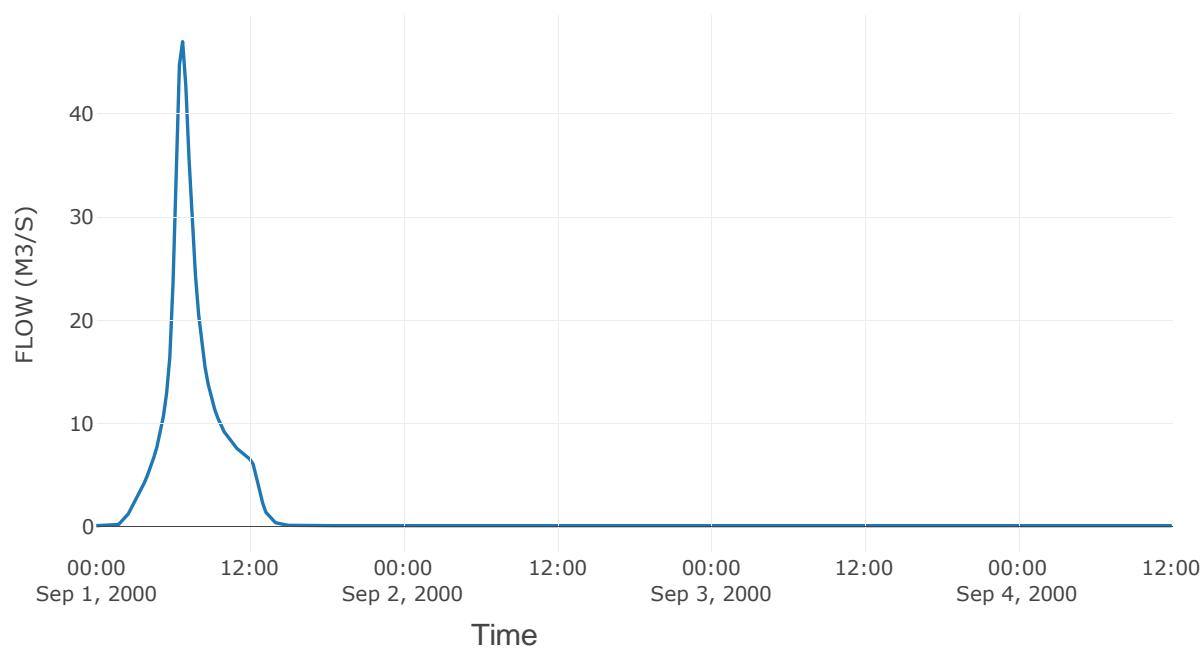
Κόμβος: J7

Κατάντη : R76

Αποτελέσματα: J7

Παροχή Αιχμής (M3/S)	47
Χρονική στιγμή αιχμής	01Sep2000, 06:45
Όγκος (MM)	103.16

Απορροή

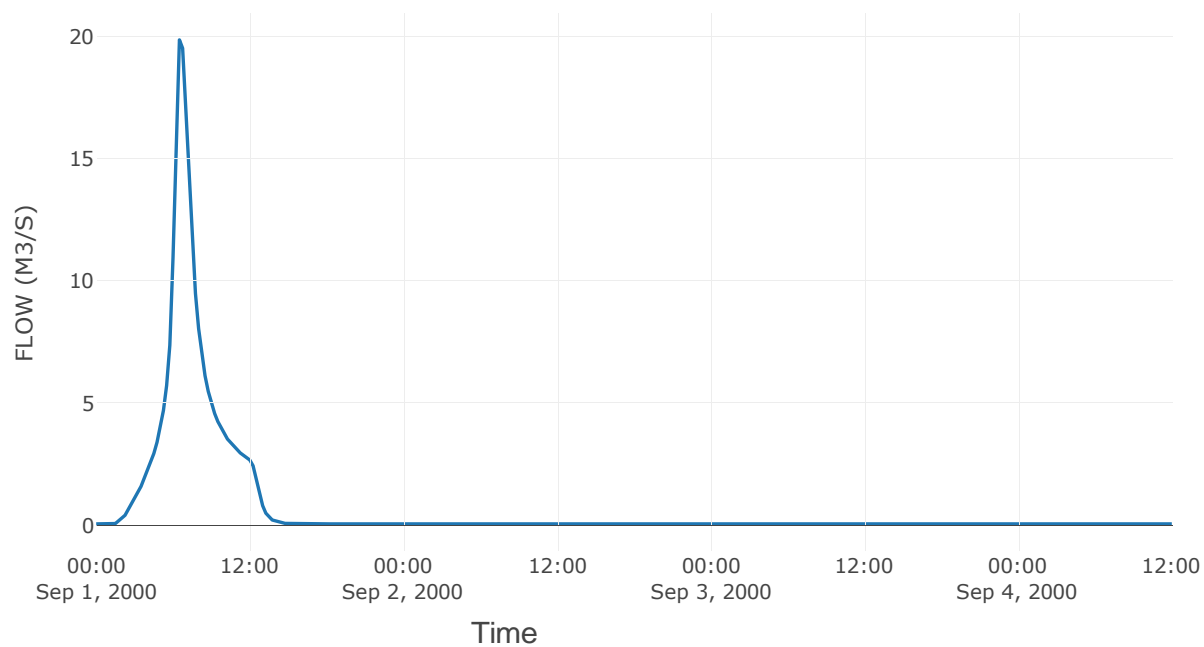


Κόμβος εξόδου: J8

Αποτέλεσμα
τα: J8

Παροχή αιχμής (M3/S)	19.86
Χρονική στιγμή αιχμής	01Sep2000, 06:30
Όγκος (MM)	98.07

Απορροή



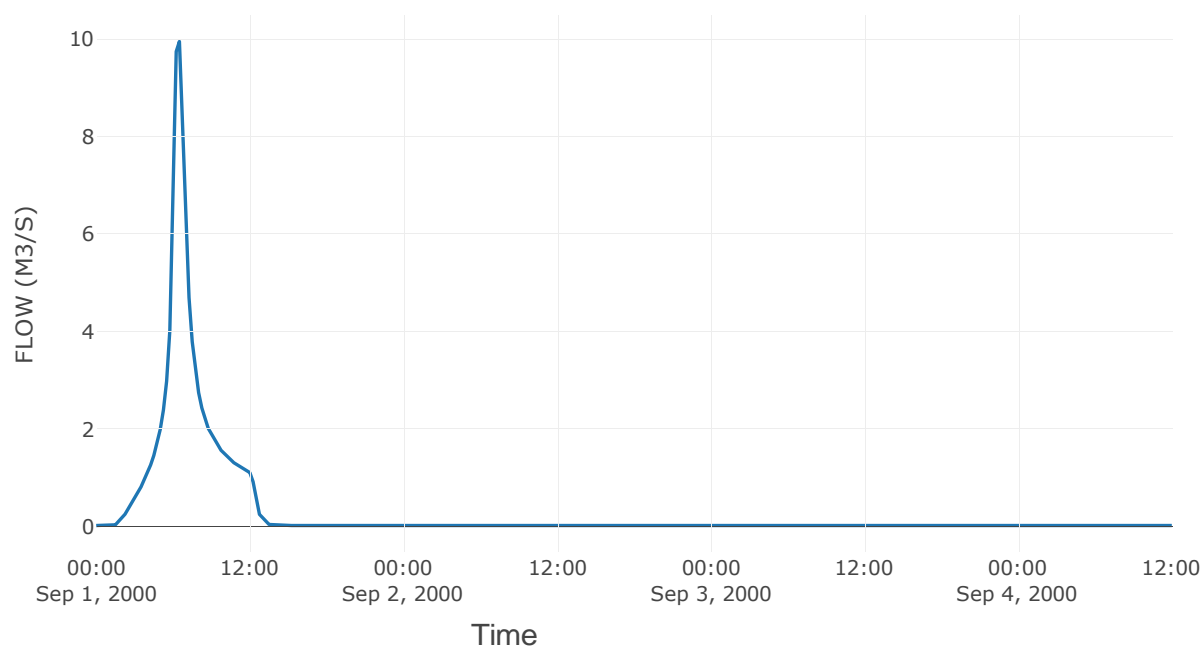
Κόμβος: J9

Κατάντη : R98

Αποτελέσματα: J9

Παροχή Αιχμής (M3/S)	9.95
Χρονική στιγμή αιχμής	01Sep2000, 06:30
Όγκος (MM)	97.96

Απορροή

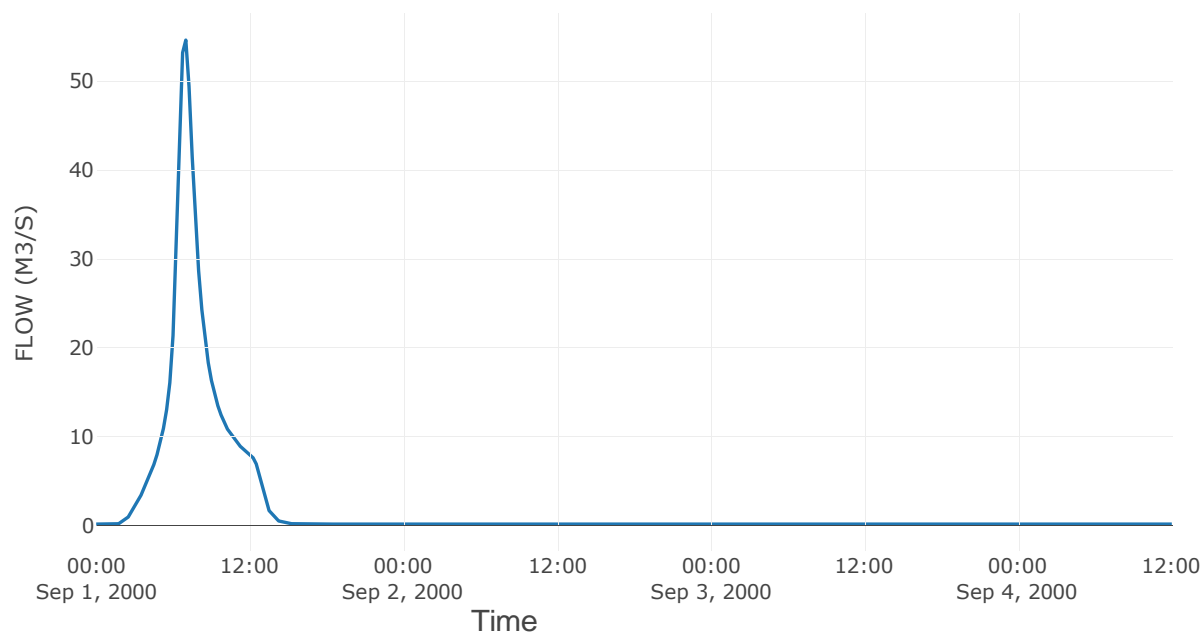


Κόμβος εξόδου: J10

Αποτελέσματ
α: J10

Παροχή αιχμής (M3/S)	54.65
Χρονική στιγμή αιχμής	01Sep2000, 07:00
Όγκος (MM)	96.55

Απορροή



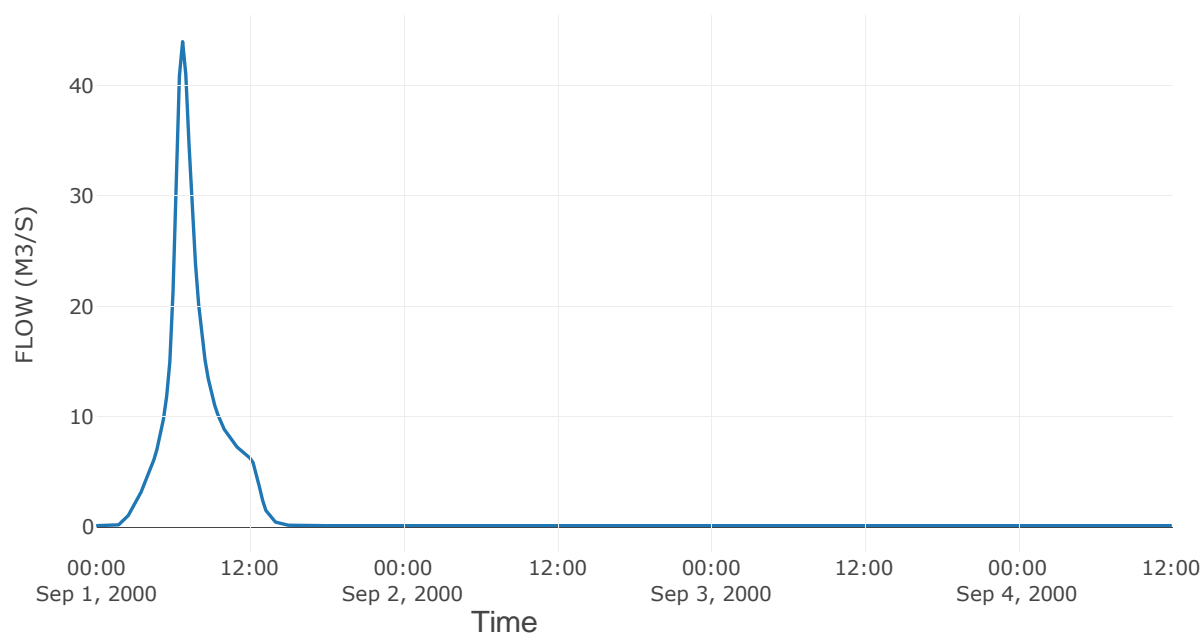
Κόμβος: J11

Κατάντη : R1110

Αποτελέσματα: J11

Παροχή Αιχμής (M3/S)	43.97
Χρονική στιγμή αιχμής	01Sep2000, 06:45
Όγκος (MM)	96.88

Απορροή

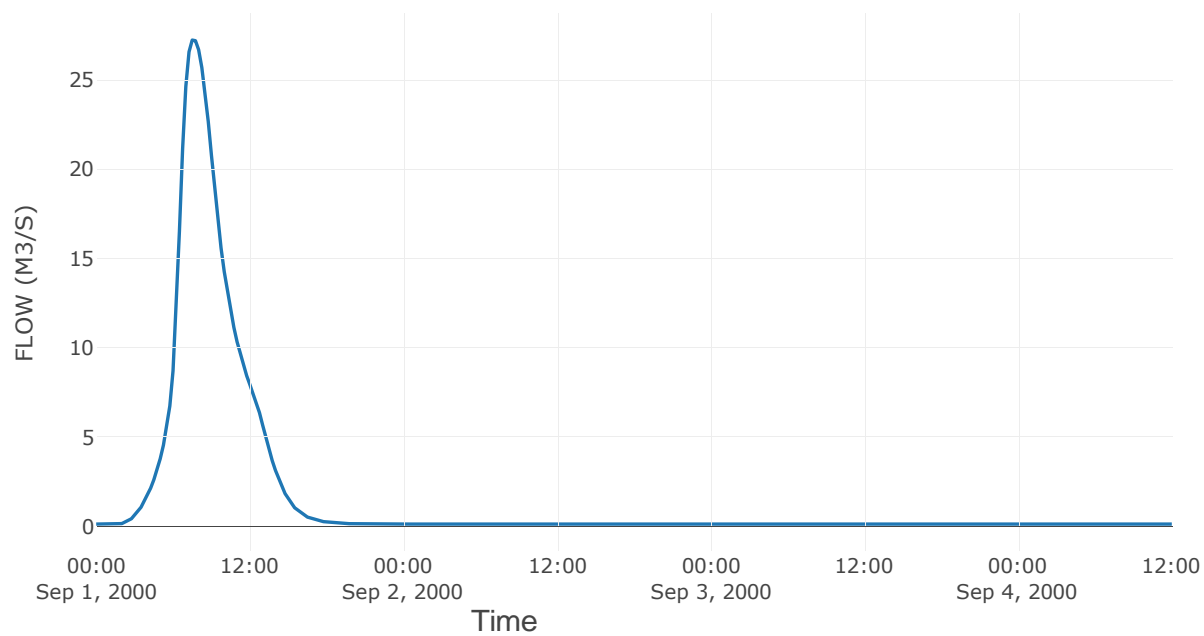


Κόμβος εξόδου: J12

Αποτελέσμα
α: J12

Παροχή αιχμής (M3/S)	27.24
Χρονική στιγμή αιχμής	01Sep2000, 07:30
Όγκος (MM)	91.46

Απορροή



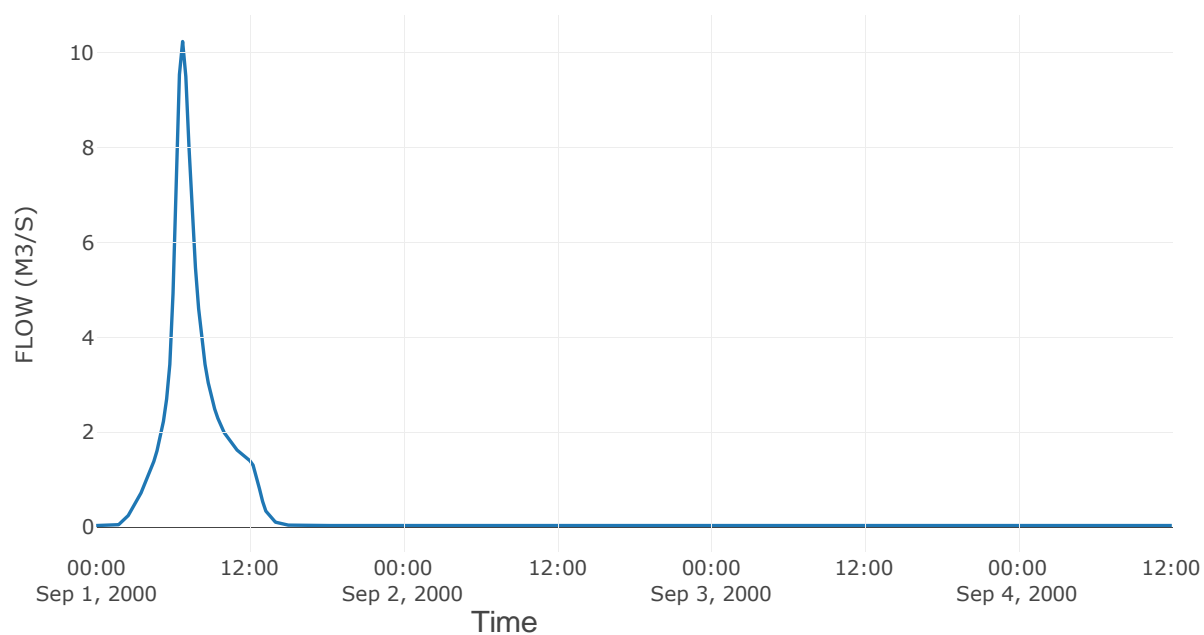
Κόμβος: J13

Κατάντη : R1312

Αποτελέσματα: J13

Παροχή Αιχμής (M3/S)	10.24
Χρονική στιγμή αιχμής	01Sep2000, 06:45
Όγκος (MM)	96.59

Απορροή

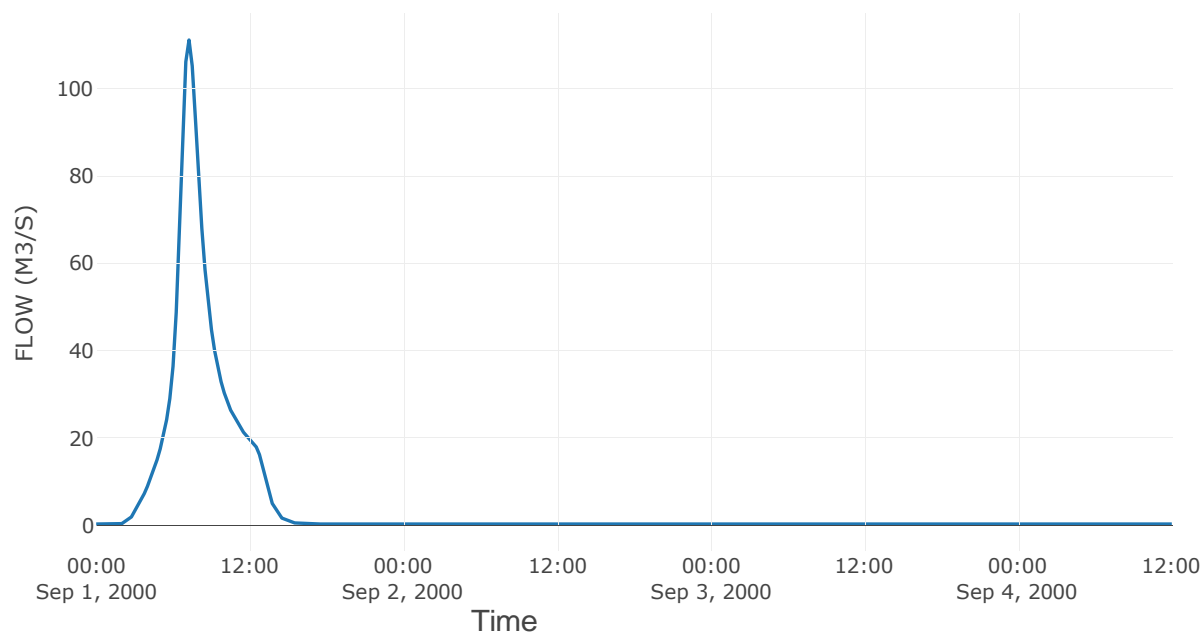


Κόμβος εξόδου: J14

Αποτελέσμα
α: J14

Παροχή αιχμής (M3/S)	111.11
Χρονική στιγμή αιχμής	01Sep2000, 07:15
Όγκος (MM)	96.84

Απορροή



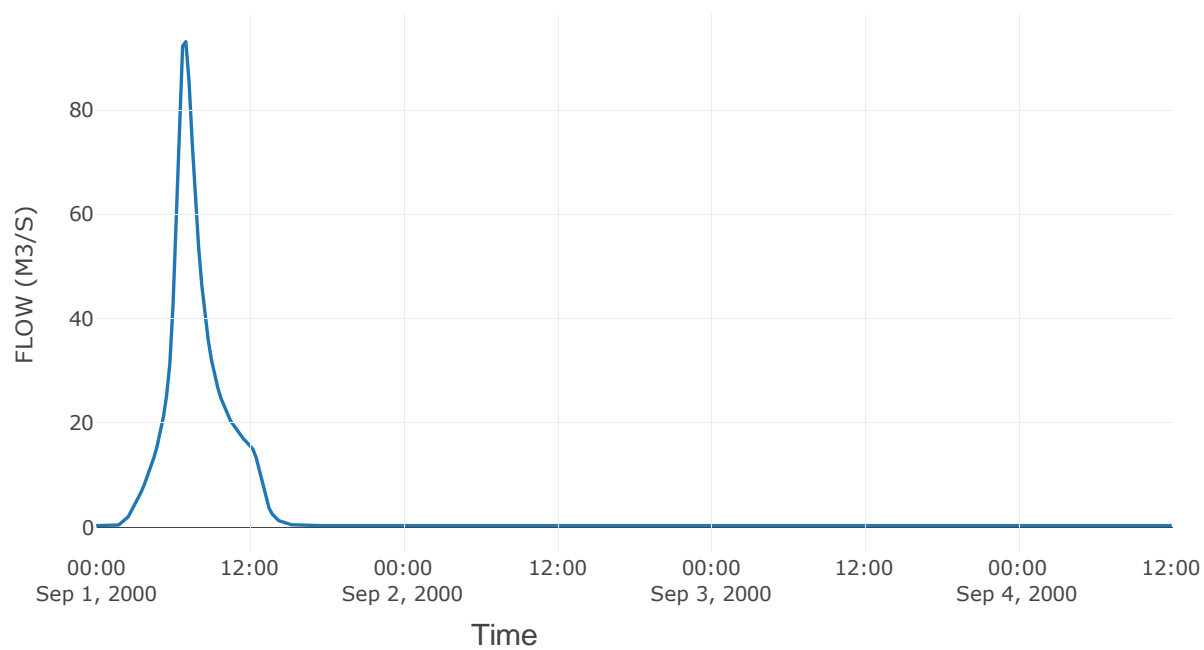
Κόμβος: J15

Κατάντη : R1514

Αποτελέσματα: J15

Παροχή Αιχμής (M3/S)	93.12
Χρονική στιγμή αιχμής	01Sep2000, 07:00
Όγκος (MM)	97.88

Απορροή

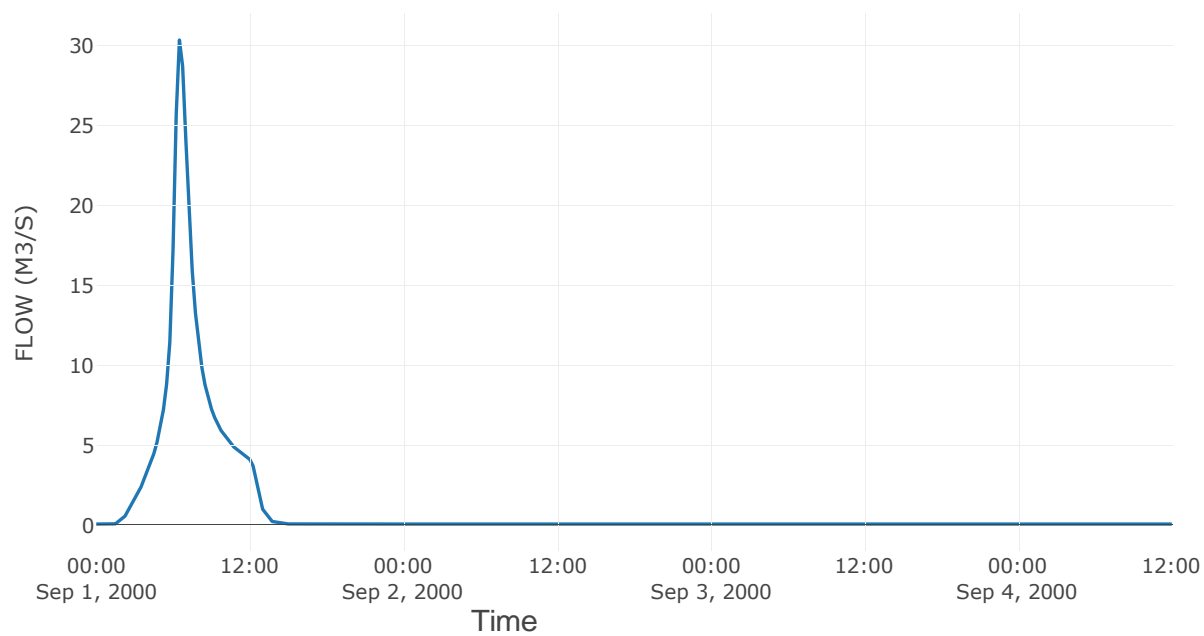


Κόμβος εξόδου: J16

Αποτελέσμα
α: J16

Παροχή αιχμής (M3/S)	30.36
Χρονική στιγμή αιχμής	01Sep2000, 06:30
Όγκος (MM)	95.28

Απορροή



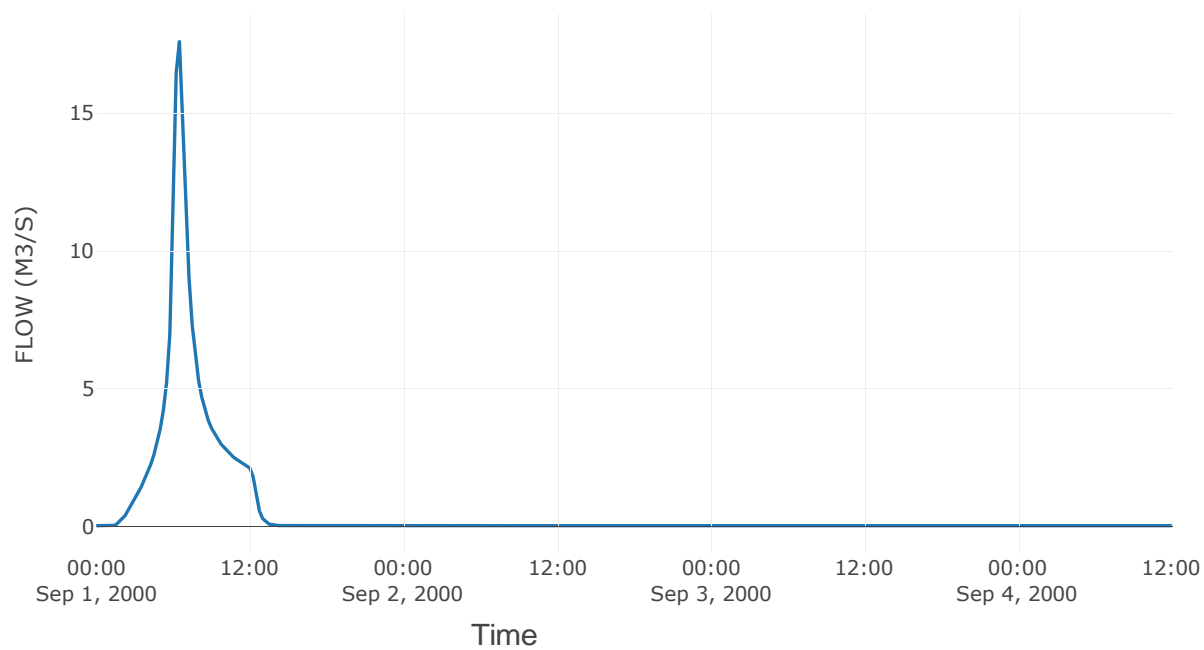
Κόμβος: J17

Κατάντη : R1716

Αποτελέσματα: J17

Παροχή Αιχμής (M3/S)	17.6
Χρονική στιγμή αιχμής	01Sep2000, 06:30
Όγκος (MM)	95.73

Απορροή



5 Δεδομένα εισόδου και αποτελέσματα υδρολογικού σεναρίου T=100

5.1 Αποτελέσματα, υετογραφήματα και υδρογραφήματα σχεδιασμού υπολεκάνων

Υπολεκάνη: EL0421FR003001

Έκταση (KM2) : 2.97

Κατάντη : J1

Μέθοδος Απωλειών: SCS

Ποσοστό αδιαπέρατης επιφάνειας	0
Αριθμός Καμπύλης Απορροής-CN	80.8
Αρχικές Απώλειες	12.07

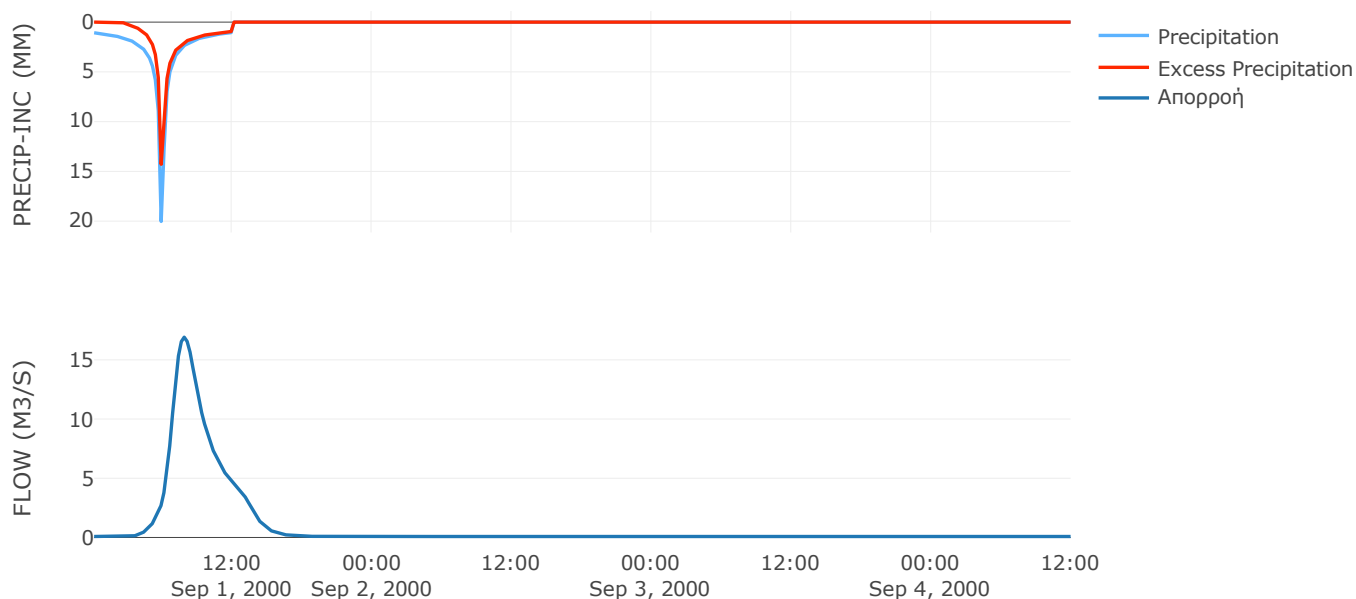
Μέθοδος Μετασχηματισμού: SCS

Χρόνος Υστέρησης	94.72
------------------	-------

Αποτελέσματα:
EL0421FR003001

Παροχή αιχμής (M3/S)	16.91
Χρονική στιγμή αιχμής	01Sep2000, 07:45
Όγκος (MM)	93.5
Όγκος βροχόπτωσης (M3)	4.1E5
Όγκος απωλειών (M3)	1.57E5
Ενεργός Όγκος (M3)	2.53E5
Όγκος άμεσης απορροής (M3)	2.53E5
Όγκος βασικής απορροής (M3)	25171.47

Βροχόπτωση και Απορροή



Υπολεκάνη: EL0421FR003002

Έκταση (KM2) : 34.23

Κατάντη : J2

Μέθοδος Απωλειών: SCS

Ποσοστό αδιαπέρατης επιφάνειας	0
Αριθμός Καμπύλης Απορροής-CN	54.5
Αρχικές Απώλειες	42.4

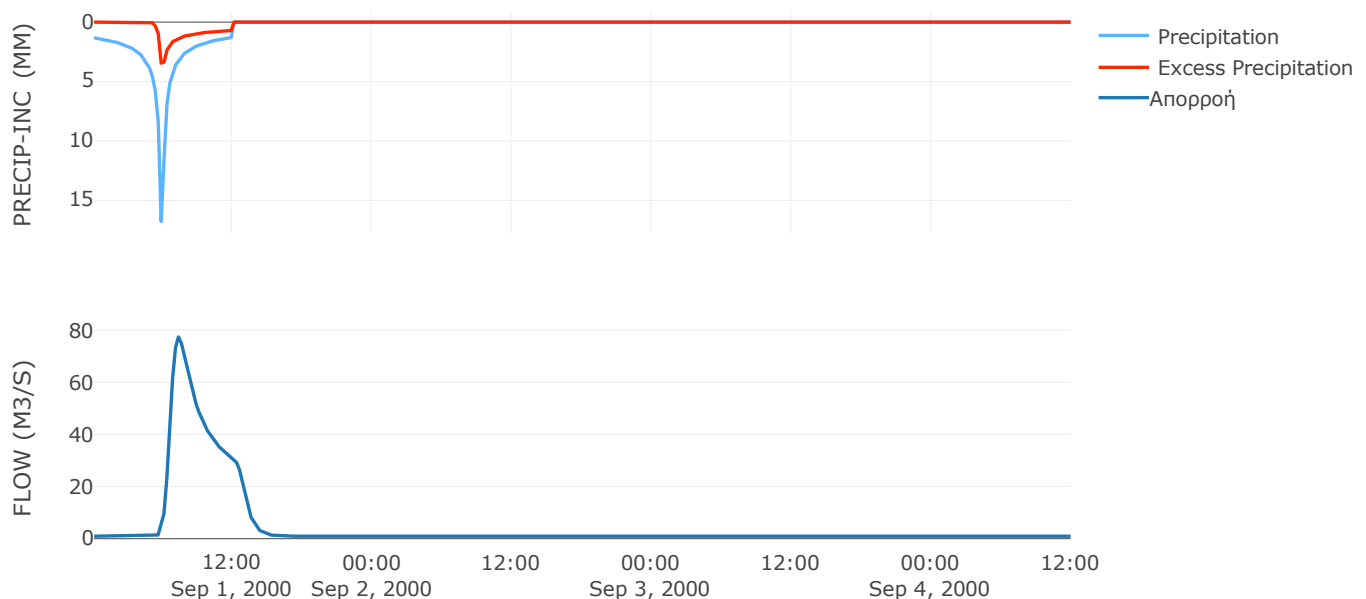
Μέθοδος Μετασχηματισμού: SCS

Χρόνος Υστέρησης	54.43
------------------	-------

Αποτελέσματα:
EL0421FR003002

Παροχή αιχμής (M3/S)	77.39
Χρονική στιγμή αιχμής	01Sep2000, 07:15
Όγκος (MM)	41.54
Όγκος βροχόπτωσης (M3)	4.94E6
Όγκος απωλειών (M3)	3.81E6
Ενεργός Όγκος (M3)	1.13E6
Όγκος άμεσης απορροής (M3)	1.13E6
Όγκος βασικής απορροής (M3)	2.9E5

Βροχόπτωση και Απορροή



Υπολεκάνη: EL0421FR003003

Έκταση (KM2) : 15.17

Κατάντη : J3

Μέθοδος Απωλειών: SCS

Ποσοστό αδιαπέρατης επιφάνειας	0
Αριθμός Καμπύλης Απορροής-CN	74.56
Αρχικές Απώλειες	17.33

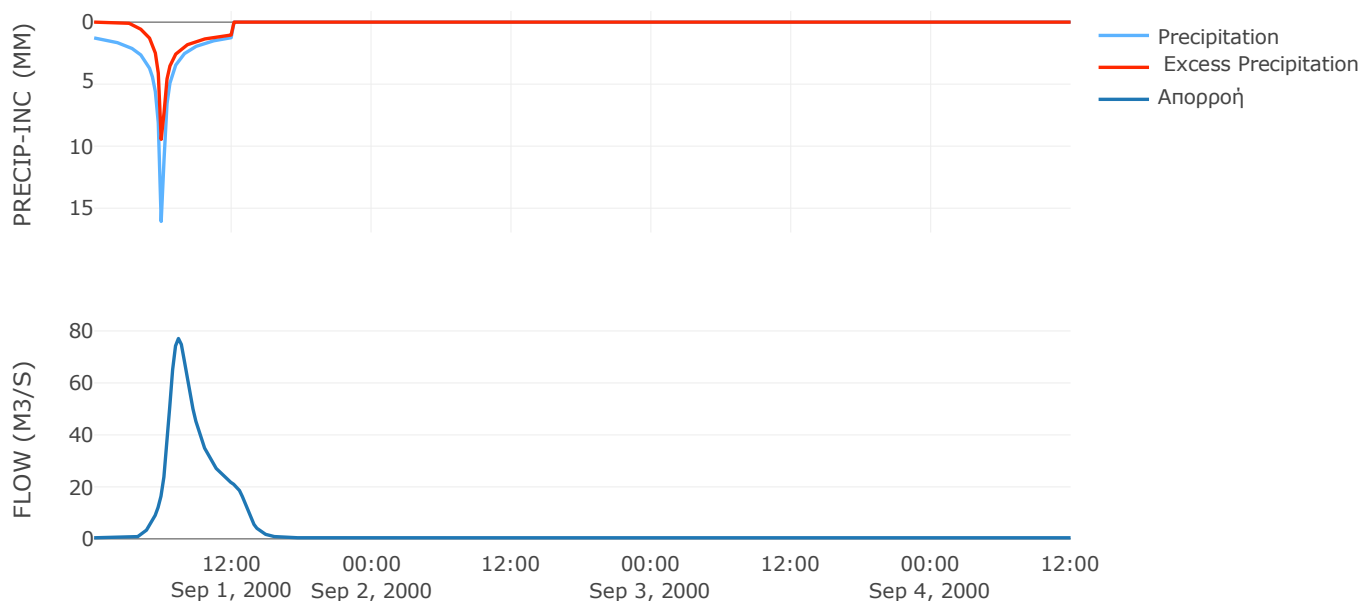
Μέθοδος Μετασχηματισμού: SCS

Χρόνος Υστέρησης	65.51
------------------	-------

Αποτελέσματα:
EL0421FR003003

Παροχή αιχμής (M3/S)	77.11
Χρονική στιγμή αιχμής	01Sep2000, 07:15
Όγκος (MM)	79.57
Όγκος βροχόπτωσης (M3)	2.11E6
Όγκος απωλειών (M3)	1.03E6
Ενεργός Όγκος (M3)	1.08E6
Όγκος άμεσης απορροής (M3)	1.08E6
Όγκος βασικής απορροής (M3)	1.28E5

Βροχόπτωση και Απορροή



Υπολεκάνη: EL0421FR003004

Έκταση (KM2) : 21.72

Κατάντη : J4

Μέθοδος Απωλειών: SCS

Ποσοστό αδιαπέρατης επιφάνειας	0
Αριθμός Καμπύλης Απορροής-CN	74.84
Αρχικές Απώλειες	17.08

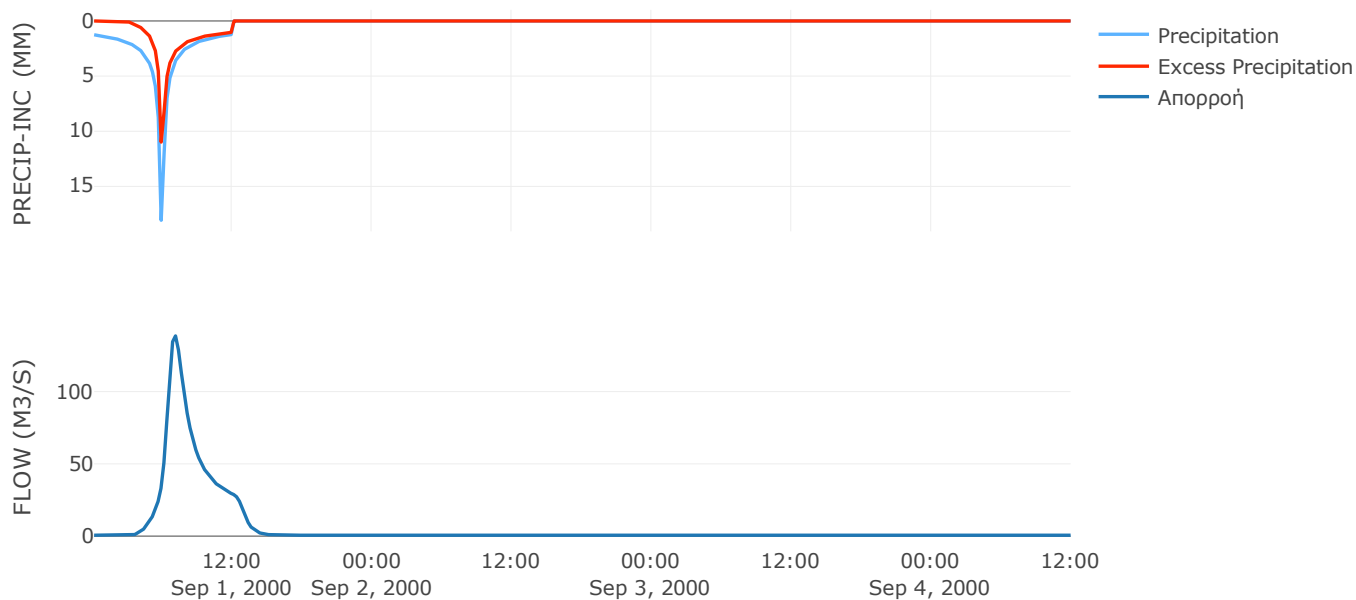
Μέθοδος Μετασχηματισμού: SCS

Χρόνος Υστέρησης	50.33
------------------	-------

Αποτελέσματα:
EL0421FR003004

Παροχή αιχμής (M3/S)	138.51
Χρονική στιγμή αιχμής	01Sep2000, 07:00
Όγκος (MM)	84.69
Όγκος βροχόπτωσης (M3)	3.14E6
Όγκος απωλειών (M3)	1.48E6
Ενεργός Όγκος (M3)	1.66E6
Όγκος άμεσης απορροής (M3)	1.66E6
Όγκος βασικής απορροής (M3)	1.84E5

Βροχόπτωση και Απορροή



Υπολεκάνη: EL0421FR003005

Έκταση (KM2) : 3.17

Κατάντη : J5

Μέθοδος Απωλειών: SCS

Ποσοστό αδιαπέρατης επιφάνειας	0
Αριθμός Καμπύλης Απορροής-CN	80.99
Αρχικές Απώλειες	11.93

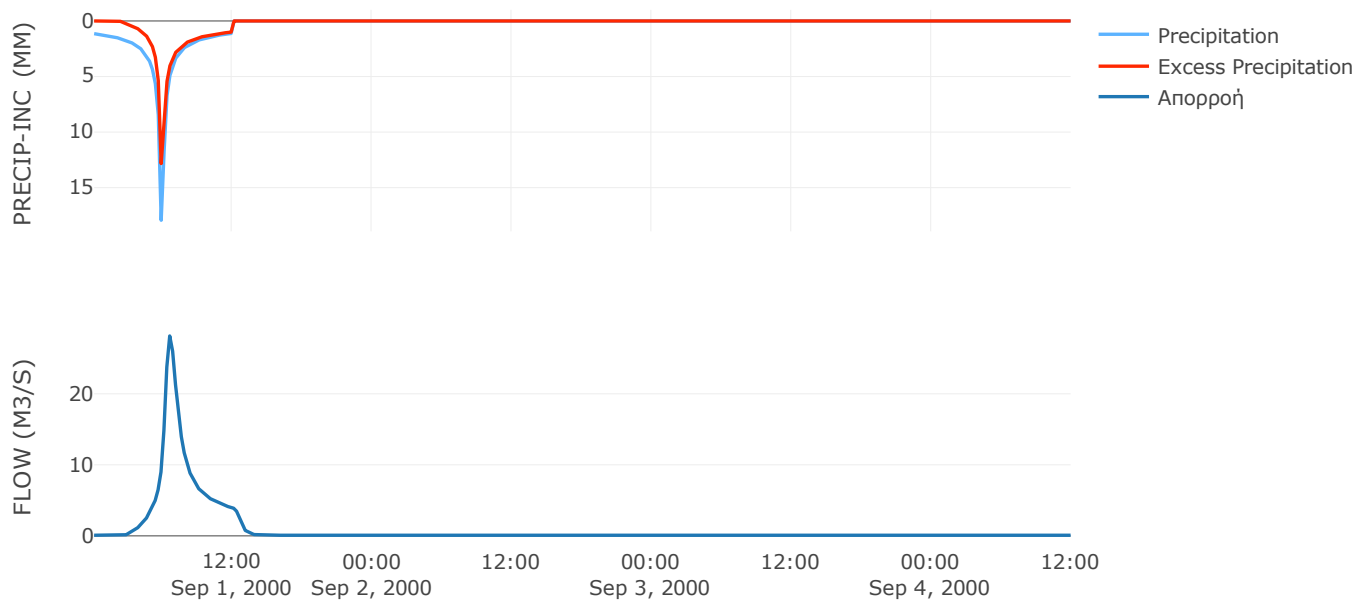
Μέθοδος Μετασχηματισμού: SCS

Χρόνος Υστέρησης	30.62
------------------	-------

Αποτελέσματα:
EL0421FR003005

Παροχή αιχμής (M3/S)	28.15
Χρονική στιγμή αιχμής	01Sep2000, 06:30
Όγκος (MM)	92.71
Όγκος βροχόπτωσης (M3)	4.33E5
Όγκος απωλειών (M3)	1.66E5
Ενεργός Όγκος (M3)	2.67E5
Όγκος άμεσης απορροής (M3)	2.67E5
Όγκος βασικής απορροής (M3)	26847.68

Βροχόπτωση και Απορροή



Υπολεκάνη: EL0421FR003006

Έκταση (KM2) : 4.26

Κατάντη : J6

Μέθοδος Απωλειών: SCS

Ποσοστό αδιαπέρατης επιφάνειας	0
Αριθμός Καμπύλης Απορροής-CN	81.25
Αρχικές Απώλειες	11.72

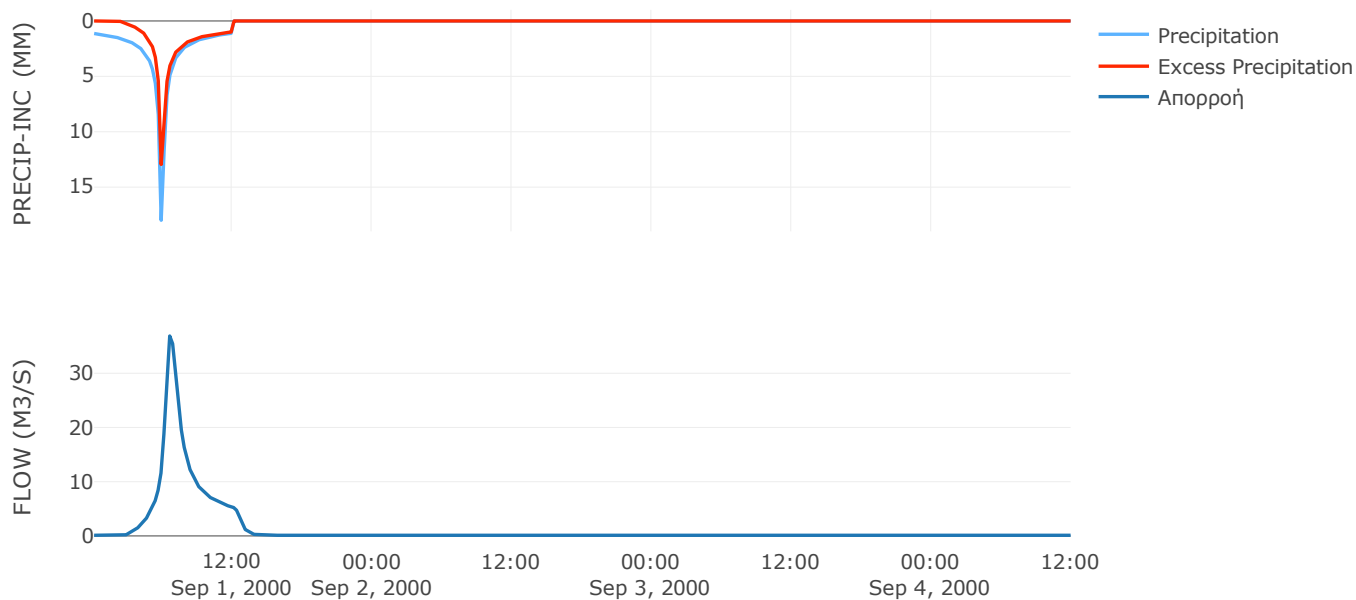
Μέθοδος Μετασχηματισμού: SCS

Χρόνος Υστέρησης	32.83
------------------	-------

Αποτελέσματα:
EL0421FR003006

Παροχή αιχμής (M3/S)	36.88
Χρονική στιγμή αιχμής	01Sep2000, 06:30
Όγκος (MM)	92.94
Όγκος βροχόπτωσης (M3)	5.8E5
Όγκος απωλειών (M3)	2.2E5
Ενεργός Όγκος (M3)	3.6E5
Όγκος άμεσης απορροής (M3)	3.6E5
Όγκος βασικής απορροής (M3)	36094.46

Βροχόπτωση και Απορροή



Υπολεκάνη: EL0421FR003007

Έκταση (KM2) : 5.37

Κατάντη : J7

Μέθοδος Απωλειών: SCS

Ποσοστό αδιαπέρατης επιφάνειας	0
Αριθμός Καμπύλης Απορροής-CN	80.84
Αρχικές Απώλειες	12.04

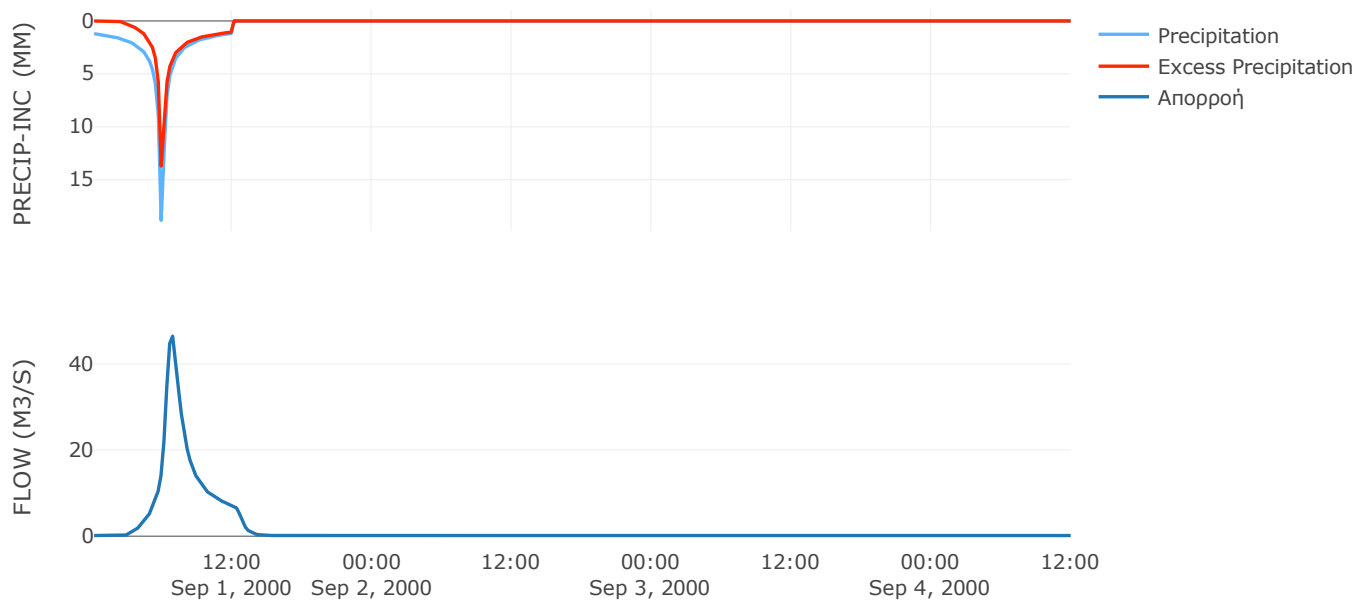
Μέθοδος Μετασχηματισμού: SCS

Χρόνος Υστέρησης	38.31
------------------	-------

Αποτελέσματα:
EL0421FR003007

Παροχή αιχμής (M3/S)	46.44
Χρονική στιγμή αιχμής	01Sep2000, 06:45
Όγκος (MM)	98.3
Όγκος βροχόπτωσης (M3)	7.69E5
Όγκος απωλειών (M3)	2.86E5
Ενεργός Όγκος (M3)	4.82E5
Όγκος άμεσης απορροής (M3)	4.82E5
Όγκος βασικής απορροής (M3)	45471.89

Βροχόπτωση και Απορροή



Υπολεκάνη: EL0421FR003008

Έκταση (KM2) : 1.34

Κατάντη : J8

Μέθοδος Απωλειών: SCS

Ποσοστό αδιαπέρατης επιφάνειας	0
Αριθμός Καμπύλης Απορροής-CN	82.38
Αρχικές Απώλειες	10.87

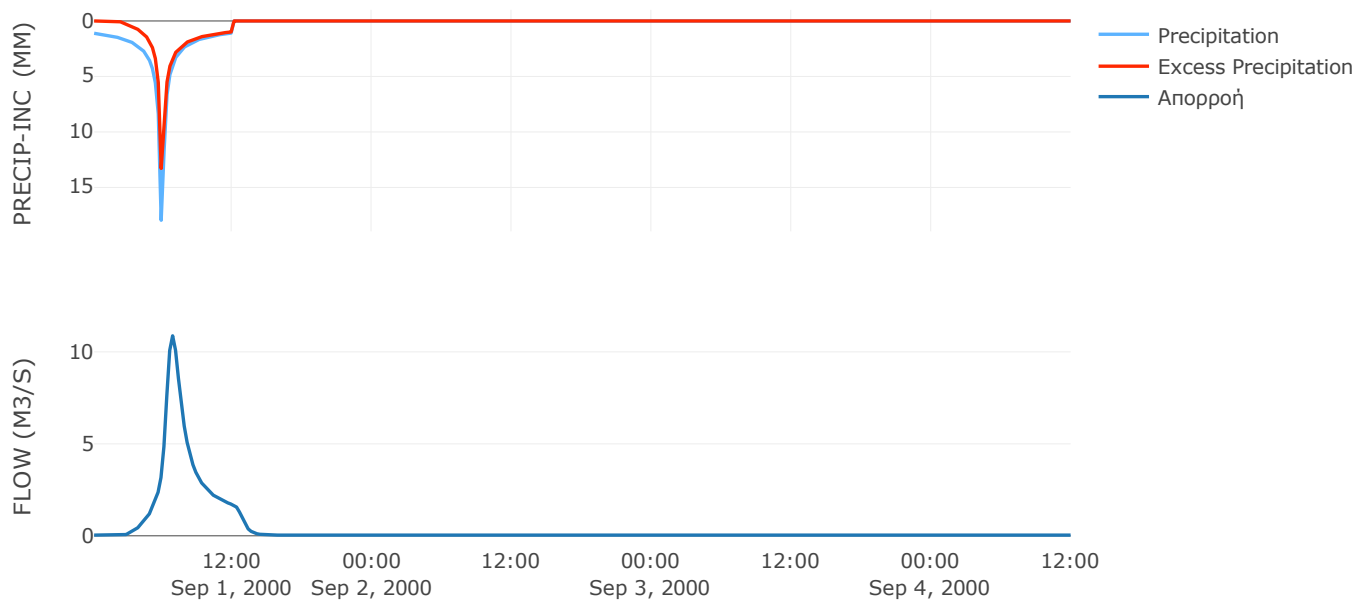
Μέθοδος Μετασχηματισμού: SCS

Χρόνος Υστέρησης	41.81
------------------	-------

Αποτελέσματα:
EL0421FR003008

Παροχή αιχμής (M3/S)	10.87
Χρονική στιγμή αιχμής	01Sep2000, 06:45
Όγκος (MM)	94.29
Όγκος βροχόπτωσης (M3)	1.8E5
Όγκος απωλειών (M3)	65145.22
Ενεργός Όγκος (M3)	1.15E5
Όγκος άμεσης απορροής (M3)	1.15E5
Όγκος βασικής απορροής (M3)	11349.98

Βροχόπτωση και Απορροή



Υπολεκάνη: EL0421FR003009

Έκταση (KM2) : 1.01

Κατάντη : J9

Μέθοδος Απωλειών: SCS

Ποσοστό αδιαπέρατης επιφάνειας	0
Αριθμός Καμπύλης Απορροής-CN	82.01
Αρχικές Απώλειες	11.14

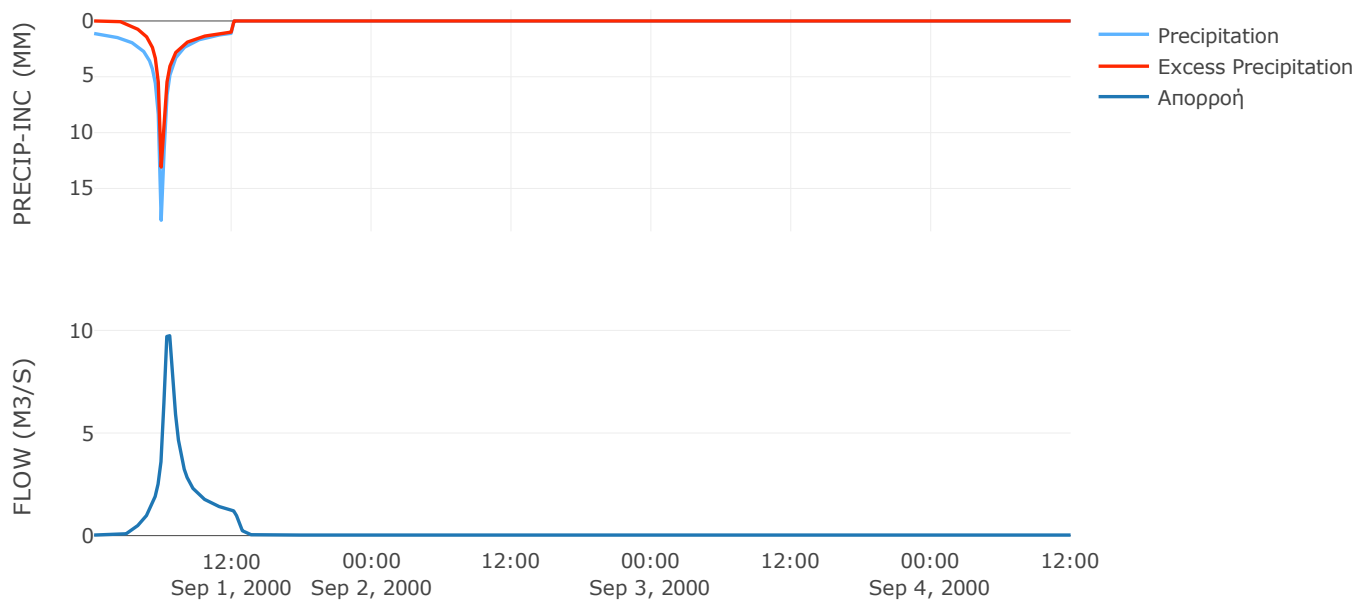
Μέθοδος Μετασχηματισμού: SCS

Χρόνος Υστέρησης	22.14
------------------	-------

Αποτελέσματα:
EL0421FR003009

Παροχή αιχμής (M3/S)	9.74
Χρονική στιγμή αιχμής	01Sep2000, 06:30
Όγκος (MM)	93.74
Όγκος βροχόπτωσης (M3)	1.37E5
Όγκος απωλειών (M3)	50246.7
Ενεργός Όγκος (M3)	86448.37
Όγκος άμεσης απορροής (M3)	86448.37
Όγκος βασικής απορροής (M3)	8583.93

Βροχόπτωση και Απορροή



Υπολεκάνη: EL0421FR003010

Έκταση (KM2) : 1.43

Κατάντη : J10

Μέθοδος Απωλειών: SCS

Ποσοστό αδιαπέρατης επιφάνειας	0
Αριθμός Καμπύλης Απορροής-CN	82.35
Αρχικές Απώλειες	10.89

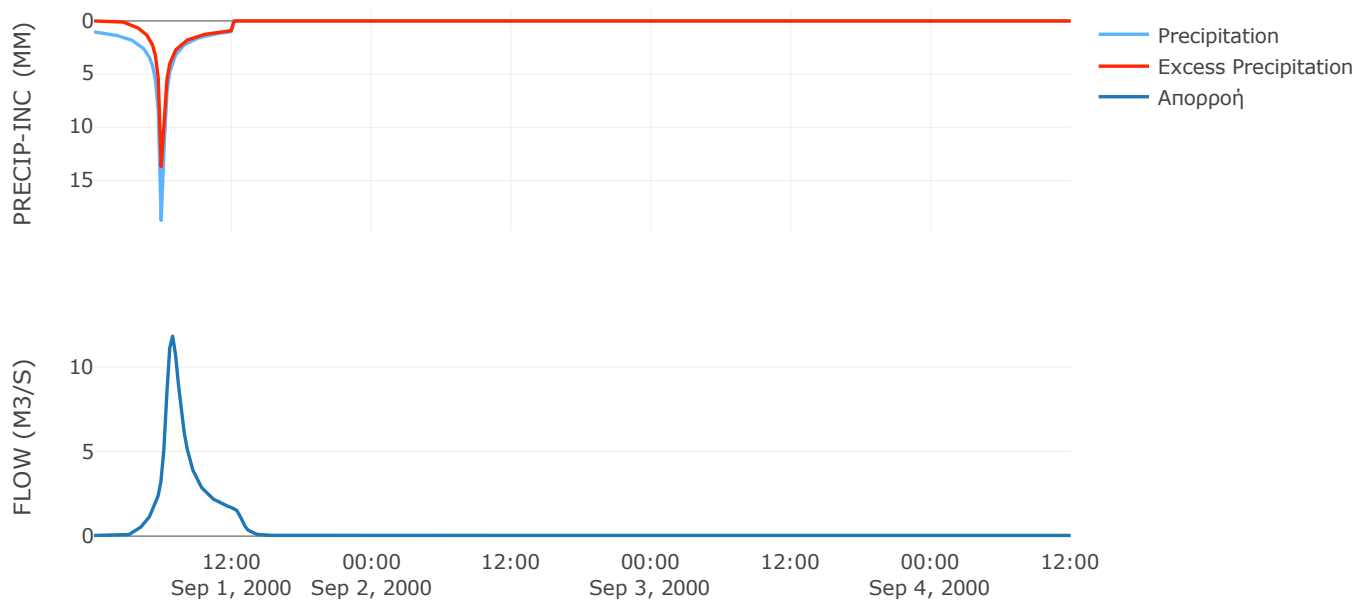
Μέθοδος Μετασχηματισμού: SCS

Χρόνος Υστέρησης	40.43
------------------	-------

Αποτελέσματα:
EL0421FR003010

Παροχή αιχμής (M3/S)	11.83
Χρονική στιγμή αιχμής	01Sep2000, 06:45
Όγκος (MM)	91.14
Όγκος βροχόπτωσης (M3)	1.88E5
Όγκος απωλειών (M3)	69222.61
Ενεργός Όγκος (M3)	1.18E5
Όγκος άμεσης απορροής (M3)	1.18E5
Όγκος βασικής απορροής (M3)	12123.82

Βροχόπτωση και Απορροή



Υπολεκάνη: EL0421FR003011

Έκταση (KM2) : 5.43

Κατάντη : J11

Μέθοδος Απωλειών: SCS

Ποσοστό αδιαπέρατης επιφάνειας	0
Αριθμός Καμπύλης Απορροής-CN	81.25
Αρχικές Απώλειες	11.73

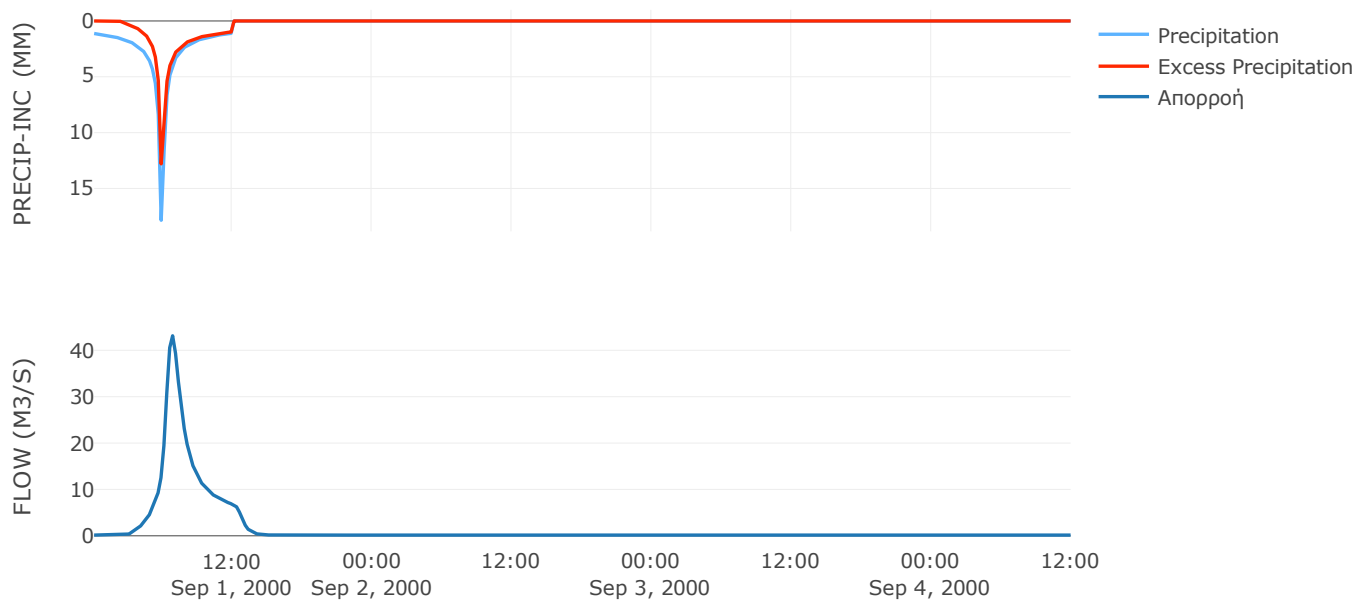
Μέθοδος Μετασχηματισμού: SCS

Χρόνος Υστέρησης	40.27
------------------	-------

Αποτελέσματα:
EL0421FR003011

Παροχή αιχμής (M3/S)	43.13
Χρονική στιγμή αιχμής	01Sep2000, 06:45
Όγκος (MM)	91.86
Όγκος βροχόπτωσης (M3)	7.32E5
Όγκος απωλειών (M3)	2.79E5
Ενεργός Όγκος (M3)	4.53E5
Όγκος άμεσης απορροής (M3)	4.53E5
Όγκος βασικής απορροής (M3)	45952.7

Βροχόπτωση και Απορροή



Υπολεκάνη: EL0421FR003012

Έκταση (KM2) : 4.3

Κατάντη : J12

Μέθοδος Απωλειών: SCS

Ποσοστό αδιαπέρατης επιφάνειας	0
Αριθμός Καμπύλης Απορροής-CN	80.81
Αρχικές Απώλειες	12.06

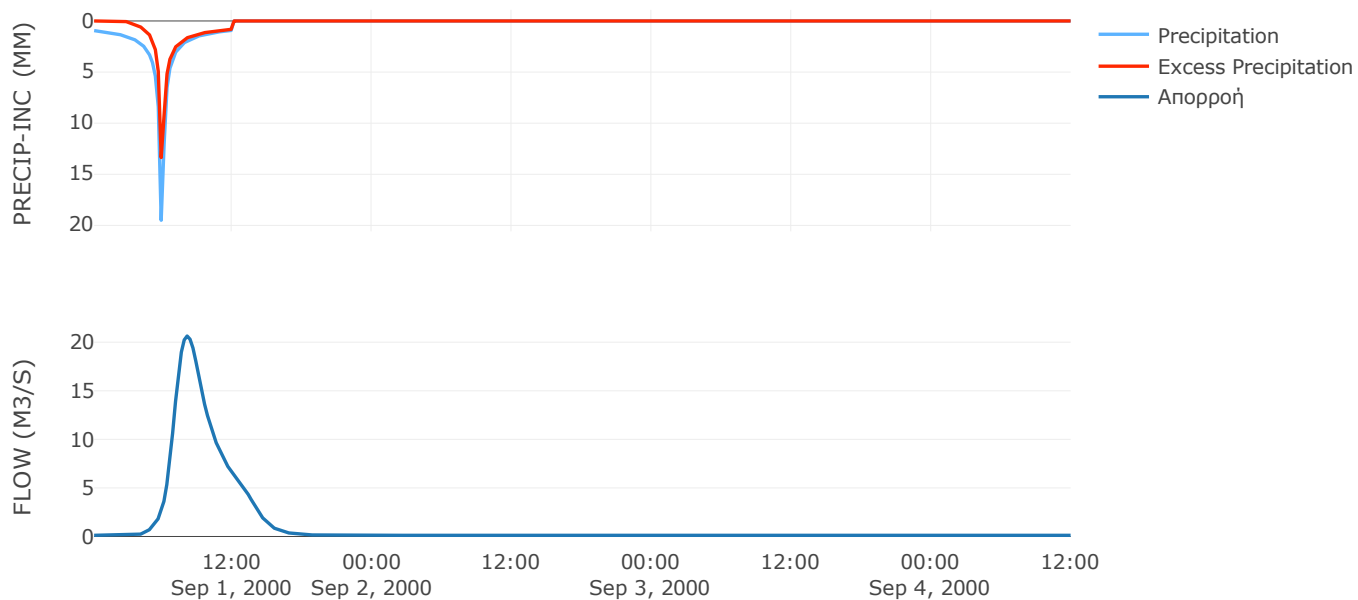
Μέθοδος Μετασχηματισμού: SCS

Χρόνος Υστέρησης	107.92
------------------	--------

Αποτελέσματα:
EL0421FR003012

Παροχή αιχμής (M3/S)	20.64
Χρονική στιγμή αιχμής	01Sep2000, 08:00
Όγκος (MM)	84.02
Όγκος βροχόπτωσης (M3)	5.46E5
Όγκος απωλειών (M3)	2.22E5
Ενεργός Όγκος (M3)	3.24E5
Όγκος άμεσης απορροής (M3)	3.24E5
Όγκος βασικής απορροής (M3)	36366.62

Βροχόπτωση και Απορροή



Υπολεκάνη: EL0421FR003013

Έκταση (KM2) : 1.25

Κατάντη : J13

Μέθοδος Απωλειών: SCS

Ποσοστό αδιαπέρατης επιφάνειας	0
Αριθμός Καμπύλης Απορροής-CN	81.81
Αρχικές Απώλειες	11.3

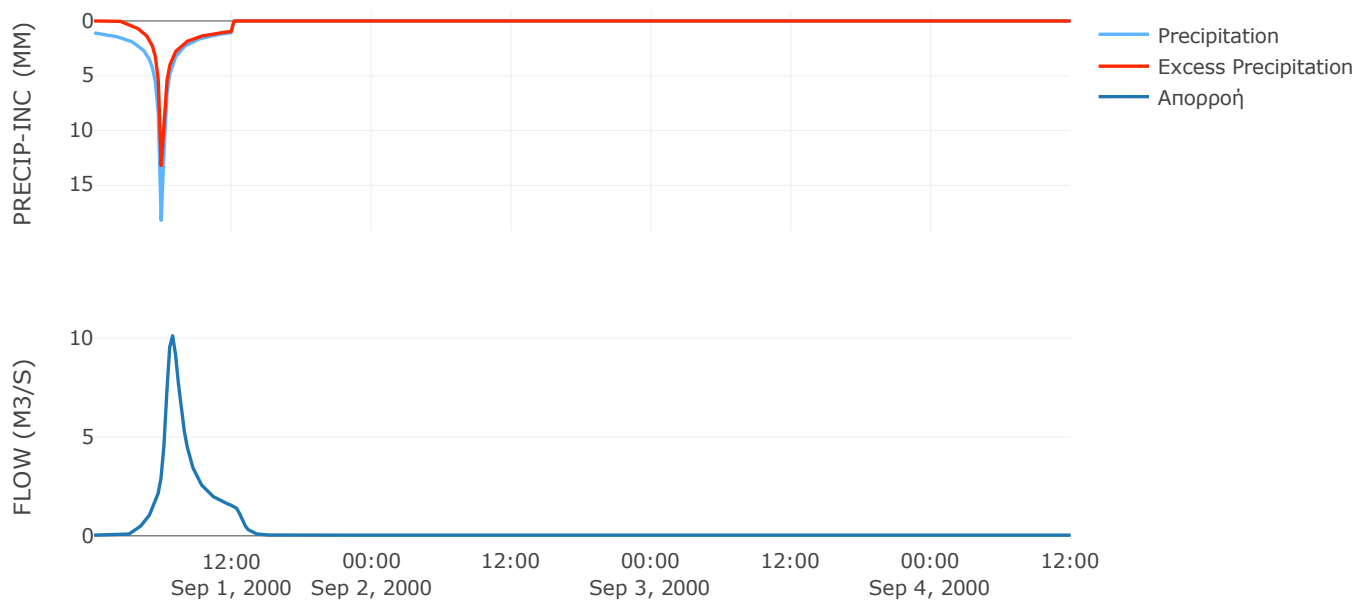
Μέθοδος Μετασχηματισμού: SCS

Χρόνος Υστέρησης	40.09
------------------	-------

Αποτελέσματα:
EL0421FR003013

Παροχή αιχμής (M3/S)	10.11
Χρονική στιγμή αιχμής	01Sep2000, 06:45
Όγκος (MM)	92.06
Όγκος βροχόπτωσης (M3)	1.66E5
Όγκος απωλειών (M3)	62172.23
Ενεργός Όγκος (M3)	1.04E5
Όγκος άμεσης απορροής (M3)	1.04E5
Όγκος βασικής απορροής (M3)	10544.69

Βροχόπτωση και Απορροή



Υπολεκάνη: EL0421FR003014

Έκταση (KM2) : 2.74

Κατάντη : J14

Μέθοδος Απωλειών: SCS

Ποσοστό αδιαπέρατης επιφάνειας	0
Αριθμός Καμπύλης Απορροής-CN	78.98
Αρχικές Απώλειες	13.52

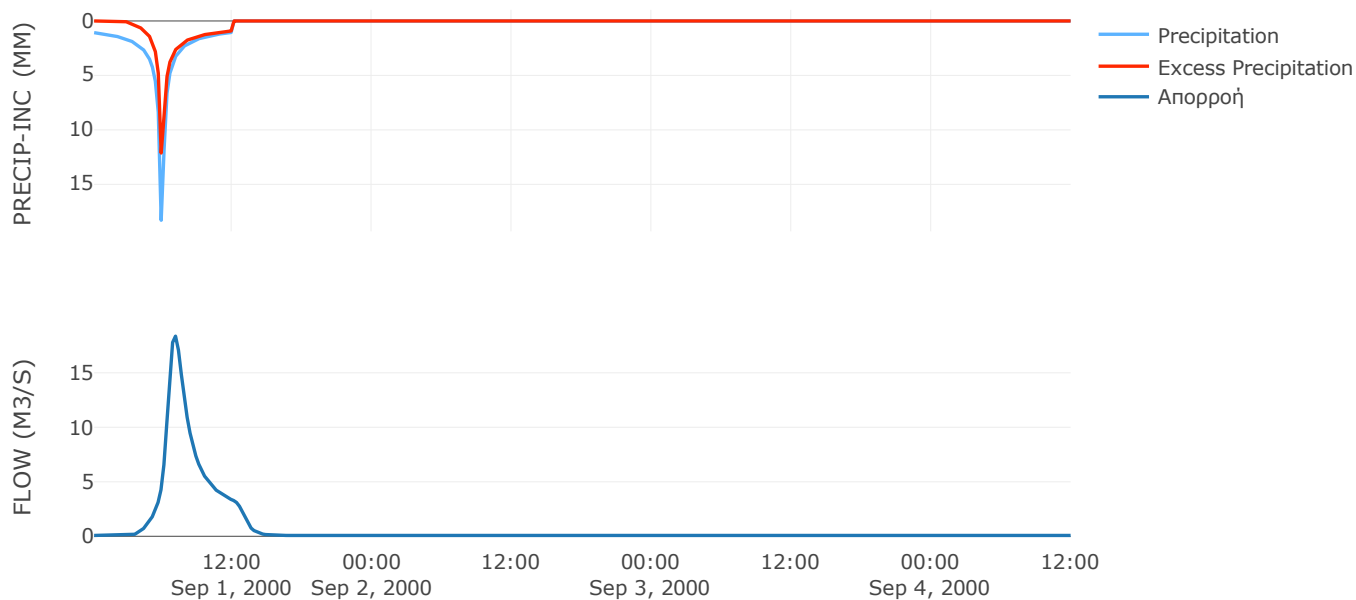
Μέθοδος Μετασχηματισμού: SCS

Χρόνος Υστέρησης	51.62
------------------	-------

Αποτελέσματα:
EL0421FR003014

Παροχή αιχμής (M3/S)	18.36
Χρονική στιγμή αιχμής	01Sep2000, 07:00
Όγκος (MM)	84.68
Όγκος βροχόπτωσης (M3)	3.65E5
Όγκος απωλειών (M3)	1.56E5
Ενεργός Όγκος (M3)	2.09E5
Όγκος άμεσης απορροής (M3)	2.09E5
Όγκος βασικής απορροής (M3)	23234.6

Βροχόπτωση και Απορροή



Υπολεκάνη: EL0421FR003015

Έκταση (KM2) : 12.69

Κατάντη : J15

Μέθοδος Απωλειών: SCS

Ποσοστό αδιαπέρατης επιφάνειας	0
Αριθμός Καμπύλης Απορροής-CN	80.39
Αρχικές Απώλειες	12.39

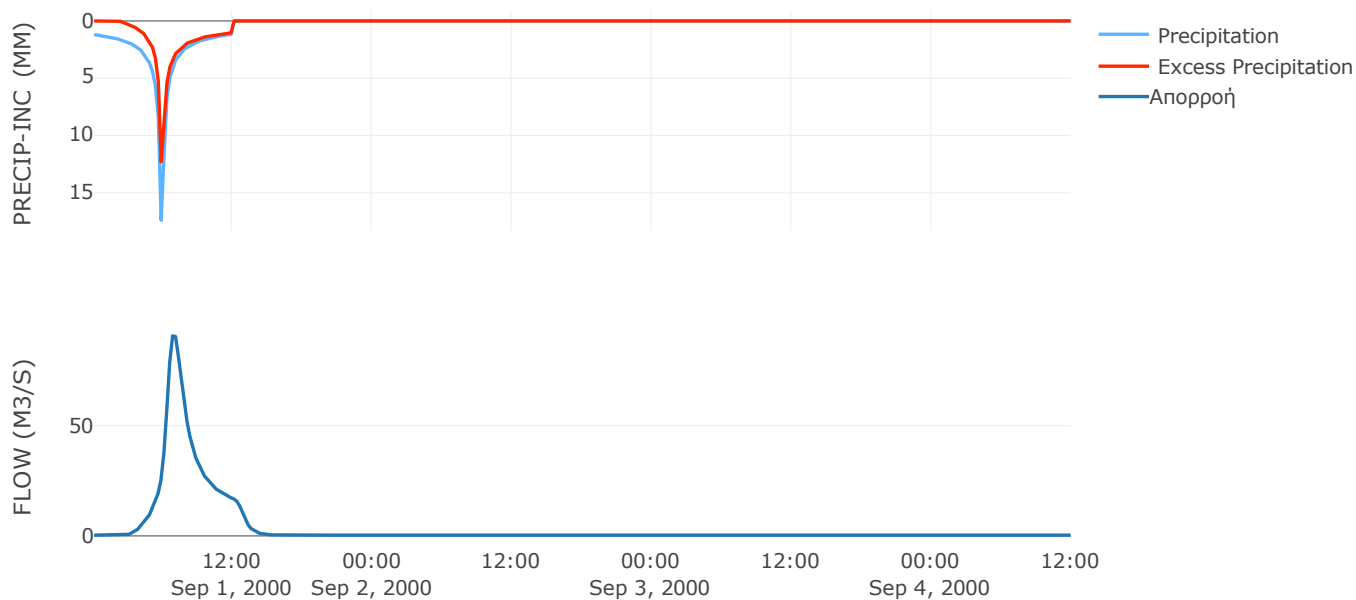
Μέθοδος Μετασχηματισμού: SCS

Χρόνος Υστέρησης	48.16
------------------	-------

Αποτελέσματα:
EL0421FR003015

Παροχή αιχμής (M3/S)	90.7
Χρονική στιγμή αιχμής	01Sep2000, 06:45
Όγκος (MM)	92.17
Όγκος βροχόπτωσης (M3)	1.74E6
Όγκος απωλειών (M3)	6.83E5
Ενεργός Όγκος (M3)	1.06E6
Όγκος άμεσης απορροής (M3)	1.06E6
Όγκος βασικής απορροής (M3)	1.07E5

Βροχόπτωση και Απορροή



Υπολεκάνη: EL0421FR003016

Έκταση (KM2) : 1.7

Κατάντη : J16

Μέθοδος Απωλειών: SCS

Ποσοστό αδιαπέρατης επιφάνειας	0
Αριθμός Καμπύλης Απορροής-CN	80.28
Αρχικές Απώλειες	12.47

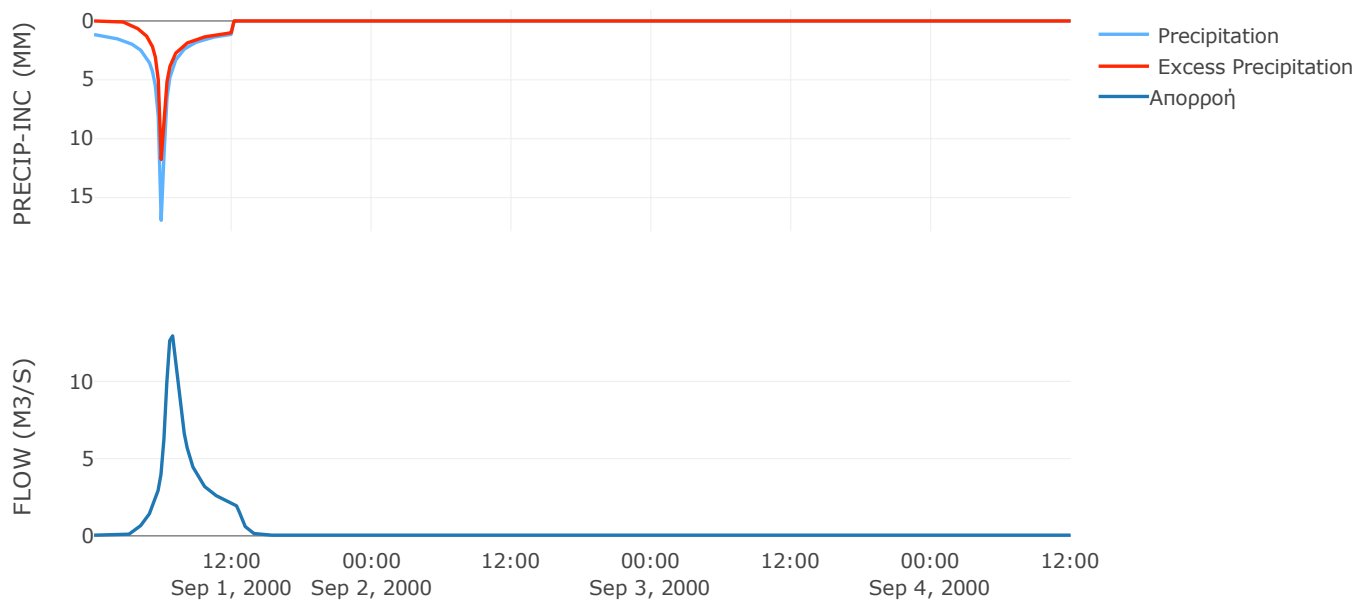
Μέθοδος Μετασχηματισμού: SCS

Χρόνος Υστέρησης	36.92
------------------	-------

Αποτελέσματα:
EL0421FR003016

Παροχή αιχμής (M3/S)	12.95
Χρονική στιγμή αιχμής	01Sep2000, 06:45
Όγκος (MM)	88.72
Όγκος βροχόπτωσης (M3)	2.28E5
Όγκος απωλειών (M3)	91280.8
Ενεργός Όγκος (M3)	1.36E5
Όγκος άμεσης απορροής (M3)	1.36E5
Όγκος βασικής απορροής (M3)	14396.66

Βροχόπτωση και Απορροή



Υπολεκάνη: EL0421FR003017

Έκταση (KM2) : 1.9

Κατάντη : J17

Μέθοδος Απωλειών: SCS

Ποσοστό αδιαπέρατης επιφάνειας	0
Αριθμός Καμπύλης Απορροής-CN	80.89
Αρχικές Απώλειες	12

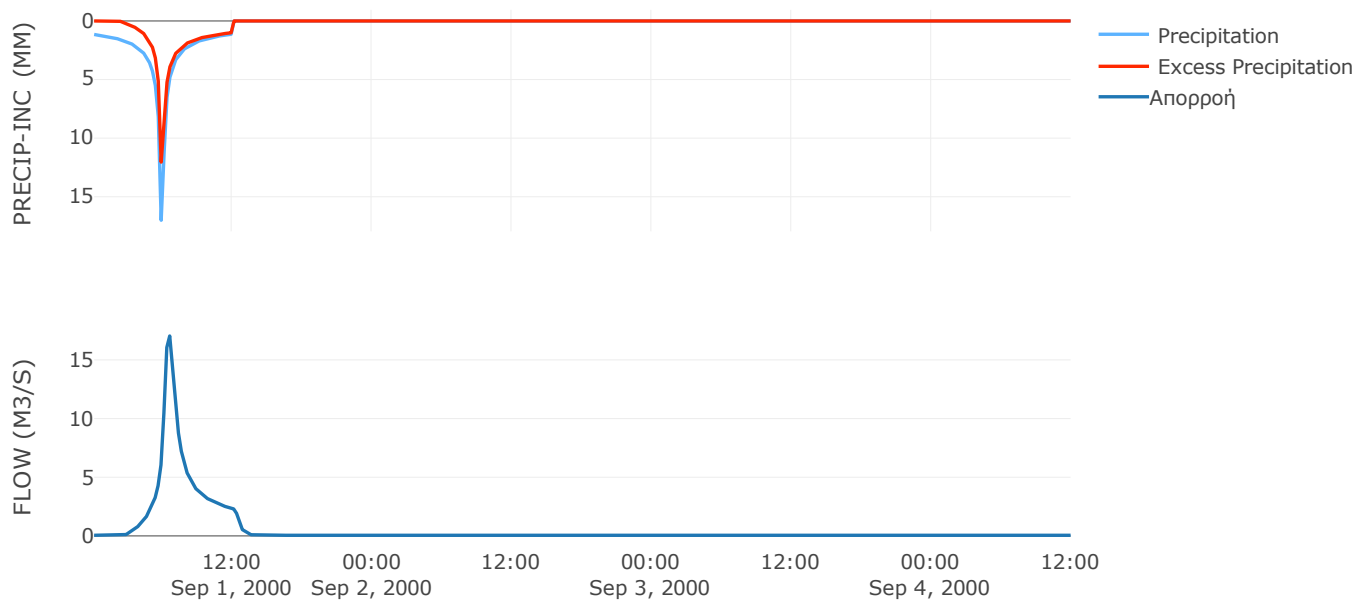
Μέθοδος Μετασχηματισμού: SCS

Χρόνος Υστέρησης	24.17
------------------	-------

Αποτελέσματα:
EL0421FR003017

Παροχή αιχμής (M3/S)	17.04
Χρονική στιγμή αιχμής	01Sep2000, 06:30
Όγκος (MM)	90.29
Όγκος βροχόπτωσης (M3)	2.55E5
Όγκος απωλειών (M3)	99351.46
Ενεργός Όγκος (M3)	1.56E5
Όγκος άμεσης απορροής (M3)	1.56E5
Όγκος βασικής απορροής (M3)	16110.06

Βροχόπτωση και Απορροή



5.2 Δεδομένα και Υδρογραφήματα Σχεδιασμού Κλάδων Υδρογραφικού Δικτύου

Κλάδος: R21

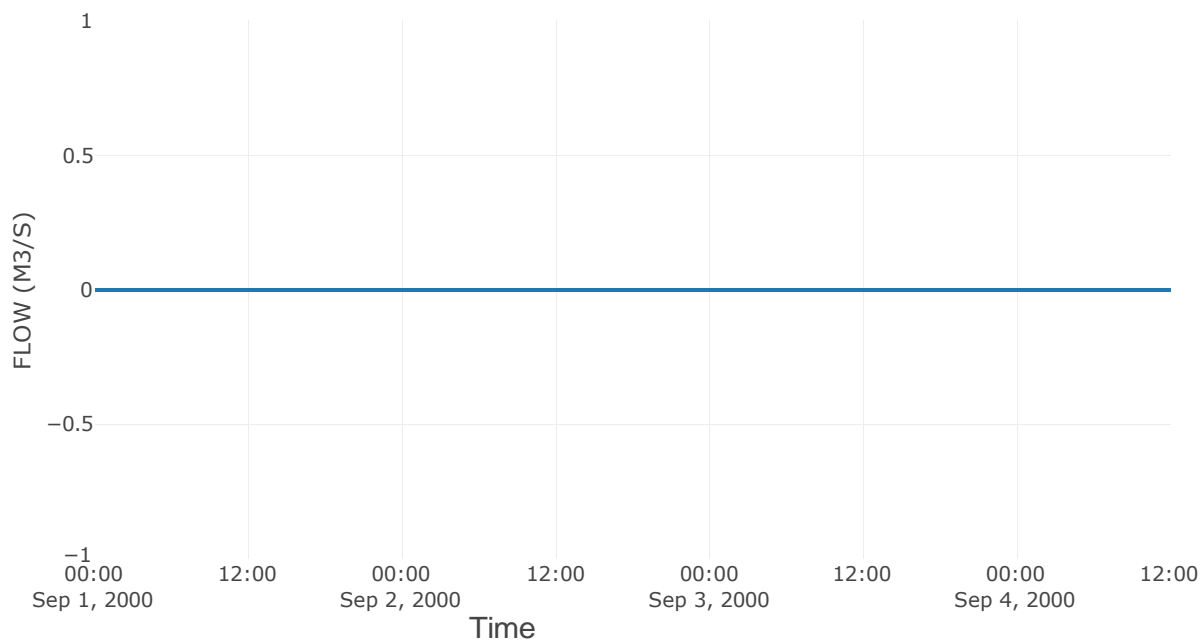
Κατάντη : J1

Μέθοδος Διόδευσης	Χρόνος
Αρχική Μεταβλητή	Combined Inflow
Χρόνος Υστέρησης	11.83

Αποτελέσματα: R21

Παροχή Αιχμής (M3/S)	0
Χρονική στιγμή αιχμής	31Aug2000, 24:00
Εισροή Αιχμής (M3/S)	0
Όγκος Εισροής (M3)	0

Απορροή



Κλάδος: R43

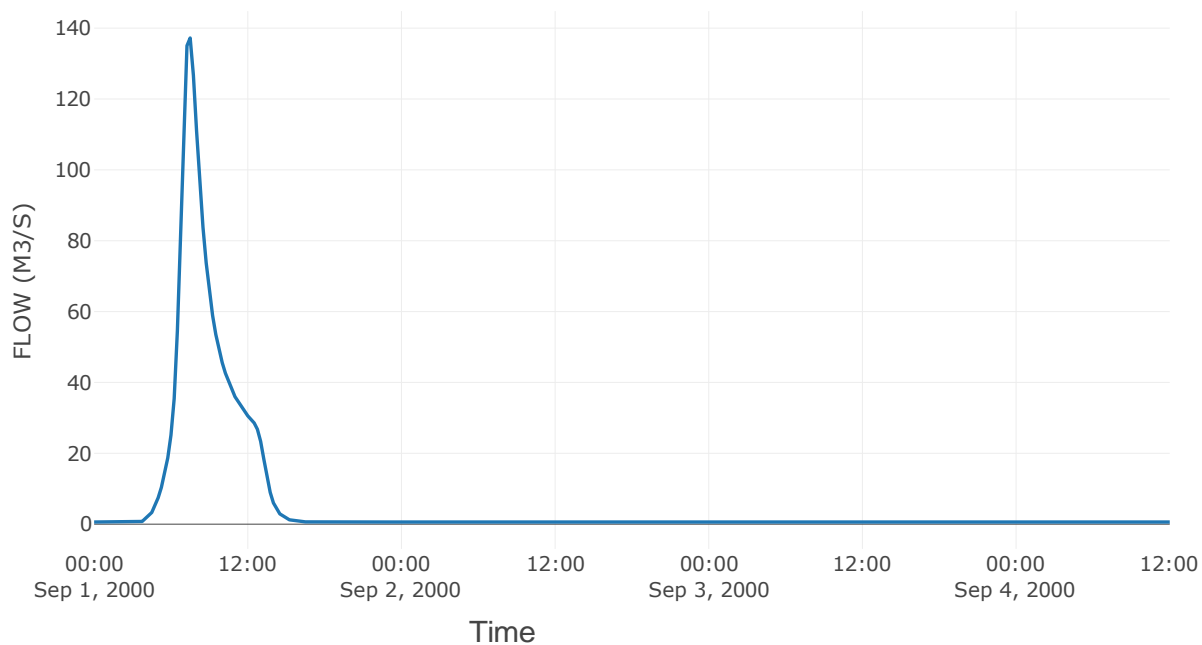
Κατάντη : J3

Μέθοδος Διόδευσης	Χρόνος
Αρχική Μεταβλητή	Combined Inflow
Χρόνος Υστέρησης	28.9

Αποτελέσματα: R43

Παροχή Αιχμής (M3/S)	137.22
Χρονική στιγμή αιχμής	01Sep2000, 07:30
Όγκος (MM)	84.69
Παροχή Αιχμής Εισόδου (M3/S)	138.51
Όγκος Εισροής (M3)	1.84E6

Απορροή



Κλάδος: R65

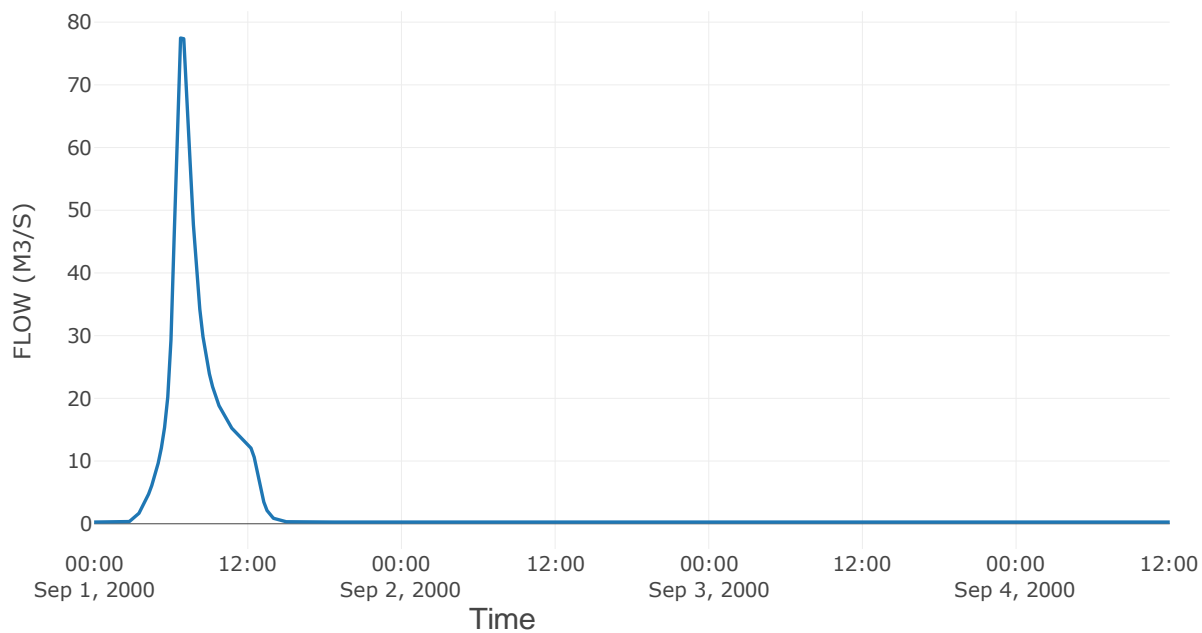
Κατάντη : J5

Μέθοδος Διόδευσης	Χρόνος
Αρχική Μεταβλητή	Combined Inflow
Χρόνος Υστέρησης	6.39

Αποτελέσματα: R65

Παροχή Αιχμής (M3/S)	77.46
Χρονική στιγμή αιχμής	01Sep2000, 06:45
Όγκος (MM)	95.93
Παροχή Αιχμής Εισόδου (M3/S)	80.45
Όγκος Εισροής (M3)	9.24E5

Απορροή



Κλάδος: R76

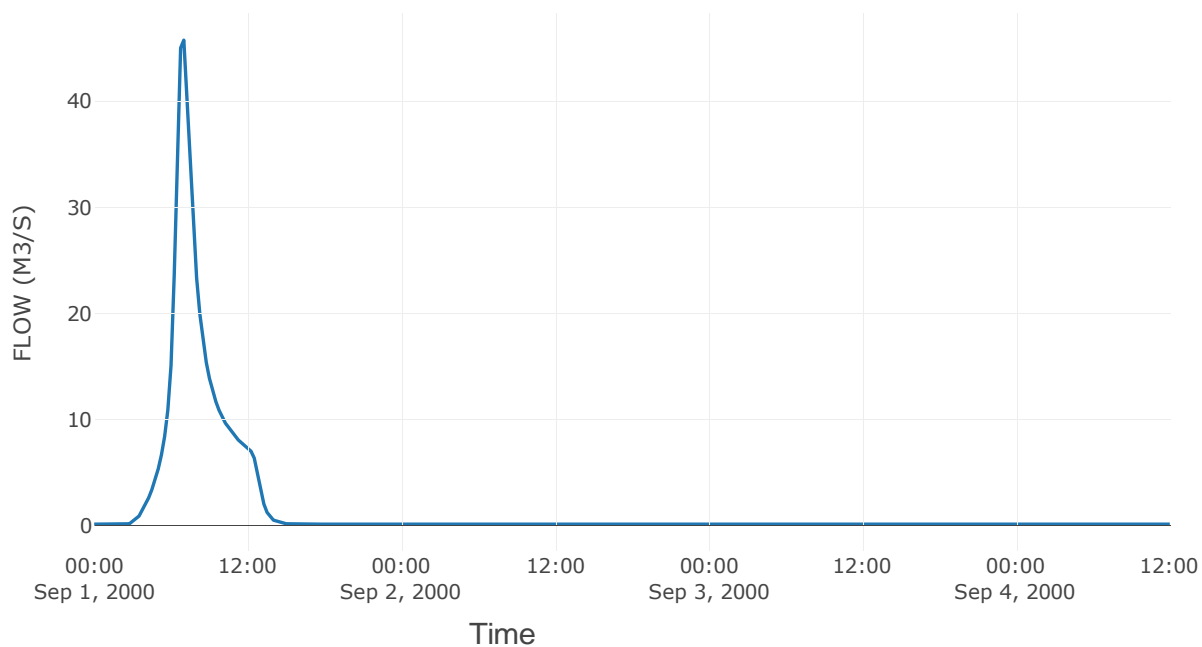
Κατάντη : J6

Μέθοδος Διόδευσης	Χρόνος
Αρχική Μεταβλητή	Combined Inflow
Χρόνος Υστέρησης	13.37

Αποτελέσματα: R76

Παροχή Αιχμής (M3/S)	45.74
Χρονική στιγμή αιχμής	01Sep2000, 07:00
Όγκος (MM)	98.3
Παροχή Αιχμής Εισόδου (M3/S)	46.44
Όγκος Εισροής (M3)	5.28E5

Απορροή



Κλάδος: R98

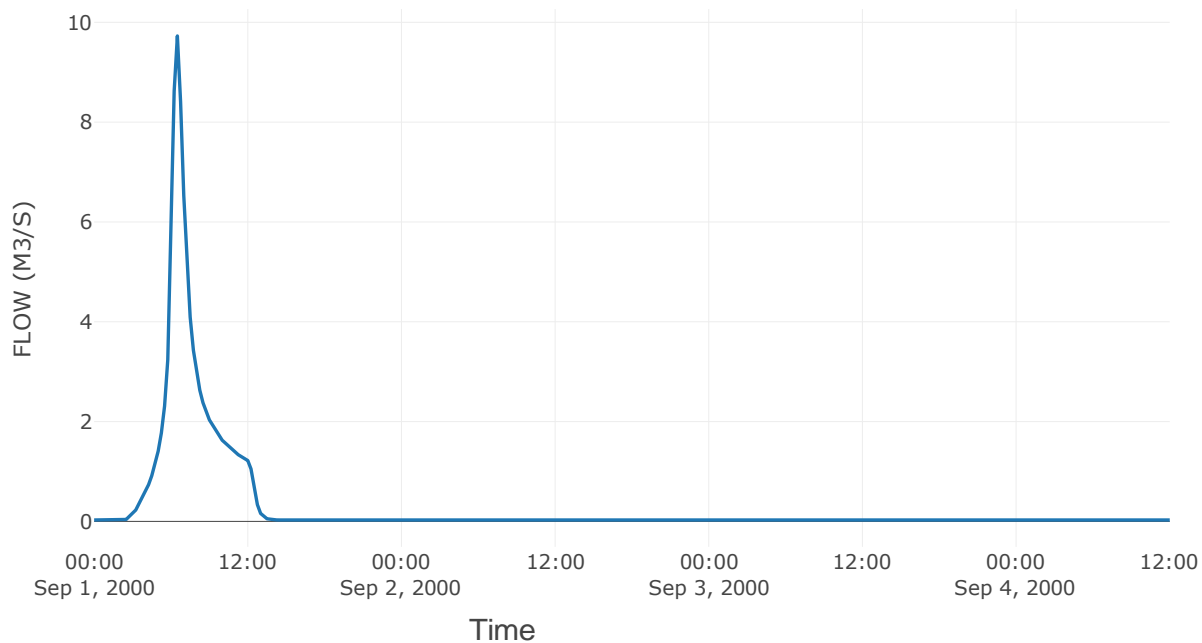
Κατάντη : J8

Μέθοδος Διόδευσης	Χρόνος
Αρχική Μεταβλητή	Combined Inflow
Χρόνος Υστέρησης	5.35

Αποτελέσματα: R98

Παροχή Αιχμής (M3/S)	9.73
Χρονική στιγμή αιχμής	01Sep2000, 06:30
Όγκος (MM)	93.74
Παροχή Αιχμής Εισόδου (M3/S)	9.74
Όγκος Εισροής (M3)	95032.3

Απορροή



Κλάδος: R1110

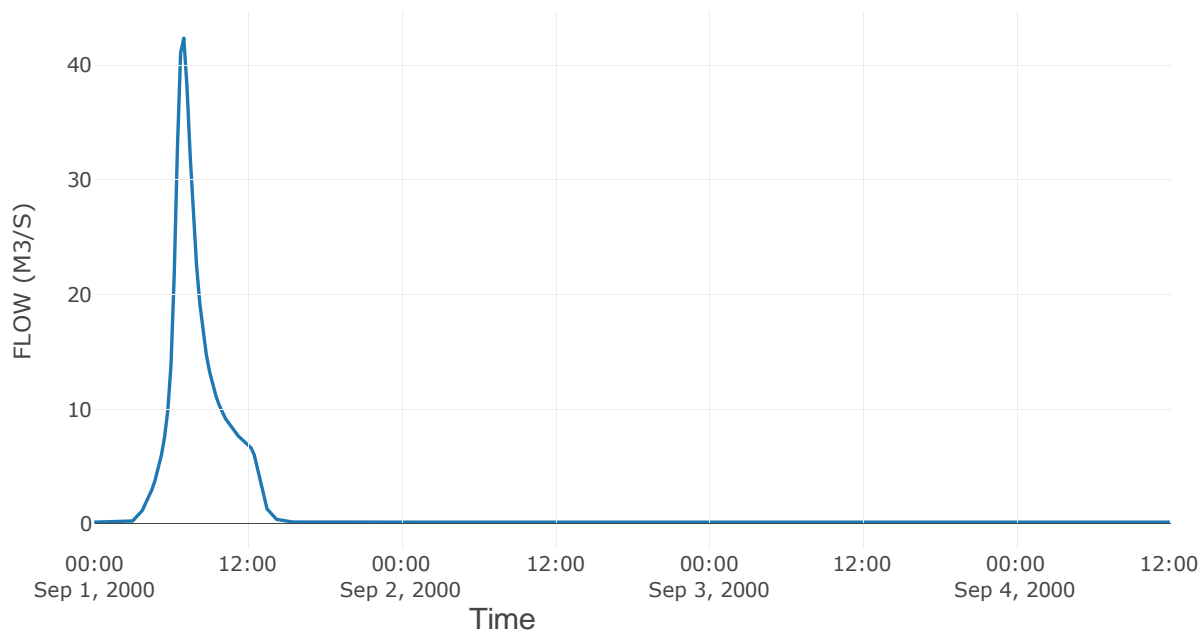
Κατάντη : J10

Μέθοδος Διόδευσης	Χρόνος
Αρχική Μεταβλητή	Combined Inflow
Χρόνος Υστέρησης	12.12

Αποτελέσματα: R1110

Παροχή Αιχμής (M3/S)	42.38
Χρονική στιγμή αιχμής	01Sep2000, 07:00
Όγκος (MM)	91.86
Παροχή Αιχμής Εισόδου (M3/S)	43.13
Όγκος Εισροής (M3)	4.99E5

Απορροή



Κλάδος: R1312

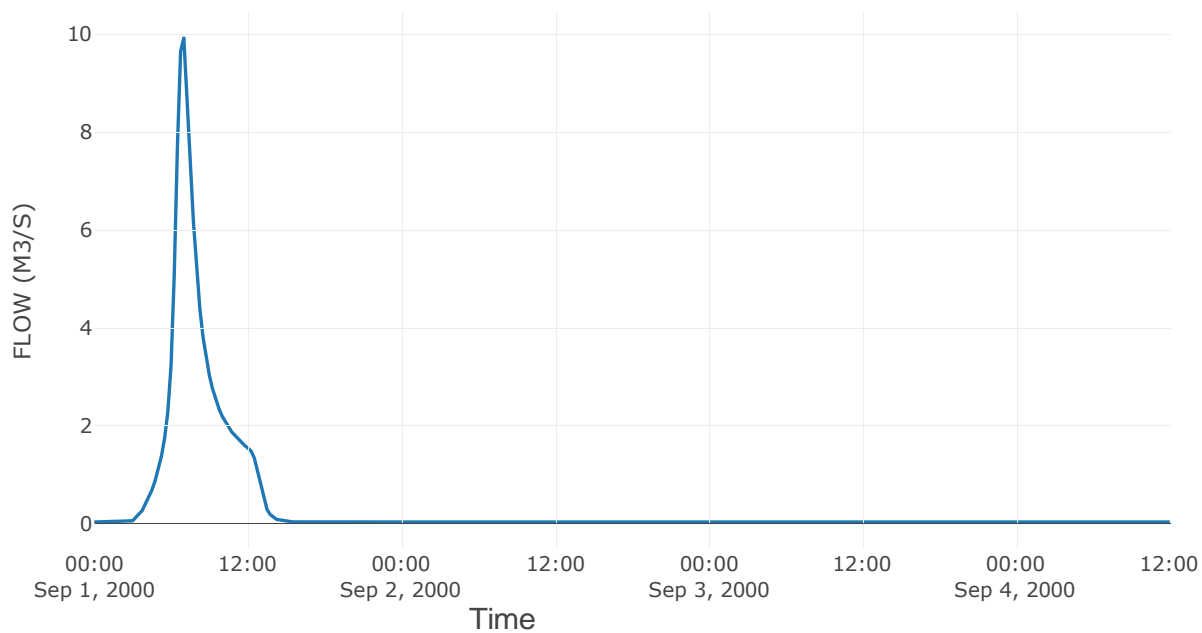
Κατάντη : J12

Μέθοδος Διόδευσης	Χρόνος
Αρχική Μεταβλητή	Combined Inflow
Χρόνος Υστέρησης	12.31

Αποτελέσματα: R1312

Παροχή Αιχμής (M3/S)	9.92
Χρονική στιγμή αιχμής	01Sep2000, 07:00
Όγκος (MM)	92.06
Παροχή Αιχμής Εισόδου (M3/S)	10.11
Όγκος Εισροής (M3)	1.15E5

Απορροή



Κλάδος: R1514

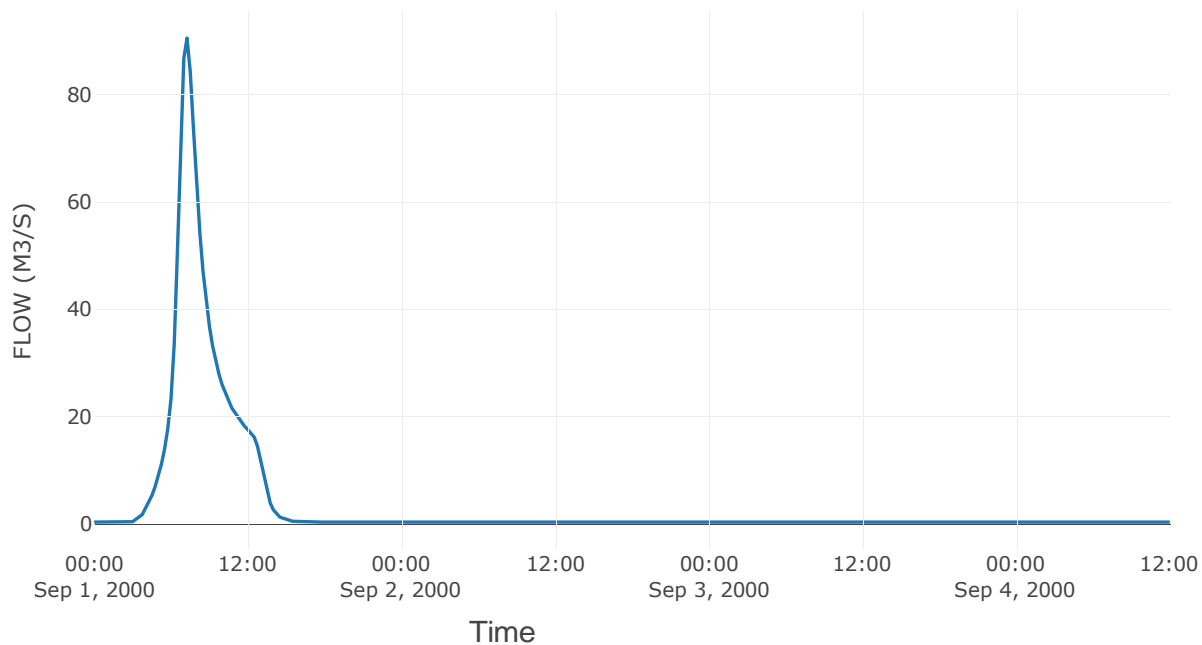
Κατάντη : J14

Μέθοδος Διόδευσης	Χρόνος
Αρχική Μεταβλητή	Combined Inflow
Χρόνος Υστέρησης	20.29

Αποτελέσματα: R1514

Παροχή Αιχμής (M3/S)	90.48
Χρονική στιγμή αιχμής	01Sep2000, 07:15
Όγκος (MM)	92.17
Παροχή Αιχμής Εισόδου (M3/S)	90.7
Όγκος Εισροής (M3)	1.17E6

Απορροή



Κλάδος: R1716

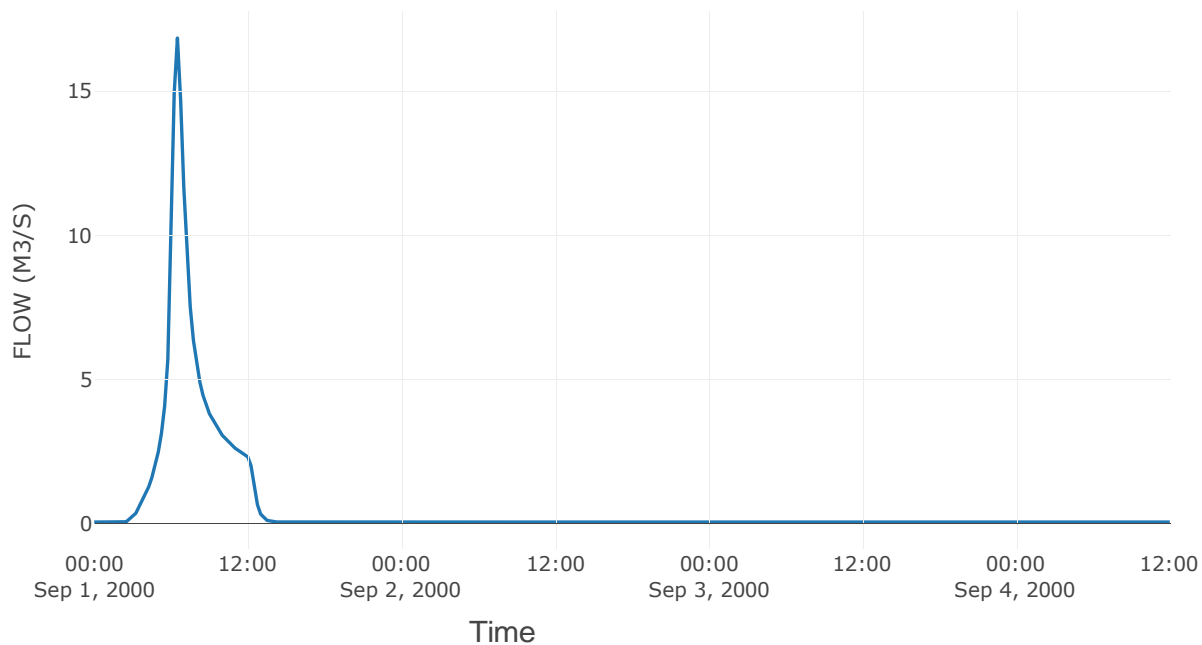
Κατάντη : J16

Μέθοδος Διόδευσης	Χρόνος
Αρχική Μεταβλητή	Combined Inflow
Χρόνος Υστέρησης	3.54

Αποτελέσματα: R1716

Παροχή Αιχμής (M3/S)	16.84
Χρονική στιγμή αιχμής	01Sep2000, 06:30
Όγκος (MM)	90.29
Παροχή Αιχμής Εισόδου (M3/S)	17.04
Όγκος Εισροής (M3)	1.72E5

Απορροή



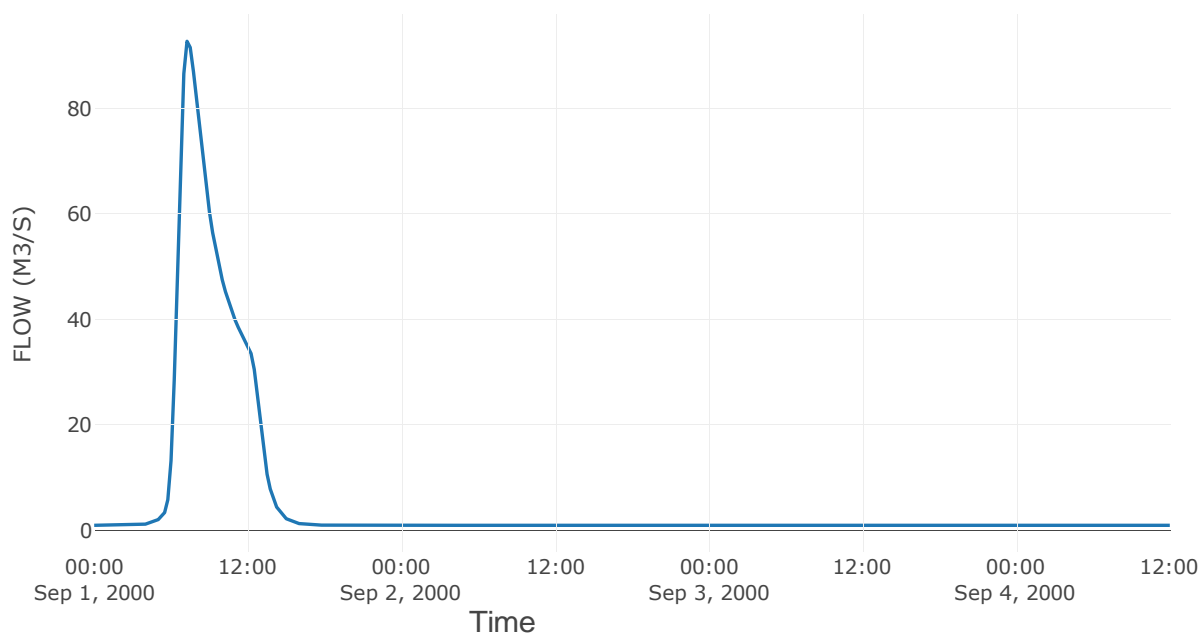
5.3 Δεδομένα και Υδρογραφήματα Σχεδιασμού Κόμβων Υδρογραφικού Δικτύου

Κόμβος εξόδου: J1

Αποτέλεσμα
τα: J1

Παροχή αιχμής (M3/S)	92.72
Χρονική στιγμή αιχμής	01Sep2000, 07:15
Όγκος (MM)	45.69

Απορροή



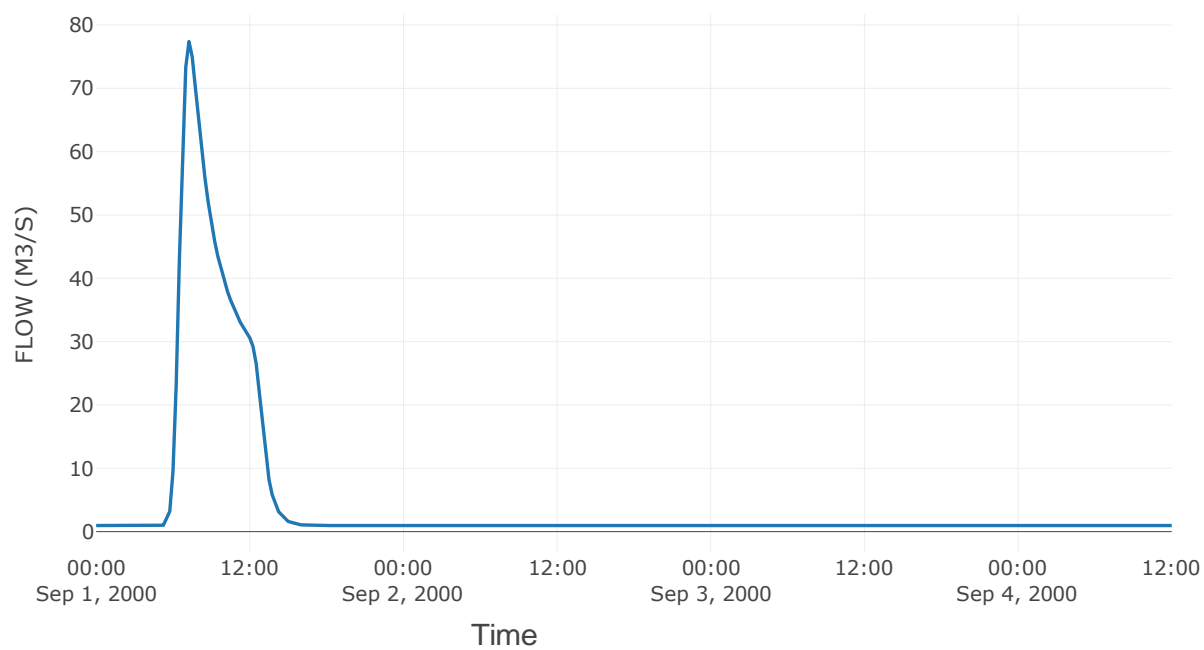
Κόμβος: J2

Κατάντη : J1

Αποτελέσματα: J2

Παροχή Αιχμής (M3/S)	77.39
Χρονική στιγμή αιχμής	01Sep2000, 07:15
Όγκος (MM)	41.54

Απορροή

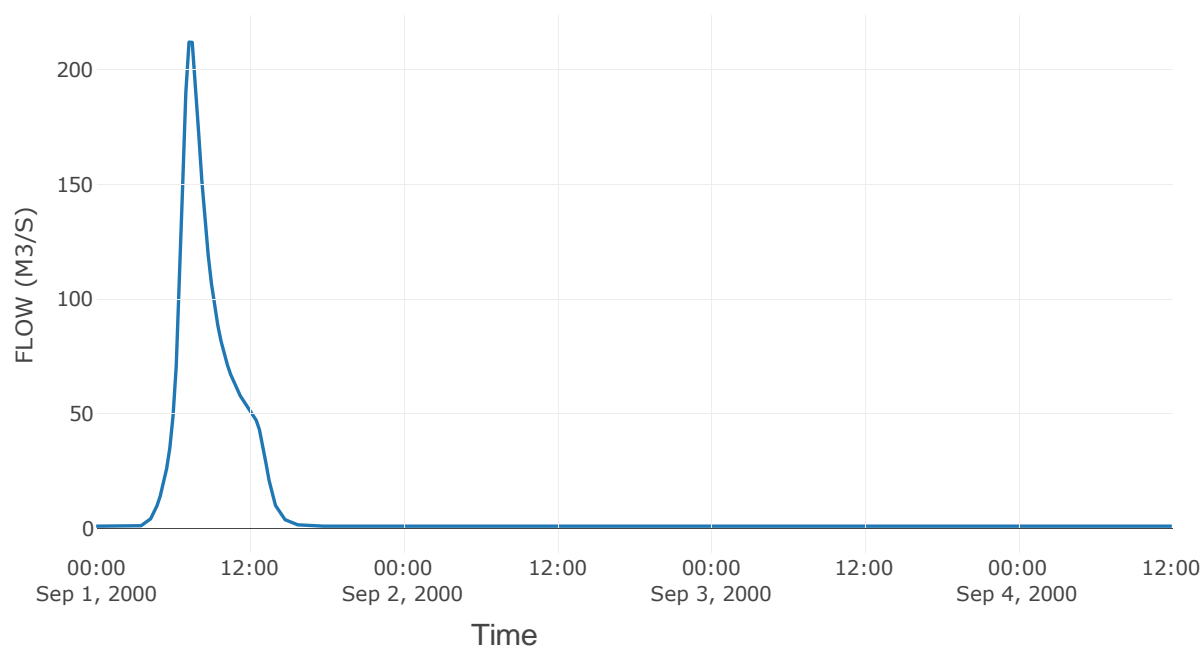


Κόμβος εξόδου: J3

Αποτέλεσμα
τα: J3

Παροχή αιχμής (M3/S)	212.14
Χρονική στιγμή αιχμής	01Sep2000, 07:15
Όγκος (MM)	82.59

Απορροή



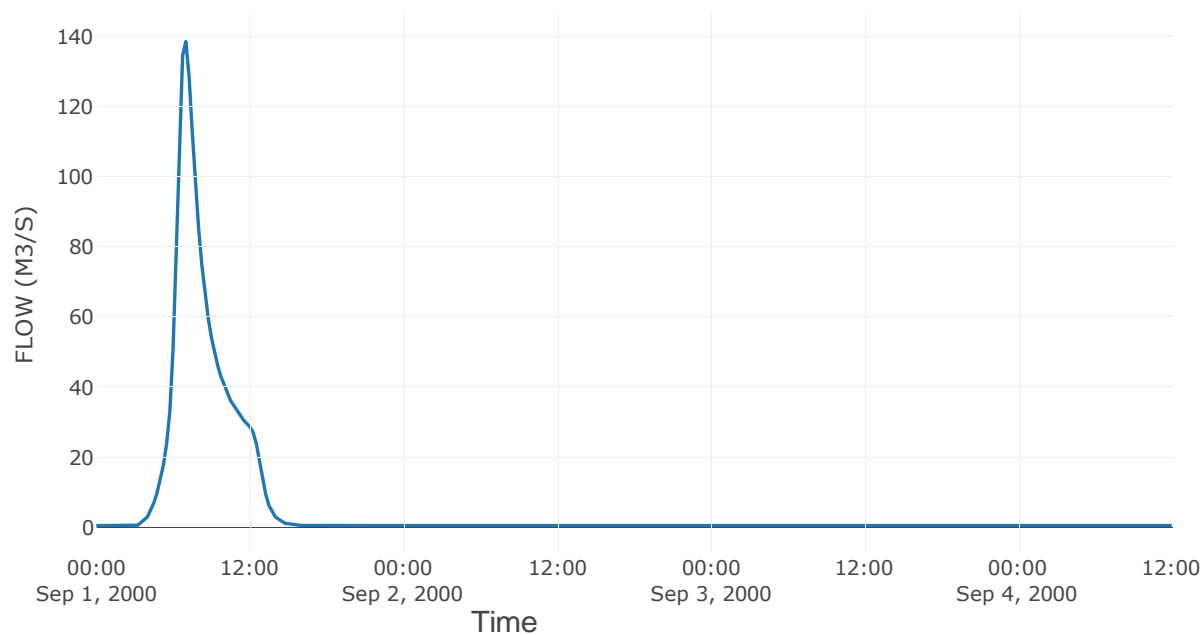
Κόμβος: J4

Κατάντη : R43

Αποτελέσματα: J4

Παροχή Αιχμής (M3/S)	138.51
Χρονική στιγμή αιχμής	01Sep2000, 07:00
Όγκος (MM)	84.69

Απορροή

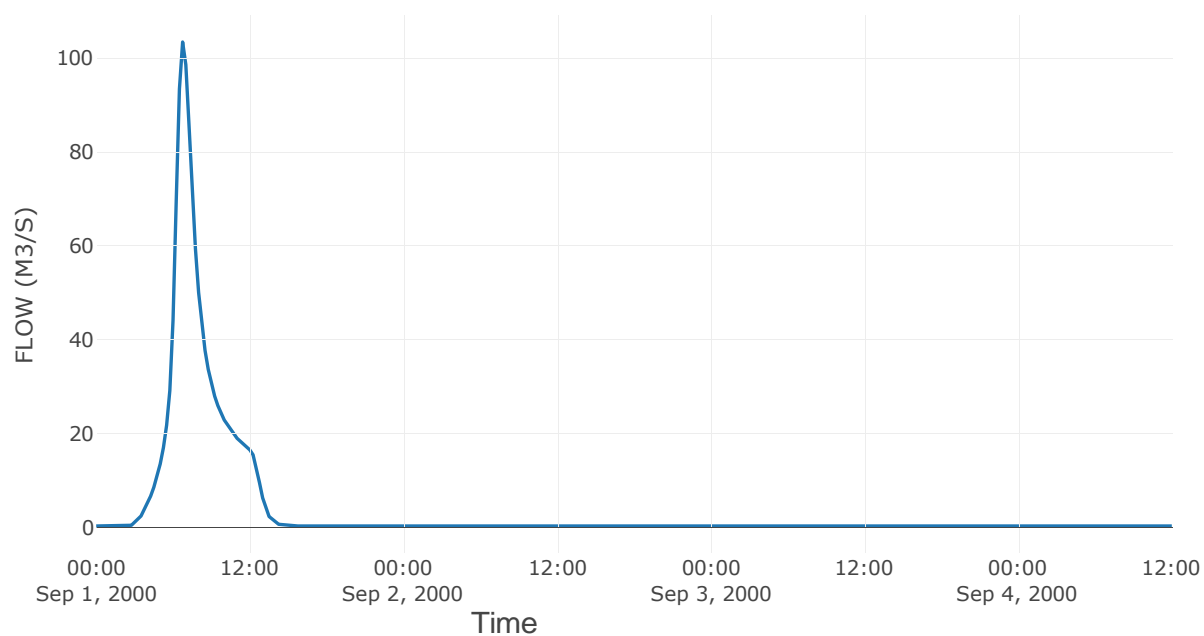


Κόμβος εξόδου: J5

Αποτέλεσμα
τα: J5

Παροχή αιχμής (M3/S)	103.46
Χρονική στιγμή αιχμής	01Sep2000, 06:45
Όγκος (MM)	95.13

Απορροή



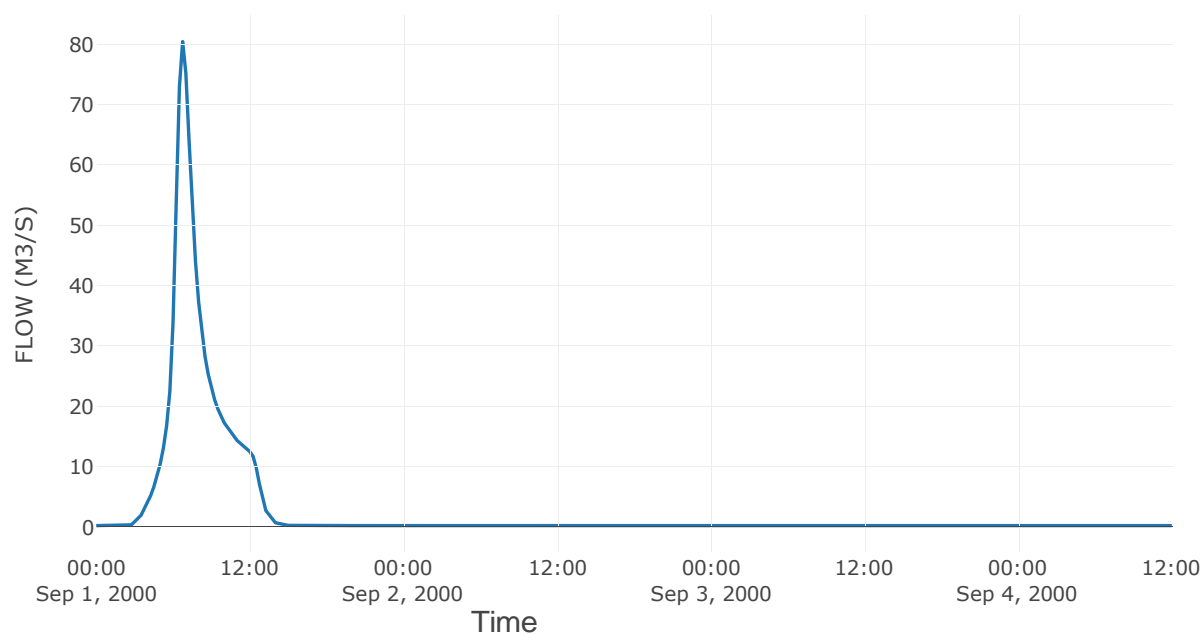
Κόμβος: J6

Κατάντη : R65

Αποτελέσματα: J6

Παροχή Αιχμής (M3/S)	80.45
Χρονική στιγμή αιχμής	01Sep2000, 06:45
Όγκος (MM)	95.93

Απορροή



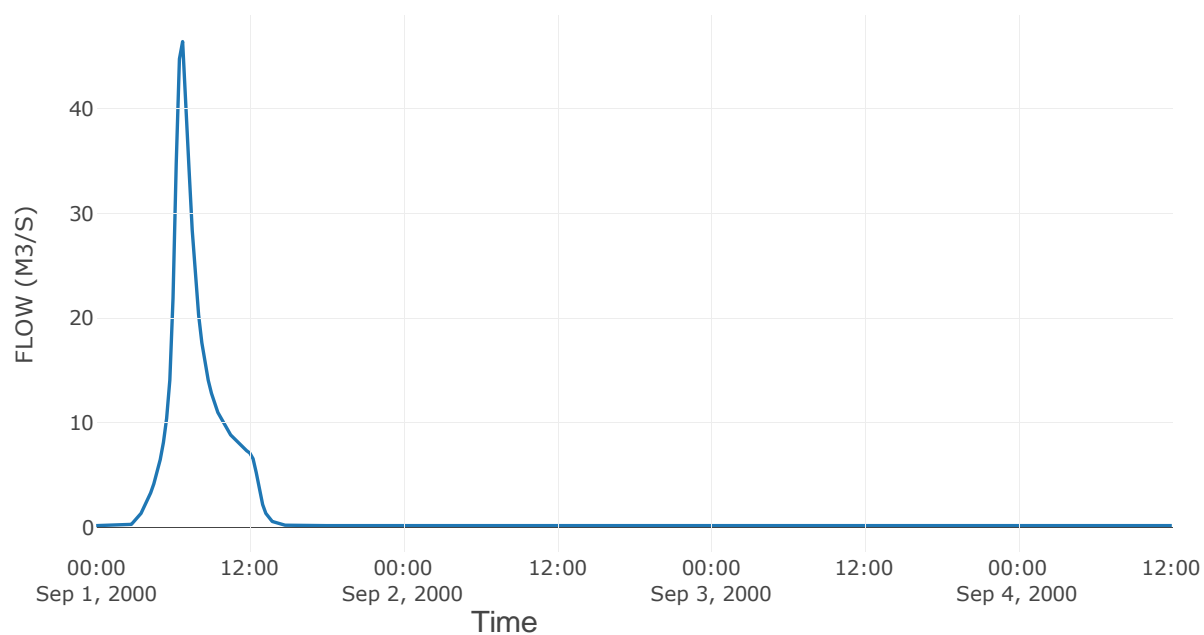
Κόμβος: J7

Κατάντη : R76

Αποτελέσματα: J7

Παροχή Αιχμής (M3/S)	46.44
Χρονική στιγμή αιχμής	01Sep2000, 06:45
Όγκος (MM)	98.3

Απορροή

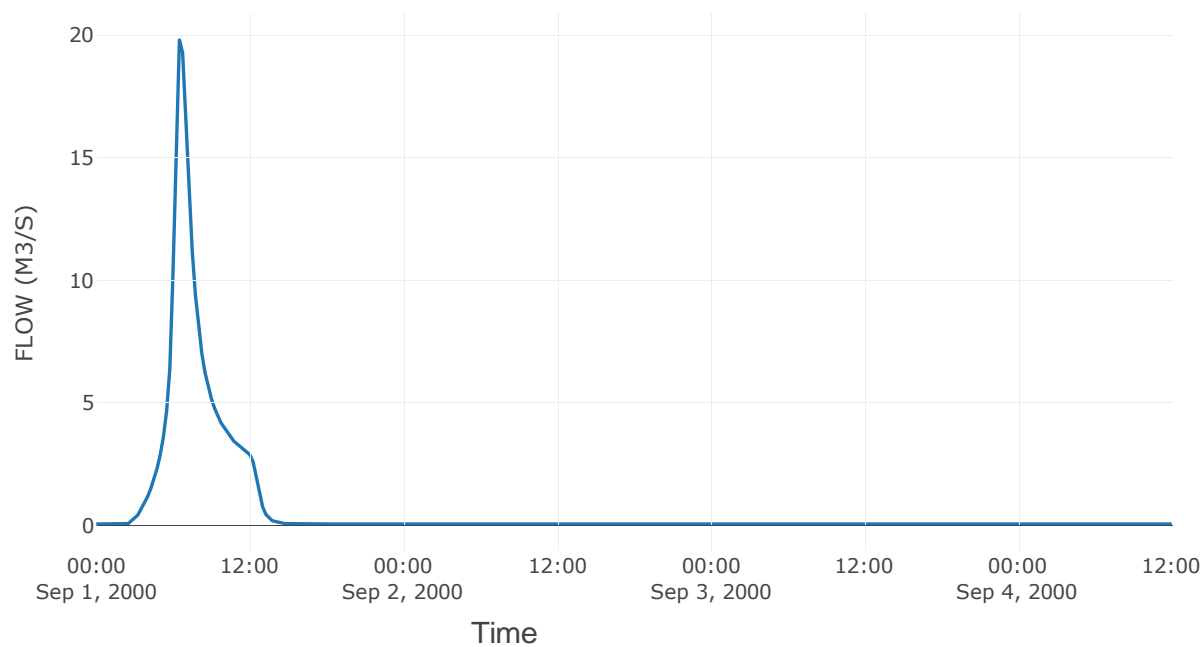


Κόμβος εξόδου: J8

Αποτέλεσμα
τα: J8

Παροχή αιχμής (M3/S)	19.81
Χρονική στιγμή αιχμής	01Sep2000, 06:30
Όγκος (MM)	94.05

Απορροή



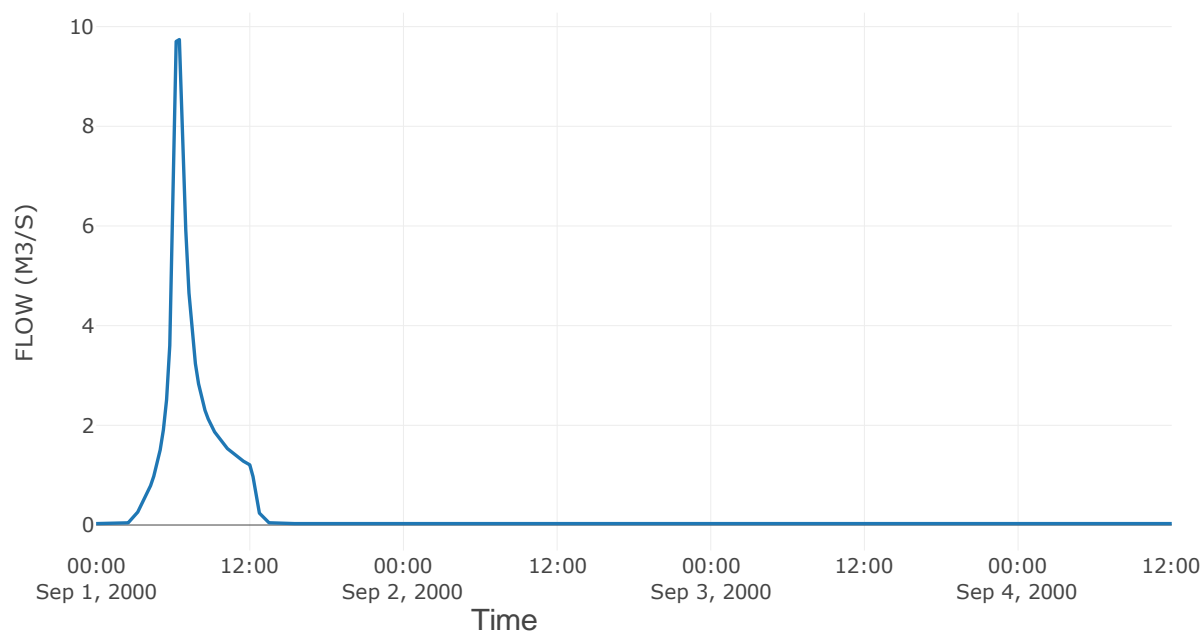
Κόμβος: J9

Κατάντη : R98

Αποτελέσματα: J9

Παροχή Αιχμής (M3/S)	9.74
Χρονική στιγμή αιχμής	01Sep2000, 06:30
Όγκος (MM)	93.74

Απορροή

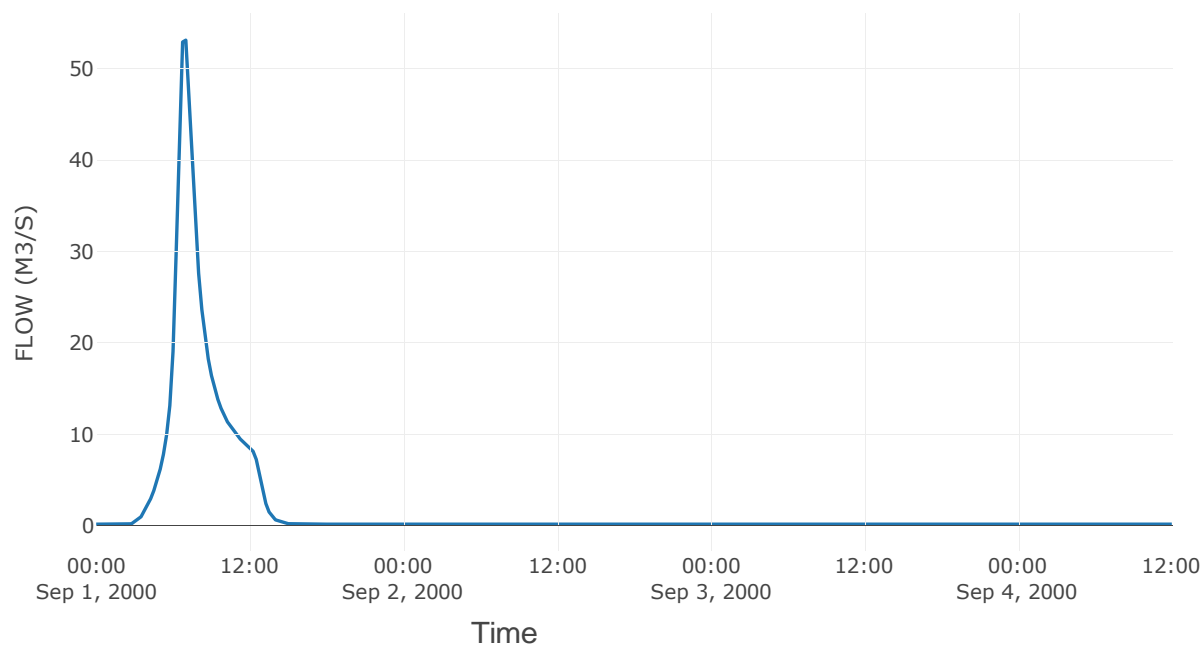


Κόμβος εξόδου: J10

Αποτελέσμα
α: J10

Παροχή αιχμής (M3/S)	53.11
Χρονική στιγμή αιχμής	01Sep2000, 07:00
Όγκος (MM)	91.71

Απορροή



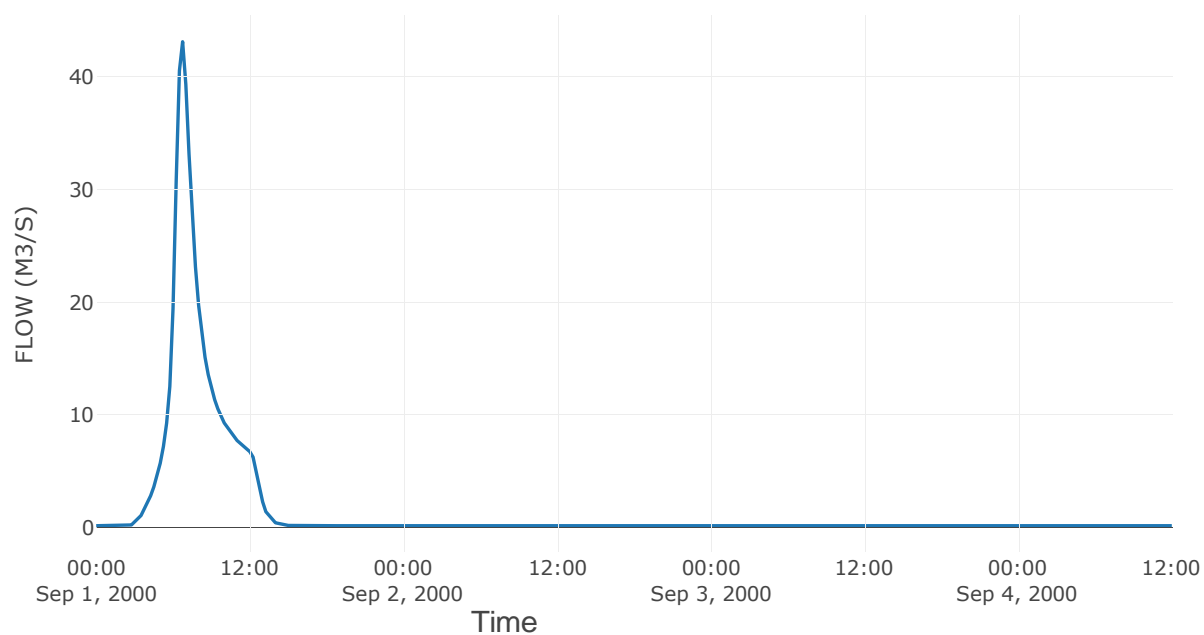
Κόμβος: J11

Κατάντη : R1110

Αποτελέσματα: J11

Παροχή Αιχμής (M3/S)	43.13
Χρονική στιγμή αιχμής	01Sep2000, 06:45
Όγκος (MM)	91.86

Απορροή

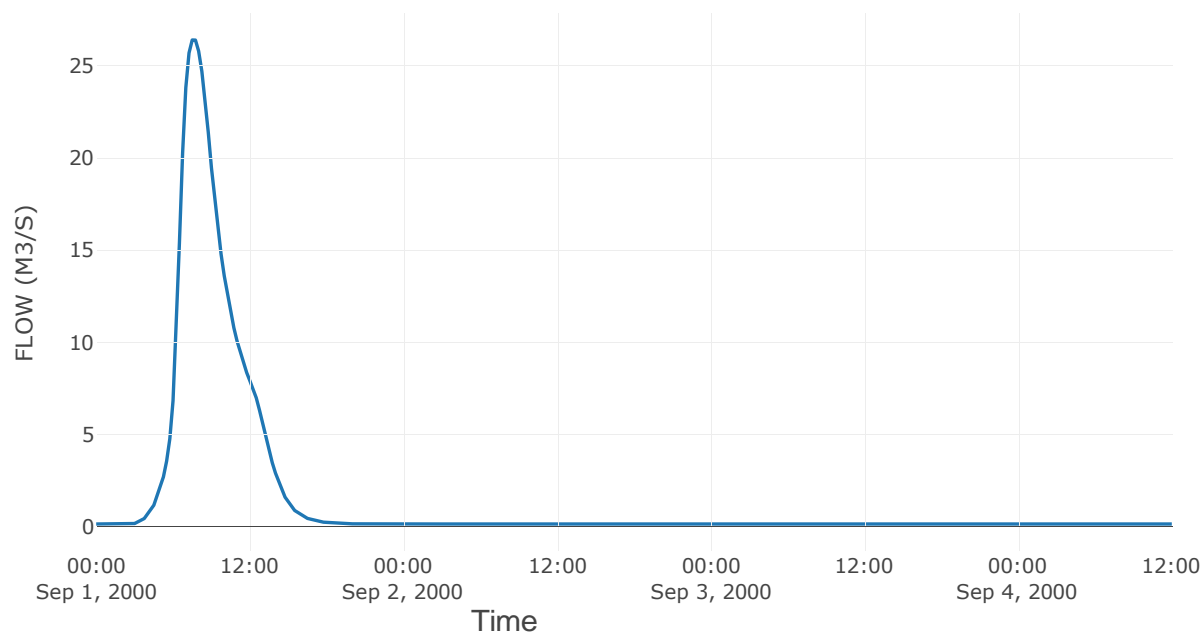


Κόμβος εξόδου: J12

Αποτελέσμα
α: J12

Παροχή αιχμής (M3/S)	26.4
Χρονική στιγμή αιχμής	01Sep2000, 07:30
Όγκος (MM)	85.82

Απορροή



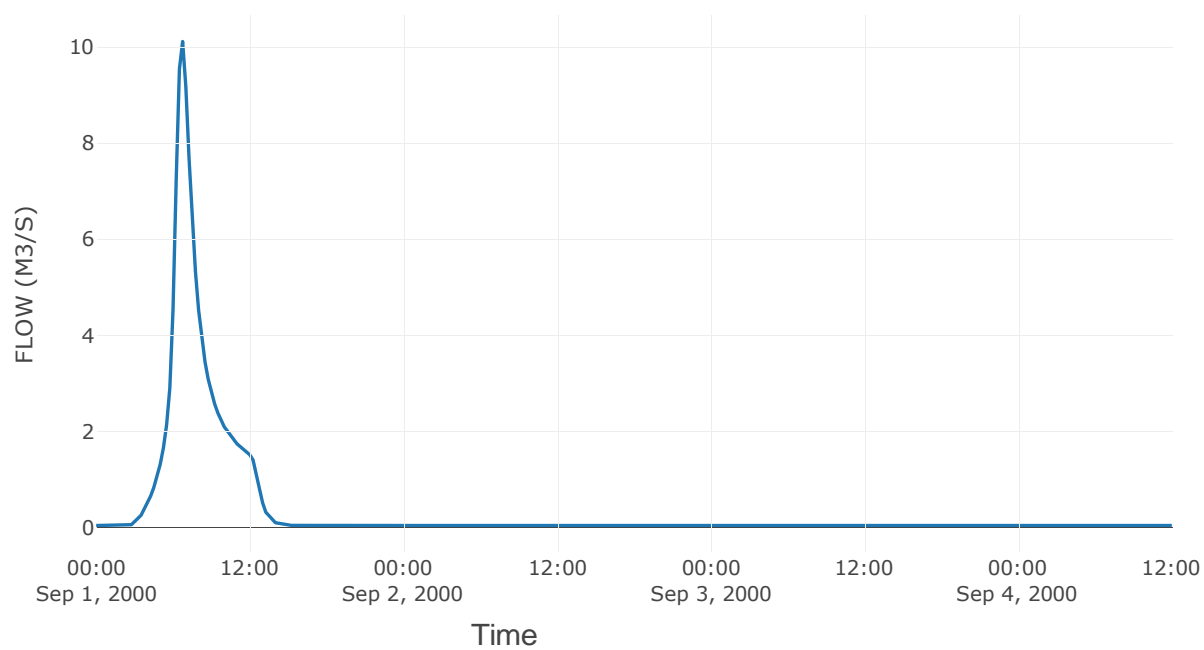
Κόμβος: J13

Κατάντη : R1312

Αποτελέσματα: J13

Παροχή Αιχμής (M3/S)	10.11
Χρονική στιγμή αιχμής	01Sep2000, 06:45
Όγκος (MM)	92.06

Απορροή

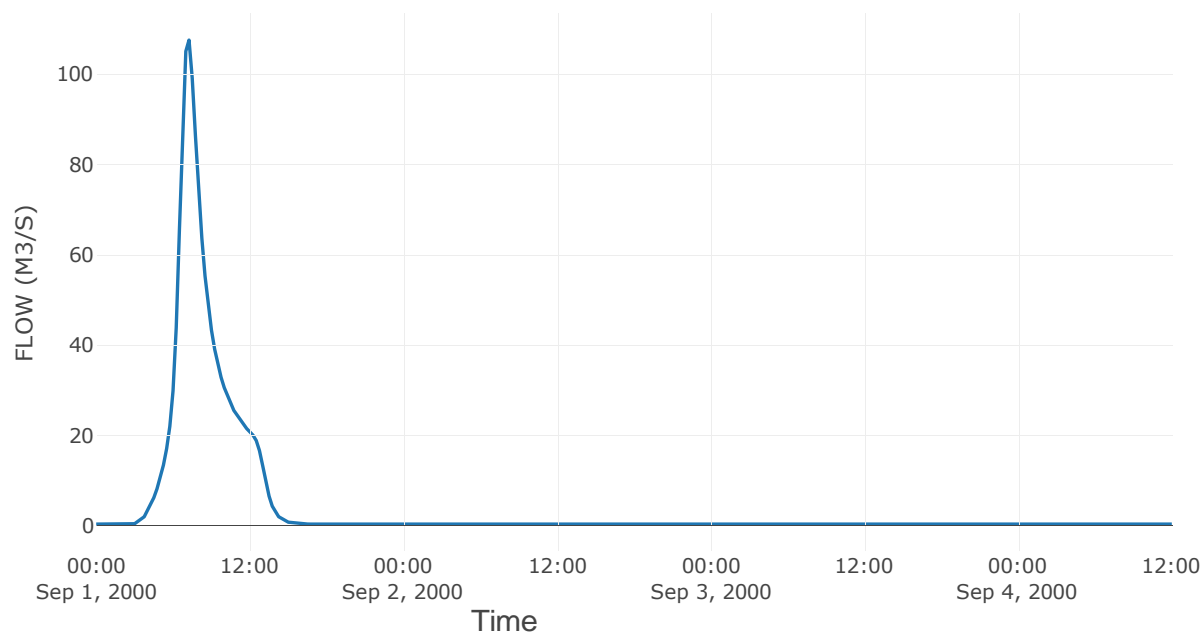


Κόμβος εξόδου: J14

Αποτελέσμα
α: J14

Παροχή αιχμής (M3/S)	107.56
Χρονική στιγμή αιχμής	01Sep2000, 07:15
Όγκος (MM)	90.83

Απορροή



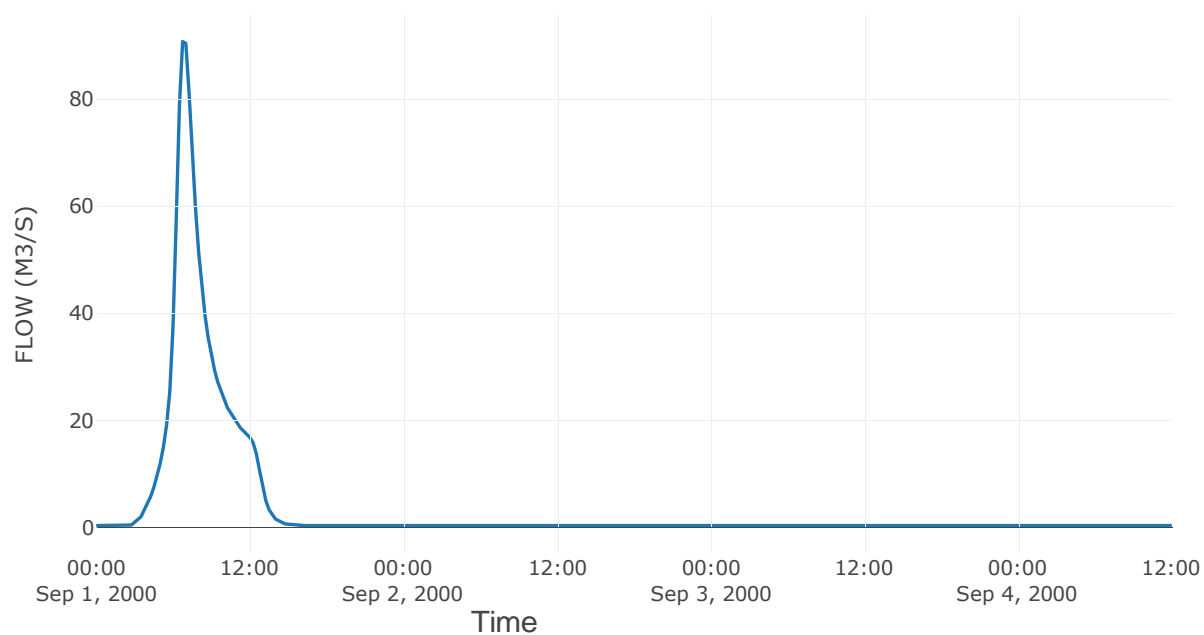
Κόμβος: J15

Κατάντη : R1514

Αποτελέσματα: J15

Παροχή Αιχμής (M3/S)	90.7
Χρονική στιγμή αιχμής	01Sep2000, 06:45
Όγκος (MM)	92.17

Απορροή

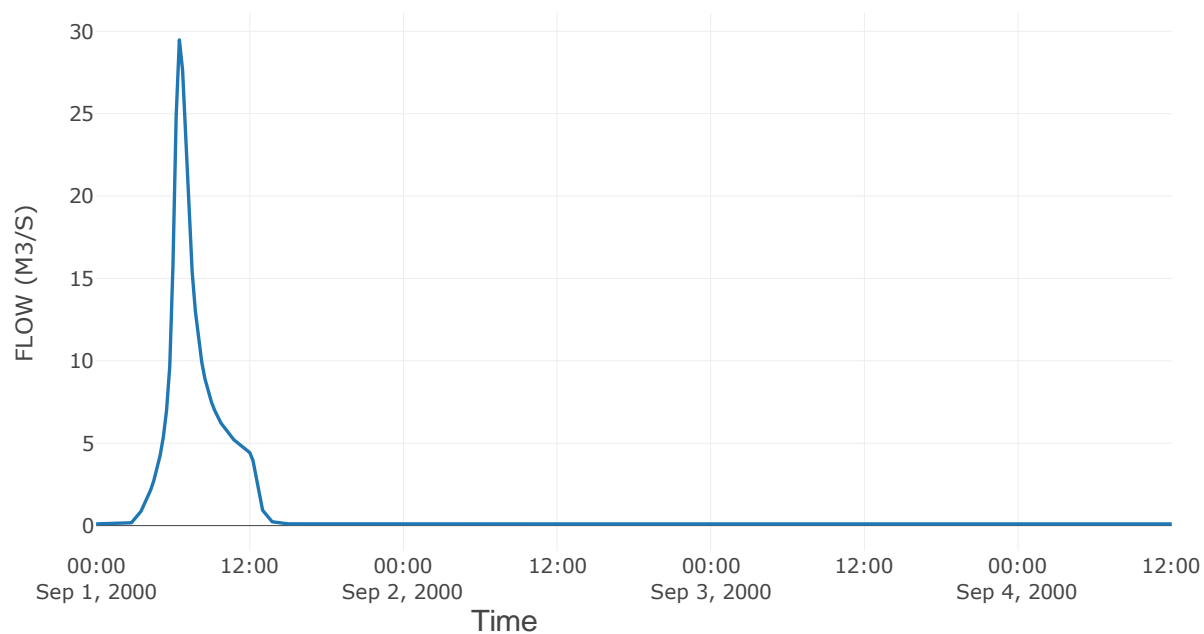


Κόμβος εξόδου: J16

Αποτελέσμα
α: J16

Παροχή αιχμής (M3/S)	29.48
Χρονική στιγμή αιχμής	01Sep2000, 06:30
Όγκος (MM)	89.55

Απορροή



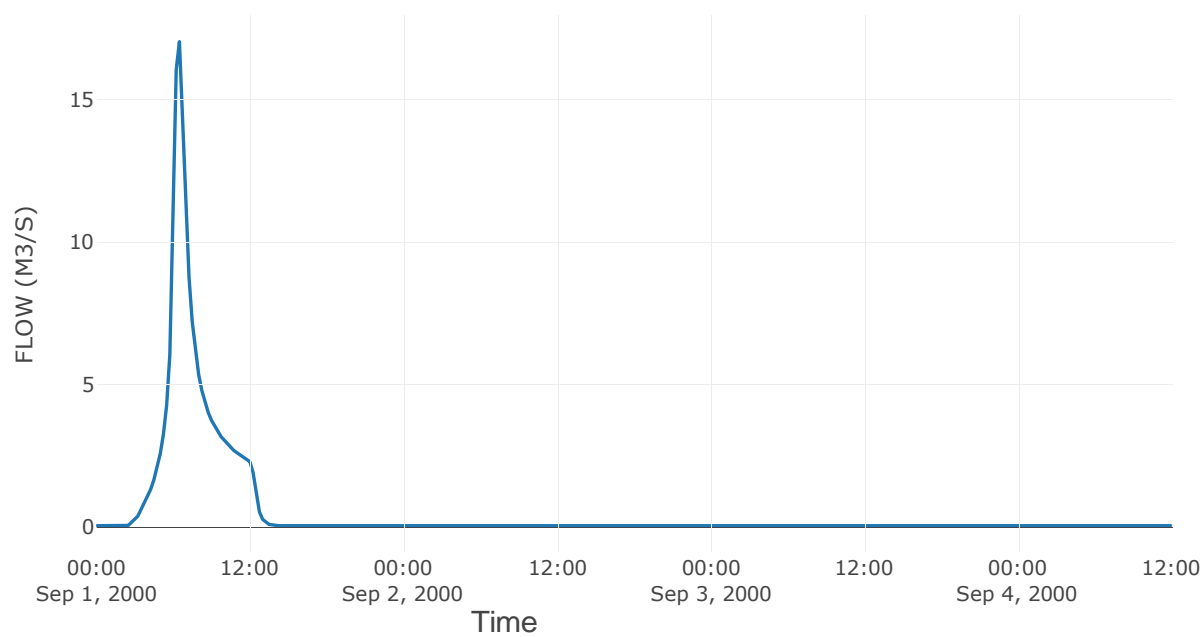
Κόμβος: J17

Κατάντη : R1716

Αποτελέσματα: J17

Παροχή Αιχμής (M3/S)	17.04
Χρονική στιγμή αιχμής	01Sep2000, 06:30
Όγκος (MM)	90.29

Απορροή



6 Δεδομένα εισόδου και αποτελέσματα υδρολογικού σεναρίου T=100L

6.1 Αποτελέσματα, υετογραφήματα και υδρογραφήματα σχεδιασμού υπολεκάνων

Υπολεκάνη: EL0421FR003001

Έκταση (KM2) : 2.97

Κατάντη : J1

Μέθοδος Απωλειών: SCS

Ποσοστό αδιαπέρατης επιφάνειας	0
Αριθμός Καμπύλης Απορροής-CN	63.86
Αρχικές Απώλειες	28.74

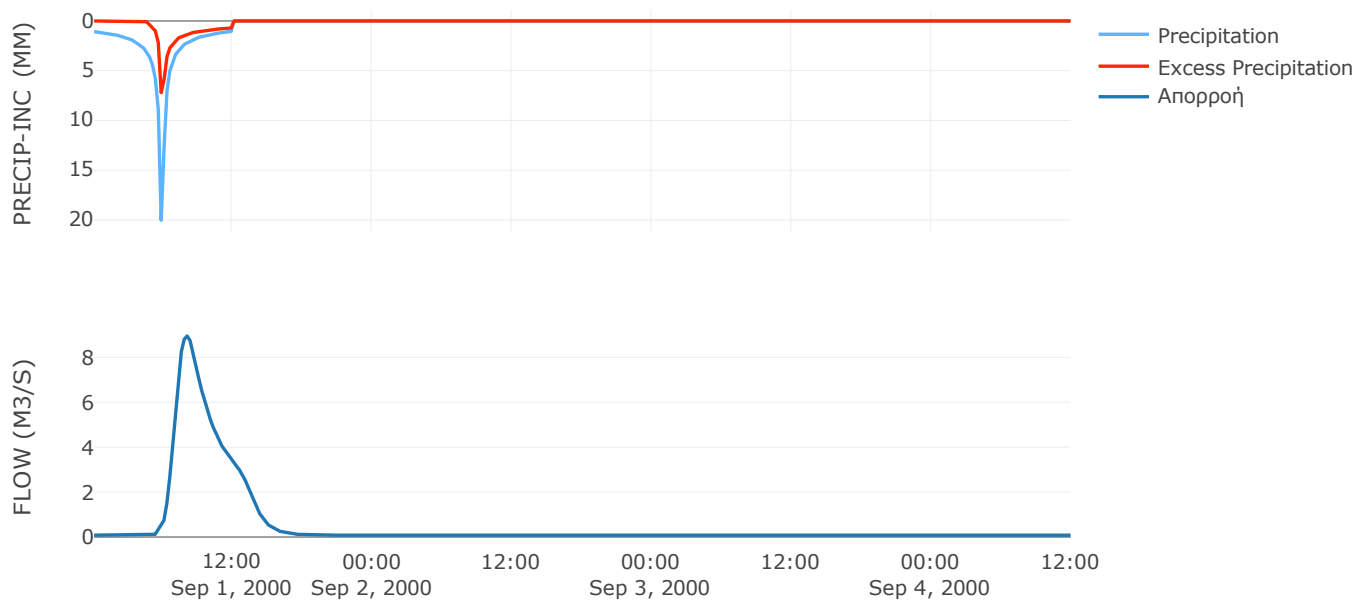
Μέθοδος Μετασχηματισμού: SCS

Χρόνος Υστέρησης	94.72
------------------	-------

Αποτελέσματα:
EL0421FR003001

Παροχή αιχμής (M3/S)	8.95
Χρονική στιγμή αιχμής	01Sep2000, 08:00
Όγκος (MM)	55.58
Όγκος βροχόπτωσης (M3)	4.1E5
Όγκος απωλειών (M3)	2.7E5
Ενεργός Όγκος (M3)	1.4E5
Όγκος άμεσης απορροής (M3)	1.4E5
Όγκος βασικής απορροής (M3)	25171.47

Βροχόπτωση και Απορροή



Υπολεκάνη: EL0421FR003002

Έκταση (KM2) : 34.23

Κατάντη : J2

Μέθοδος Απωλειών: SCS

Ποσοστό αδιαπέρατης επιφάνειας	0
Αριθμός Καμπύλης Απορροής-CN	33.47
Αρχικές Απώλειες	100.96

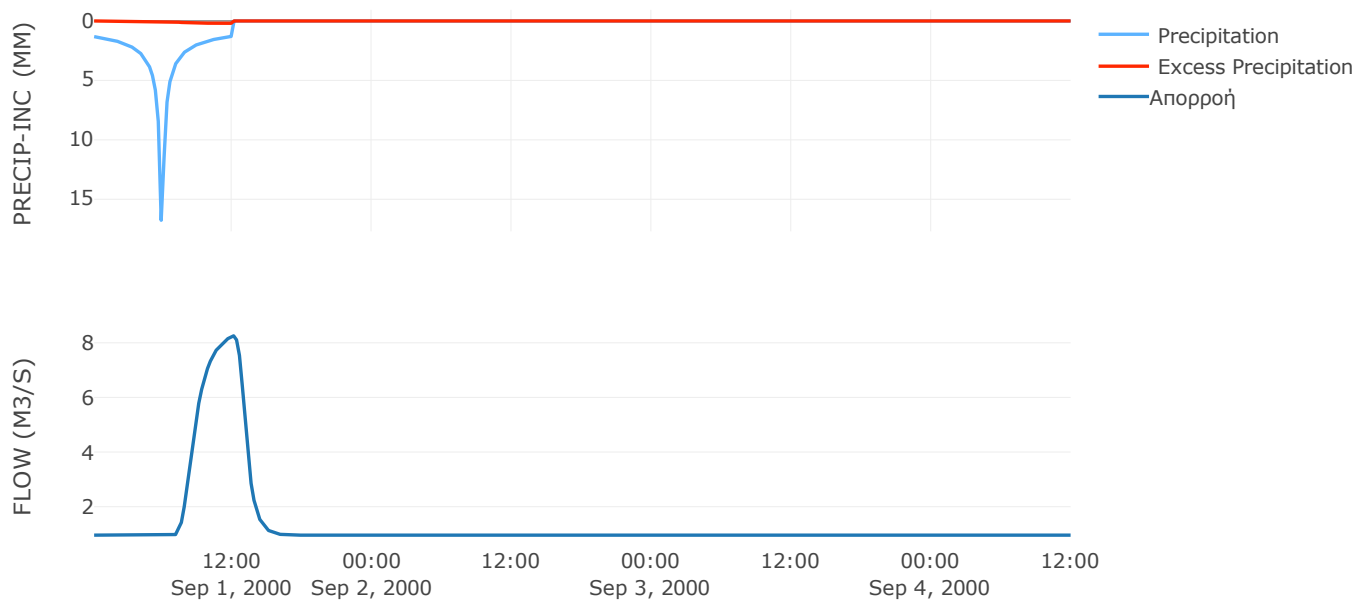
Μέθοδος Μετασχηματισμού: SCS

Χρόνος Υστέρησης	54.43
------------------	-------

Αποτελέσματα:
EL0421FR003002

Παροχή αιχμής (M3/S)	8.25
Χρονική στιγμή αιχμής	01Sep2000, 12:00
Όγκος (MM)	11.89
Όγκος βροχόπτωσης (M3)	4.94E6
Όγκος απωλειών (M3)	4.82E6
Ενεργός Όγκος (M3)	1.17E5
Όγκος άμεσης απορροής (M3)	1.17E5
Όγκος βασικής απορροής (M3)	2.9E5

Βροχόπτωση και Απορροή



Υπολεκάνη: EL0421FR003003

Έκταση (KM2) : 15.17

Κατάντη : J3

Μέθοδος Απωλειών: SCS

Ποσοστό αδιαπέρατης επιφάνειας	0
Αριθμός Καμπύλης Απορροής-CN	55.18
Αρχικές Απώλειες	41.27

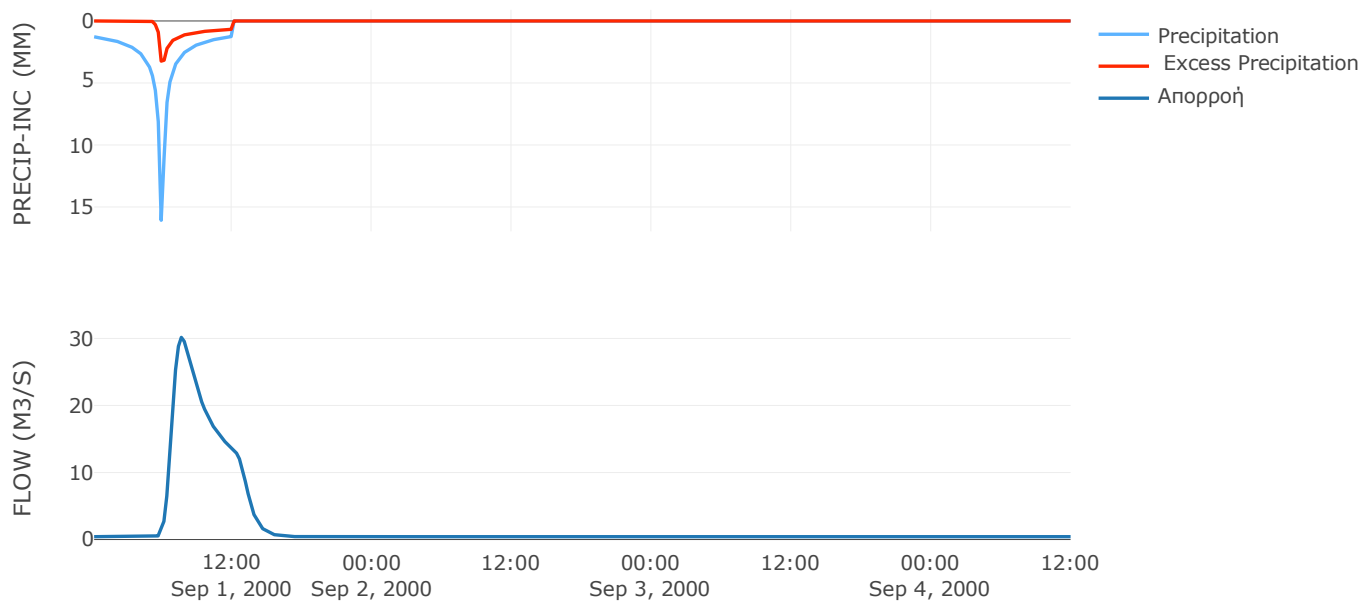
Μέθοδος Μετασχηματισμού: SCS

Χρόνος Υστέρησης	65.51
------------------	-------

Αποτελέσματα:
EL0421FR003003

Παροχή αιχμής (M3/S)	30.16
Χρονική στιγμή αιχμής	01Sep2000, 07:30
Όγκος (MM)	39.91
Όγκος βροχόπτωσης (M3)	2.11E6
Όγκος απωλειών (M3)	1.63E6
Ενεργός Όγκος (M3)	4.77E5
Όγκος άμεσης απορροής (M3)	4.77E5
Όγκος βασικής απορροής (M3)	1.28E5

Βροχόπτωση και Απορροή



Υπολεκάνη: EL0421FR003004

Έκταση (KM2) : 21.72

Κατάντη : J4

Μέθοδος Απωλειών: SCS

Ποσοστό αδιαπέρατης επιφάνειας	0
Αριθμός Καμπύλης Απορροής-CN	55.54
Αρχικές Απώλειες	40.67

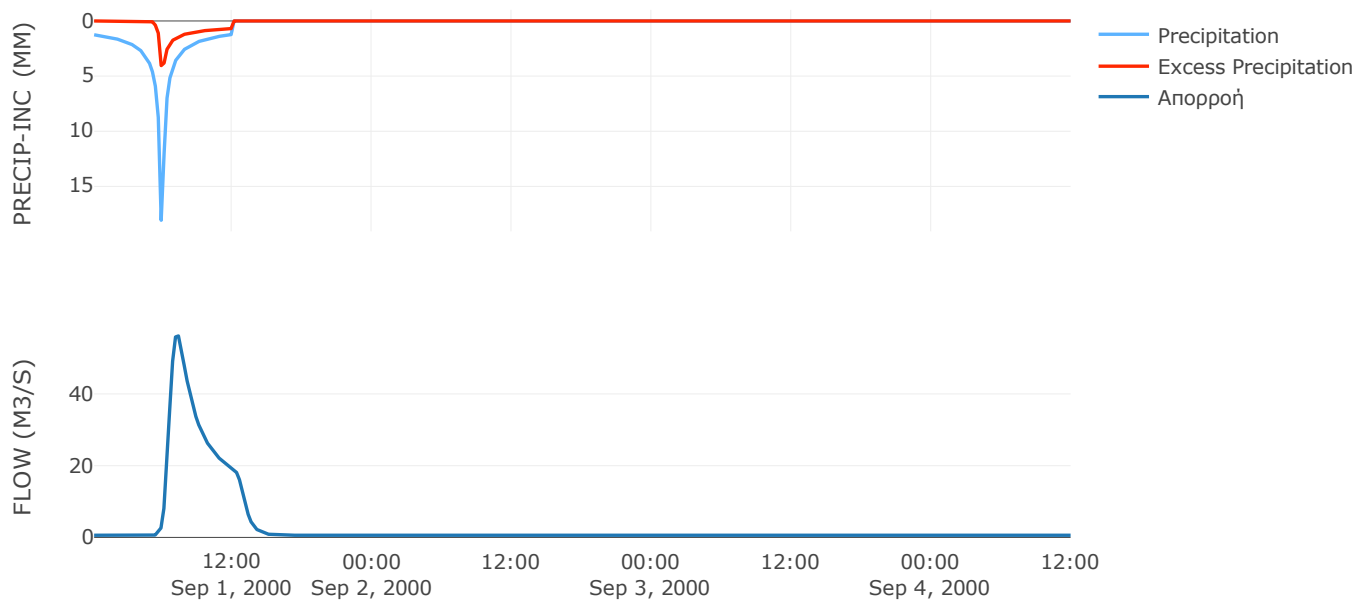
Μέθοδος Μετασχηματισμού: SCS

Χρόνος Υστέρησης	50.33
------------------	-------

Αποτελέσματα:
EL0421FR003004

Παροχή αιχμής (M3/S)	56.16
Χρονική στιγμή αιχμής	01Sep2000, 07:15
Όγκος (MM)	43.52
Όγκος βροχόπτωσης (M3)	3.14E6
Όγκος απωλειών (M3)	2.38E6
Ενεργός Όγκος (M3)	7.61E5
Όγκος άμεσης απορροής (M3)	7.61E5
Όγκος βασικής απορροής (M3)	1.84E5

Βροχόπτωση και Απορροή



Υπολεκάνη: EL0421FR003005

Έκταση (KM2) : 3.17

Κατάντη : J5

Μέθοδος Απωλειών: SCS

Ποσοστό αδιαπέρατης επιφάνειας	0
Αριθμός Καμπύλης Απορροής-CN	64.15
Αρχικές Απώλειες	28.39

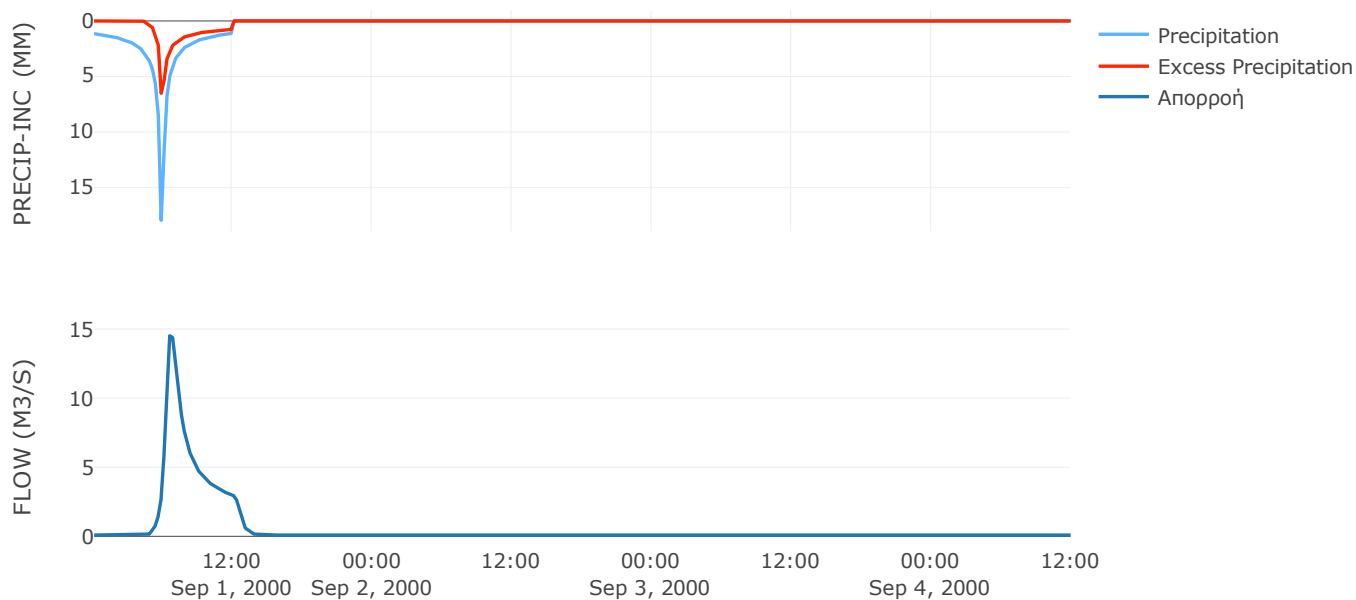
Μέθοδος Μετασχηματισμού: SCS

Χρόνος Υστέρησης	30.62
------------------	-------

Αποτελέσματα:
EL0421FR003005

Παροχή αιχμής (M3/S)	14.51
Χρονική στιγμή αιχμής	01Sep2000, 06:30
Όγκος (MM)	55.2
Όγκος βροχόπτωσης (M3)	4.33E5
Όγκος απωλειών (M3)	2.85E5
Ενεργός Όγκος (M3)	1.48E5
Όγκος άμεσης απορροής (M3)	1.48E5
Όγκος βασικής απορροής (M3)	26847.68

Βροχόπτωση και Απορροή



Υπολεκάνη: EL0421FR003006

Έκταση (KM2) : 4.26

Κατάντη : J6

Μέθοδος Απωλειών: SCS

Ποσοστό αδιαπέρατης επιφάνειας	0
Αριθμός Καμπύλης Απορροής-CN	64.54
Αρχικές Απώλειες	27.91

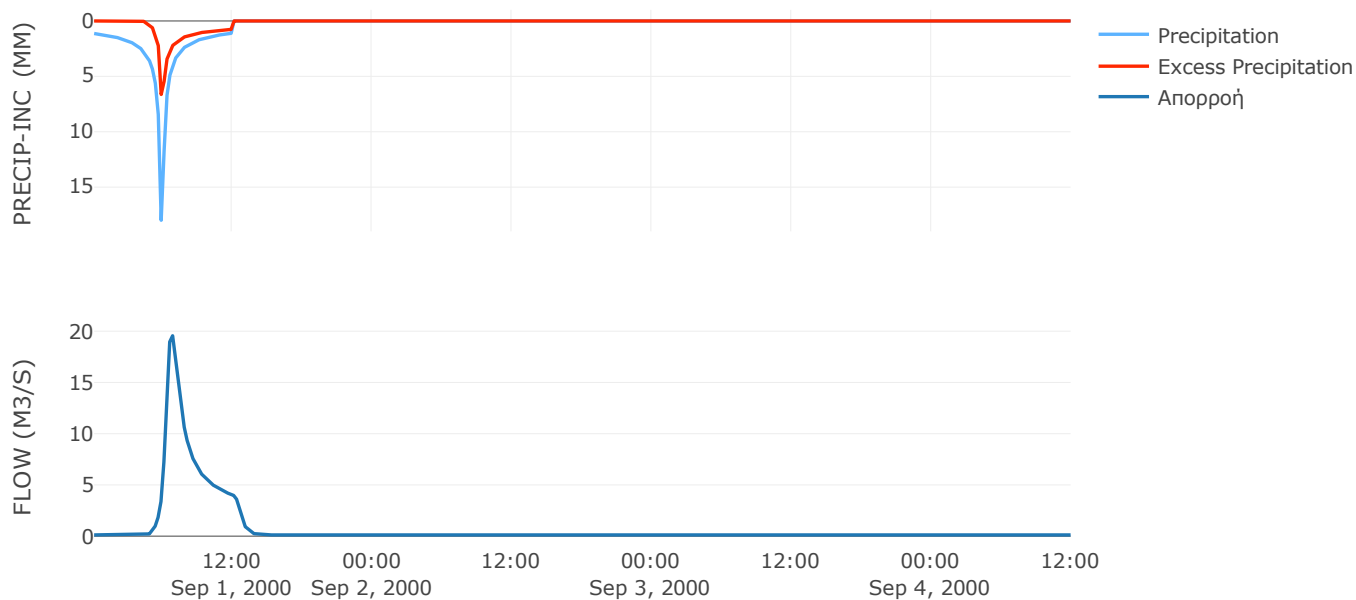
Μέθοδος Μετασχηματισμού: SCS

Χρόνος Υστέρησης	32.83
------------------	-------

Αποτελέσματα:
EL0421FR003006

Παροχή αιχμής (M3/S)	19.56
Χρονική στιγμή αιχμής	01Sep2000, 06:45
Όγκος (MM)	55.67
Όγκος βροχόπτωσης (M3)	5.8E5
Όγκος απωλειών (M3)	3.79E5
Ενεργός Όγκος (M3)	2.01E5
Όγκος άμεσης απορροής (M3)	2.01E5
Όγκος βασικής απορροής (M3)	36094.46

Βροχόπτωση και Απορροή



Υπολεκάνη: EL0421FR003007

Έκταση (KM2) : 5.37

Κατάντη : J7

Μέθοδος Απωλειών: SCS

Ποσοστό αδιαπέρατης επιφάνειας	0
Αριθμός Καμπύλης Απορροής-CN	63.92
Αρχικές Απώλειες	28.67

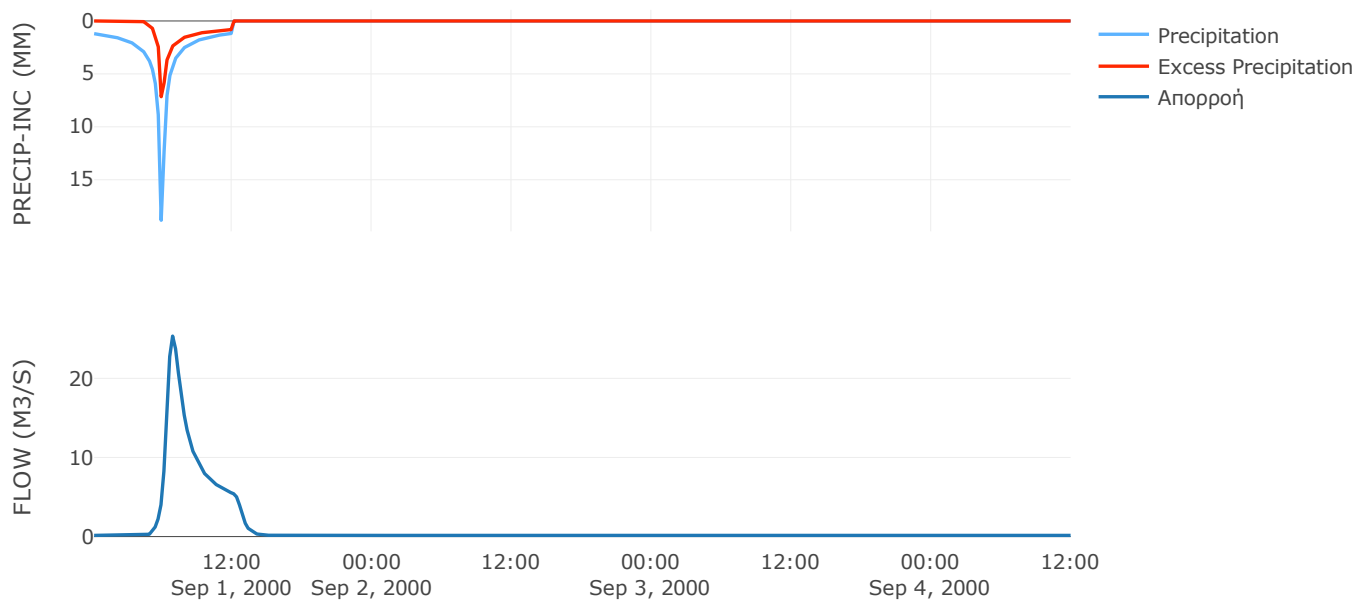
Μέθοδος Μετασχηματισμού: SCS

Χρόνος Υστέρησης	38.31
------------------	-------

Αποτελέσματα:
EL0421FR003007

Παροχή αιχμής (M3/S)	25.34
Χρονική στιγμή αιχμής	01Sep2000, 06:45
Όγκος (MM)	59.29
Όγκος βροχόπτωσης (M3)	7.69E5
Όγκος απωλειών (M3)	4.96E5
Ενεργός Όγκος (M3)	2.73E5
Όγκος άμεσης απορροής (M3)	2.73E5
Όγκος βασικής απορροής (M3)	45471.89

Βροχόπτωση και Απορροή



Υπολεκάνη: EL0421FR003008

Έκταση (KM2) : 1.34

Κατάντη : J8

Μέθοδος Απωλειών: SCS

Ποσοστό αδιαπέρατης επιφάνειας	0
Αριθμός Καμπύλης Απορροής-CN	66.26
Αρχικές Απώλειες	25.87

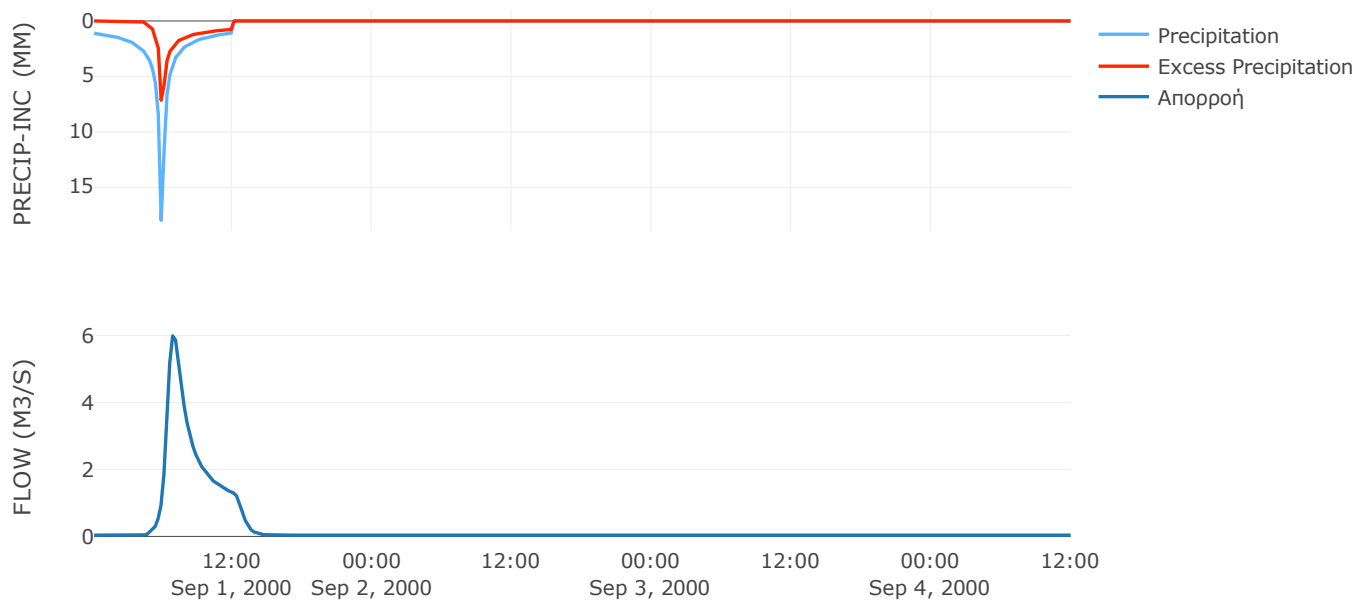
Μέθοδος Μετασχηματισμού: SCS

Χρόνος Υστέρησης	41.81
------------------	-------

Αποτελέσματα:
EL0421FR003008

Παροχή αιχμής (M3/S)	5.99
Χρονική στιγμή αιχμής	01Sep2000, 06:45
Όγκος (MM)	58
Όγκος βροχόπτωσης (M3)	1.8E5
Όγκος απωλειών (M3)	1.14E5
Ενεργός Όγκος (M3)	66395.39
Όγκος άμεσης απορροής (M3)	66395.39
Όγκος βασικής απορροής (M3)	11349.98

Βροχόπτωση και Απορροή



Υπολεκάνη: EL0421FR003009

Έκταση (KM2) : 1.01

Κατάντη : J9

Μέθοδος Απωλειών: SCS

Ποσοστό αδιαπέρατης επιφάνειας	0
Αριθμός Καμπύλης Απορροής-CN	65.69
Αρχικές Απώλειες	26.54

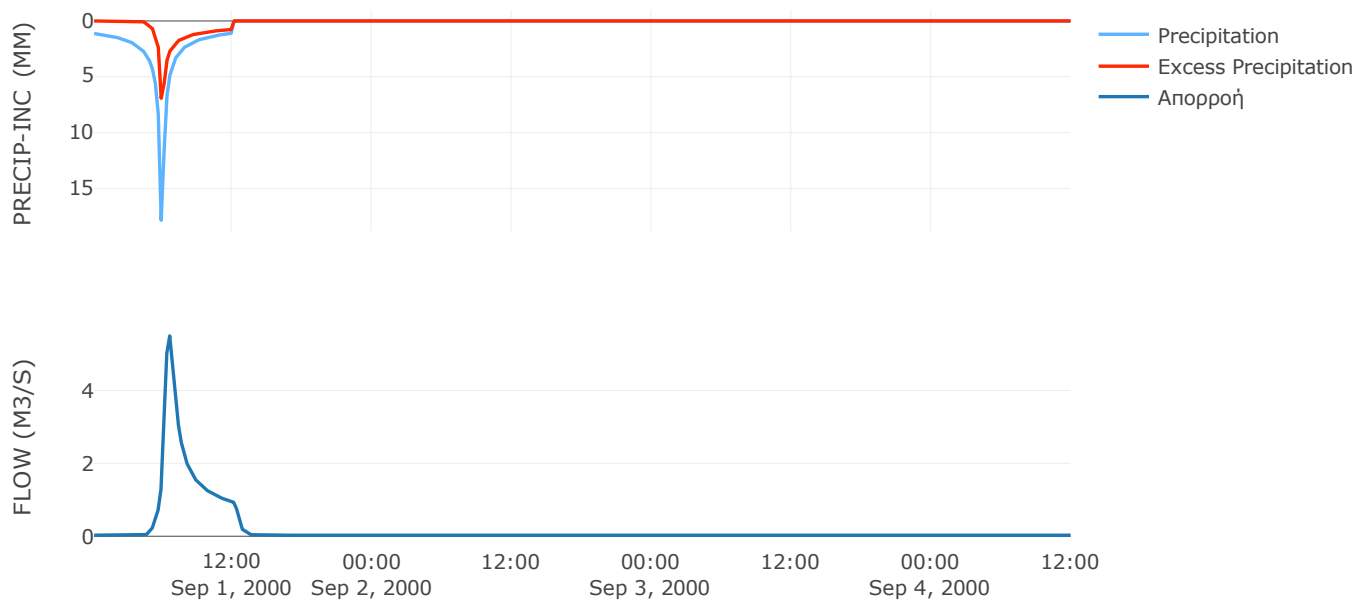
Μέθοδος Μετασχηματισμού: SCS

Χρόνος Υστέρησης	22.14
------------------	-------

Αποτελέσματα:
EL0421FR003009

Παροχή αιχμής (M3/S)	5.5
Χρονική στιγμή αιχμής	01Sep2000, 06:30
Όγκος (MM)	57.14
Όγκος βροχόπτωσης (M3)	1.37E5
Όγκος απωλειών (M3)	87352.57
Ενεργός Όγκος (M3)	49342.5
Όγκος άμεσης απορροής (M3)	49342.5
Όγκος βασικής απορροής (M3)	8583.93

Βροχόπτωση και Απορροή



Υπολεκάνη: EL0421FR003010

Έκταση (KM2) : 1.43

Κατάντη : J10

Μέθοδος Απωλειών: SCS

Ποσοστό αδιαπέρατης επιφάνειας	0
Αριθμός Καμπύλης Απορροής-CN	66.22
Αρχικές Απώλειες	25.92

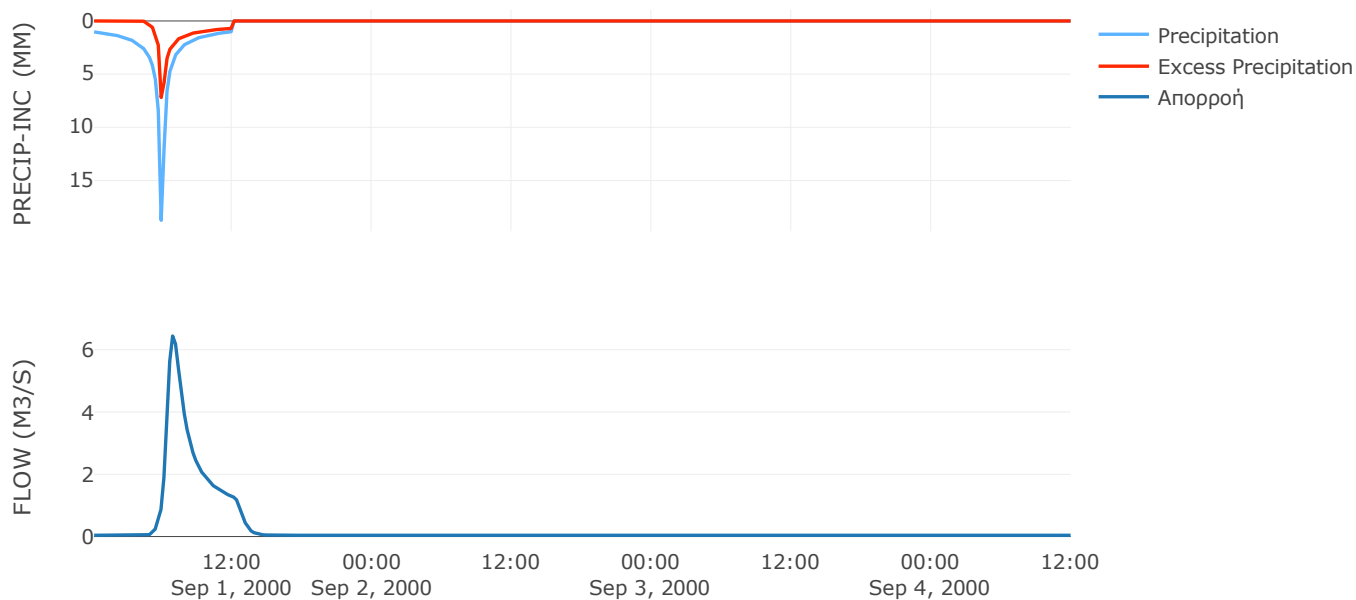
Μέθοδος Μετασχηματισμού: SCS

Χρόνος Υστέρησης	40.43
------------------	-------

Αποτελέσματα:
EL0421FR003010

Παροχή αιχμής (M3/S)	6.44
Χρονική στιγμή αιχμής	01Sep2000, 06:45
Όγκος (MM)	55.53
Όγκος βροχόπτωσης (M3)	1.88E5
Όγκος απωλειών (M3)	1.2E5
Ενεργός Όγκος (M3)	67392.13
Όγκος άμεσης απορροής (M3)	67392.13
Όγκος βασικής απορροής (M3)	12123.82

Βροχόπτωση και Απορροή



Υπολεκάνη: EL0421FR003011

Έκταση (KM2) : 5.43

Κατάντη : J11

Μέθοδος Απωλειών: SCS

Ποσοστό αδιαπέρατης επιφάνειας	0
Αριθμός Καμπύλης Απορροής-CN	64.53
Αρχικές Απώλειες	27.92

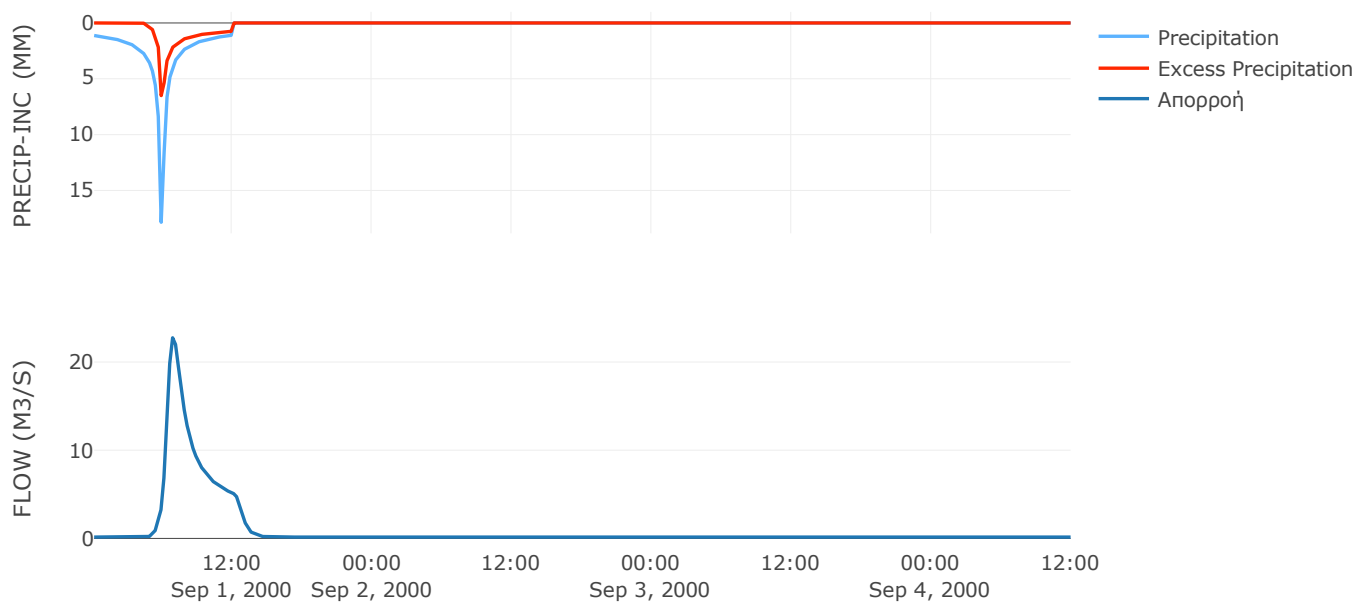
Μέθοδος Μετασχηματισμού: SCS

Χρόνος Υστέρησης	40.27
------------------	-------

Αποτελέσματα:
EL0421FR003011

Παροχή αιχμής (M3/S)	22.75
Χρονική στιγμή αιχμής	01Sep2000, 06:45
Όγκος (MM)	54.84
Όγκος βροχόπτωσης (M3)	7.32E5
Όγκος απωλειών (M3)	4.8E5
Ενεργός Όγκος (M3)	2.52E5
Όγκος άμεσης απορροής (M3)	2.52E5
Όγκος βασικής απορροής (M3)	45952.7

Βροχόπτωση και Απορροή



Υπολεκάνη: EL0421FR003012

Έκταση (KM2) : 4.3

Κατάντη : J12

Μέθοδος Απωλειών: SCS

Ποσοστό αδιαπέρατης επιφάνειας	0
Αριθμός Καμπύλης Απορροής-CN	63.88
Αρχικές Απώλειες	28.72

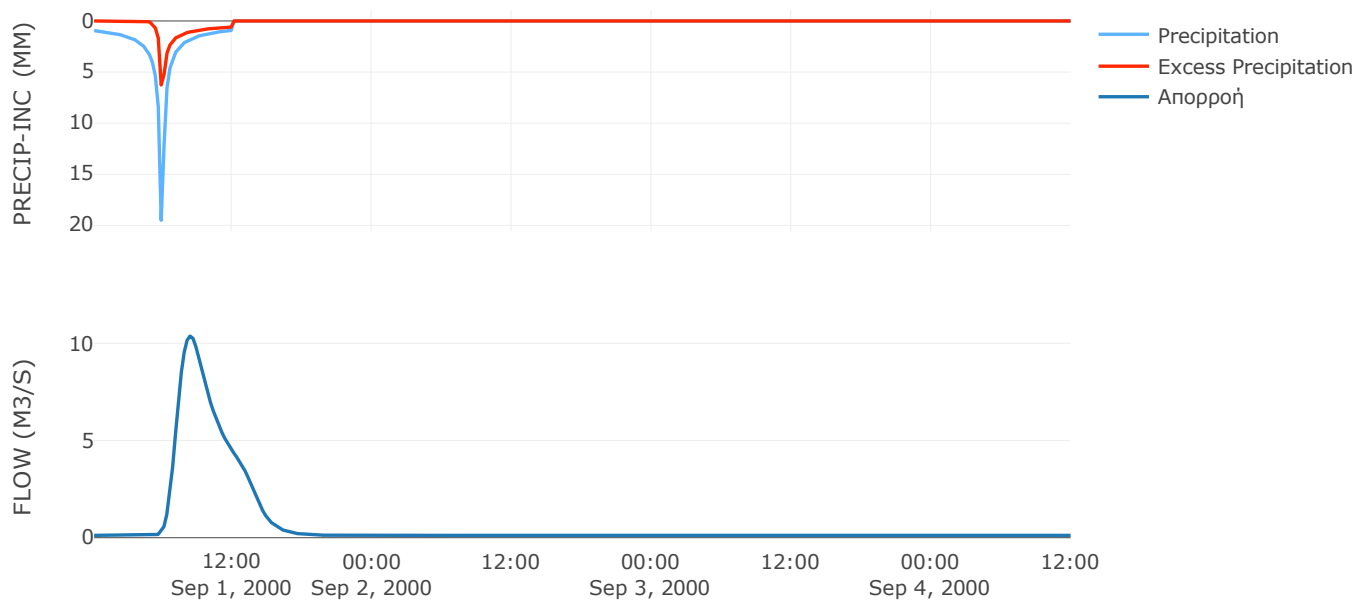
Μέθοδος Μετασχηματισμού: SCS

Χρόνος Υστέρησης	107.92
------------------	--------

Αποτελέσματα:
EL0421FR003012

Παροχή αιχμής (M3/S)	10.37
Χρονική στιγμή αιχμής	01Sep2000, 08:15
Όγκος (MM)	48.52
Όγκος βροχόπτωσης (M3)	5.46E5
Όγκος απωλειών (M3)	3.74E5
Ενεργός Όγκος (M3)	1.72E5
Όγκος άμεσης απορροής (M3)	1.72E5
Όγκος βασικής απορροής (M3)	36366.62

Βροχόπτωση και Απορροή



Υπολεκάνη: EL0421FR003013

Έκταση (KM2) : 1.25

Κατάντη : J13

Μέθοδος Απωλειών: SCS

Ποσοστό αδιαπέρατης επιφάνειας	0
Αριθμός Καμπύλης Απορροής-CN	65.39
Αρχικές Απώλειες	26.89

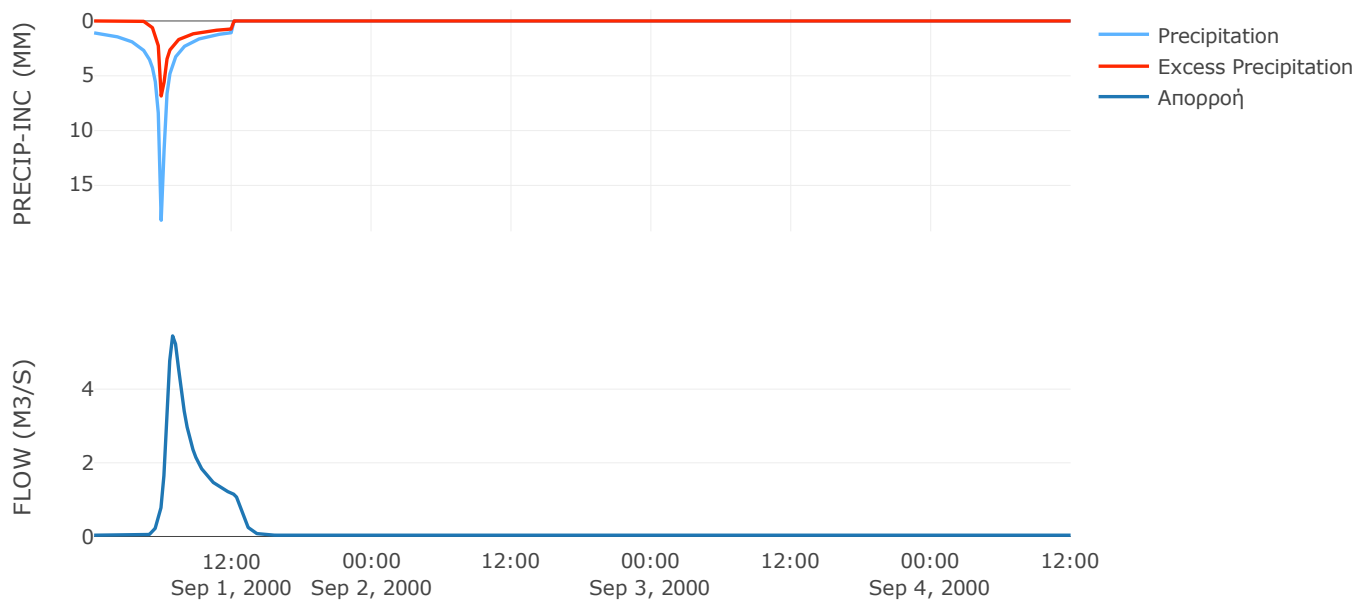
Μέθοδος Μετασχηματισμού: SCS

Χρόνος Υστέρησης	40.09
------------------	-------

Αποτελέσματα:
EL0421FR003013

Παροχή αιχμής (M3/S)	5.45
Χρονική στιγμή αιχμής	01Sep2000, 06:45
Όγκος (MM)	55.62
Όγκος βροχόπτωσης (M3)	1.66E5
Όγκος απωλειών (M3)	1.08E5
Ενεργός Όγκος (M3)	58721.97
Όγκος άμεσης απορροής (M3)	58721.97
Όγκος βασικής απορροής (M3)	10544.69

Βροχόπτωση και Απορροή



Υπολεκάνη: EL0421FR003014

Έκταση (KM2) : 2.74

Κατάντη : J14

Μέθοδος Απωλειών: SCS

Ποσοστό αδιαπέρατης επιφάνειας	0
Αριθμός Καμπύλης Απορροής-CN	61.22
Αρχικές Απώλειες	32.18

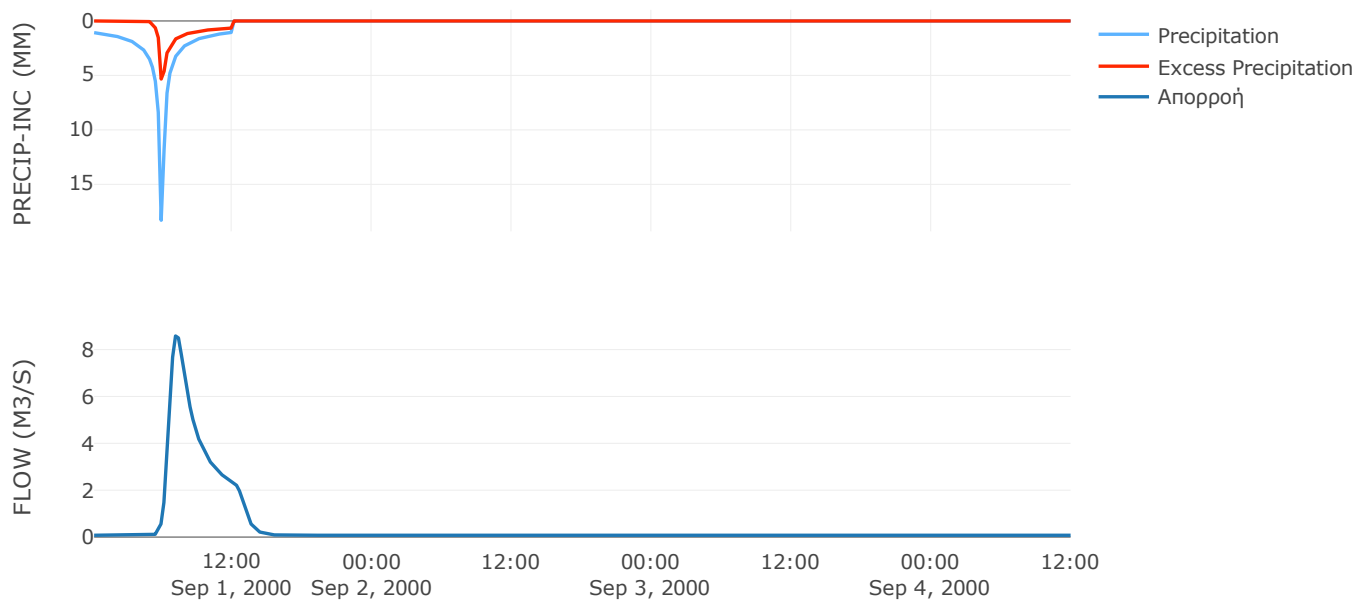
Μέθοδος Μετασχηματισμού: SCS

Χρόνος Υστέρησης	51.62
------------------	-------

Αποτελέσματα:
EL0421FR003014

Παροχή αιχμής (M3/S)	8.58
Χρονική στιγμή αιχμής	01Sep2000, 07:00
Όγκος (MM)	47.22
Όγκος βροχόπτωσης (M3)	3.65E5
Όγκος απωλειών (M3)	2.58E5
Ενεργός Όγκος (M3)	1.06E5
Όγκος άμεσης απορροής (M3)	1.06E5
Όγκος βασικής απορροής (M3)	23234.6

Βροχόπτωση και Απορροή



Υπολεκάνη: EL0421FR003015

Έκταση (KM2) : 12.69

Κατάντη : J15

Μέθοδος Απωλειών: SCS

Ποσοστό αδιαπέρατης επιφάνειας	0
Αριθμός Καμπύλης Απορροής-CN	63.26
Αρχικές Απώλειες	29.5

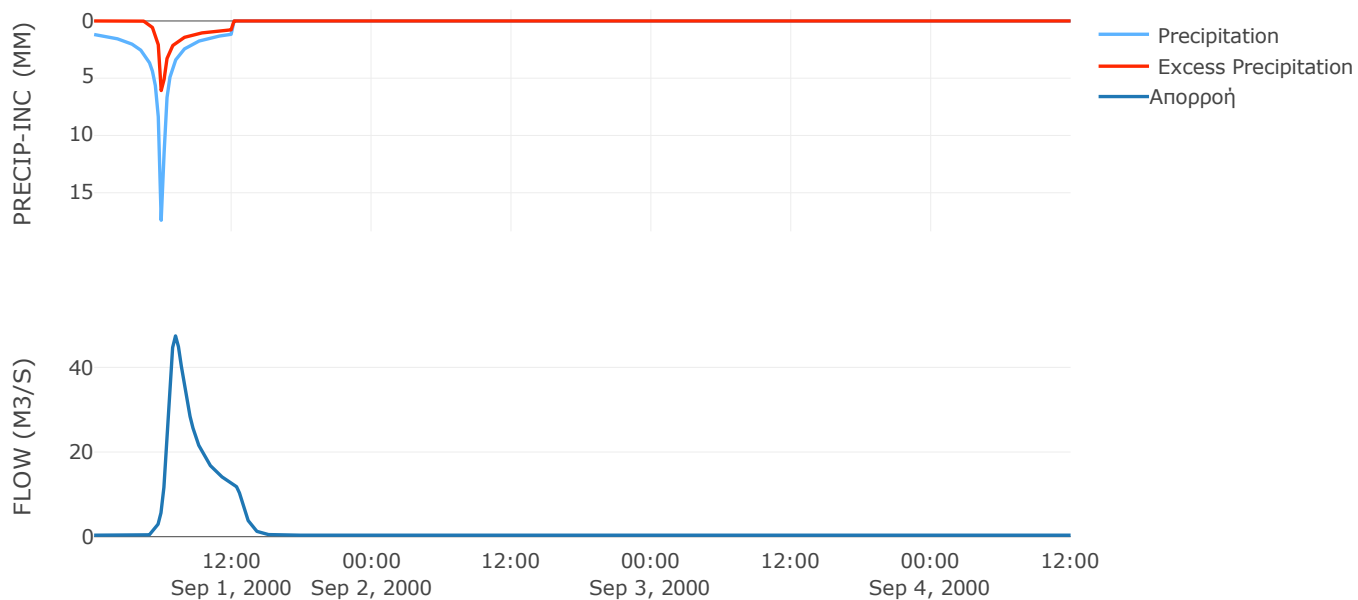
Μέθοδος Μετασχηματισμού: SCS

Χρόνος Υστέρησης	48.16
------------------	-------

Αποτελέσματα:
EL0421FR003015

Παροχή αιχμής (M3/S)	47.44
Χρονική στιγμή αιχμής	01Sep2000, 07:00
Όγκος (MM)	54.14
Όγκος βροχόπτωσης (M3)	1.74E6
Όγκος απωλειών (M3)	1.17E6
Ενεργός Όγκος (M3)	5.79E5
Όγκος άμεσης απορροής (M3)	5.79E5
Όγκος βασικής απορροής (M3)	1.07E5

Βροχόπτωση και Απορροή



Υπολεκάνη: EL0421FR003016

Έκταση (KM2) : 1.7

Κατάντη : J16

Μέθοδος Απωλειών: SCS

Ποσοστό αδιαπέρατης επιφάνειας	0
Αριθμός Καμπύλης Απορροής-CN	63.1
Αρχικές Απώλειες	29.7

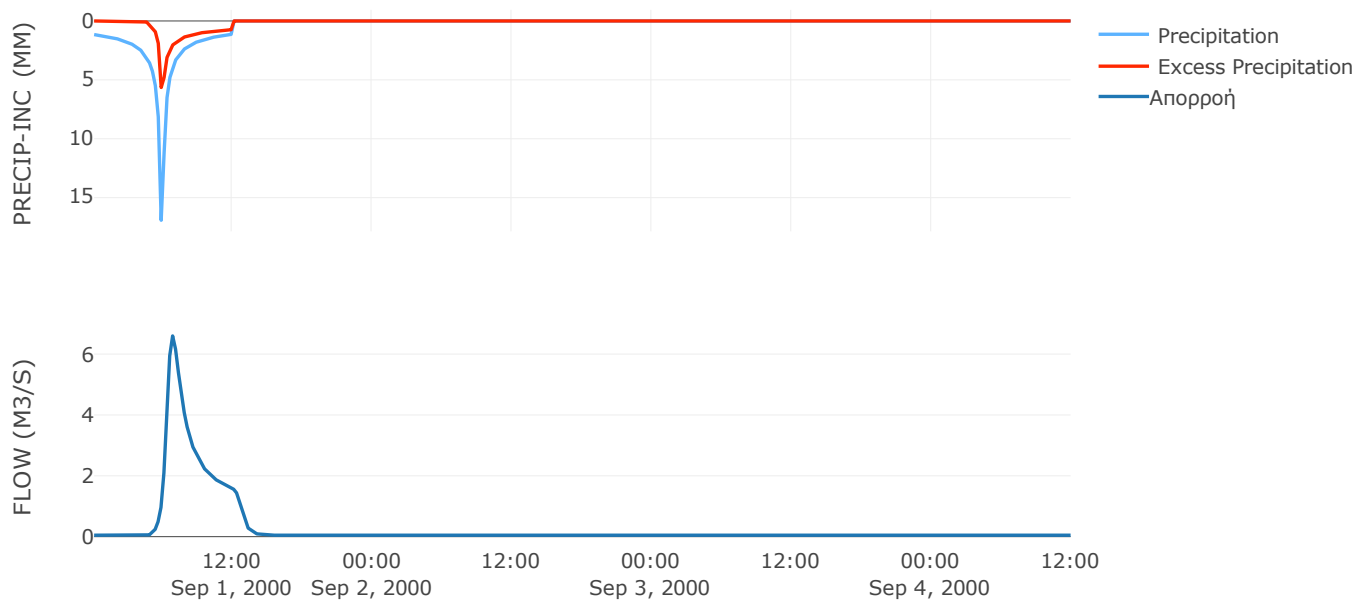
Μέθοδος Μετασχηματισμού: SCS

Χρόνος Υστέρησης	36.92
------------------	-------

Αποτελέσματα:
EL0421FR003016

Παροχή αιχμής (M3/S)	6.6
Χρονική στιγμή αιχμής	01Sep2000, 06:45
Όγκος (MM)	51.45
Όγκος βροχόπτωσης (M3)	2.28E5
Όγκος απωλειών (M3)	1.55E5
Ενεργός Όγκος (M3)	73091.37
Όγκος άμεσης απορροής (M3)	73091.37
Όγκος βασικής απορροής (M3)	14396.66

Βροχόπτωση και Απορροή



Υπολεκάνη: EL0421FR003017

Έκταση (KM2) : 1.9

Κατάντη : J17

Μέθοδος Απωλειών: SCS

Ποσοστό αδιαπέρατης επιφάνειας	0
Αριθμός Καμπύλης Απορροής-CN	64.01
Αρχικές Απώλειες	28.57

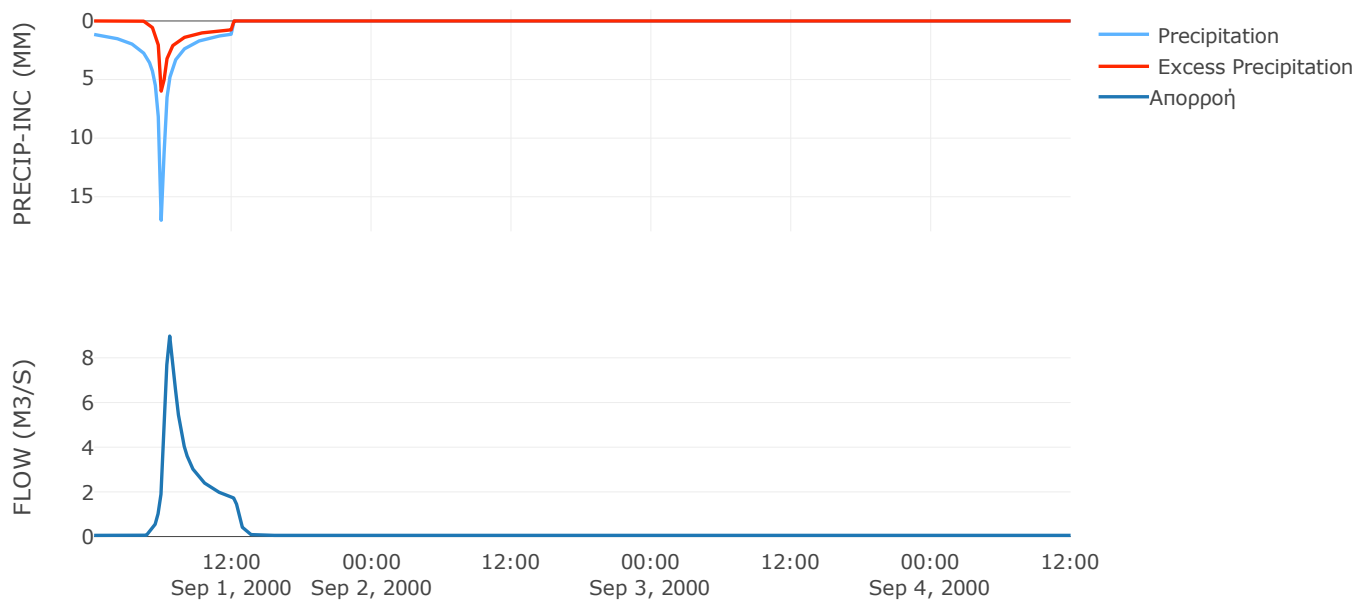
Μέθοδος Μετασχηματισμού: SCS

Χρόνος Υστέρησης	24.17
------------------	-------

Αποτελέσματα:
EL0421FR003017

Παροχή αιχμής (M3/S)	8.97
Χρονική στιγμή αιχμής	01Sep2000, 06:30
Όγκος (MM)	53.27
Όγκος βροχόπτωσης (M3)	2.55E5
Όγκος απωλειών (M3)	1.7E5
Ενεργός Όγκος (M3)	85243.27
Όγκος άμεσης απορροής (M3)	85243.27
Όγκος βασικής απορροής (M3)	16110.06

Βροχόπτωση και Απορροή



6.2 Δεδομένα και Υδρογραφήματα Σχεδιασμού Κλάδων Υδρογραφικού Δικτύου

Κλάδος: R21

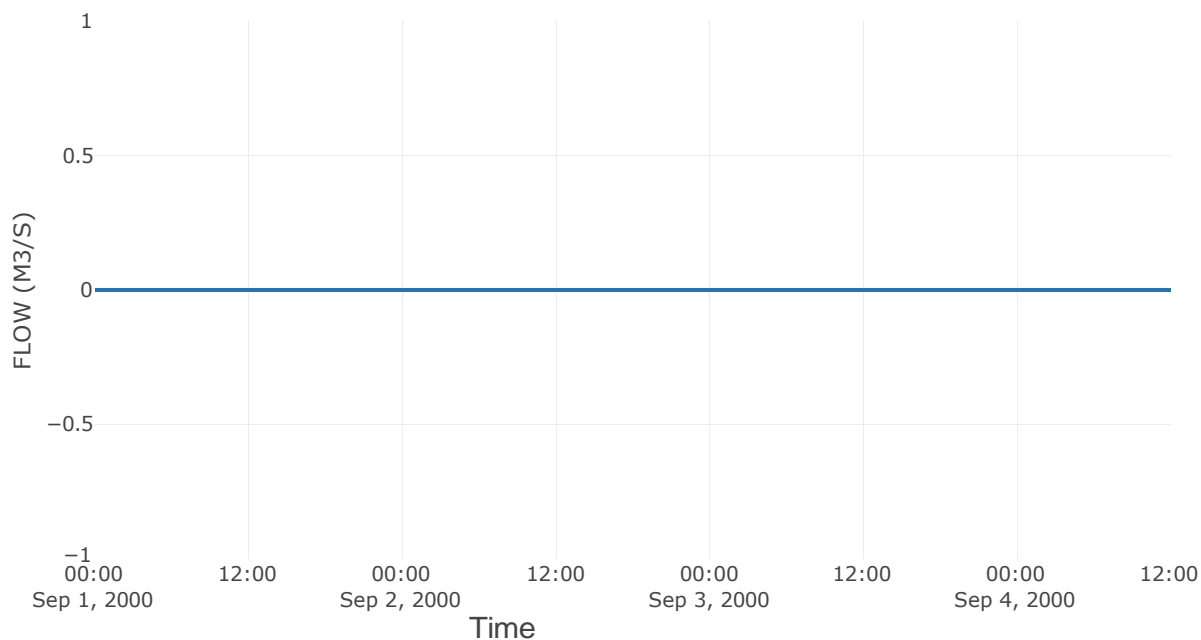
Κατάντη : J1

Μέθοδος Διόδευσης	Χρόνος
Αρχική Μεταβλητή	Combined Inflow
Χρόνος Υστέρησης	11.83

Αποτελέσματα: R21

Παροχή Αιχμής (M3/S)	0
Χρονική στιγμή αιχμής	31Aug2000, 24:00
Εισροή Αιχμής (M3/S)	0
Όγκος Εισροής (M3)	0

Απορροή



Κλάδος: R43

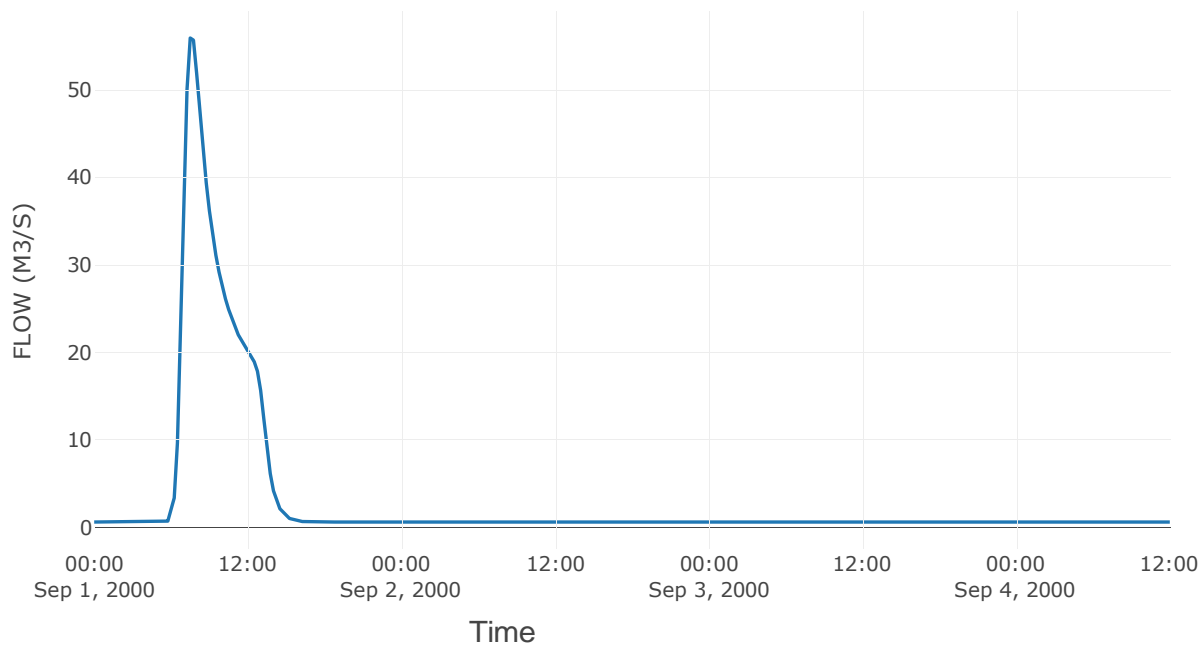
Κατάντη : J3

Μέθοδος Διόδευσης	Χρόνος
Αρχική Μεταβλητή	Combined Inflow
Χρόνος Υστέρησης	28.9

Αποτελέσματα: R43

Παροχή Αιχμής (M3/S)	55.91
Χρονική στιγμή αιχμής	01Sep2000, 07:30
Όγκος (MM)	43.52
Παροχή Αιχμής Εισόδου (M3/S)	56.16
Όγκος Εισροής (M3)	9.45E5

Απορροή



Κλάδος: R65

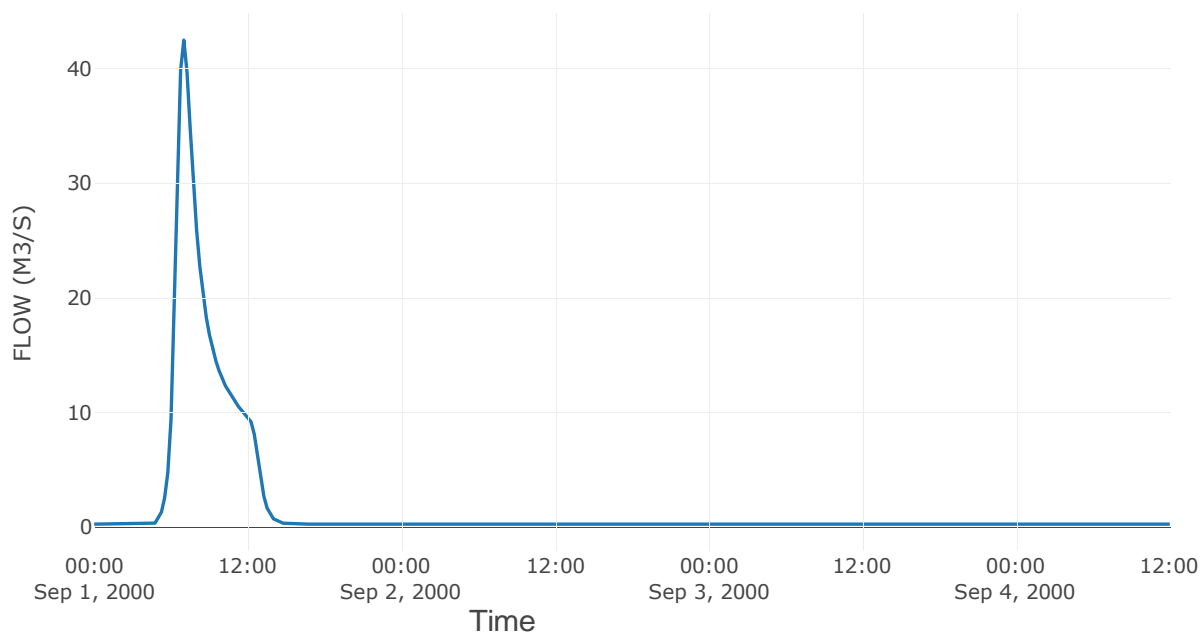
Κατάντη : J5

Μέθοδος Διόδευσης	Χρόνος
Αρχική Μεταβλητή	Combined Inflow
Χρόνος Υστέρησης	6.39

Αποτελέσματα: R65

Παροχή Αιχμής (M3/S)	42.48
Χρονική στιγμή αιχμής	01Sep2000, 07:00
Όγκος (MM)	57.69
Παροχή Αιχμής Εισόδου (M3/S)	42.65
Όγκος Εισροής (M3)	5.56E5

Απορροή



Κλάδος: R76

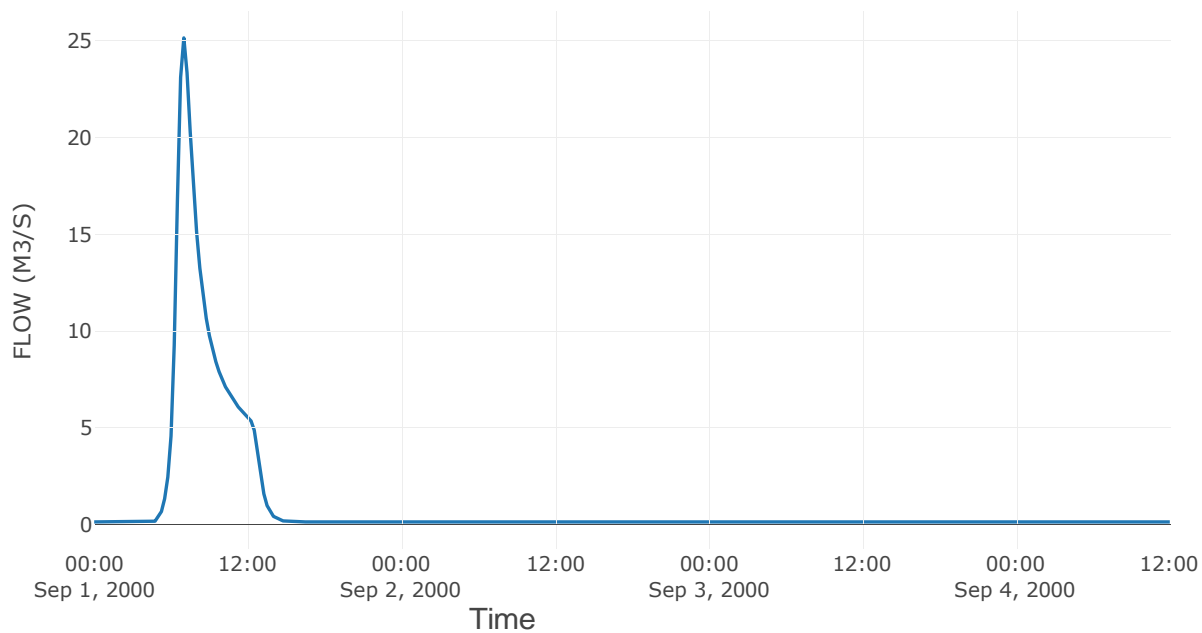
Κατάντη : J6

Μέθοδος Διόδευσης	Χρόνος
Αρχική Μεταβλητή	Combined Inflow
Χρόνος Υστέρησης	13.37

Αποτελέσματα: R76

Παροχή Αιχμής (M3/S)	25.13
Χρονική στιγμή αιχμής	01Sep2000, 07:00
Όγκος (MM)	59.29
Παροχή Αιχμής Εισόδου (M3/S)	25.34
Όγκος Εισροής (M3)	3.18E5

Απορροή



Κλάδος: R98

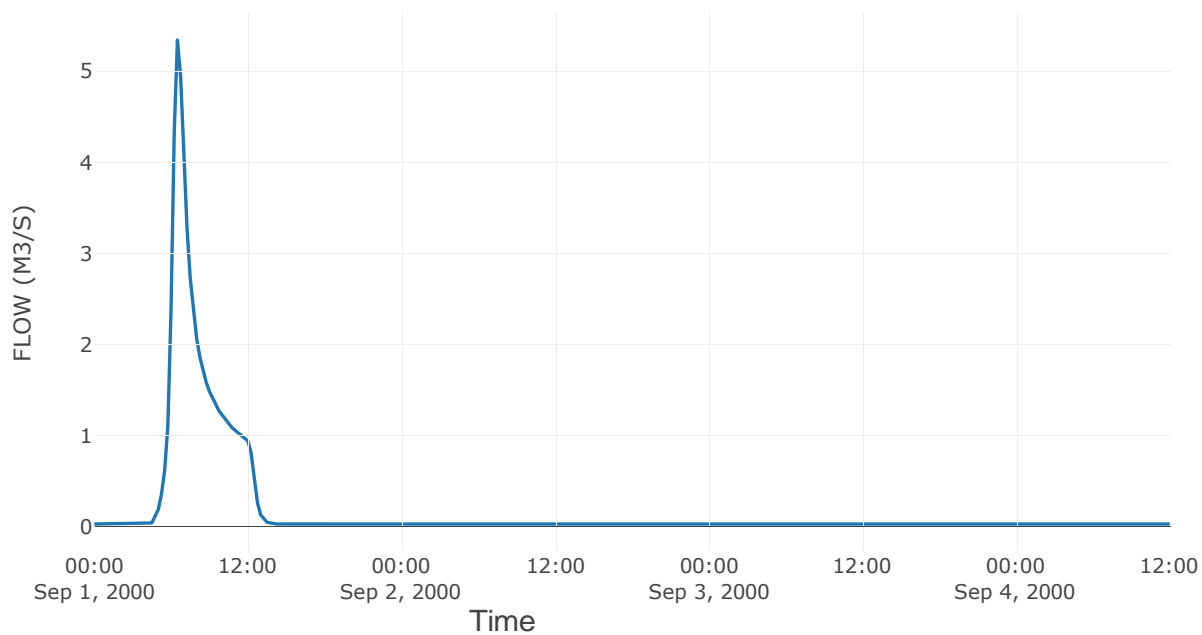
Κατάντη : J8

Μέθοδος Διόδευσης	Χρόνος
Αρχική Μεταβλητή	Combined Inflow
Χρόνος Υστέρησης	5.35

Αποτελέσματα: R98

Παροχή Αιχμής (M3/S)	5.34
Χρονική στιγμή αιχμής	01Sep2000, 06:30
Όγκος (MM)	57.14
Παροχή Αιχμής Εισόδου (M3/S)	5.5
Όγκος Εισροής (M3)	57926.43

Απορροή



Κλάδος: R1110

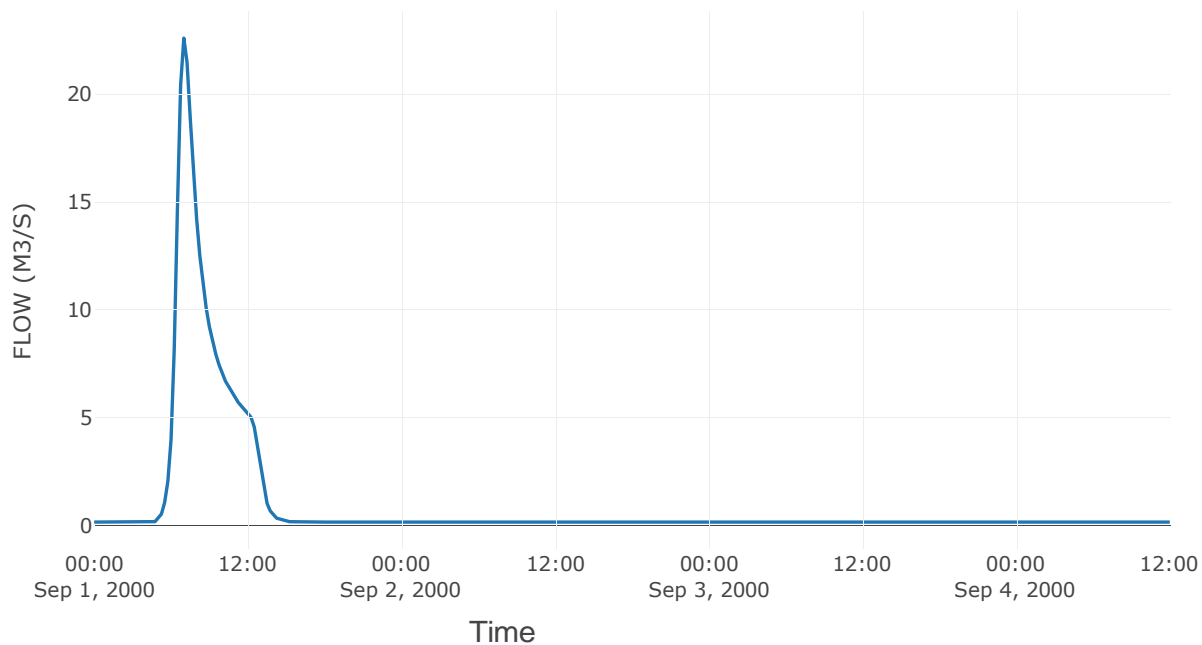
Κατάντη : J10

Μέθοδος Διόδευσης	Χρόνος
Αρχική Μεταβλητή	Combined Inflow
Χρόνος Υστέρησης	12.12

Αποτελέσματα: R1110

Παροχή Αιχμής (M3/S)	22.6
Χρονική στιγμή αιχμής	01Sep2000, 07:00
Όγκος (MM)	54.84
Παροχή Αιχμής Εισόδου (M3/S)	22.75
Όγκος Εισροής (M3)	2.98E5

Απορροή



Κλάδος: R1312

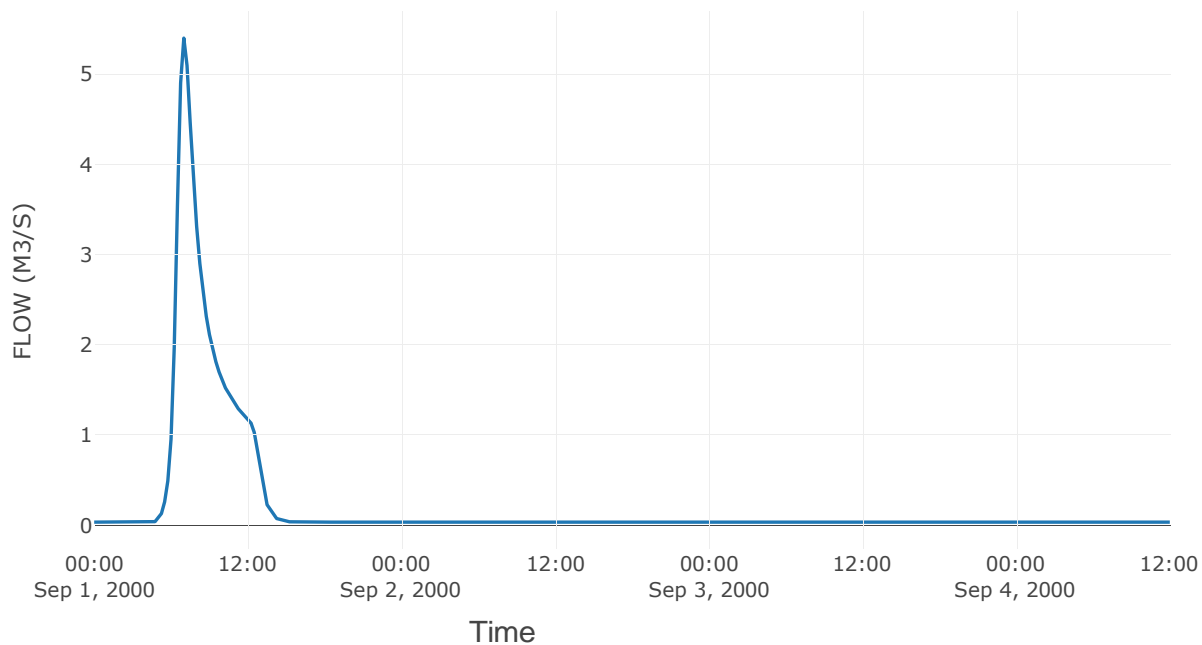
Κατάντη : J12

Μέθοδος Διόδευσης	Χρόνος
Αρχική Μεταβλητή	Combined Inflow
Χρόνος Υστέρησης	12.31

Αποτελέσματα: R1312

Παροχή Αιχμής (M3/S)	5.4
Χρονική στιγμή αιχμής	01Sep2000, 07:00
Όγκος (MM)	55.62
Παροχή Αιχμής Εισόδου (M3/S)	5.45
Όγκος Εισροής (M3)	69266.65

Απορροή



Κλάδος: R1514

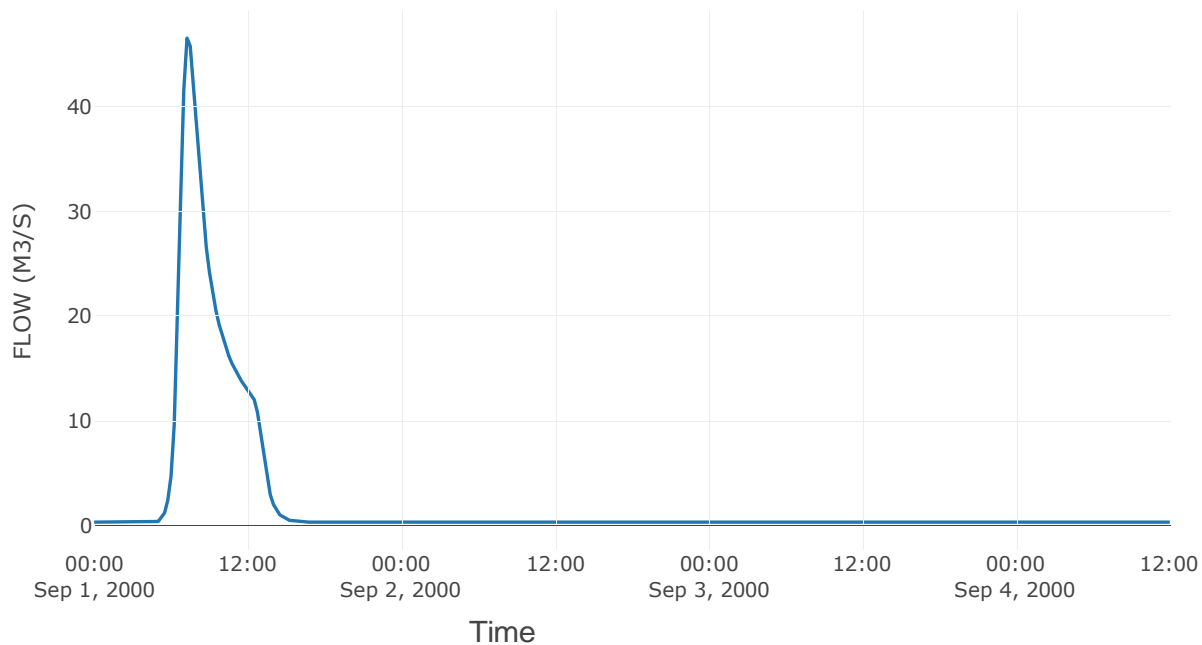
Κατάντη : J14

Μέθοδος Διόδευσης	Χρόνος
Αρχική Μεταβλητή	Combined Inflow
Χρόνος Υστέρησης	20.29

Αποτελέσματα: R1514

Παροχή Αιχμής (M3/S)	46.52
Χρονική στιγμή αιχμής	01Sep2000, 07:15
Όγκος (MM)	54.14
Παροχή Αιχμής Εισόδου (M3/S)	47.44
Όγκος Εισροής (M3)	6.87E5

Απορροή



Κλάδος: R1716

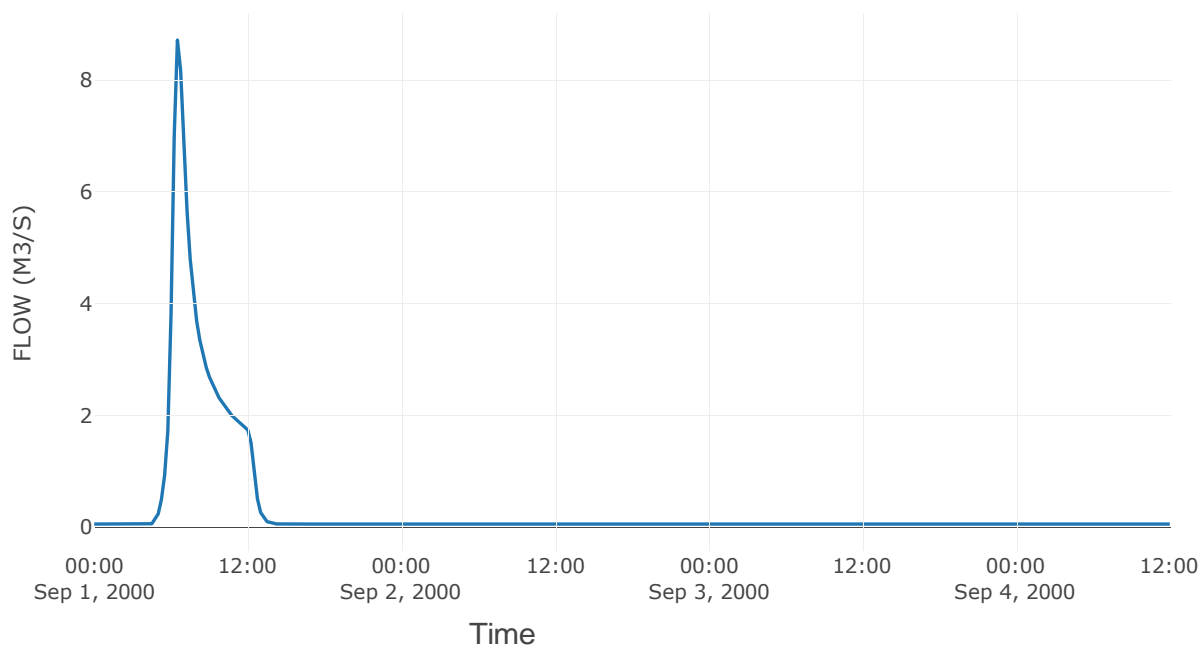
Κατάντη : J16

Μέθοδος Διόδευσης	Χρόνος
Αρχική Μεταβλητή	Combined Inflow
Χρόνος Υστέρησης	3.54

Αποτελέσματα: R1716

Παροχή Αιχμής (M3/S)	8.72
Χρονική στιγμή αιχμής	01Sep2000, 06:30
Όγκος (MM)	53.27
Παροχή Αιχμής Εισόδου (M3/S)	8.97
Όγκος Εισροής (M3)	1.01E5

Απορροή



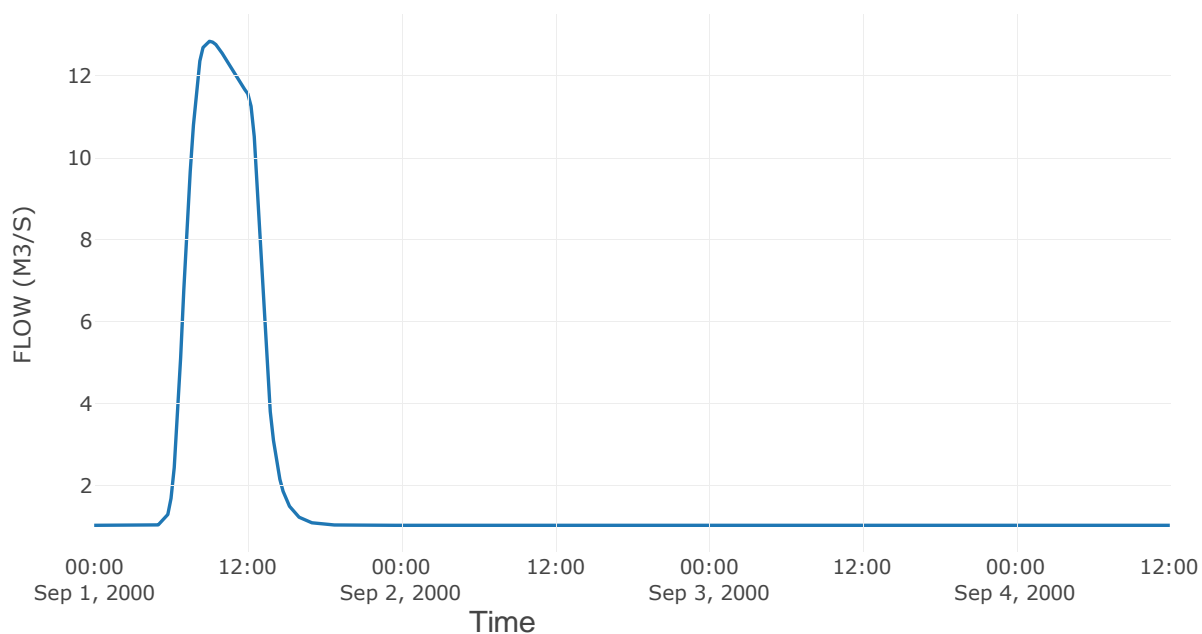
6.3 Δεδομένα και Υδρογραφήματα Σχεδιασμού Κόμβων Υδρογραφικού Δικτύου

Κόμβος εξόδου: J1

Αποτέλεσμα
τα: J1

Παροχή αιχμής (M3/S)	12.85
Χρονική στιγμή αιχμής	01Sep2000, 09:00
Όγκος (MM)	15.38

Απορροή



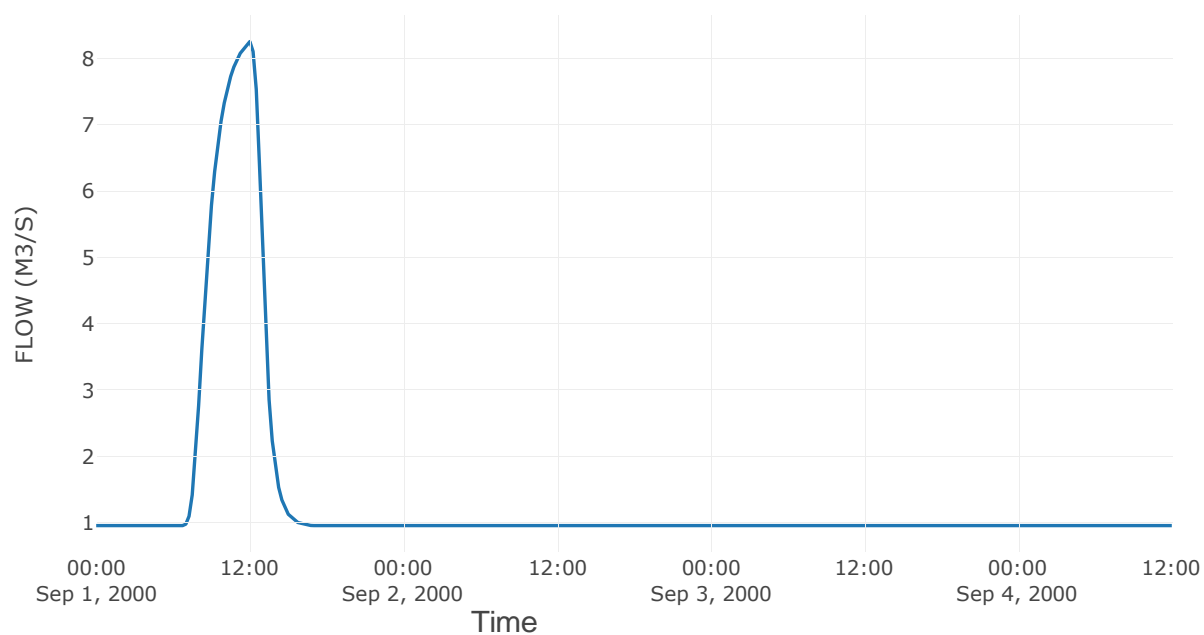
Κόμβος: J2

Κατάντη : J1

Αποτελέσματα: J2

Παροχή Αιχμής (M3/S)	8.25
Χρονική στιγμή αιχμής	01Sep2000, 12:00
Όγκος (MM)	11.89

Απορροή

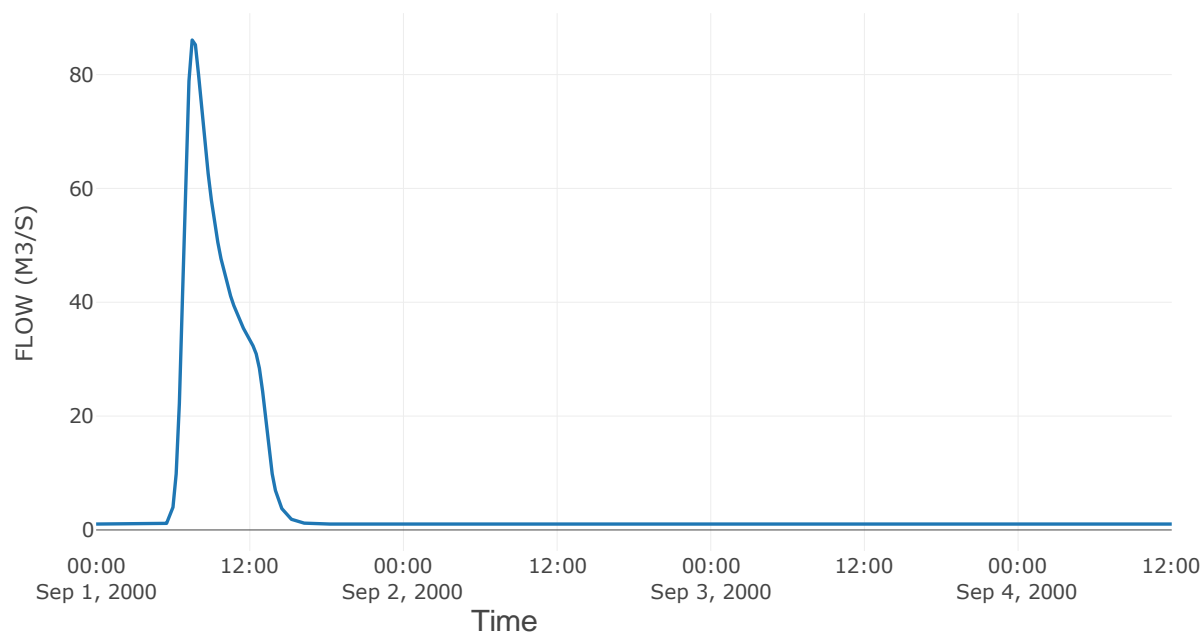


Κόμβος εξόδου: J3

Αποτέλεσμα
τα: J3

Παροχή αιχμής (M3/S)	86.07
Χρονική στιγμή αιχμής	01Sep2000, 07:30
Όγκος (MM)	42.04

Απορροή



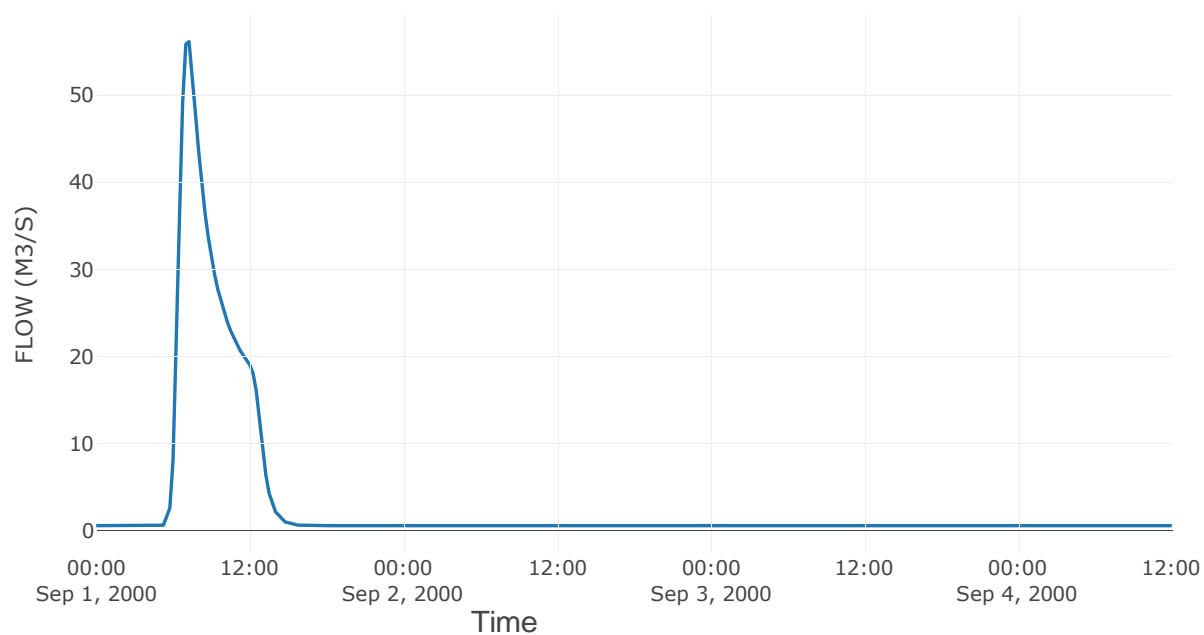
Κόμβος: J4

Κατάντη : R43

Αποτελέσματα: J4

Παροχή Αιχμής (M3/S)	56.16
Χρονική στιγμή αιχμής	01Sep2000, 07:15
Όγκος (MM)	43.52

Απορροή

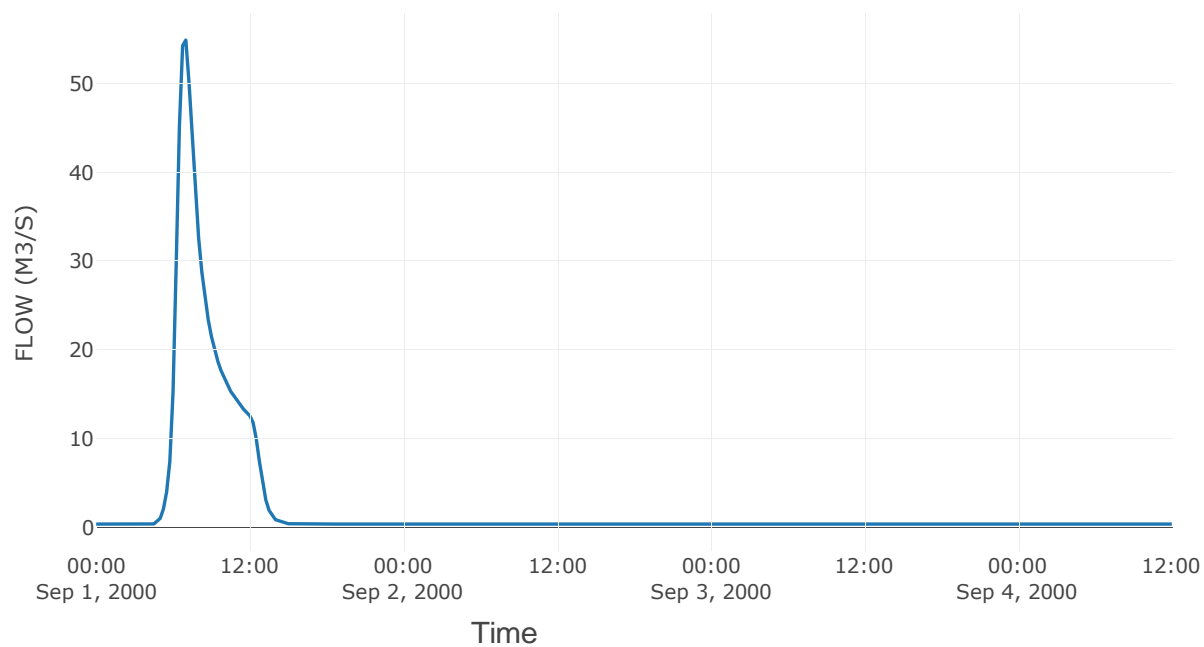


Κόμβος εξόδου: J5

Αποτέλεσμα
τα: J5

Παροχή αιχμής (M3/S)	54.9
Χρονική στιγμή αιχμής	01Sep2000, 07:00
Όγκος (MM)	57.07

Απορροή



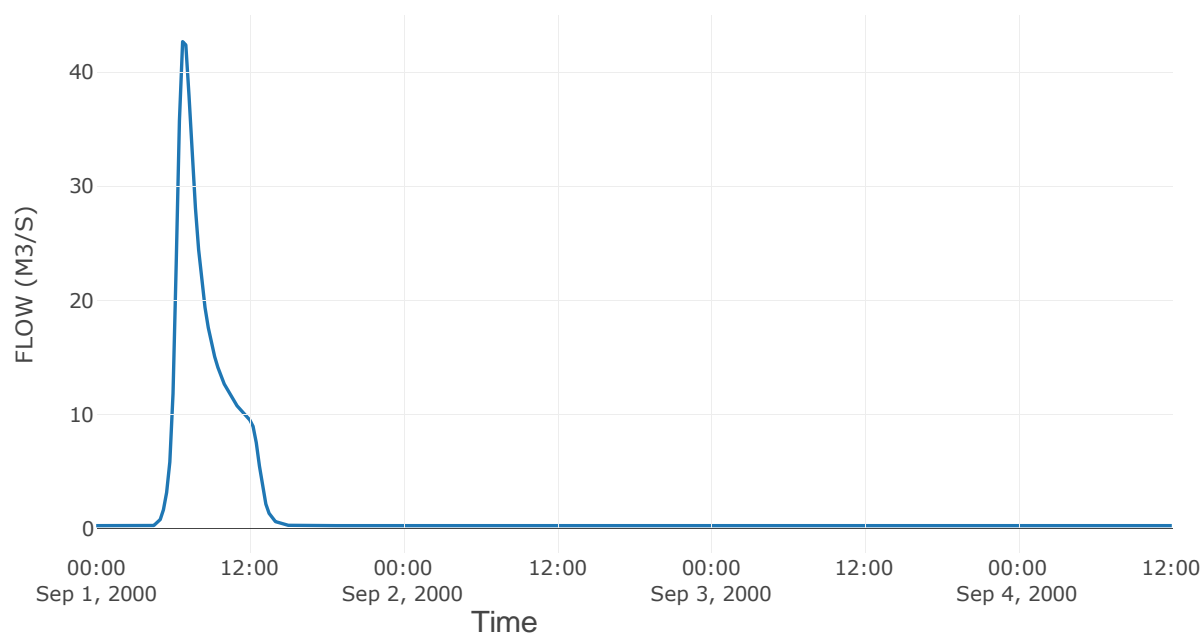
Κόμβος: J6

Κατάντη : R65

Αποτελέσματα: J6

Παροχή Αιχμής (M3/S)	42.65
Χρονική στιγμή αιχμής	01Sep2000, 06:45
Όγκος (MM)	57.69

Απορροή



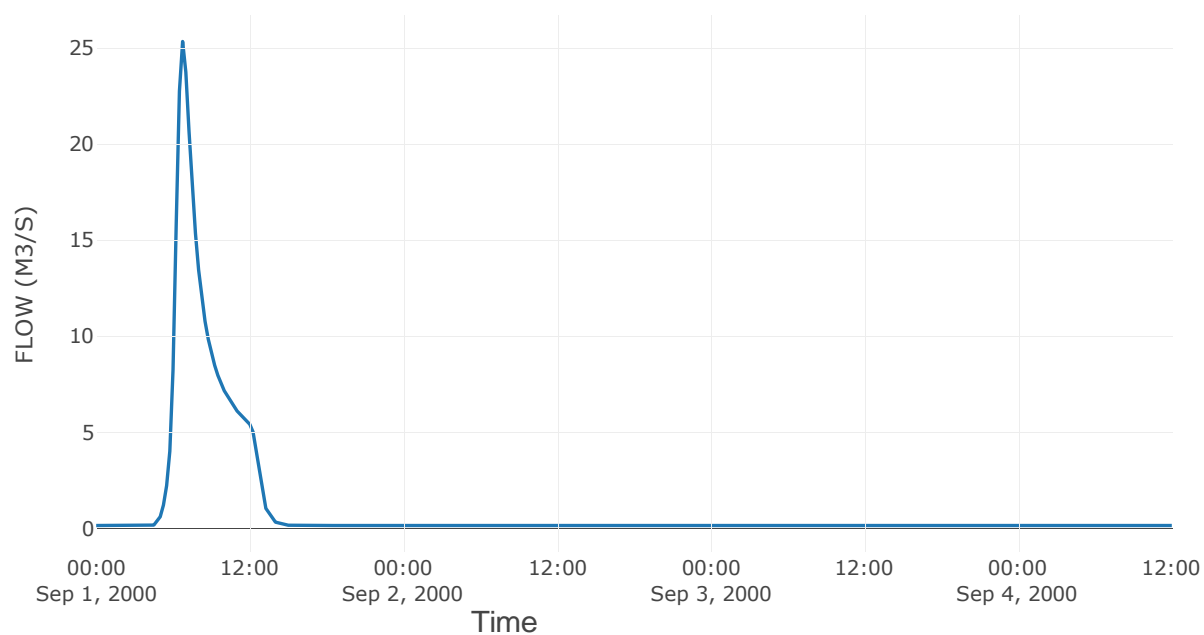
Κόμβος: J7

Κατάντη : R76

Αποτελέσματα: J7

Παροχή Αιχμής (M3/S)	25.34
Χρονική στιγμή αιχμής	01Sep2000, 06:45
Όγκος (MM)	59.29

Απορροή

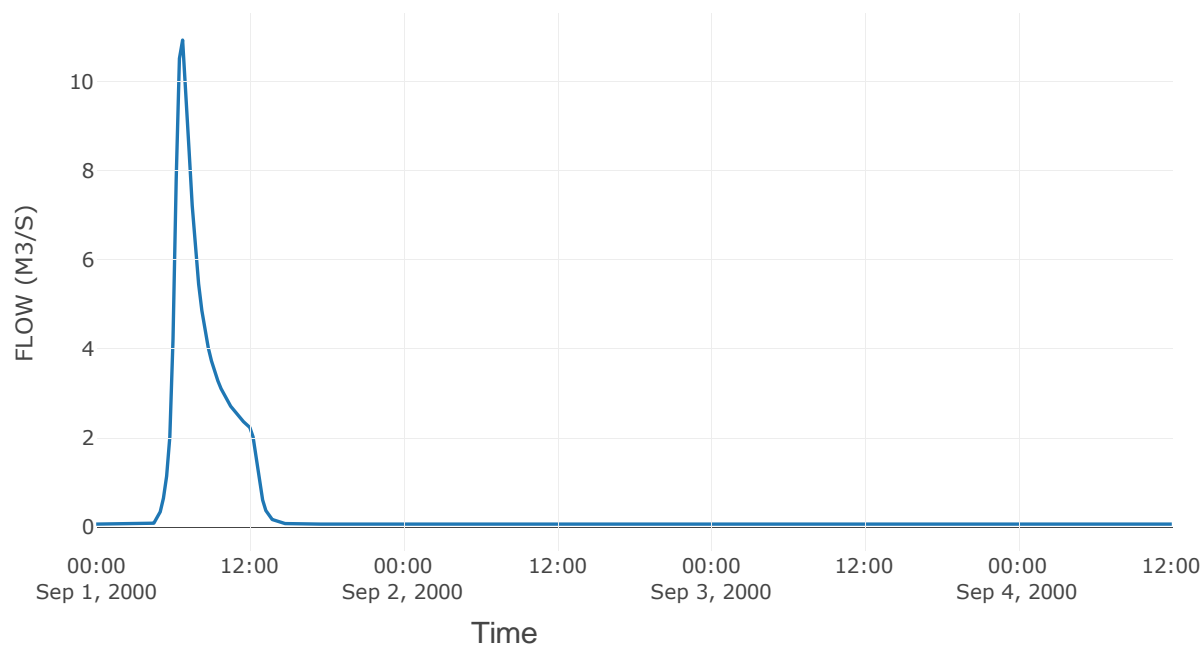


Κόμβος εξόδου: J8

Αποτέλεσμα
τα: J8

Παροχή αιχμής (M3/S)	10.93
Χρονική στιγμή αιχμής	01Sep2000, 06:45
Όγκος (MM)	57.63

Απορροή



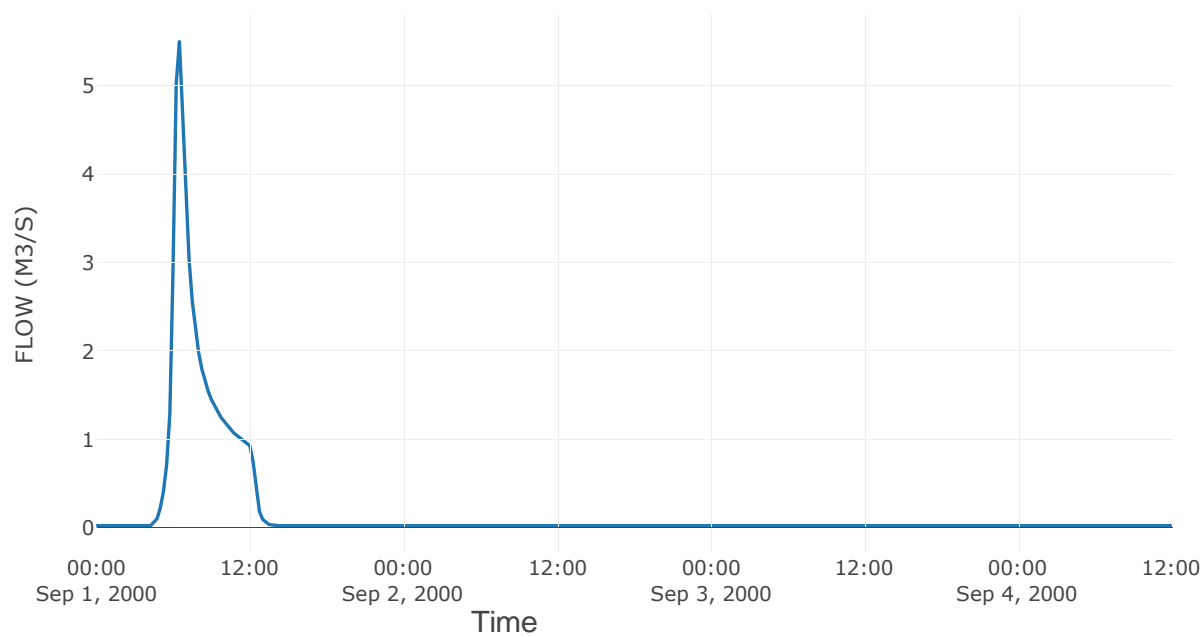
Κόμβος: J9

Κατάντη : R98

Αποτελέσματα: J9

Παροχή Αιχμής (M3/S)	5.5
Χρονική στιγμή αιχμής	01Sep2000, 06:30
Όγκος (MM)	57.14

Απορροή

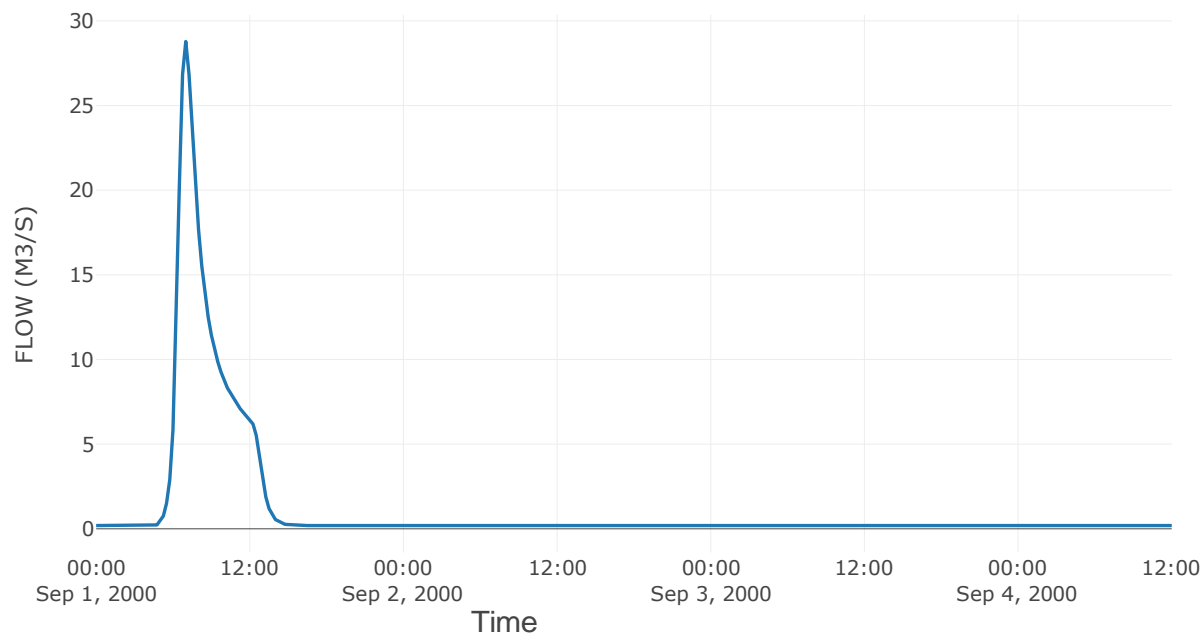


Κόμβος εξόδου: J10

Αποτελέσματα: J10

Παροχή Αιχμής (M3/S)	28.78
Χρονική στιγμή αιχμής	01Sep2000, 07:00
Όγκος (MM)	54.98

Απορροή



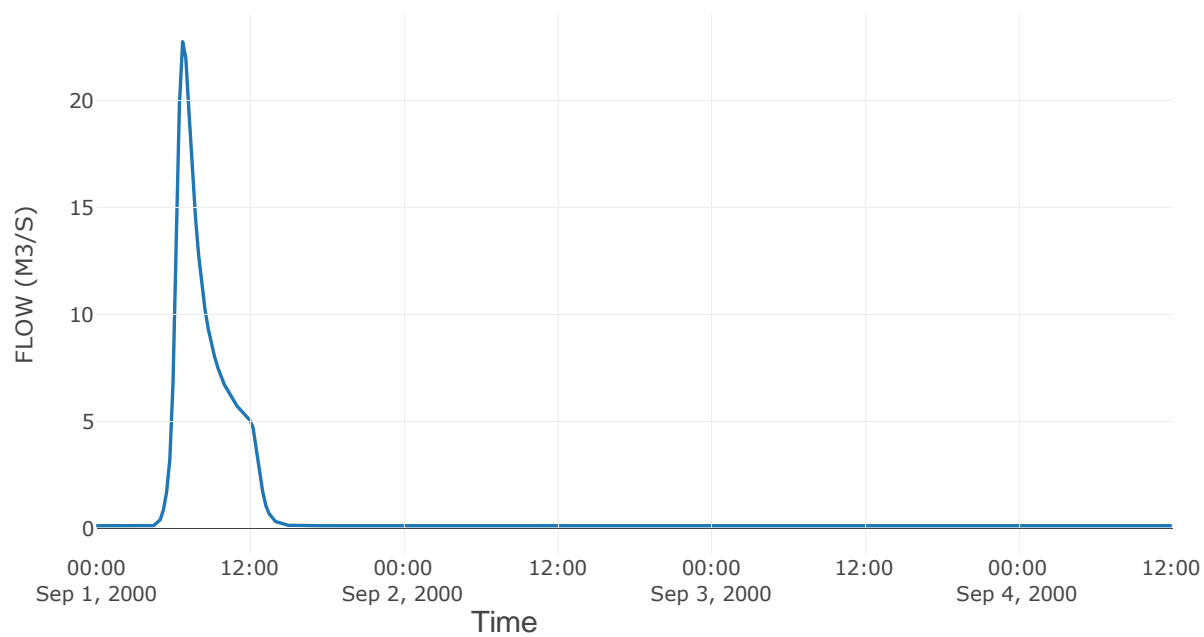
Κόμβος: J11

Κατάντη : R1110

Αποτελέσματα: J11

Παροχή Αιχμής (M3/S)	22.75
Χρονική στιγμή αιχμής	01Sep2000, 06:45
Όγκος (MM)	54.84

Απορροή

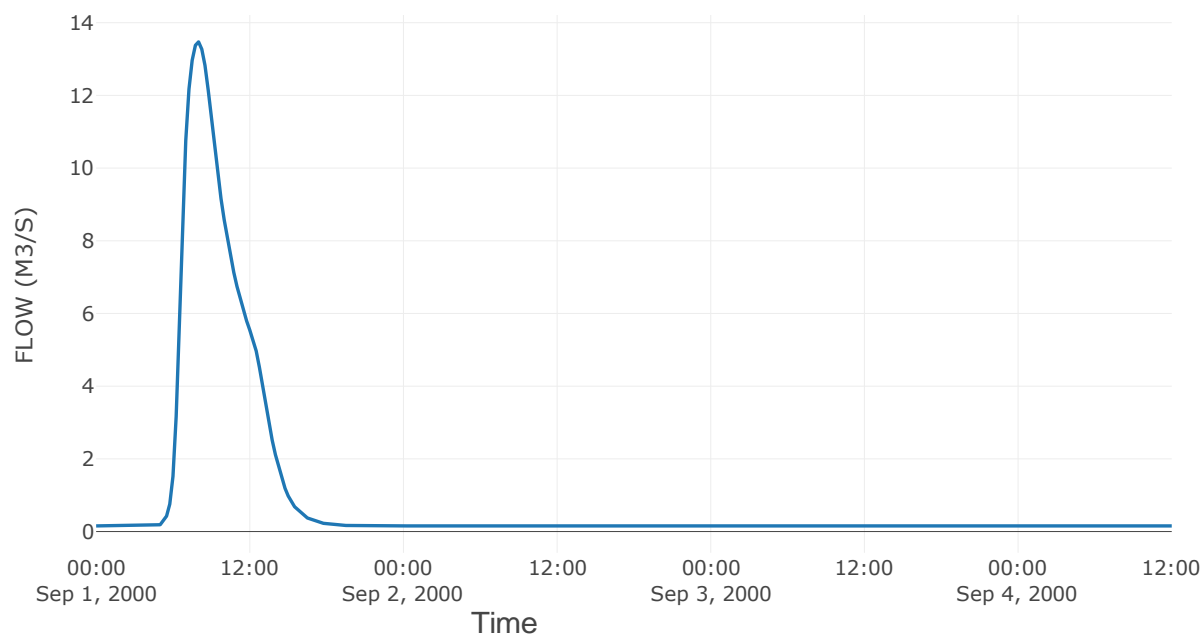


Κόμβος εξόδου: J12

Αποτελέσμα
α: J12

Παροχή αιχμής (M3/S)	13.47
Χρονική στιγμή αιχμής	01Sep2000, 08:00
Όγκος (MM)	50.12

Απορροή



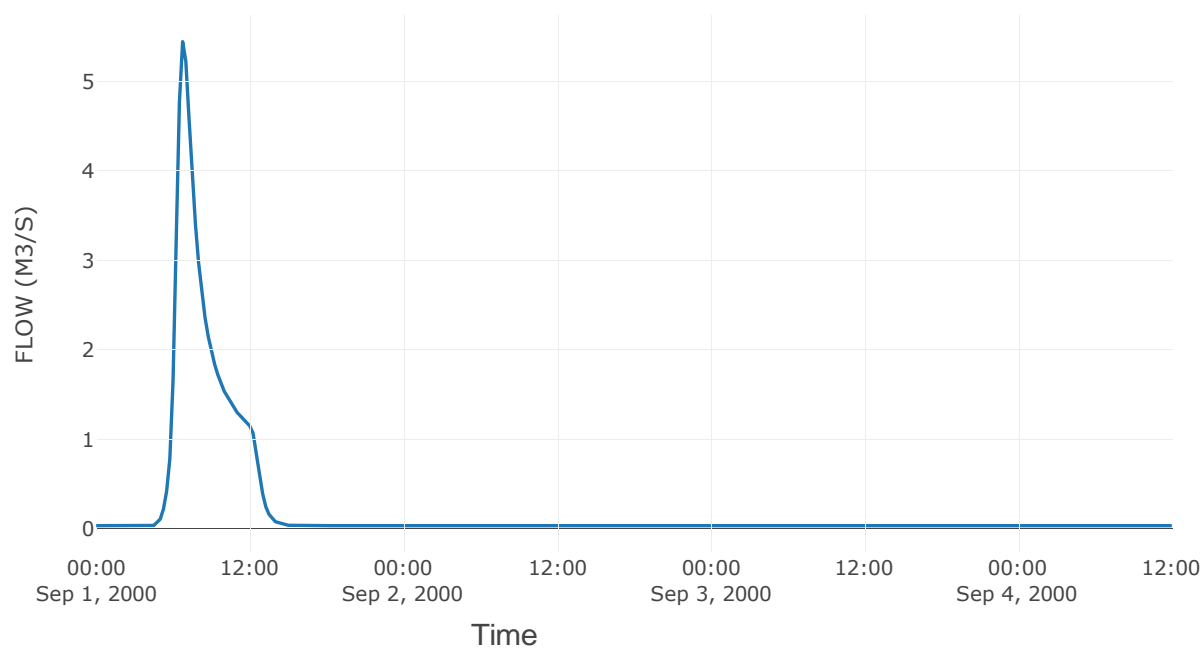
Κόμβος: J13

Κατάντη : R1312

Αποτελέσματα: J13

Παροχή Αιχμής (M3/S)	5.45
Χρονική στιγμή αιχμής	01Sep2000, 06:45
Όγκος (MM)	55.62

Απορροή

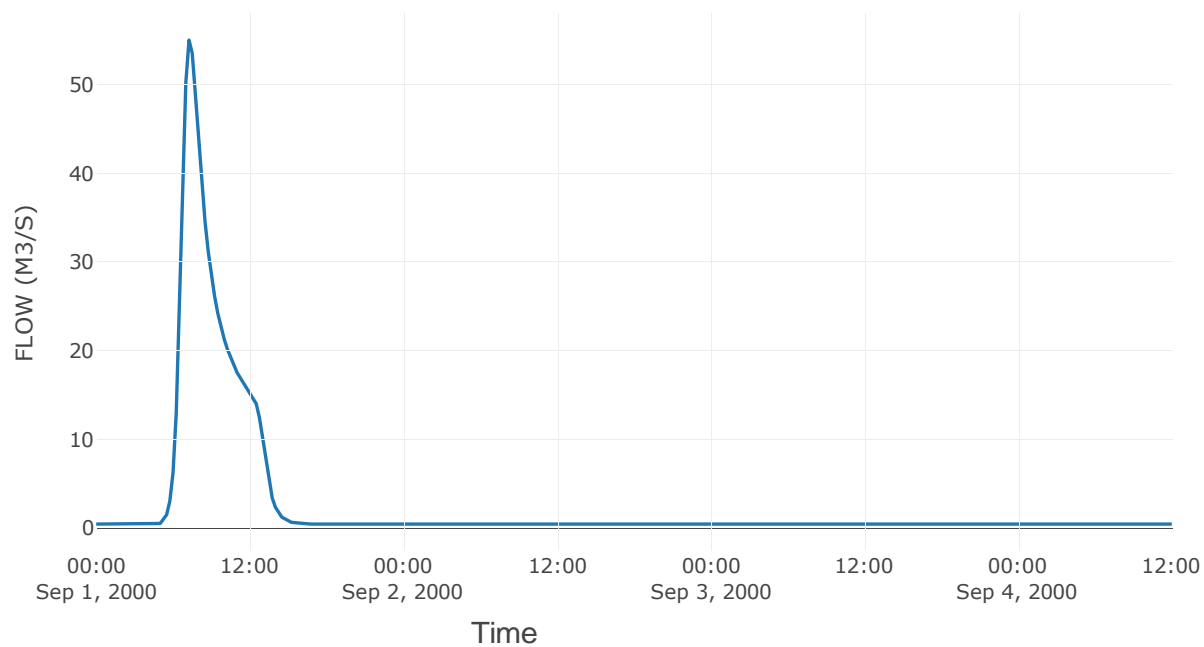


Κόμβος εξόδου: J14

Αποτελέσμα
α: J14

Παροχή αιχμής (M3/S)	55.02
Χρονική στιγμή αιχμής	01Sep2000, 07:15
Όγκος (MM)	52.91

Απορροή



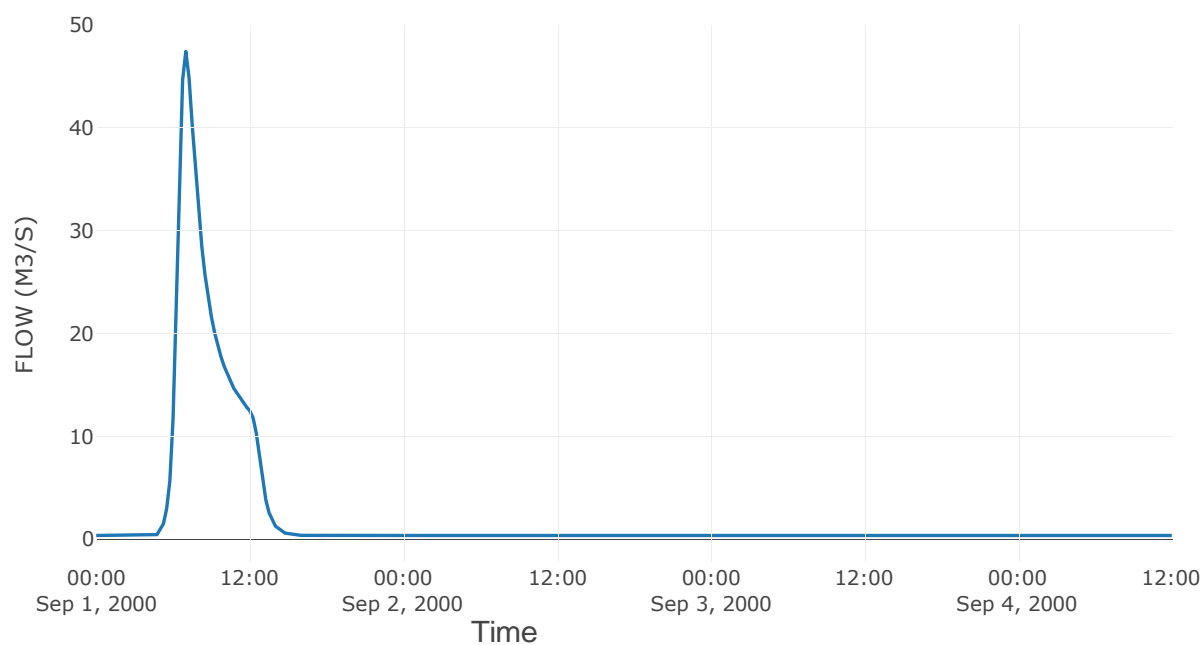
Κόμβος: J15

Κατάντη : R1514

Αποτελέσματα: J15

Παροχή Αιχμής (M3/S)	47.44
Χρονική στιγμή αιχμής	01Sep2000, 07:00
Όγκος (MM)	54.14

Απορροή

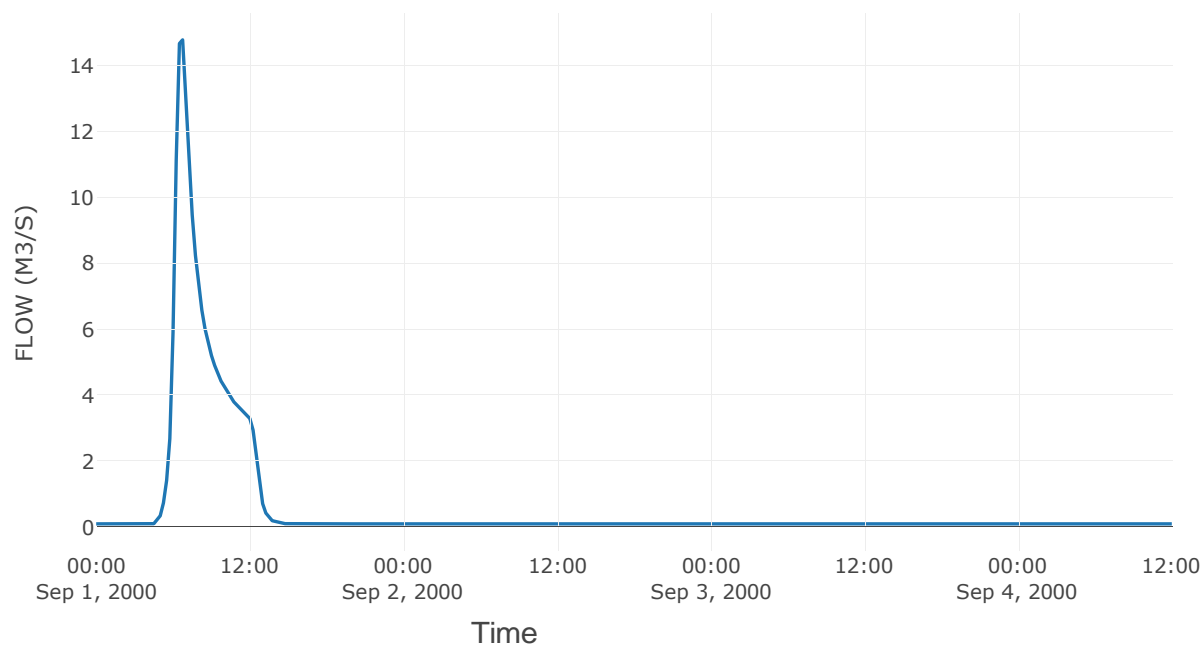


Κόμβος εξόδου: J16

Αποτελέσμα
α: J16

Παροχή αιχμής (M3/S)	14.77
Χρονική στιγμή αιχμής	01Sep2000, 06:45
Όγκος (MM)	52.41

Απορροή



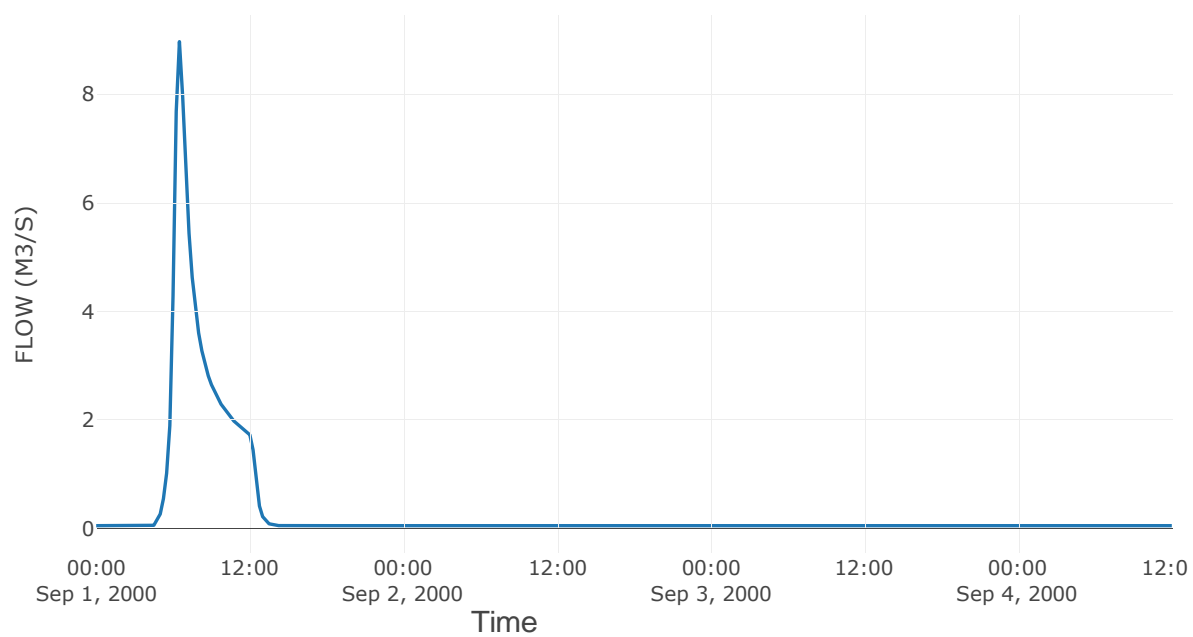
Κόμβος: J17

Κατάντη : R1716

Αποτελέσματα: J17

Παροχή Αιχμής (M3/S)	8.97
Χρονική στιγμή αιχμής	01Sep2000, 06:30
Όγκος (MM)	53.27

Απορροή



7 Δεδομένα εισόδου και αποτελέσματα υδρολογικού σεναρίου T=100U

7.1 Αποτελέσματα, υετογραφήματα και υδρογραφήματα σχεδιασμού υπολεκάνων

Υπολεκάνη: EL0421FR003001

Έκταση (KM2) : 2.97

Κατάντη : J1

Μέθοδος Απωλειών: SCS

Ποσοστό αδιαπέρατης επιφάνειας	0
Αριθμός Καμπύλης Απορροής-CN	90.64
Αρχικές Απώλειες	5.25

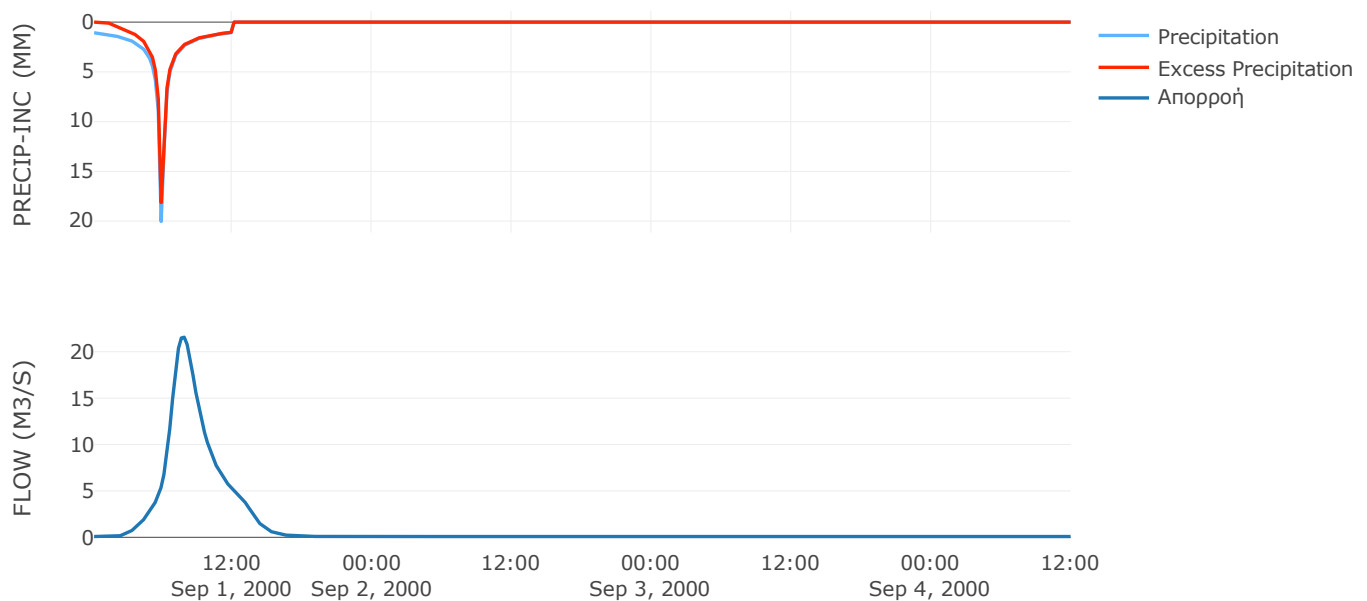
Μέθοδος Μετασχηματισμού: SCS

Χρόνος Υστέρησης	94.72
------------------	-------

Αποτελέσματα:
EL0421FR003001

Παροχή αιχμής (M3/S)	21.56
Χρονική στιγμή αιχμής	01Sep2000, 07:45
Όγκος (MM)	119.2
Όγκος βροχόπτωσης (M3)	4.1E5
Όγκος απωλειών (M3)	80735.73
Ενεργός Όγκος (M3)	3.29E5
Όγκος άμεσης απορροής (M3)	3.29E5
Όγκος βασικής απορροής (M3)	25171.47

Βροχόπτωση και Απορροή



Υπολεκάνη: EL0421FR003002

Έκταση (KM2) : 34.23

Κατάντη : J2

Μέθοδος Απωλειών: SCS

Ποσοστό αδιαπέρατης επιφάνειας	0
Αριθμός Καμπύλης Απορροής-CN	73.37
Αρχικές Απώλειες	18.44

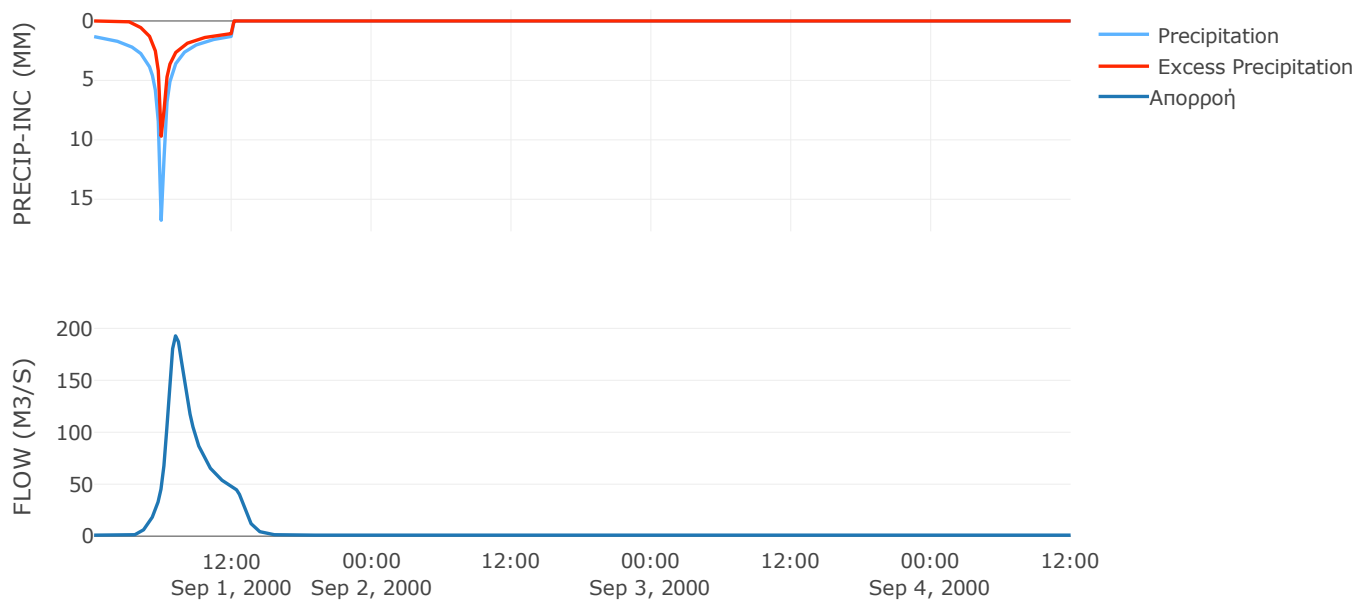
Μέθοδος Μετασχηματισμού: SCS

Χρόνος Υστέρησης	54.43
------------------	-------

Αποτελέσματα:
EL0421FR003002

Παροχή αιχμής (M3/S)	192.82
Χρονική στιγμή αιχμής	01Sep2000, 07:00
Όγκος (MM)	81.11
Όγκος βροχόπτωσης (M3)	4.94E6
Όγκος απωλειών (M3)	2.45E6
Ενεργός Όγκος (M3)	2.49E6
Όγκος άμεσης απορροής (M3)	2.49E6
Όγκος βασικής απορροής (M3)	2.9E5

Βροχόπτωση και Απορροή



Υπολεκάνη: EL0421FR003003

Έκταση (KM2) : 15.17

Κατάντη : J3

Μέθοδος Απωλειών: SCS

Ποσοστό αδιαπέρατης επιφάνειας	0
Αριθμός Καμπύλης Απορροής-CN	87.08
Αρχικές Απώλειες	7.54

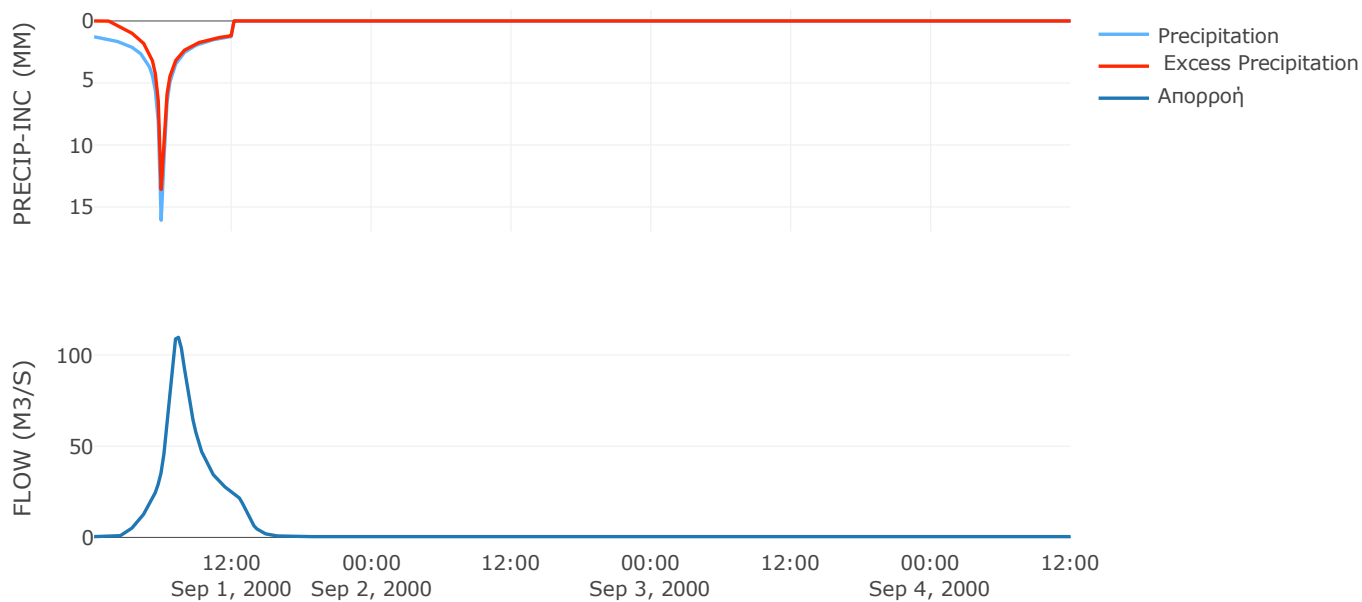
Μέθοδος Μετασχηματισμού: SCS

Χρόνος Υστέρησης	65.51
------------------	-------

Αποτελέσματα:
EL0421FR003003

Παροχή αιχμής (M3/S)	109.67
Χρονική στιγμή αιχμής	01Sep2000, 07:15
Όγκος (MM)	110.7
Όγκος βροχόπτωσης (M3)	2.11E6
Όγκος απωλειών (M3)	5.59E5
Ενεργός Όγκος (M3)	1.55E6
Όγκος άμεσης απορροής (M3)	1.55E6
Όγκος βασικής απορροής (M3)	1.28E5

Βροχόπτωση και Απορροή



Υπολεκάνη: EL0421FR003004

Έκταση (KM2) : 21.72

Κατάντη : J4

Μέθοδος Απωλειών: SCS

Ποσοστό αδιαπέρατης επιφάνειας	0
Αριθμός Καμπύλης Απορροής-CN	87.25
Αρχικές Απώλειες	7.43

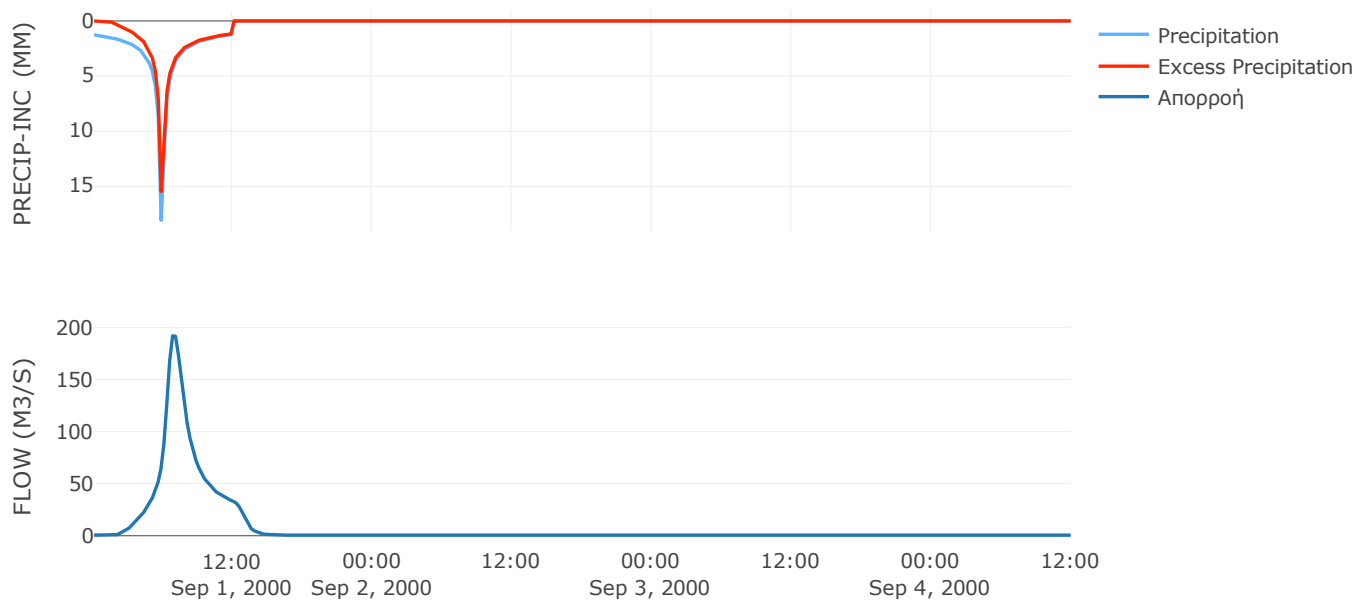
Μέθοδος Μετασχηματισμού: SCS

Χρόνος Υστέρησης	50.33
------------------	-------

Αποτελέσματα:
EL0421FR003004

Παροχή αιχμής (M3/S)	192.06
Χρονική στιγμή αιχμής	01Sep2000, 06:45
Όγκος (MM)	116.25
Όγκος βροχόπτωσης (M3)	3.14E6
Όγκος απωλειών (M3)	7.96E5
Ενεργός Όγκος (M3)	2.34E6
Όγκος άμεσης απορροής (M3)	2.34E6
Όγκος βασικής απορροής (M3)	1.84E5

Βροχόπτωση και Απορροή



Υπολεκάνη: EL0421FR003005

Έκταση (KM2) : 3.17

Κατάντη : J5

Μέθοδος Απωλειών: SCS

Ποσοστό αδιαπέρατης επιφάνειας	0
Αριθμός Καμπύλης Απορροής-CN	90.74
Αρχικές Απώλειες	5.19

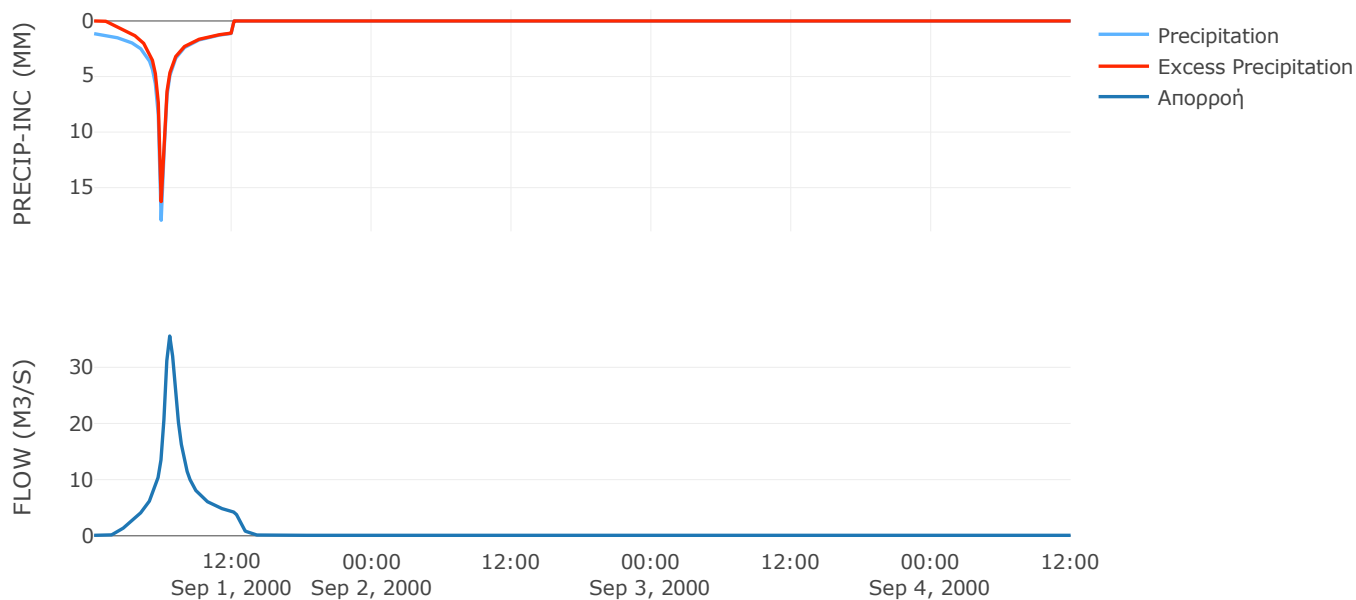
Μέθοδος Μετασχηματισμού: SCS

Χρόνος Υστέρησης	30.62
------------------	-------

Αποτελέσματα:
EL0421FR003005

Παροχή αιχμής (M3/S)	35.58
Χρονική στιγμή αιχμής	01Sep2000, 06:30
Όγκος (MM)	118.13
Όγκος βροχόπτωσης (M3)	4.33E5
Όγκος απωλειών (M3)	85091.04
Ενεργός Όγκος (M3)	3.48E5
Όγκος άμεσης απορροής (M3)	3.48E5
Όγκος βασικής απορροής (M3)	26847.68

Βροχόπτωση και Απορροή



Υπολεκάνη: EL0421FR003006

Έκταση (KM2) : 4.26

Κατάντη : J6

Μέθοδος Απωλειών: SCS

Ποσοστό αδιαπέρατης επιφάνειας	0
Αριθμός Καμπύλης Απορροής-CN	90.88
Αρχικές Απώλειες	5.1

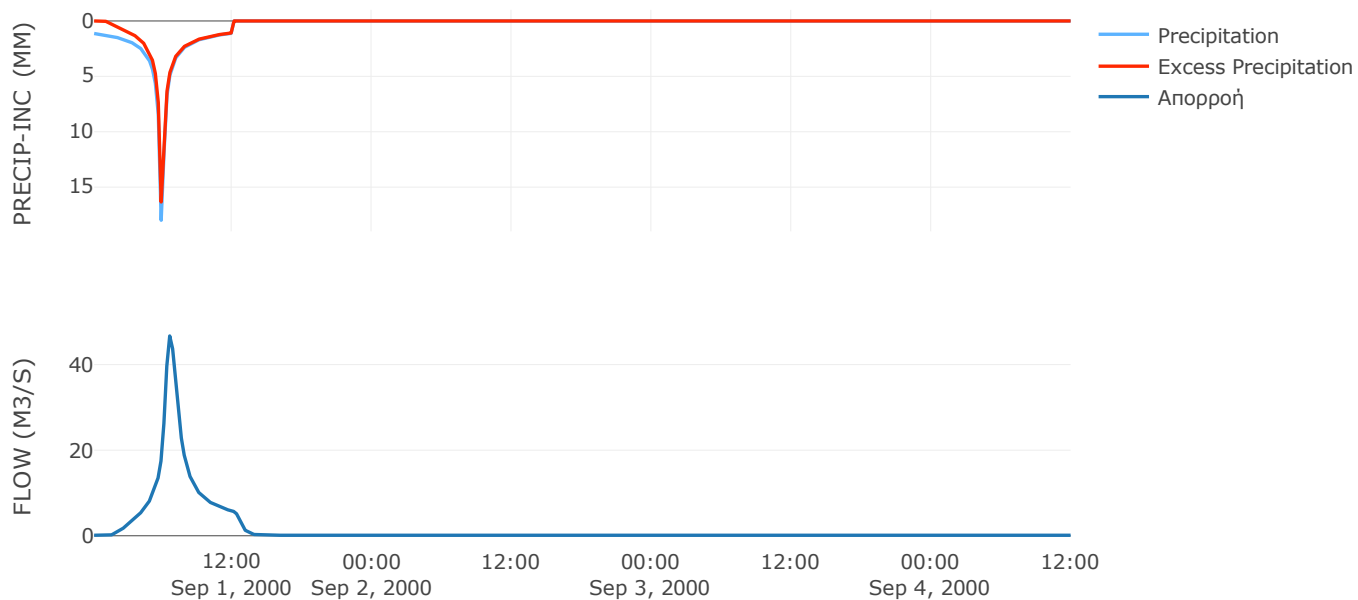
Μέθοδος Μετασχηματισμού: SCS

Χρόνος Υστέρησης	32.83
------------------	-------

Αποτελέσματα:
EL0421FR003006

Παροχή αιχμής (M3/S)	46.69
Χρονική στιγμή αιχμής	01Sep2000, 06:30
Όγκος (MM)	118.07
Όγκος βροχόπτωσης (M3)	5.8E5
Όγκος απωλειών (M3)	1.13E5
Ενεργός Όγκος (M3)	4.67E5
Όγκος άμεσης απορροής (M3)	4.67E5
Όγκος βασικής απορροής (M3)	36094.46

Βροχόπτωση και Απορροή



Υπολεκάνη: EL0421FR003007

Έκταση (KM2) : 5.37

Κατάντη : J7

Μέθοδος Απωλειών: SCS

Ποσοστό αδιαπέρατης επιφάνειας	0
Αριθμός Καμπύλης Απορροής-CN	90.66
Αρχικές Απώλειες	5.24

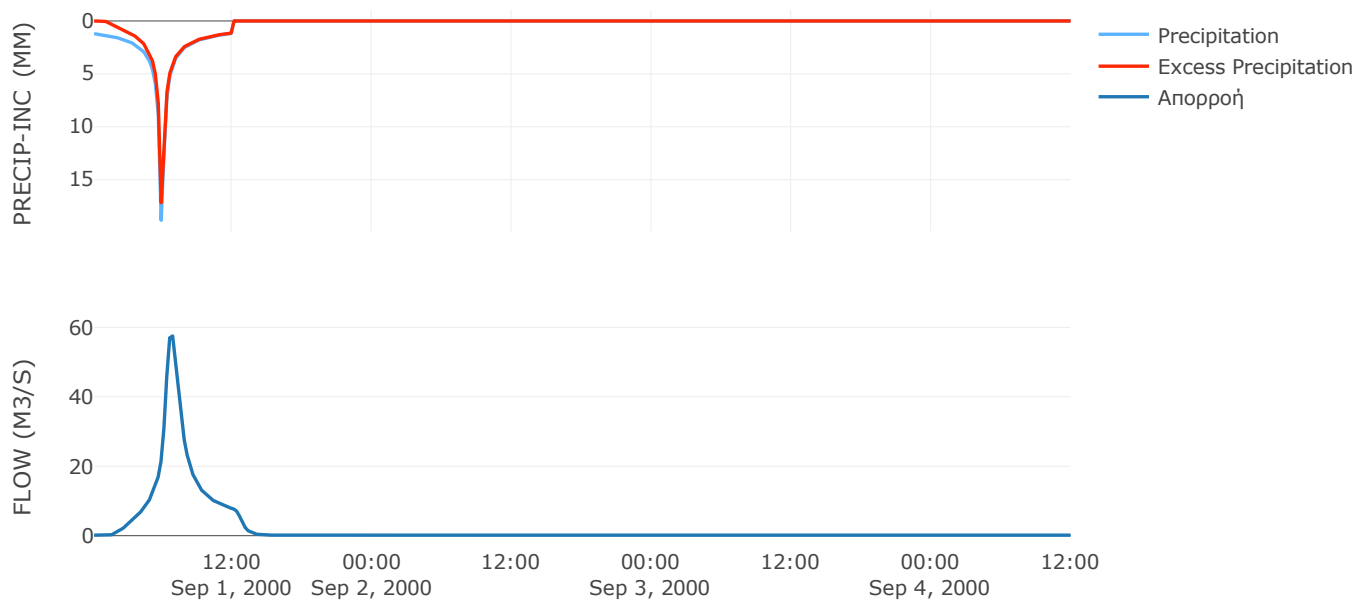
Μέθοδος Μετασχηματισμού: SCS

Χρόνος Υστέρησης	38.31
------------------	-------

Αποτελέσματα:
EL0421FR003007

Παροχή αιχμής (M3/S)	57.53
Χρονική στιγμή αιχμής	01Sep2000, 06:45
Όγκος (MM)	124.36
Όγκος βροχόπτωσης (M3)	7.69E5
Όγκος απωλειών (M3)	1.46E5
Ενεργός Όγκος (M3)	6.22E5
Όγκος άμεσης απορροής (M3)	6.22E5
Όγκος βασικής απορροής (M3)	45471.89

Βροχόπτωση και Απορροή



Υπολεκάνη: EL0421FR003008

Έκταση (KM2) : 1.34

Κατάντη : J8

Μέθοδος Απωλειών: SCS

Ποσοστό αδιαπέρατης επιφάνειας	0
Αριθμός Καμπύλης Απορροής-CN	91.49
Αρχικές Απώλειες	4.72

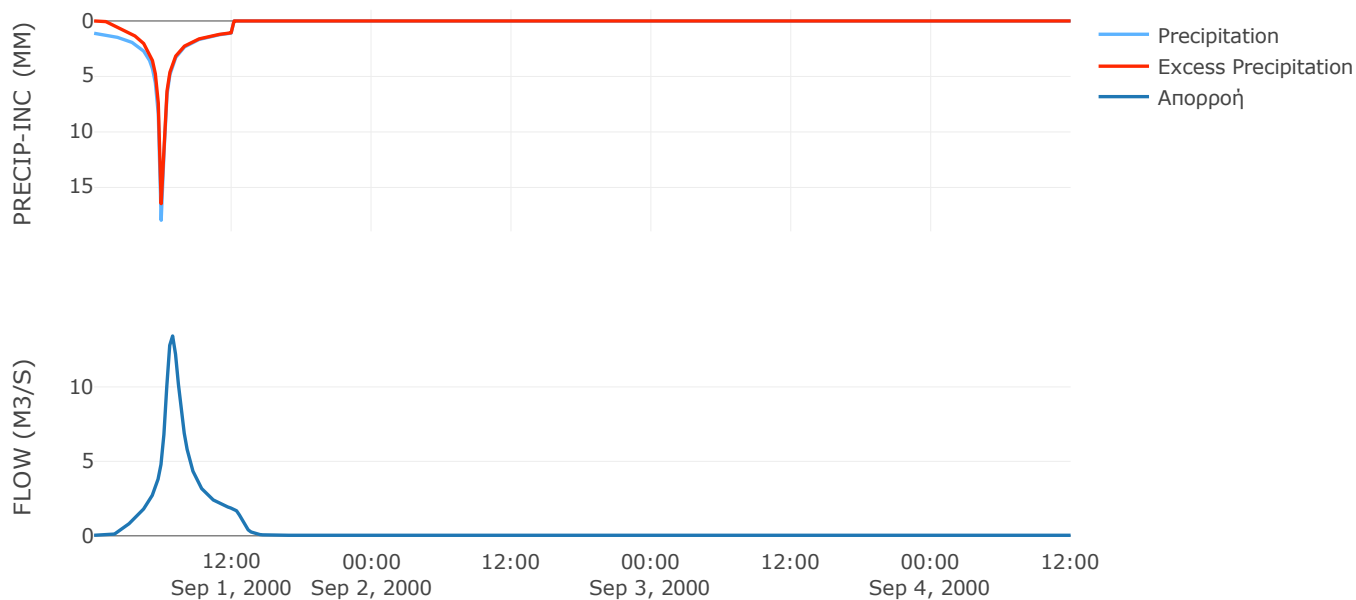
Μέθοδος Μετασχηματισμού: SCS

Χρόνος Υστέρησης	41.81
------------------	-------

Αποτελέσματα:
EL0421FR003008

Παροχή αιχμής (M3/S)	13.42
Χρονική στιγμή αιχμής	01Sep2000, 06:45
Όγκος (MM)	118.18
Όγκος βροχόπτωσης (M3)	1.8E5
Όγκος απωλειών (M3)	33115.6
Ενεργός Όγκος (M3)	1.47E5
Όγκος άμεσης απορροής (M3)	1.47E5
Όγκος βασικής απορροής (M3)	11349.98

Βροχόπτωση και Απορροή



Υπολεκάνη: EL0421FR003009

Έκταση (KM2) : 1.01

Κατάντη : J9

Μέθοδος Απωλειών: SCS

Ποσοστό αδιαπέρατης επιφάνειας	0
Αριθμός Καμπύλης Απορροής-CN	91.29
Αρχικές Απώλειες	4.85

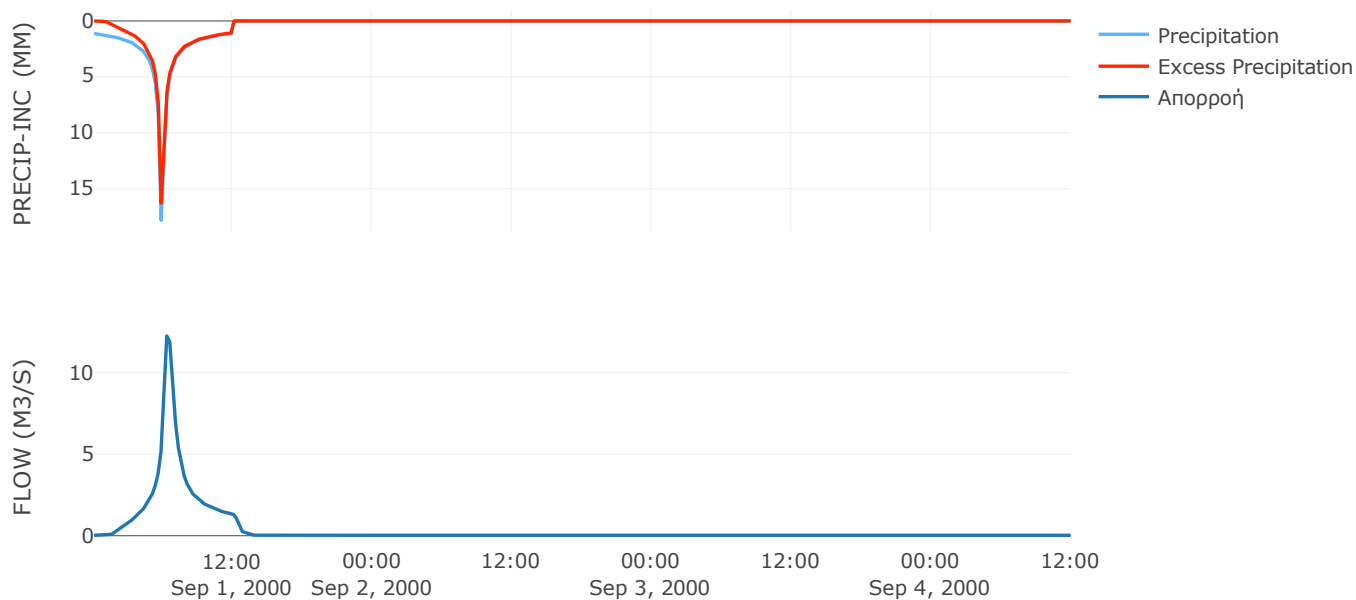
Μέθοδος Μετασχηματισμού: SCS

Χρόνος Υστέρησης	22.14
------------------	-------

Αποτελέσματα:
EL0421FR003009

Παροχή αιχμής (M3/S)	12.23
Χρονική στιγμή αιχμής	01Sep2000, 06:15
Όγκος (MM)	118.03
Όγκος βροχόπτωσης (M3)	1.37E5
Όγκος απωλειών (M3)	25616.29
Ενεργός Όγκος (M3)	1.11E5
Όγκος άμεσης απορροής (M3)	1.11E5
Όγκος βασικής απορροής (M3)	8583.93

Βροχόπτωση και Απορροή



Υπολεκάνη: EL0421FR003010

Έκταση (KM2) : 1.43

Κατάντη : J10

Μέθοδος Απωλειών: SCS

Ποσοστό αδιαπέρατης επιφάνειας	0
Αριθμός Καμπύλης Απορροής-CN	91.48
Αρχικές Απώλειες	4.73

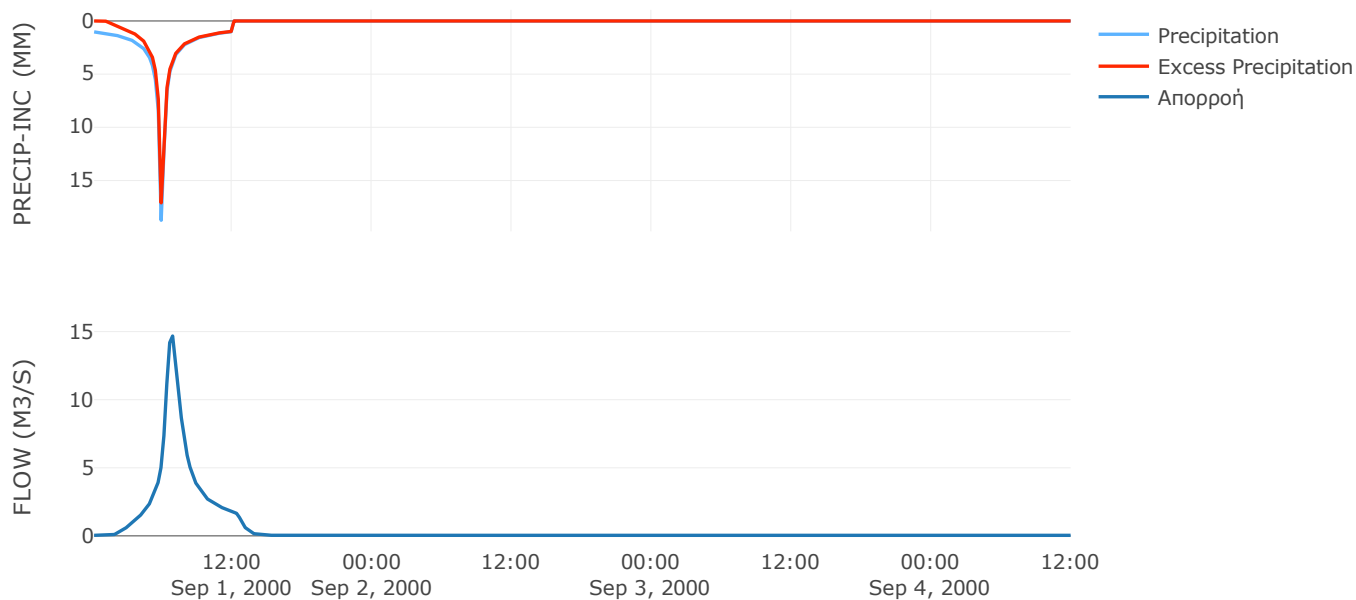
Μέθοδος Μετασχηματισμού: SCS

Χρόνος Υστέρησης	40.43
------------------	-------

Αποτελέσματα:
EL0421FR003010

Παροχή αιχμής (M3/S)	14.68
Χρονική στιγμή αιχμής	01Sep2000, 06:45
Όγκος (MM)	114.82
Όγκος βροχόπτωσης (M3)	1.88E5
Όγκος απωλειών (M3)	35315.51
Ενεργός Όγκος (M3)	1.52E5
Όγκος άμεσης απορροής (M3)	1.52E5
Όγκος βασικής απορροής (M3)	12123.82

Βροχόπτωση και Απορροή



Υπολεκάνη: EL0421FR003011

Έκταση (KM2) : 5.43

Κατάντη : J11

Μέθοδος Απωλειών: SCS

Ποσοστό αδιαπέρατης επιφάνειας	0
Αριθμός Καμπύλης Απορροής-CN	90.88
Αρχικές Απώλειες	5.1

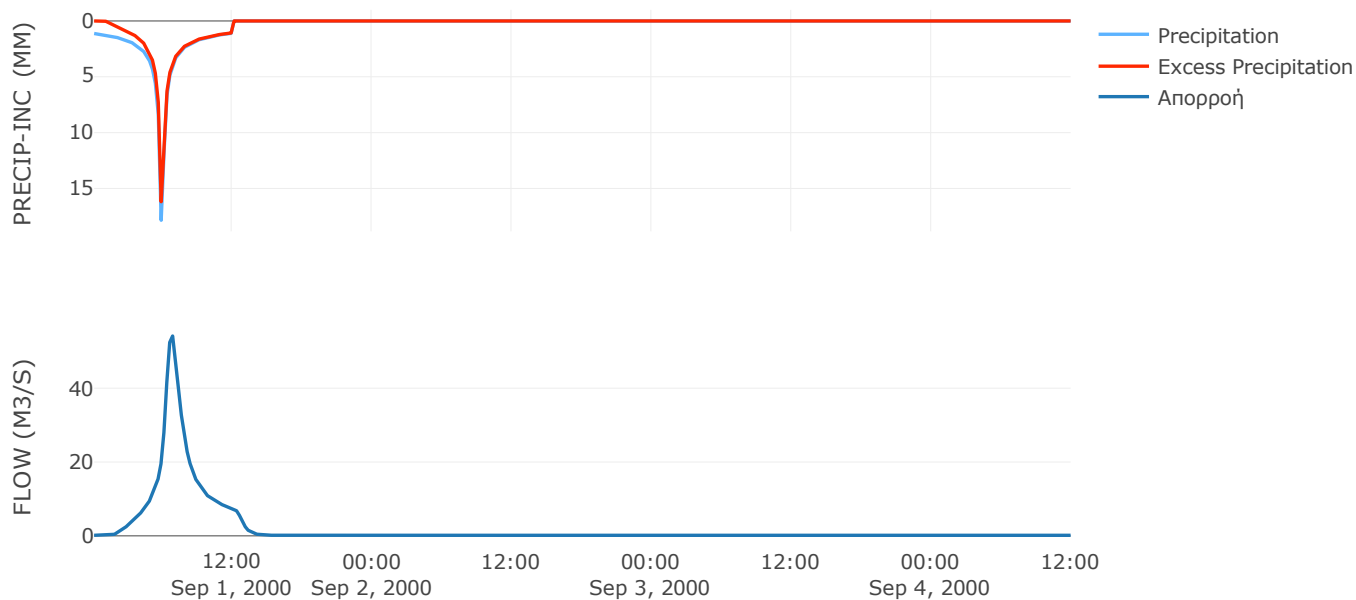
Μέθοδος Μετασχηματισμού: SCS

Χρόνος Υστέρησης	40.27
------------------	-------

Αποτελέσματα:
EL0421FR003011

Παροχή αιχμής (M3/S)	54.15
Χρονική στιγμή αιχμής	01Sep2000, 06:45
Όγκος (MM)	116.9
Όγκος βροχόπτωσης (M3)	7.32E5
Όγκος απωλειών (M3)	1.43E5
Ενεργός Όγκος (M3)	5.88E5
Όγκος άμεσης απορροής (M3)	5.88E5
Όγκος βασικής απορροής (M3)	45952.7

Βροχόπτωση και Απορροή



Υπολεκάνη: EL0421FR003012

Έκταση (KM2) : 4.3

Κατάντη : J12

Μέθοδος Απωλειών: SCS

Ποσοστό αδιαπέρατης επιφάνειας	0
Αριθμός Καμπύλης Απορροής-CN	90.64
Αρχικές Απώλειες	5.24

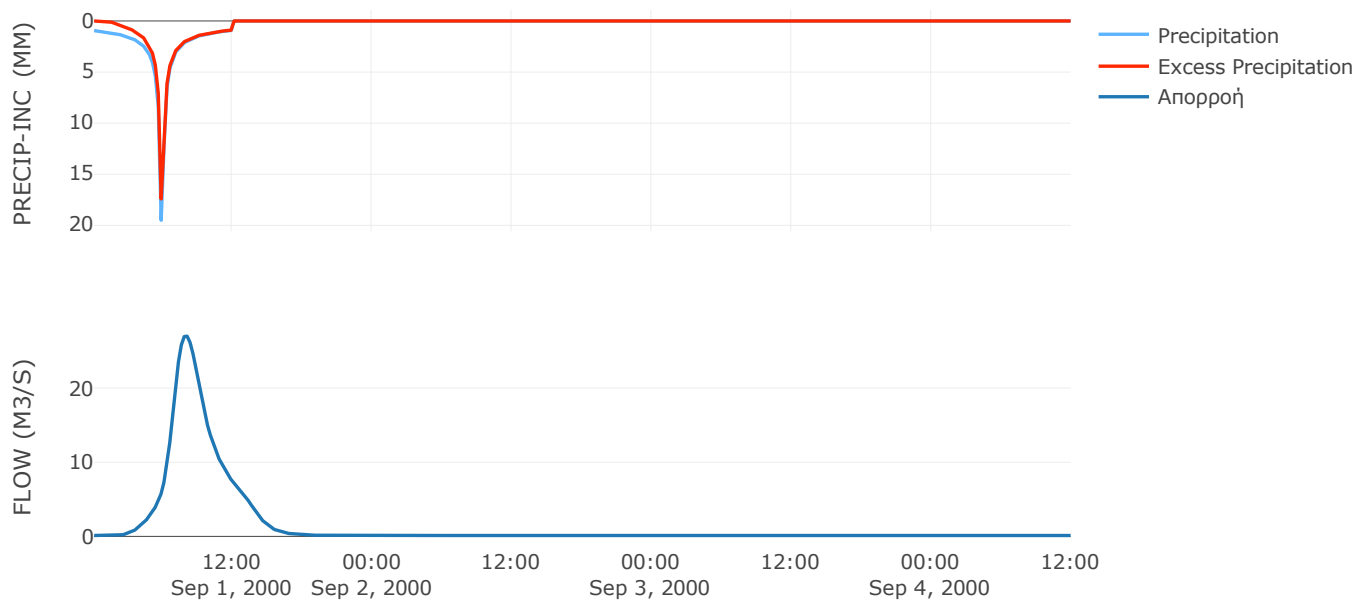
Μέθοδος Μετασχηματισμού: SCS

Χρόνος Υστέρησης	107.92
------------------	--------

Αποτελέσματα:
EL0421FR003012

Παροχή αιχμής (M3/S)	27
Χρονική στιγμή αιχμής	01Sep2000, 08:00
Όγκος (MM)	108.83
Όγκος βροχόπτωσης (M3)	5.46E5
Όγκος απωλειών (M3)	1.15E5
Ενεργός Όγκος (M3)	4.31E5
Όγκος άμεσης απορροής (M3)	4.31E5
Όγκος βασικής απορροής (M3)	36366.62

Βροχόπτωση και Απορροή



Υπολεκάνη: EL0421FR003013

Έκταση (KM2) : 1.25

Κατάντη : J13

Μέθοδος Απωλειών: SCS

Ποσοστό αδιαπέρατης επιφάνειας	0
Αριθμός Καμπύλης Απορροής-CN	91.19
Αρχικές Απώλειες	4.91

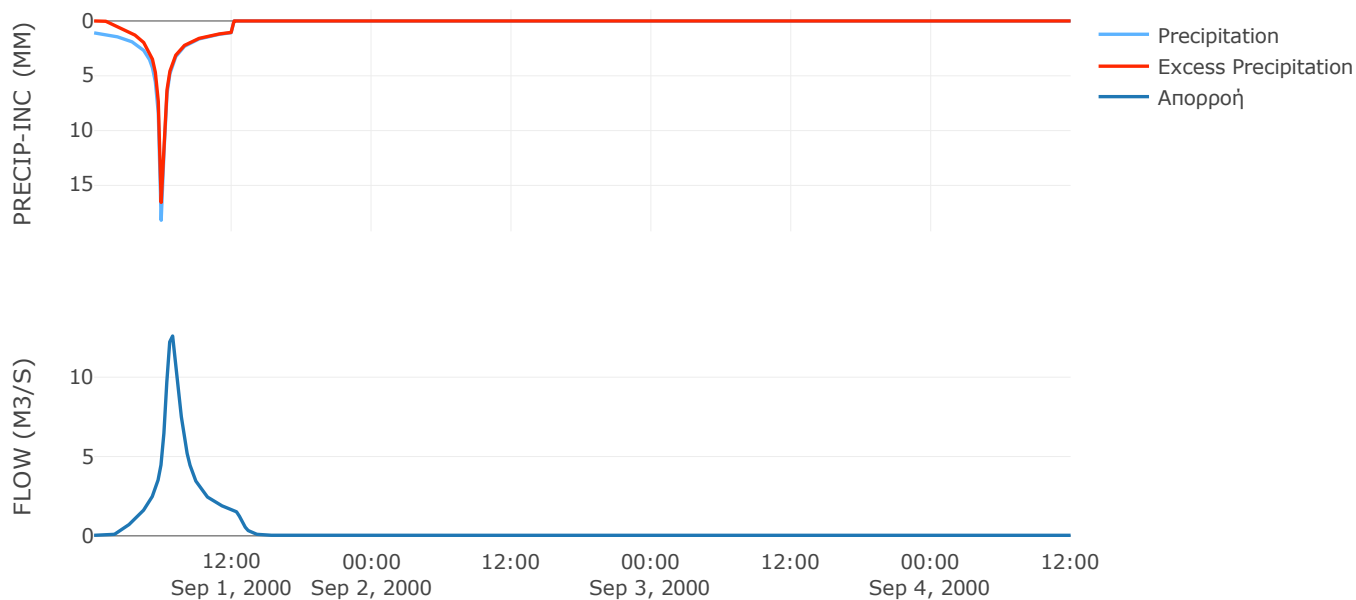
Μέθοδος Μετασχηματισμού: SCS

Χρόνος Υστέρησης	40.09
------------------	-------

Αποτελέσματα:
EL0421FR003013

Παροχή αιχμής (M3/S)	12.59
Χρονική στιγμή αιχμής	01Sep2000, 06:45
Όγκος (MM)	116.45
Όγκος βροχόπτωσης (M3)	1.66E5
Όγκος απωλειών (M3)	31793.65
Ενεργός Όγκος (M3)	1.34E5
Όγκος άμεσης απορροής (M3)	1.34E5
Όγκος βασικής απορροής (M3)	10544.69

Βροχόπτωση και Απορροή



Υπολεκάνη: EL0421FR003014

Έκταση (KM2) : 2.74

Κατάντη : J14

Μέθοδος Απωλειών: SCS

Ποσοστό αδιαπέρατης επιφάνειας	0
Αριθμός Καμπύλης Απορροής-CN	89.63
Αρχικές Απώλειες	5.88

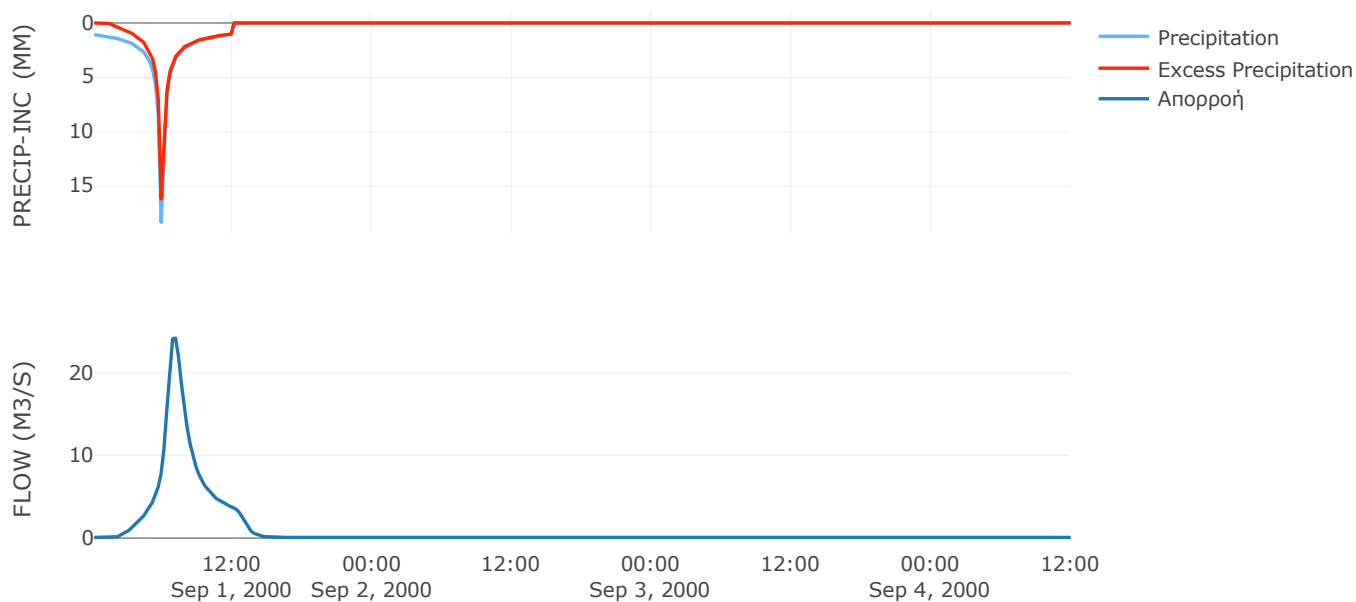
Μέθοδος Μετασχηματισμού: SCS

Χρόνος Υστέρησης	51.62
------------------	-------

Αποτελέσματα:
EL0421FR003014

Παροχή αιχμής (M3/S)	24.17
Χρονική στιγμή αιχμής	01Sep2000, 07:00
Όγκος (MM)	111.61
Όγκος βροχόπτωσης (M3)	3.65E5
Όγκος απωλειών (M3)	81613.56
Ενεργός Όγκος (M3)	2.83E5
Όγκος άμεσης απορροής (M3)	2.83E5
Όγκος βασικής απορροής (M3)	23234.6

Βροχόπτωση και Απορροή



Υπολεκάνη: EL0421FR003015

Έκταση (KM2) : 12.69

Κατάντη : J15

Μέθοδος Απωλειών: SCS

Ποσοστό αδιαπέρατης επιφάνειας	0
Αριθμός Καμπύλης Απορροής-CN	90.41
Αρχικές Απώλειες	5.39

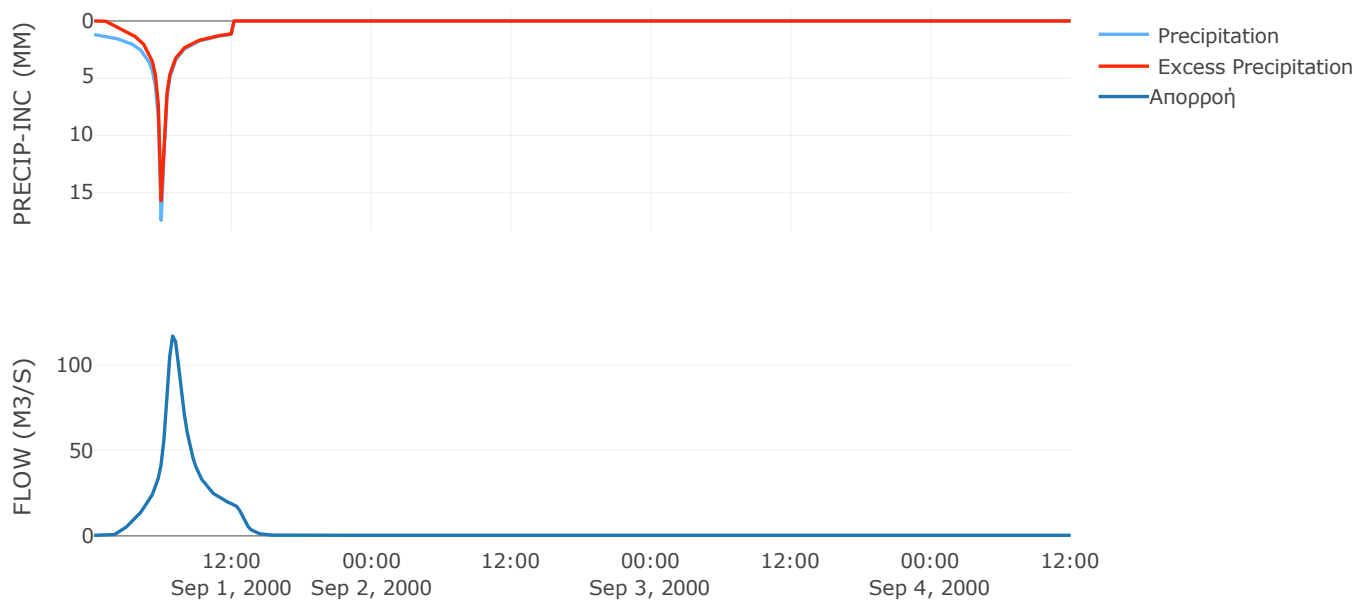
Μέθοδος Μετασχηματισμού: SCS

Χρόνος Υστέρησης	48.16
------------------	-------

Αποτελέσματα:
EL0421FR003015

Παροχή αιχμής (M3/S)	116.94
Χρονική στιγμή αιχμής	01Sep2000, 06:45
Όγκος (MM)	118.23
Όγκος βροχόπτωσης (M3)	1.74E6
Όγκος απωλειών (M3)	3.52E5
Ενεργός Όγκος (M3)	1.39E6
Όγκος άμεσης απορροής (M3)	1.39E6
Όγκος βασικής απορροής (M3)	1.07E5

Βροχόπτωση και Απορροή



Υπολεκάνη: EL0421FR003016

Έκταση (KM2) : 1.7

Κατάντη : J16

Μέθοδος Απωλειών: SCS

Ποσοστό αδιαπέρατης επιφάνειας	0
Αριθμός Καμπύλης Απορροής-CN	90.35
Αρχικές Απώλειες	5.42

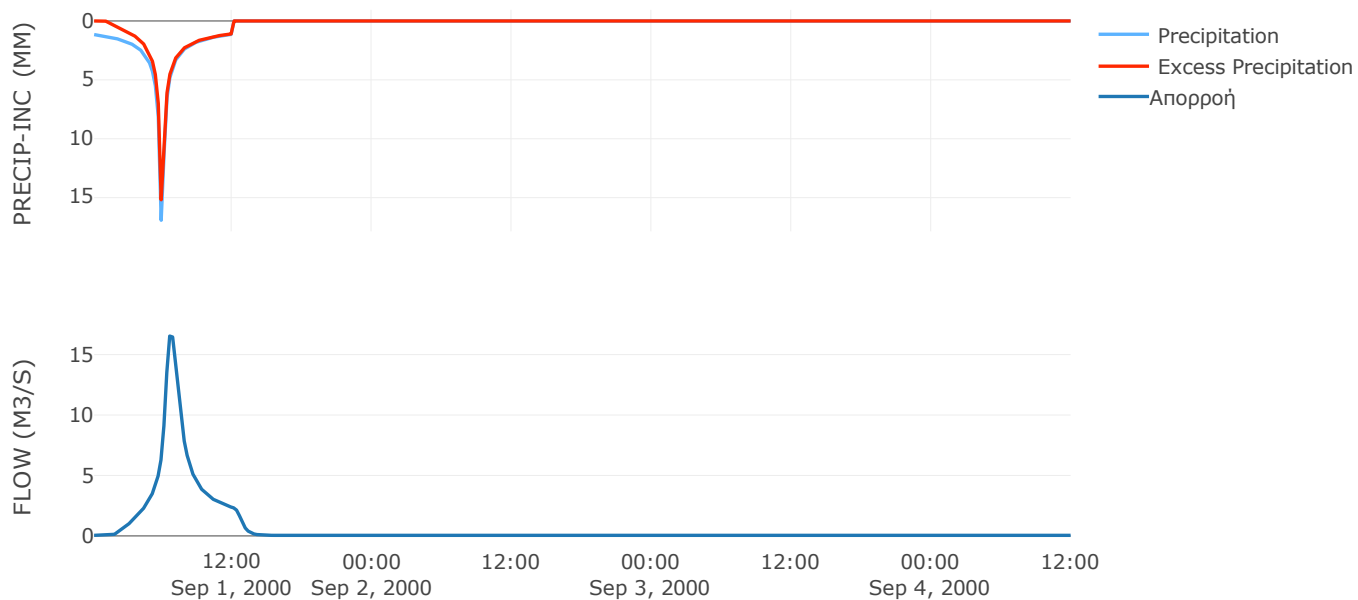
Μέθοδος Μετασχηματισμού: SCS

Χρόνος Υστέρησης	36.92
------------------	-------

Αποτελέσματα:
EL0421FR003016

Παροχή αιχμής (M3/S)	16.53
Χρονική στιγμή αιχμής	01Sep2000, 06:30
Όγκος (MM)	114.59
Όγκος βροχόπτωσης (M3)	2.28E5
Όγκος απωλειών (M3)	47297.99
Ενεργός Όγκος (M3)	1.8E5
Όγκος άμεσης απορροής (M3)	1.8E5
Όγκος βασικής απορροής (M3)	14396.66

Βροχόπτωση και Απορροή



Υπολεκάνη: EL0421FR003017

Έκταση (KM2) : 1.9

Κατάντη : J17

Μέθοδος Απωλειών: SCS

Ποσοστό αδιαπέρατης επιφάνειας	0
Αριθμός Καμπύλης Απορροής-CN	90.69
Αρχικές Απώλειες	5.22

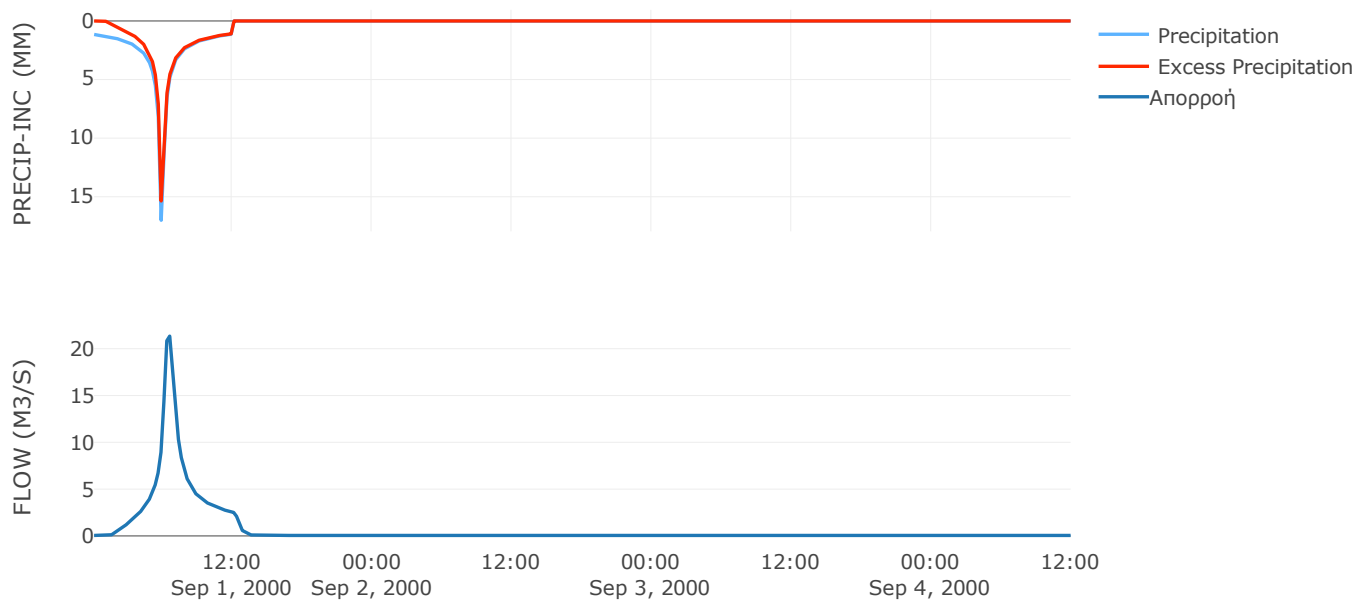
Μέθοδος Μετασχηματισμού: SCS

Χρόνος Υστέρησης	24.17
------------------	-------

Αποτελέσματα:
EL0421FR003017

Παροχή αιχμής (M3/S)	21.34
Χρονική στιγμή αιχμής	01Sep2000, 06:30
Όγκος (MM)	115.6
Όγκος βροχόπτωσης (M3)	2.55E5
Όγκος απωλειών (M3)	51193.87
Ενεργός Όγκος (M3)	2.04E5
Όγκος άμεσης απορροής (M3)	2.04E5
Όγκος βασικής απορροής (M3)	16110.06

Βροχόπτωση και Απορροή



7.2 Δεδομένα και Υδρογραφήματα Σχεδιασμού Κλάδων Υδρογραφικού Δικτύου

Κλάδος: R21

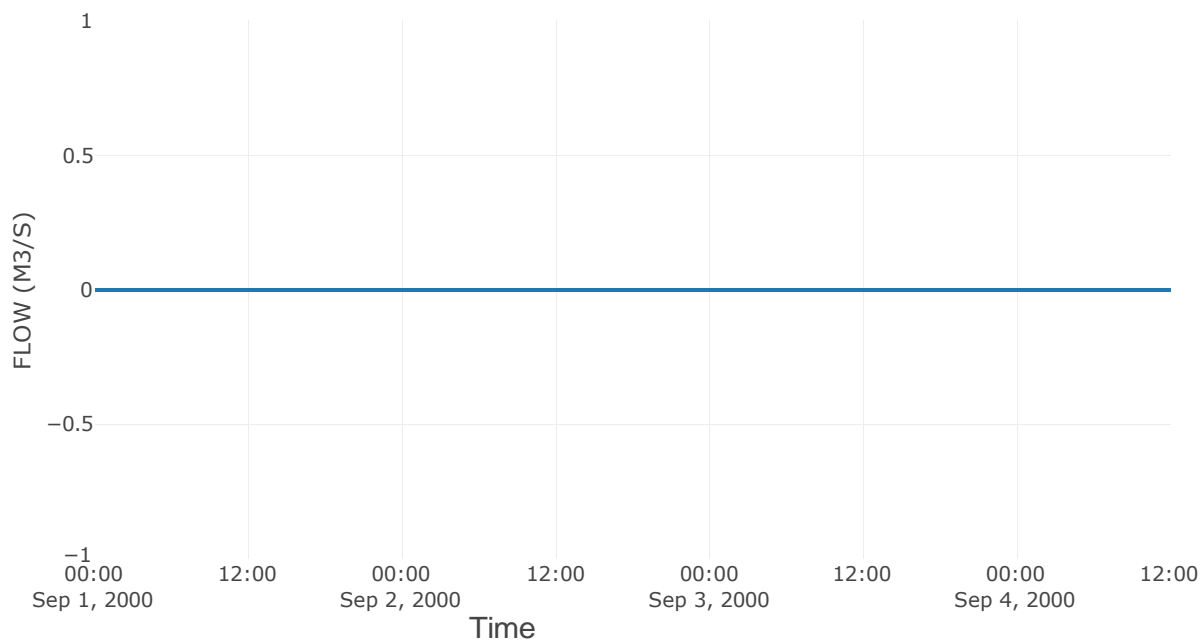
Κατάντη : J1

Μέθοδος Διόδευσης	Χρόνος
Αρχική Μεταβλητή	Combined Inflow
Χρόνος Υστέρησης	11.83

Αποτελέσματα: R21

Παροχή Αιχμής (M3/S)	0
Χρονική στιγμή αιχμής	31Aug2000, 24:00
Εισροή Αιχμής (M3/S)	0
Όγκος Εισροής (M3)	0

Απορροή



Κλάδος: R43

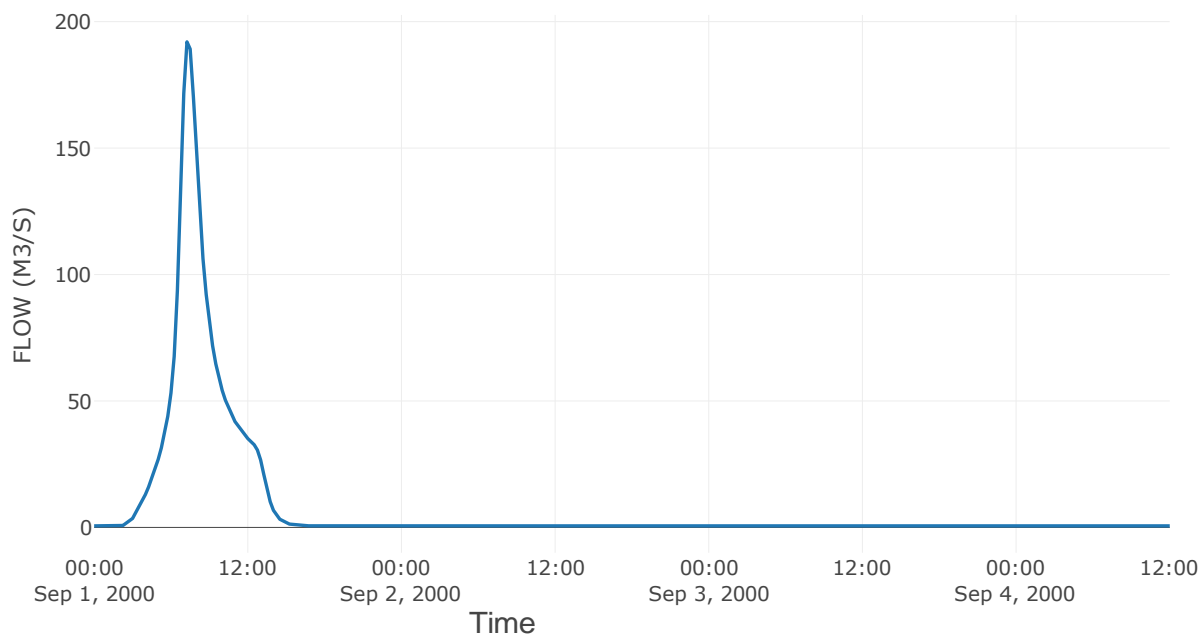
Κατάντη : J3

Μέθοδος Διόδευσης	Χρόνος
Αρχική Μεταβλητή	Combined Inflow
Χρόνος Υστέρησης	28.9

Αποτελέσματα: R43

Παροχή Αιχμής (M3/S)	192
Χρονική στιγμή αιχμής	01Sep2000, 07:15
Όγκος (MM)	116.25
Παροχή Αιχμής Εισόδου (M3/S)	192.06
Όγκος Εισροής (M3)	2.52E6

Απορροή



Κλάδος: R65

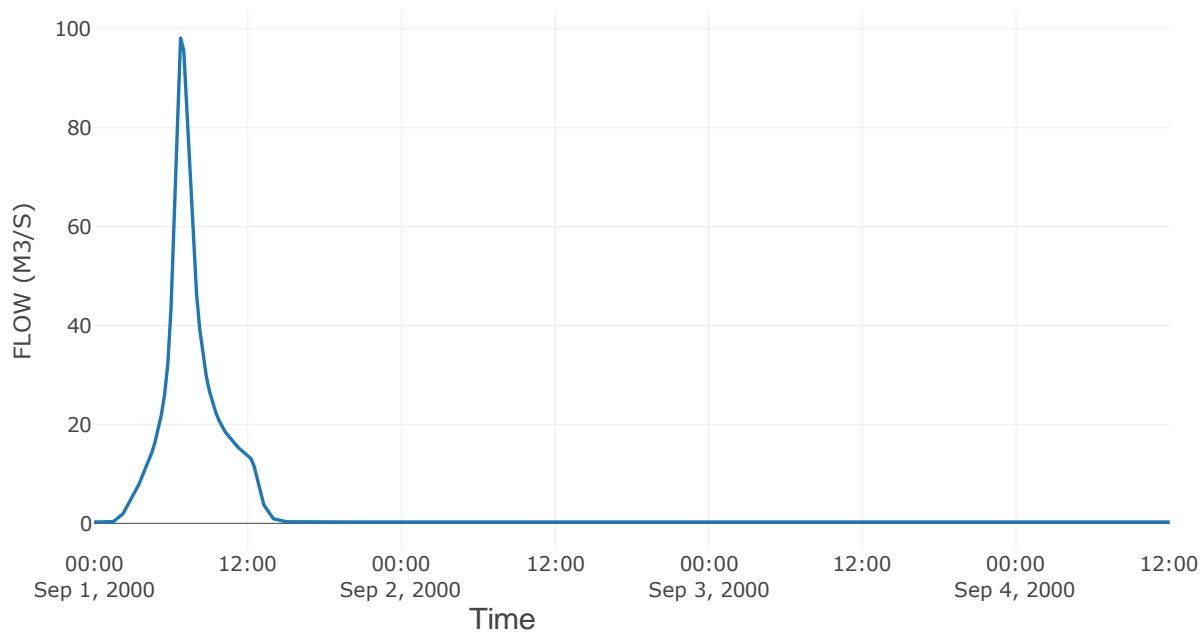
Κατάντη : J5

Μέθοδος Διόδευσης	Χρόνος
Αρχική Μεταβλητή	Combined Inflow
Χρόνος Υστέρησης	6.39

Αποτελέσματα: R65

Παροχή Αιχμής (M3/S)	98.14
Χρονική στιγμή αιχμής	01Sep2000, 06:45
Όγκος (MM)	121.58
Παροχή Αιχμής Εισόδου (M3/S)	100.76
Όγκος Εισροής (M3)	1.17E6

Απορροή



Κλάδος: R76

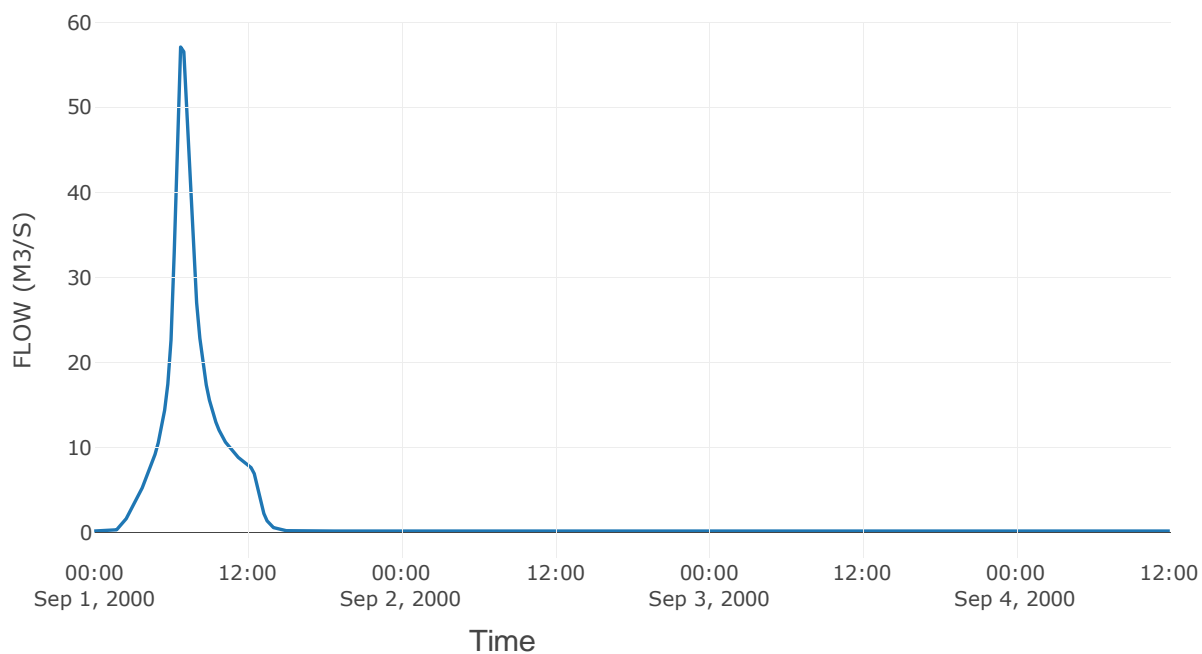
Κατάντη : J6

Μέθοδος Διόδευσης	Χρόνος
Αρχική Μεταβλητή	Combined Inflow
Χρόνος Υστέρησης	13.37

Αποτελέσματα: R76

Παροχή Αιχμής (M3/S)	57.07
Χρονική στιγμή αιχμής	01Sep2000, 06:45
Όγκος (MM)	124.36
Παροχή Αιχμής Εισόδου (M3/S)	57.53
Όγκος Εισροής (M3)	6.68E5

Απορροή



Κλάδος: R98

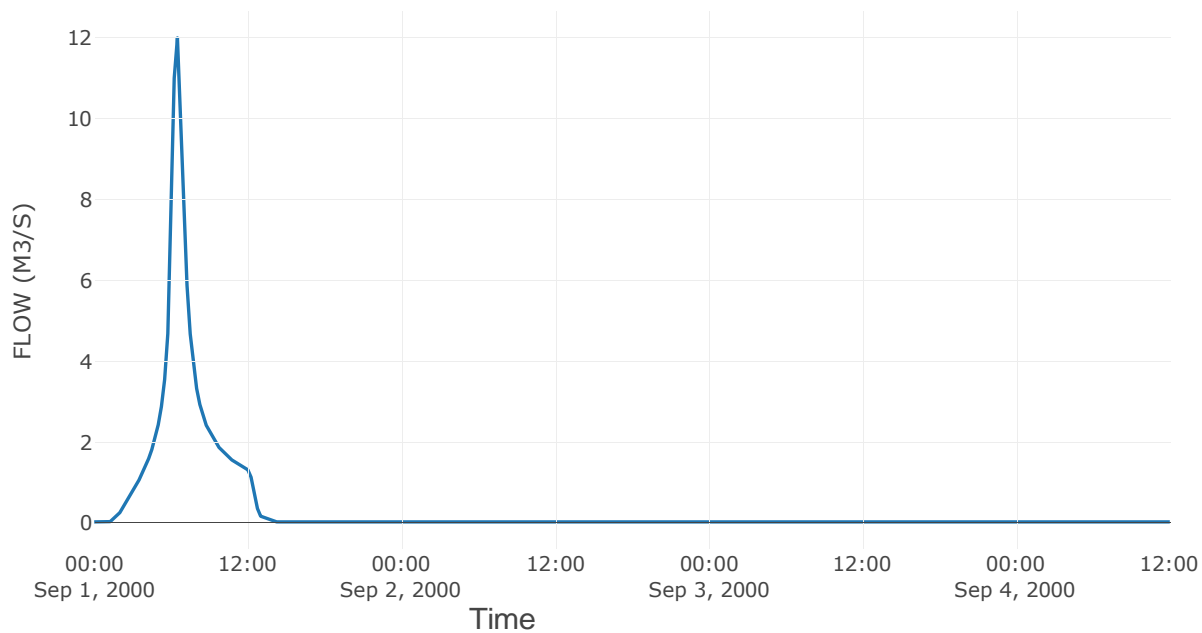
Κατάντη : J8

Μέθοδος Διόδευσης	Χρόνος
Αρχική Μεταβλητή	Combined Inflow
Χρόνος Υστέρησης	5.35

Αποτελέσματα: R98

Παροχή Αιχμής (M3/S)	12
Χρονική στιγμή αιχμής	01Sep2000, 06:30
Όγκος (MM)	118.03
Παροχή Αιχμής Εισόδου (M3/S)	12.23
Όγκος Εισροής (M3)	1.2E5

Απορροή



Κλάδος: R1110

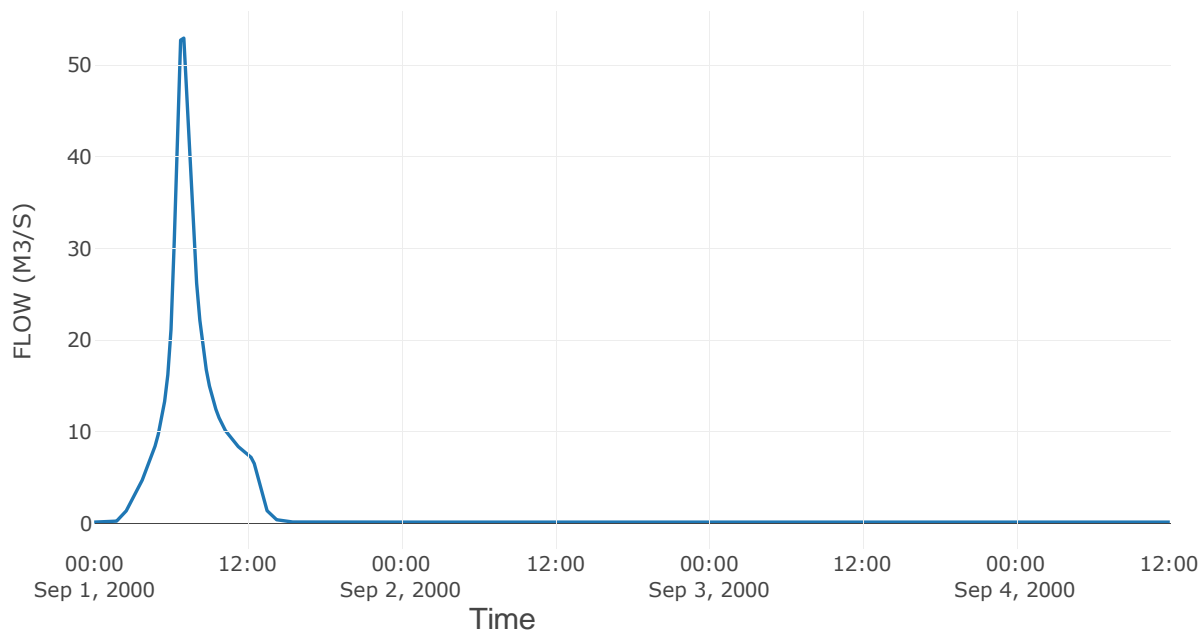
Κατάντη : J10

Μέθοδος Διόδευσης	Χρόνος
Αρχική Μεταβλητή	Combined Inflow
Χρόνος Υστέρησης	12.12

Αποτελέσματα: R1110

Παροχή Αιχμής (M3/S)	52.98
Χρονική στιγμή αιχμής	01Sep2000, 07:00
Όγκος (MM)	116.9
Παροχή Αιχμής Εισόδου (M3/S)	54.15
Όγκος Εισροής (M3)	6.34E5

Απορροή



Κλάδος: R1312

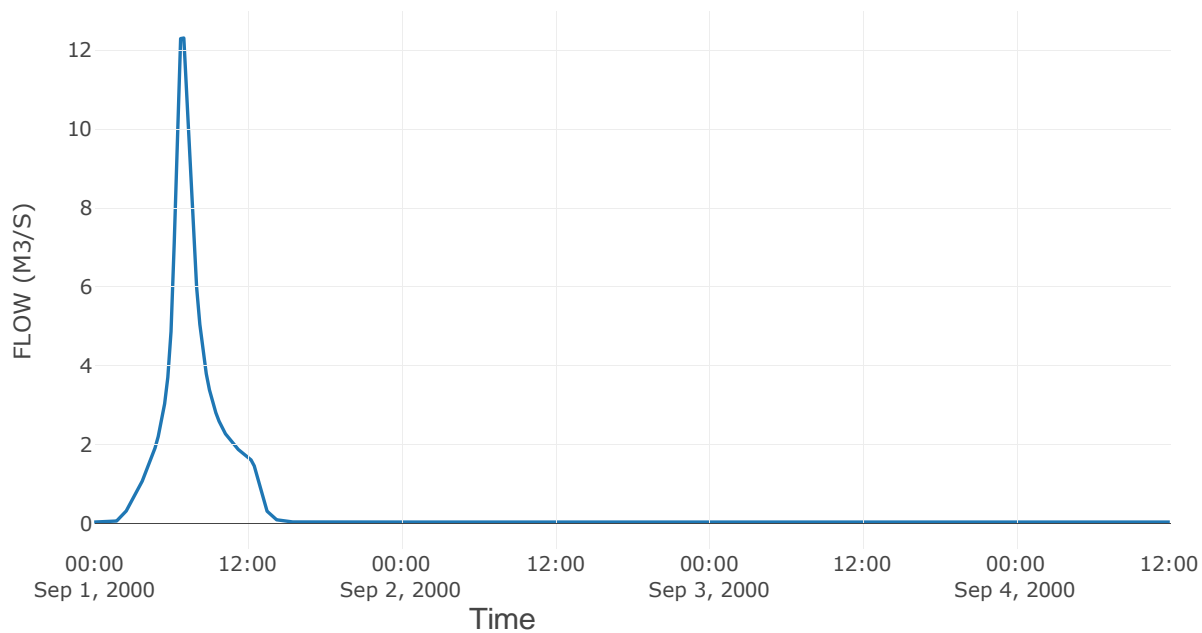
Κατάντη : J12

Μέθοδος Διόδευσης	Χρόνος
Αρχική Μεταβλητή	Combined Inflow
Χρόνος Υστέρησης	12.31

Αποτελέσματα: R1312

Παροχή Αιχμής (M3/S)	12.31
Χρονική στιγμή αιχμής	01Sep2000, 07:00
Όγκος (MM)	116.45
Παροχή Αιχμής Εισόδου (M3/S)	12.59
Όγκος Εισροής (M3)	1.45E5

Απορροή



Κλάδος: R1514

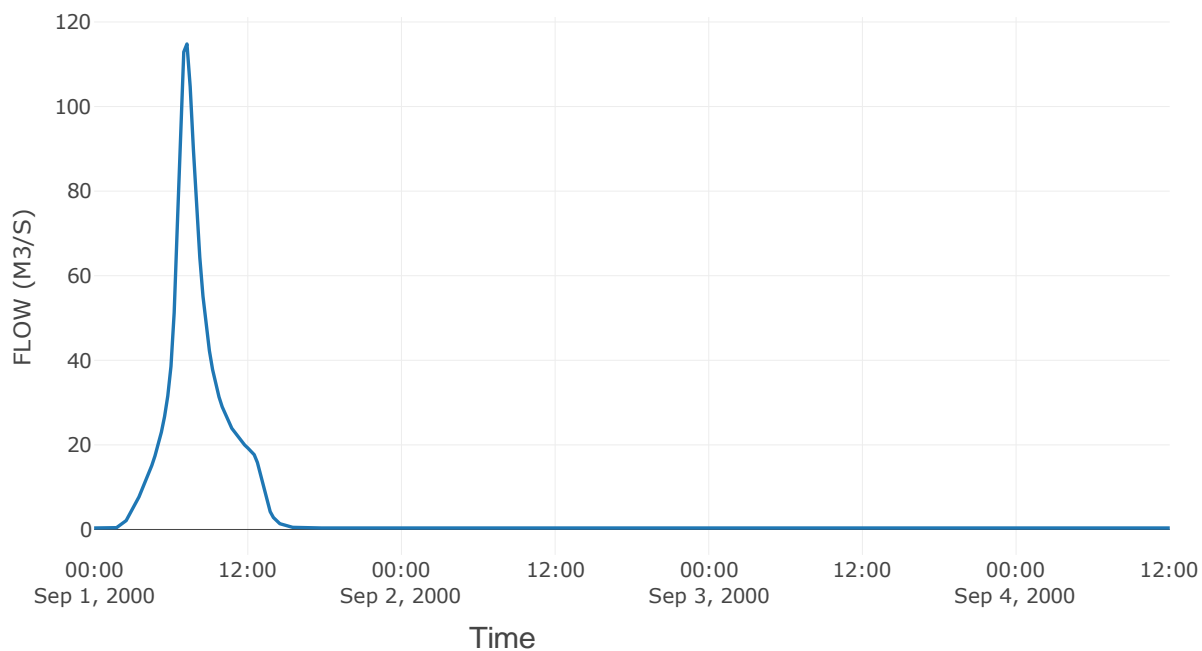
Κατάντη : J14

Μέθοδος Διόδευσης	Χρόνος
Αρχική Μεταβλητή	Combined Inflow
Χρόνος Υστέρησης	20.29

Αποτελέσματα: R1514

Παροχή Αιχμής (M3/S)	114.8
Χρονική στιγμή αιχμής	01Sep2000, 07:15
Όγκος (MM)	118.23
Παροχή Αιχμής Εισόδου (M3/S)	116.94
Όγκος Εισροής (M3)	1.5E6

Απορροή



Κλάδος: R1716

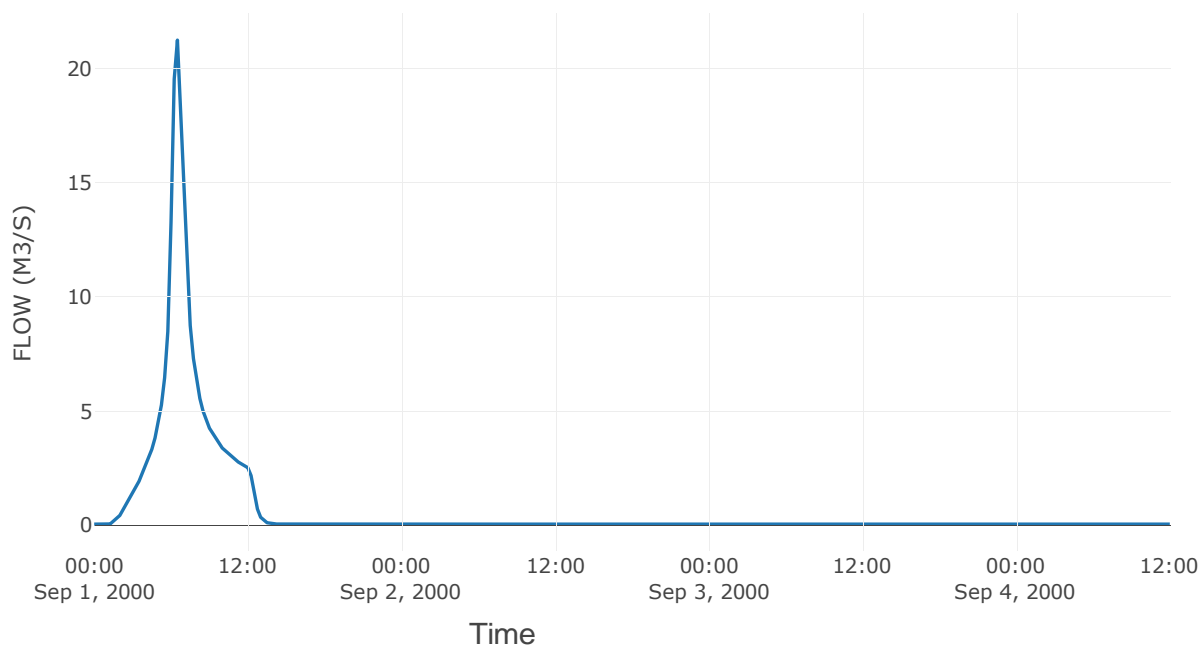
Κατάντη : J16

Μέθοδος Διόδευσης	Χρόνος
Αρχική Μεταβλητή	Combined Inflow
Χρόνος Υστέρησης	3.54

Αποτελέσματα: R1716

Παροχή Αιχμής (M3/S)	21.24
Χρονική στιγμή αιχμής	01Sep2000, 06:30
Όγκος (MM)	115.6
Παροχή Αιχμής Εισόδου (M3/S)	21.34
Όγκος Εισροής (M3)	2.2E5

Απορροή



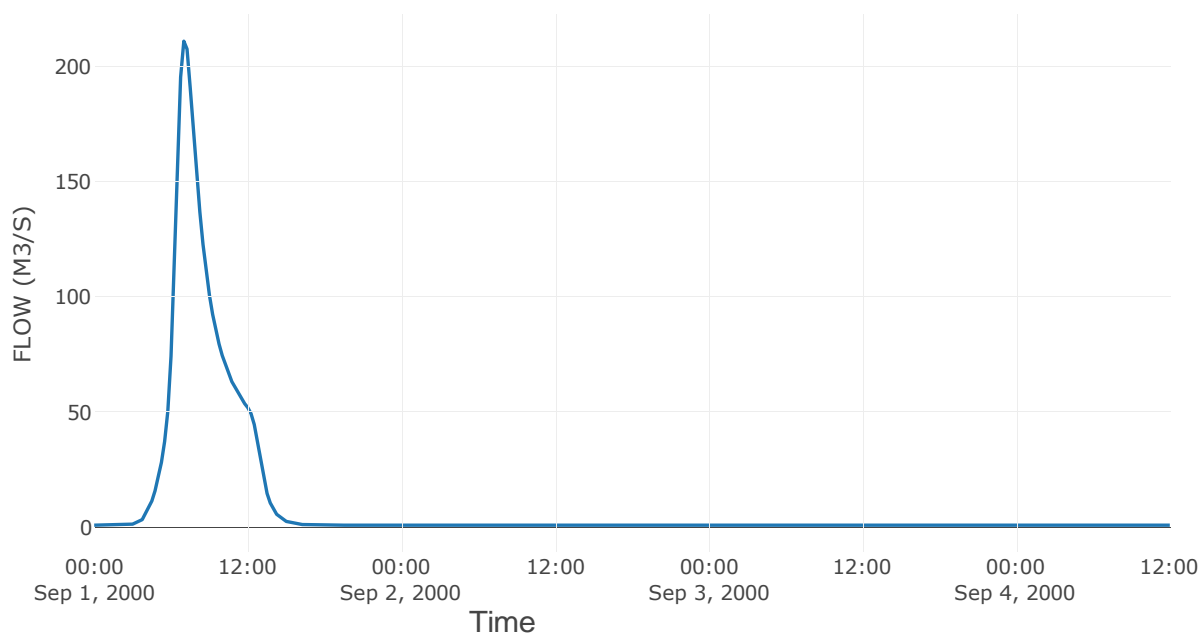
7.3 Δεδομένα και Υδρογραφήματα Σχεδιασμού Κόμβων Υδρογραφικού Δικτύου

Κόμβος εξόδου: J1

Αποτέλεσμα
τα: J1

Παροχή αιχμής (M3/S)	210.9
Χρονική στιγμή αιχμής	01Sep2000, 07:00
Όγκος (MM)	84.16

Απορροή



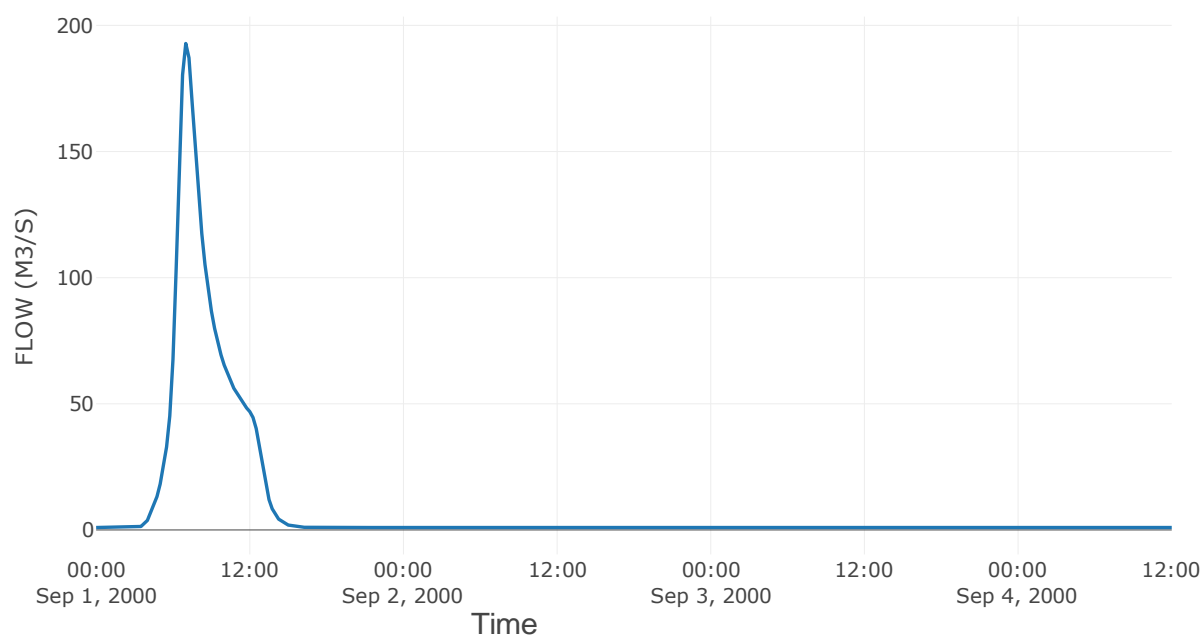
Κόμβος: J2

Κατάντη : J1

Αποτελέσματα: J2

Παροχή Αιχμής (M3/S)	192.82
Χρονική στιγμή αιχμής	01Sep2000, 07:00
Όγκος (MM)	81.11

Απορροή

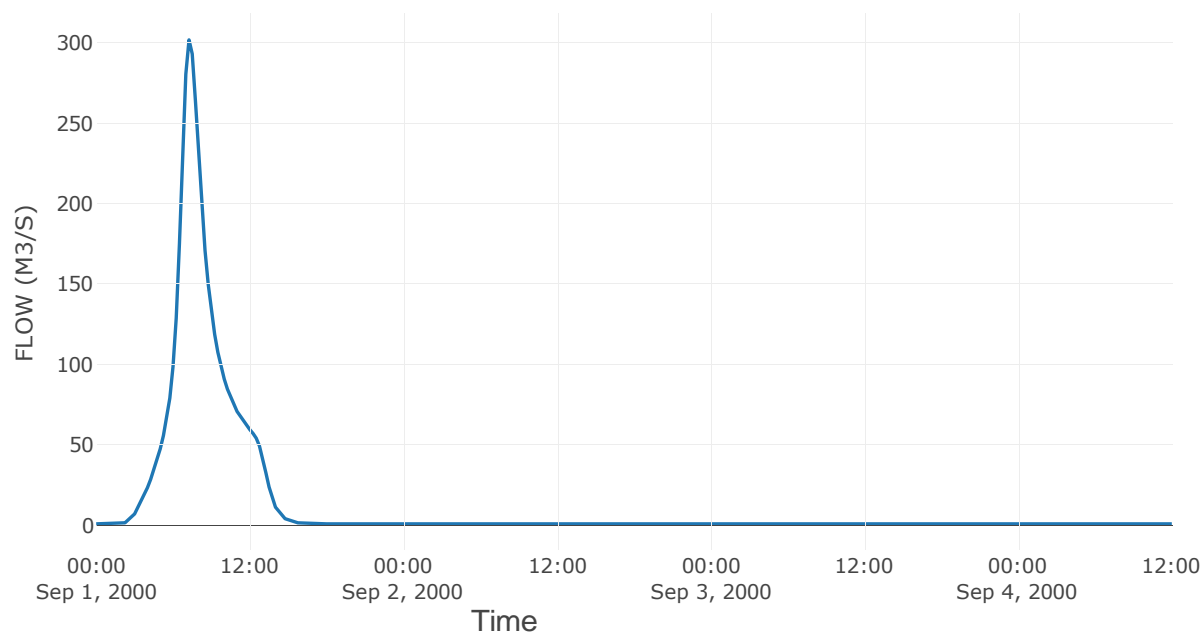


Κόμβος εξόδου: J3

Αποτέλεσμα
τα: J3

Παροχή αιχμής (M3/S)	301.67
Χρονική στιγμή αιχμής	01Sep2000, 07:15
Όγκος (MM)	113.97

Απορροή



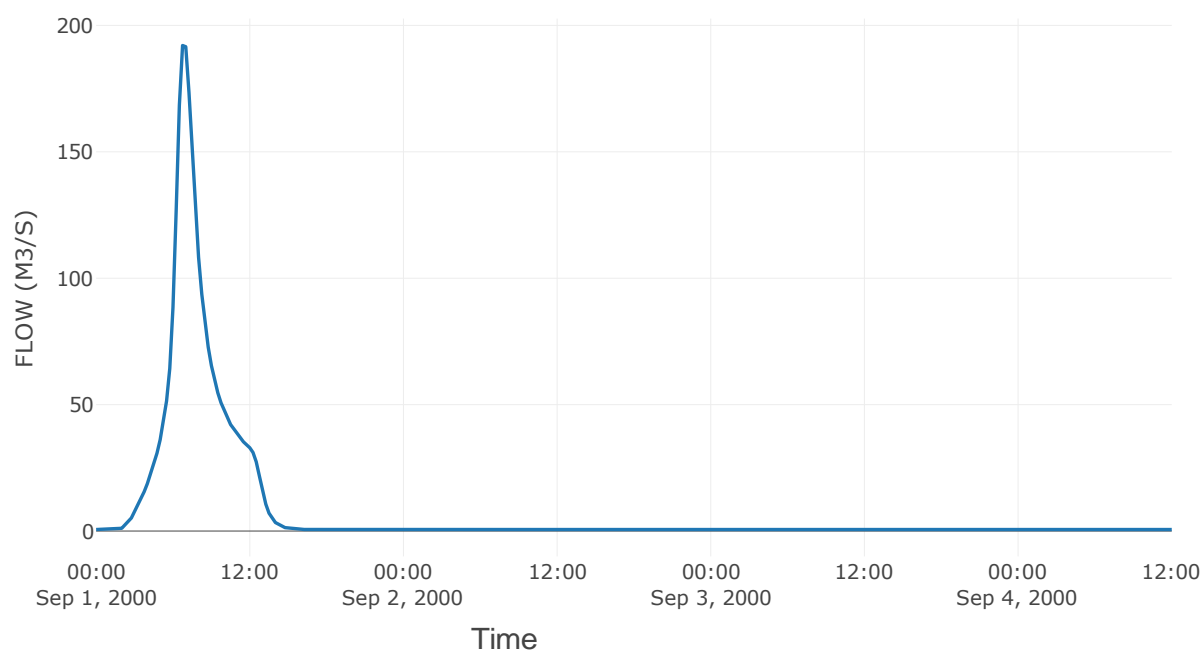
Κόμβος: J4

Κατάντη : R43

Αποτελέσματα: J4

Παροχή Αιχμής (M3/S)	192.06
Χρονική στιγμή αιχμής	01Sep2000, 06:45
Όγκος (MM)	116.25

Απορροή

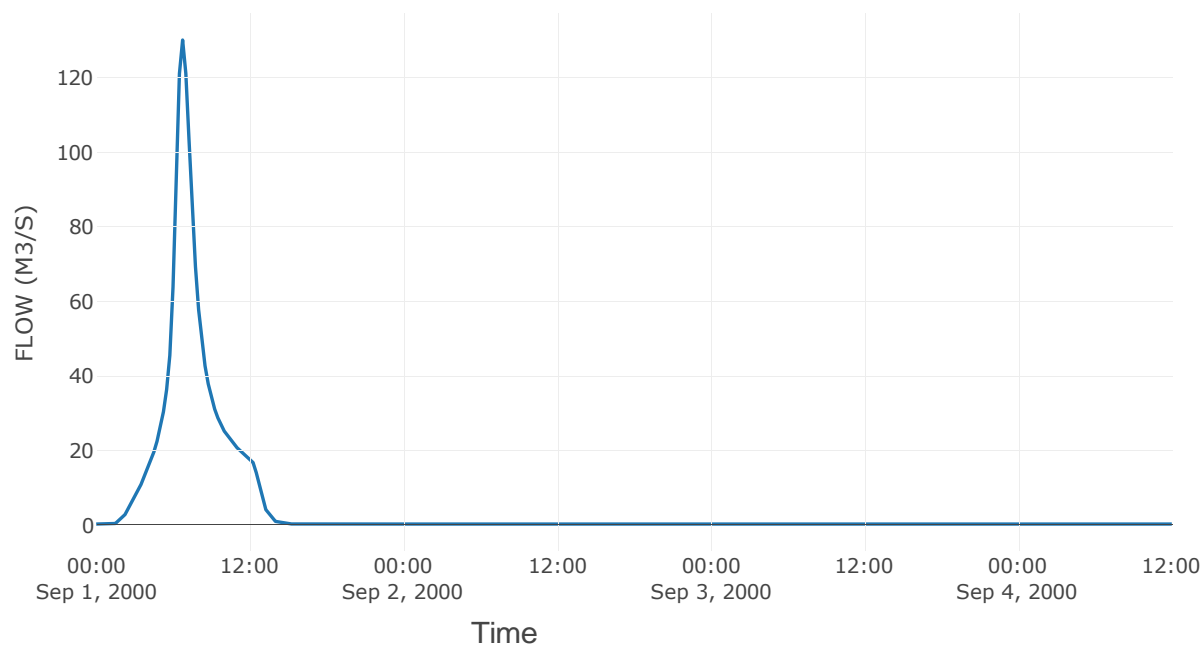


Κόμβος εξόδου: J5

Αποτελέσμα
τα: J5

Παροχή αιχμής (M3/S)	130.13
Χρονική στιγμή αιχμής	01Sep2000, 06:45
Όγκος (MM)	120.72

Απορροή



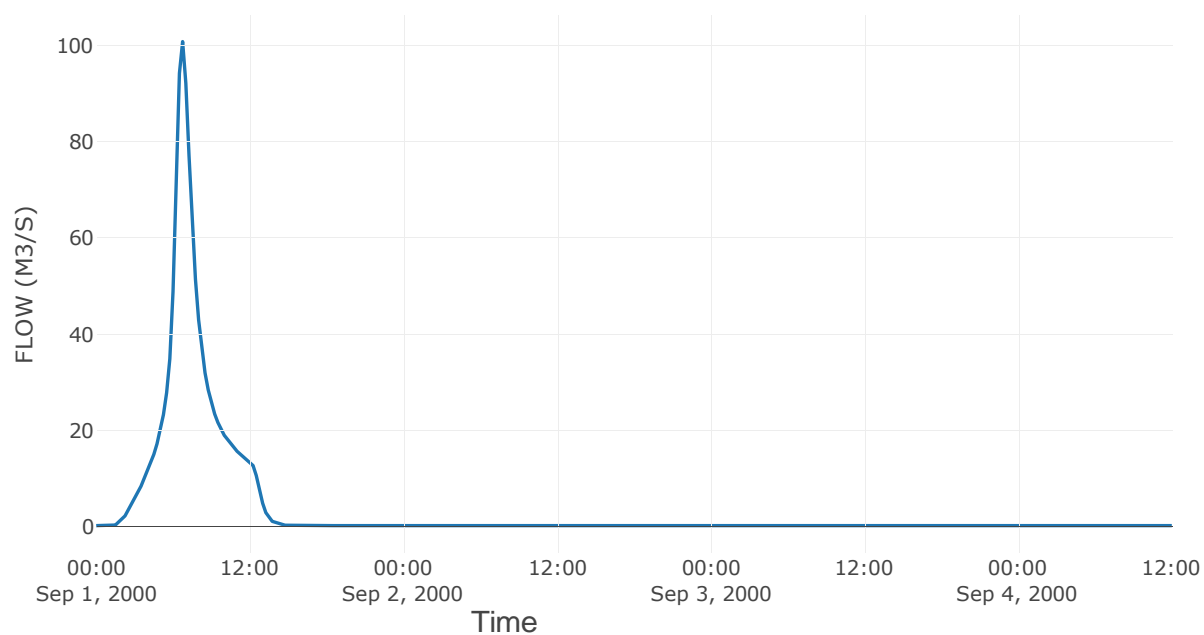
Κόμβος: J6

Κατάντη : R65

Αποτελέσματα: J6

Παροχή Αιχμής (M3/S)	100.76
Χρονική στιγμή αιχμής	01Sep2000, 06:45
Όγκος (MM)	121.58

Απορροή



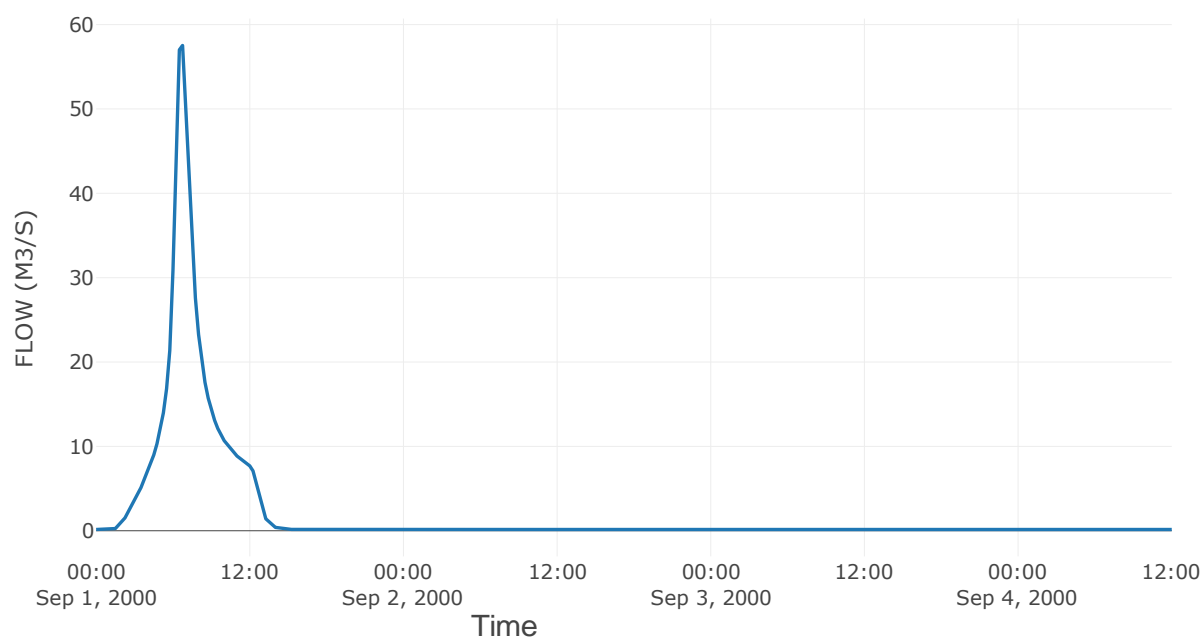
Κόμβος: J7

Κατάντη : R76

Αποτελέσματα: J7

Παροχή Αιχμής (M3/S)	57.53
Χρονική στιγμή αιχμής	01Sep2000, 06:45
Όγκος (MM)	124.36

Απορροή

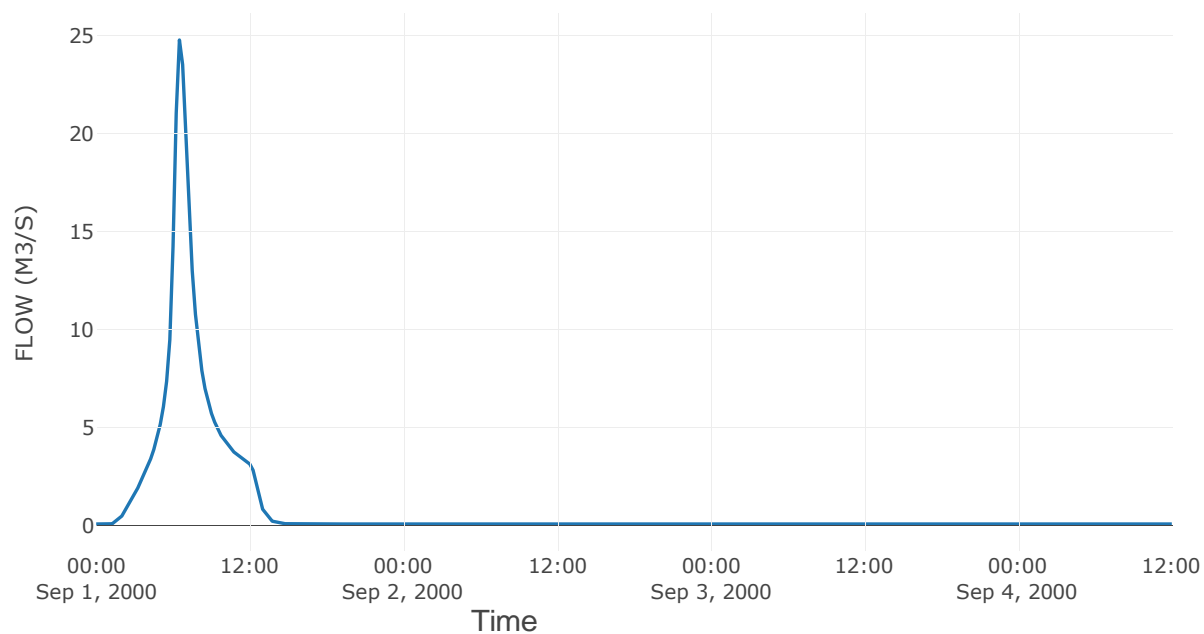


Κόμβος εξόδου: J8

Αποτέλεσμα
τα: J8

Παροχή αιχμής (M3/S)	24.79
Χρονική στιγμή αιχμής	01Sep2000, 06:30
Όγκος (MM)	118.12

Απορροή



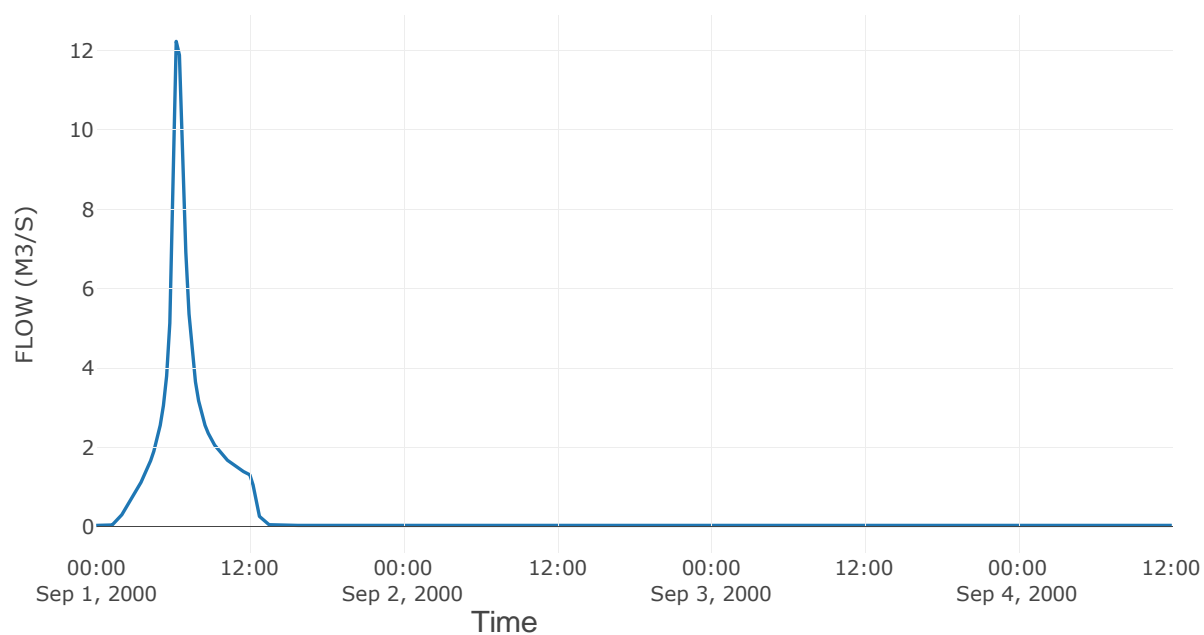
Κόμβος: J9

Κατάντη : R98

Αποτελέσματα: J9

Παροχή Αιχμής (M3/S)	12.23
Χρονική στιγμή αιχμής	01Sep2000, 06:15
Όγκος (MM)	118.03

Απορροή

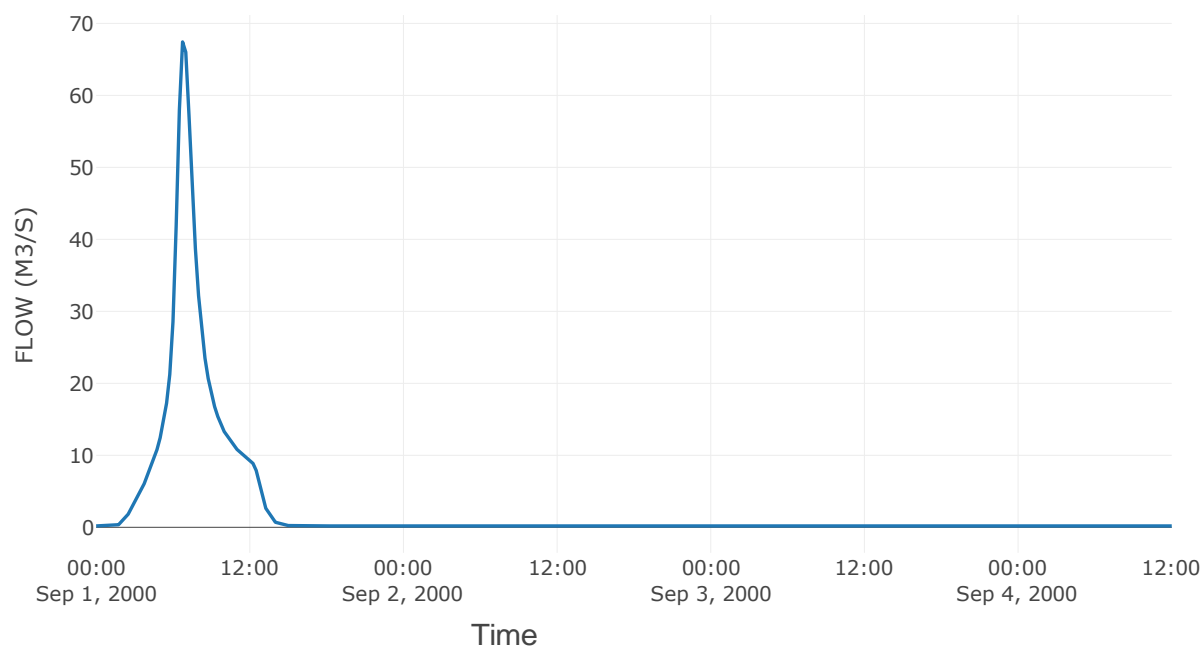


Κόμβος εξόδου: J10

Αποτελέσμα
α: J10

Παροχή αιχμής (M3/S)	67.43
Χρονική στιγμή αιχμής	01Sep2000, 06:45
Όγκος (MM)	116.46

Απορροή



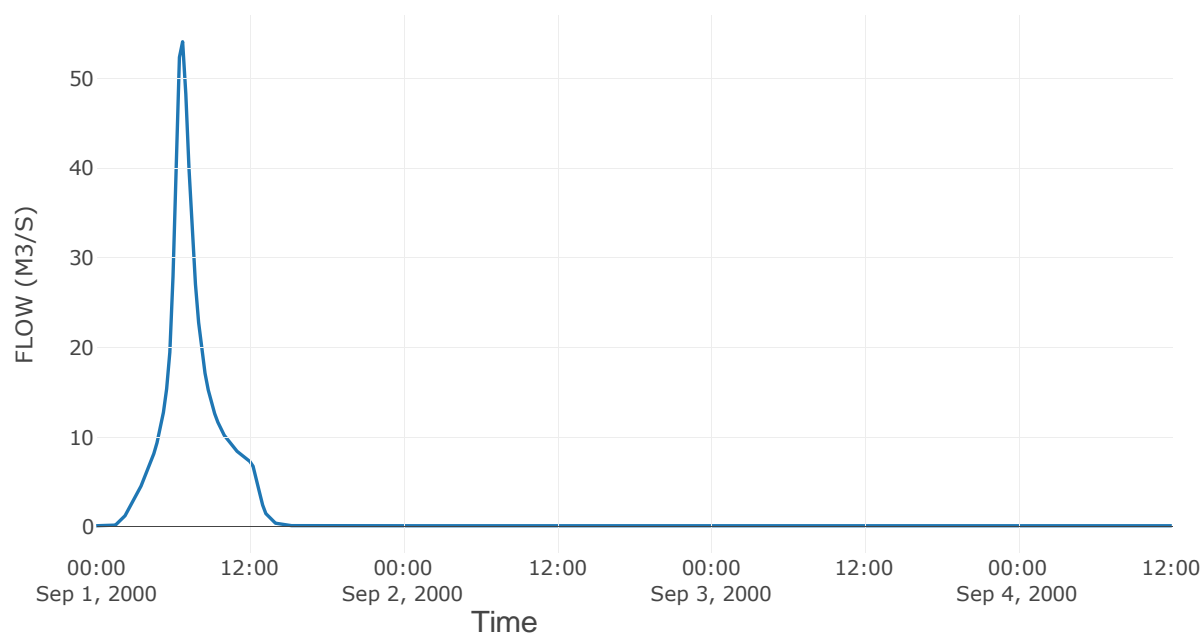
Κόμβος: J11

Κατάντη : R1110

Αποτελέσματα: J11

Παροχή Αιχμής (M3/S)	54.15
Χρονική στιγμή αιχμής	01Sep2000, 06:45
Όγκος (MM)	116.9

Απορροή

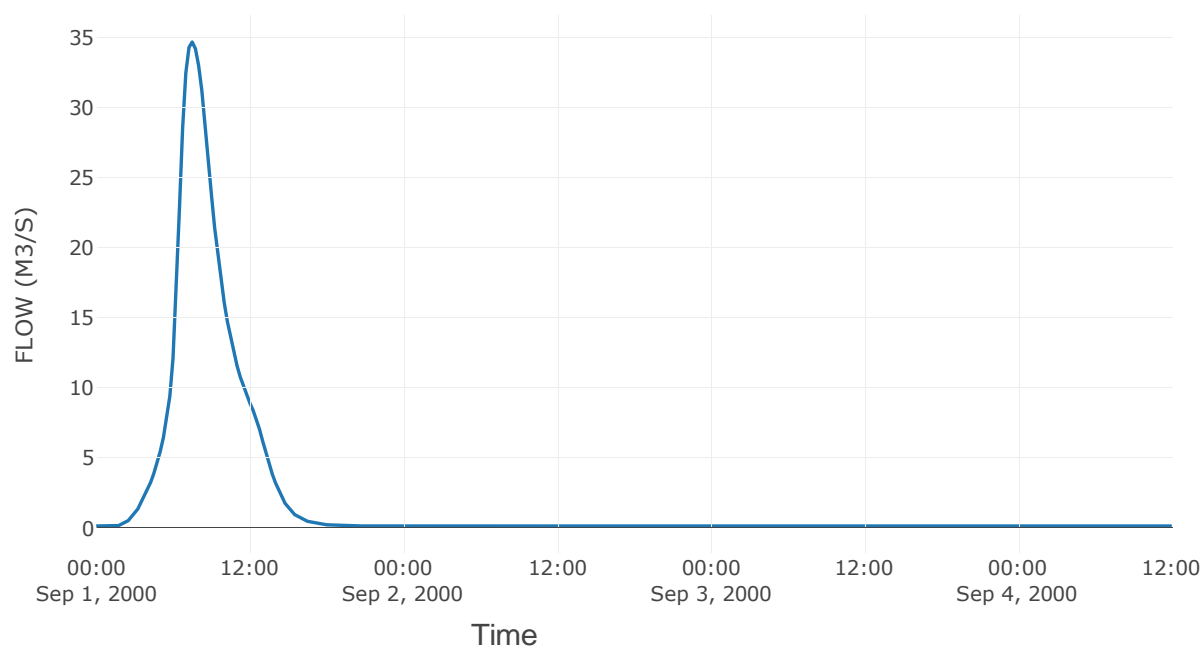


Κόμβος εξόδου: J12

Αποτελέσμα
α: J12

Παροχή αιχμής (M3/S)	34.67
Χρονική στιγμή αιχμής	01Sep2000, 07:30
Όγκος (MM)	110.54

Απορροή



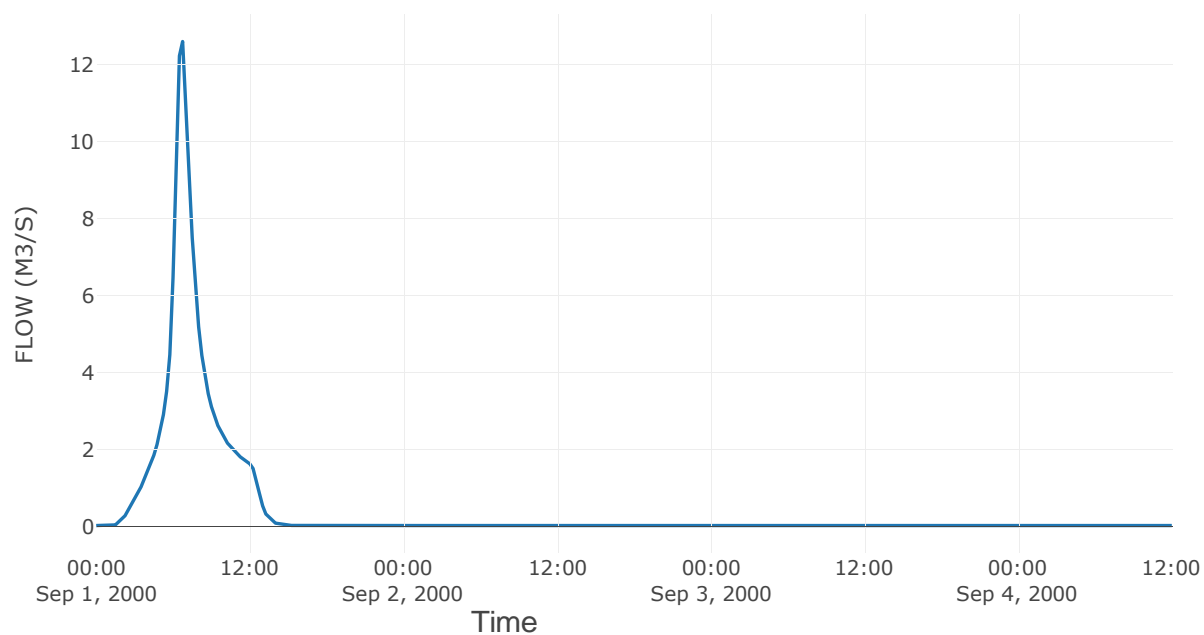
Κόμβος: J13

Κατάντη : R1312

Αποτελέσματα: J13

Παροχή Αιχμής (M3/S)	12.59
Χρονική στιγμή αιχμής	01Sep2000, 06:45
Όγκος (MM)	116.45

Απορροή

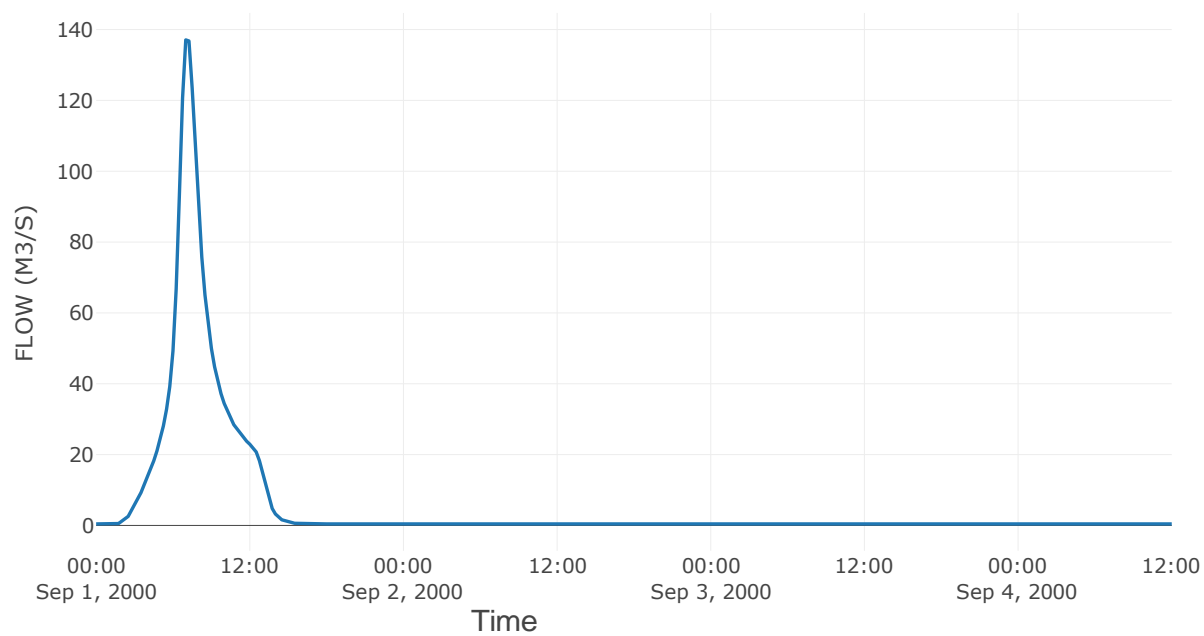


Κόμβος εξόδου: J14

Αποτελέσμα
α: J14

Παροχή αιχμής (M3/S)	137.08
Χρονική στιγμή αιχμής	01Sep2000, 07:00
Όγκος (MM)	117.06

Απορροή



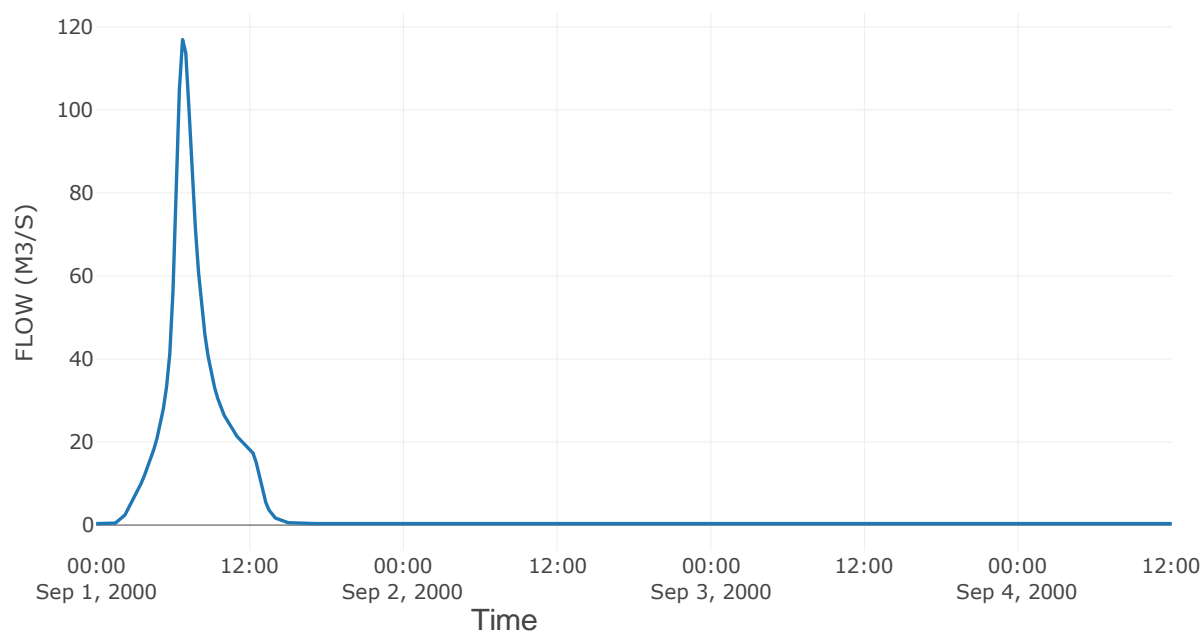
Κόμβος: J15

Κατάντη : R1514

Αποτελέσματα: J15

Παροχή Αιχμής (M3/S)	116.94
Χρονική στιγμή αιχμής	01Sep2000, 06:45
Όγκος (MM)	118.23

Απορροή

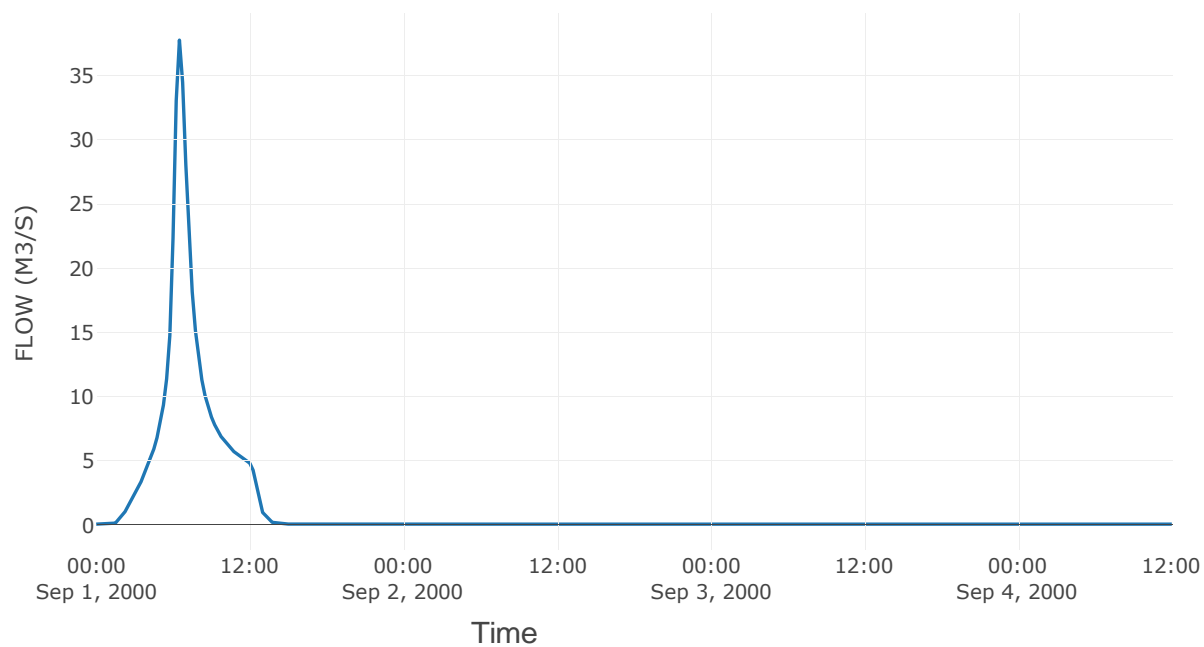


Κόμβος εξόδου: J16

Αποτελέσμα
α: J16

Παροχή αιχμής (M3/S)	37.78
Χρονική στιγμή αιχμής	01Sep2000, 06:30
Όγκος (MM)	115.12

Απορροή



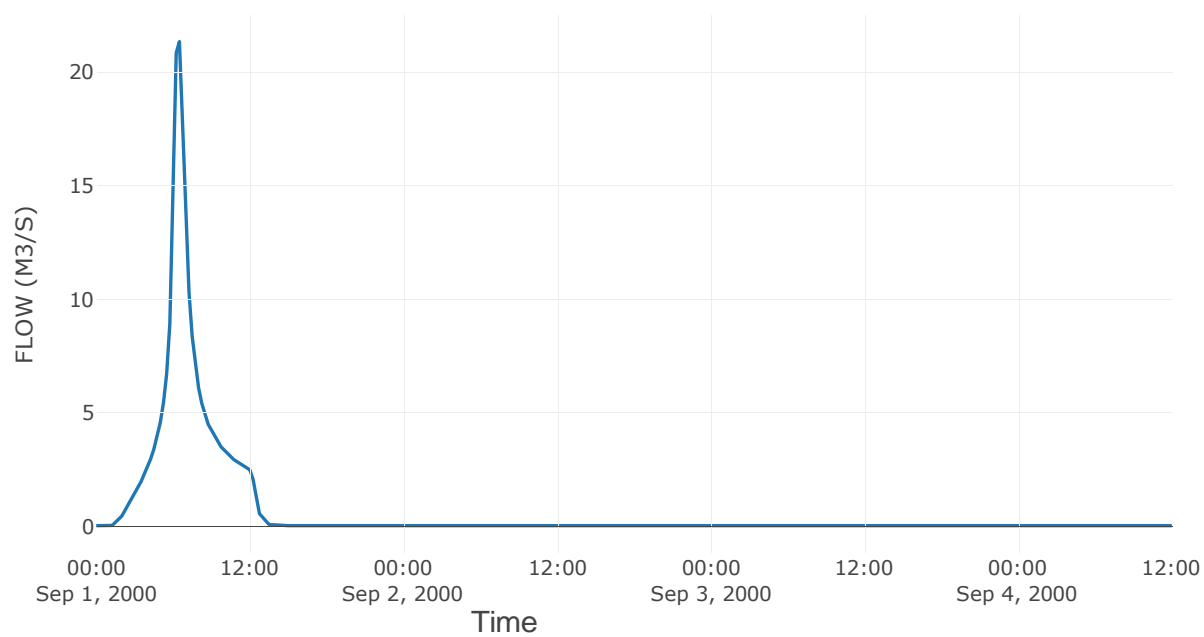
Κόμβος: J17

Κατάντη : R1716

Αποτελέσματα: J17

Παροχή Αιχμής (M3/S)	21.34
Χρονική στιγμή αιχμής	01Sep2000, 06:30
Όγκος (MM)	115.6

Απορροή



8 Δεδομένα εισόδου και αποτελέσματα υδρολογικού σεναρίου T=1000

8.1 Αποτελέσματα, υετογραφήματα και υδρογραφήματα σχεδιασμού υπολεκάνων

Υπολεκάνη: EL0421FR003001

Έκταση (KM2) : 2.97

Κατάντη : J1

Μέθοδος Απωλειών: SCS

Ποσοστό αδιαπέρατης επιφάνειας	0
Αριθμός Καμπύλης Απορροής-CN	80.8
Αρχικές Απώλειες	12.07

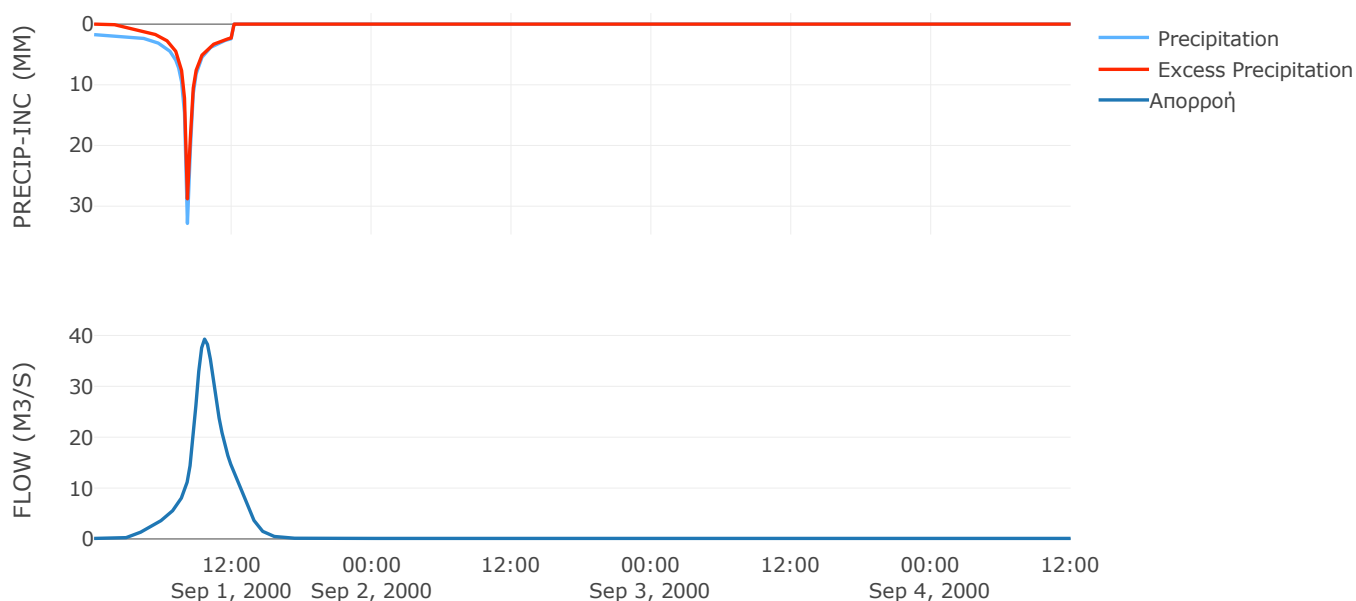
Μέθοδος Μετασχηματισμού: SCS

Χρόνος Υστέρησης	73.97
------------------	-------

Αποτελέσματα:
EL0421FR003001

Παροχή αιχμής (M3/S)	39.28
Χρονική στιγμή αιχμής	01Sep2000, 09:30
Όγκος (MM)	177.58
Όγκος βροχόπτωσης (M3)	6.72E5
Όγκος απωλειών (M3)	1.76E5
Ενεργός Όγκος (M3)	4.96E5
Όγκος άμεσης απορροής (M3)	4.96E5
Όγκος βασικής απορροής (M3)	31464.72

Βροχόπτωση και Απορροή



Υπολεκάνη: EL0421FR003002

Έκταση (KM2) : 34.23

Κατάντη : J2

Μέθοδος Απωλειών: SCS

Ποσοστό αδιαπέρατης επιφάνειας	0
Αριθμός Καμπύλης Απορροής-CN	54.5
Αρχικές Απώλειες	42.4

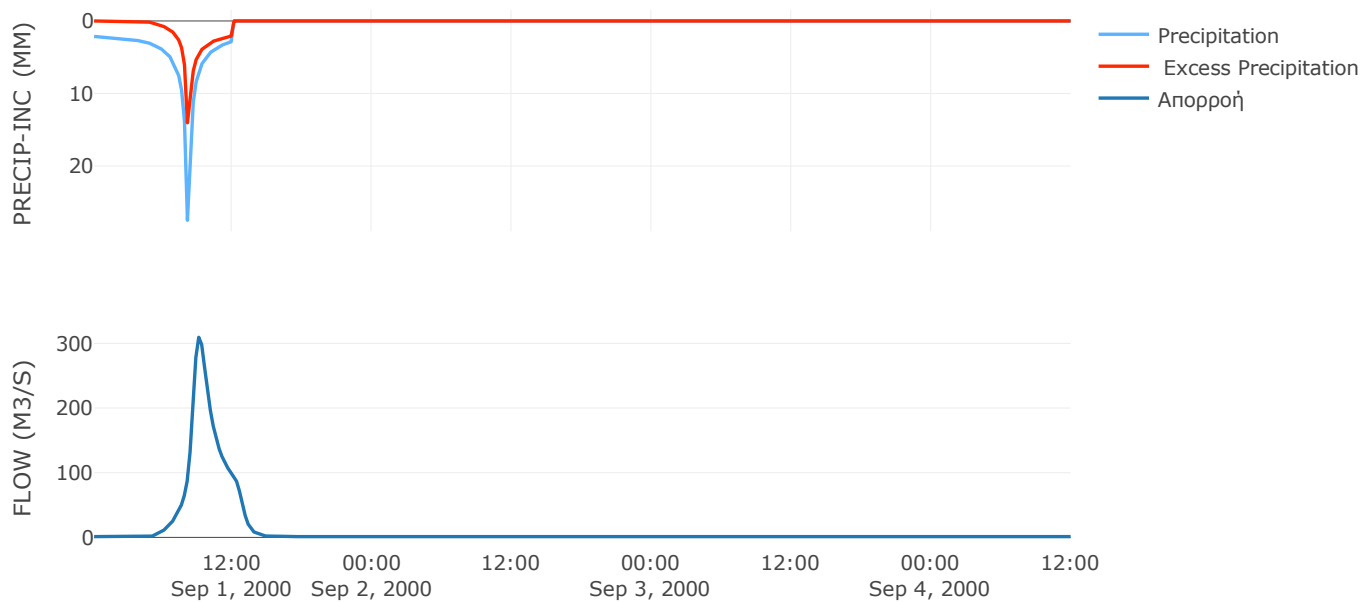
Μέθοδος Μετασχηματισμού: SCS

Χρόνος Υστέρησης	42.51
------------------	-------

Αποτελέσματα:
EL0421FR003002

Παροχή αιχμής (M3/S)	309.39
Χρονική στιγμή αιχμής	01Sep2000, 09:00
Όγκος (MM)	103.35
Όγκος βροχόπτωσης (M3)	8.09E6
Όγκος απωλειών (M3)	4.92E6
Ενεργός Όγκος (M3)	3.18E6
Όγκος άμεσης απορροής (M3)	3.18E6
Όγκος βασικής απορροής (M3)	3.62E5

Βροχόπτωση και Απορροή



Υπολεκάνη: EL0421FR003003

Έκταση (KM2) : 15.17

Κατάντη : J3

Μέθοδος Απωλειών: SCS

Ποσοστό αδιαπέρατης επιφάνειας	0
Αριθμός Καμπύλης Απορροής-CN	74.56
Αρχικές Απώλειες	17.33

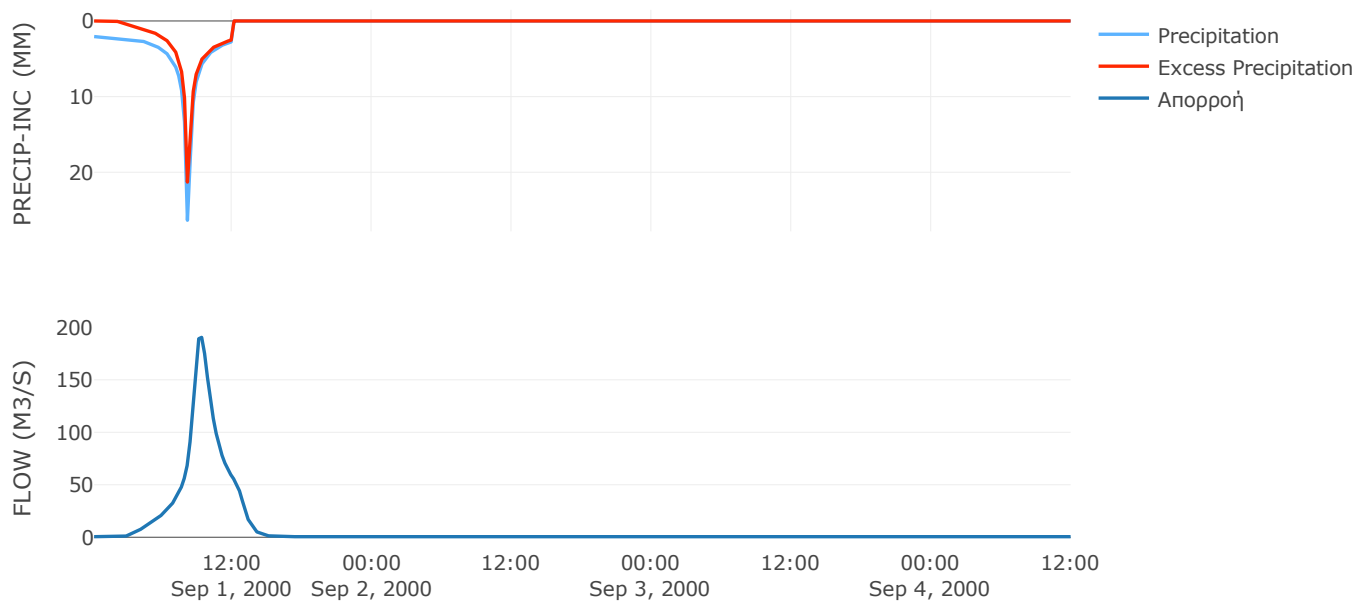
Μέθοδος Μετασχηματισμού: SCS

Χρόνος Υστέρησης	51.17
------------------	-------

Αποτελέσματα:
EL0421FR003003

Παροχή αιχμής (M3/S)	190.43
Χρονική στιγμή αιχμής	01Sep2000, 09:15
Όγκος (MM)	159.8
Όγκος βροχόπτωσης (M3)	3.46E6
Όγκος απωλειών (M3)	1.19E6
Ενεργός Όγκος (M3)	2.26E6
Όγκος άμεσης απορροής (M3)	2.26E6
Όγκος βασικής απορροής (M3)	1.61E5

Βροχόπτωση και Απορροή



Υπολεκάνη: EL0421FR003004

Έκταση (KM2) : 21.72

Κατάντη : J4

Μέθοδος Απωλειών: SCS

Ποσοστό αδιαπέρατης επιφάνειας	0
Αριθμός Καμπύλης Απορροής-CN	74.84
Αρχικές Απώλειες	17.08

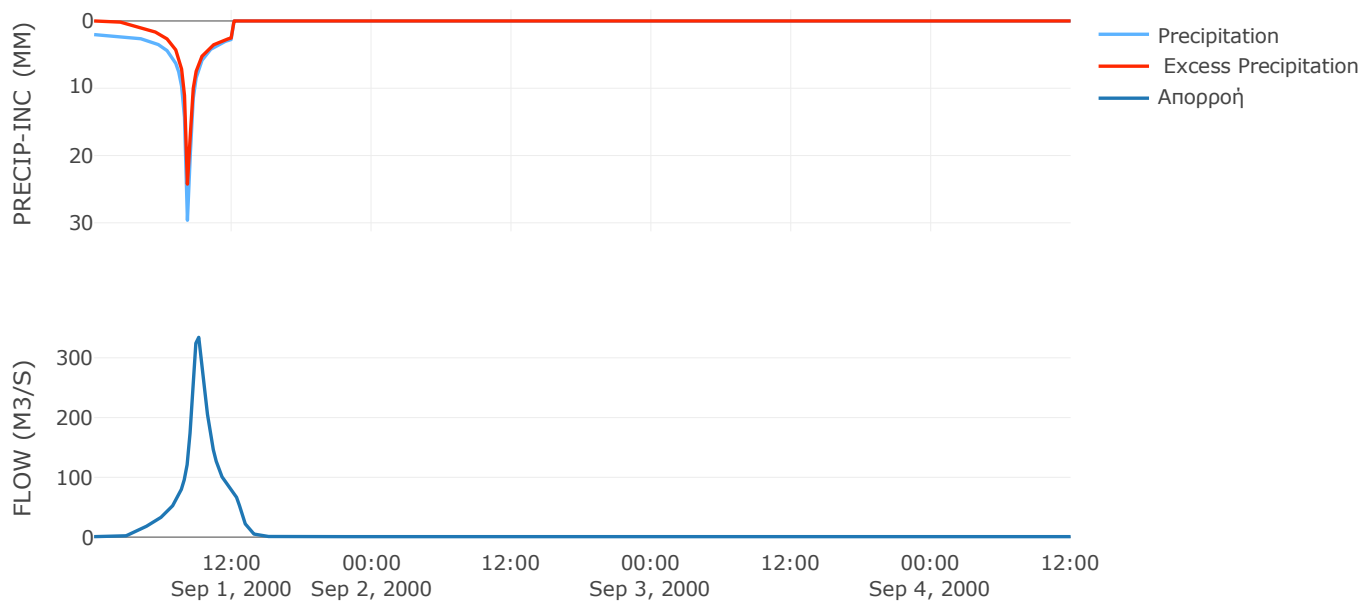
Μέθοδος Μετασχηματισμού: SCS

Χρόνος Υστέρησης	39.31
------------------	-------

Αποτελέσματα:
EL0421FR003004

Παροχή αιχμής (M3/S)	334.2
Χρονική στιγμή αιχμής	01Sep2000, 09:00
Όγκος (MM)	168.77
Όγκος βροχόπτωσης (M3)	5.14E6
Όγκος απωλειών (M3)	1.71E6
Ενεργός Όγκος (M3)	3.44E6
Όγκος άμεσης απορροής (M3)	3.44E6
Όγκος βασικής απορροής (M3)	2.3E5

Βροχόπτωση και Απορροή



Υπολεκάνη: EL0421FR003005

Έκταση (KM2) : 3.17

Κατάντη : J5

Μέθοδος Απωλειών: SCS

Ποσοστό αδιαπέρατης επιφάνειας	0
Αριθμός Καμπύλης Απορροής-CN	80.99
Αρχικές Απώλειες	11.93

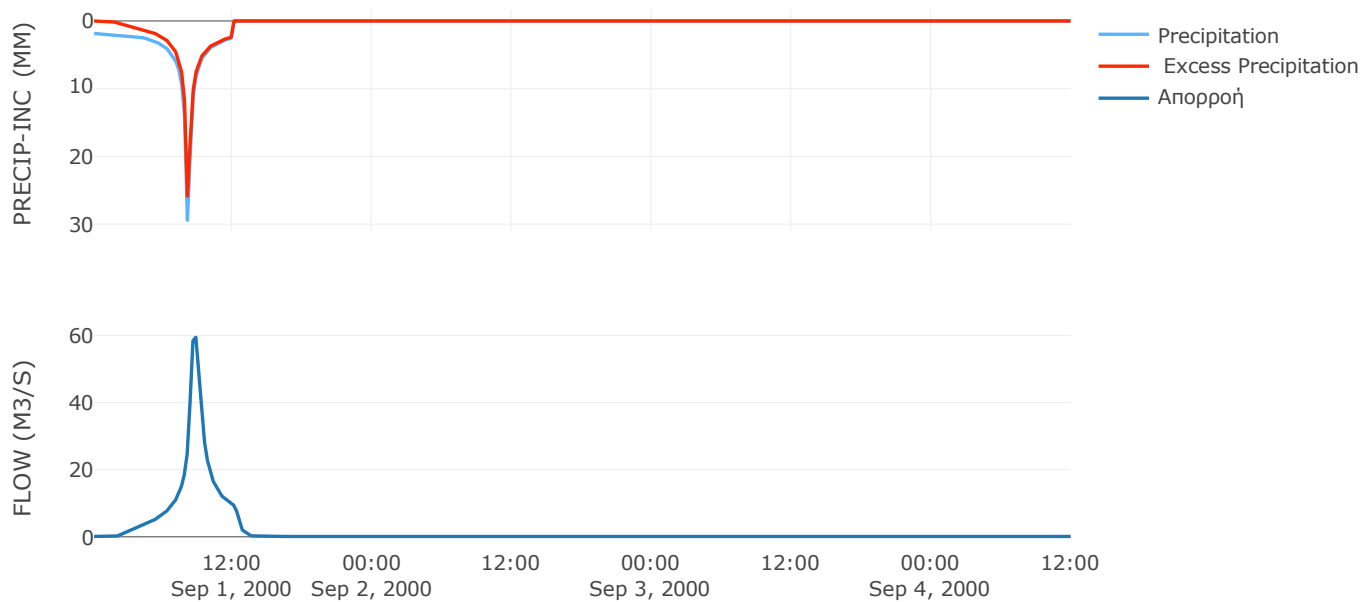
Μέθοδος Μετασχηματισμού: SCS

Χρόνος Υστέρησης	23.91
------------------	-------

Αποτελέσματα:
EL0421FR003005

Παροχή αιχμής (M3/S)	59.44
Χρονική στιγμή αιχμής	01Sep2000, 08:45
Όγκος (MM)	176
Όγκος βροχόπτωσης (M3)	7.1E5
Όγκος απωλειών (M3)	1.85E5
Ενεργός Όγκος (M3)	5.25E5
Όγκος άμεσης απορροής (M3)	5.25E5
Όγκος βασικής απορροής (M3)	33560.35

Βροχόπτωση και Απορροή



Υπολεκάνη: EL0421FR003006

Έκταση (KM2) : 4.26

Κατάντη : J6

Μέθοδος Απωλειών: SCS

Ποσοστό αδιαπέρατης επιφάνειας	0
Αριθμός Καμπύλης Απορροής-CN	81.25
Αρχικές Απώλειες	11.72

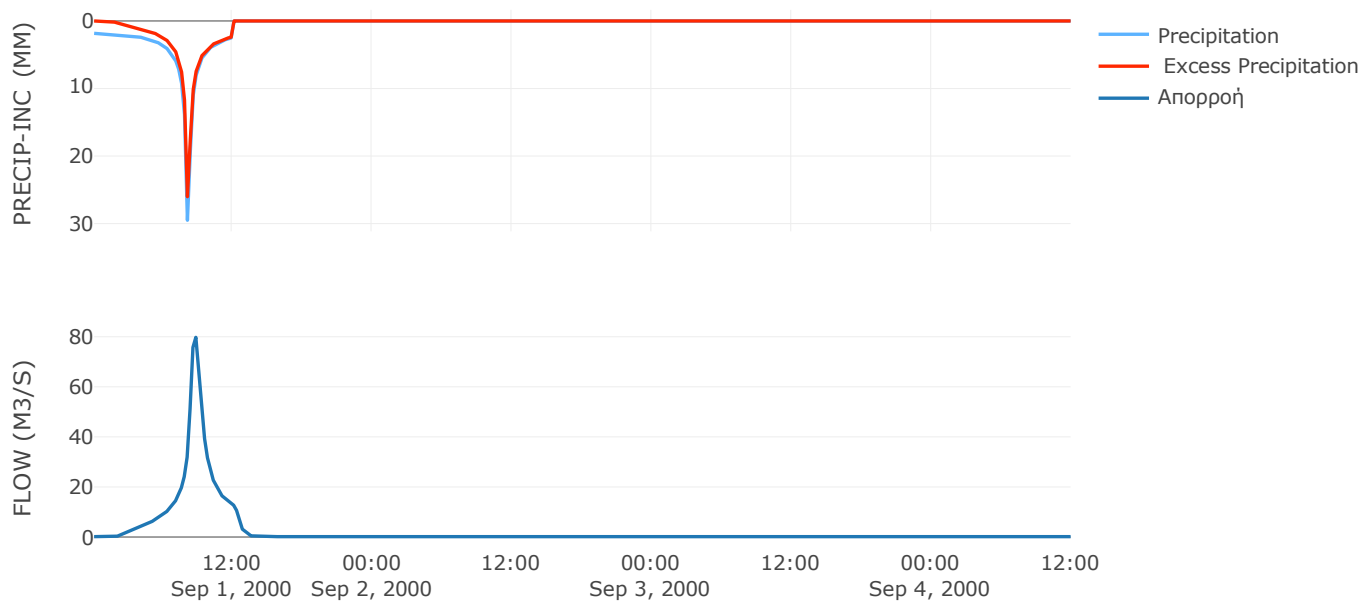
Μέθοδος Μετασχηματισμού: SCS

Χρόνος Υστέρησης	25.63
------------------	-------

Αποτελέσματα:
EL0421FR003006

Παροχή αιχμής (M3/S)	79.76
Χρονική στιγμή αιχμής	01Sep2000, 08:45
Όγκος (MM)	176.1
Όγκος βροχόπτωσης (M3)	9.51E5
Όγκος απωλειών (M3)	2.46E5
Ενεργός Όγκος (M3)	7.06E5
Όγκος άμεσης απορροής (M3)	7.06E5
Όγκος βασικής απορροής (M3)	45118.08

Βροχόπτωση και Απορροή



Υπολεκάνη: EL0421FR003007

Έκταση (KM2) : 5.37

Κατάντη : J7

Μέθοδος Απωλειών: SCS

Ποσοστό αδιαπέρατης επιφάνειας	0
Αριθμός Καμπύλης Απορροής-CN	80.84
Αρχικές Απώλειες	12.04

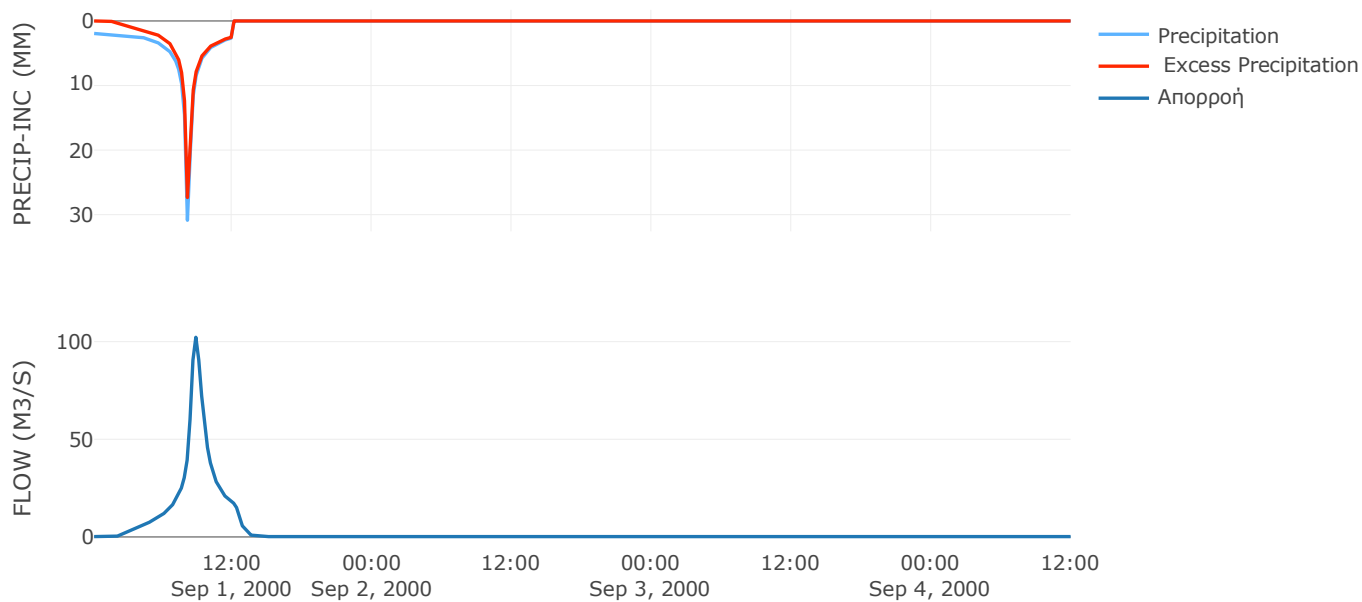
Μέθοδος Μετασχηματισμού: SCS

Χρόνος Υστέρησης	29.91
------------------	-------

Αποτελέσματα:
EL0421FR003007

Παροχή αιχμής (M3/S)	102.22
Χρονική στιγμή αιχμής	01Sep2000, 08:45
Όγκος (MM)	185.84
Όγκος βροχόπτωσης (M3)	1.26E6
Όγκος απωλειών (M3)	3.19E5
Ενεργός Όγκος (M3)	9.41E5
Όγκος άμεσης απορροής (M3)	9.41E5
Όγκος βασικής απορροής (M3)	56842.13

Βροχόπτωση και Απορροή



Υπολεκάνη: EL0421FR003008

Έκταση (KM2) : 1.34

Κατάντη : J8

Μέθοδος Απωλειών: SCS

Ποσοστό αδιαπέρατης επιφάνειας	0
Αριθμός Καμπύλης Απορροής-CN	82.38
Αρχικές Απώλειες	10.87

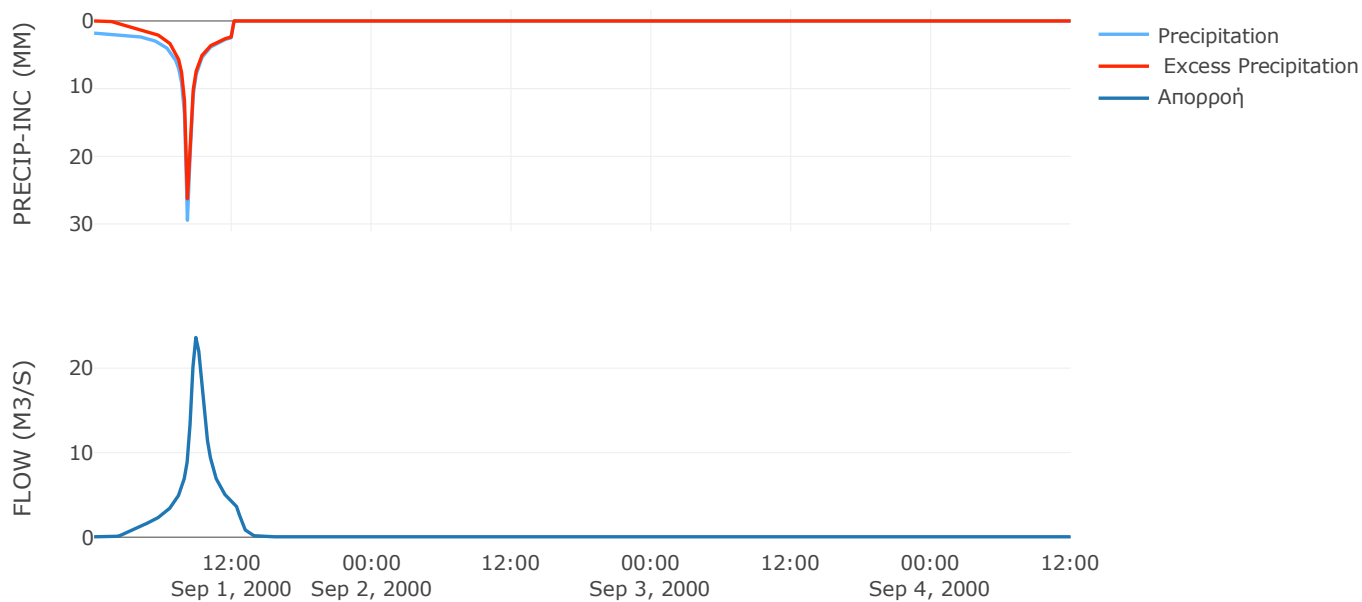
Μέθοδος Μετασχηματισμού: SCS

Χρόνος Υστέρησης	32.65
------------------	-------

Αποτελέσματα:
EL0421FR003008

Παροχή αιχμής (M3/S)	23.63
Χρονική στιγμή αιχμής	01Sep2000, 08:45
Όγκος (MM)	177.08
Όγκος βροχόπτωσης (M3)	2.96E5
Όγκος απωλειών (M3)	72398.2
Ενεργός Όγκος (M3)	2.23E5
Όγκος άμεσης απορροής (M3)	2.23E5
Όγκος βασικής απορροής (M3)	14187.7

Βροχόπτωση και Απορροή



Υπολεκάνη: EL0421FR003009

Έκταση (KM2) : 1.01

Κατάντη : J9

Μέθοδος Απωλειών: SCS

Ποσοστό αδιαπέρατης επιφάνειας	0
Αριθμός Καμπύλης Απορροής-CN	82.01
Αρχικές Απώλειες	11.14

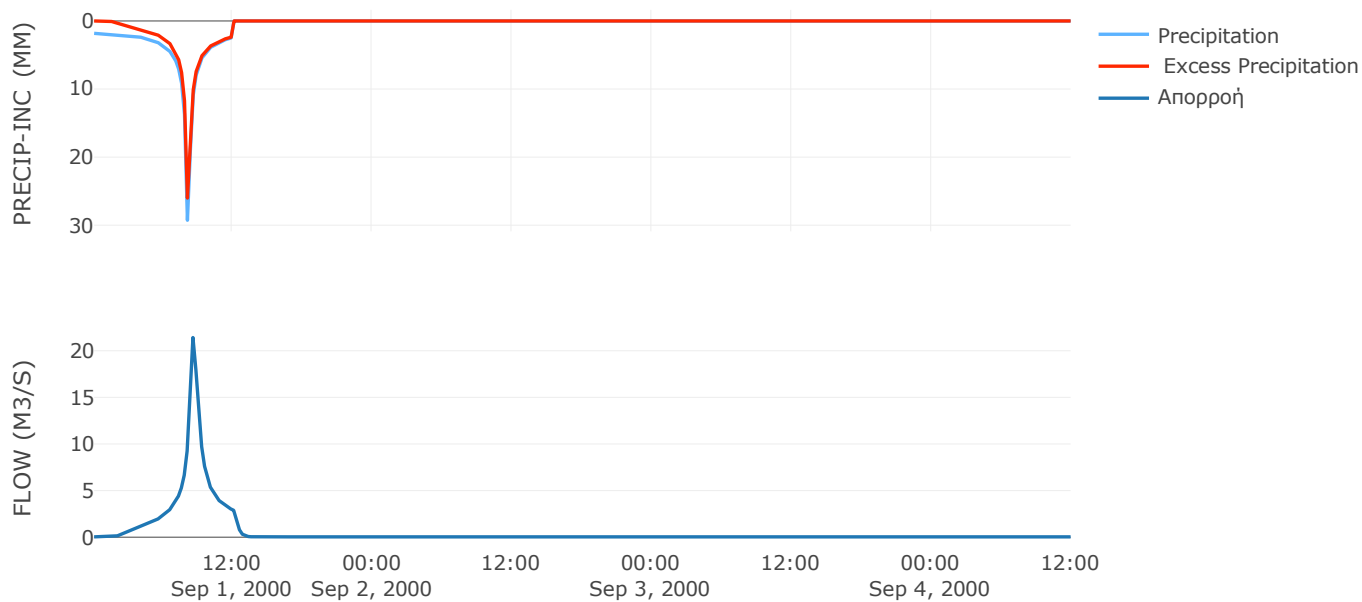
Μέθοδος Μετασχηματισμού: SCS

Χρόνος Υστέρησης	17.29
------------------	-------

Αποτελέσματα:
EL0421FR003009

Παροχή αιχμής (M3/S)	21.42
Χρονική στιγμή αιχμής	01Sep2000, 08:30
Όγκος (MM)	176.58
Όγκος βροχόπτωσης (M3)	2.24E5
Όγκος απωλειών (M3)	55947.85
Ενεργός Όγκος (M3)	1.68E5
Όγκος άμεσης απορροής (M3)	1.68E5
Όγκος βασικής απορροής (M3)	10729.76

Βροχόπτωση και Απορροή



Υπολεκάνη: EL0421FR003010

Έκταση (KM2) : 1.43

Κατάντη : J10

Μέθοδος Απωλειών: SCS

Ποσοστό αδιαπέρατης επιφάνειας	0
Αριθμός Καμπύλης Απορροής-CN	82.35
Αρχικές Απώλειες	10.89

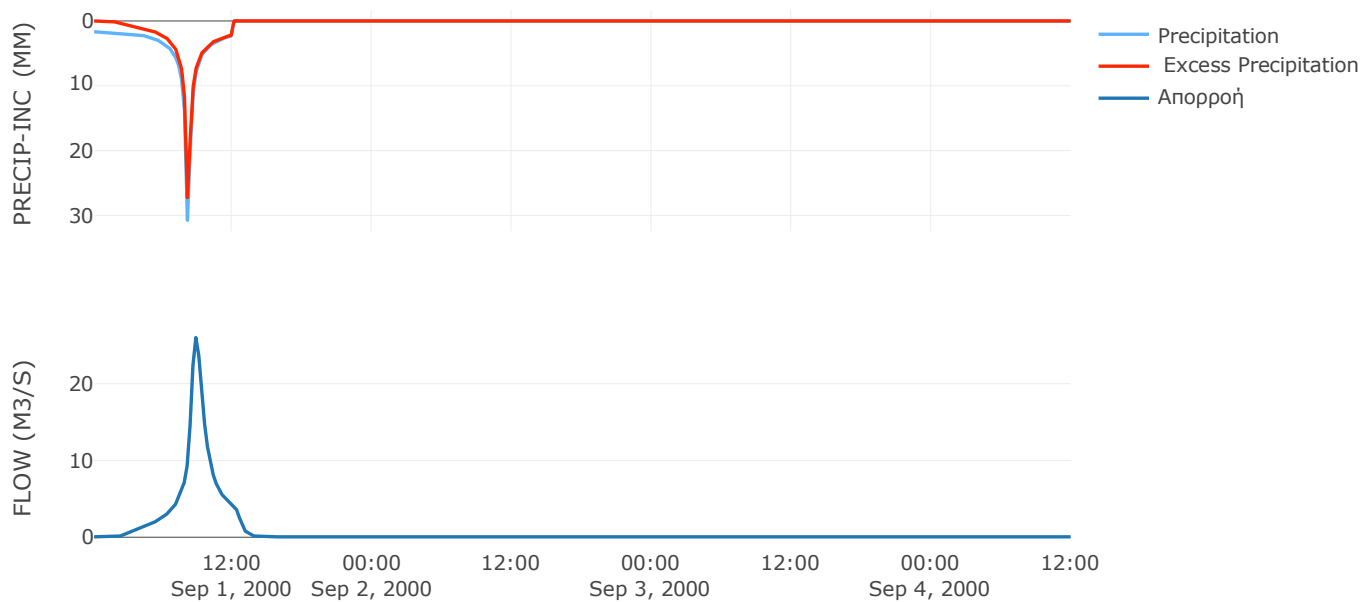
Μέθοδος Μετασχηματισμού: SCS

Χρόνος Υστέρησης	31.57
------------------	-------

Αποτελέσματα:
EL0421FR003010

Παροχή αιχμής (M3/S)	26.01
Χρονική στιγμή αιχμής	01Sep2000, 08:45
Όγκος (MM)	171.7
Όγκος βροχόπτωσης (M3)	3.08E5
Όγκος απωλειών (M3)	77114
Ενεργός Όγκος (M3)	2.31E5
Όγκος άμεσης απορροής (M3)	2.31E5
Όγκος βασικής απορροής (M3)	15154.78

Βροχόπτωση και Απορροή



Υπολεκάνη: EL0421FR003011

Έκταση (KM2) : 5.43

Κατάντη : J11

Μέθοδος Απωλειών: SCS

Ποσοστό αδιαπέρατης επιφάνειας	0
Αριθμός Καμπύλης Απορροής-CN	81.25
Αρχικές Απώλειες	11.73

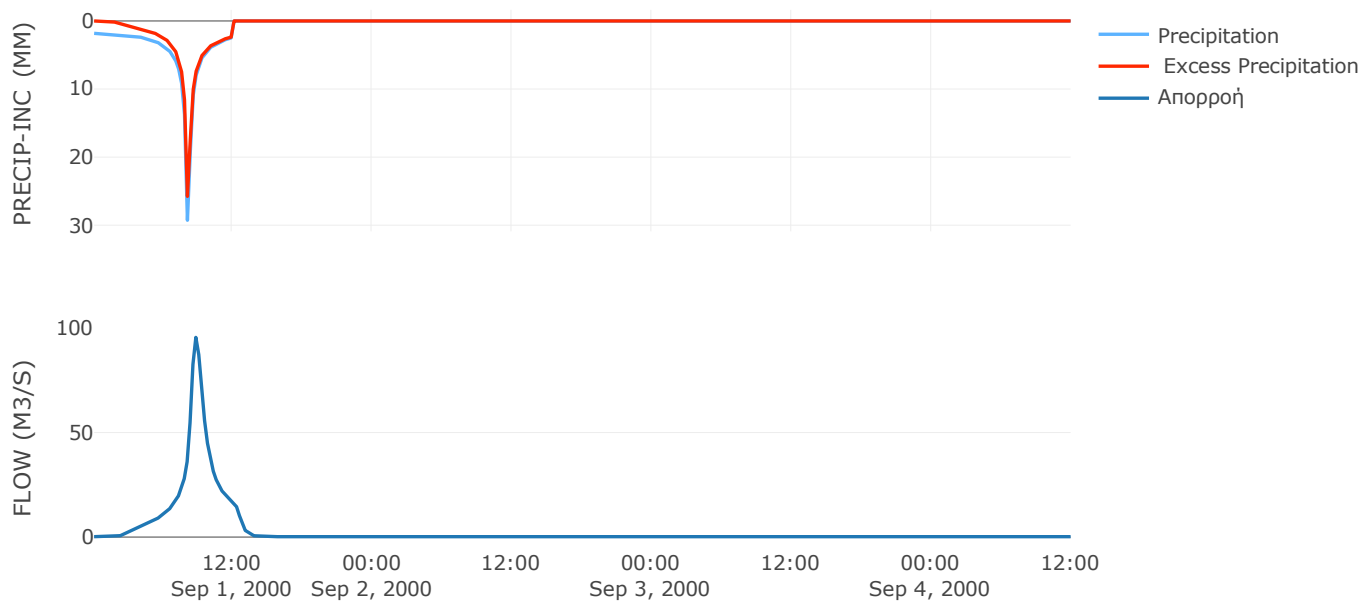
Μέθοδος Μετασχηματισμού: SCS

Χρόνος Υστέρησης	31.44
------------------	-------

Αποτελέσματα:
EL0421FR003011

Παροχή αιχμής (M3/S)	95.49
Χρονική στιγμή αιχμής	01Sep2000, 08:45
Όγκος (MM)	174.23
Όγκος βροχόπτωσης (M3)	1.2E6
Όγκος απωλειών (M3)	3.12E5
Ενεργός Όγκος (M3)	8.88E5
Όγκος άμεσης απορροής (M3)	8.88E5
Όγκος βασικής απορροής (M3)	57440.88

Βροχόπτωση και Απορροή



Υπολεκάνη: EL0421FR003012

Έκταση (KM2) : 4.3

Κατάντη : J12

Μέθοδος Απωλειών: SCS

Ποσοστό αδιαπέρατης επιφάνειας	0
Αριθμός Καμπύλης Απορροής-CN	80.81
Αρχικές Απώλειες	12.06

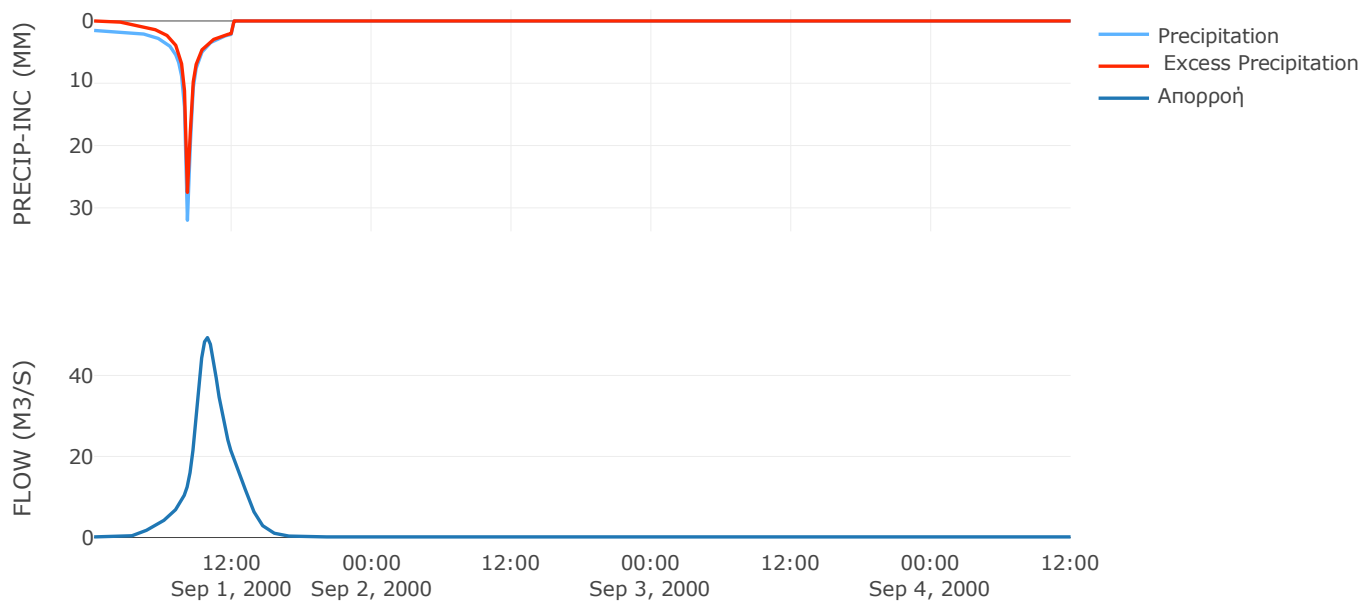
Μέθοδος Μετασχηματισμού: SCS

Χρόνος Υστέρησης	84.24
------------------	-------

Αποτελέσματα:
EL0421FR003012

Παροχή αιχμής (M3/S)	49.35
Χρονική στιγμή αιχμής	01Sep2000, 09:45
Όγκος (MM)	161.09
Όγκος βροχόπτωσης (M3)	8.97E5
Όγκος απωλειών (M3)	2.5E5
Ενεργός Όγκος (M3)	6.46E5
Όγκος άμεσης απορροής (M3)	6.46E5
Όγκος βασικής απορροής (M3)	45459.79

Βροχόπτωση και Απορροή



Υπολεκάνη: EL0421FR003013

Έκταση (KM2) : 1.25

Κατάντη : J13

Μέθοδος Απωλειών: SCS

Ποσοστό αδιαπέρατης επιφάνειας	0
Αριθμός Καμπύλης Απορροής-CN	81.81
Αρχικές Απώλειες	11.3

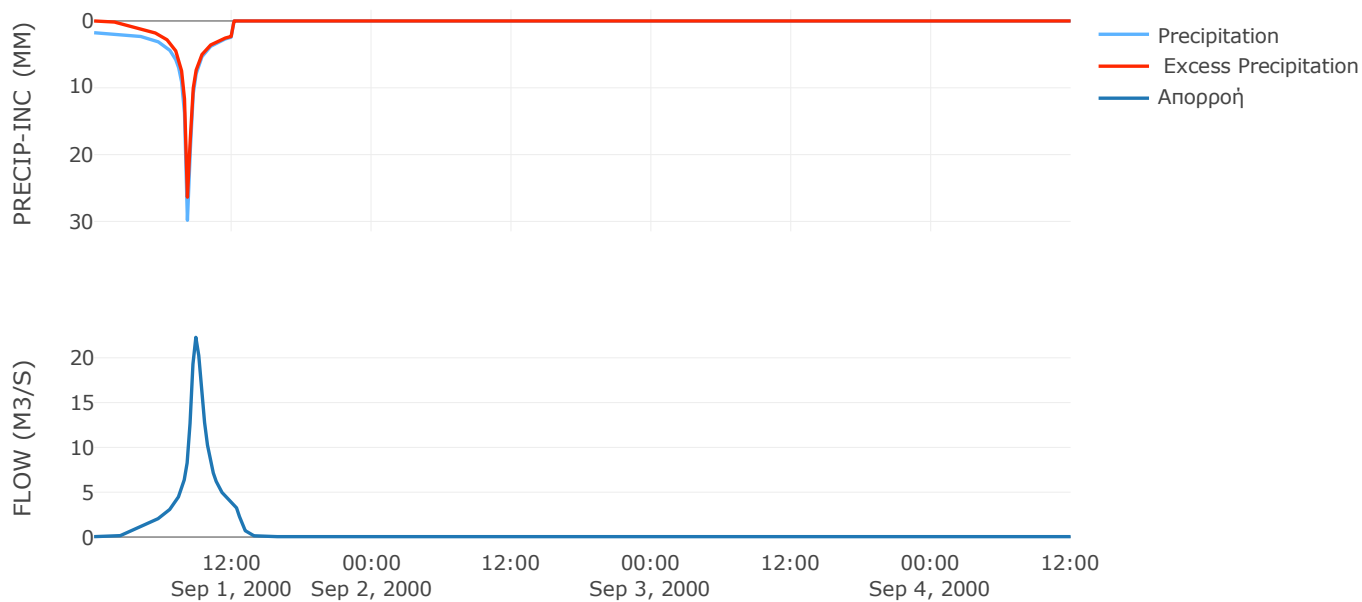
Μέθοδος Μετασχηματισμού: SCS

Χρόνος Υστέρησης	31.3
------------------	------

Αποτελέσματα:
EL0421FR003013

Παροχή αιχμής (M3/S)	22.28
Χρονική στιγμή αιχμής	01Sep2000, 08:45
Όγκος (MM)	173.91
Όγκος βροχόπτωσης (M3)	2.73E5
Όγκος απωλειών (M3)	69367.22
Ενεργός Όγκος (M3)	2.03E5
Όγκος άμεσης απορροής (M3)	2.03E5
Όγκος βασικής απορροής (M3)	13181.01

Βροχόπτωση και Απορροή



Υπολεκάνη: EL0421FR003014

Έκταση (KM2) : 2.74

Κατάντη : J14

Μέθοδος Απωλειών: SCS

Ποσοστό αδιαπέρατης επιφάνειας	0
Αριθμός Καμπύλης Απορροής-CN	78.98
Αρχικές Απώλειες	13.52

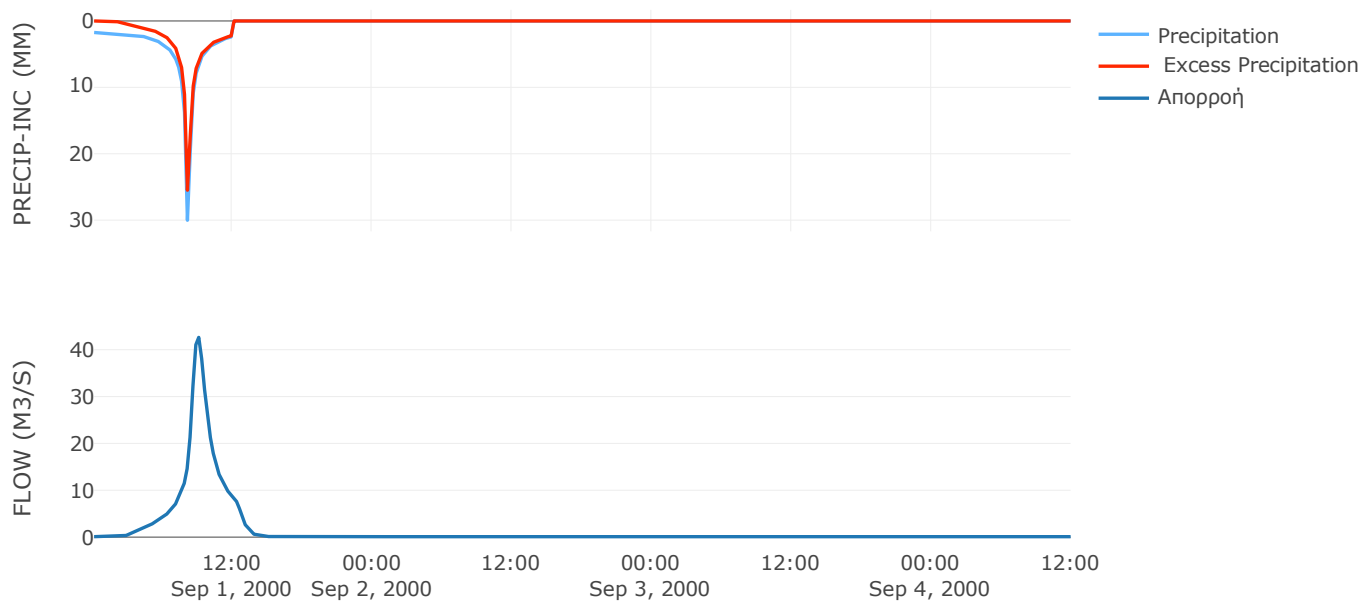
Μέθοδος Μετασχηματισμού: SCS

Χρόνος Υστέρησης	40.3
------------------	------

Αποτελέσματα:
EL0421FR003014

Παροχή αιχμής (M3/S)	42.64
Χρονική στιγμή αιχμής	01Sep2000, 09:00
Όγκος (MM)	164.27
Όγκος βροχόπτωσης (M3)	5.98E5
Όγκος απωλειών (M3)	1.76E5
Ενεργός Όγκος (M3)	4.22E5
Όγκος άμεσης απορροής (M3)	4.22E5
Όγκος βασικής απορροής (M3)	29043.1

Βροχόπτωση και Απορροή



Υπολεκάνη: EL0421FR003015

Έκταση (KM2) : 12.69

Κατάντη : J15

Μέθοδος Απωλειών: SCS

Ποσοστό αδιαπέρατης επιφάνειας	0
Αριθμός Καμπύλης Απορροής-CN	80.39
Αρχικές Απώλειες	12.39

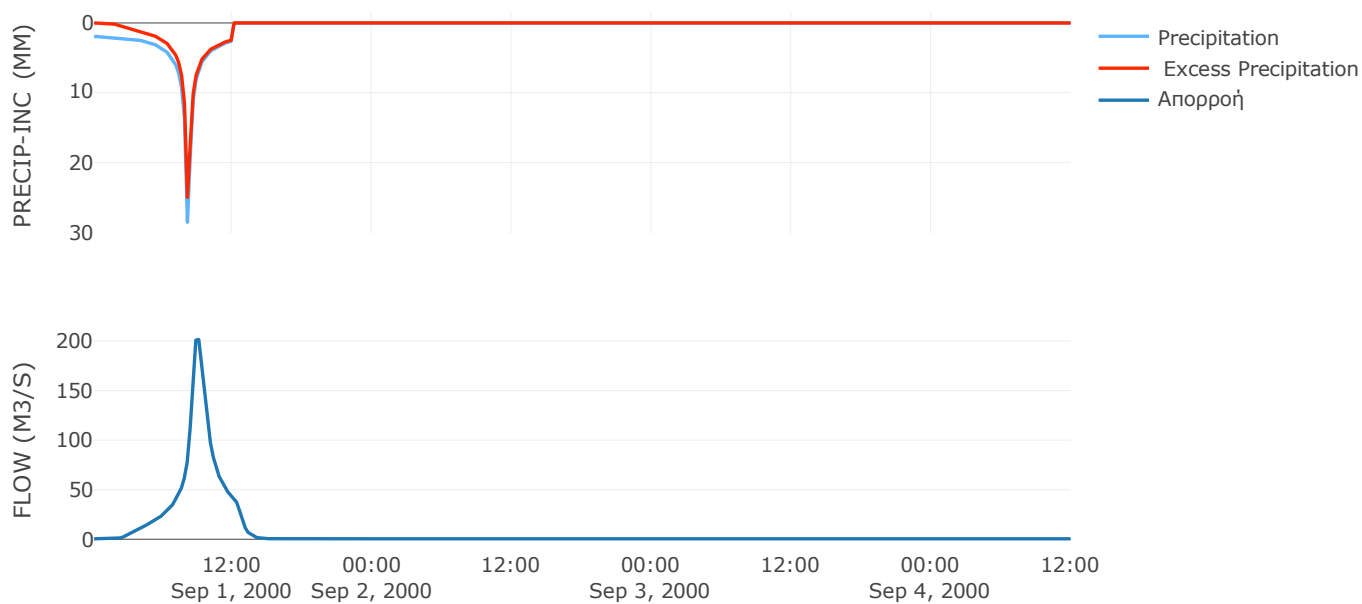
Μέθοδος Μετασχηματισμού: SCS

Χρόνος Υστέρησης	37.61
------------------	-------

Αποτελέσματα:
EL0421FR003015

Παροχή αιχμής (M3/S)	201.52
Χρονική στιγμή αιχμής	01Sep2000, 09:00
Όγκος (MM)	175.74
Όγκος βροχόπτωσης (M3)	2.86E6
Όγκος απωλειών (M3)	7.66E5
Ενεργός Όγκος (M3)	2.1E6
Όγκος άμεσης απορροής (M3)	2.1E6
Όγκος βασικής απορροής (M3)	1.34E5

Βροχόπτωση και Απορροή



Υπολεκάνη: EL0421FR003016

Έκταση (KM2) : 1.7

Κατάντη : J16

Μέθοδος Απωλειών: SCS

Ποσοστό αδιαπέρατης επιφάνειας	0
Αριθμός Καμπύλης Απορροής-CN	80.28
Αρχικές Απώλειες	12.47

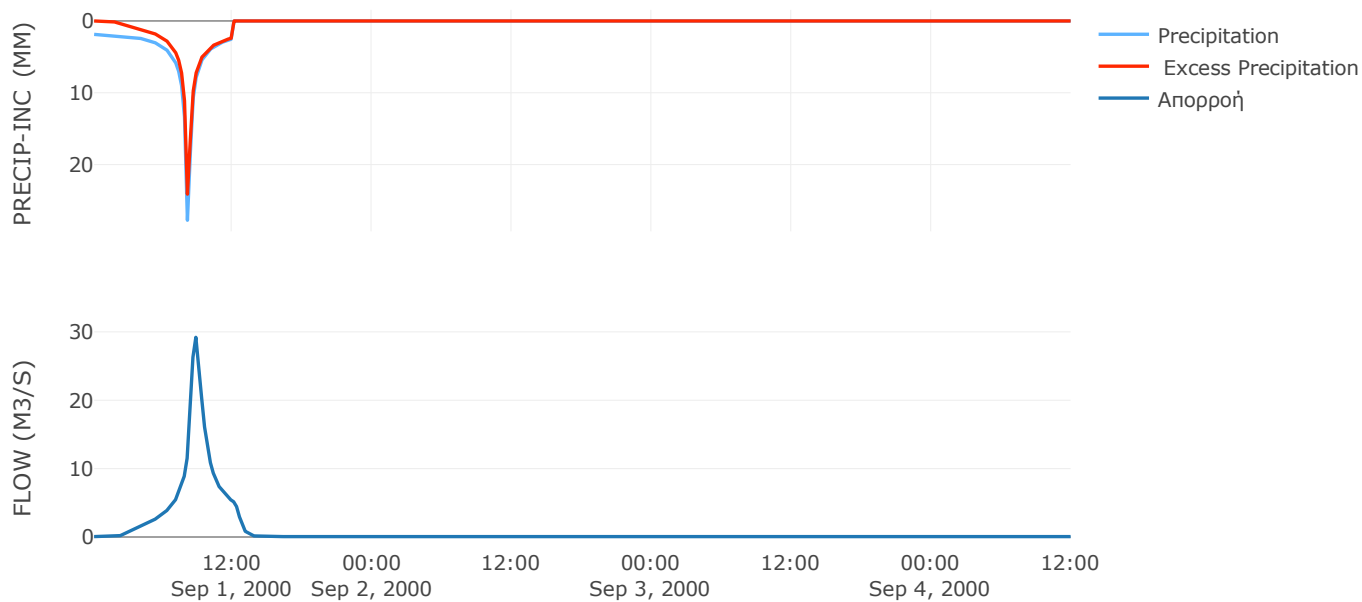
Μέθοδος Μετασχηματισμού: SCS

Χρόνος Υστέρησης	28.83
------------------	-------

Αποτελέσματα:
EL0421FR003016

Παροχή αιχμής (M3/S)	29.21
Χρονική στιγμή αιχμής	01Sep2000, 08:45
Όγκος (MM)	169.86
Όγκος βροχόπτωσης (M3)	3.74E5
Όγκος απωλειών (M3)	1.03E5
Ενεργός Όγκος (M3)	2.71E5
Όγκος άμεσης απορροής (M3)	2.71E5
Όγκος βασικής απορροής (M3)	17995.82

Βροχόπτωση και Απορροή



Υπολεκάνη: EL0421FR003017

Έκταση (KM2) : 1.9

Κατάντη : J17

Μέθοδος Απωλειών: SCS

Ποσοστό αδιαπέρατης επιφάνειας	0
Αριθμός Καμπύλης Απορροής-CN	80.89
Αρχικές Απώλειες	12

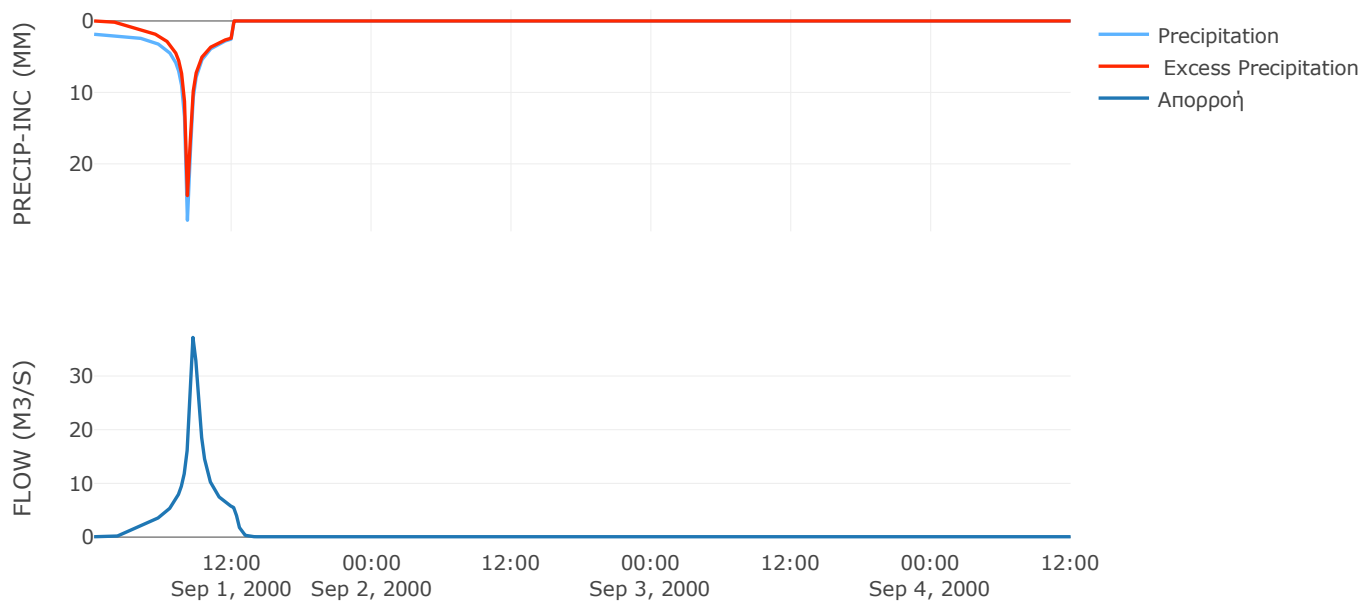
Μέθοδος Μετασχηματισμού: SCS

Χρόνος Υστέρησης	18.87
------------------	-------

Αποτελέσματα:
EL0421FR003017

Παροχή αιχμής (M3/S)	37.19
Χρονική στιγμή αιχμής	01Sep2000, 08:30
Όγκος (MM)	171.9
Όγκος βροχόπτωσης (M3)	4.18E5
Όγκος απωλειών (M3)	1.11E5
Ενεργός Όγκος (M3)	3.07E5
Όγκος άμεσης απορροής (M3)	3.07E5
Όγκος βασικής απορροής (M3)	20137.42

Βροχόπτωση και Απορροή



8.2 Δεδομένα και Υδρογραφήματα Σχεδιασμού Κλάδων Υδρογραφικού Δικτύου

Κλάδος: R21

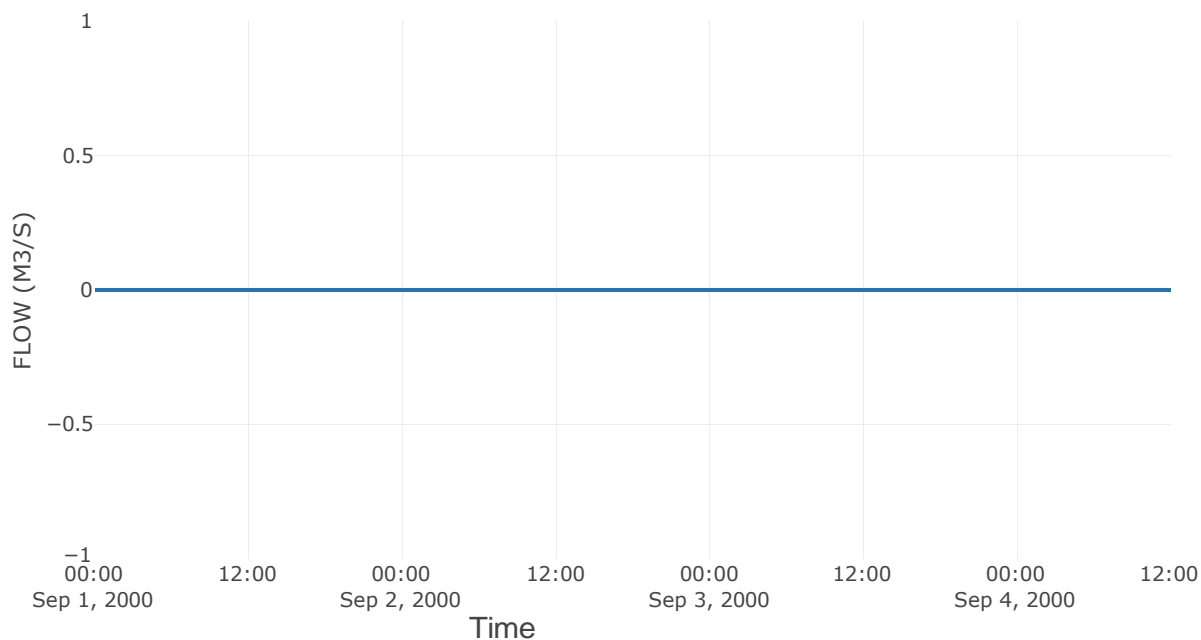
Κατάντη : J1

Μέθοδος Διόδευσης	Χρόνος
Αρχική Μεταβλητή	Combined Inflow
Χρόνος Υστέρησης	8.04

Αποτελέσματα: R21

Παροχή Αιχμής (M3/S)	0
Χρονική στιγμή αιχμής	31Aug2000, 24:00
Εισροή Αιχμής (M3/S)	0
Όγκος Εισροής (M3)	0

Απορροή



Κλάδος: R43

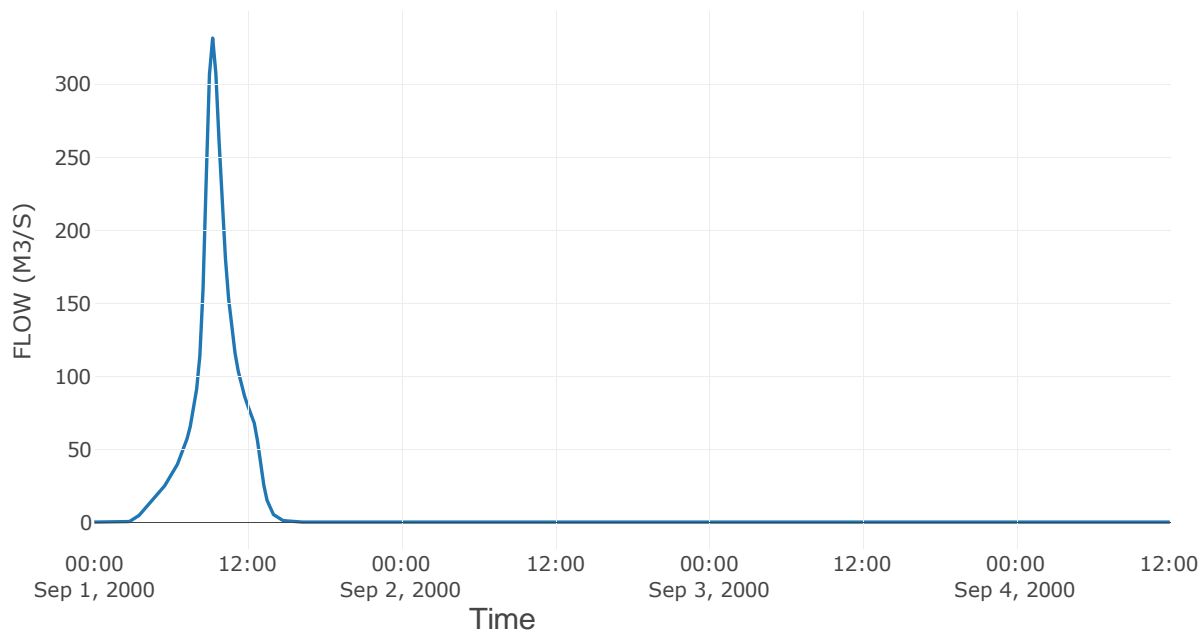
Κατάντη : J3

Μέθοδος Διόδευσης	Χρόνος
Αρχική Μεταβλητή	Combined Inflow
Χρόνος Υστέρησης	19.64

Αποτελέσματα: R43

Παροχή Αιχμής (M3/S)	331.56
Χρονική στιγμή αιχμής	01Sep2000, 09:15
Όγκος (MM)	168.77
Παροχή Αιχμής Εισόδου (M3/S)	334.2
Όγκος Εισροής (M3)	3.67E6

Απορροή



Κλάδος: R65

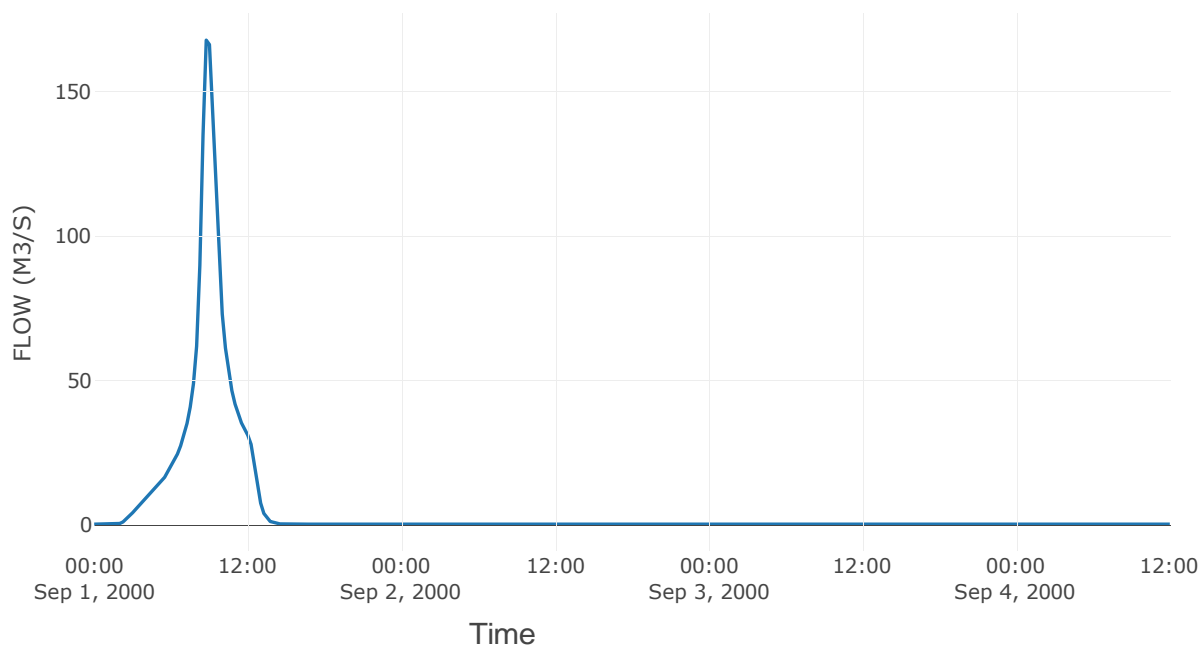
Κατάντη : J5

Μέθοδος Διόδευσης	Χρόνος
Αρχική Μεταβλητή	Combined Inflow
Χρόνος Υστέρησης	4.34

Αποτελέσματα: R65

Παροχή Αιχμής (M3/S)	167.82
Χρονική στιγμή αιχμής	01Sep2000, 08:45
Όγκος (MM)	181.53
Παροχή Αιχμής Εισόδου (M3/S)	175
Όγκος Εισροής (M3)	1.75E6

Απορροή



Κλάδος: R76

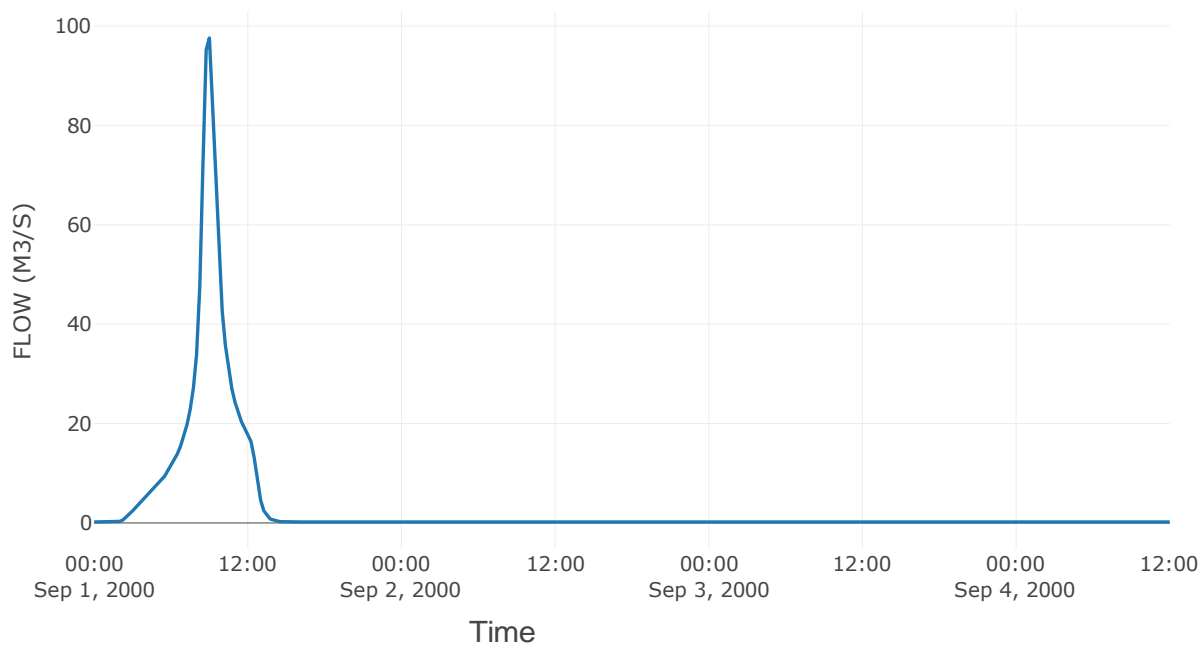
Κατάντη : J6

Μέθοδος Διόδευσης	Χρόνος
Αρχική Μεταβλητή	Combined Inflow
Χρόνος Υστέρησης	9.09

Αποτελέσματα: R76

Παροχή Αιχμής (M3/S)	97.59
Χρονική στιγμή αιχμής	01Sep2000, 09:00
Όγκος (MM)	185.84
Παροχή Αιχμής Εισόδου (M3/S)	102.22
Όγκος Εισροής (M3)	9.98E5

Απορροή



Κλάδος: R98

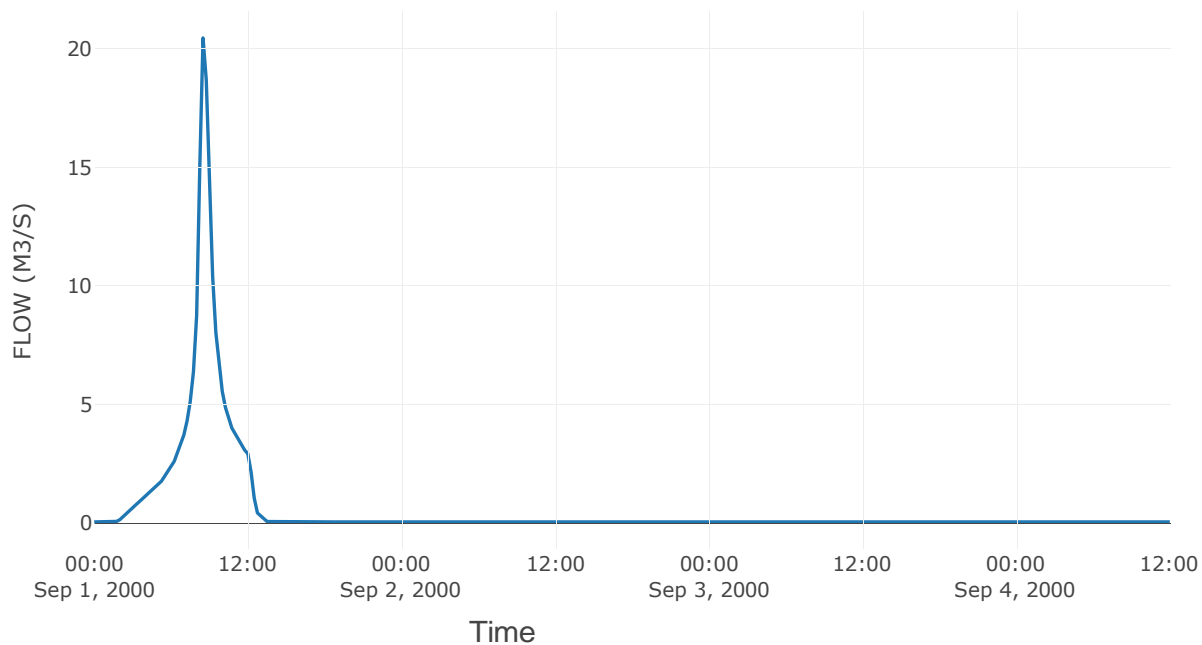
Κατάντη : J8

Μέθοδος Διόδευσης	Χρόνος
Αρχική Μεταβλητή	Combined Inflow
Χρόνος Υστέρησης	3.64

Αποτελέσματα: R98

Παροχή Αιχμής (M3/S)	20.45
Χρονική στιγμή αιχμής	01Sep2000, 08:30
Όγκος (MM)	176.58
Παροχή Αιχμής Εισόδου (M3/S)	21.42
Όγκος Εισροής (M3)	1.79E5

Απορροή



Κλάδος: R1110

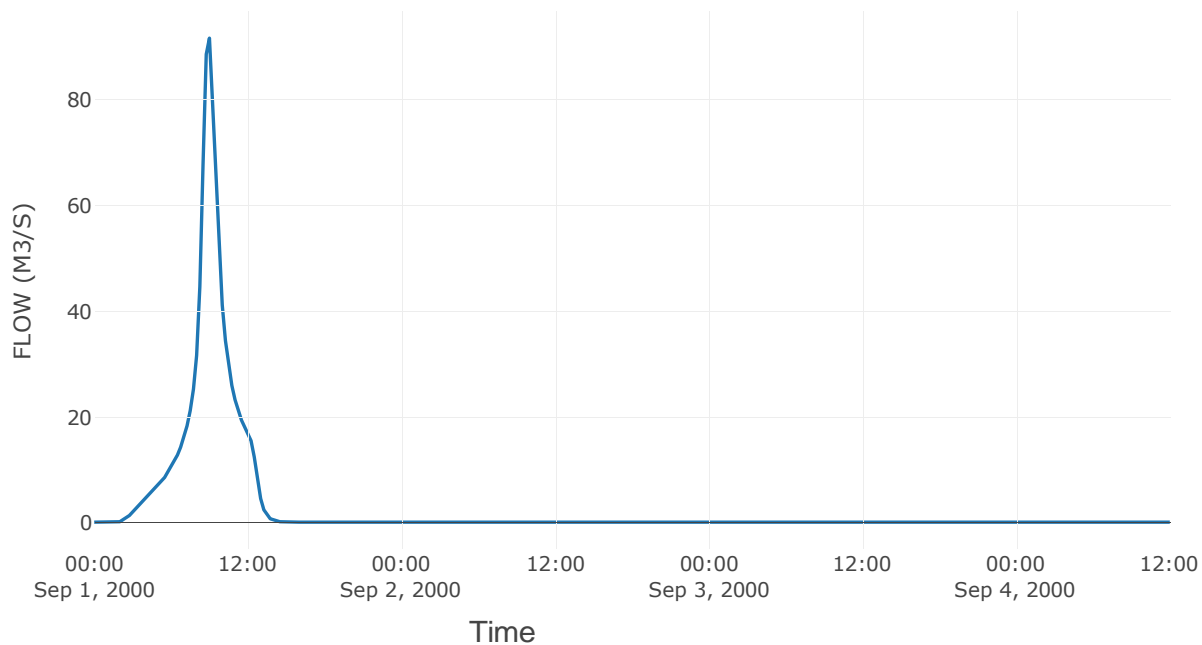
Κατάντη : J10

Μέθοδος Διόδευσης	Χρόνος
Αρχική Μεταβλητή	Combined Inflow
Χρόνος Υστέρησης	8.23

Αποτελέσματα: R1110

Παροχή Αιχμής (M3/S)	91.66
Χρονική στιγμή αιχμής	01Sep2000, 09:00
Όγκος (MM)	174.23
Παροχή Αιχμής Εισόδου (M3/S)	95.49
Όγκος Εισροής (M3)	9.46E5

Απορροή



Κλάδος: R1312

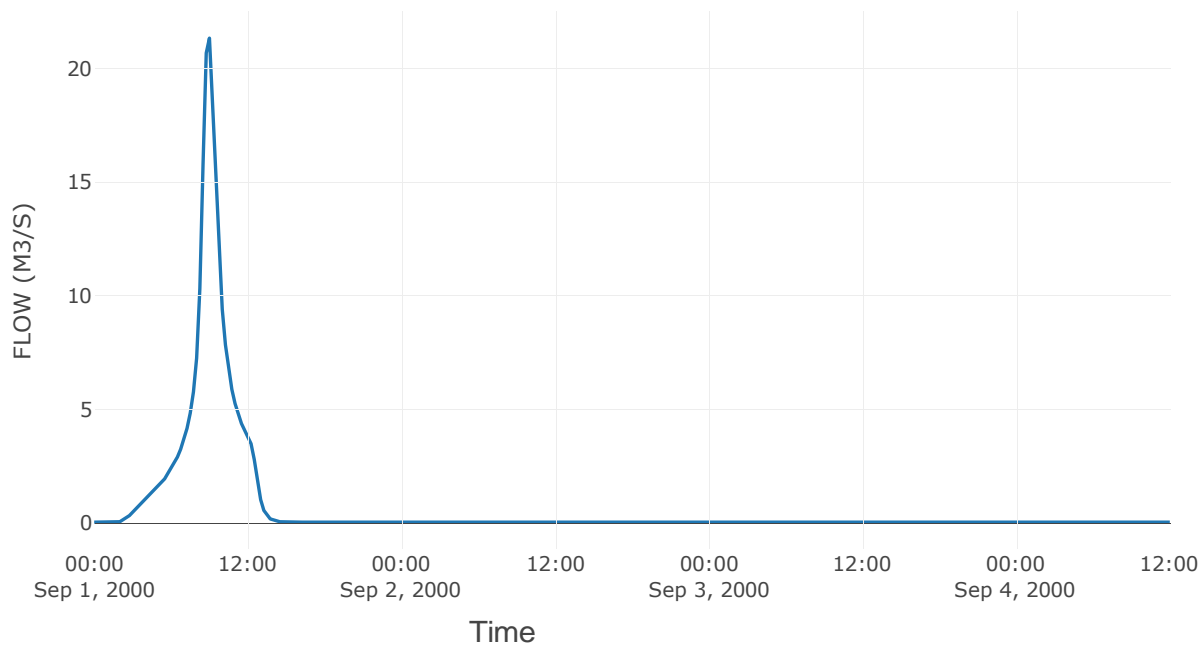
Κατάντη : J12

Μέθοδος Διόδευσης	Χρόνος
Αρχική Μεταβλητή	Combined Inflow
Χρόνος Υστέρησης	8.36

Αποτελέσματα: R1312

Παροχή Αιχμής (M3/S)	21.34
Χρονική στιγμή αιχμής	01Sep2000, 09:00
Όγκος (MM)	173.91
Παροχή Αιχμής Εισόδου (M3/S)	22.28
Όγκος Εισροής (M3)	2.17E5

Απορροή



Κλάδος: R1514

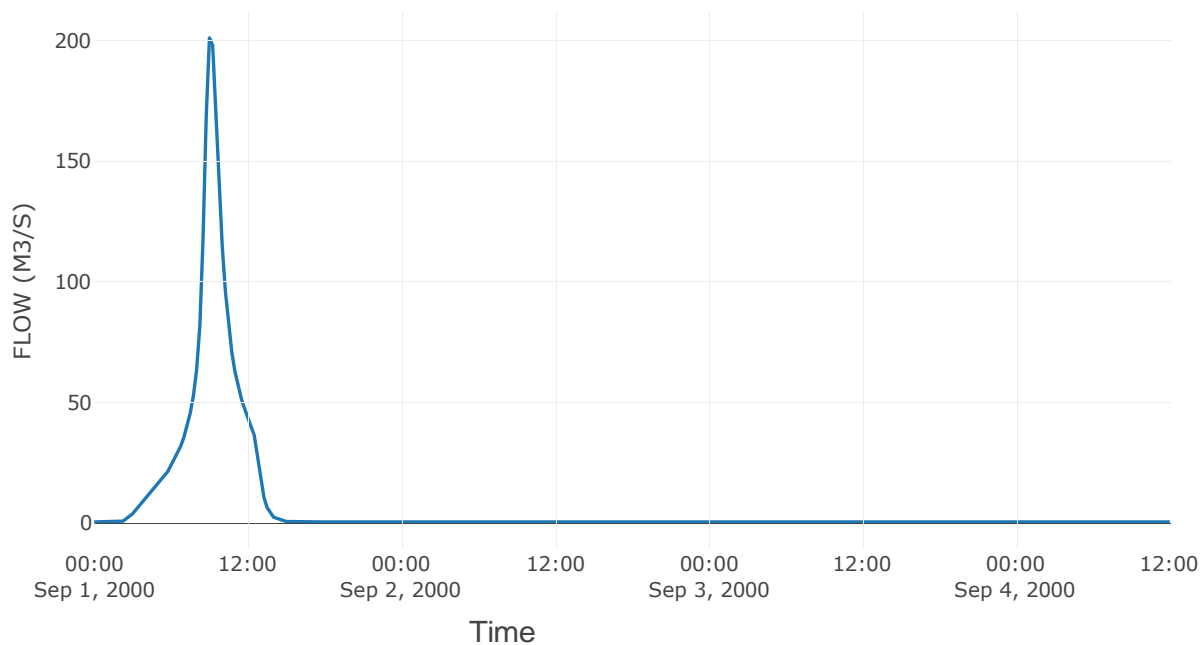
Κατάντη : J14

Μέθοδος Διόδευσης	Χρόνος
Αρχική Μεταβλητή	Combined Inflow
Χρόνος Υστέρησης	13.79

Αποτελέσματα: R1514

Παροχή Αιχμής (M3/S)	200.95
Χρονική στιγμή αιχμής	01Sep2000, 09:00
Όγκος (MM)	175.74
Παροχή Αιχμής Εισόδου (M3/S)	201.52
Όγκος Εισροής (M3)	2.23E6

Απορροή



Κλάδος: R1716

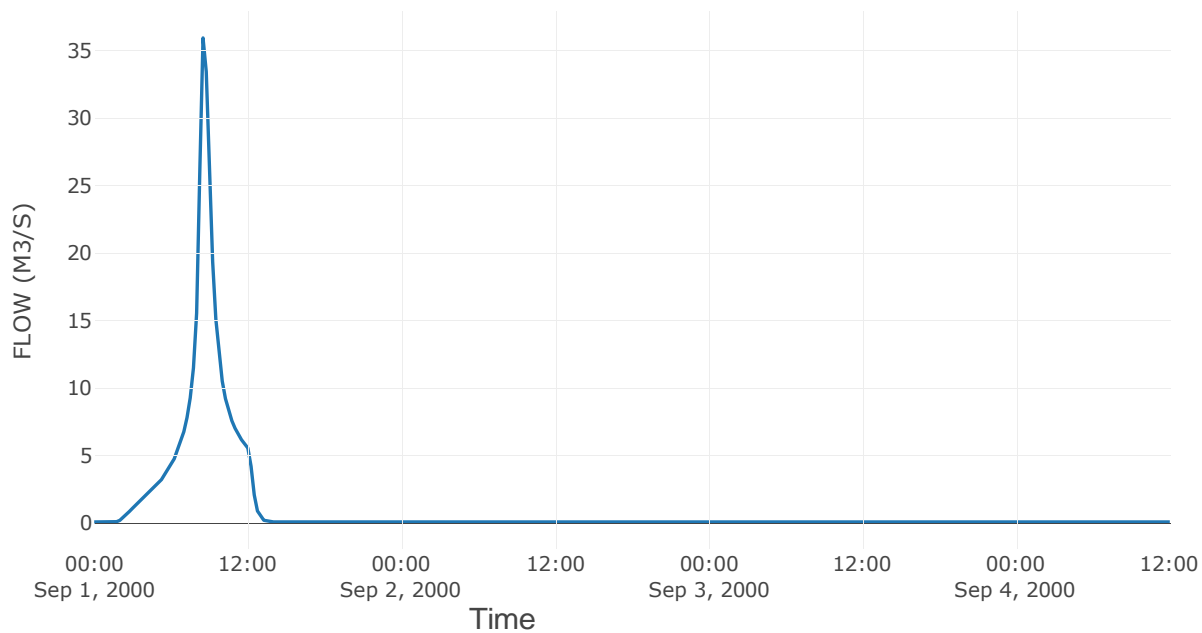
Κατάντη : J16

Μέθοδος Διόδευσης	Χρόνος
Αρχική Μεταβλητή	Combined Inflow
Χρόνος Υστέρησης	2.41

Αποτελέσματα: R1716

Παροχή Αιχμής (M3/S)	35.93
Χρονική στιγμή αιχμής	01Sep2000, 08:30
Όγκος (MM)	171.9
Παροχή Αιχμής Εισόδου (M3/S)	37.19
Όγκος Εισροής (M3)	3.27E5

Απορροή



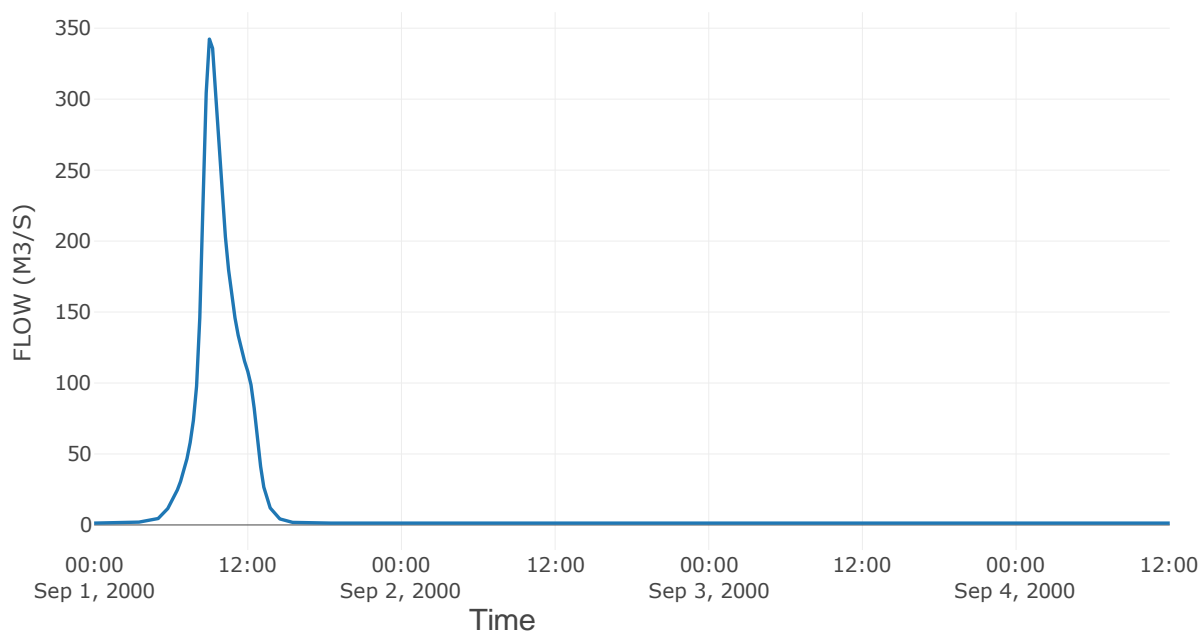
8.3 Δεδομένα και Υδρογραφήματα Σχεδιασμού Κόμβων Υδρογραφικού Δικτύου

Κόμβος εξόδου: J1

Αποτέλεσμα
τα: J1

Παροχή αιχμής (M3/S)	342.33
Χρονική στιγμή αιχμής	01Sep2000, 09:00
Όγκος (MM)	109.28

Απορροή



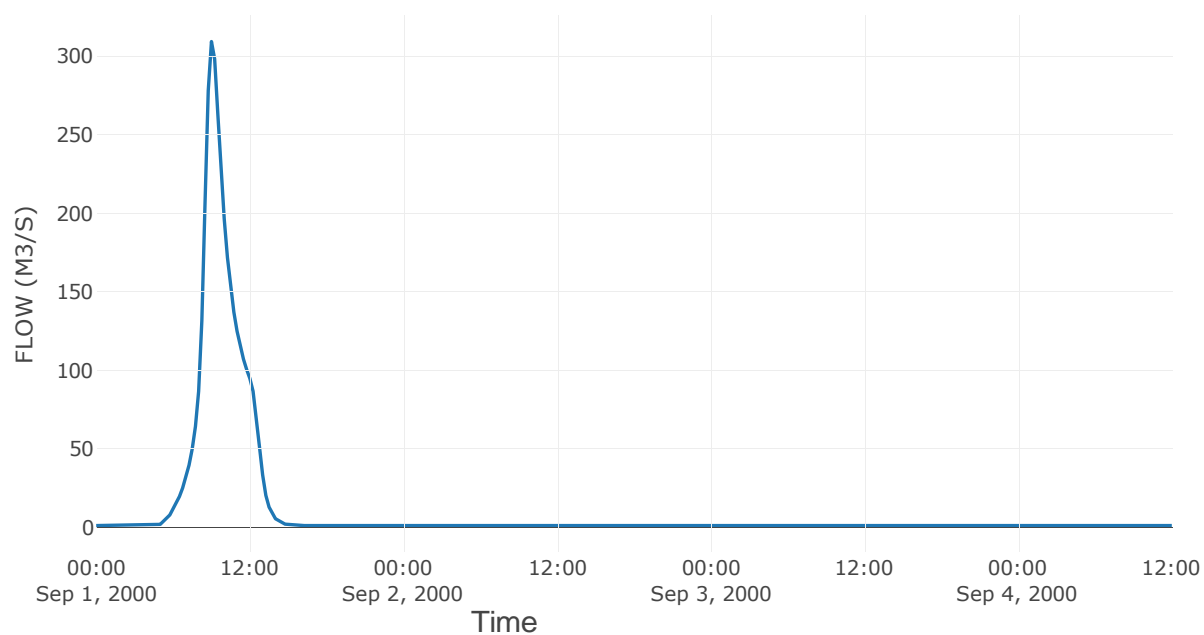
Κόμβος: J2

Κατάντη : J1

Αποτελέσματα: J2

Παροχή Αιχμής (M3/S)	309.39
Χρονική στιγμή αιχμής	01Sep2000, 09:00
Όγκος (MM)	103.35

Απορροή

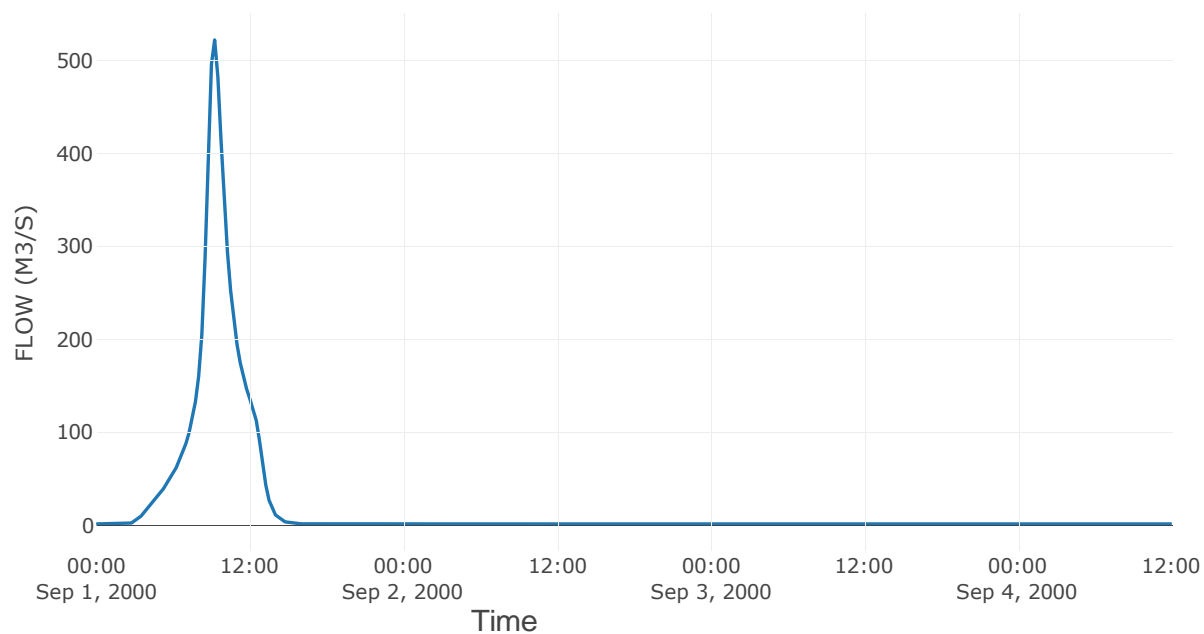


Κόμβος εξόδου: J3

Αποτέλεσμα
τα: J3

Παροχή αιχμής (M3/S)	521.99
Χρονική στιγμή αιχμής	01Sep2000, 09:15
Όγκος (MM)	165.08

Απορροή



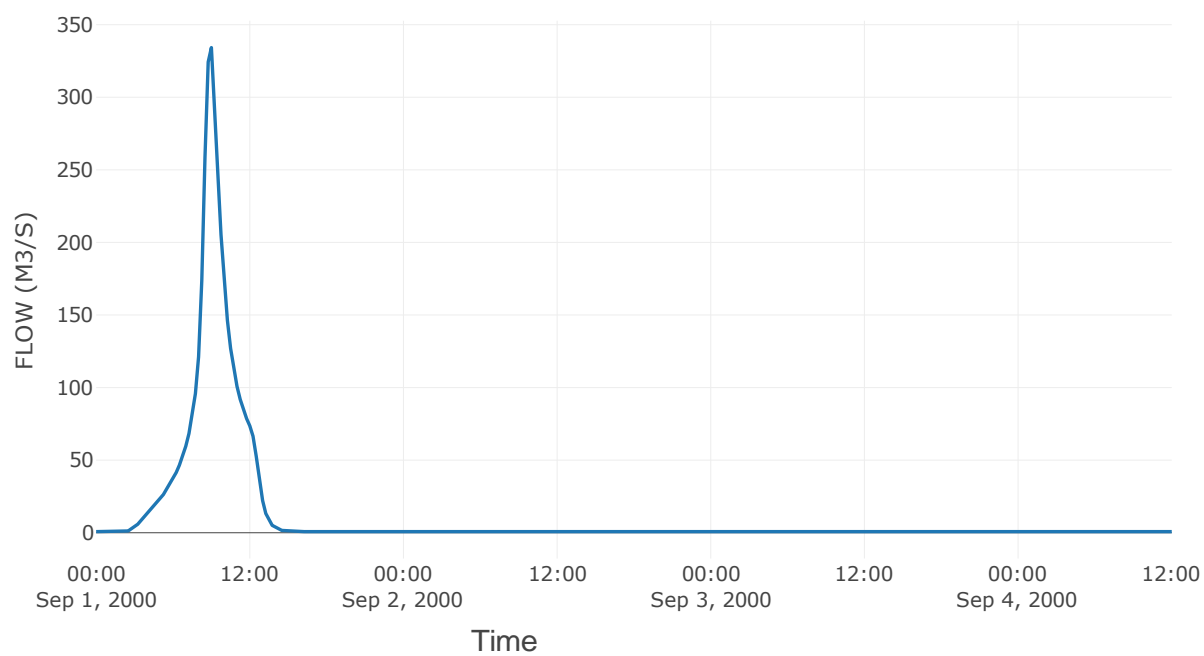
Κόμβος: J4

Κατάντη : R43

Αποτελέσματα: J4

Παροχή Αιχμής (M3/S)	334.2
Χρονική στιγμή αιχμής	01Sep2000, 09:00
Όγκος (MM)	168.77

Απορροή

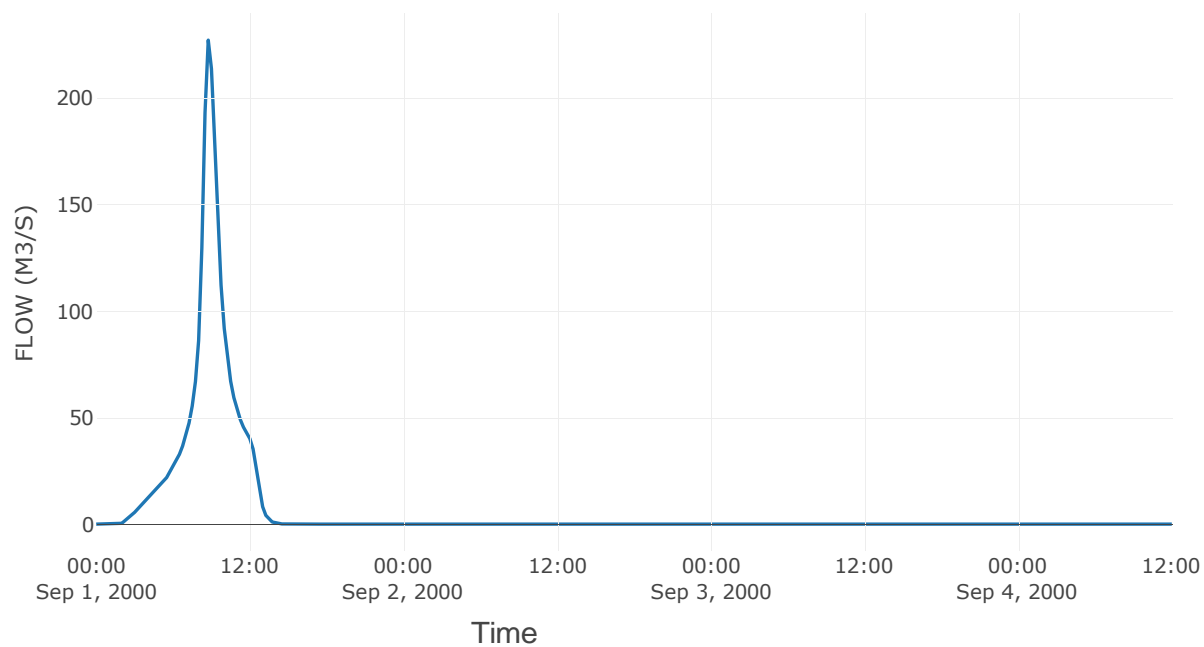


Κόμβος εξόδου: J5

Αποτέλεσμα
τα: J5

Παροχή αιχμής (M3/S)	227.26
Χρονική στιγμή αιχμής	01Sep2000, 08:45
Όγκος (MM)	180.16

Απορροή



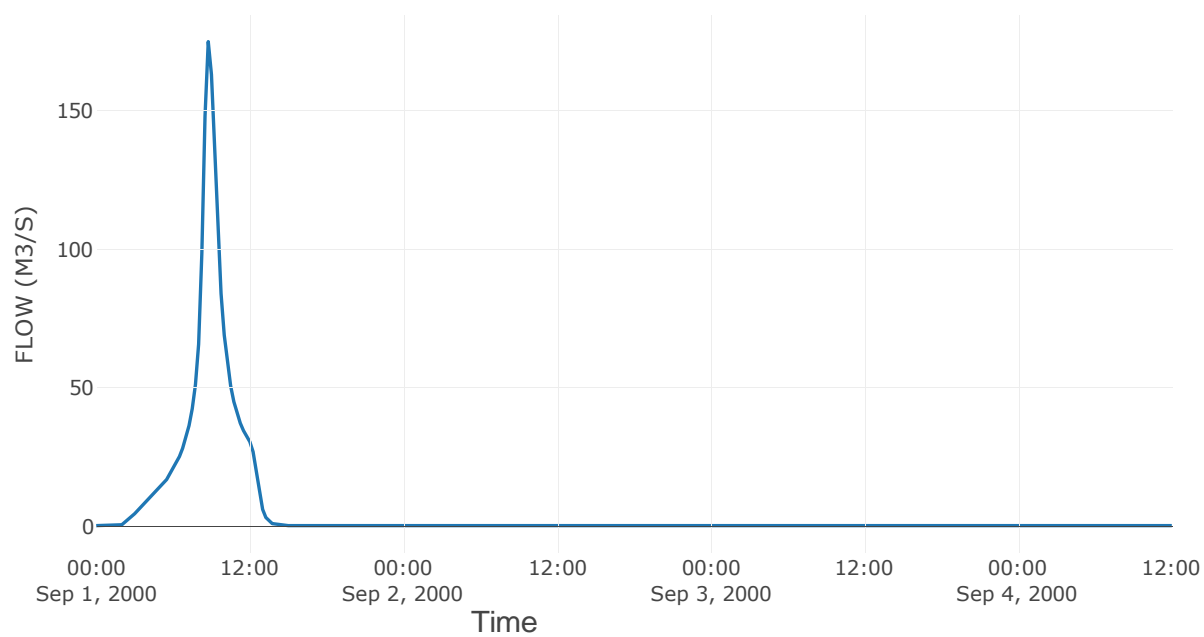
Κόμβος: J6

Κατάντη : R65

Αποτελέσματα: J6

Παροχή Αιχμής (M3/S)	175
Χρονική στιγμή αιχμής	01Sep2000, 08:45
Όγκος (MM)	181.53

Απορροή



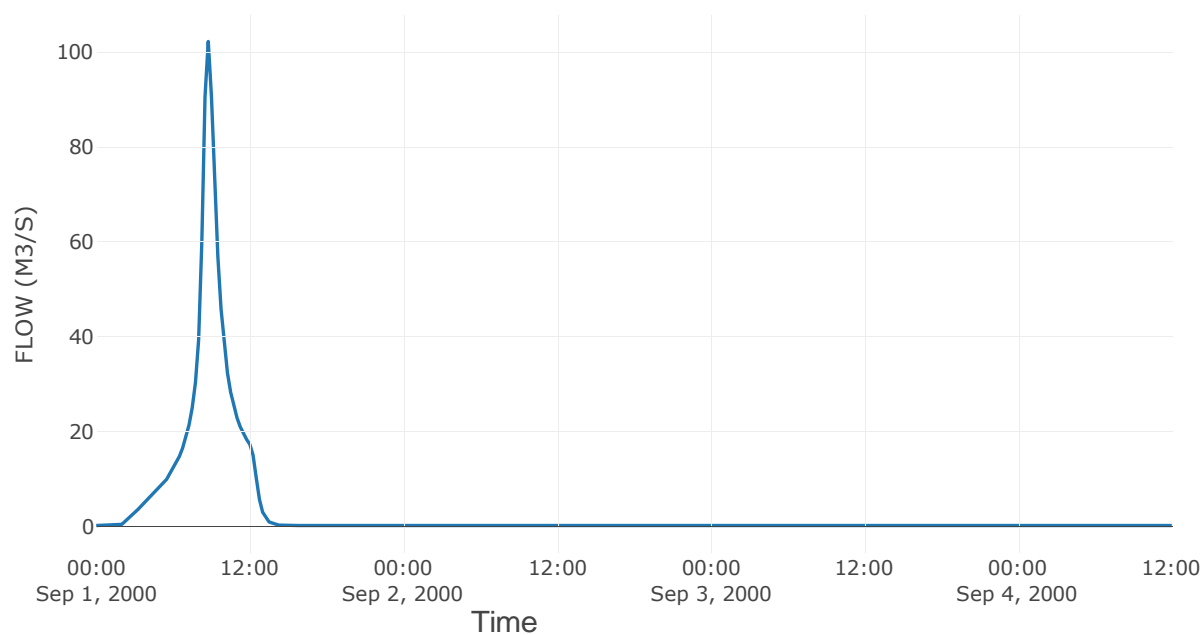
Κόμβος: J7

Κατάντη : R76

Αποτελέσματα: J7

Παροχή Αιχμής (M3/S)	102.22
Χρονική στιγμή αιχμής	01Sep2000, 08:45
Όγκος (MM)	185.84

Απορροή

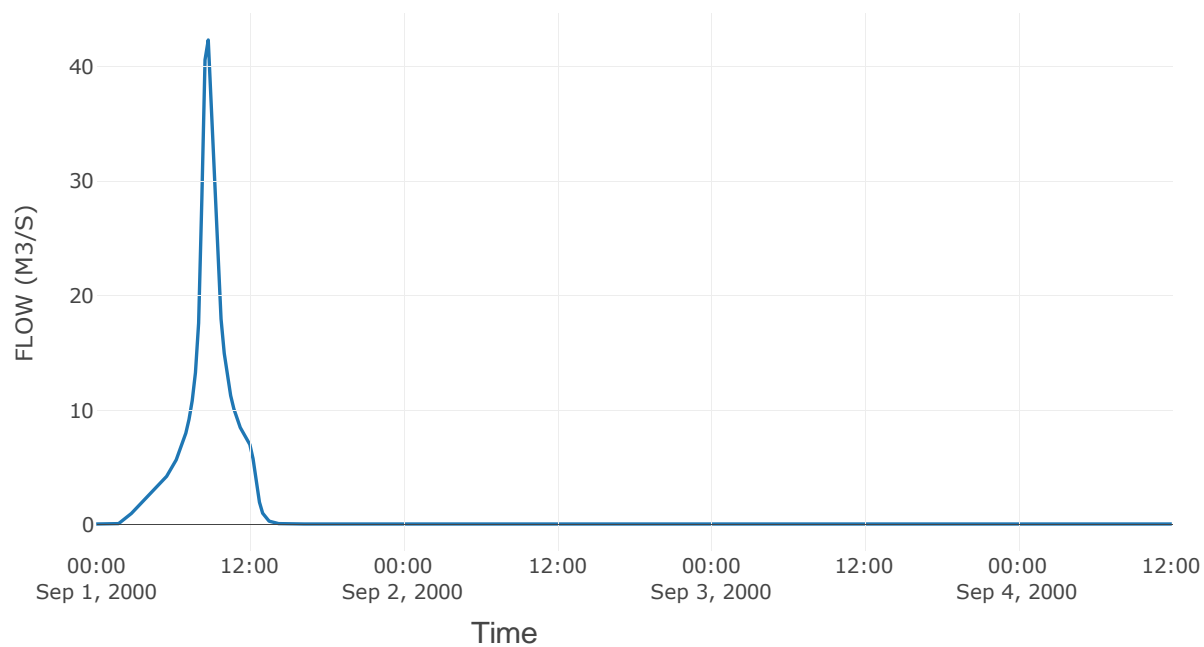


Κόμβος εξόδου: J8

Αποτέλεσμα
τα: J8

Παροχή αιχμής (M3/S)	42.31
Χρονική στιγμή αιχμής	01Sep2000, 08:45
Όγκος (MM)	176.86

Απορροή



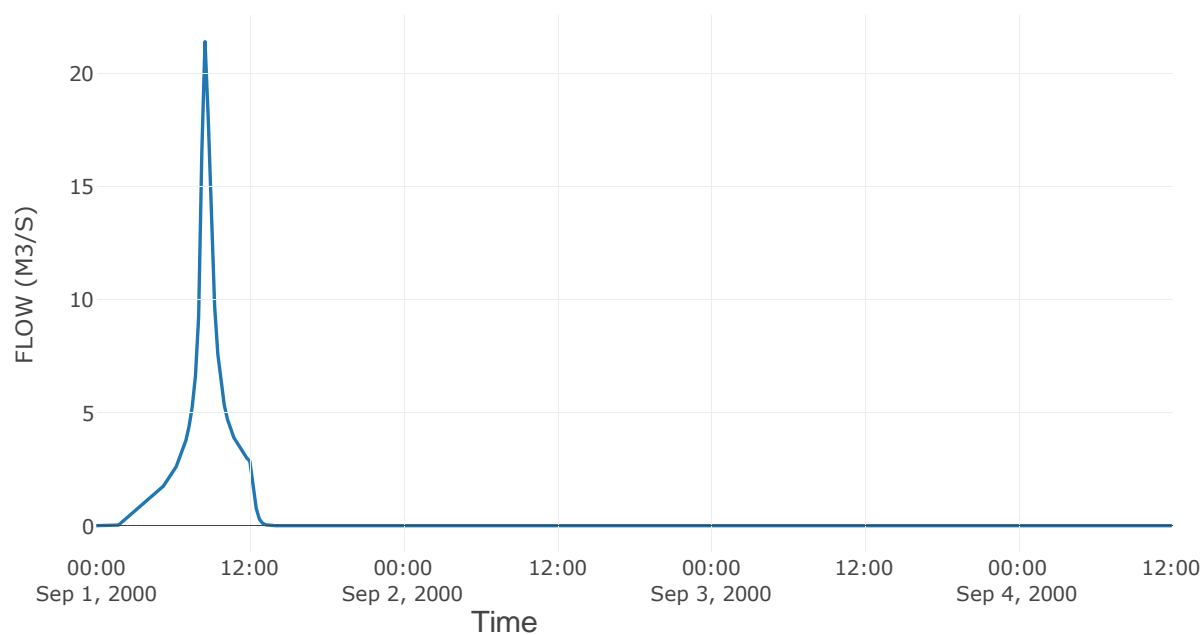
Κόμβος: J9

Κατάντη : R98

Αποτελέσματα: J9

Παροχή Αιχμής (M3/S)	21.42
Χρονική στιγμή αιχμής	01Sep2000, 08:30
Όγκος (MM)	176.58

Απορροή

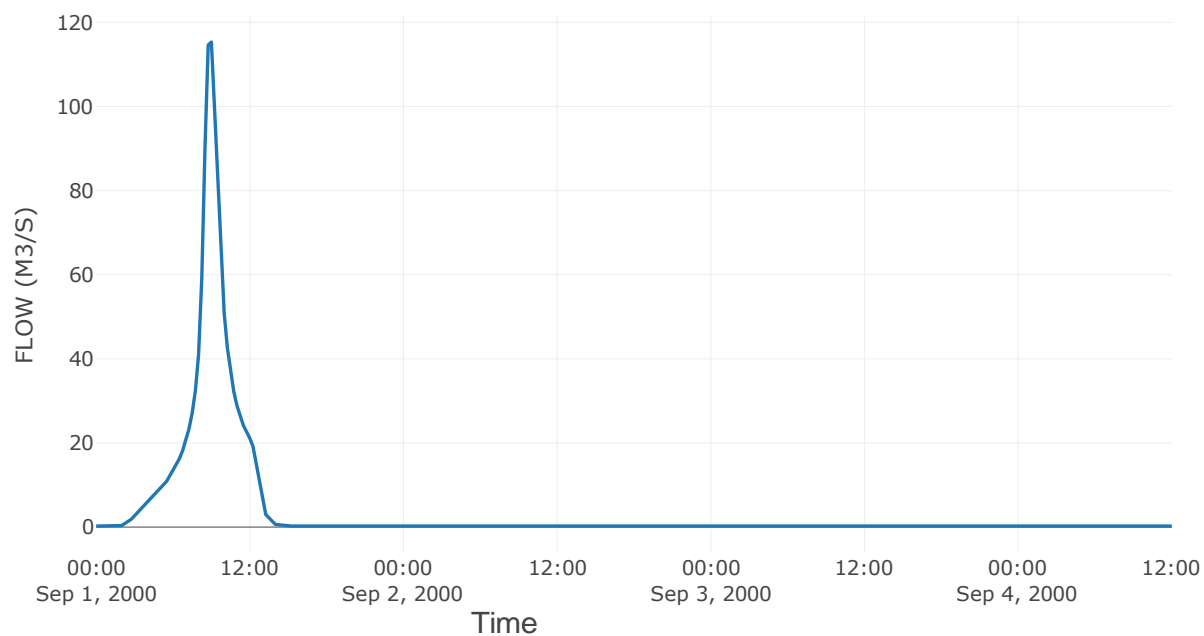


Κόμβος εξόδου: J10

Αποτελέσμα
α: J10

Παροχή αιχμής (M3/S)	115.34
Χρονική στιγμή αιχμής	01Sep2000, 09:00
Όγκος (MM)	173.7

Απορροή



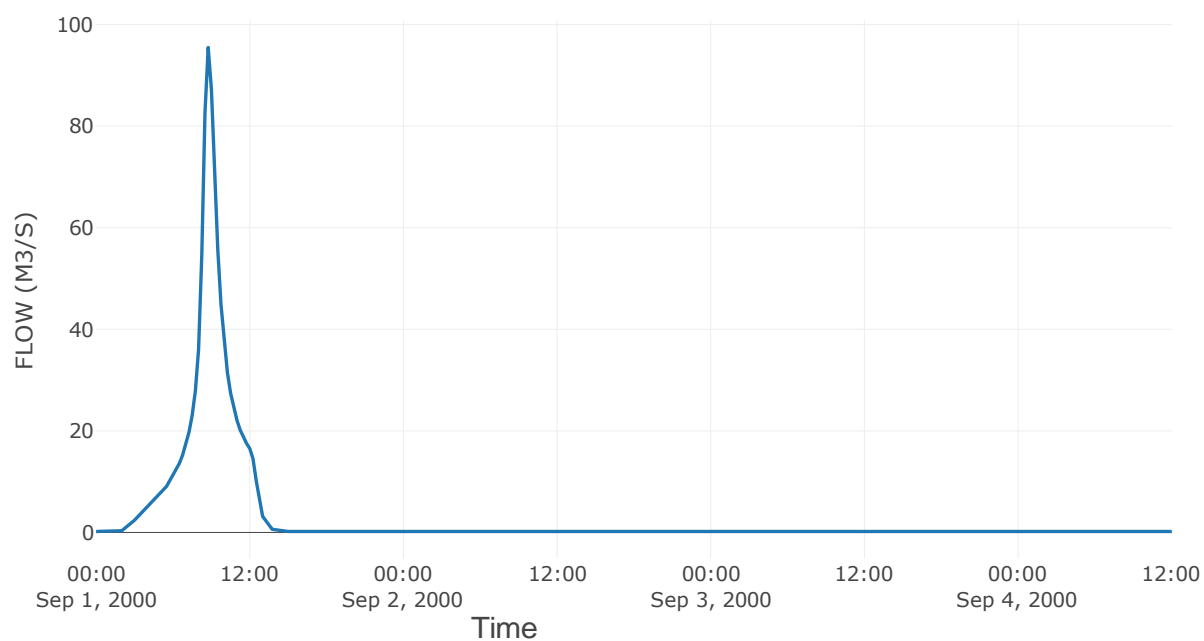
Κόμβος: J11

Κατάντη : R1110

Αποτελέσματα: J11

Παροχή Αιχμής (M3/S)	95.49
Χρονική στιγμή αιχμής	01Sep2000, 08:45
Όγκος (MM)	174.23

Απορροή

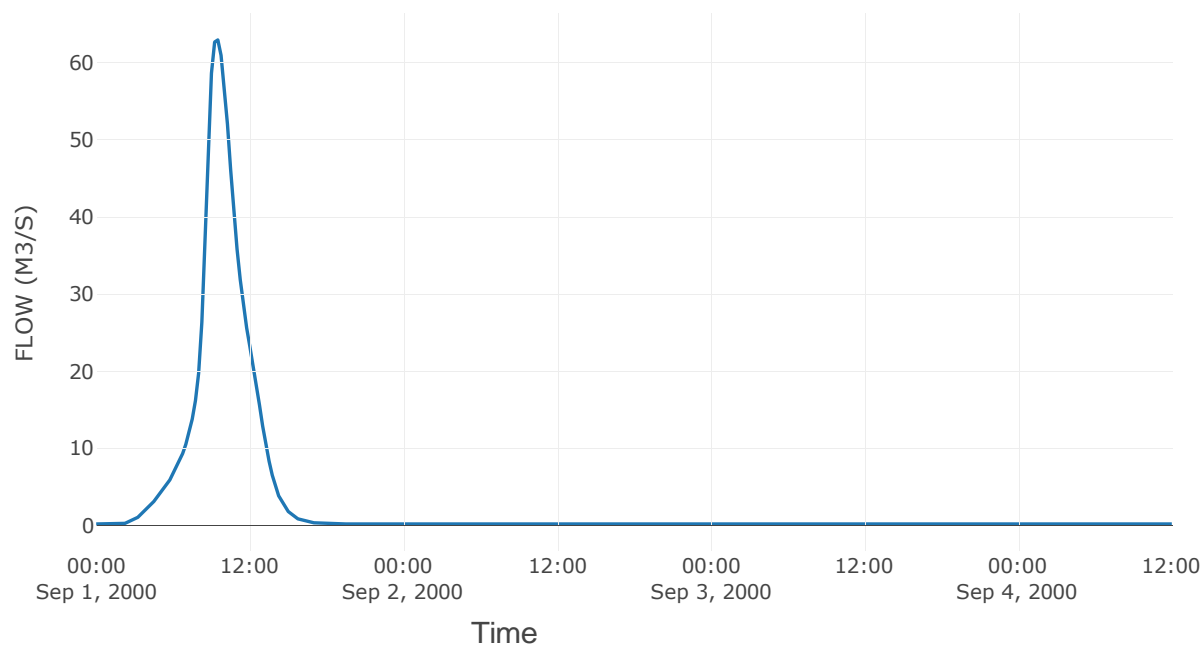


Κόμβος εξόδου: J12

Αποτελέσμα
α: J12

Παροχή αιχμής (M3/S)	62.95
Χρονική στιγμή αιχμής	01Sep2000, 09:30
Όγκος (MM)	163.97

Απορροή



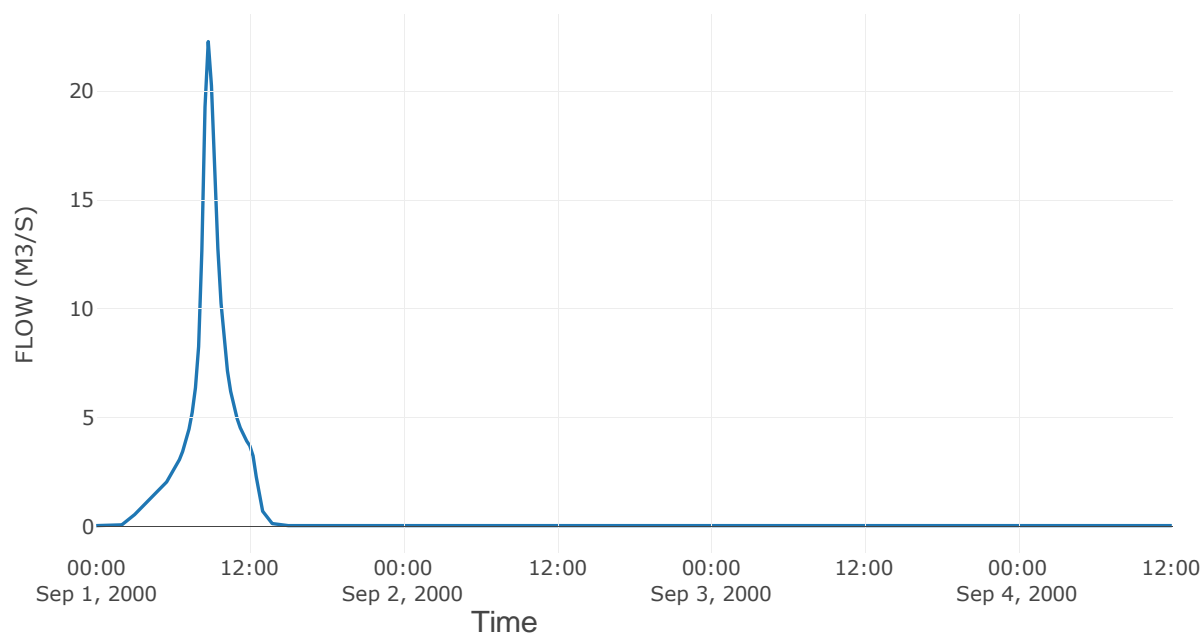
Κόμβος: J13

Κατάντη : R1312

Αποτελέσματα: J13

Παροχή Αιχμής (M3/S)	22.28
Χρονική στιγμή αιχμής	01Sep2000, 08:45
Όγκος (MM)	173.91

Απορροή

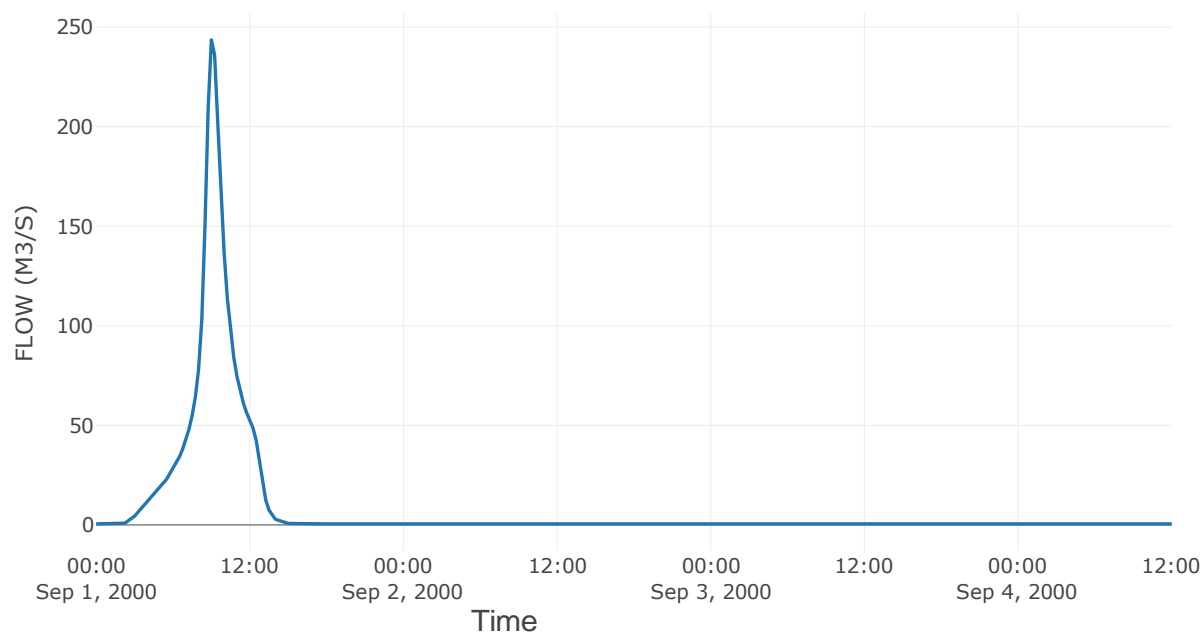


Κόμβος εξόδου: J14

Αποτελέσμα
α: J14

Παροχή αιχμής (M3/S)	243.59
Χρονική στιγμή αιχμής	01Sep2000, 09:00
Όγκος (MM)	173.7

Απορροή



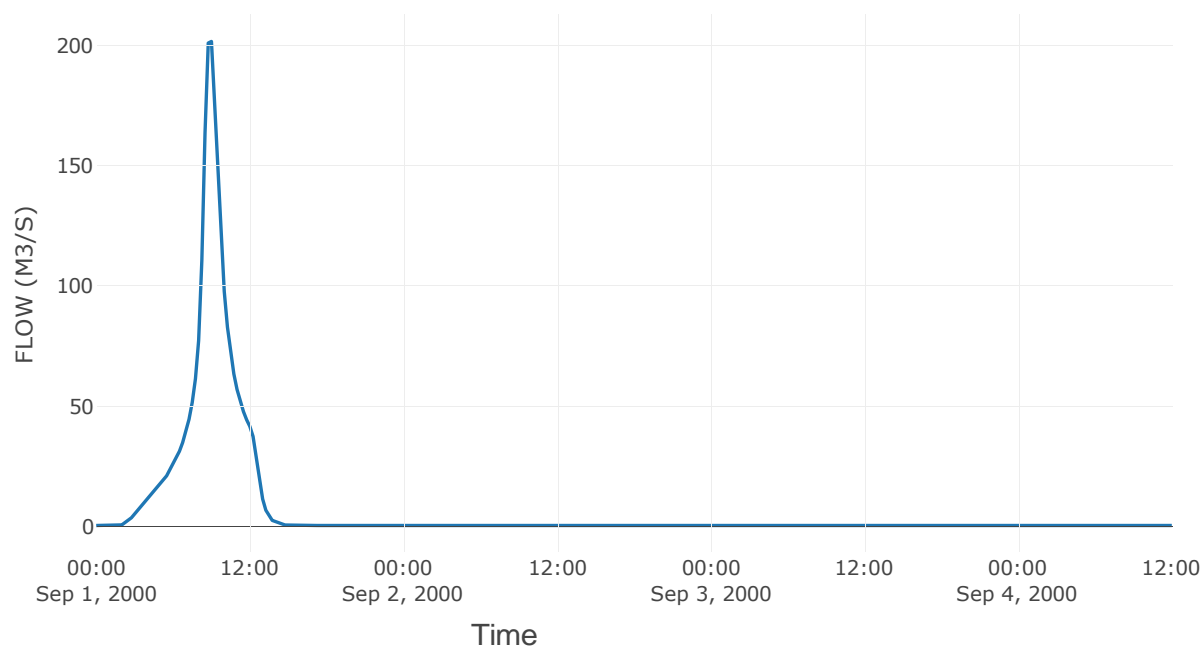
Κόμβος: J15

Κατάντη : R1514

Αποτελέσματα: J15

Παροχή Αιχμής (M3/S)	201.52
Χρονική στιγμή αιχμής	01Sep2000, 09:00
Όγκος (MM)	175.74

Απορροή

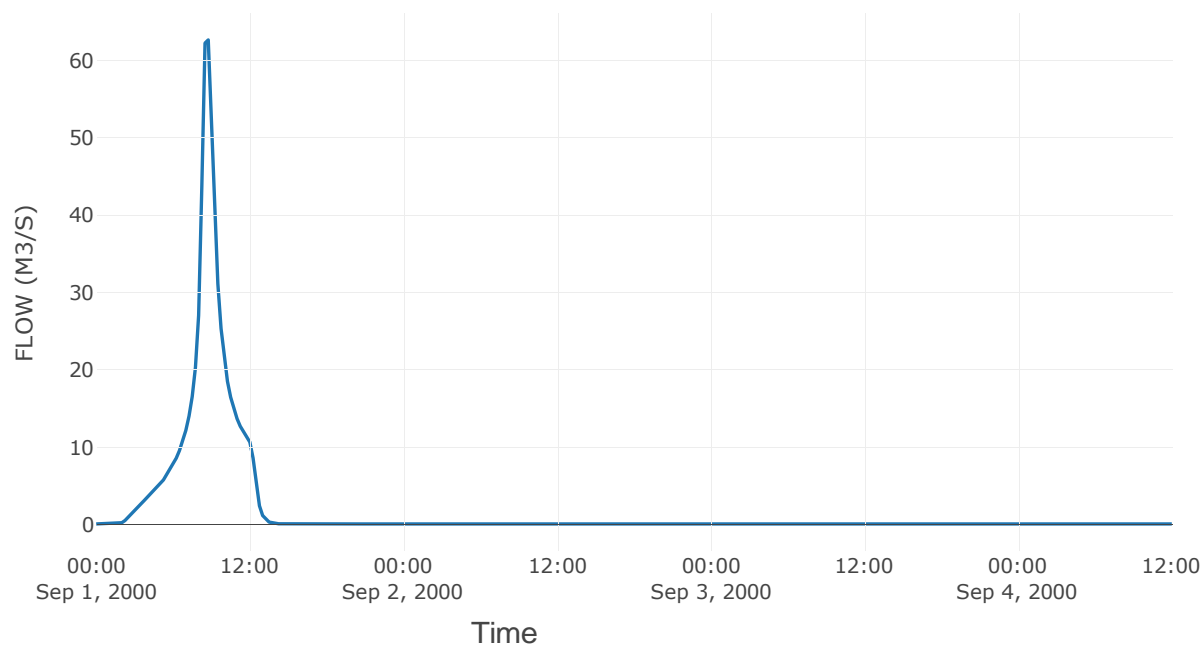


Κόμβος εξόδου: J16

Αποτελέσματ
α: J16

Παροχή αιχμής (M3/S)	62.63
Χρονική στιγμή αιχμής	01Sep2000, 08:45
Όγκος (MM)	170.94

Απορροή



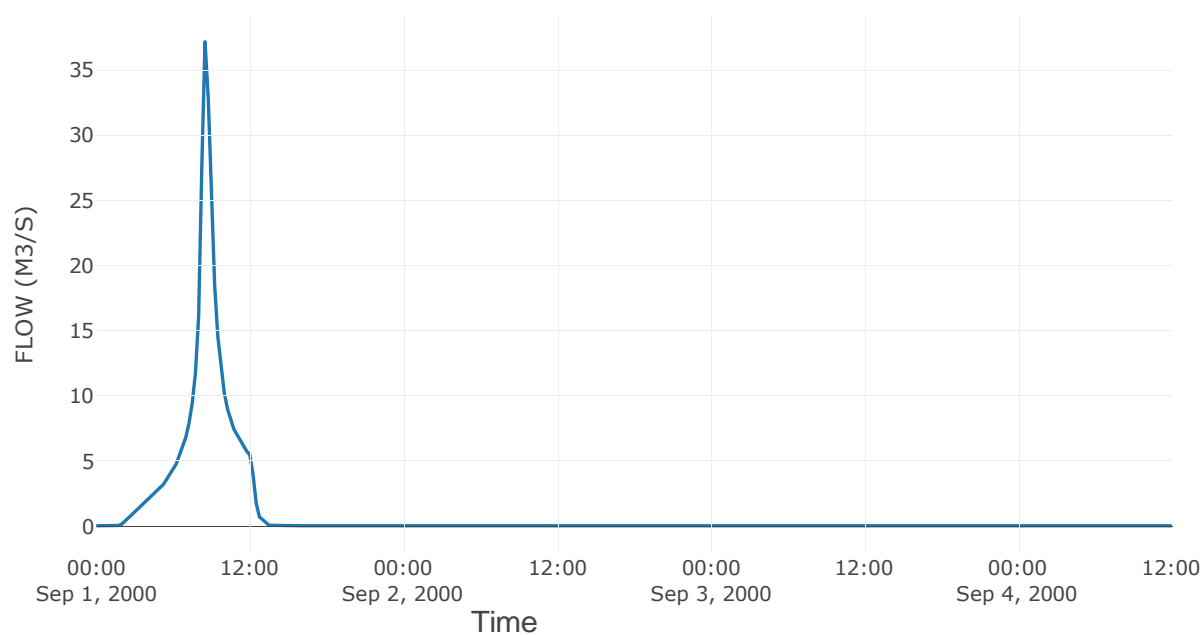
Κόμβος: J17

Κατάντη : R1716

Αποτελέσματα: J17

Παροχή Αιχμής (M3/S)	37.19
Χρονική στιγμή αιχμής	01Sep2000, 08:30
Όγκος (MM)	171.9

Απορροή



9 Δεδομένα εισόδου και αποτελέσματα υδρολογικού σεναρίου T=1000L

9.1 Αποτελέσματα, υετογραφήματα και υδρογραφήματα σχεδιασμού υπολεκάνων

Υπολεκάνη: EL0421FR003001

Έκταση (KM2) : 2.97

Κατάντη : J1

Μέθοδος Απωλειών: SCS

Ποσοστό αδιαπέρατης επιφάνειας	0
Αριθμός Καμπύλης Απορροής-CN	63.86
Αρχικές Απώλειες	28.74

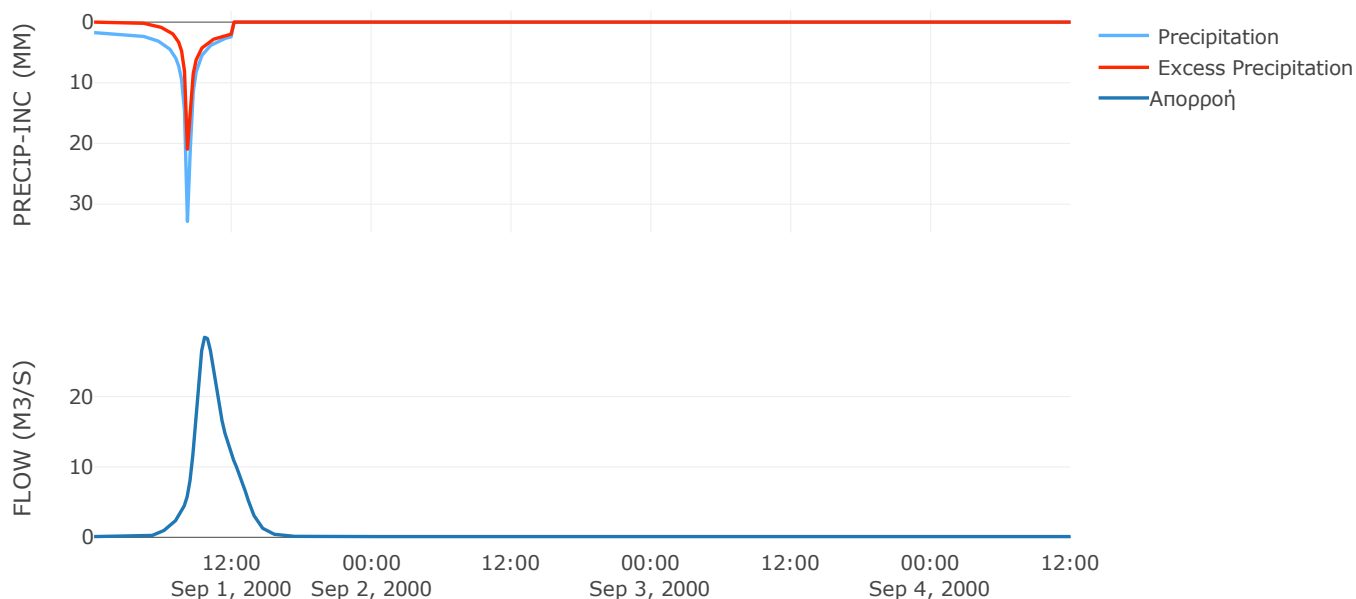
Μέθοδος Μετασχηματισμού: SCS

Χρόνος Υστέρησης	73.97
------------------	-------

Αποτελέσματα:
EL0421FR003001

Παροχή αιχμής (M3/S)	28.42
Χρονική στιγμή αιχμής	01Sep2000, 09:30
Όγκος (MM)	124.83
Όγκος βροχόπτωσης (M3)	6.72E5
Όγκος απωλειών (M3)	3.33E5
Ενεργός Όγκος (M3)	3.4E5
Όγκος άμεσης απορροής (M3)	3.4E5
Όγκος βασικής απορροής (M3)	31464.72

Βροχόπτωση και Απορροή



Υπολεκάνη: EL0421FR003002

Έκταση (KM2) : 34.23

Κατάντη : J2

Μέθοδος Απωλειών: SCS

Ποσοστό αδιαπέρατης επιφάνειας	0
Αριθμός Καμπύλης Απορροής-CN	33.47
Αρχικές Απώλειες	100.96

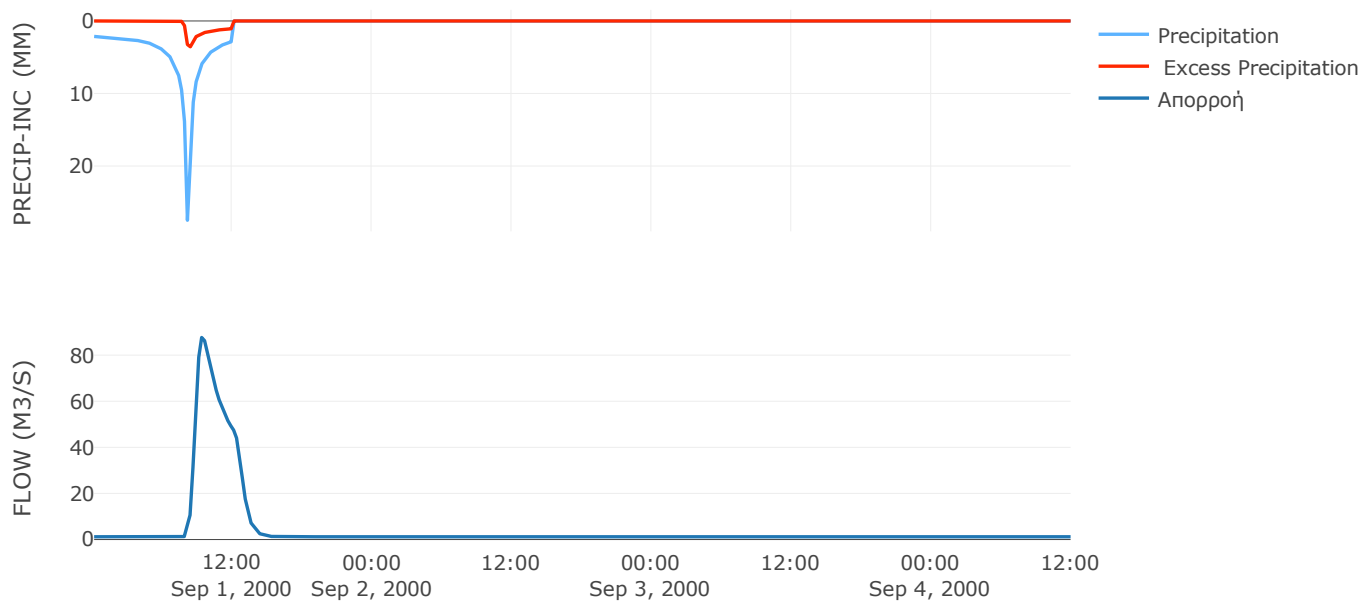
Μέθοδος Μετασχηματισμού: SCS

Χρόνος Υστέρησης	42.51
------------------	-------

Αποτελέσματα:
EL0421FR003002

Παροχή αιχμής (M3/S)	87.66
Χρονική στιγμή αιχμής	01Sep2000, 09:15
Όγκος (MM)	39.27
Όγκος βροχόπτωσης (M3)	8.09E6
Όγκος απωλειών (M3)	7.11E6
Ενεργός Όγκος (M3)	9.82E5
Όγκος άμεσης απορροής (M3)	9.82E5
Όγκος βασικής απορροής (M3)	3.62E5

Βροχόπτωση και Απορροή



Υπολεκάνη: EL0421FR003003

Έκταση (KM2) : 15.17

Κατάντη : J3

Μέθοδος Απωλειών: SCS

Ποσοστό αδιαπέρατης επιφάνειας	0
Αριθμός Καμπύλης Απορροής-CN	55.18
Αρχικές Απώλειες	41.27

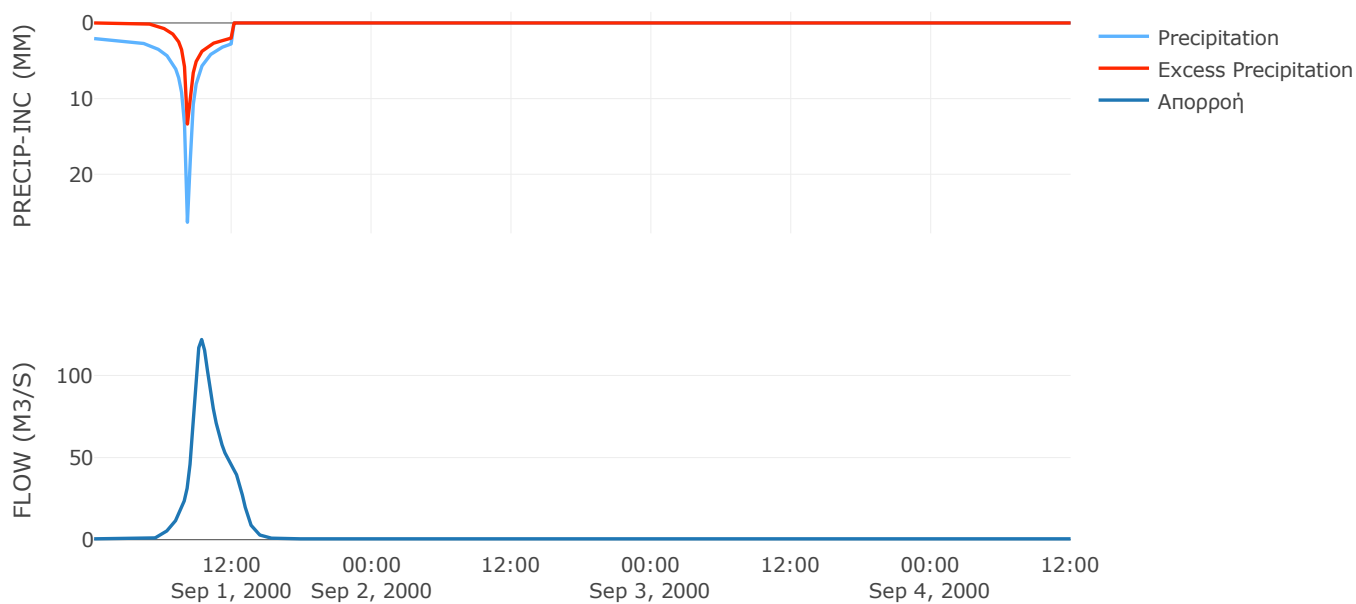
Μέθοδος Μετασχηματισμού: SCS

Χρόνος Υστέρησης	51.17
------------------	-------

Αποτελέσματα:
EL0421FR003003

Παροχή αιχμής (M3/S)	121.9
Χρονική στιγμή αιχμής	01Sep2000, 09:15
Όγκος (MM)	99.26
Όγκος βροχόπτωσης (M3)	3.46E6
Όγκος απωλειών (M3)	2.11E6
Ενεργός Όγκος (M3)	1.35E6
Όγκος άμεσης απορροής (M3)	1.35E6
Όγκος βασικής απορροής (M3)	1.61E5

Βροχόπτωση και Απορροή



Υπολεκάνη: EL0421FR003004

Έκταση (KM2) : 21.72

Κατάντη : J4

Μέθοδος Απωλειών: SCS

Ποσοστό αδιαπέρατης επιφάνειας	0
Αριθμός Καμπύλης Απορροής-CN	55.54
Αρχικές Απώλειες	40.67

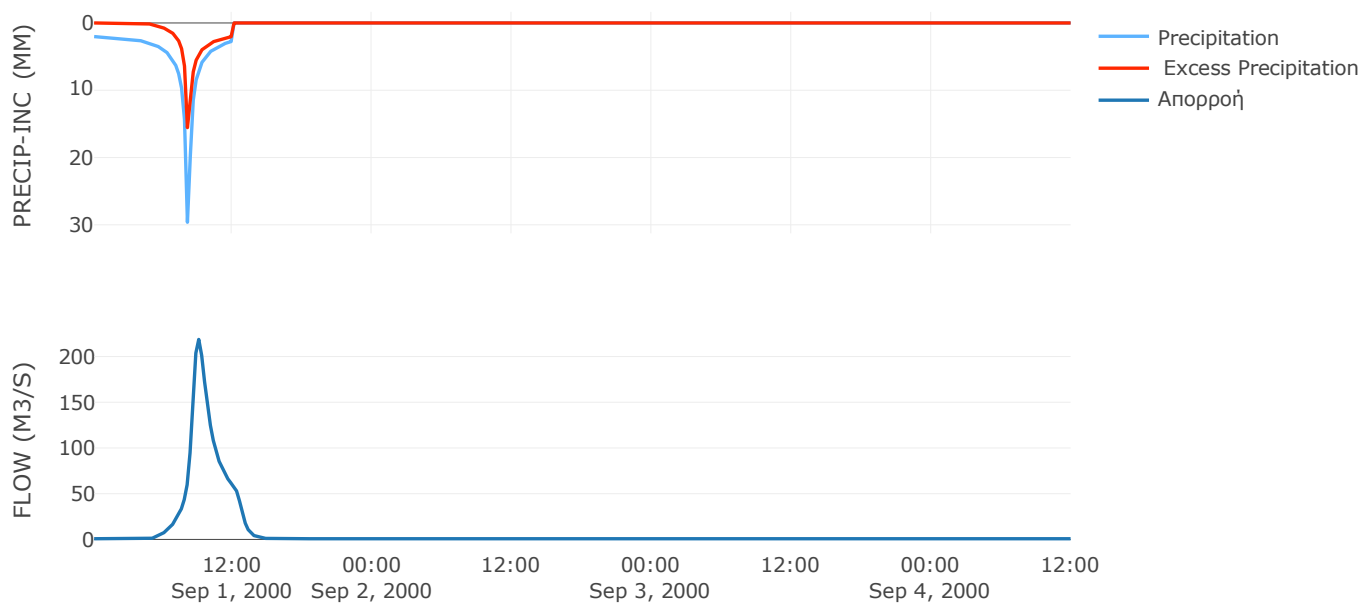
Μέθοδος Μετασχηματισμού: SCS

Χρόνος Υστέρησης	39.31
------------------	-------

Αποτελέσματα:
EL0421FR003004

Παροχή αιχμής (M3/S)	218.67
Χρονική στιγμή αιχμής	01Sep2000, 09:00
Όγκος (MM)	106.85
Όγκος βροχόπτωσης (M3)	5.14E6
Όγκος απωλειών (M3)	3.05E6
Ενεργός Όγκος (M3)	2.09E6
Όγκος άμεσης απορροής (M3)	2.09E6
Όγκος βασικής απορροής (M3)	2.3E5

Βροχόπτωση και Απορροή



Υπολεκάνη: EL0421FR003005

Έκταση (KM2) : 3.17

Κατάντη : J5

Μέθοδος Απωλειών: SCS

Ποσοστό αδιαπέρατης επιφάνειας	0
Αριθμός Καμπύλης Απορροής-CN	64.15
Αρχικές Απώλειες	28.39

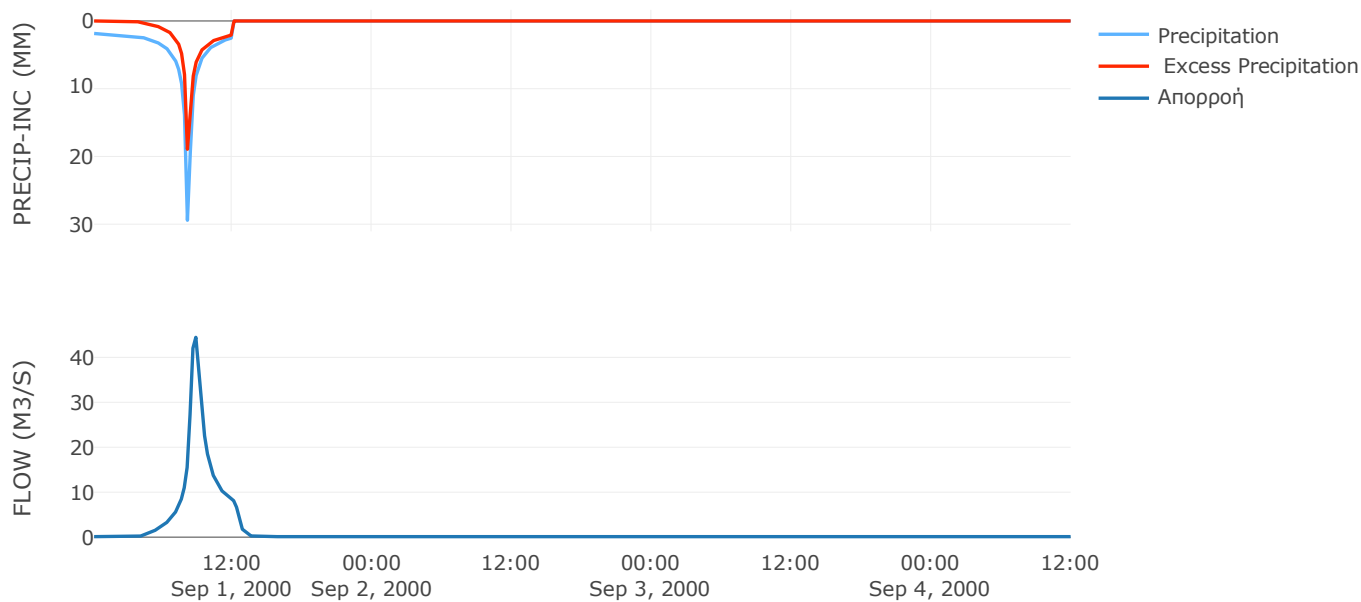
Μέθοδος Μετασχηματισμού: SCS

Χρόνος Υστέρησης	23.91
------------------	-------

Αποτελέσματα:
EL0421FR003005

Παροχή αιχμής (M3/S)	44.46
Χρονική στιγμή αιχμής	01Sep2000, 08:45
Όγκος (MM)	123.83
Όγκος βροχόπτωσης (M3)	7.1E5
Όγκος απωλειών (M3)	3.51E5
Ενεργός Όγκος (M3)	3.59E5
Όγκος άμεσης απορροής (M3)	3.59E5
Όγκος βασικής απορροής (M3)	33560.35

Βροχόπτωση και Απορροή



Υπολεκάνη: EL0421FR003006

Έκταση (KM2) : 4.26

Κατάντη : J6

Μέθοδος Απωλειών: SCS

Ποσοστό αδιαπέρατης επιφάνειας	0
Αριθμός Καμπύλης Απορροής-CN	64.54
Αρχικές Απώλειες	27.91

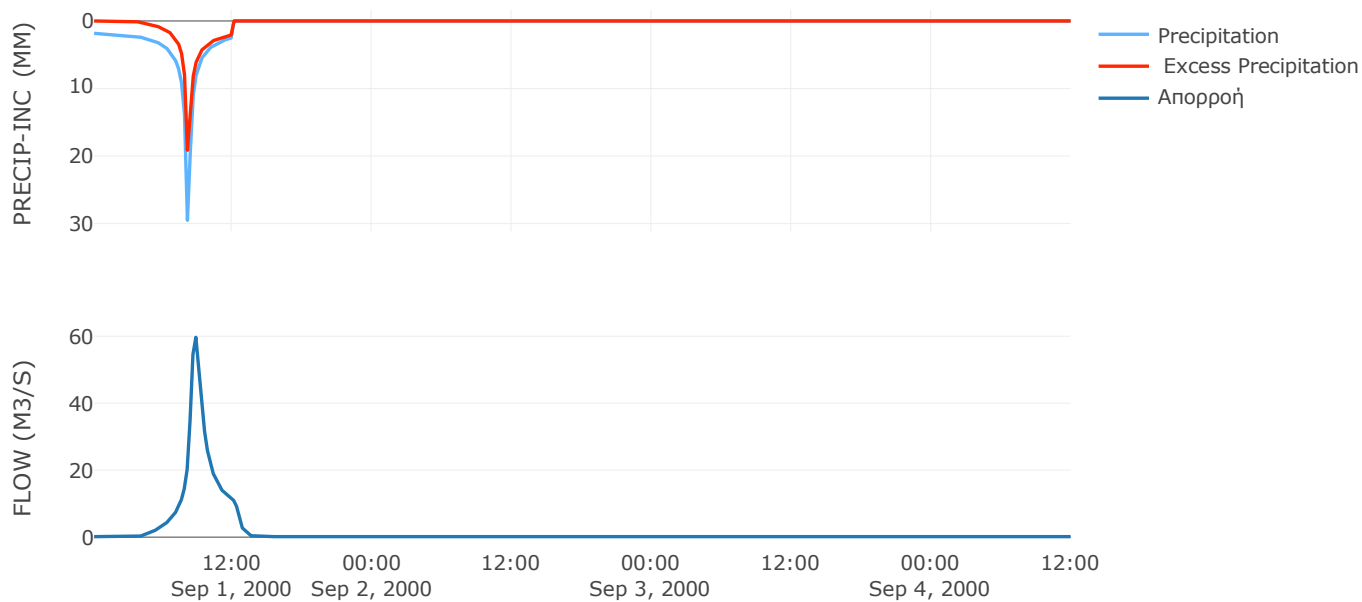
Μέθοδος Μετασχηματισμού: SCS

Χρόνος Υστέρησης	25.63
------------------	-------

Αποτελέσματα:
EL0421FR003006

Παροχή αιχμής (M3/S)	59.67
Χρονική στιγμή αιχμής	01Sep2000, 08:45
Όγκος (MM)	124.42
Όγκος βροχόπτωσης (M3)	9.51E5
Όγκος απωλειών (M3)	4.66E5
Ενεργός Όγκος (M3)	4.85E5
Όγκος άμεσης απορροής (M3)	4.85E5
Όγκος βασικής απορροής (M3)	45118.08

Βροχόπτωση και Απορροή



Υπολεκάνη: EL0421FR003007

Έκταση (KM2) : 5.37

Κατάντη : J7

Μέθοδος Απωλειών: SCS

Ποσοστό αδιαπέρατης επιφάνειας	0
Αριθμός Καμπύλης Απορροής-CN	63.92
Αρχικές Απώλειες	28.67

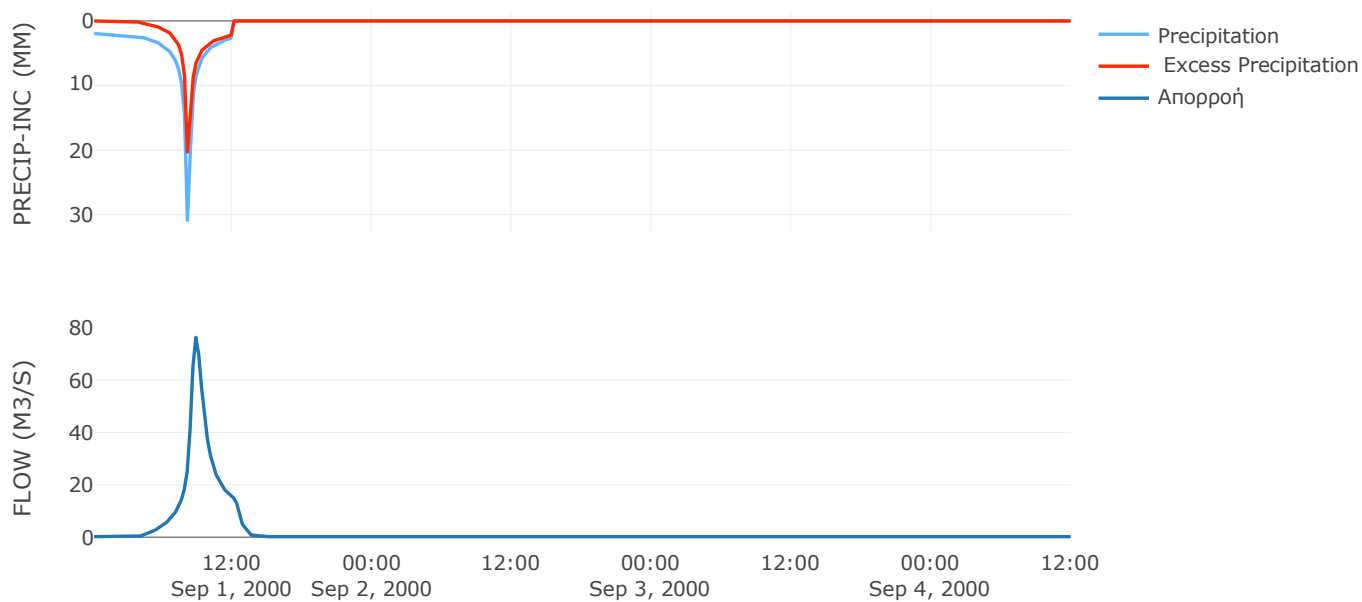
Μέθοδος Μετασχηματισμού: SCS

Χρόνος Υστέρησης	29.91
------------------	-------

Αποτελέσματα:
EL0421FR003007

Παροχή αιχμής (M3/S)	76.31
Χρονική στιγμή αιχμής	01Sep2000, 08:45
Όγκος (MM)	132.08
Όγκος βροχόπτωσης (M3)	1.26E6
Όγκος απωλειών (M3)	6.08E5
Ενεργός Όγκος (M3)	6.52E5
Όγκος άμεσης απορροής (M3)	6.52E5
Όγκος βασικής απορροής (M3)	56842.13

Βροχόπτωση και Απορροή



Υπολεκάνη: EL0421FR003008

Έκταση (KM2) : 1.34

Κατάντη : J8

Μέθοδος Απωλειών: SCS

Ποσοστό αδιαπέρατης επιφάνειας	0
Αριθμός Καμπύλης Απορροής-CN	66.26
Αρχικές Απώλειες	25.87

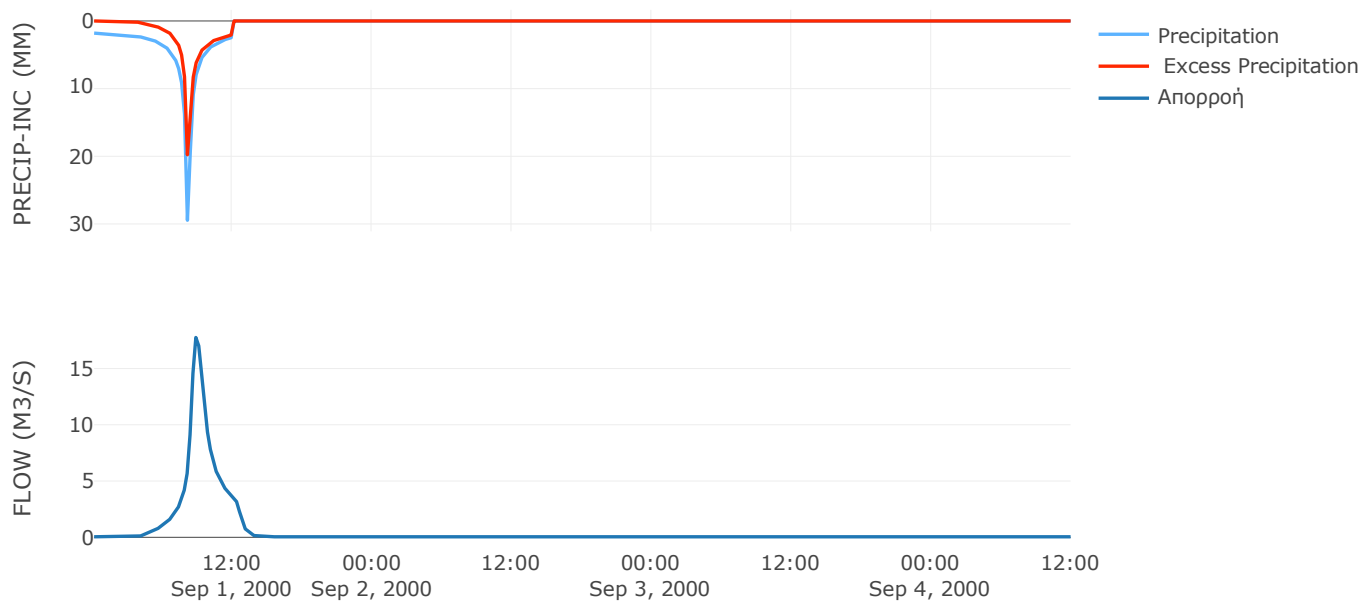
Μέθοδος Μετασχηματισμού: SCS

Χρόνος Υστέρησης	32.65
------------------	-------

Αποτελέσματα:
EL0421FR003008

Παροχή αιχμής (M3/S)	17.76
Χρονική στιγμή αιχμής	01Sep2000, 08:45
Όγκος (MM)	127.51
Όγκος βροχόπτωσης (M3)	2.96E5
Όγκος απωλειών (M3)	1.39E5
Ενεργός Όγκος (M3)	1.57E5
Όγκος άμεσης απορροής (M3)	1.57E5
Όγκος βασικής απορροής (M3)	14187.7

Βροχόπτωση και Απορροή



Υπολεκάνη: EL0421FR003009

Έκταση (KM2) : 1.01

Κατάντη : J9

Μέθοδος Απωλειών: SCS

Ποσοστό αδιαπέρατης επιφάνειας	0
Αριθμός Καμπύλης Απορροής-CN	65.69
Αρχικές Απώλειες	26.54

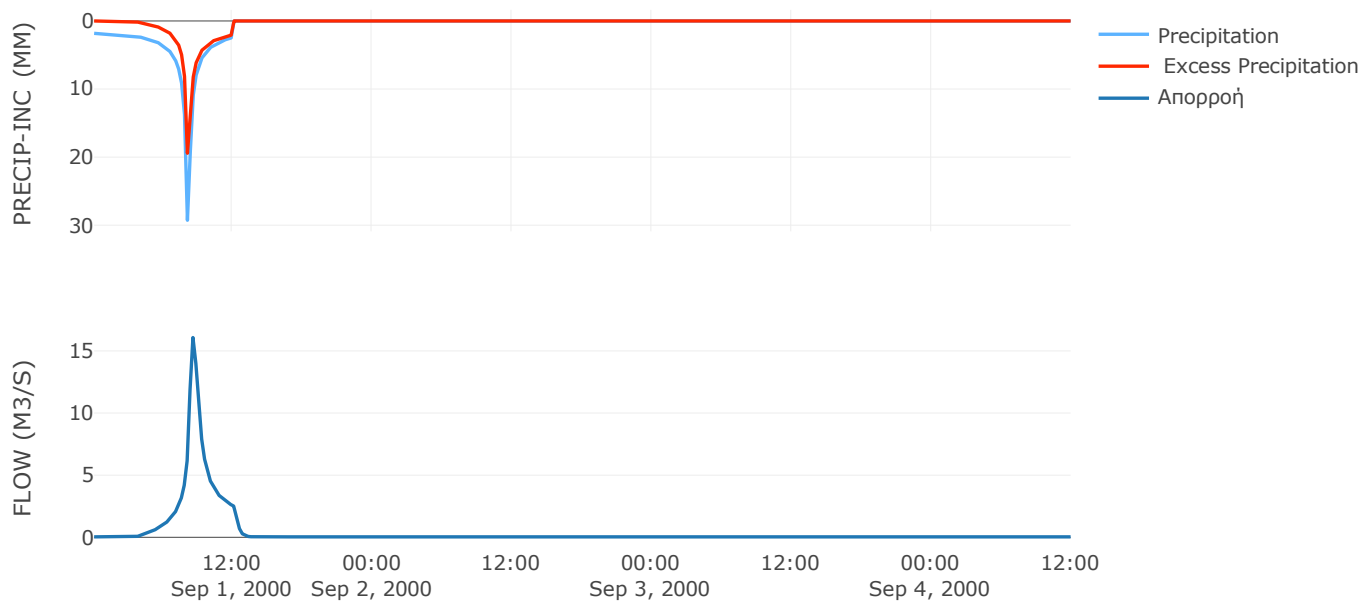
Μέθοδος Μετασχηματισμού: SCS

Χρόνος Υστέρησης	17.29
------------------	-------

Αποτελέσματα:
EL0421FR003009

Παροχή αιχμής (M3/S)	16.07
Χρονική στιγμή αιχμής	01Sep2000, 08:30
Όγκος (MM)	126.33
Όγκος βροχόπτωσης (M3)	2.24E5
Όγκος απωλειών (M3)	1.07E5
Ενεργός Όγκος (M3)	1.17E5
Όγκος άμεσης απορροής (M3)	1.17E5
Όγκος βασικής απορροής (M3)	10729.76

Βροχόπτωση και Απορροή



Υπολεκάνη: EL0421FR003010

Έκταση (KM2) : 1.43

Κατάντη : J10

Μέθοδος Απωλειών: SCS

Ποσοστό αδιαπέρατης επιφάνειας	0
Αριθμός Καμπύλης Απορροής-CN	66.22
Αρχικές Απώλειες	25.92

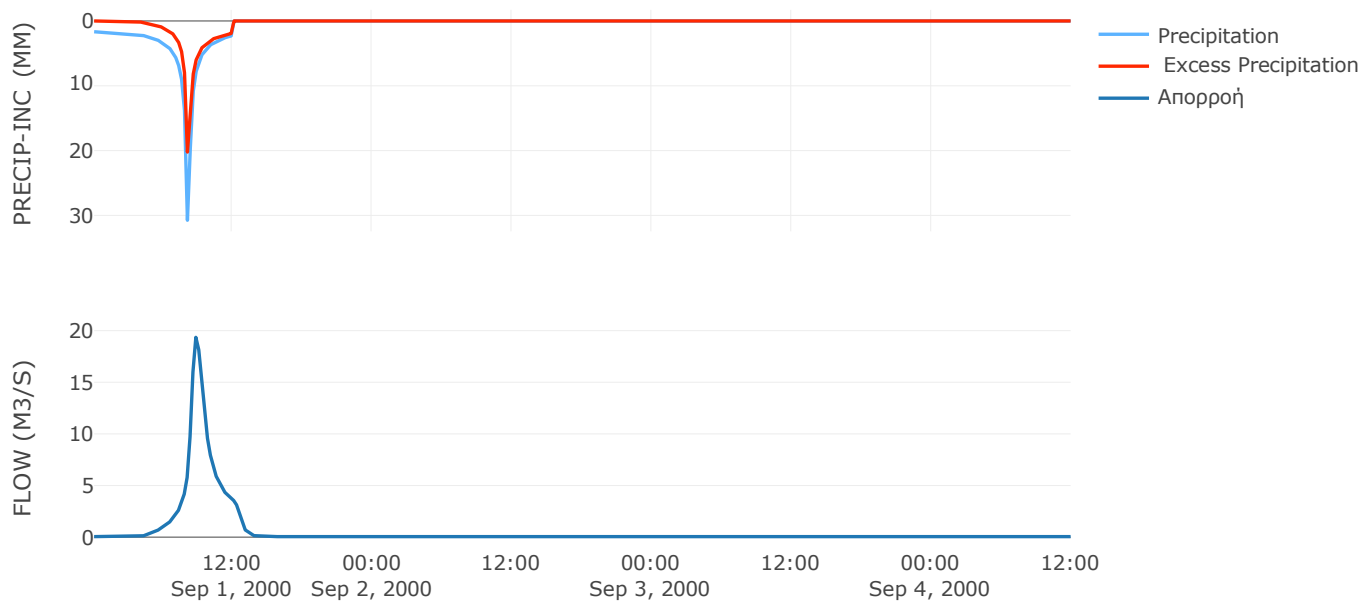
Μέθοδος Μετασχηματισμού: SCS

Χρόνος Υστέρησης	31.57
------------------	-------

Αποτελέσματα:
EL0421FR003010

Παροχή αιχμής (M3/S)	19.35
Χρονική στιγμή αιχμής	01Sep2000, 08:45
Όγκος (MM)	122.74
Όγκος βροχόπτωσης (M3)	3.08E5
Όγκος απωλειών (M3)	1.47E5
Ενεργός Όγκος (M3)	1.61E5
Όγκος άμεσης απορροής (M3)	1.61E5
Όγκος βασικής απορροής (M3)	15154.78

Βροχόπτωση και Απορροή



Υπολεκάνη: EL0421FR003011

Έκταση (KM2) : 5.43

Κατάντη : J11

Μέθοδος Απωλειών: SCS

Ποσοστό αδιαπέρατης επιφάνειας	0
Αριθμός Καμπύλης Απορροής-CN	64.53
Αρχικές Απώλειες	27.92

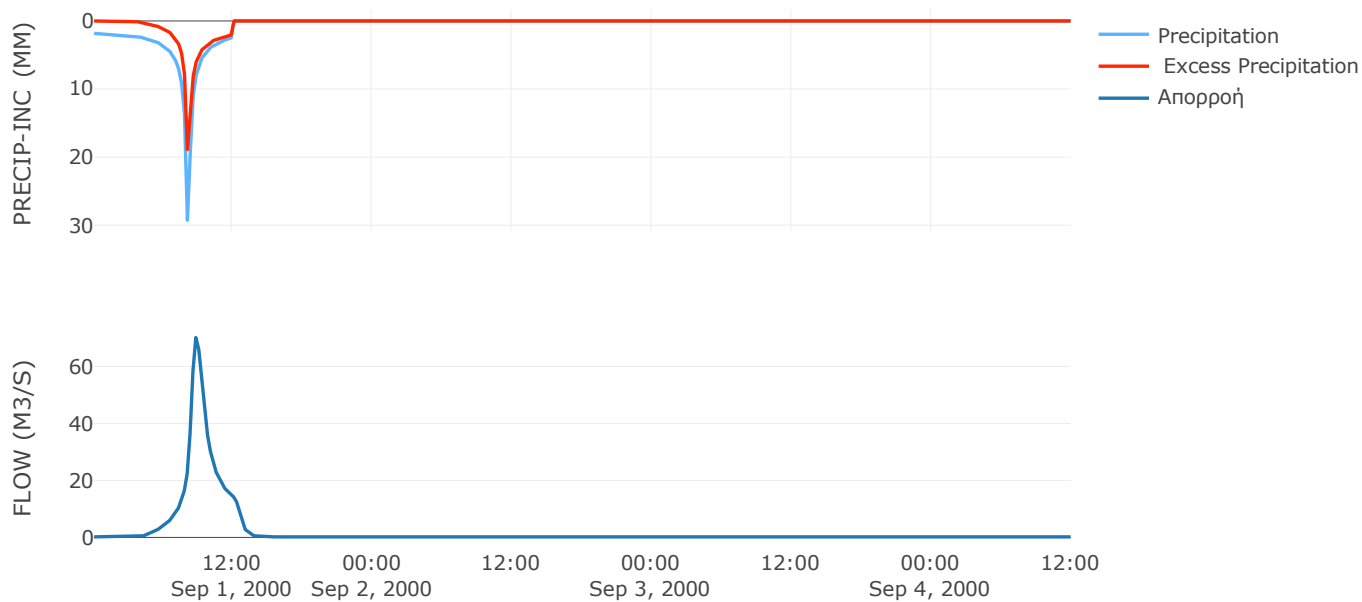
Μέθοδος Μετασχηματισμού: SCS

Χρόνος Υστέρησης	31.44
------------------	-------

Αποτελέσματα:
EL0421FR003011

Παροχή αιχμής (M3/S)	70.15
Χρονική στιγμή αιχμής	01Sep2000, 08:45
Όγκος (MM)	122.79
Όγκος βροχόπτωσης (M3)	1.2E6
Όγκος απωλειών (M3)	5.91E5
Ενεργός Όγκος (M3)	6.09E5
Όγκος άμεσης απορροής (M3)	6.09E5
Όγκος βασικής απορροής (M3)	57440.88

Βροχόπτωση και Απορροή



Υπολεκάνη: EL0421FR003012

Έκταση (KM2) : 4.3

Κατάντη : J12

Μέθοδος Απωλειών: SCS

Ποσοστό αδιαπέρατης επιφάνειας	0
Αριθμός Καμπύλης Απορροής-CN	63.88
Αρχικές Απώλειες	28.72

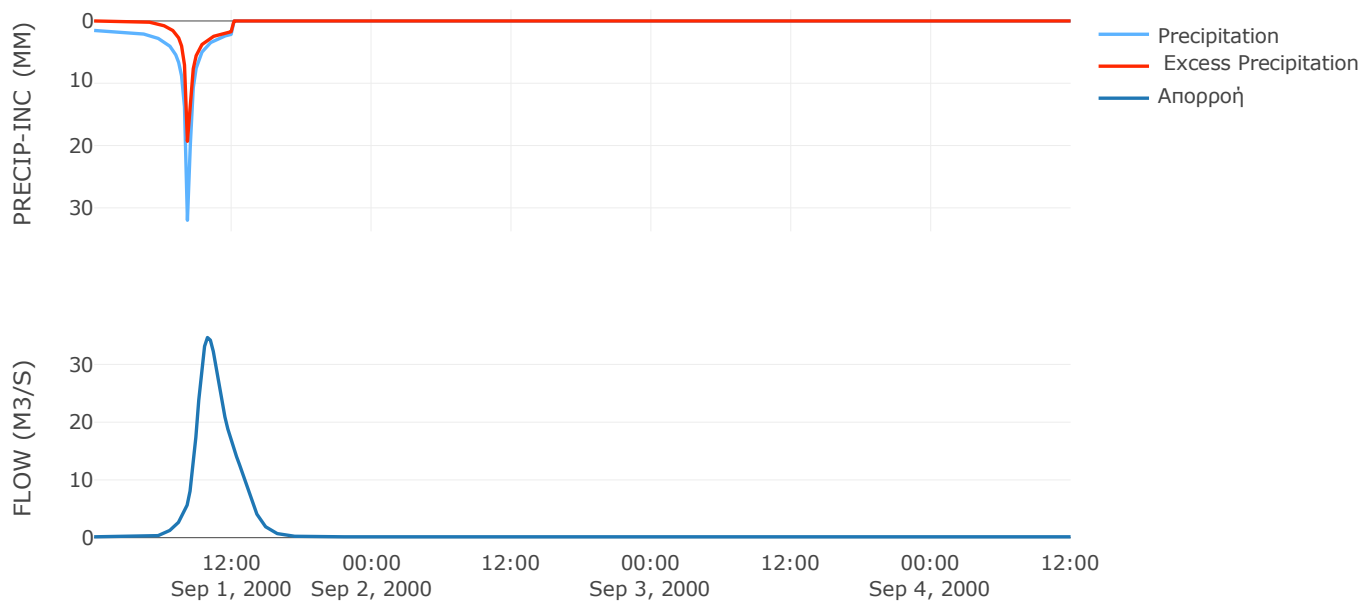
Μέθοδος Μετασχηματισμού: SCS

Χρόνος Υστέρησης	84.24
------------------	-------

Αποτελέσματα:
EL0421FR003012

Παροχή αιχμής (M3/S)	34.66
Χρονική στιγμή αιχμής	01Sep2000, 09:45
Όγκος (MM)	110.71
Όγκος βροχόπτωσης (M3)	8.97E5
Όγκος απωλειών (M3)	4.66E5
Ενεργός Όγκος (M3)	4.3E5
Όγκος άμεσης απορροής (M3)	4.3E5
Όγκος βασικής απορροής (M3)	45459.79

Βροχόπτωση και Απορροή



Υπολεκάνη: EL0421FR003013

Έκταση (KM2) : 1.25

Κατάντη : J13

Μέθοδος Απωλειών: SCS

Ποσοστό αδιαπέρατης επιφάνειας	0
Αριθμός Καμπύλης Απορροής-CN	65.39
Αρχικές Απώλειες	26.89

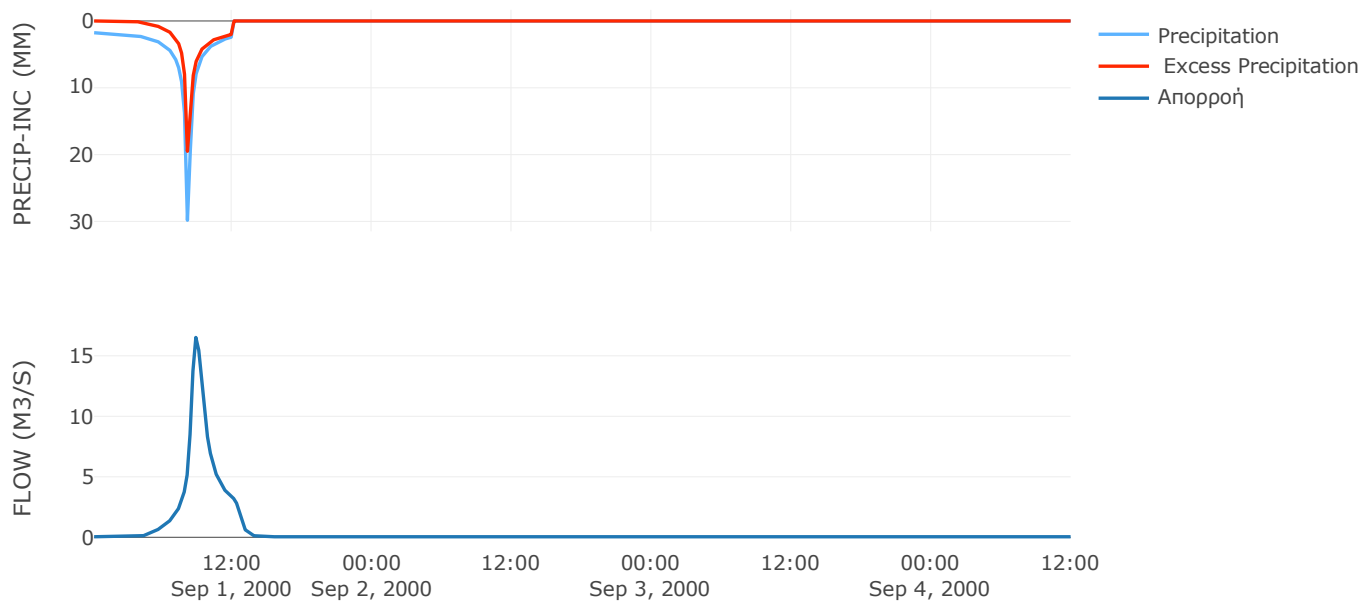
Μέθοδος Μετασχηματισμού: SCS

Χρόνος Υστέρησης	31.3
------------------	------

Αποτελέσματα:
EL0421FR003013

Παροχή αιχμής (M3/S)	16.52
Χρονική στιγμή αιχμής	01Sep2000, 08:45
Όγκος (MM)	123.61
Όγκος βροχόπτωσης (M3)	2.73E5
Όγκος απωλειών (M3)	1.32E5
Ενεργός Όγκος (M3)	1.41E5
Όγκος άμεσης απορροής (M3)	1.41E5
Όγκος βασικής απορροής (M3)	13181.01

Βροχόπτωση και Απορροή



Υπολεκάνη: EL0421FR003014

Έκταση (KM2) : 2.74

Κατάντη : J14

Μέθοδος Απωλειών: SCS

Ποσοστό αδιαπέρατης επιφάνειας	0
Αριθμός Καμπύλης Απορροής-CN	61.22
Αρχικές Απώλειες	32.18

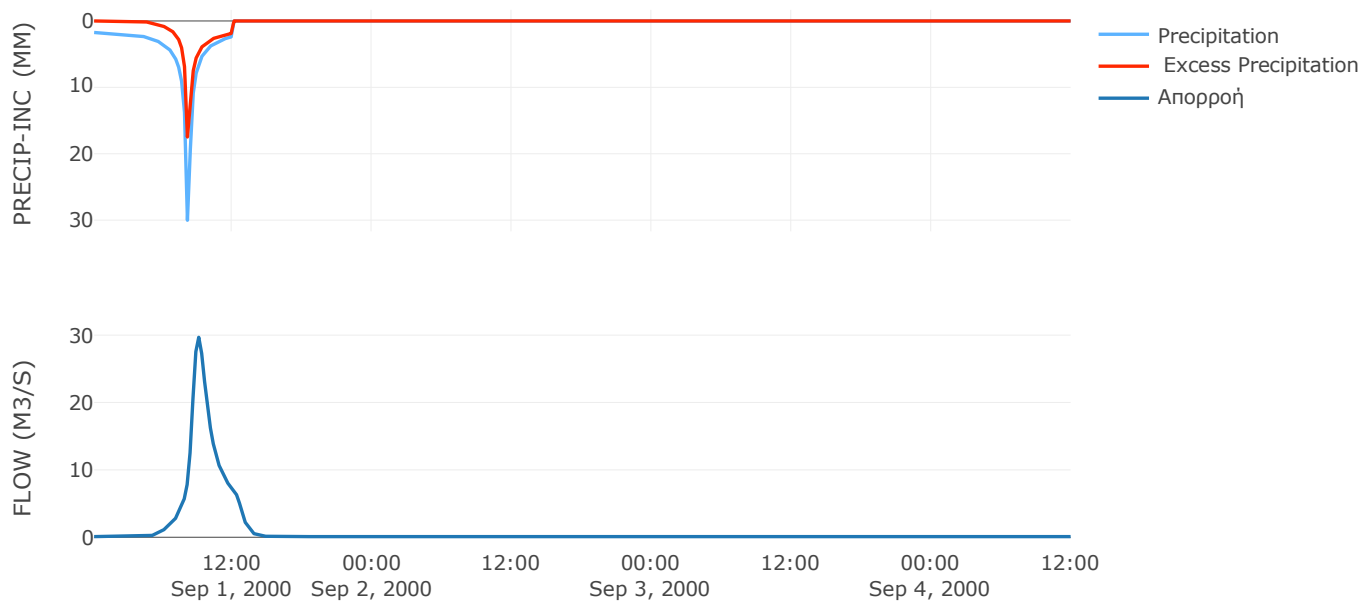
Μέθοδος Μετασχηματισμού: SCS

Χρόνος Υστέρησης	40.3
------------------	------

Αποτελέσματα:
EL0421FR003014

Παροχή αιχμής (M3/S)	29.67
Χρονική στιγμή αιχμής	01Sep2000, 09:00
Όγκος (MM)	110.16
Όγκος βροχόπτωσης (M3)	5.98E5
Όγκος απωλειών (M3)	3.25E5
Ενεργός Όγκος (M3)	2.73E5
Όγκος άμεσης απορροής (M3)	2.73E5
Όγκος βασικής απορροής (M3)	29043.1

Βροχόπτωση και Απορροή



Υπολεκάνη: EL0421FR003015

Έκταση (KM2) : 12.69

Κατάντη : J15

Μέθοδος Απωλειών: SCS

Ποσοστό αδιαπέρατης επιφάνειας	0
Αριθμός Καμπύλης Απορροής-CN	63.26
Αρχικές Απώλειες	29.5

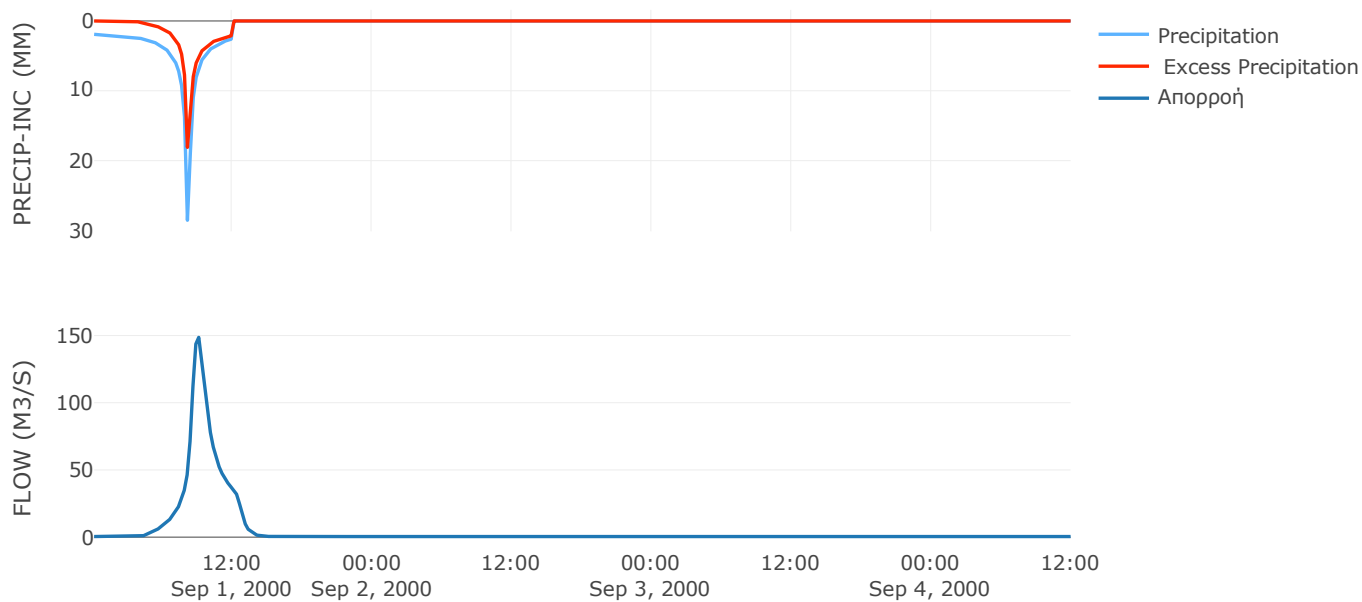
Μέθοδος Μετασχηματισμού: SCS

Χρόνος Υστέρησης	37.61
------------------	-------

Αποτελέσματα:
EL0421FR003015

Παροχή αιχμής (M3/S)	148.62
Χρονική στιγμή αιχμής	01Sep2000, 09:00
Όγκος (MM)	122.45
Όγκος βροχόπτωσης (M3)	2.86E6
Όγκος απωλειών (M3)	1.44E6
Ενεργός Όγκος (M3)	1.42E6
Όγκος άμεσης απορροής (M3)	1.42E6
Όγκος βασικής απορροής (M3)	1.34E5

Βροχόπτωση και Απορροή



Υπολεκάνη: EL0421FR003016

Έκταση (KM2) : 1.7

Κατάντη : J16

Μέθοδος Απωλειών: SCS

Ποσοστό αδιαπέρατης επιφάνειας	0
Αριθμός Καμπύλης Απορροής-CN	63.1
Αρχικές Απώλειες	29.7

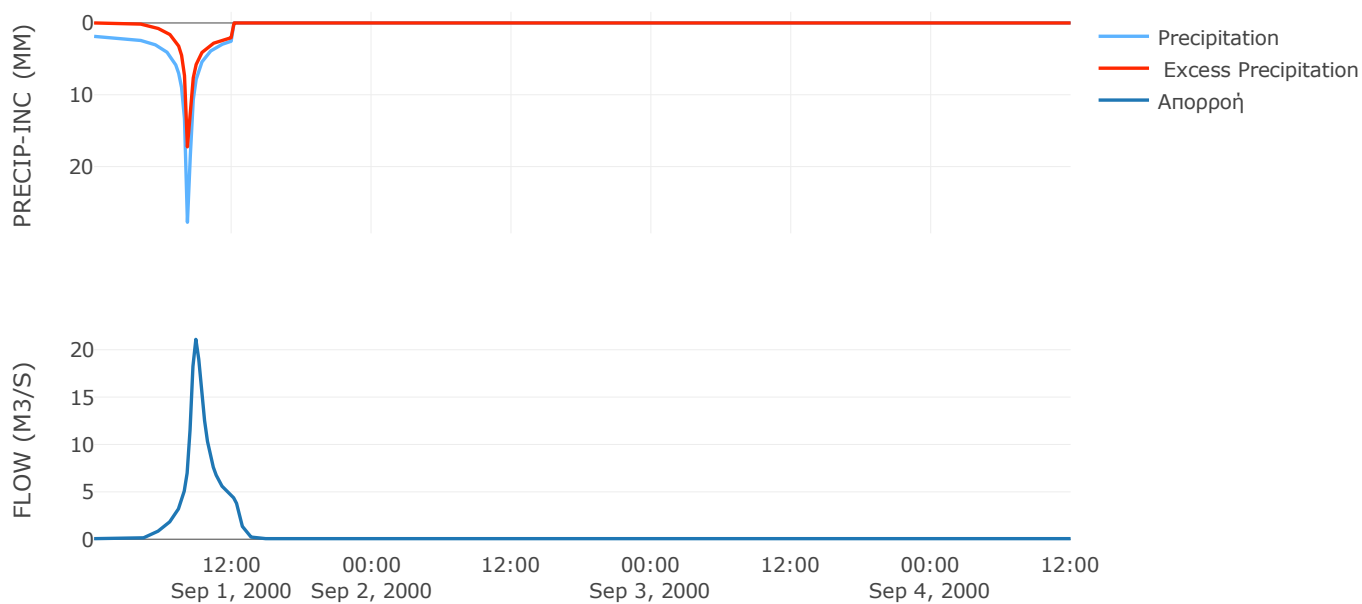
Μέθοδος Μετασχηματισμού: SCS

Χρόνος Υστέρησης	28.83
------------------	-------

Αποτελέσματα:
EL0421FR003016

Παροχή αιχμής (M3/S)	21.1
Χρονική στιγμή αιχμής	01Sep2000, 08:45
Όγκος (MM)	117.22
Όγκος βροχόπτωσης (M3)	3.74E5
Όγκος απωλειών (M3)	1.92E5
Ενεργός Όγκος (M3)	1.81E5
Όγκος άμεσης απορροής (M3)	1.81E5
Όγκος βασικής απορροής (M3)	17995.82

Βροχόπτωση και Απορροή



Υπολεκάνη: EL0421FR003017

Έκταση (KM2) : 1.9

Κατάντη : J17

Μέθοδος Απωλειών: SCS

Ποσοστό αδιαπέρατης επιφάνειας	0
Αριθμός Καμπύλης Απορροής-CN	64.01
Αρχικές Απώλειες	28.57

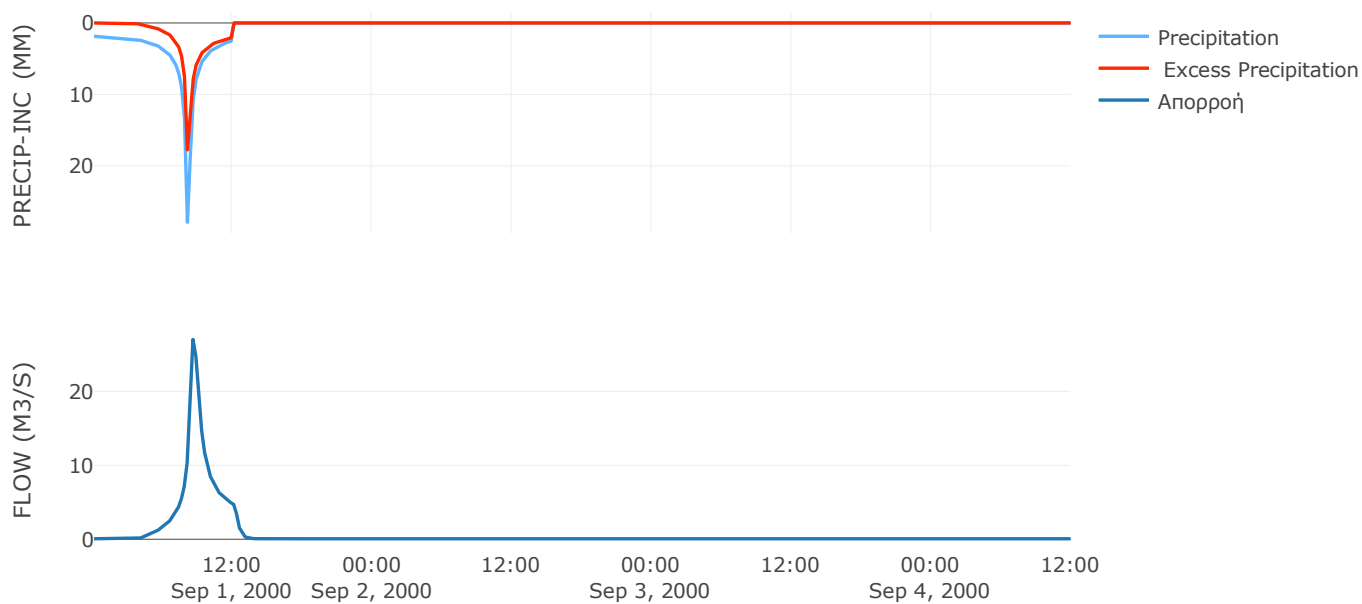
Μέθοδος Μετασχηματισμού: SCS

Χρόνος Υστέρησης	18.87
------------------	-------

Αποτελέσματα:
EL0421FR003017

Παροχή αιχμής (M3/S)	27.02
Χρονική στιγμή αιχμής	01Sep2000, 08:30
Όγκος (MM)	120.11
Όγκος βροχόπτωσης (M3)	4.18E5
Όγκος απωλειών (M3)	2.1E5
Ενεργός Όγκος (M3)	2.08E5
Όγκος άμεσης απορροής (M3)	2.08E5
Όγκος βασικής απορροής (M3)	20137.42

Βροχόπτωση και Απορροή



9.2 Δεδομένα και Υδρογραφήματα Σχεδιασμού Κλάδων Υδρογραφικού Δικτύου

Κλάδος: R21

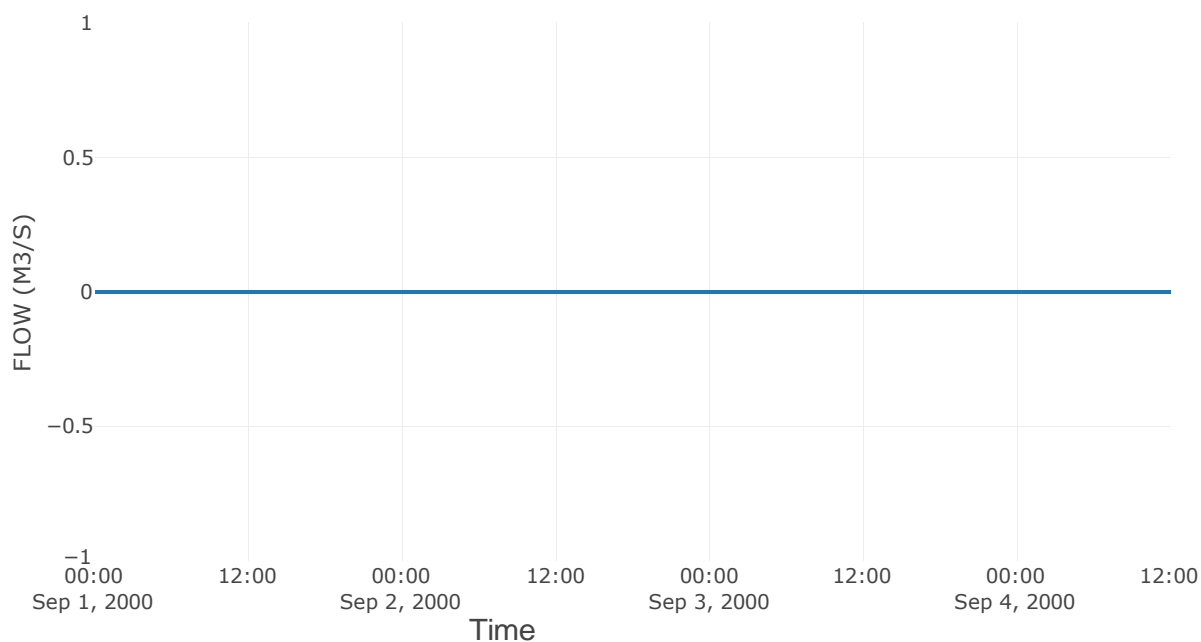
Κατάντη : J1

Μέθοδος Διόδευσης	Χρόνος
Αρχική Μεταβλητή	Combined Inflow
Χρόνος Υστέρησης	8.04

Αποτελέσματα: R21

Παροχή Αιχμής (M3/S)	0
Χρονική στιγμή αιχμής	31Aug2000, 24:00
Εισροή Αιχμής (M3/S)	0
Όγκος Εισροής (M3)	0

Απορροή



Κλάδος: R43

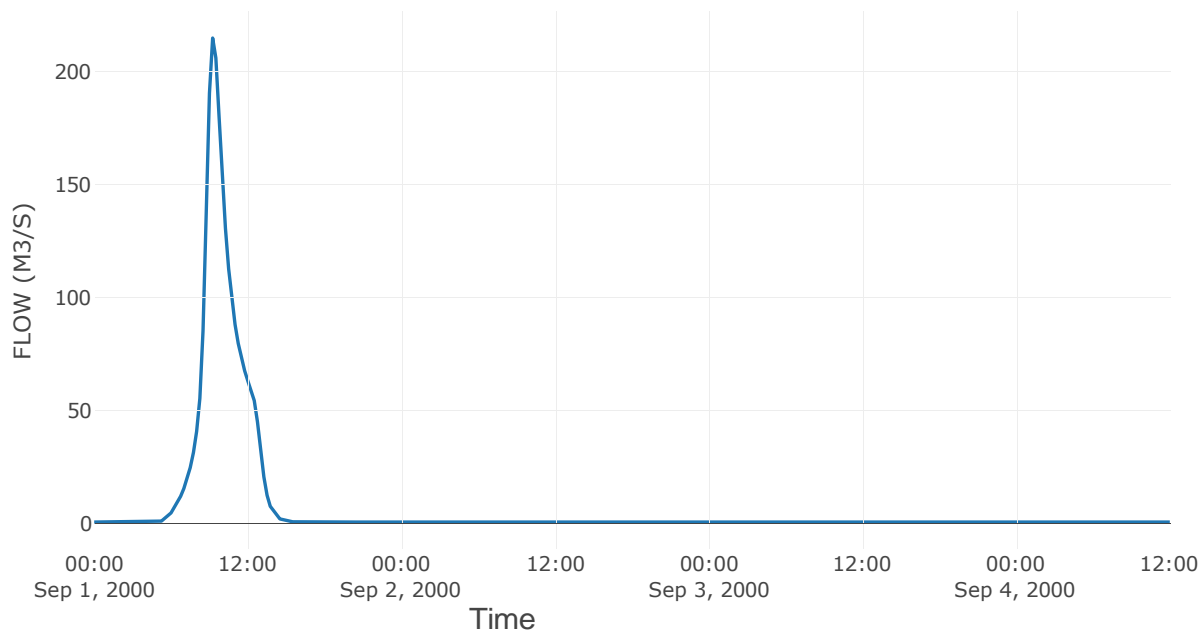
Κατάντη : J3

Μέθοδος Διόδευσης	Χρόνος
Αρχική Μεταβλητή	Combined Inflow
Χρόνος Υστέρησης	19.64

Αποτελέσματα: R43

Παροχή Αιχμής (M3/S)	214.7
Χρονική στιγμή αιχμής	01Sep2000, 09:15
Όγκος (MM)	106.85
Παροχή Αιχμής Εισόδου (M3/S)	218.67
Όγκος Εισροής (M3)	2.32E6

Απορροή



Κλάδος: R65

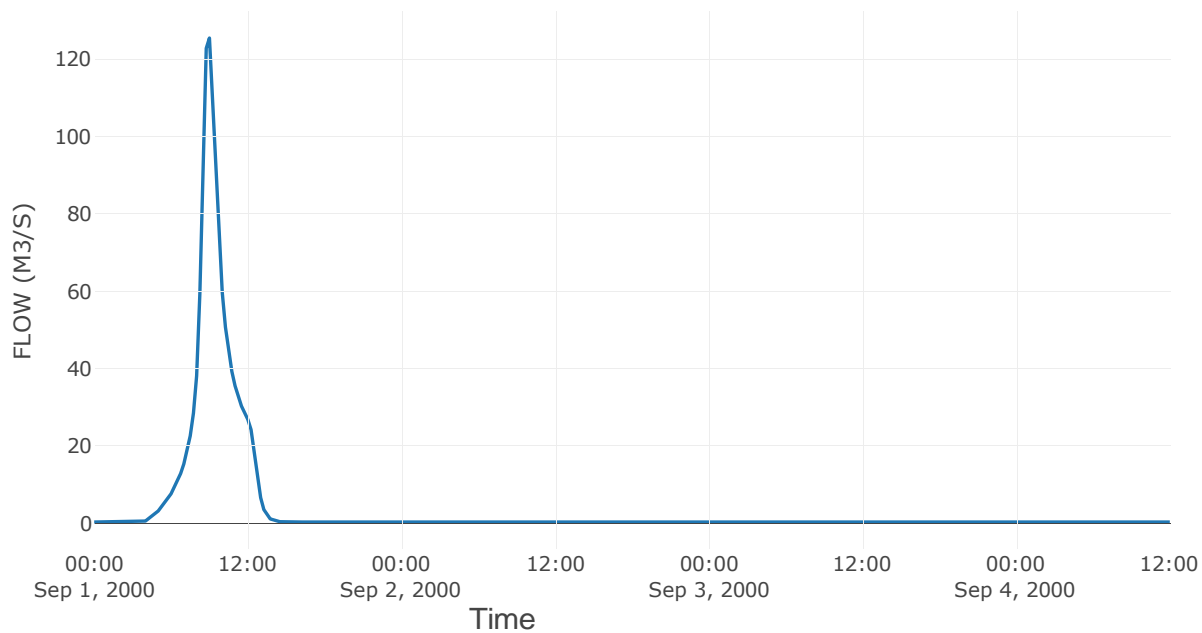
Κατάντη : J5

Μέθοδος Διόδευσης	Χρόνος
Αρχική Μεταβλητή	Combined Inflow
Χρόνος Υστέρησης	4.34

Αποτελέσματα: R65

Παροχή Αιχμής (M3/S)	125.47
Χρονική στιγμή αιχμής	01Sep2000, 09:00
Όγκος (MM)	128.69
Παροχή Αιχμής Εισόδου (M3/S)	129.26
Όγκος Εισροής (M3)	1.24E6

Απορροή



Κλάδος: R76

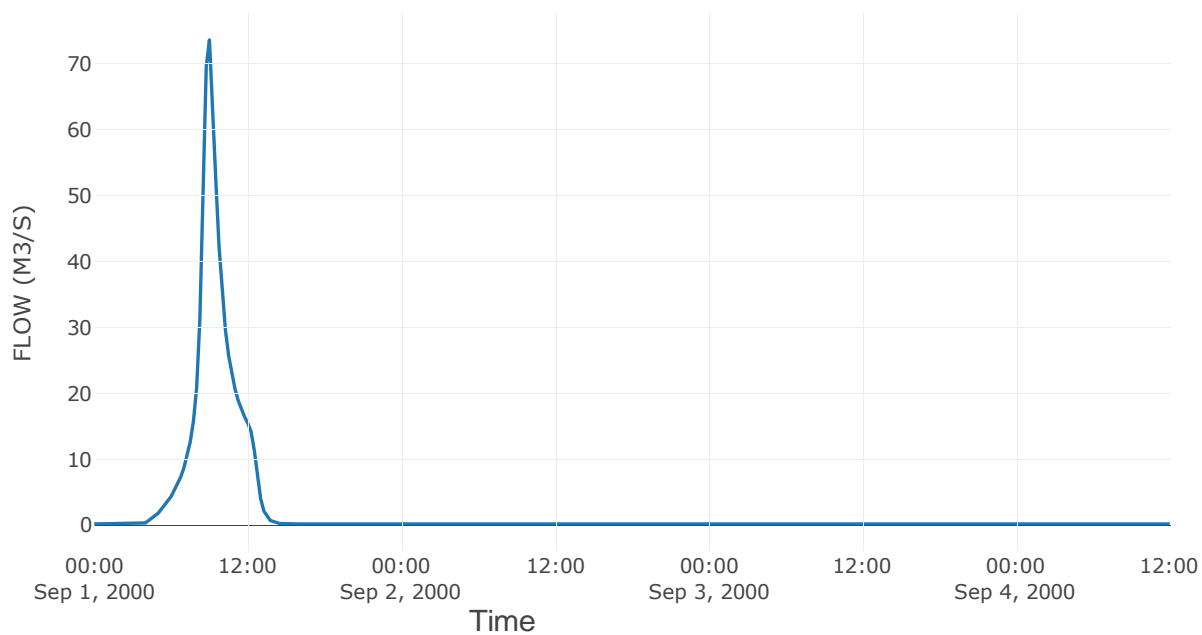
Κατάντη : J6

Μέθοδος Διόδευσης	Χρόνος
Αρχική Μεταβλητή	Combined Inflow
Χρόνος Υστέρησης	9.09

Αποτελέσματα: R76

Παροχή Αιχμής (M3/S)	73.63
Χρονική στιγμή αιχμής	01Sep2000, 09:00
Όγκος (MM)	132.08
Παροχή Αιχμής Εισόδου (M3/S)	76.31
Όγκος Εισροής (M3)	7.09E5

Απορροή



Κλάδος: R98

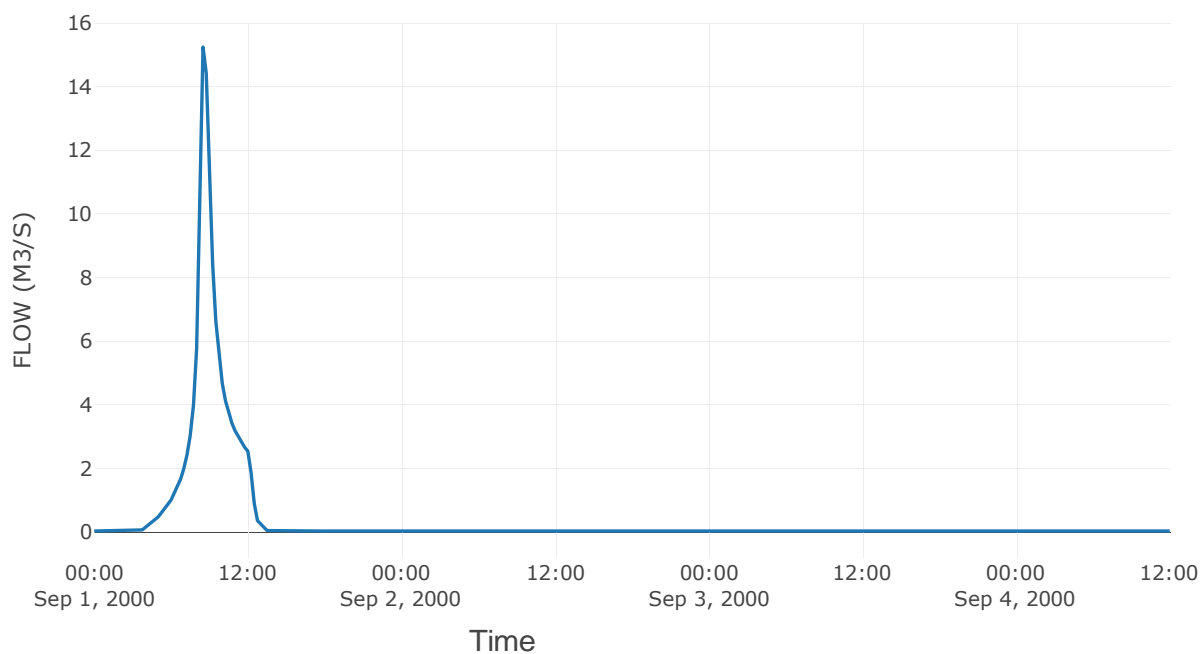
Κατάντη : J8

Μέθοδος Διόδευσης	Χρόνος
Αρχική Μεταβλητή	Combined Inflow
Χρόνος Υστέρησης	3.64

Αποτελέσματα: R98

Παροχή Αιχμής (M3/S)	15.24
Χρονική στιγμή αιχμής	01Sep2000, 08:30
Όγκος (MM)	126.33
Παροχή Αιχμής Εισόδου (M3/S)	16.07
Όγκος Εισροής (M3)	1.28E5

Απορροή



Κλάδος: R1110

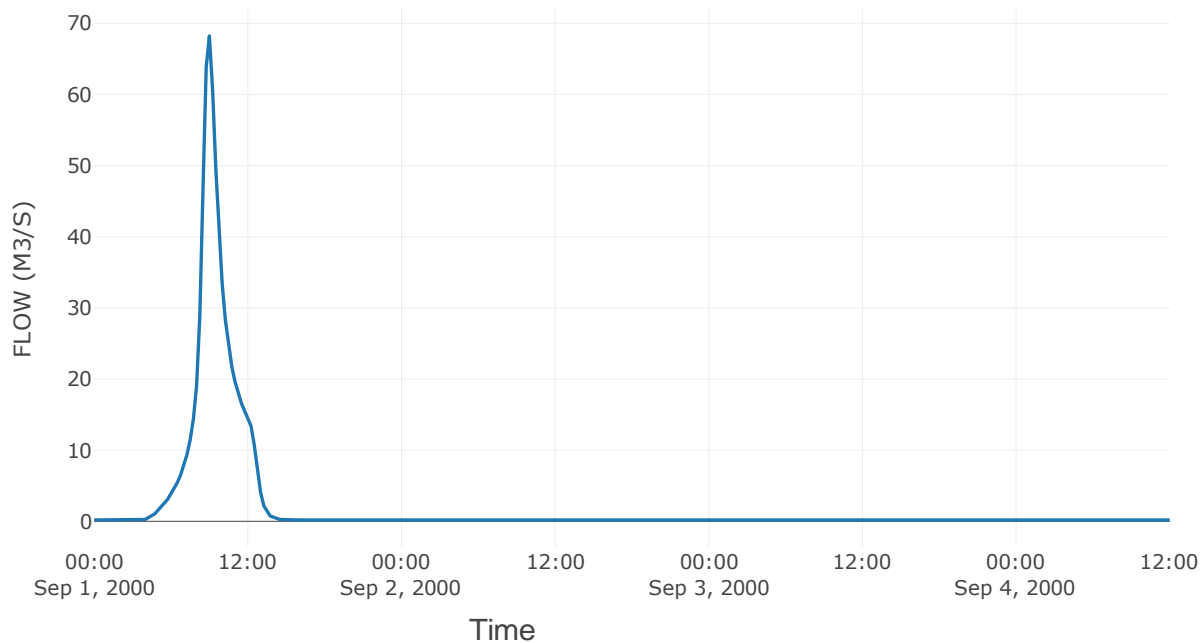
Κατάντη : J10

Μέθοδος Διόδευσης	Χρόνος
Αρχική Μεταβλητή	Combined Inflow
Χρόνος Υστέρησης	8.23

Αποτελέσματα: R1110

Παροχή Αιχμής (M3/S)	68.22
Χρονική στιγμή αιχμής	01Sep2000, 09:00
Όγκος (MM)	122.79
Παροχή Αιχμής Εισόδου (M3/S)	70.15
Όγκος Εισροής (M3)	6.66E5

Απορροή



Κλάδος: R1312

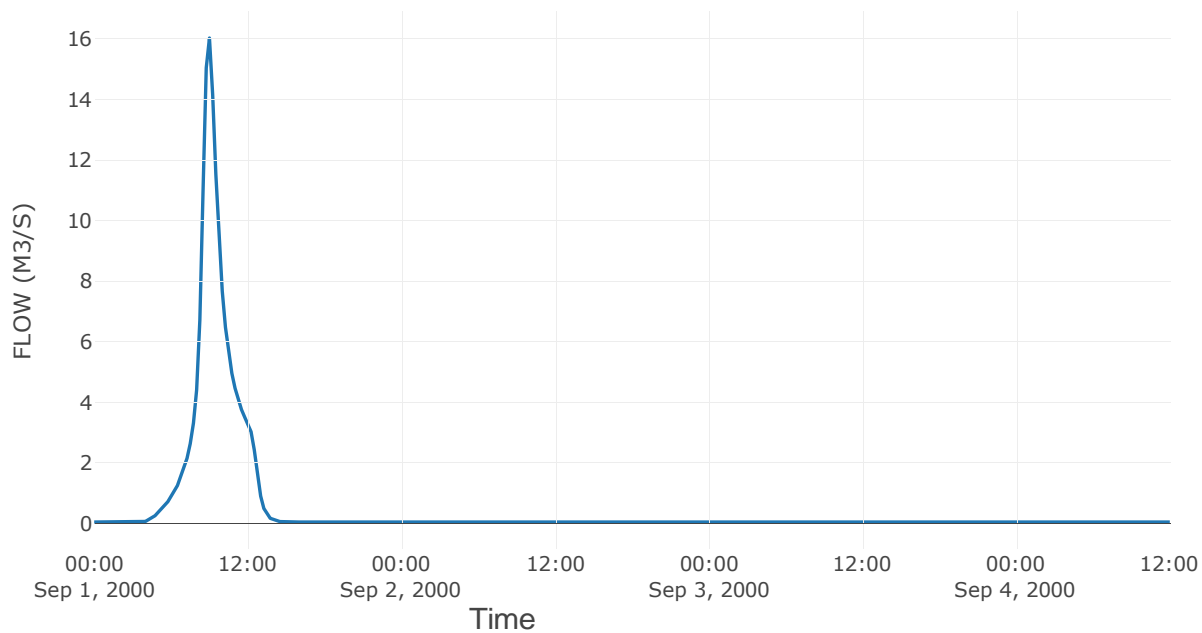
Κατάντη : J12

Μέθοδος Διόδευσης	Χρόνος
Αρχική Μεταβλητή	Combined Inflow
Χρόνος Υστέρησης	8.36

Αποτελέσματα: R1312

Παροχή Αιχμής (M3/S)	16.02
Χρονική στιγμή αιχμής	01Sep2000, 09:00
Όγκος (MM)	123.61
Παροχή Αιχμής Εισόδου (M3/S)	16.52
Όγκος Εισροής (M3)	1.54E5

Απορροή



Κλάδος: R1514

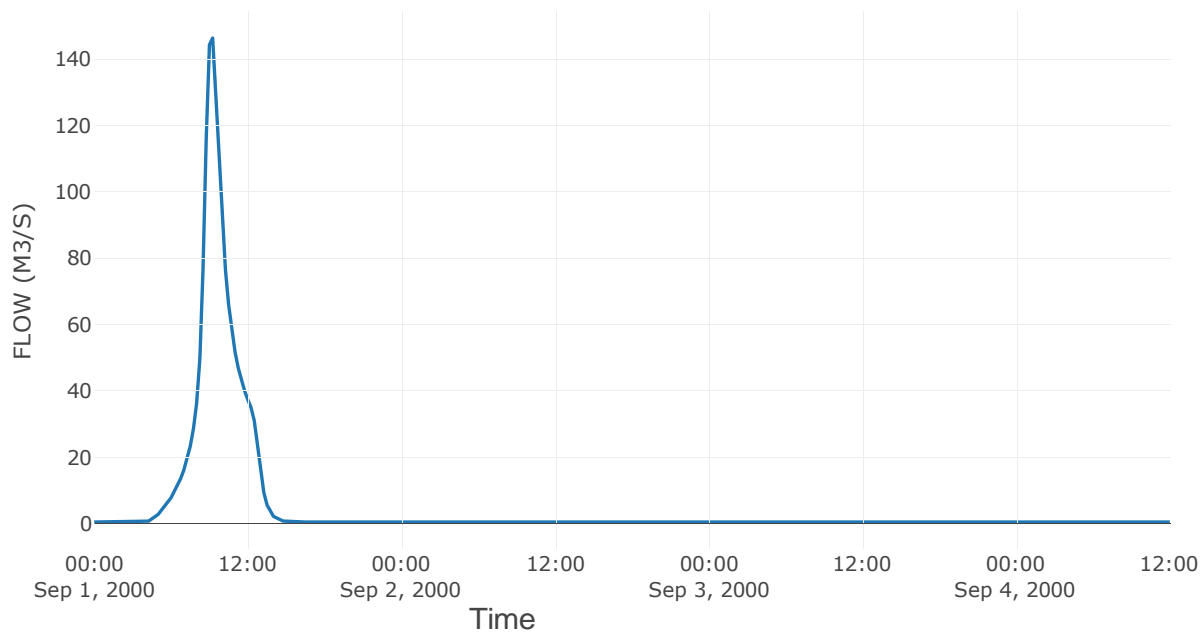
Κατάντη : J14

Μέθοδος Διόδευσης	Χρόνος
Αρχική Μεταβλητή	Combined Inflow
Χρόνος Υστέρησης	13.79

Αποτελέσματα: R1514

Παροχή Αιχμής (M3/S)	146.38
Χρονική στιγμή αιχμής	01Sep2000, 09:15
Όγκος (MM)	122.45
Παροχή Αιχμής Εισόδου (M3/S)	148.62
Όγκος Εισροής (M3)	1.55E6

Απορροή



Κλάδος: R1716

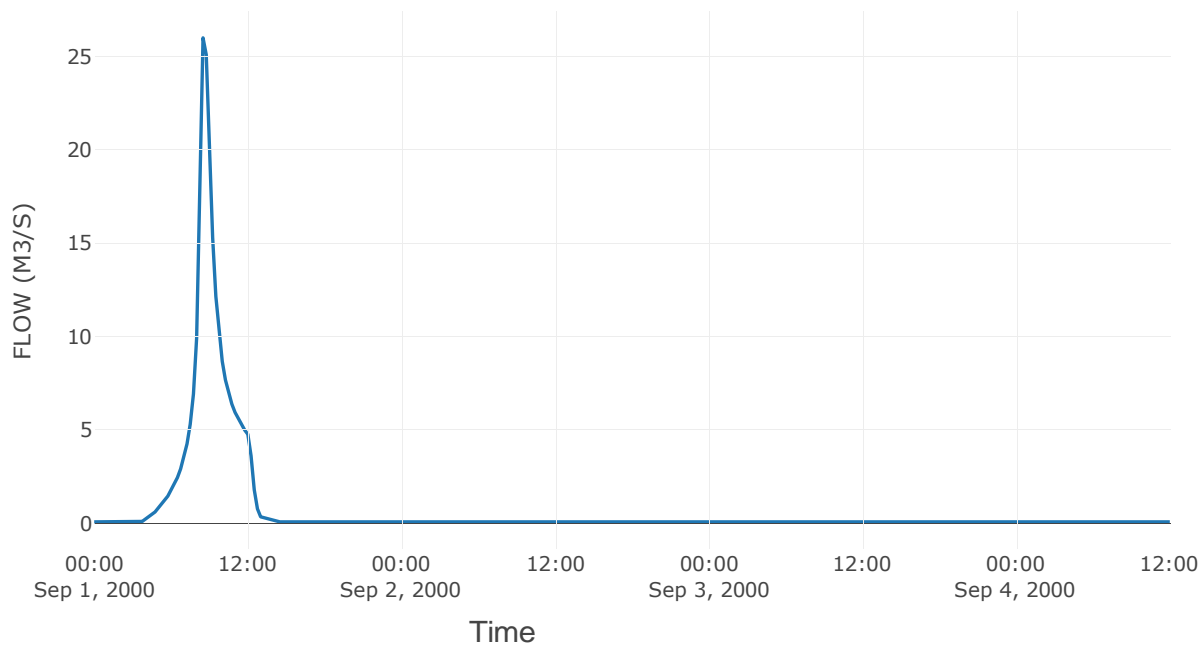
Κατάντη : J16

Μέθοδος Διόδευσης	Χρόνος
Αρχική Μεταβλητή	Combined Inflow
Χρόνος Υστέρησης	2.41

Αποτελέσματα: R1716

Παροχή Αιχμής (M3/S)	25.98
Χρονική στιγμή αιχμής	01Sep2000, 08:30
Όγκος (MM)	120.11
Παροχή Αιχμής Εισόδου (M3/S)	27.02
Όγκος Εισροής (M3)	2.29E5

Απορροή



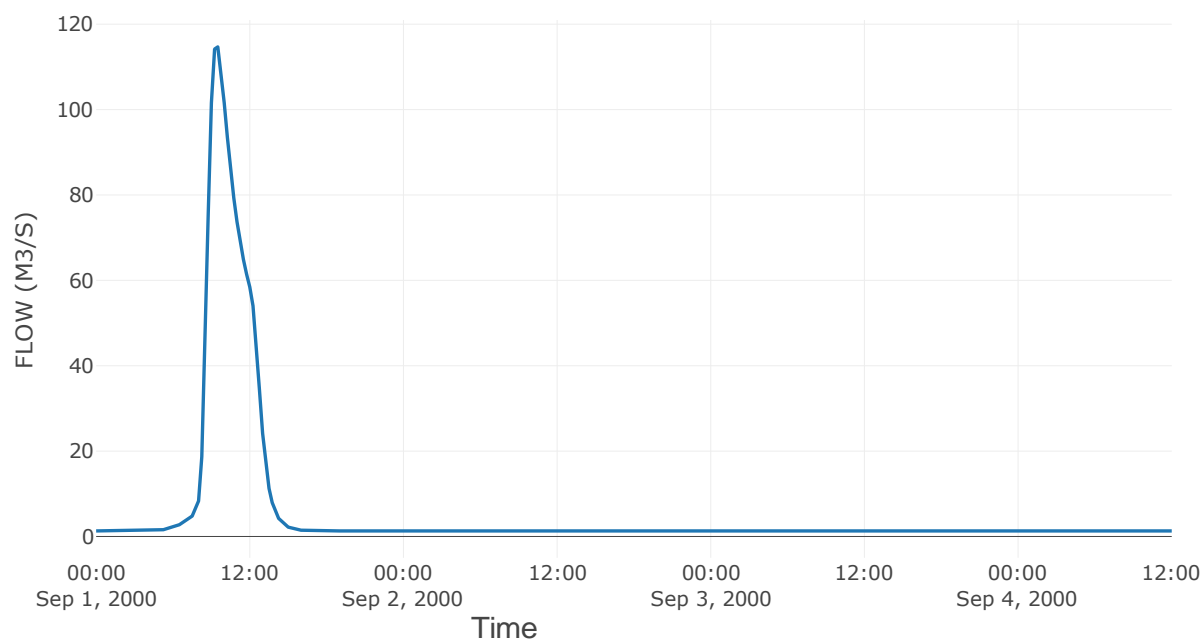
9.3 Δεδομένα και Υδρογραφήματα Σχεδιασμού Κόμβων Υδρογραφικού Δικτύου

Κόμβος εξόδου: J1

Αποτελέσματα: J1

Παροχή Αιχμής (M3/S)	114.69
Χρονική στιγμή αιχμής	01Sep2000, 09:30
Όγκος (MM)	46.11

Απορροή



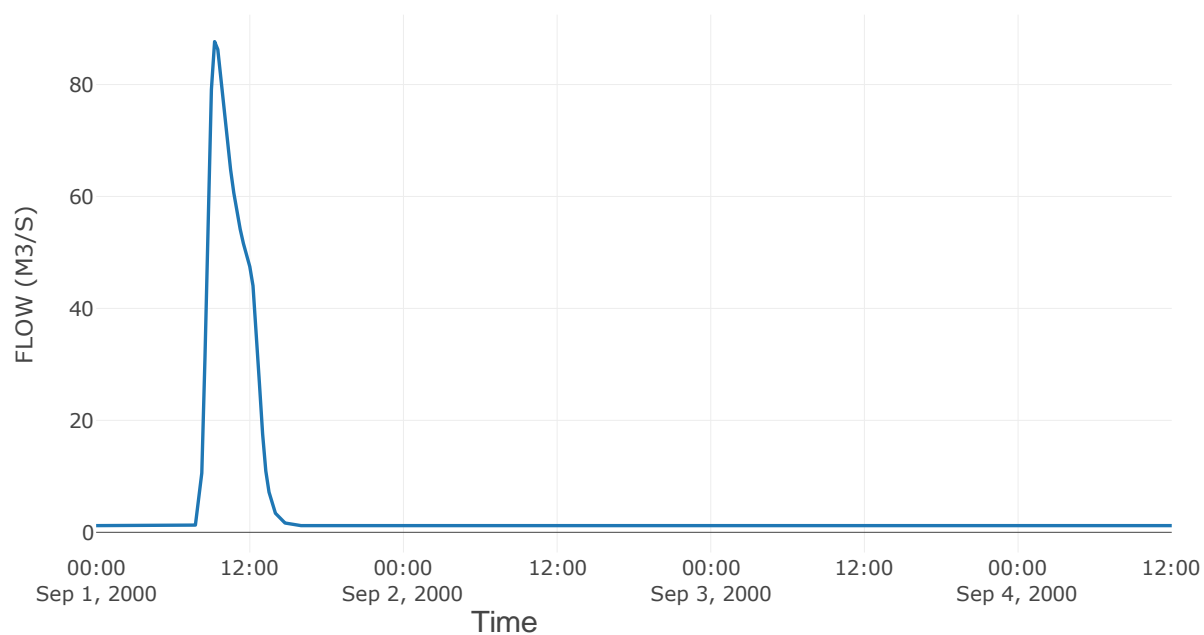
Κόμβος: J2

Κατάντη : J1

Αποτελέσματα: J2

Παροχή Αιχμής (M3/S)	87.66
Χρονική στιγμή αιχμής	01Sep2000, 09:15
Όγκος (MM)	39.27

Απορροή

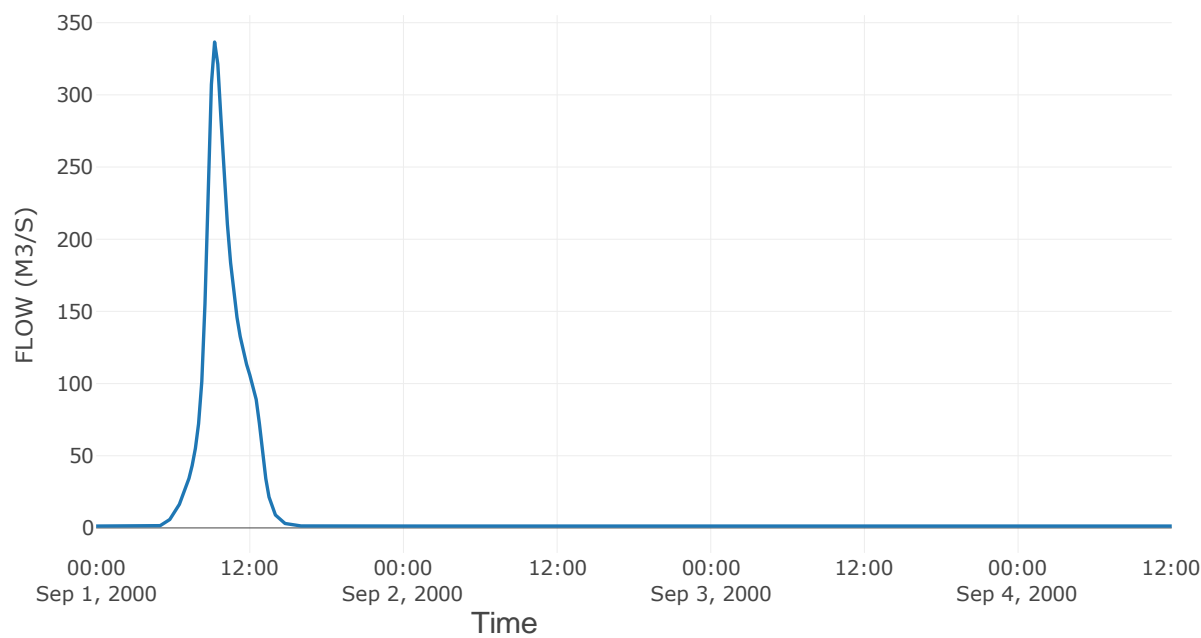


Κόμβος εξόδου: J3

Αποτέλεσμα
τα: J3

Παροχή αιχμής (M3/S)	336.6
Χρονική στιγμή αιχμής	01Sep2000, 09:15
Όγκος (MM)	103.73

Απορροή



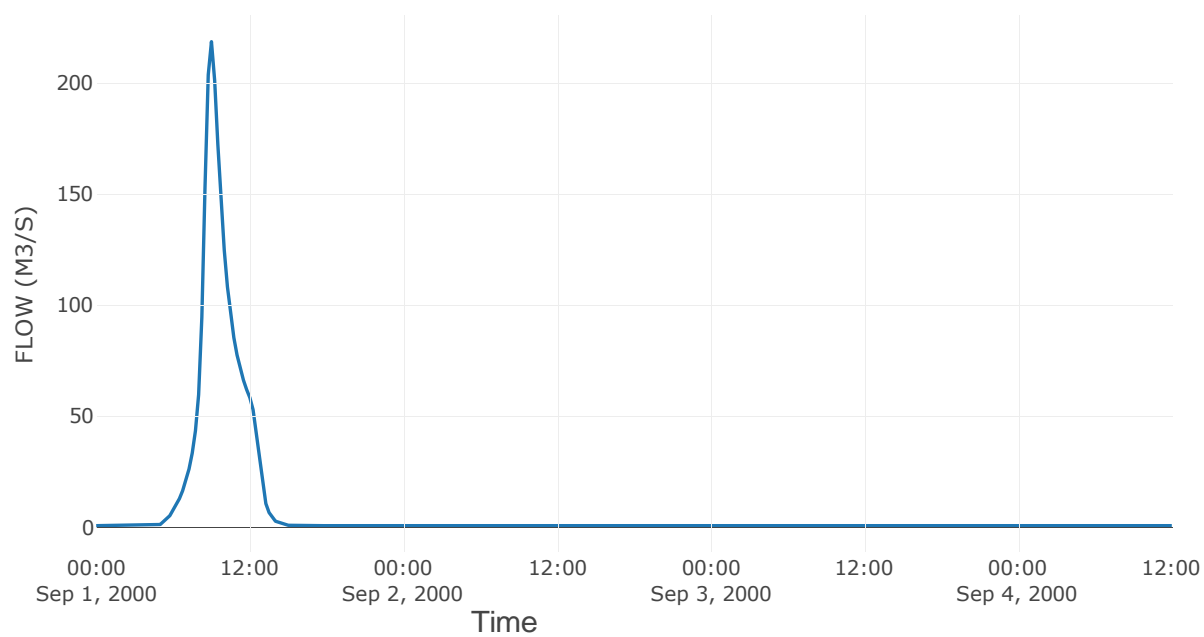
Κόμβος: J4

Κατάντη : R43

Αποτελέσματα: J4

Παροχή Αιχμής (M3/S)	218.67
Χρονική στιγμή αιχμής	01Sep2000, 09:00
Όγκος (MM)	106.85

Απορροή

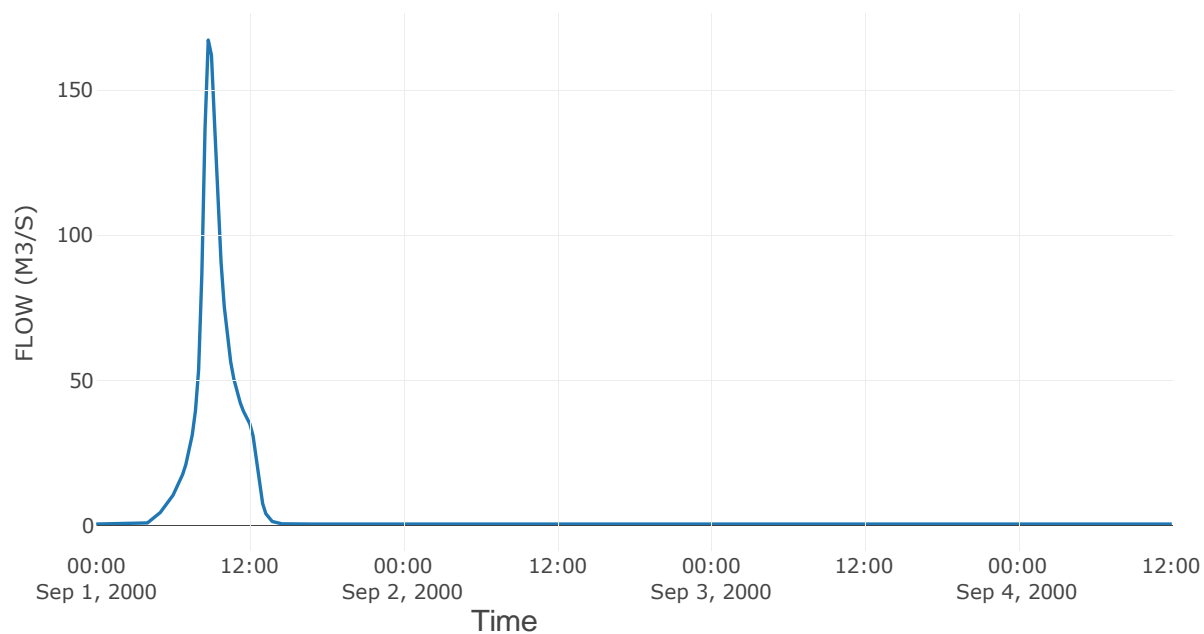


Κόμβος εξόδου: J5

Αποτέλεσμα
τα: J5

Παροχή αιχμής (M3/S)	167.28
Χρονική στιγμή αιχμής	01Sep2000, 08:45
Όγκος (MM)	127.49

Απορροή



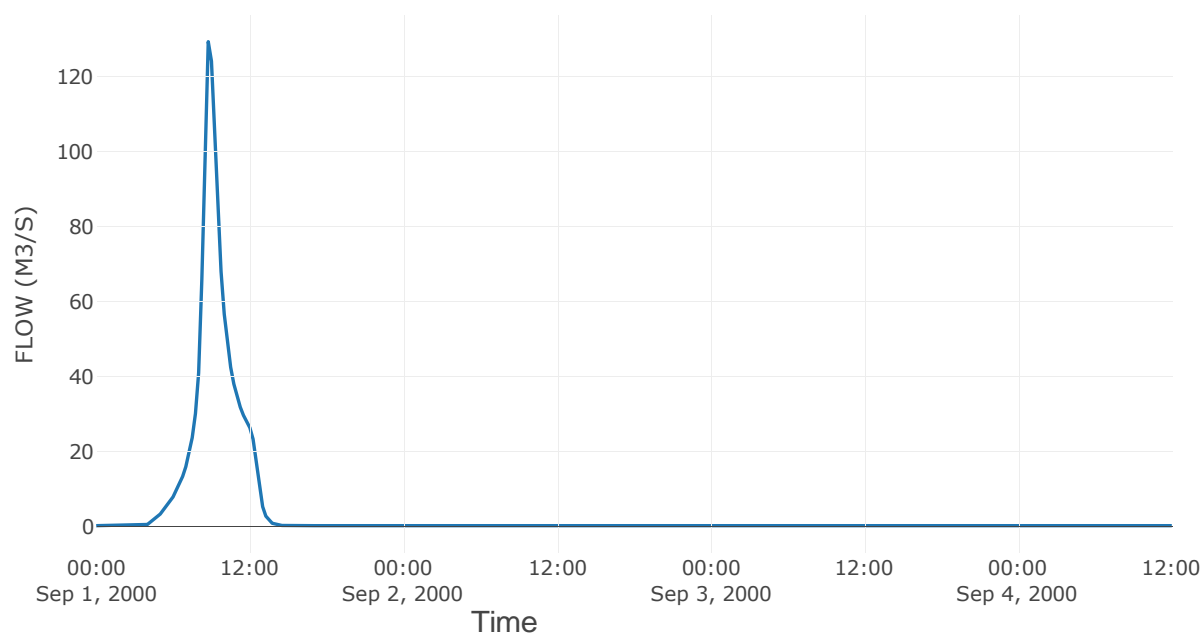
Κόμβος: J6

Κατάντη : R65

Αποτελέσματα: J6

Παροχή Αιχμής (M3/S)	129.26
Χρονική στιγμή αιχμής	01Sep2000, 08:45
Όγκος (MM)	128.69

Απορροή



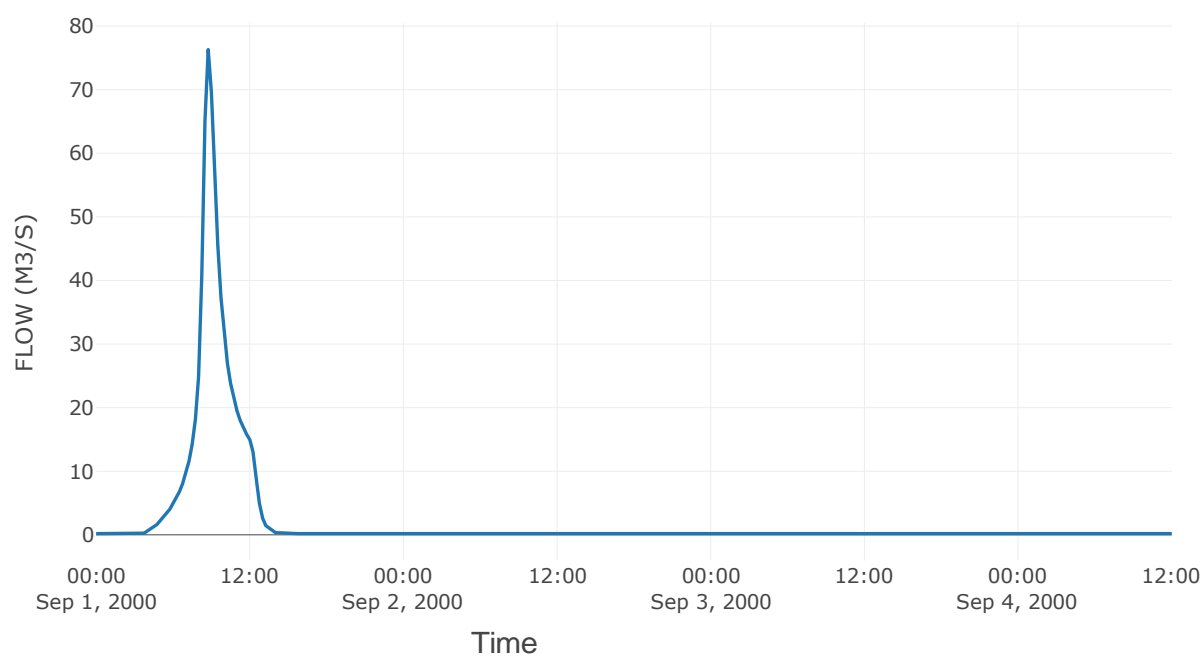
Κόμβος: J7

Κατάντη : R76

Αποτελέσματα: J7

Παροχή Αιχμής (M3/S)	76.31
Χρονική στιγμή αιχμής	01Sep2000, 08:45
Όγκος (MM)	132.08

Απορροή

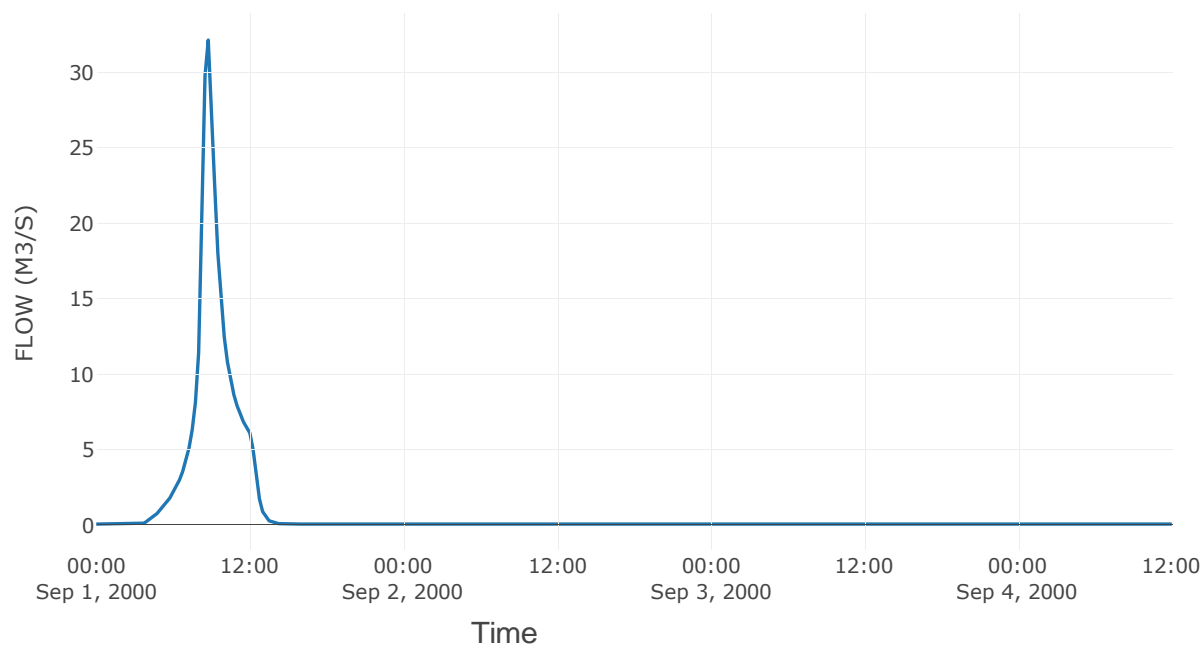


Κόμβος εξόδου: J8

Αποτέλεσμα
τα: J8

Παροχή αιχμής (M3/S)	32.17
Χρονική στιγμή αιχμής	01Sep2000, 08:45
Όγκος (MM)	127

Απορροή



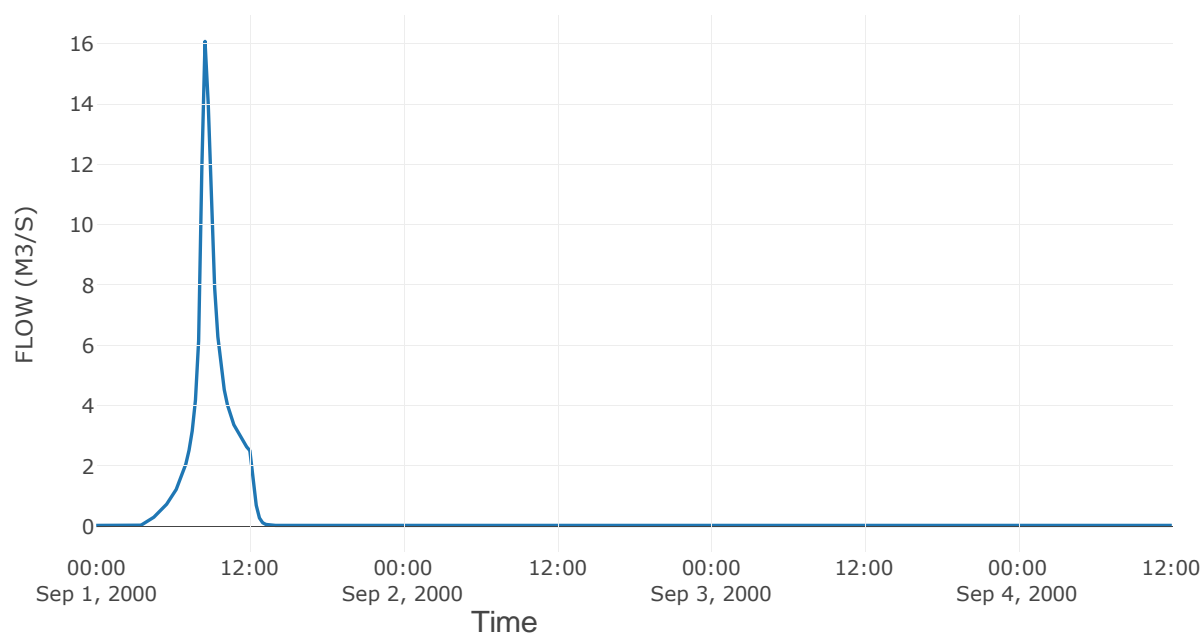
Κόμβος: J9

Κατάντη : R98

Αποτελέσματα: J9

Παροχή Αιχμής (M3/S)	16.07
Χρονική στιγμή αιχμής	01Sep2000, 08:30
Όγκος (MM)	126.33

Απορροή

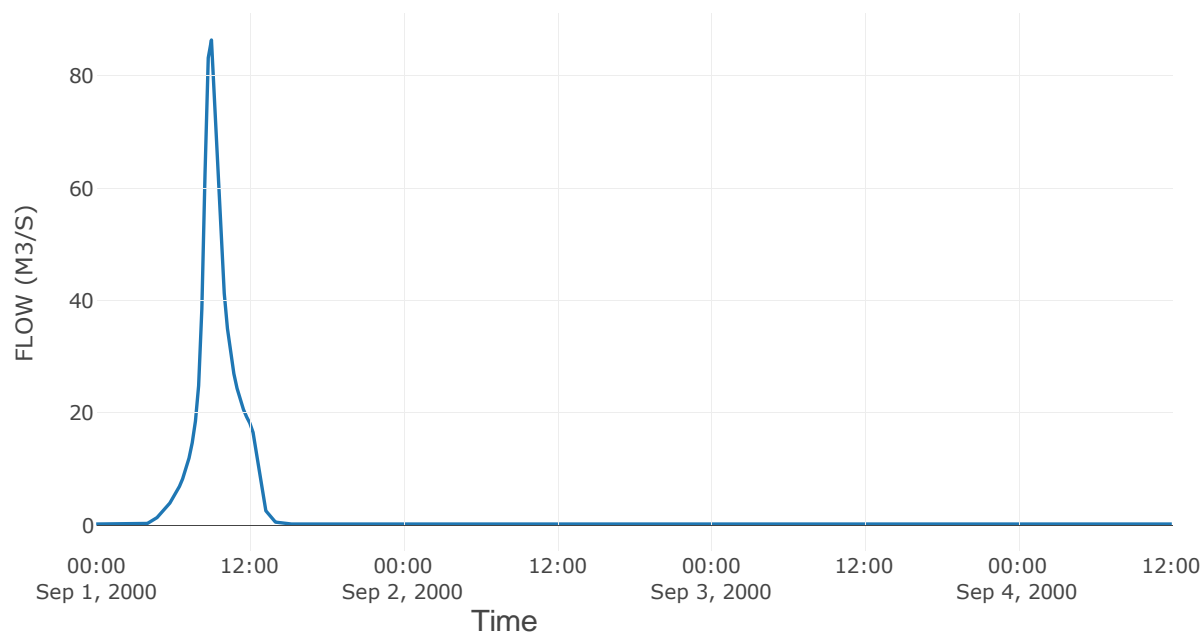


Κόμβος εξόδου: J10

Αποτελέσμα
α: J10

Παροχή αιχμής (M3/S)	86.36
Χρονική στιγμή αιχμής	01Sep2000, 09:00
Όγκος (MM)	122.78

Απορροή



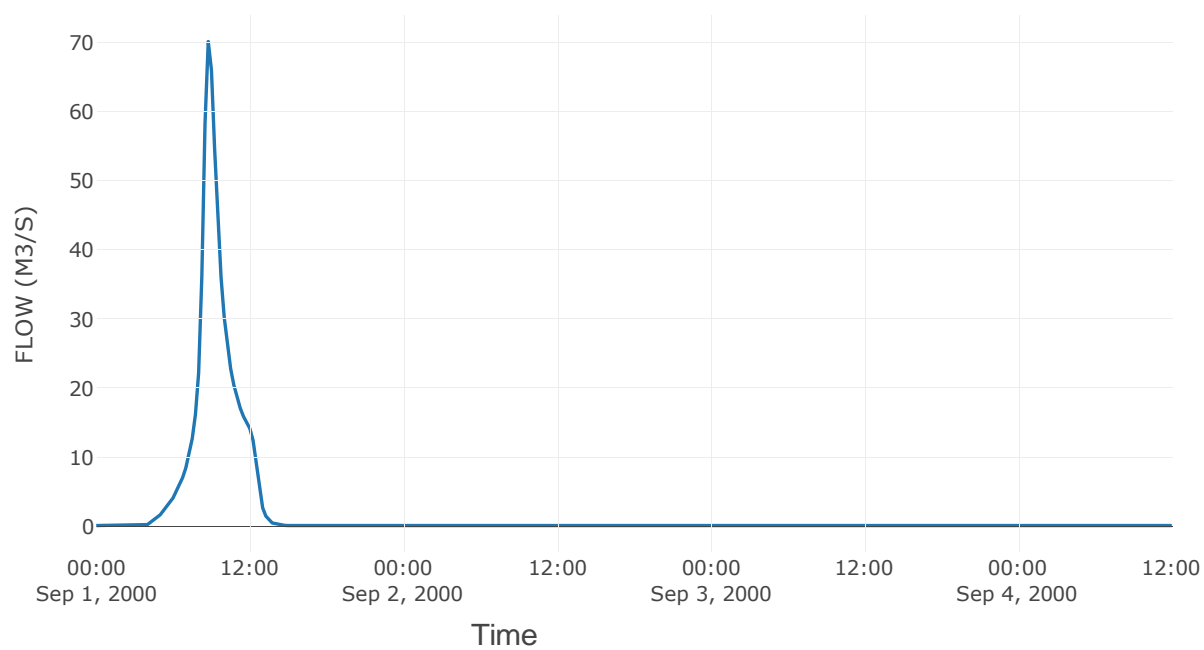
Κόμβος: J11

Κατάντη : R1110

Αποτελέσματα: J11

Παροχή Αιχμής (M3/S)	70.15
Χρονική στιγμή αιχμής	01Sep2000, 08:45
Όγκος (MM)	122.79

Απορροή

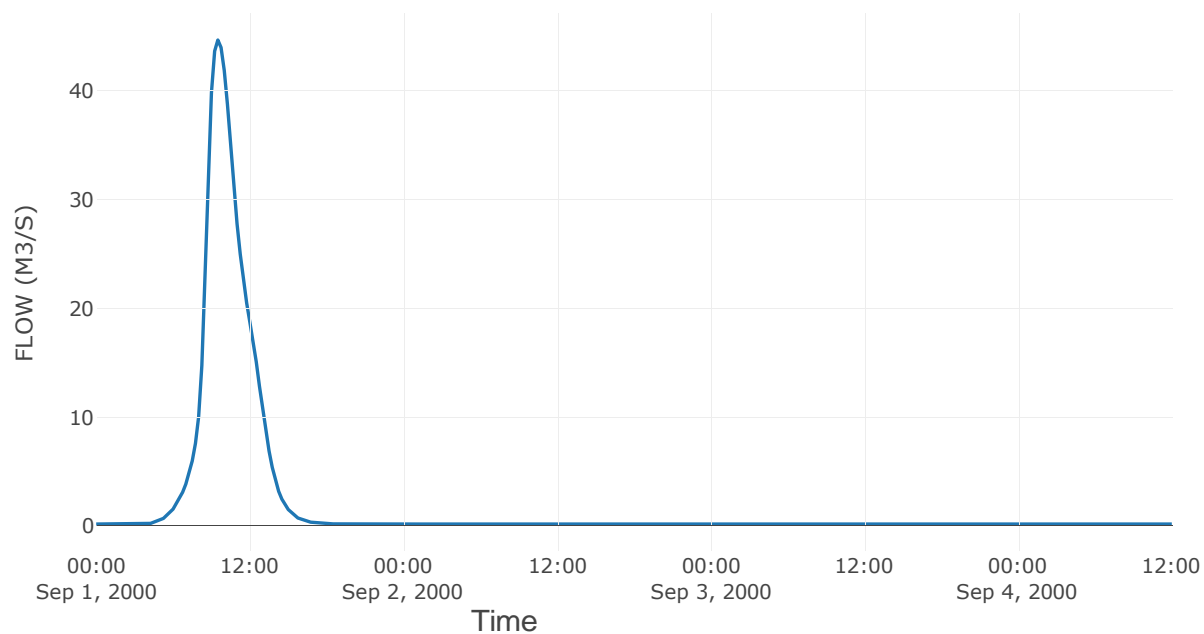


Κόμβος εξόδου: J12

Αποτελέσμα
α: J12

Παροχή αιχμής (M3/S)	44.66
Χρονική στιγμή αιχμής	01Sep2000, 09:30
Όγκος (MM)	113.61

Απορροή



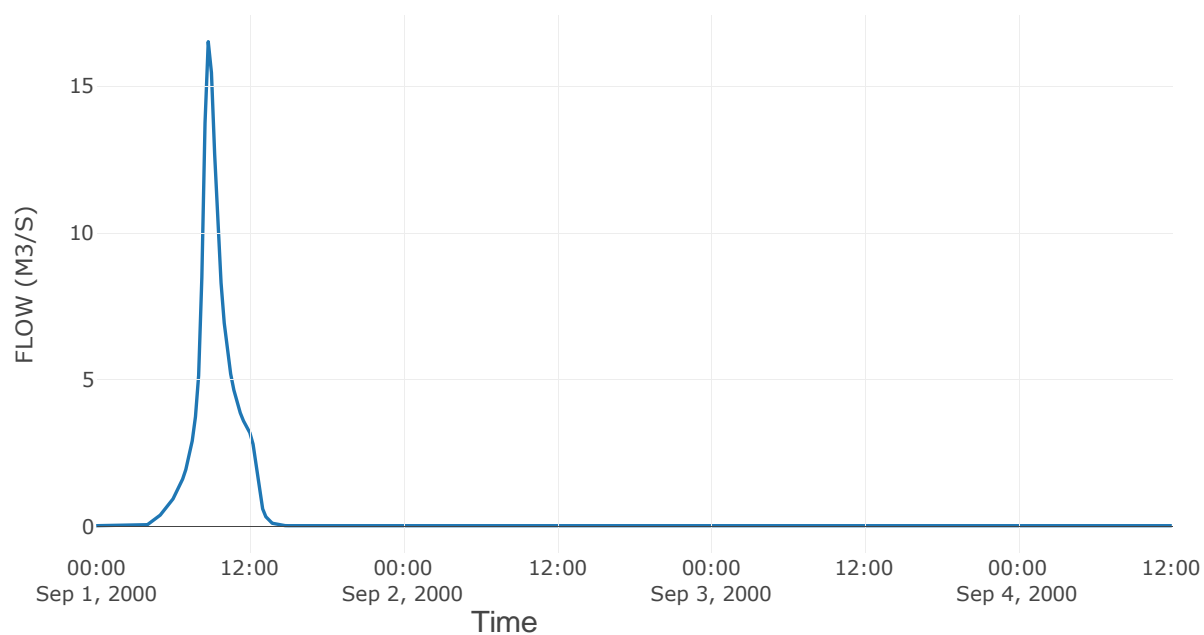
Κόμβος: J13

Κατάντη : R1312

Αποτελέσματα: J13

Παροχή Αιχμής (M3/S)	16.52
Χρονική στιγμή αιχμής	01Sep2000, 08:45
Όγκος (MM)	123.61

Απορροή

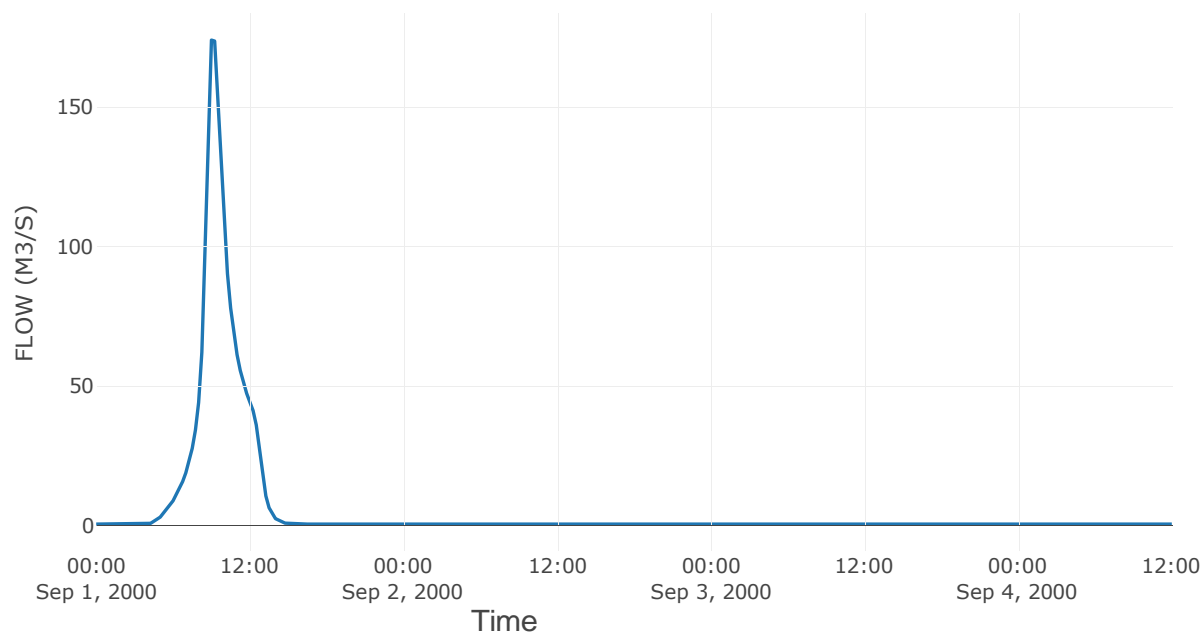


Κόμβος εξόδου: J14

Αποτελέσμα
α: J14

Παροχή αιχμής (M3/S)	174.03
Χρονική στιγμή αιχμής	01Sep2000, 09:00
Όγκος (MM)	120.27

Απορροή



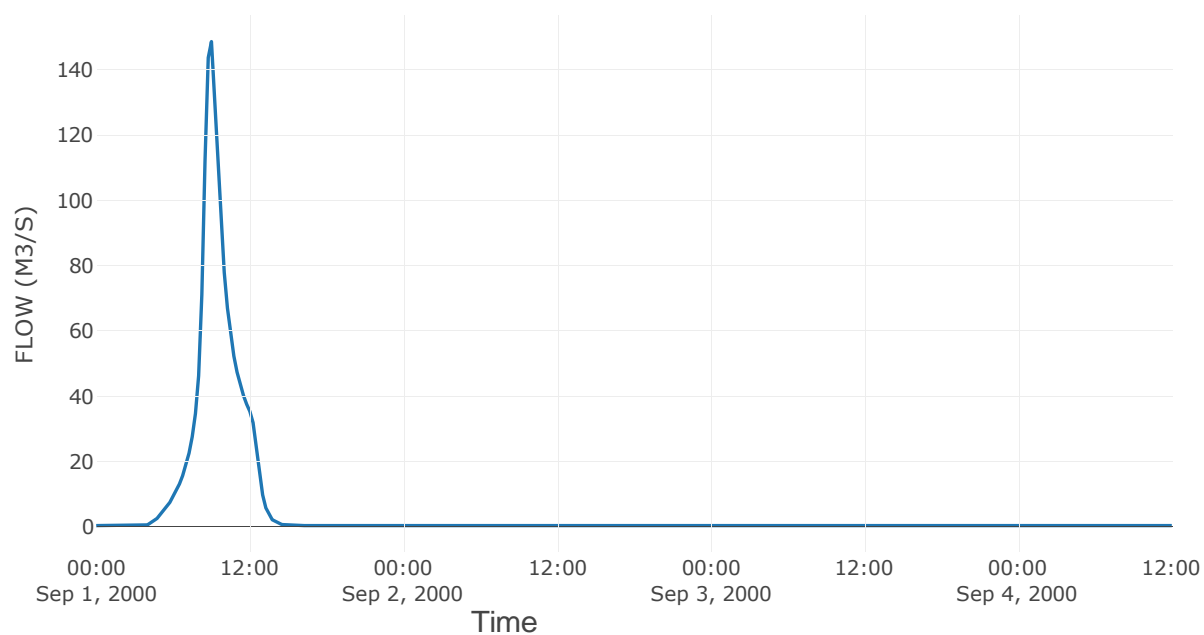
Κόμβος: J15

Κατάντη : R1514

Αποτελέσματα: J15

Παροχή Αιχμής (M3/S)	148.62
Χρονική στιγμή αιχμής	01Sep2000, 09:00
Όγκος (MM)	122.45

Απορροή

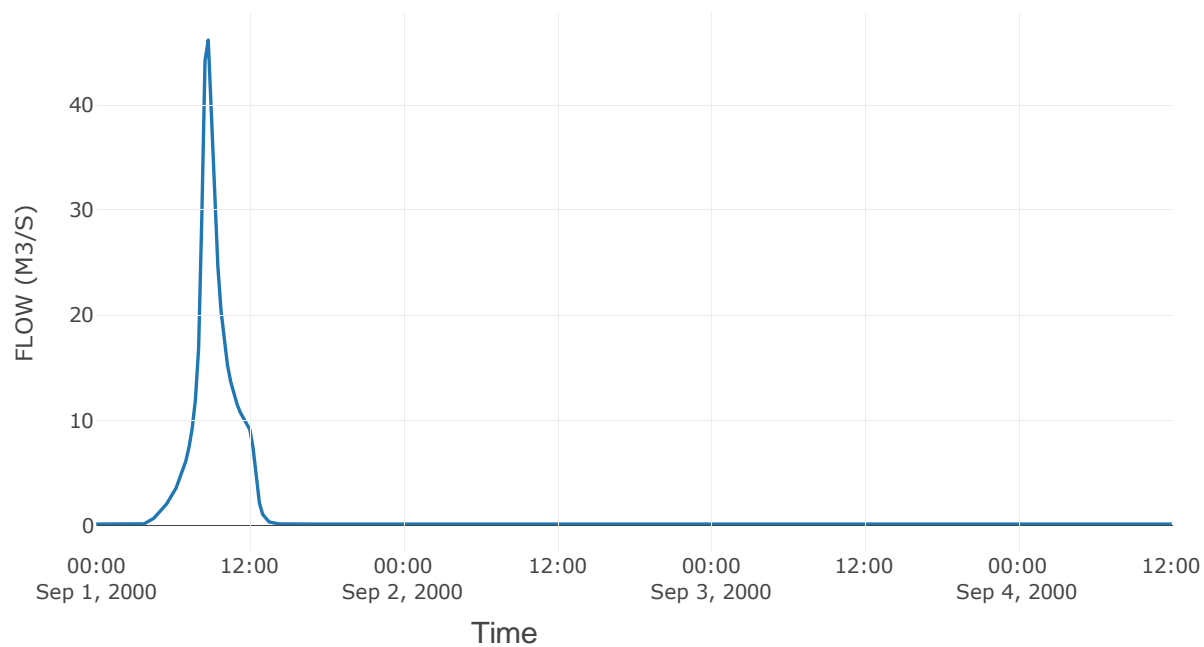


Κόμβος εξόδου: J16

Αποτελέσμα
α: J16

Παροχή αιχμής (M3/S)	46.17
Χρονική στιγμή αιχμής	01Sep2000, 08:45
Όγκος (MM)	118.75

Απορροή



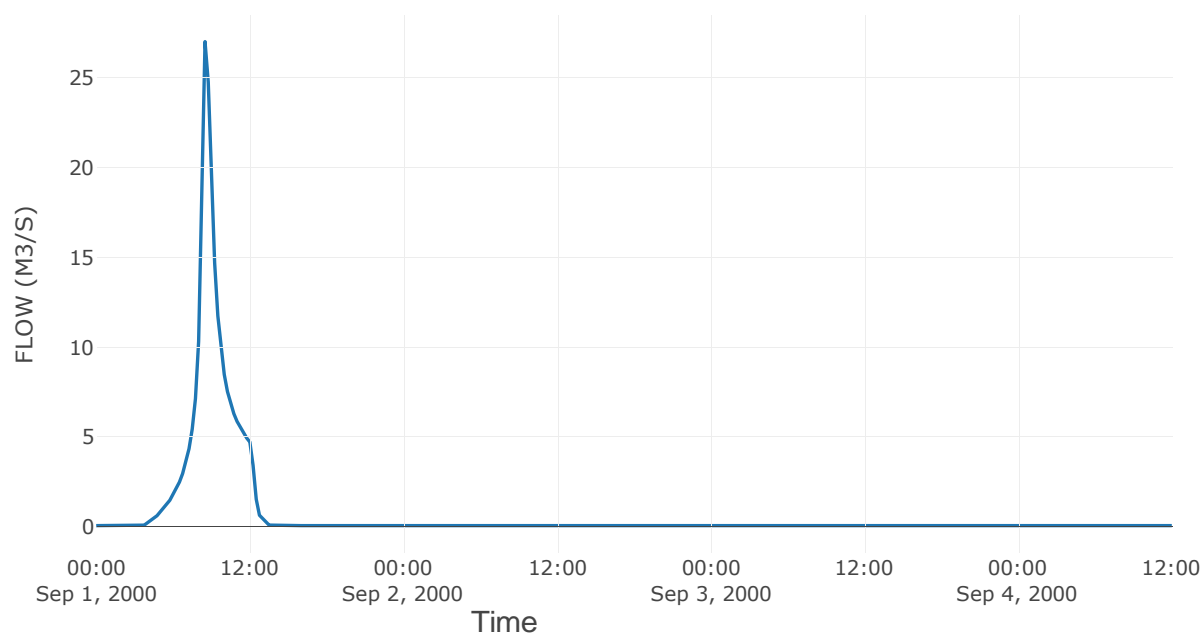
Κόμβος: J17

Κατάντη : R1716

Αποτελέσματα: J17

Παροχή Αιχμής (M3/S)	27.02
Χρονική στιγμή αιχμής	01Sep2000, 08:30
Όγκος (MM)	120.11

Απορροή



10 Δεδομένα εισόδου και αποτελέσματα υδρολογικού σεναρίου T=1000U

10.1 Αποτελέσματα, υετογραφήματα και υδρογραφήματα σχεδιασμού υπολεκάνων

Υπολεκάνη: EL0421FR003001

Έκταση (KM2) : 2.97

Κατάντη : J1

Μέθοδος Απωλειών: SCS

Ποσοστό αδιαπέρατης επιφάνειας	0
Αριθμός Καμπύλης Απορροής-CN	90.64
Αρχικές Απώλειες	5.25

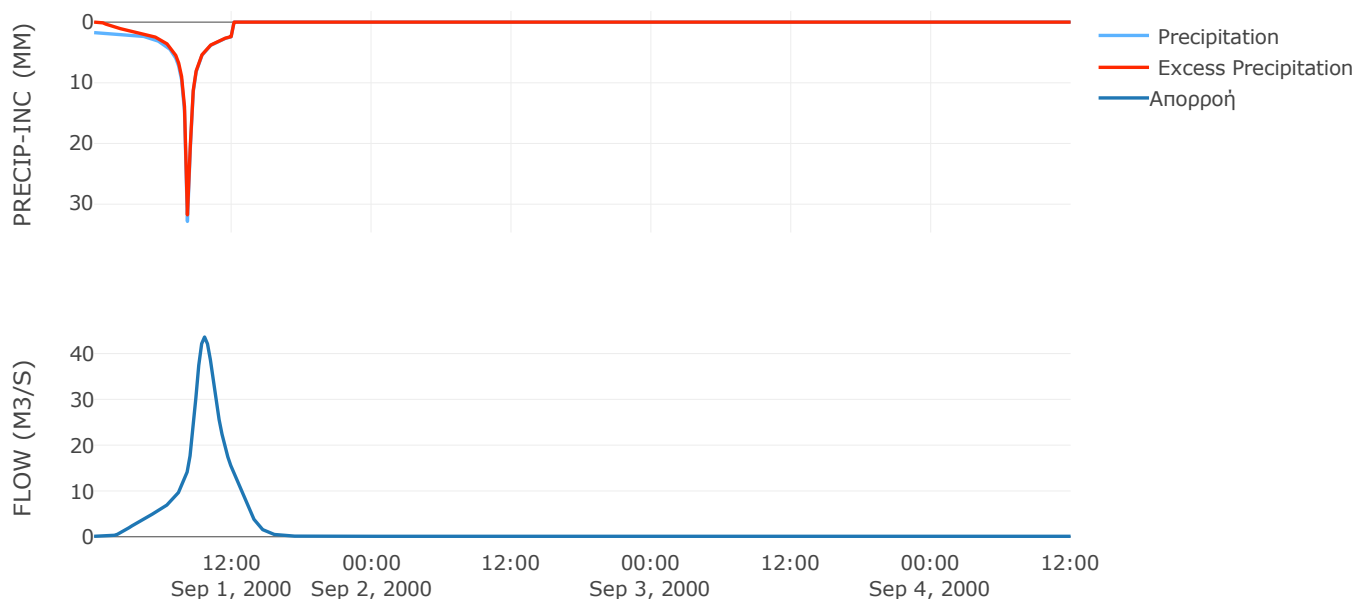
Μέθοδος Μετασχηματισμού: SCS

Χρόνος Υστέρησης	73.97
------------------	-------

Αποτελέσματα:
EL0421FR003001

Παροχή αιχμής (M3/S)	43.62
Χρονική στιγμή αιχμής	01Sep2000, 09:30
Όγκος (MM)	208.04
Όγκος βροχόπτωσης (M3)	6.72E5
Όγκος απωλειών (M3)	85337.68
Ενεργός Όγκος (M3)	5.87E5
Όγκος άμεσης απορροής (M3)	5.87E5
Όγκος βασικής απορροής (M3)	31464.72

Βροχόπτωση και Απορροή



Υπολεκάνη: EL0421FR003002

Έκταση (KM2) : 34.23

Κατάντη : J2

Μέθοδος Απωλειών: SCS

Ποσοστό αδιαπέρατης επιφάνειας	0
Αριθμός Καμπύλης Απορροής-CN	73.37
Αρχικές Απώλειες	18.44

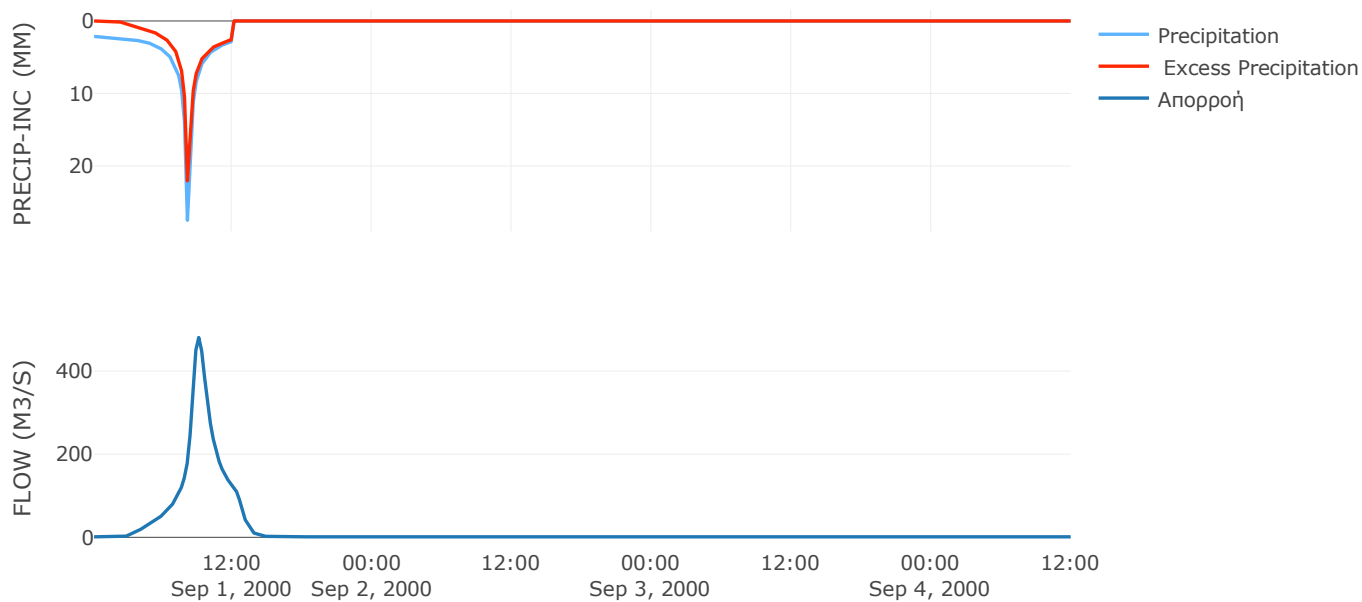
Μέθοδος Μετασχηματισμού: SCS

Χρόνος Υστέρησης	42.51
------------------	-------

Αποτελέσματα:
EL0421FR003002

Παροχή αιχμής (M3/S)	480.83
Χρονική στιγμή αιχμής	01Sep2000, 09:00
Όγκος (MM)	163.85
Όγκος βροχόπτωσης (M3)	8.09E6
Όγκος απωλειών (M3)	2.85E6
Ενεργός Όγκος (M3)	5.25E6
Όγκος άμεσης απορροής (M3)	5.25E6
Όγκος βασικής απορροής (M3)	3.62E5

Βροχόπτωση και Απορροή



Υπολεκάνη: EL0421FR003003

Έκταση (KM2) : 15.17

Κατάντη : J3

Μέθοδος Απωλειών: SCS

Ποσοστό αδιαπέρατης επιφάνειας	0
Αριθμός Καμπύλης Απορροής-CN	87.08
Αρχικές Απώλειες	7.54

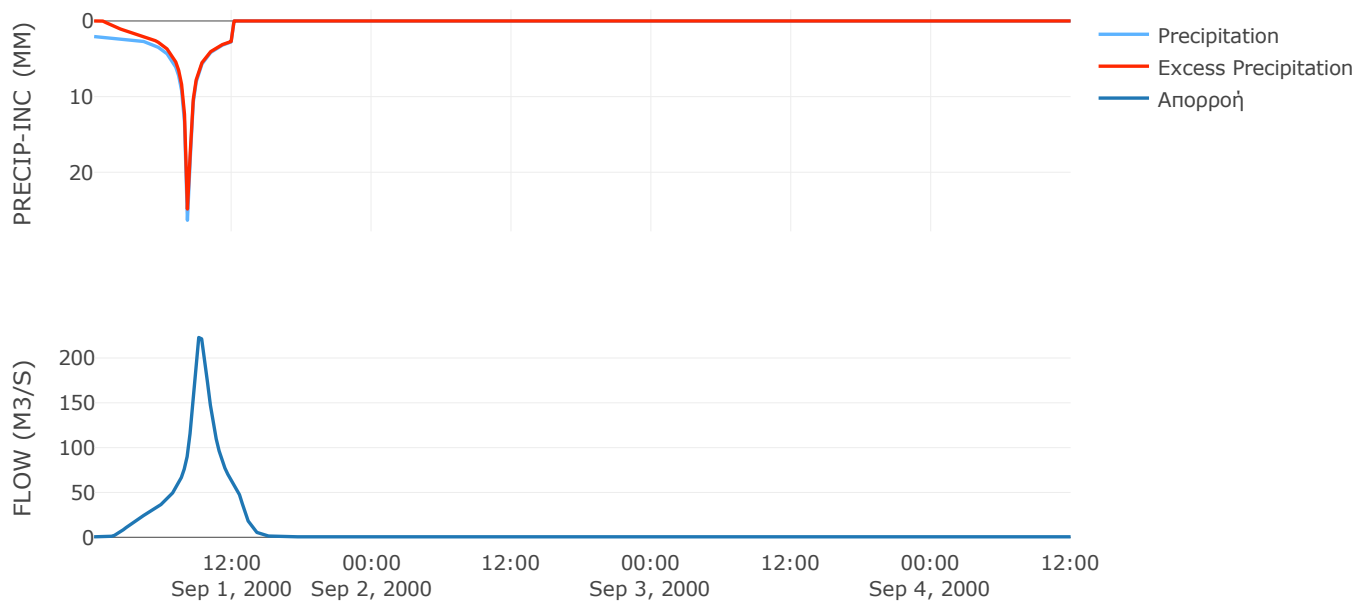
Μέθοδος Μετασχηματισμού: SCS

Χρόνος Υστέρησης	51.17
------------------	-------

Αποτελέσματα:
EL0421FR003003

Παροχή αιχμής (M3/S)	222.85
Χρονική στιγμή αιχμής	01Sep2000, 09:00
Όγκος (MM)	198.82
Όγκος βροχόπτωσης (M3)	3.46E6
Όγκος απωλειών (M3)	6.03E5
Ενεργός Όγκος (M3)	2.86E6
Όγκος άμεσης απορροής (M3)	2.86E6
Όγκος βασικής απορροής (M3)	1.61E5

Βροχόπτωση και Απορροή



Υπολεκάνη: EL0421FR003004

Έκταση (KM2) : 21.72

Κατάντη : J4

Μέθοδος Απωλειών: SCS

Ποσοστό αδιαπέρατης επιφάνειας	0
Αριθμός Καμπύλης Απορροής-CN	87.25
Αρχικές Απώλειες	7.43

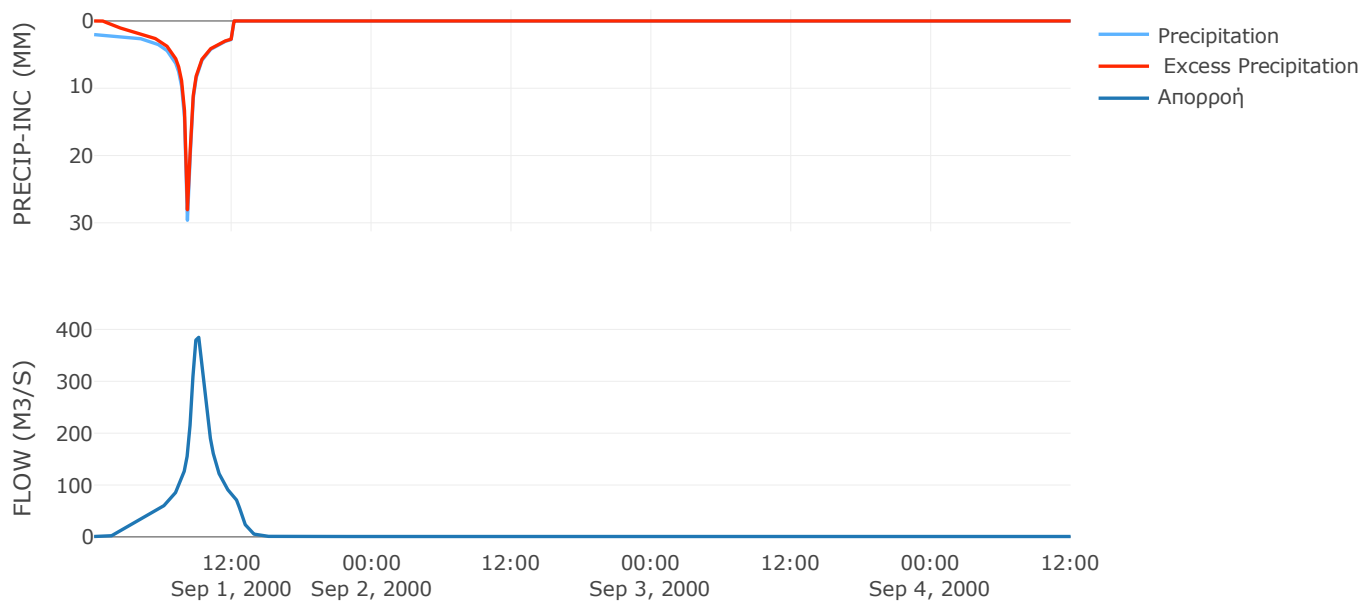
Μέθοδος Μετασχηματισμού: SCS

Χρόνος Υστέρησης	39.31
------------------	-------

Αποτελέσματα:
EL0421FR003004

Παροχή αιχμής (M3/S)	384.83
Χρονική στιγμή αιχμής	01Sep2000, 09:00
Όγκος (MM)	207.96
Όγκος βροχόπτωσης (M3)	5.14E6
Όγκος απωλειών (M3)	8.55E5
Ενεργός Όγκος (M3)	4.29E6
Όγκος άμεσης απορροής (M3)	4.29E6
Όγκος βασικής απορροής (M3)	2.3E5

Βροχόπτωση και Απορροή



Υπολεκάνη: EL0421FR003005

Έκταση (KM2) : 3.17

Κατάντη : J5

Μέθοδος Απωλειών: SCS

Ποσοστό αδιαπέρατης επιφάνειας	0
Αριθμός Καμπύλης Απορροής-CN	90.74
Αρχικές Απώλειες	5.19

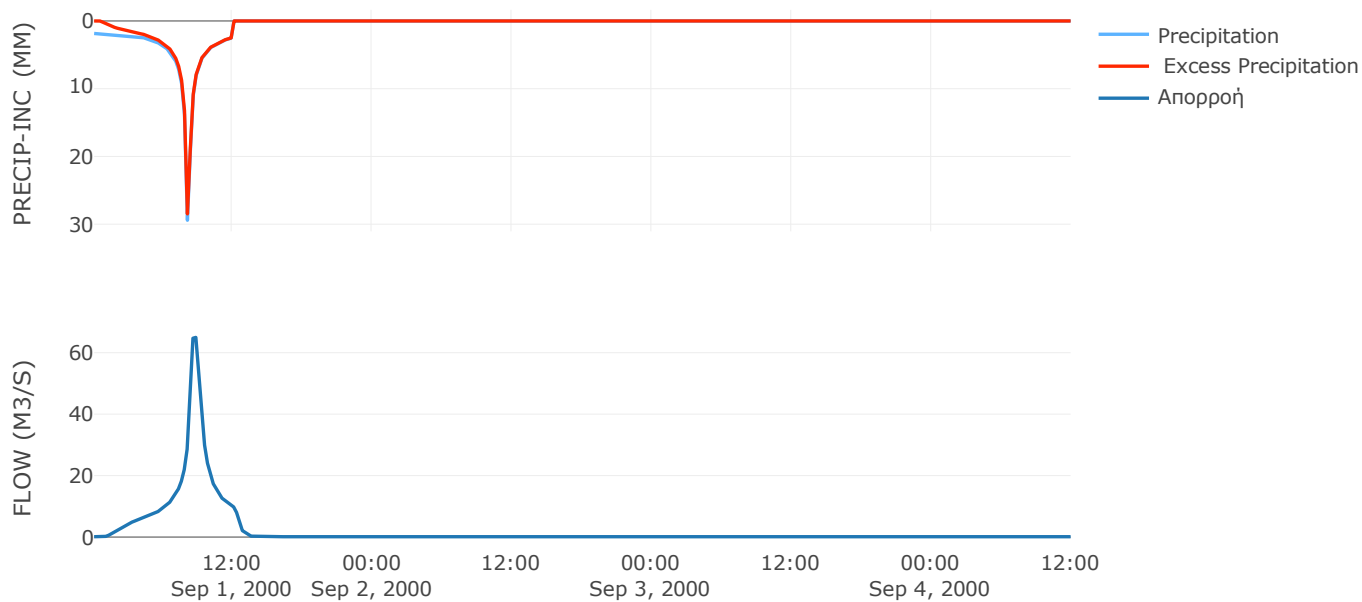
Μέθοδος Μετασχηματισμού: SCS

Χρόνος Υστέρησης	23.91
------------------	-------

Αποτελέσματα:
EL0421FR003005

Παροχή αιχμής (M3/S)	64.97
Χρονική στιγμή αιχμής	01Sep2000, 08:45
Όγκος (MM)	206.1
Όγκος βροχόπτωσης (M3)	7.1E5
Όγκος απωλειών (M3)	89933.04
Ενεργός Όγκος (M3)	6.2E5
Όγκος άμεσης απορροής (M3)	6.2E5
Όγκος βασικής απορροής (M3)	33560.35

Βροχόπτωση και Απορροή



Υπολεκάνη: EL0421FR003006

Έκταση (KM2) : 4.26

Κατάντη : J6

Μέθοδος Απωλειών: SCS

Ποσοστό αδιαπέρατης επιφάνειας	0
Αριθμός Καμπύλης Απορροής-CN	90.88
Αρχικές Απώλειες	5.1

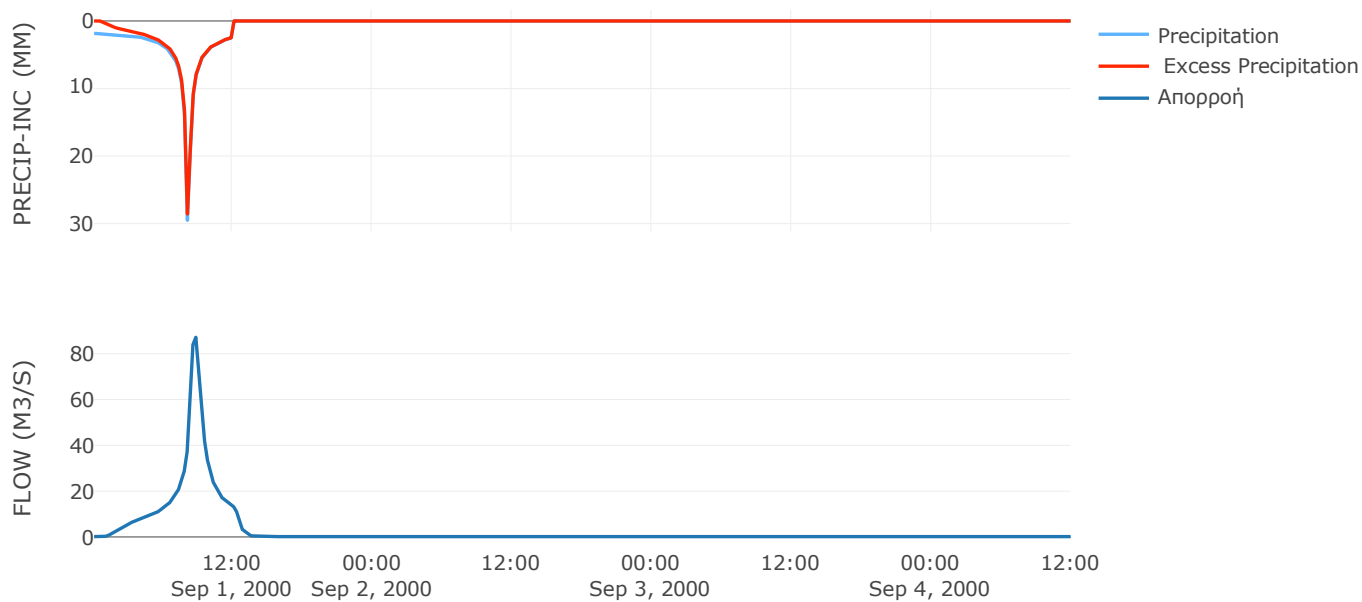
Μέθοδος Μετασχηματισμού: SCS

Χρόνος Υστέρησης	25.63
------------------	-------

Αποτελέσματα:
EL0421FR003006

Παροχή αιχμής (M3/S)	87.18
Χρονική στιγμή αιχμής	01Sep2000, 08:45
Όγκος (MM)	205.8
Όγκος βροχόπτωσης (M3)	9.51E5
Όγκος απωλειών (M3)	1.19E5
Ενεργός Όγκος (M3)	8.32E5
Όγκος άμεσης απορροής (M3)	8.32E5
Όγκος βασικής απορροής (M3)	45118.08

Βροχόπτωση και Απορροή



Υπολεκάνη: EL0421FR003007

Έκταση (KM2) : 5.37

Κατάντη : J7

Μέθοδος Απωλειών: SCS

Ποσοστό αδιαπέρατης επιφάνειας	0
Αριθμός Καμπύλης Απορροής-CN	90.66
Αρχικές Απώλειες	5.24

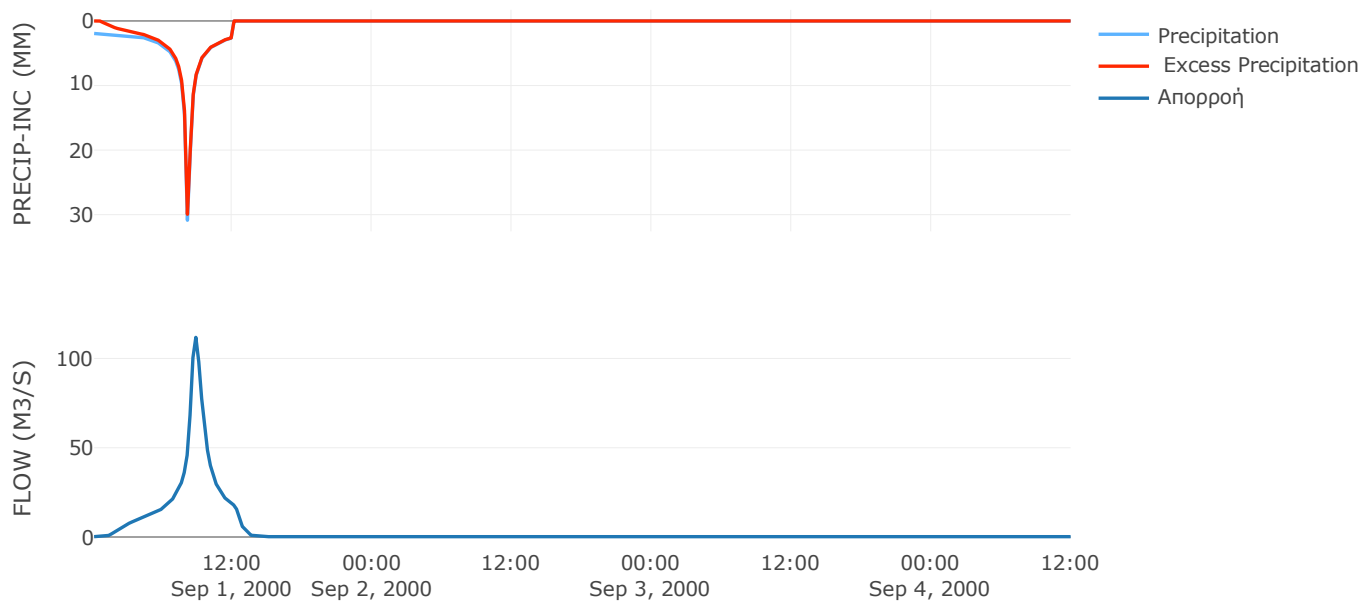
Μέθοδος Μετασχηματισμού: SCS

Χρόνος Υστέρησης	29.91
------------------	-------

Αποτελέσματα:
EL0421FR003007

Παροχή αιχμής (M3/S)	111.84
Χρονική στιγμή αιχμής	01Sep2000, 08:45
Όγκος (MM)	216.54
Όγκος βροχόπτωσης (M3)	1.26E6
Όγκος απωλειών (M3)	1.54E5
Ενεργός Όγκος (M3)	1.11E6
Όγκος άμεσης απορροής (M3)	1.11E6
Όγκος βασικής απορροής (M3)	56842.13

Βροχόπτωση και Απορροή



Υπολεκάνη: EL0421FR003008

Έκταση (KM2) : 1.34

Κατάντη : J8

Μέθοδος Απωλειών: SCS

Ποσοστό αδιαπέρατης επιφάνειας	0
Αριθμός Καμπύλης Απορροής-CN	91.49
Αρχικές Απώλειες	4.72

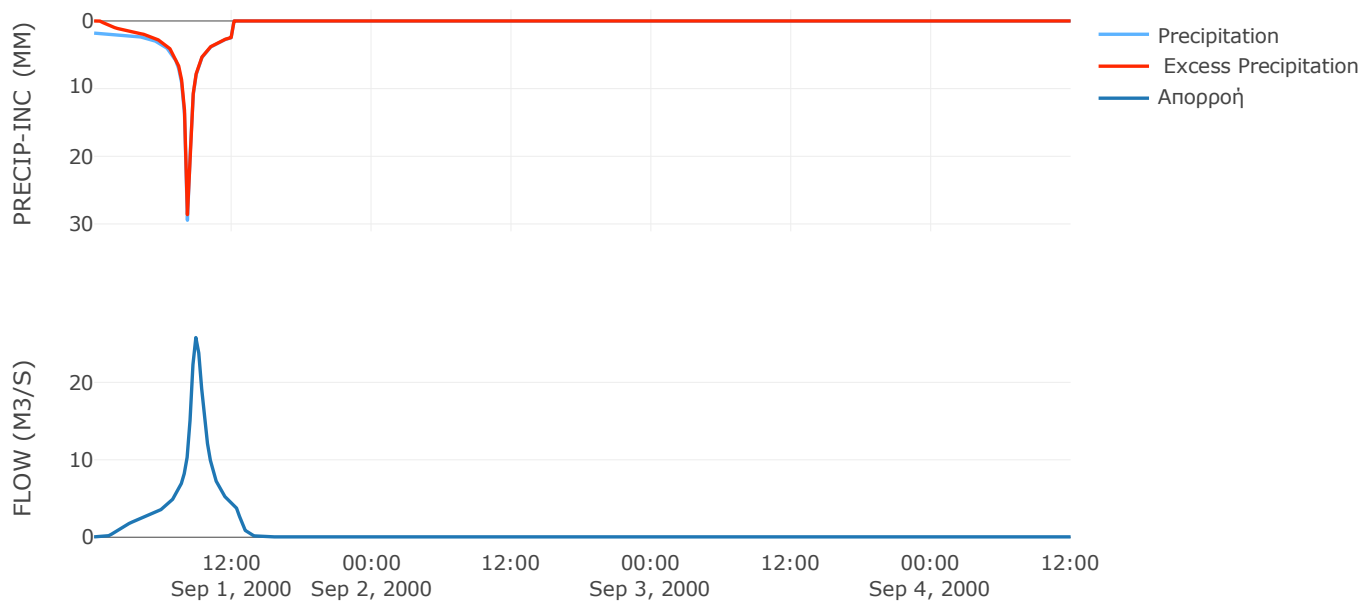
Μέθοδος Μετασχηματισμού: SCS

Χρόνος Υστέρησης	32.65
------------------	-------

Αποτελέσματα:
EL0421FR003008

Παροχή αιχμής (M3/S)	25.79
Χρονική στιγμή αιχμής	01Sep2000, 08:45
Όγκος (MM)	205.07
Όγκος βροχόπτωσης (M3)	2.96E5
Όγκος απωλειών (M3)	34869.55
Ενεργός Όγκος (M3)	2.61E5
Όγκος άμεσης απορροής (M3)	2.61E5
Όγκος βασικής απορροής (M3)	14187.7

Βροχόπτωση και Απορροή



Υπολεκάνη: EL0421FR003009

Έκταση (KM2) : 1.01

Κατάντη : J9

Μέθοδος Απωλειών: SCS

Ποσοστό αδιαπέρατης επιφάνειας	0
Αριθμός Καμπύλης Απορροής-CN	91.29
Αρχικές Απώλειες	4.85

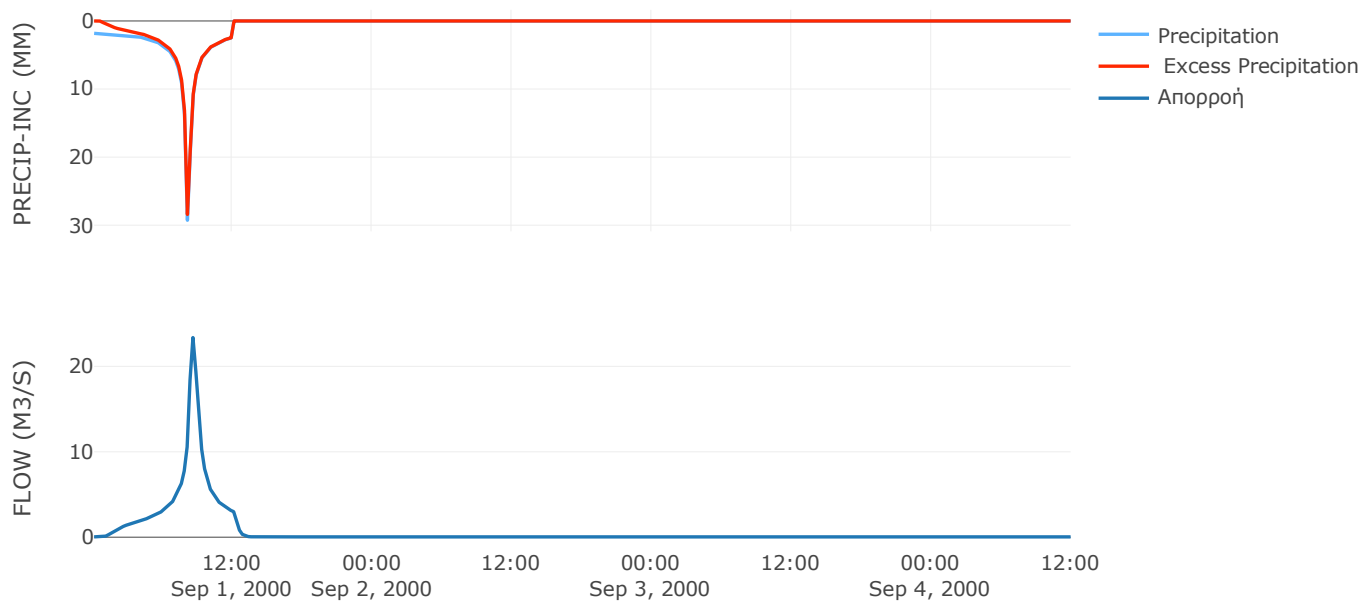
Μέθοδος Μετασχηματισμού: SCS

Χρόνος Υστέρησης	17.29
------------------	-------

Αποτελέσματα:
EL0421FR003009

Παροχή αιχμής (M3/S)	23.37
Χρονική στιγμή αιχμής	01Sep2000, 08:30
Όγκος (MM)	205.13
Όγκος βροχόπτωσης (M3)	2.24E5
Όγκος απωλειών (M3)	27001.4
Ενεργός Όγκος (M3)	1.97E5
Όγκος άμεσης απορροής (M3)	1.97E5
Όγκος βασικής απορροής (M3)	10729.76

Βροχόπτωση και Απορροή



Υπολεκάνη: EL0421FR003010

Έκταση (KM2) : 1.43

Κατάντη : J10

Μέθοδος Απωλειών: SCS

Ποσοστό αδιαπέρατης επιφάνειας	0
Αριθμός Καμπύλης Απορροής-CN	91.48
Αρχικές Απώλειες	4.73

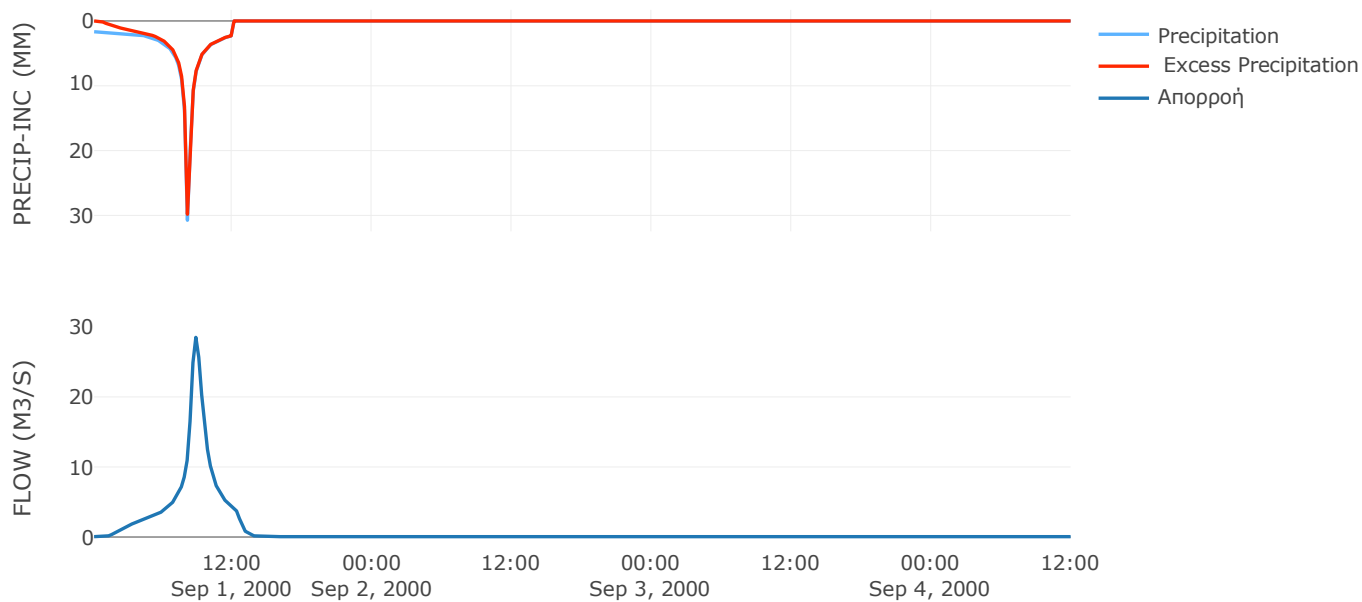
Μέθοδος Μετασχηματισμού: SCS

Χρόνος Υστέρησης	31.57
------------------	-------

Αποτελέσματα:
EL0421FR003010

Παροχή αιχμής (M3/S)	28.5
Χρονική στιγμή αιχμής	01Sep2000, 08:45
Όγκος (MM)	199.55
Όγκος βροχόπτωσης (M3)	3.08E5
Όγκος απωλειών (M3)	37234.94
Ενεργός Όγκος (M3)	2.71E5
Όγκος άμεσης απορροής (M3)	2.71E5
Όγκος βασικής απορροής (M3)	15154.78

Βροχόπτωση και Απορροή



Υπολεκάνη: EL0421FR003011

Έκταση (KM2) : 5.43

Κατάντη : J11

Μέθοδος Απωλειών: SCS

Ποσοστό αδιαπέρατης επιφάνειας	0
Αριθμός Καμπύλης Απορροής-CN	90.88
Αρχικές Απώλειες	5.1

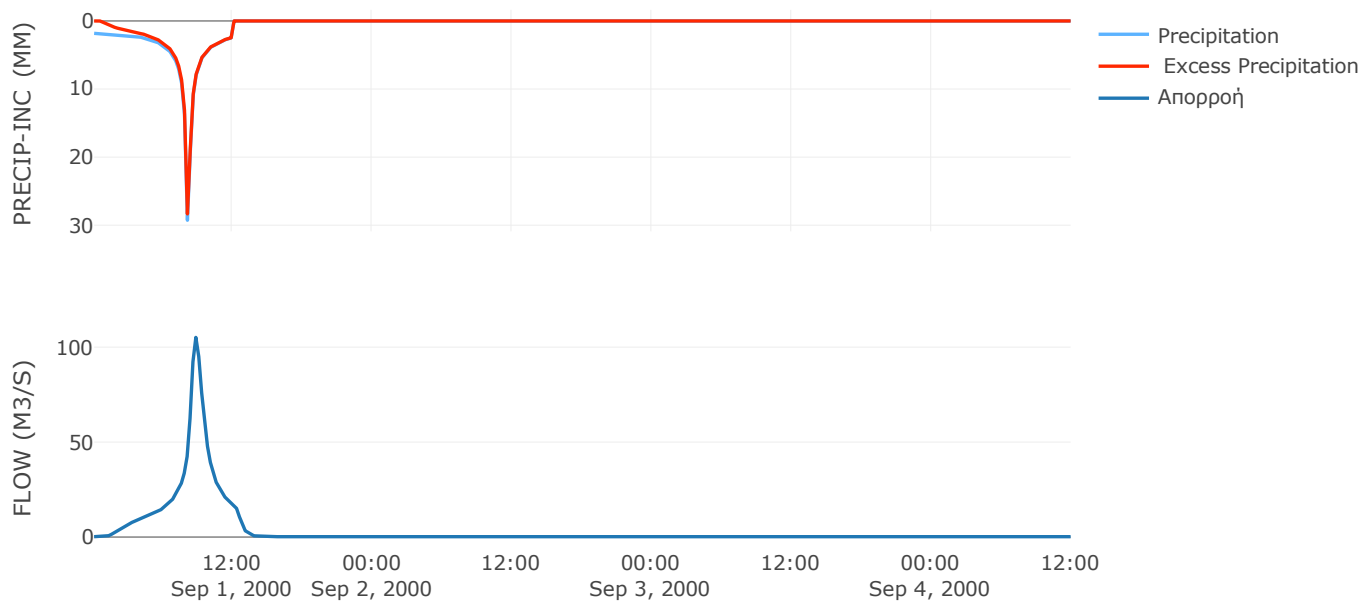
Μέθοδος Μετασχηματισμού: SCS

Χρόνος Υστέρησης	31.44
------------------	-------

Αποτελέσματα:
EL0421FR003011

Παροχή αιχμής (M3/S)	105.12
Χρονική στιγμή αιχμής	01Sep2000, 08:45
Όγκος (MM)	203.87
Όγκος βροχόπτωσης (M3)	1.2E6
Όγκος απωλειών (M3)	1.51E5
Ενεργός Όγκος (M3)	1.05E6
Όγκος άμεσης απορροής (M3)	1.05E6
Όγκος βασικής απορροής (M3)	57440.88

Βροχόπτωση και Απορροή



Υπολεκάνη: EL0421FR003012

Έκταση (KM2) : 4.3

Κατάντη : J12

Μέθοδος Απωλειών: SCS

Ποσοστό αδιαπέρατης επιφάνειας	0
Αριθμός Καμπύλης Απορροής-CN	90.64
Αρχικές Απώλειες	5.24

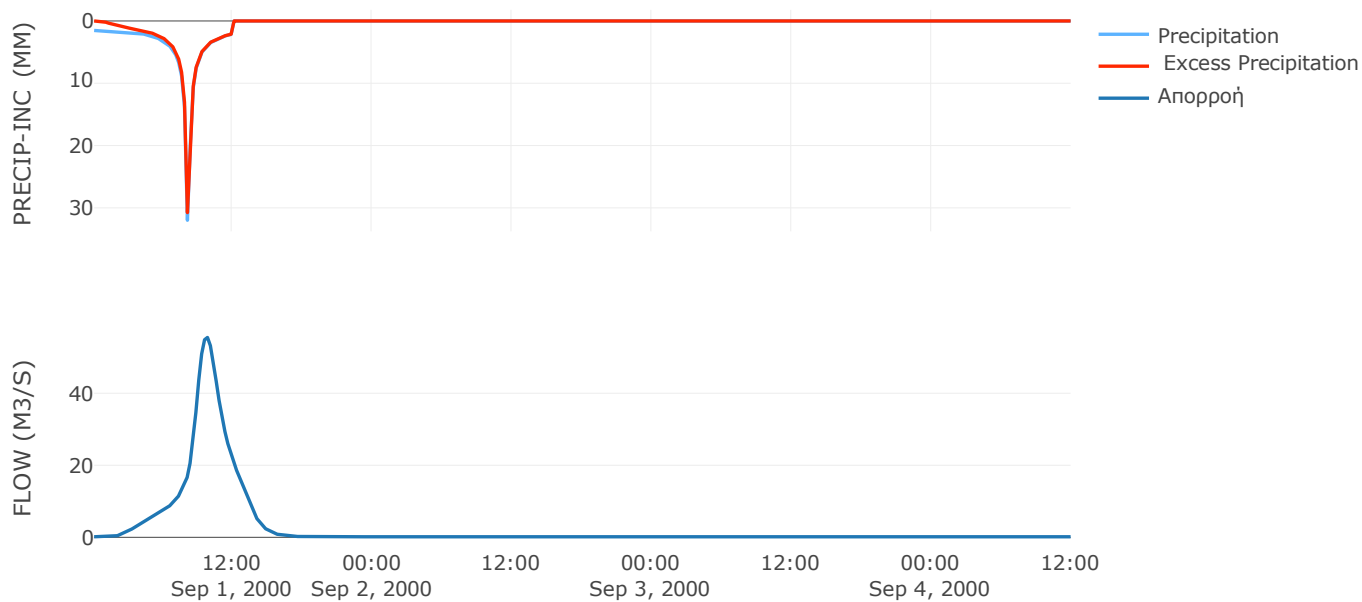
Μέθοδος Μετασχηματισμού: SCS

Χρόνος Υστέρησης	84.24
------------------	-------

Αποτελέσματα:
EL0421FR003012

Παροχή αιχμής (M3/S)	55.49
Χρονική στιγμή αιχμής	01Sep2000, 09:45
Όγκος (MM)	190.84
Όγκος βροχόπτωσης (M3)	8.97E5
Όγκος απωλειών (M3)	1.22E5
Ενεργός Όγκος (M3)	7.74E5
Όγκος άμεσης απορροής (M3)	7.74E5
Όγκος βασικής απορροής (M3)	45459.79

Βροχόπτωση και Απορροή



Υπολεκάνη: EL0421FR003013

Έκταση (KM2) : 1.25

Κατάντη : J13

Μέθοδος Απωλειών: SCS

Ποσοστό αδιαπέρατης επιφάνειας	0
Αριθμός Καμπύλης Απορροής-CN	91.19
Αρχικές Απώλειες	4.91

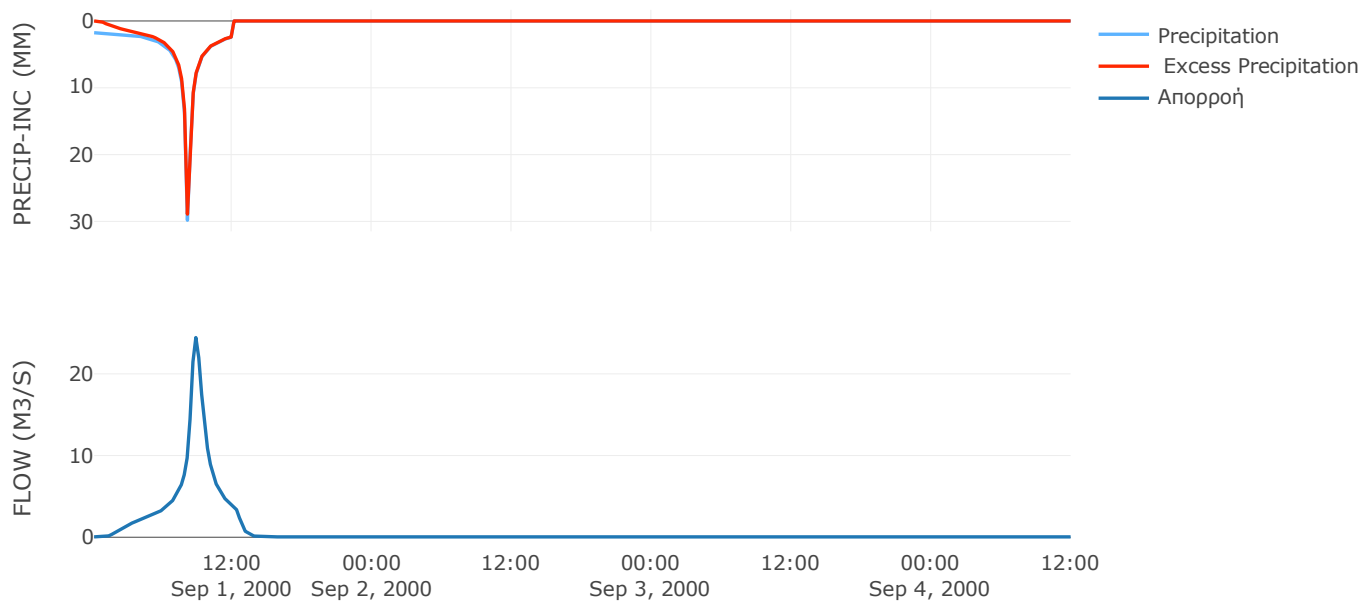
Μέθοδος Μετασχηματισμού: SCS

Χρόνος Υστέρησης	31.3
------------------	------

Αποτελέσματα:
EL0421FR003013

Παροχή αιχμής (M3/S)	24.44
Χρονική στιγμή αιχμής	01Sep2000, 08:45
Όγκος (MM)	202.67
Όγκος βροχόπτωσης (M3)	2.73E5
Όγκος απωλειών (M3)	33550.34
Ενεργός Όγκος (M3)	2.39E5
Όγκος άμεσης απορροής (M3)	2.39E5
Όγκος βασικής απορροής (M3)	13181.01

Βροχόπτωση και Απορροή



Υπολεκάνη: EL0421FR003014

Έκταση (KM2) : 2.74

Κατάντη : J14

Μέθοδος Απωλειών: SCS

Ποσοστό αδιαπέρατης επιφάνειας	0
Αριθμός Καμπύλης Απορροής-CN	89.63
Αρχικές Απώλειες	5.88

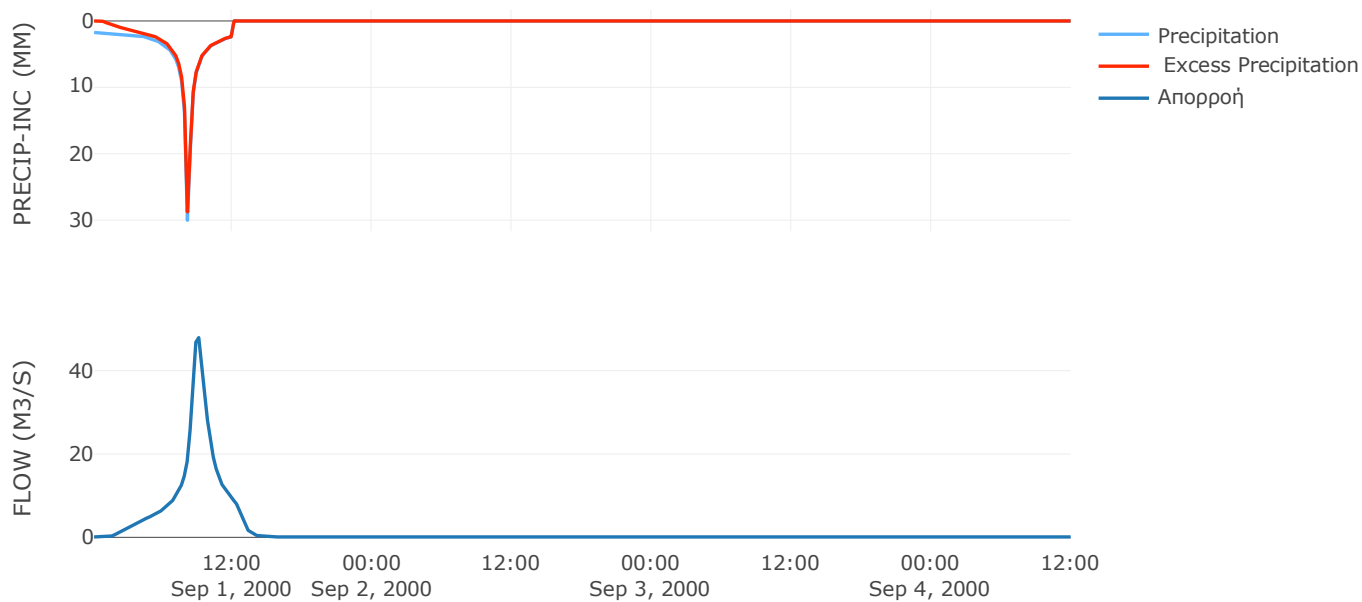
Μέθοδος Μετασχηματισμού: SCS

Χρόνος Υστέρησης	40.3
------------------	------

Αποτελέσματα:
EL0421FR003014

Παροχή αιχμής (M3/S)	47.94
Χρονική στιγμή αιχμής	01Sep2000, 09:00
Όγκος (MM)	196.9
Όγκος βροχόπτωσης (M3)	5.98E5
Όγκος απωλειών (M3)	86953.92
Ενεργός Όγκος (M3)	5.11E5
Όγκος άμεσης απορροής (M3)	5.11E5
Όγκος βασικής απορροής (M3)	29043.1

Βροχόπτωση και Απορροή



Υπολεκάνη: EL0421FR003015

Έκταση (KM2) : 12.69

Κατάντη : J15

Μέθοδος Απωλειών: SCS

Ποσοστό αδιαπέρατης επιφάνειας	0
Αριθμός Καμπύλης Απορροής-CN	90.41
Αρχικές Απώλειες	5.39

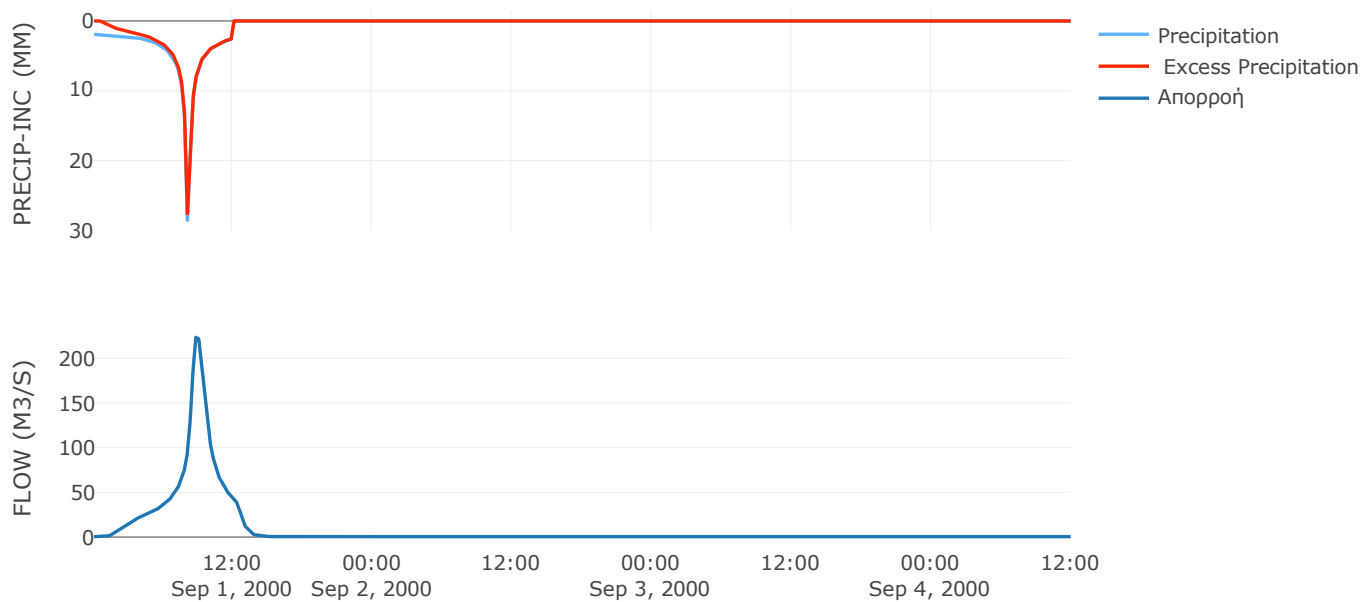
Μέθοδος Μετασχηματισμού: SCS

Χρόνος Υστέρησης	37.61
------------------	-------

Αποτελέσματα:
EL0421FR003015

Παροχή αιχμής (M3/S)	223.4
Χρονική στιγμή αιχμής	01Sep2000, 08:45
Όγκος (MM)	206.74
Όγκος βροχόπτωσης (M3)	2.86E6
Όγκος απωλειών (M3)	3.73E5
Ενεργός Όγκος (M3)	2.49E6
Όγκος άμεσης απορροής (M3)	2.49E6
Όγκος βασικής απορροής (M3)	1.34E5

Βροχόπτωση και Απορροή



Υπολεκάνη: EL0421FR003016

Έκταση (KM2) : 1.7

Κατάντη : J16

Μέθοδος Απωλειών: SCS

Ποσοστό αδιαπέρατης επιφάνειας	0
Αριθμός Καμπύλης Απορροής-CN	90.35
Αρχικές Απώλειες	5.42

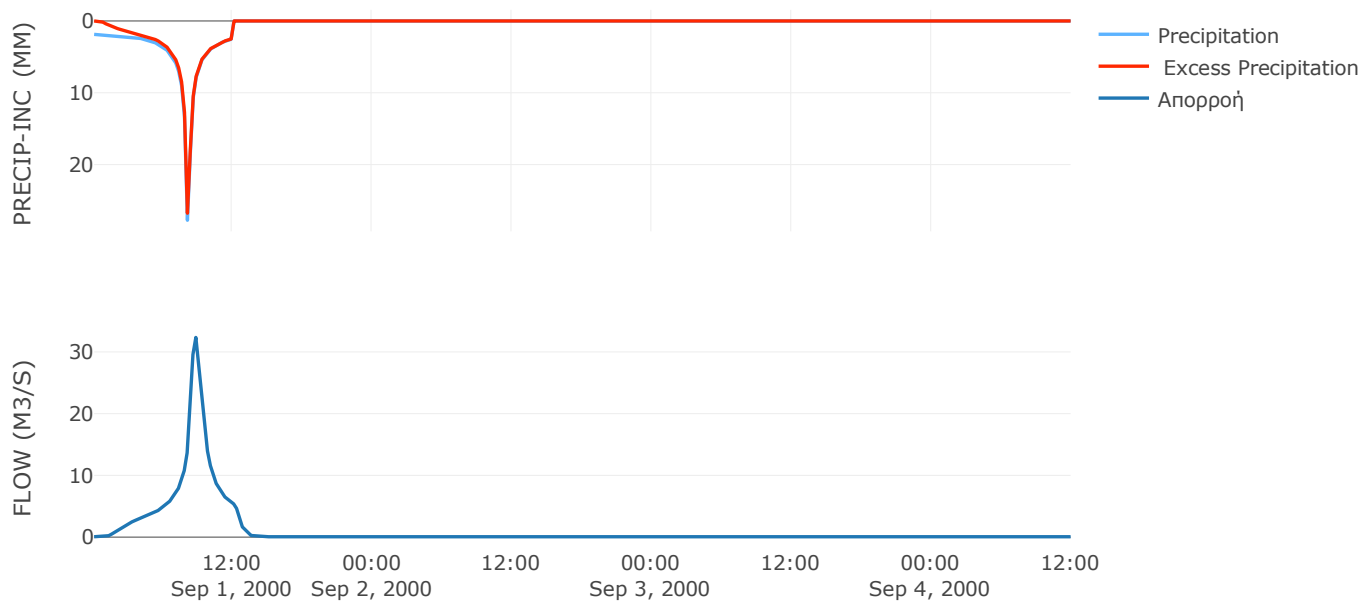
Μέθοδος Μετασχηματισμού: SCS

Χρόνος Υστέρησης	28.83
------------------	-------

Αποτελέσματα:
EL0421FR003016

Παροχή αιχμής (M3/S)	32.35
Χρονική στιγμή αιχμής	01Sep2000, 08:45
Όγκος (MM)	200.78
Όγκος βροχόπτωσης (M3)	3.74E5
Όγκος απωλειών (M3)	50152.57
Ενεργός Όγκος (M3)	3.23E5
Όγκος άμεσης απορροής (M3)	3.23E5
Όγκος βασικής απορροής (M3)	17995.82

Βροχόπτωση και Απορροή



Υπολεκάνη: EL0421FR003017

Έκταση (KM2) : 1.9

Κατάντη : J17

Μέθοδος Απωλειών: SCS

Ποσοστό αδιαπέρατης επιφάνειας	0
Αριθμός Καμπύλης Απορροής-CN	90.69
Αρχικές Απώλειες	5.22

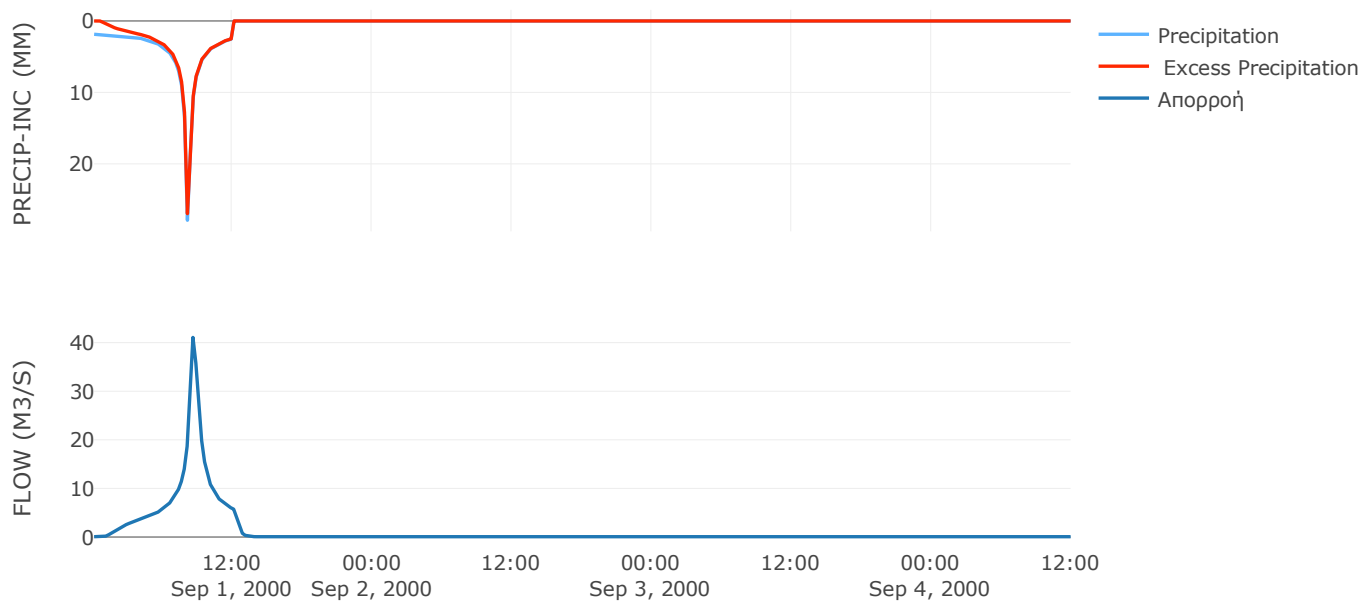
Μέθοδος Μετασχηματισμού: SCS

Χρόνος Υστέρησης	18.87
------------------	-------

Αποτελέσματα:
EL0421FR003017

Παροχή αιχμής (M3/S)	41.07
Χρονική στιγμή αιχμής	01Sep2000, 08:30
Όγκος (MM)	201.98
Όγκος βροχόπτωσης (M3)	4.18E5
Όγκος απωλειών (M3)	54172.79
Ενεργός Όγκος (M3)	3.64E5
Όγκος άμεσης απορροής (M3)	3.64E5
Όγκος βασικής απορροής (M3)	20137.42

Βροχόπτωση και Απορροή



10.2 Δεδομένα και Υδρογραφήματα Σχεδιασμού Κλάδων Υδρογραφικού Δικτύου

Κλάδος: R21

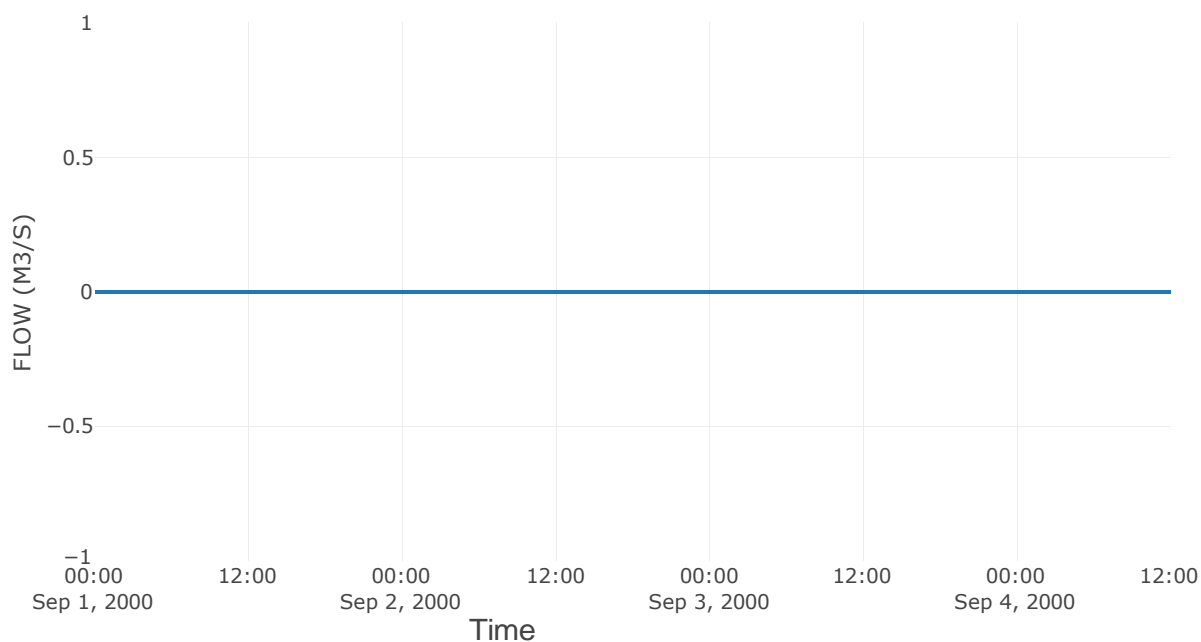
Κατάντη : J1

Μέθοδος Διόδευσης	Χρόνος
Αρχική Μεταβλητή	Combined Inflow
Χρόνος Υστέρησης	8.04

Αποτελέσματα: R21

Παροχή Αιχμής (M3/S)	0
Χρονική στιγμή αιχμής	31Aug2000, 24:00
Εισροή Αιχμής (M3/S)	0
Όγκος Εισροής (M3)	0

Απορροή



Κλάδος: R43

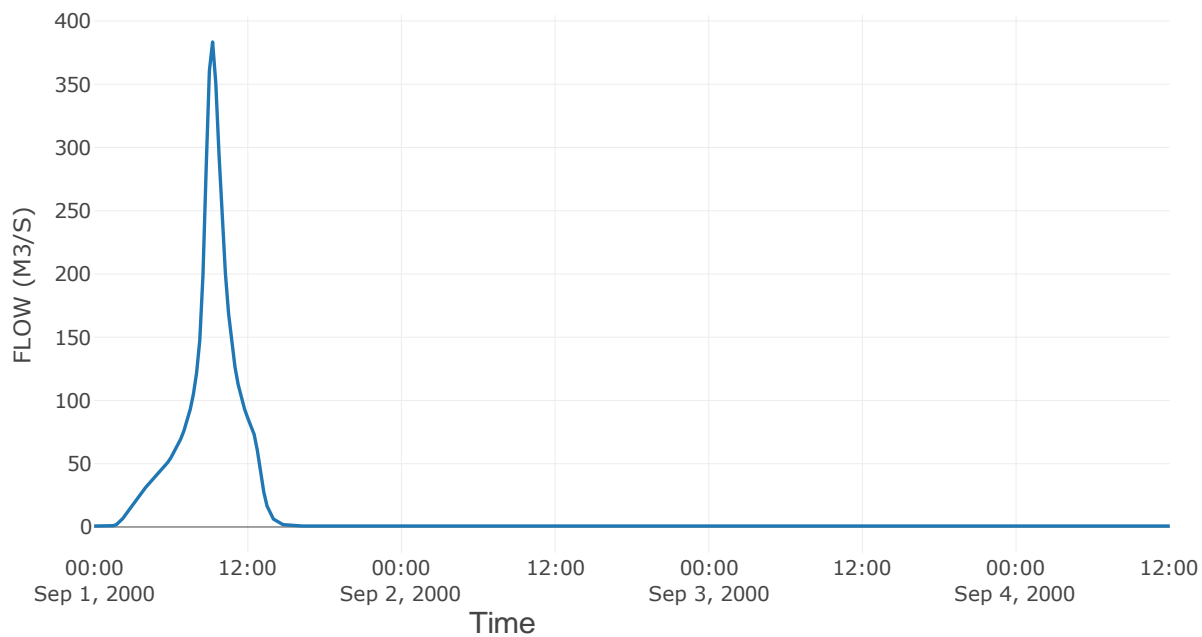
Κατάντη : J3

Μέθοδος Διόδευσης	Χρόνος
Αρχική Μεταβλητή	Combined Inflow
Χρόνος Υστέρησης	19.64

Αποτελέσματα: R43

Παροχή Αιχμής (M3/S)	383.39
Χρονική στιγμή αιχμής	01Sep2000, 09:15
Όγκος (MM)	207.96
Παροχή Αιχμής Εισόδου (M3/S)	384.83
Όγκος Εισροής (M3)	4.52E6

Απορροή



Κλάδος: R65

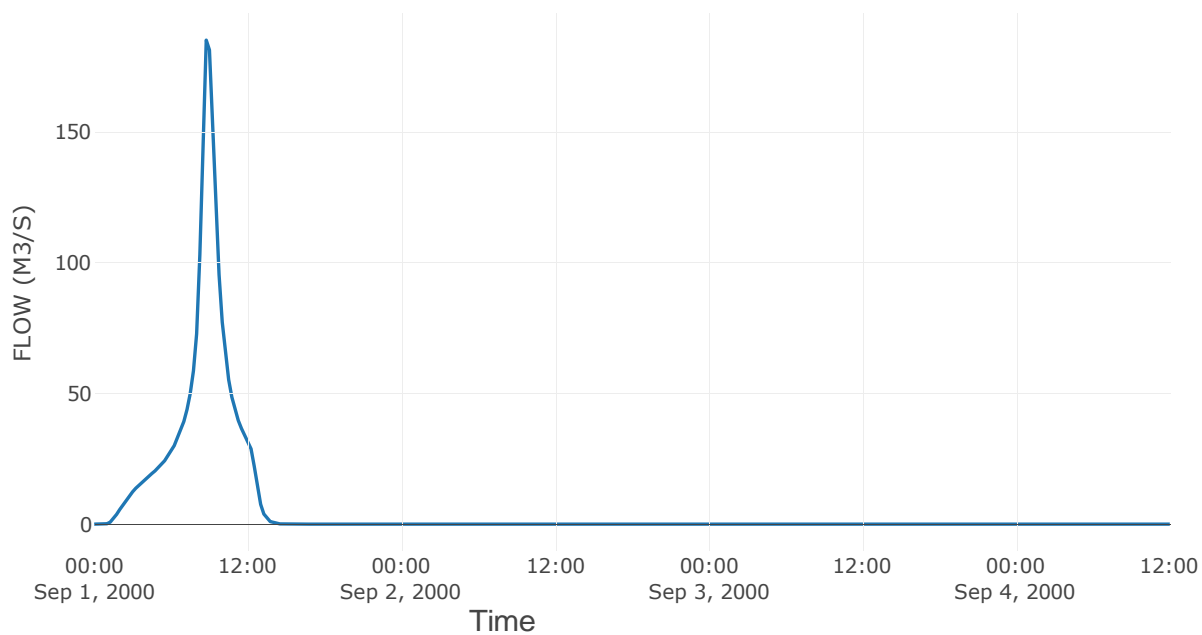
Κατάντη : J5

Μέθοδος Διόδευσης	Χρόνος
Αρχική Μεταβλητή	Combined Inflow
Χρόνος Υστέρησης	4.34

Αποτελέσματα: R65

Παροχή Αιχμής (M3/S)	185.01
Χρονική στιγμή αιχμής	01Sep2000, 08:45
Όγκος (MM)	211.79
Παροχή Αιχμής Εισόδου (M3/S)	192.23
Όγκος Εισροής (M3)	2.04E6

Απορροή



Κλάδος: R76

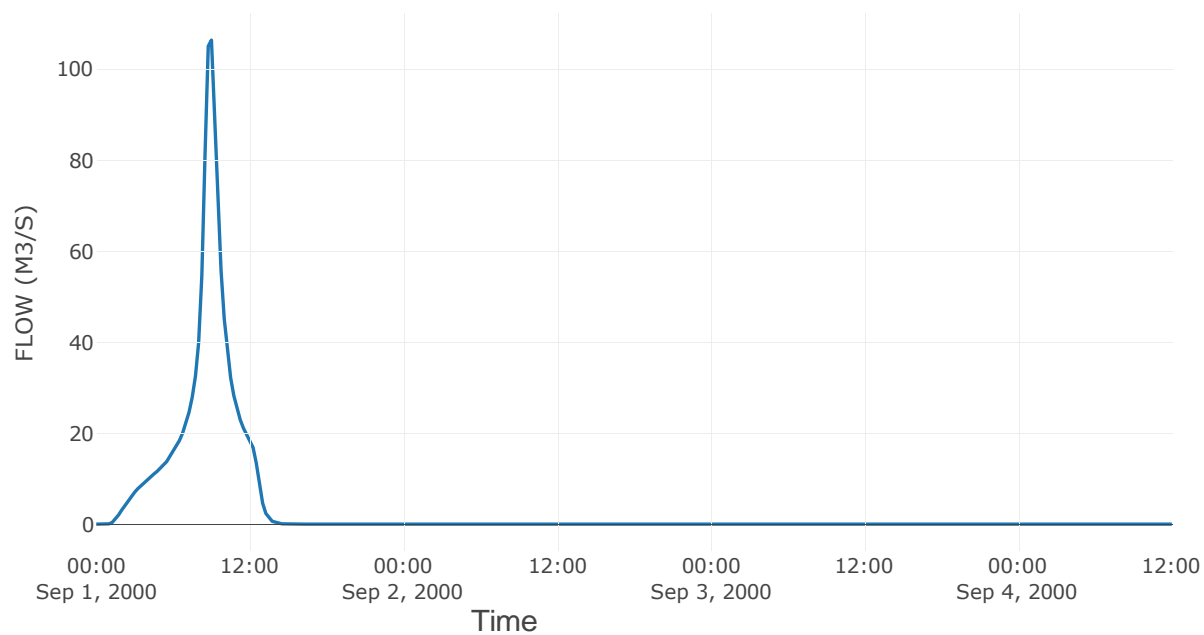
Κατάντη : J6

Μέθοδος Διόδευσης	Χρόνος
Αρχική Μεταβλητή	Combined Inflow
Χρόνος Υστέρησης	9.09

Αποτελέσματα: R76

Παροχή Αιχμής (M3/S)	106.37
Χρονική στιγμή αιχμής	01Sep2000, 09:00
Όγκος (MM)	216.54
Παροχή Αιχμής Εισόδου (M3/S)	111.84
Όγκος Εισροής (M3)	1.16E6

Απορροή



Κλάδος: R98

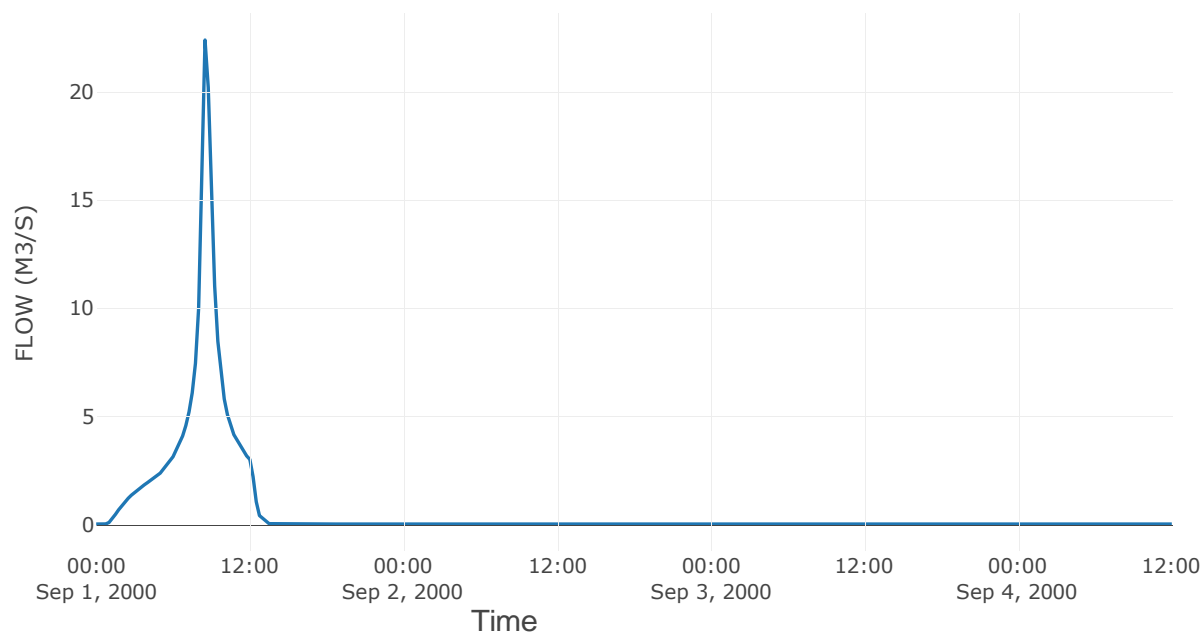
Κατάντη : J8

Μέθοδος Διόδευσης	Χρόνος
Αρχική Μεταβλητή	Combined Inflow
Χρόνος Υστέρησης	3.64

Αποτελέσματα: R98

Παροχή Αιχμής (M3/S)	22.38
Χρονική στιγμή αιχμής	01Sep2000, 08:30
Όγκος (MM)	205.13
Παροχή Αιχμής Εισόδου (M3/S)	23.37
Όγκος Εισροής (M3)	2.08E5

Απορροή



Κλάδος: R1110

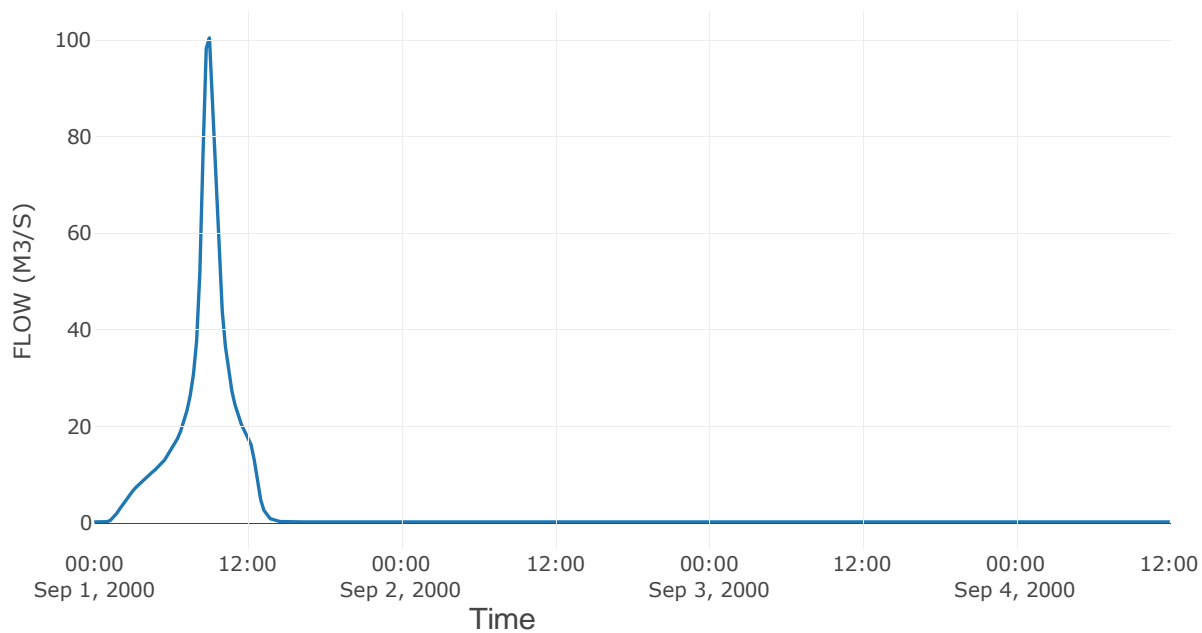
Κατάντη : J10

Μέθοδος Διόδευσης	Χρόνος
Αρχική Μεταβλητή	Combined Inflow
Χρόνος Υστέρησης	8.23

Αποτελέσματα: R1110

Παροχή Αιχμής (M3/S)	100.41
Χρονική στιγμή αιχμής	01Sep2000, 09:00
Όγκος (MM)	203.87
Παροχή Αιχμής Εισόδου (M3/S)	105.12
Όγκος Εισροής (M3)	1.11E6

Απορροή



Κλάδος: R1312

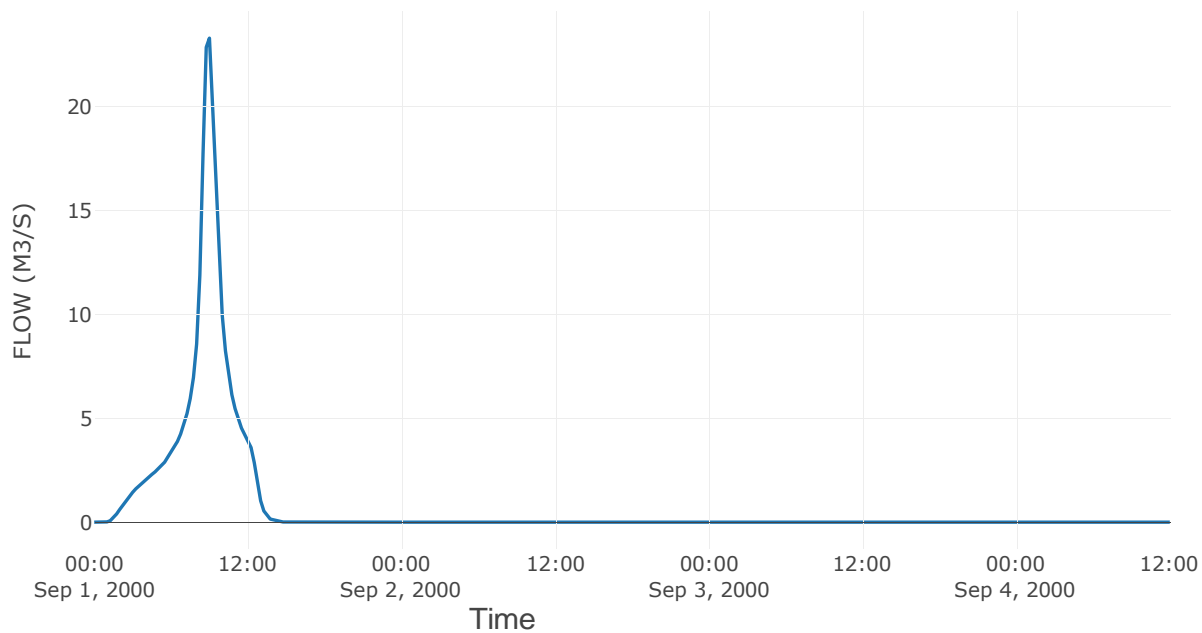
Κατάντη : J12

Μέθοδος Διόδευσης	Χρόνος
Αρχική Μεταβλητή	Combined Inflow
Χρόνος Υστέρησης	8.36

Αποτελέσματα: R1312

Παροχή Αιχμής (M3/S)	23.3
Χρονική στιγμή αιχμής	01Sep2000, 09:00
Όγκος (MM)	202.67
Παροχή Αιχμής Εισόδου (M3/S)	24.44
Όγκος Εισροής (M3)	2.52E5

Απορροή



Κλάδος: R1514

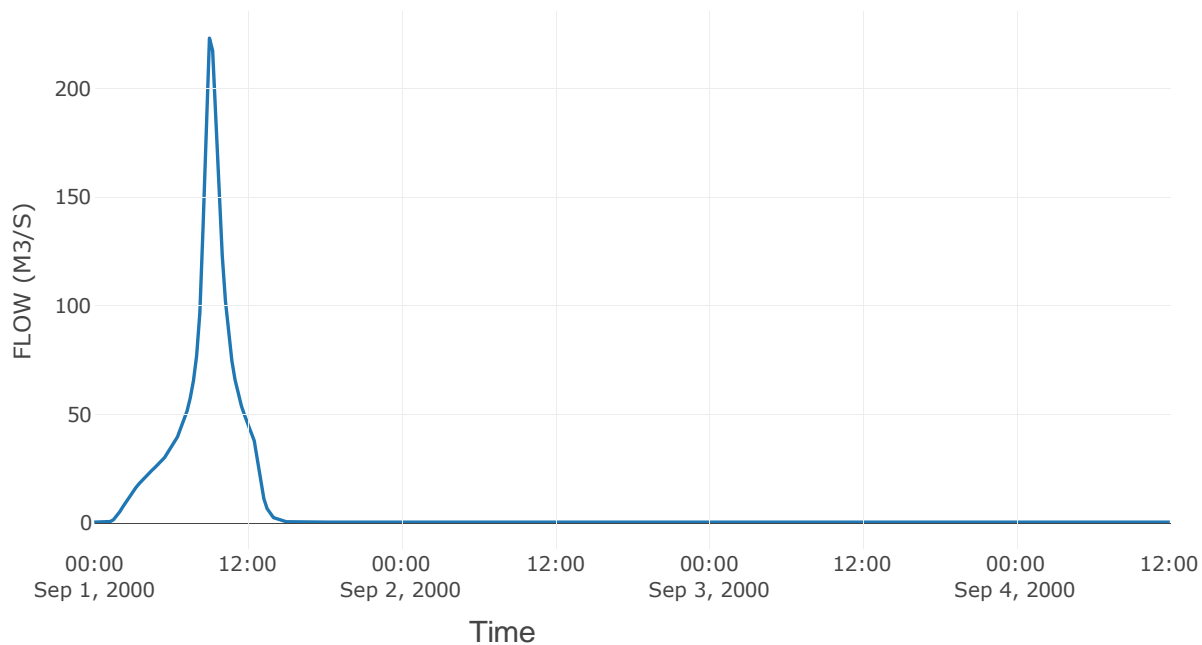
Κατάντη : J14

Μέθοδος Διόδευσης	Χρόνος
Αρχική Μεταβλητή	Combined Inflow
Χρόνος Υστέρησης	13.79

Αποτελέσματα: R1514

Παροχή Αιχμής (M3/S)	223.15
Χρονική στιγμή αιχμής	01Sep2000, 09:00
Όγκος (MM)	206.74
Παροχή Αιχμής Εισόδου (M3/S)	223.4
Όγκος Εισροής (M3)	2.62E6

Απορροή



Κλάδος: R1716

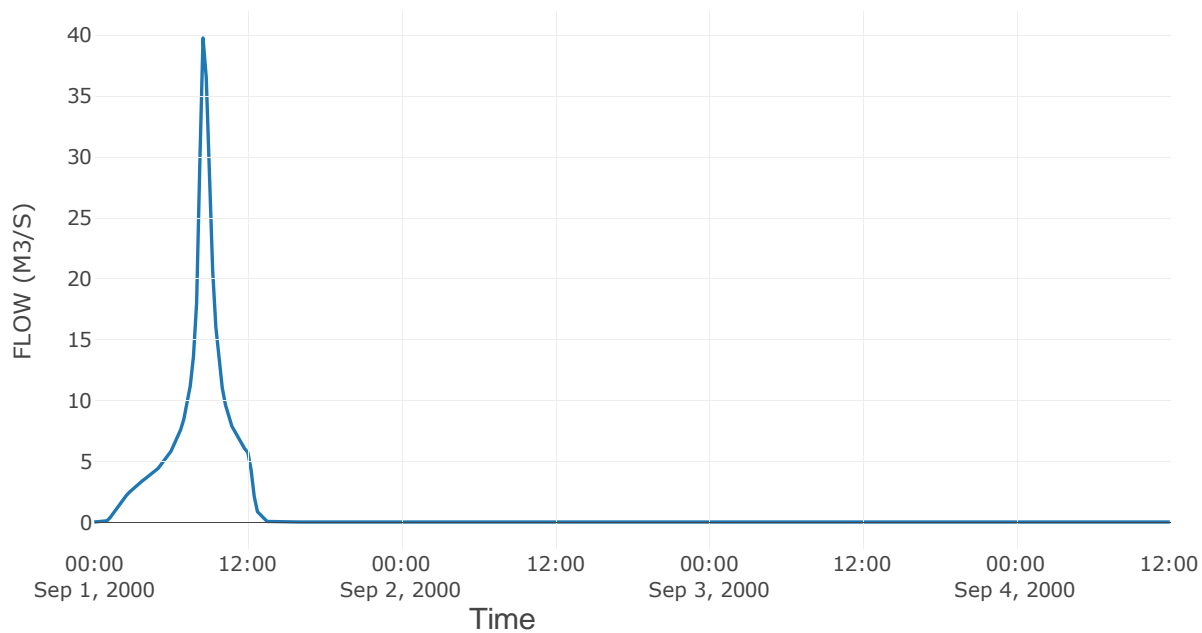
Κατάντη : J16

Μέθοδος Διόδευσης	Χρόνος
Αρχική Μεταβλητή	Combined Inflow
Χρόνος Υστέρησης	2.41

Αποτελέσματα: R1716

Παροχή Αιχμής (M3/S)	39.76
Χρονική στιγμή αιχμής	01Sep2000, 08:30
Όγκος (MM)	201.98
Παροχή Αιχμής Εισόδου (M3/S)	41.07
Όγκος Εισροής (M3)	3.84E5

Απορροή



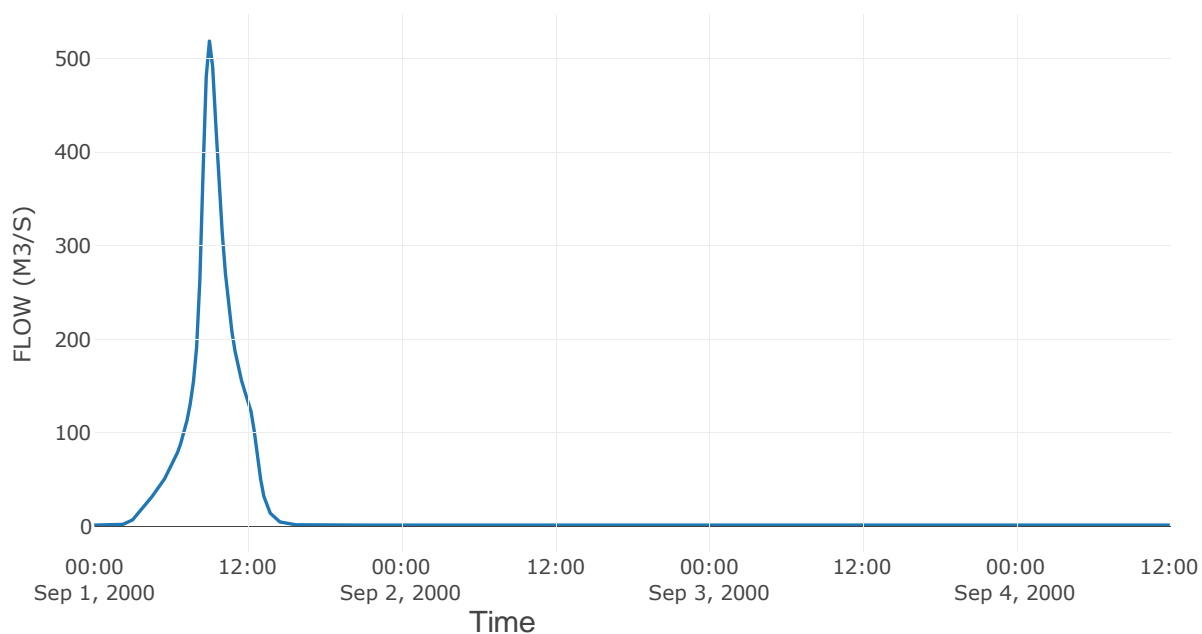
10.3 Δεδομένα και Υδρογραφήματα Σχεδιασμού Κόμβων Υδρογραφικού Δικτύου

Κόμβος εξόδου: J1

Αποτέλεσμα
τα: J1

Παροχή αιχμής (M3/S)	518.26
Χρονική στιγμή αιχμής	01Sep2000, 09:00
Όγκος (MM)	167.38

Απορροή



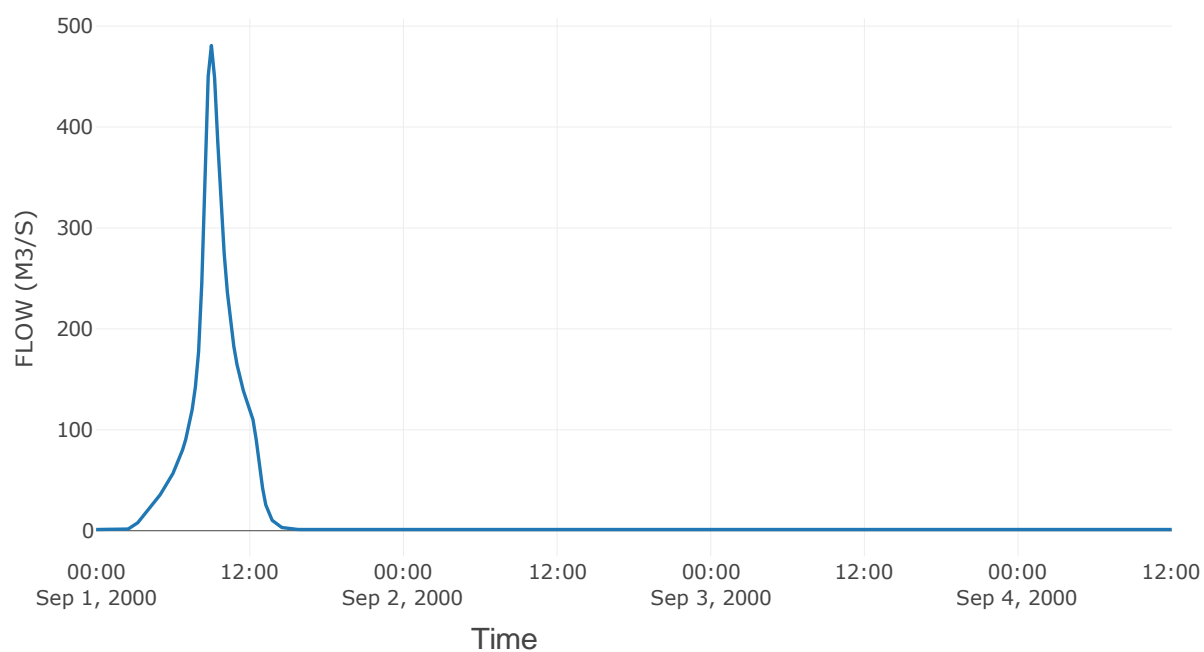
Κόμβος: J2

Κατάντη : J1

Αποτελέσματα: J2

Παροχή Αιχμής (M3/S)	480.83
Χρονική στιγμή αιχμής	01Sep2000, 09:00
Όγκος (MM)	163.85

Απορροή

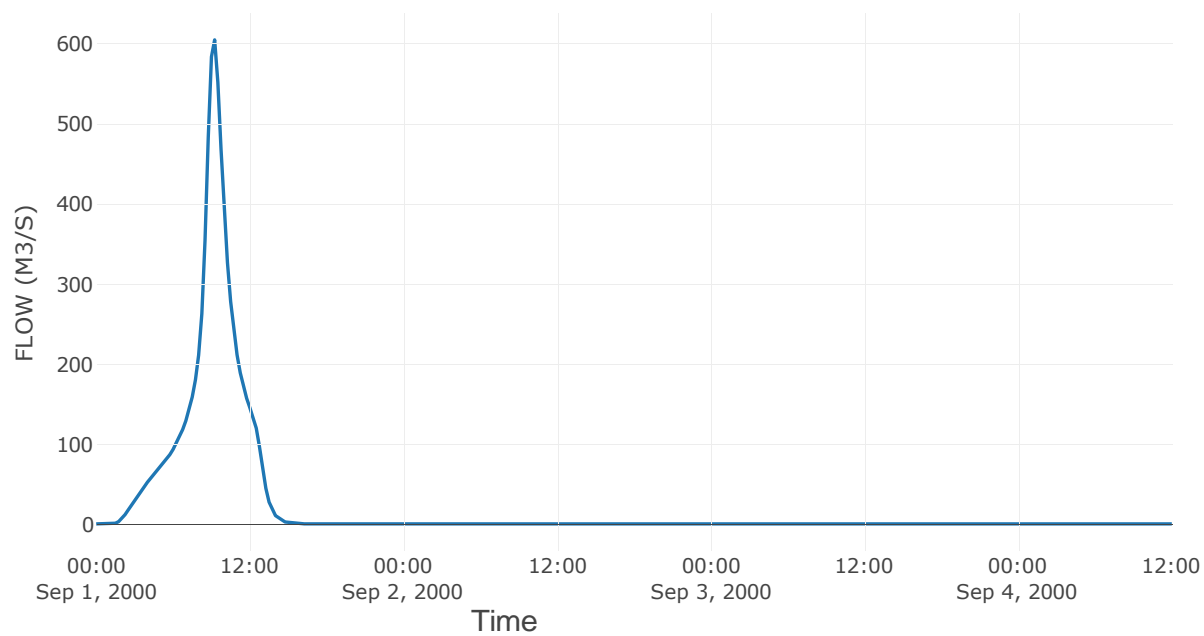


Κόμβος εξόδου: J3

Αποτέλεσμα
τα: J3

Παροχή αιχμής (M3/S)	604.67
Χρονική στιγμή αιχμής	01Sep2000, 09:15
Όγκος (MM)	204.2

Απορροή



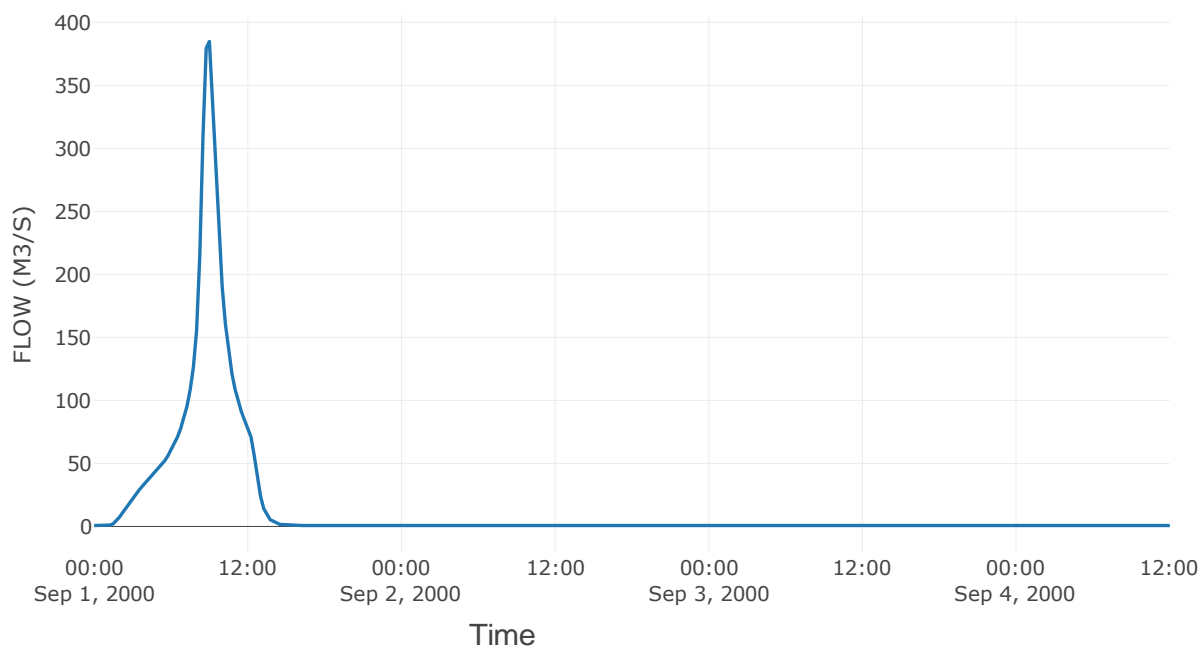
Κόμβος: J4

Κατάντη : R43

Αποτελέσματα: J4

Παροχή Αιχμής (M3/S)	384.83
Χρονική στιγμή αιχμής	01Sep2000, 09:00
Όγκος (MM)	207.96

Απορροή

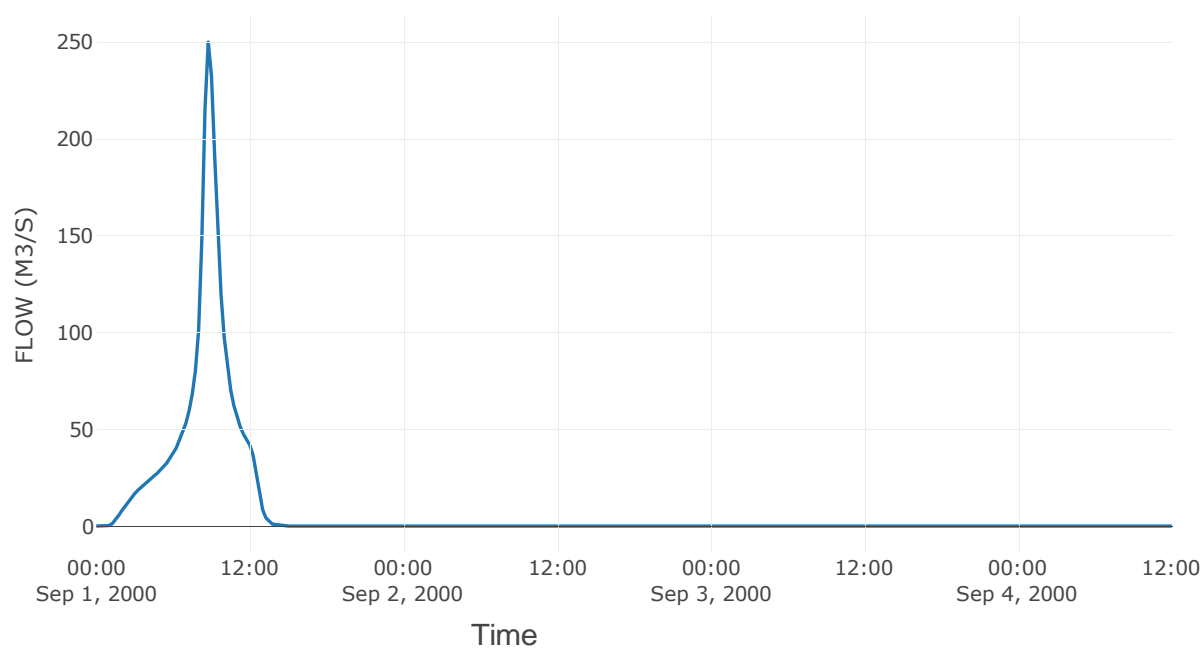


Κόμβος εξόδου: J5

Αποτέλεσμα
τα: J5

Παροχή αιχμής (M3/S)	249.98
Χρονική στιγμή αιχμής	01Sep2000, 08:45
Όγκος (MM)	210.38

Απορροή



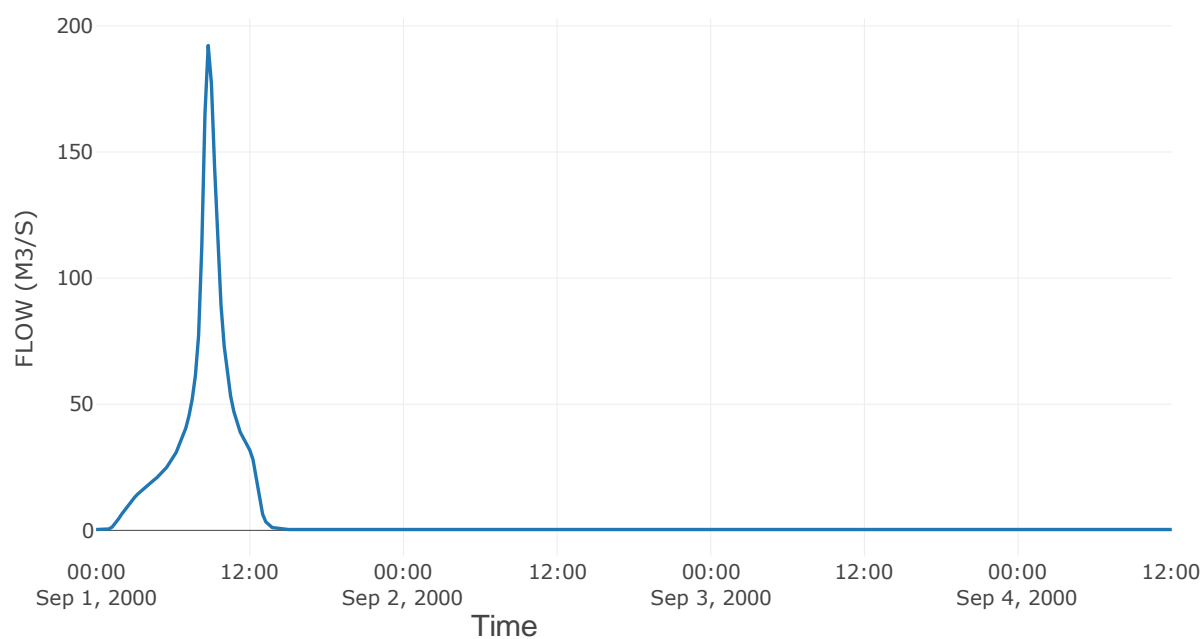
Κόμβος: J6

Κατάντη : R65

Αποτελέσματα: J6

Παροχή Αιχμής (M3/S)	192.23
Χρονική στιγμή αιχμής	01Sep2000, 08:45
Όγκος (MM)	211.79

Απορροή



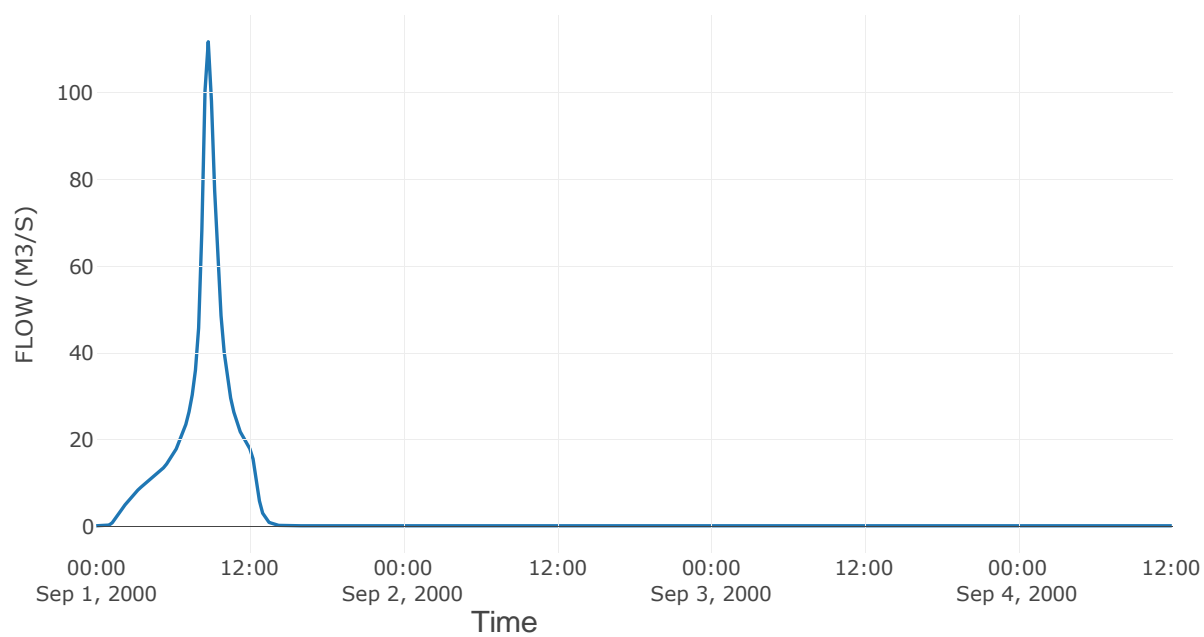
Κόμβος: J7

Κατάντη : R76

Αποτελέσματα: J7

Παροχή Αιχμής (M3/S)	111.84
Χρονική στιγμή αιχμής	01Sep2000, 08:45
Όγκος (MM)	216.54

Απορροή

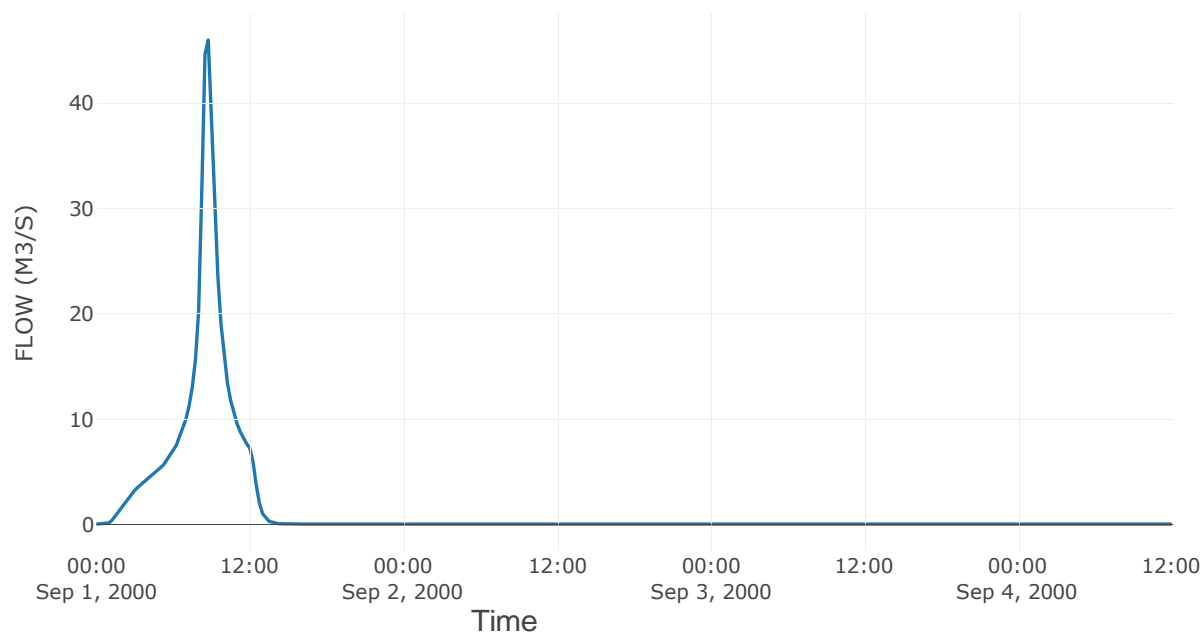


Κόμβος εξόδου: J8

Αποτέλεσμα
τα: J8

Παροχή αιχμής (M3/S)	45.98
Χρονική στιγμή αιχμής	01Sep2000, 08:45
Όγκος (MM)	205.1

Απορροή



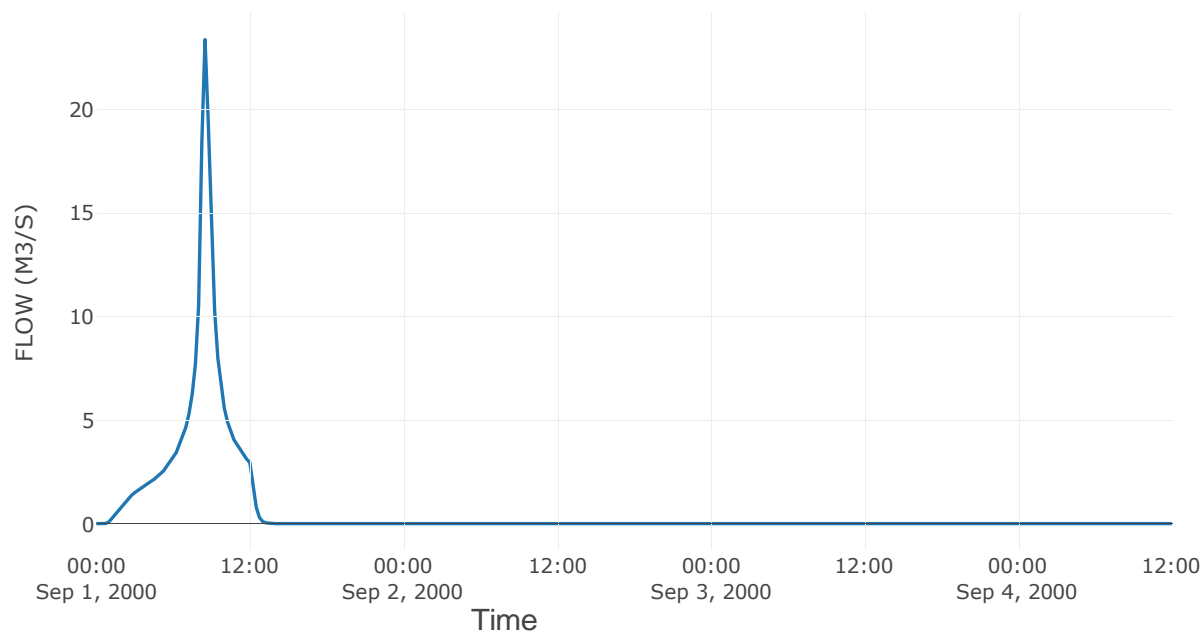
Κόμβος: J9

Κατάντη : R98

Αποτελέσματα: J9

Παροχή Αιχμής (M3/S)	23.37
Χρονική στιγμή αιχμής	01Sep2000, 08:30
Όγκος (MM)	205.13

Απορροή

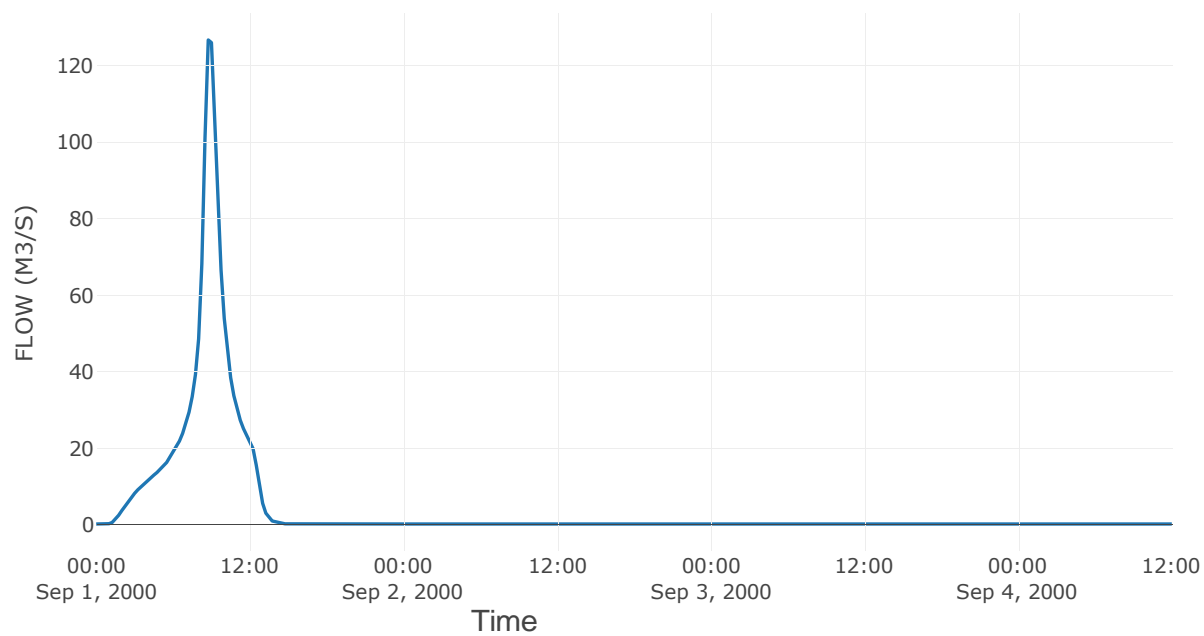


Κόμβος εξόδου: J10

Αποτελέσματ
α: J10

Παροχή αιχμής (M3/S)	126.78
Χρονική στιγμή αιχμής	01Sep2000, 08:45
Όγκος (MM)	202.96

Απορροή



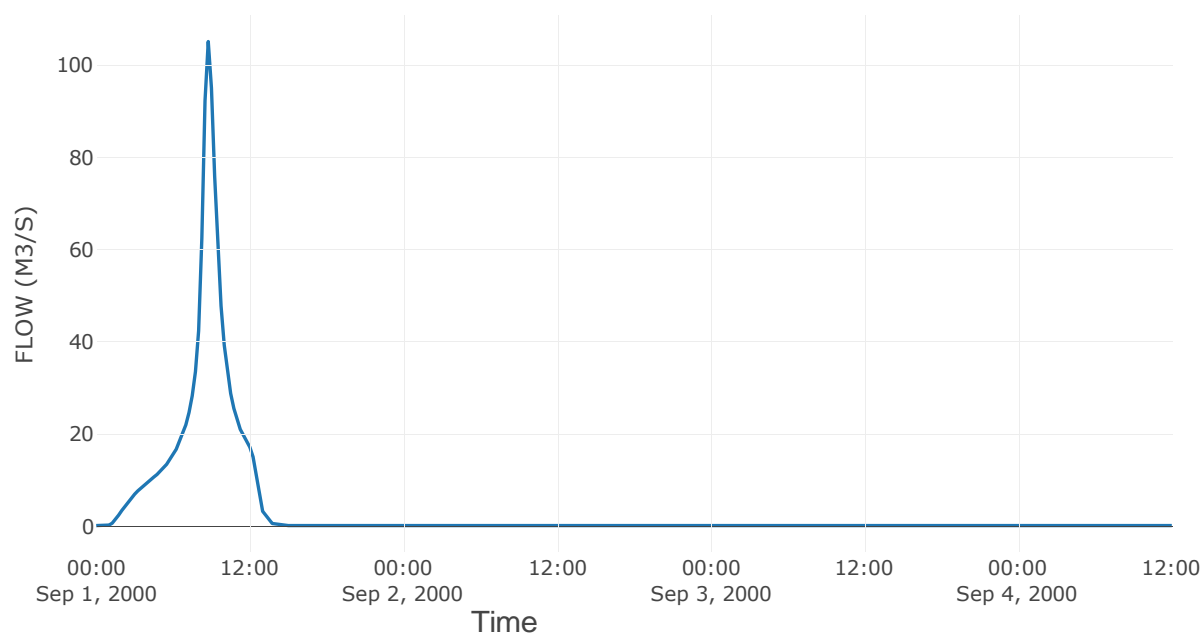
Κόμβος: J11

Κατάντη : R1110

Αποτελέσματα: J11

Παροχή Αιχμής (M3/S)	105.12
Χρονική στιγμή αιχμής	01Sep2000, 08:45
Όγκος (MM)	203.87

Απορροή

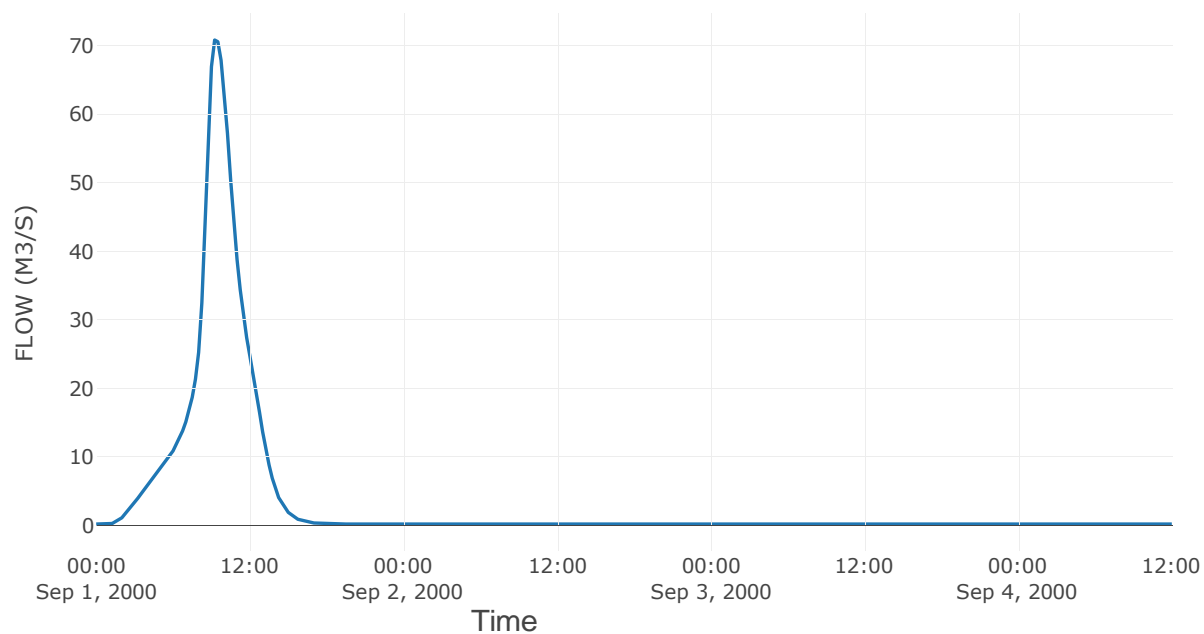


Κόμβος εξόδου: J12

Αποτελέσμα
α: J12

Παροχή αιχμής (M3/S)	70.81
Χρονική στιγμή αιχμής	01Sep2000, 09:15
Όγκος (MM)	193.5

Απορροή



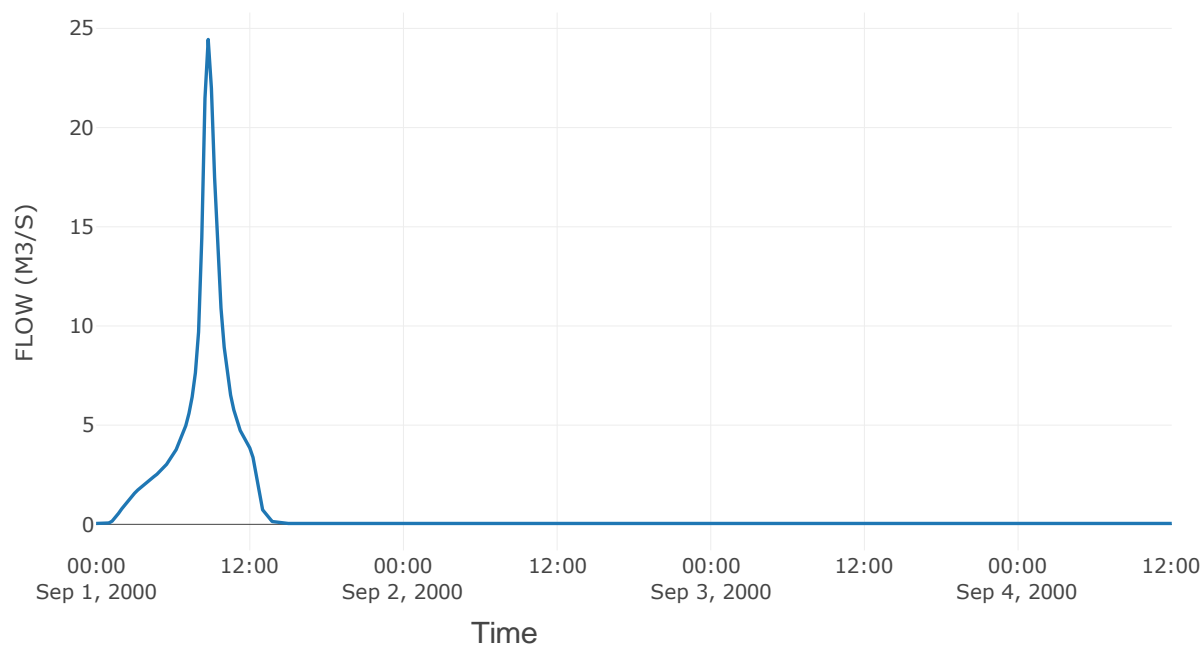
Κόμβος: J13

Κατάντη : R1312

Αποτελέσματα: J13

Παροχή Αιχμής (M3/S)	24.44
Χρονική στιγμή αιχμής	01Sep2000, 08:45
Όγκος (MM)	202.67

Απορροή

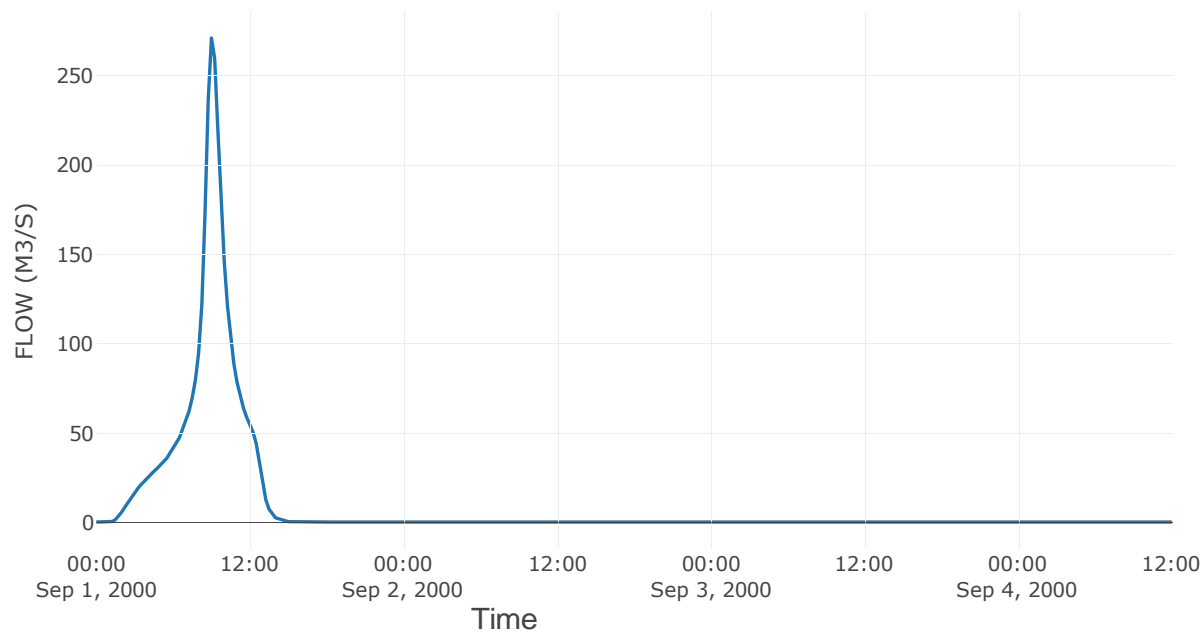


Κόμβος εξόδου: J14

Αποτελέσμα
α: J14

Παροχή αιχμής (M3/S)	271.1
Χρονική στιγμή αιχμής	01Sep2000, 09:00
Όγκος (MM)	204.99

Απορροή



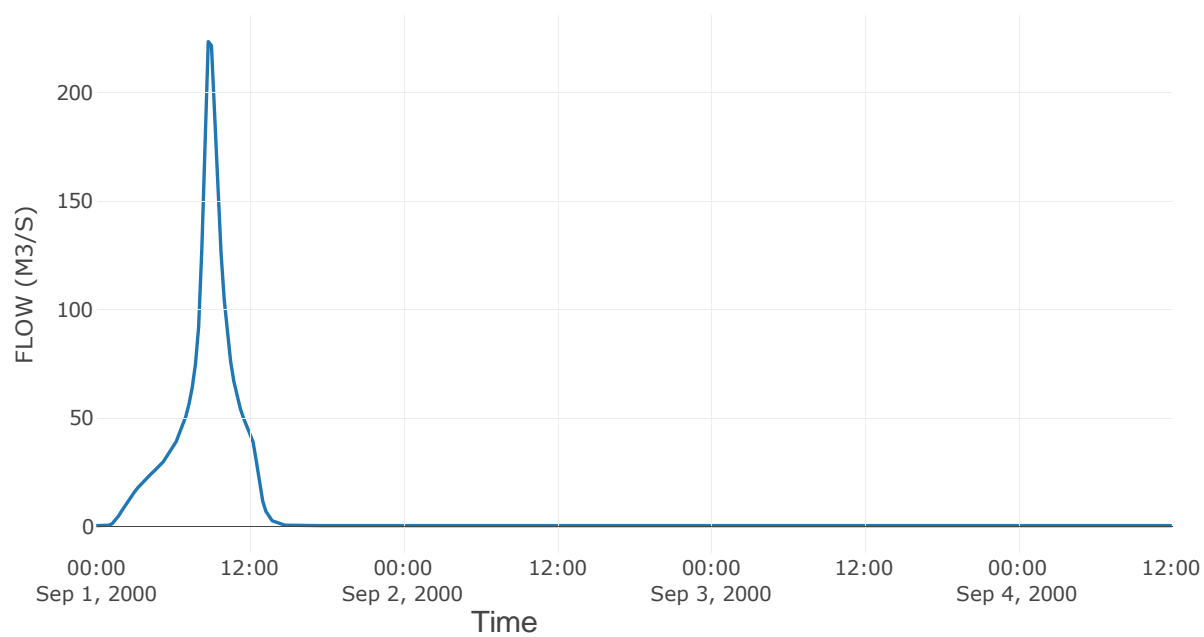
Κόμβος: J15

Κατάντη : R1514

Αποτελέσματα: J15

Παροχή Αιχμής (M3/S)	223.4
Χρονική στιγμή αιχμής	01Sep2000, 08:45
Όγκος (MM)	206.74

Απορροή

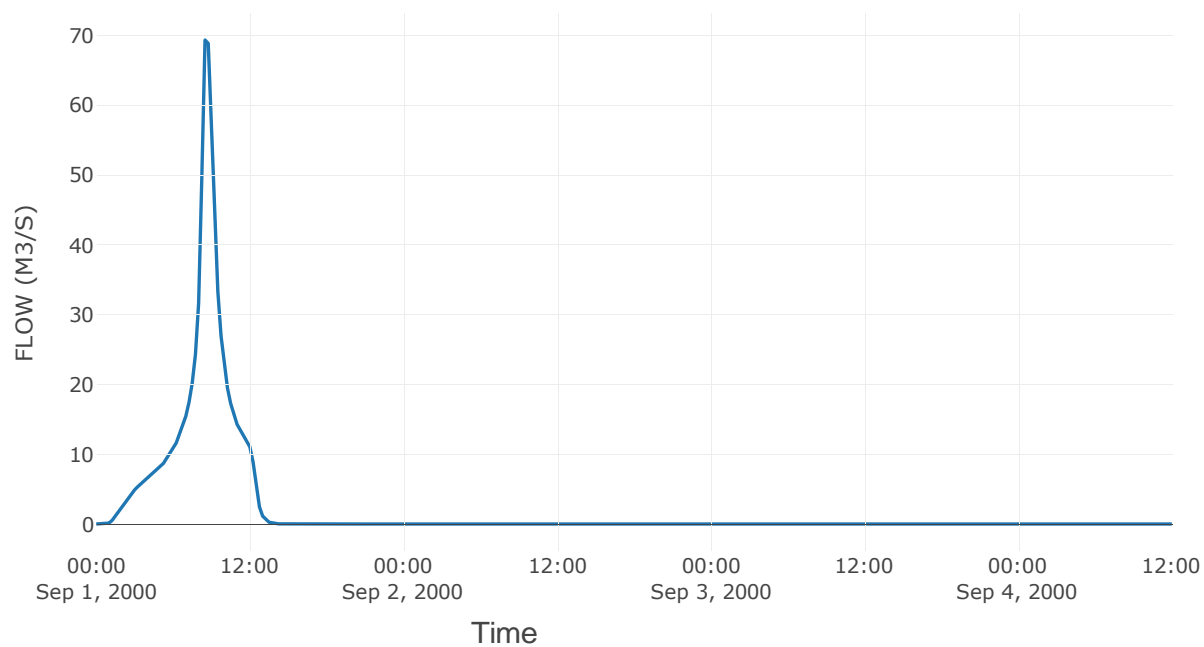


Κόμβος εξόδου: J16

Αποτελέσμα
α: J16

Παροχή αιχμής (M3/S)	69.34
Χρονική στιγμή αιχμής	01Sep2000, 08:30
Όγκος (MM)	201.42

Απορροή



Κόμβος: J17

Κατάντη : R1716

Αποτελέσματα: J17

Παροχή Αιχμής (M3/S)	41.07
Χρονική στιγμή αιχμής	01Sep2000, 08:30
Όγκος (MM)	201.98

Απορροή

